

目 录

第一篇 平面积分几何

第一章 平面里的凸集.....	(3)
1. 引言	(3)
2. 直线族的包络	(3)
3. Minkowski 混合面积.....	(5)
4. 一些特殊凸集	(7)
5. 么球面面积与么球体体积	(11)
6. 注记与练习	(11)
第二章 平面里的点集与 Poisson 过程.....	(14)
1. 点集的密度	(14)
2. 初始的积分公式	(15)
3. 三点组的集合	(18)
4. 齐次平面Poisson 点过程.....	(20)
5. 注记	(23)
第三章 平面里的直线集合.....	(31)
1. 直线集合的密度	(31)
2. 和凸集或曲线相交的直线	(34)
3. 同两个凸集相交或把它们隔开的直线	(36)
4. 几何应用	(39)
5. 注记与练习	(41)
第四章 点偶和线偶.....	(50)
1. 点偶密度	(50)

2. 凸集的弦幂积分	(71)
3. 线偶密度	(72)
4. 随机直线对平面的分割	(74)
5. 注记	(75)

第五章 平面上的带集..... (76)

1. 带集密度	(76)
2. Buffon 投针问题.....	(79)
3. 点, 线与带构成的集合	(80)
4. 一些中值	(83)
5. 注记	(85)

第六章 平面上的运动群: 运动密度..... (88)

1. 平面上的运动群	(88)
2. m 上的微分齐式	(90)
3. 运动密度	(93)
4. 线段集合	(95)
5. 同一个已给凸集相交的凸集.....	(98)
6. 一些积分公式.....	(104)
7. 一项中值; 覆盖问题.....	(106)
8. 注记与练习.....	(109)

第七章 Poincaré 和 Blaschke 的基本公式..... (119)

1. 关于运动密度的又一个表达式.....	(119)
2. Poincaré 公式.....	(120)
3. 闭曲线的与平面域的总曲率.....	(122)
4. Blaschke 基本公式	(123)
5. 等周不等式.....	(128)
6. 一个域能含在另一个内的Hadwiger 条件	(131)
7. 注记.....	(133)

第八章 图形的格	(138)
1. 定义与基本公式	(138)
2. 域格	(140)
3. 曲线格	(143)
4. 点格	(144)
5. 注记与练习	(147)

第二篇 一般积分几何

第九章 微分齐式与李群	(155)
1. 微分齐式	(155)
2. Pfaff 微分组	(158)
3. 微分流形的映射	(160)
4. 李群: 左移与右移	(162)
5. 左不变微分齐式	(163)
6. Maurer-Cartan 方程	(165)
7. 群的不变体元: 单模群	(170)
8. 注记与练习	(175)

第十章 齐性空间的密度与测度	(180)
1. 引论	(180)
2. 不变子群与商群	(185)
3. 齐性空间上密度存在的其他条件	(186)
4. 例	(187)
5. 李变换群	(189)
6. 注记与练习	(193)

第十一章 仿射诸群	(198)
1. 仿射变换诸群	(198)
2. 对于特殊齐次仿射群的线性空间密度	(202)

3. 对于特殊非齐次仿射群的线性子空间密度	(206)
4. 注记与练习	(209)
第十二章 E_n 中的运动群	(218)
1. 引言	(218)
2. E_n 里线性空间密度	(221)
3. 一个微分公式	(222)
4. 绕一个固定 q 维平面的 r 维平面密度	(224)
5. E_n 里 r 维平面密度的另一式	(227)
6. 线性空间偶	(228)
7. 注记	(231)

第三篇 E_n 里的积分几何

第十三章 E_n 里的凸集	(243)
1. 凸集与截痕测度积分	(243)
2. Cauchy 公式	(246)
3. 平行凸集; Steiner 公式	(248)
4. 关于凸集在线性空间上投影的积分公式	(250)
5. 中曲率积分	(251)
6. 中曲率积分与截痕测度积分	(252)
7. 压平了的凸体的中曲率积分	(256)
8. 注记	(258)
第十四章 线性子空间, 凸集, 紧致流形	(263)
1. 和一个凸集相交的 r 维平面的集合	(263)
2. 几何概率	(265)
3. E_n 里的 Crofton 公式	(267)
4. 线性子空间密度之间的一些关系	(271)
5. 和一个流形相交的线性子空间	(275)
6. 超曲面与线性空间	(280)

7. 注记	(282)
-------	-------

第十五章 E_n 里的运动密度 (292)

1. 关于密度的公式	(292)
2. 体积 $\sigma_{r+q-n}(M^r \cap M^q)$ 的积分	(294)
3. 一个微分公式	(297)
4. 运动基本公式	(299)
5. 关于凸集的基本公式	(305)
6. 关于中曲率积分的中值	(306)
7. 关于柱的基本公式	(309)
8. 一些中值	(312)
9. E_n 里的格	(314)
10. 注记与练习	(315)

第十六章 几何应用与统计应用: 立体度测法 (325)

1. 从粒子截痕的量分布推测其本身的量分布	(325)
2. 和随机平面的截痕	(329)
3. 和随机直线的截痕	(333)
4. 注记	(334)

第四篇 常曲率空间积分几何

第十七章 非欧积分几何 (349)

1. n 维非欧空间	(349)
2. 非欧空间的 Gauss-Bonnet 公式	(352)
3. 运动密度与 r 维平面密度	(355)
4. 和一个固定体相交的 r 维平面集合	(360)
5. 注记	(362)

第十八章 非欧空间的 Crofton 公式与运动基本公式 (369)

1. Crofton 公式	(369)
---------------	-------

2. 椭圆空间的对偶公式	(371)
3. 非欧空间的运动基本公式	(373)
4. 非欧空间的 Steiner 公式	(375)
5. 关于椭圆空间凸体的一个积分公式	(377)
6. 注记	(377)
第十九章 积分几何与叶层空间; 积分几何动向	(386)
1. 叶层空间	(386)
2. 黎曼流形里的短程线集合	(387)
3. 短程线的二维集合的测度	(390)
4. 短程线的 $2n-2$ 维集合的测度	(393)
5. 短程线段集合	(395)
6. 复空间积分几何	(396)
7. 辛积分几何	(402)
8. Gelfand 积分几何	(404)
9. 注记	(408)
附录 微分齐式与外微积	(413)
1. 微分齐式与外积	(413)
2. 外积的两项应用	(417)
3. 外微导	(419)
4. Stokes 公式	(420)
5. 与三维欧氏空间矢量分析的比较	(422)
6. 流形上的微分齐式	(423)
参考文献	(426)
作者索引	(507)
内容索引	(514)

第 一 篇

平 面 积 分 几 何

第一章 平面里的凸集

1. 引言

在积分几何里，凸集起重要作用。因此，我们在这里综述它们的主要性质，特别是在下面各节中需用的那些性质。在本章里，我们讨论平面里的凸集。关于 n 维欧氏空间里的凸集，可看第十三章，至于较详尽的论述，可参考 Blaschke[50] 和 Bonnesen 与 Fenchel[63] 的经典著作，或较现代的作品：Benson[27]，Eggleston[162]，Grünbaum[247]，Jaglom 与 Boltjanski[320]，Hadwiger[270]，Hadwiger 与其合作者[282]，Valentine[683]。

已给平面里的一个点集 K ，若对于每一对点 $A \in K$ ， $B \in K$ ，总有 $AB \subset K$ ，其中 AB 是联结 A 和 B 的线段，则 K 叫做凸集。为方便起见，我们将始终假定凸集是有界闭集。

若一条具有端点 P, Q 的曲线，连同线段 PQ ，包围一个凸集，则这曲线叫做凸(曲)线。若一个凸集有界而且有内点，则 K 的边界叫做闭凸(曲)线。集 K 的边界将总用 ∂K 表示。若 K 的一切点属于 ∂K ，则 K 是一个线段。

可以证明：(a) 一切凸线都是分段可微导的(即它们是可数多个弧的并集，而且每个弧都有连续地转动的切线)；换句话说，凸线至多有可数集的隅角；(b) 一切有界凸线是有长的。一个凸集 K 的边界的长叫做 K 的周长。

2. 直线族的包络

一个含一个参数 λ 的曲线族 $F(x, y, \lambda) = 0$ 的包络是指一条曲线，它的每一点是它和该族中一条曲线的切点。我们知道，包络的方程可以从方程 $F = 0$ 和 $\partial F / \partial \lambda = 0$ 消去 λ 得到。下面我们把这个

结果应用于直线族.

平面上一条直线可以用从原点到它的距离 p 和从 x 轴到它的法线的角 ϕ 来确定(图1.1). 这样, 直线的方程就是

$$x \cos \phi + y \sin \phi - p = 0. \quad (1.1)$$

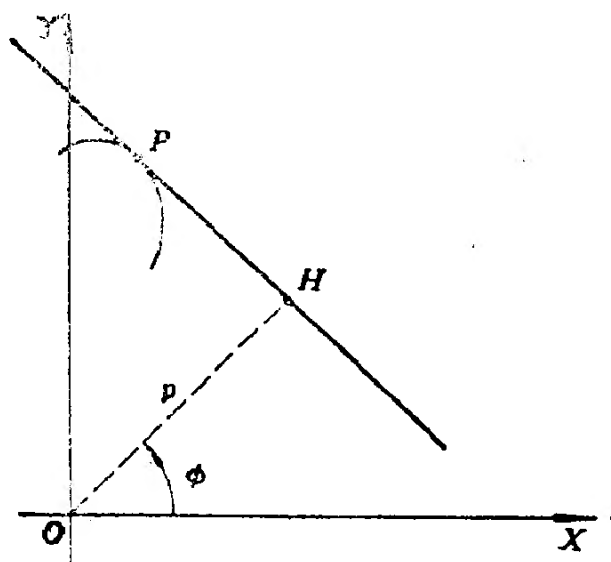


图 1.1

若 p 为一个函数 $p = p(\phi)$, 则 (1.1) 是一族直线, 而若假定 $p(\phi)$ 是可微导的, 则直线族的包络可以从 (1.1) 和经微导后的方程

$$-x \sin \phi + y \cos \phi - p' = 0 \quad (p' = dp/d\phi) \quad (1.2)$$

得到.

从 (1.1) 和 (1.2), 得直线族 (1.1) 的包络的参数方程

$$x = p \cos \phi - p' \sin \phi, \quad y = p \sin \phi + p' \cos \phi. \quad (1.3)$$

这两个公式给出直线和包络的切点 P 的坐标. 由于从 O 到直线的垂线同直线的交点的坐标是 $p \cos \phi, p \sin \phi$, 可知

$$HP = p'. \quad (1.4)$$

假定函数 p 属于 C^2 类(记住 C^n 类是指可以连续微导 n 次), 由 (1.3) 可知

$$dx = -(p + p'') \sin \phi d\phi, \quad dy = (p + p'') \cos \phi d\phi.$$

故 $ds = |p + p''| d\phi$, 而包络的曲率半径是 $\rho = ds/d\phi = |p + p''|$.

若包络是一个凸集 K 的边界 ∂K , 而 O 是 K 的一个内点, 则 $p = p(\phi)$ 就叫做 K 或凸线 ∂K 相对于 O 的[支]撑函数. 直线(1.1)则叫做 K 的[支]撑线. 这时, 我们可以证明 $p + p'' > 0$ (例如参看[683, 第18页]), 而上段的两个公式可以写作

$$ds = (p + p'')d\phi, \quad \rho = p + p'' \quad (1.5)$$

可以证明, 周期函数 p 为一个凸集 K 的撑函数的一个充要条件是 $p + p'' > 0$.

由(1.5)中的第一式, 可知具有 C^2 类撑函数 p 的闭凸线的周长是

$$L = \int_0^{2\pi} p d\phi. \quad (1.6)$$

“ p 属于 C^2 类” 的假设可以省掉. 可以证明, 对于任意闭凸线, 公式(1.6)成立(例如参看[683, 第161页]).

凸集 K 的面积也可以从撑函数计算. 事实上, 若设想把 K 分解成以 O 为公共顶点的无穷小三角形, 它们的高是 p , 底是 ds , 则

$$F = \frac{1}{2} \int_{\partial K} p ds = \frac{1}{2} \int_0^{2\pi} p(p + p'') d\phi, \quad (1.7)$$

而经过分部积分, 就得

$$F = \frac{1}{2} \int_0^{2\pi} (p^2 - p'^2) d\phi. \quad (1.8)$$

3. Minkowski混合面积

设 K_1, K_2 为平面上两个有界凸集, 它们依次相对于 O_1, O_2 的撑函数 p_1, p_2 都属于 C^2 类. 考虑函数 $p(\phi) = p_1(\phi) + p_2(\phi)$. 直线族 $x \cos \phi + y \sin \phi - p = 0$ 的包络是一条凸线, 它的曲率半径是

$$\rho = p + p'' = (p_1 + p_1'') + (p_2 + p_2'') = \rho_1 + \rho_2.$$

由于 ∂K_1 和 ∂K_2 是凸线, $\rho_1 > 0, \rho_2 > 0$, 因而 $\rho > 0$. 故上述包络是一个凸集 K_{12} 的边界. 若 p_1 和 p_2 不属于 C^2 类, 这个证明不能用, 但

结果仍然成立：函数 $p = p_1 + p_2$ 总是一个凸集 K_{12} 的撑函数，且 M_{12} 则称为 K_1 和 K_2 的混合凸集[63，第29页]，

K_{12} 的面积可以写作

$$F = \frac{1}{2} \int_0^{2\pi} (p^2 - p'^2) d\phi = F_1 + F_2 + 2F_{12}, \quad (1.9)$$

其中 F_1, F_2 是 K_1, K_2 的面积，而

$$F_{12} = F_{21} = \frac{1}{2} \int_0^{2\pi} (p_1 p_2 - p'_1 p'_2) d\phi \quad (1.10)$$

叫做 K_1 和 K_2 的 Minkowski 混合面积。

通过分部积分，并利用(1.5)，得

$$F_{12} = \frac{1}{2} \int_0^{2\pi} p_1 (p_2 + p'_2) d\phi = \frac{1}{2} \int_{\partial K_2} p_1 ds_2. \quad (1.11)$$

同样，又得

$$F_{21} = \frac{1}{2} \int_{\partial K_1} p_2 ds_1. \quad (1.12)$$

其中 ds_1, ds_2 是 $\partial K_1, \partial K_2$ 在垂直于方向 ϕ 的撑线上的切点处的弧元[素]。

注意混合面积 F_{12} 与原点 O_1, O_2 无关。事实上，若用 O_1^* 代替 O_1 ，而 $O_1 O_1^* = a$ ，又 a 是从 x 轴到 $O_1 O_1^*$ 的角(图1.2)，则相对于

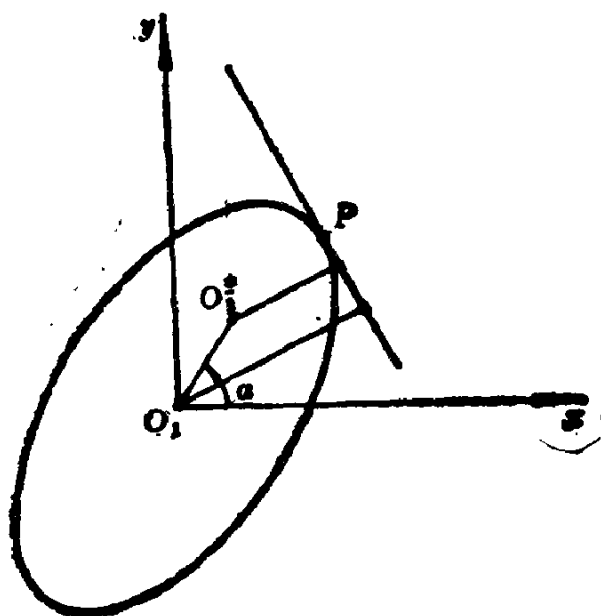


图 1.2

O_1^* 的撑函数 $p_1^* = p_1 - a \cos(\phi - \alpha)$ ，于是利用(1.10)，并通过分部积分，就可以验证 $F_{12}^* = F_{12}$ 。若改变 O_2 的位置，同样结论显然也是正确的。

此外，经过 K_1 和 K_2 的平移，由于 p_1 和 p_2 不变，混合面积 F_{12} 也不变。现在假定两个凸集之一，例如 K_1 ，绕一点 O 转动一个角 θ 。设 O_1^* 为 O_1 的象。这个转动等价于绕 O_1 转动 θ ，再作矢量 $\overrightarrow{O_1 O_1^*}$ 所确定的平移。因此，由于 F_{12} 不受平移影响，我们只须考察绕 O_1 转动的作用。经过绕 O_1 转动 θ 角，新的撑函数是 $p_1^* = p(\phi - \theta)$ ，因而 K_2 和转动后的凸集 K_1^* 的混合面积是

$$F_{12}(\theta) = \frac{1}{2} \int_{\partial K_2} p_1(\phi - \theta) ds_2.$$

对 θ 积分，并利用(1.6)，得

$$\int_0^{2\pi} F_{12}(\theta) d\theta = \frac{1}{2} L_1 L_2. \quad (1.13)$$

这个公式下面将用到。

例1 若 K_2 为从 K_1 经过平移所得，我们可以假定 $p_1 = p_2$ ， $ds_2 = ds_1$ ，因而(1.12)给出 $F_{12} = F_1 = F_2$ ，即：两个经过平移可以重合的凸集的混合面积等于两个凸集的共同面积。

例2 若 K_2 是半径等于 r 的圆，则 $ds_2 = r d\phi$ ，而(1.11)给出

$$F_{12} = \frac{1}{2} r \int_0^{2\pi} p_1 d\phi = \frac{1}{2} r L_1. \quad (1.14)$$

例3 设 K_1, K_2 为两个线段，其长依次为 $2a, 2b$ ，而 α 为含这两线段的直线之间的角。利用(1.10)，就得 $F_{12} = 2ab |\sin \alpha|$ 。从0到 2π 对 α 积分，就得 $8ab$ ，和(1.13)一致。注意一条线段是一个凸集，其周长等于线段长的两倍。

4. 一些特殊凸集

设已给凸集 K ，直线 h ，以及一点 $P \in \partial K$ ， $P \in h$ 。直线 h 把

平面分为两个开半平面，若 K 含在两者之一的闭包内，则 h 是 K 在 P 点的撑线。若 ∂K 在 P 点有切线，则在 P 点的撑线和切线重合。一个凸集的每一点在一条撑线上，而垂直于一个已给方向恰好有两条撑线。

垂直于方向 ϕ 的两条撑线把 K 夹在当中，它们之间的距离 $\Delta(\phi)$ 叫做 K 在方向 ϕ 的宽[度]^①。若 $p(\phi)$ 是 K 的撑函数，则 $\Delta(\phi) = p(\phi) + p(\phi + \pi)$ ，而根据(1.6)，就得

$$L = \int_0^\pi \Delta(\phi) d\phi. \quad (1.15)$$

因此， Δ 的中值或期望值是

$$E(\Delta) = L/\pi, \quad (1.16)$$

其中 L 为 K 的周长。注意宽度 $\Delta(\phi)$ 可以看成 K 在一条垂直于沿方向 ϕ 的直线的投影长，于是(1.16)给出：任意一个周长为 L 的凸线可以投影到某一直线上，使投影长 $\geq L/\pi$ ，也可以投影到某一直线上，使投影长 $\leq L/\pi$ 。

一个凸集的最小宽度叫做 K 的幅[度]^②。它将用 E 表示。 K 中两点间的最大距离叫做 K 的直径，用 D 表示。宽度的最大值也叫做直径。显然 $E \leq \Delta \leq D$ 。故由(1.15)可得

$$\pi E \leq L \leq \pi D. \quad (1.17)$$

现在我们给出几种特殊凸集的定义，它们对我们的目的特别有意义。

平行凸集。 已给凸集 K ，取中心在 K 的一点而半径等于 r 的一切圆，它们的并集 K_r 叫做 K 的 r 距平行集。它的边界 ∂K_r 叫做 ∂K 的 r 距外平行曲线。图1.3, 1.4, 1.5 依次表示一个线段、一个三角形和一个椭圆的平行集。

若 $p(\phi)$ 为 K 相对于 O 的撑函数，则 K_r 相对于同一点 O 的撑函

① Breath. — 译者

② Width. — 译者

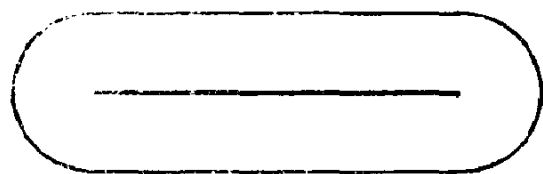


图 1.3

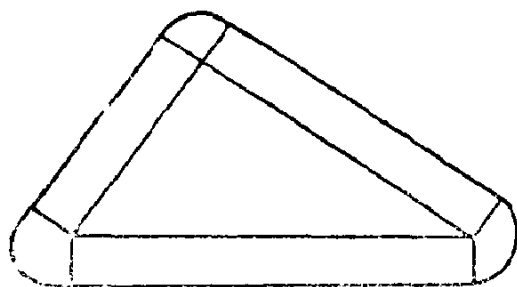


图 1.4

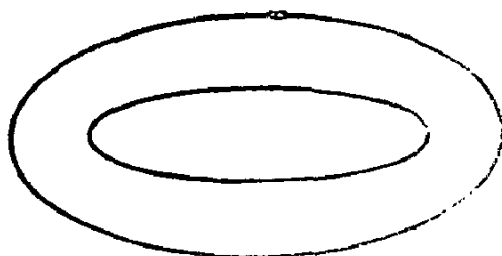


图 1.5

数是 $p(\phi) + r$ ，而根据(1.6)和(1.8)，可知 K_r 的周长和面积依次为

$$L_r = L + 2\pi r, \quad F_r = F + Lr + \pi r^2. \quad (1.18)$$

若 ∂K 属于 C^2 类，则根据(1.5)， ∂K_r 的曲率半径是

$$\rho_r = \rho + r. \quad (1.19)$$

对于满足 $r \leq \min \rho$ 的 r 值，就有一个以 $p(\phi) - r$ 为撑函数的凸集，叫做 K 的内平行集，用 K_{-r} 表示。 ∂K_{-r} 的周长和 K_{-r} 的面积可用公式(1.18)表示，但须作代换 $r \rightarrow -r$ 。

常宽集。若对于一切 ϕ ， $\Delta(\phi) = \Delta = \text{常数}$ ，凸集 K 叫做常宽集。这时 $E = \Delta = D$ ，而根据(1.15)， K 的周长就是

$$L = \pi \Delta. \quad (1.20)$$

此外，若 ∂K 属于 C^2 类，则由(1.5)以及 $\Delta = p(\phi) + p(\phi + \pi)$ ，有

$$\rho(\phi) + \rho(\phi + \pi) = \Delta. \quad (1.21)$$

除圆以外，最简单的常宽凸集是所谓的 **Reuleaux 多边形**。已给一个正 $2n+1$ 边形 ($n=1, 2, \dots$)，若以其顶点为中心以对边为弦作圆弧，则所得诸圆弧构成一个 Reuleaux 多边形。图 1.6 表示

Reuleaux 三角形和Reuleaux五边形。注意一个常宽集的每一个平行集也是常宽集。

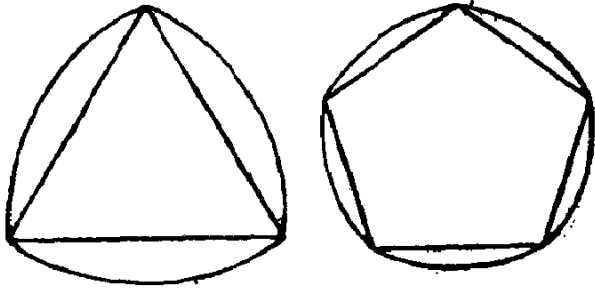


图 1.6

可以证明，每一个直径 $D \leq \Delta$ 的集是一个具有常宽 Δ 的凸集的子集[63，第130页]。

三角凸集。常宽集可以在一个正方形里转动(即一切外接长方形是全等正方形，图1.7)。也有些凸集可以在一个固定正三角形内转动，这等于说，一切外接正三角形全等。这种集叫做三角集。例如图 1.8 里带阴影的纺锤状区域是一个三角集。一个三角集的每一个平行集也是三角集。

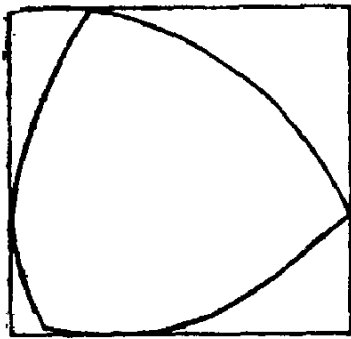


图 1.7

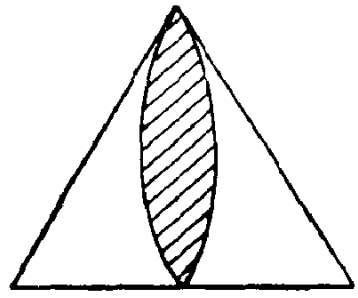


图 1.8

从一正三角形的内点到三边距离之和等于三角形的高，因此，一个三角集的撑函数满足条件 $p(\phi) + p(\phi + 2\pi/3) + p(\phi + 4\pi/3) = h$ 。由这个等式和(1.6)可知，内接于以 h 为高的正三角形的一个三角集的周长是 $L = (2\pi/3)h$ 。

5. 幺球面面积与幺球体体积

在本书内,我们总用 O_n 表示 n 维幺球面的面积而用 κ_n 表示 n 维幺球体的体积。它们的值是

$$O_n = \frac{2\pi^{(n+1)/2}}{\Gamma((n+1)/2)}, \quad \kappa_n = \frac{O_{n-1}}{n} = \frac{2\pi^{n/2}}{n\Gamma(n/2)}. \quad (1.22)$$

其中 Γ 表示 Γ 函数, 它们满足关系

$$\Gamma(n+1) = n\Gamma(n), \quad \Gamma(n) = (n-1)! \quad (n \text{ 为整数}), \quad \Gamma\left(\frac{1}{2}\right) = \sqrt{\pi}. \quad (1.23)$$

例如

$$O_0 = 2, \quad O_1 = 2\pi, \quad O_2 = 4\pi, \quad O_3 = 2\pi^2,$$

$$\kappa_1 = 2, \quad \kappa_2 = \pi, \quad \kappa_3 = \frac{4}{3}\pi.$$

6. 注记与练习

(1) 关于凸集的极小问题。一个凸集的面积 F , 周长 L , 直径 D , 和幅度 E 之间, 有若干不等式, 其中的一些如下:

$$\begin{aligned} L^2 &\geq 4\pi F, \quad \sqrt{3}F \geq E^2, \quad L \geq \pi F, \quad 2F \geq ED, \\ L &\geq 2(D^2 - E^2)^{1/2} + 2E \arcsin(E/D), \\ L &\leq 2(D^2 - E^2)^{1/2} + 2D \arcsin(E/D), \\ 2F &\leq E(D^2 - E^2)^{1/2} + D^2 \arcsin(E/D), \\ 4F &\leq 2EL - \pi E^2. \end{aligned}$$

还不知道一组完备的不等式都包括什么。在每一款中, 确定满足等式的点集, 一般是困难的课题。若要查阅关于这个问题的文献及系统论述, 可看论文: Kubota 与 Hemmi[349], Ohmann[462], Santaló[576], Sholander[606]. 关于凸集的一些结果可看专著 Convexity (V. Klee 主编; Amer. Math. Soc, Providence, R.I., 1963).

(2) 配极凸集. 设 K 为平面上一个有界凸集. 设 O 为 K 的一个内点, P 是从 O 出发, 在方向 ϕ 上, K 的一个边界点. 函数 $h^*(\phi) = |OP|^{-1}$ 是一个凸集 K^* 的撑函数, K^* 称为 K 对于 O 的配极集. 配极凸集对于数的几何有若干应用(见 C.G. Lekerkerke, [301] 和 Cassels[92] 两书). 我们叙述以下性质:

(a) 混合面积 $F_{12}(K, K^*)$ 满足不等式 $F_{12}(K, K^*) \geq \pi$; 当 K 为以 O 为中心的圆时, 而且只有这时候, 等式成立.

(b) 若 K 有对称中心 O , 则面积 $F(K)$ 和 $F(K^*)$ 满足不等式

$$\pi^2/2 \leq F(K) \cdot F(K^*) \leq \pi^2. \quad (1.24)$$

对于不一定是凸的闭曲线, 其极角是弧长的单调函数, Guggenheimer[255]研究了仿射不变量 $F(K) \cdot F(K^*)$, 并把它应用于与微分方程的周期解有关的不等式. 关于平面上的凸曲线, 参看 Heil[296], 关于对微分方程的应用, 参看[445]—[448].

不等式(1.24)可以推广到 n 维欧氏空间 E_n 里的中心对称集. 用 $V(K)$, $V(K^*)$ 表示它们的体积, 则

$$\kappa_n^2 n^{-n/2} \leq V(K) \cdot V(K^*) \leq \kappa_n^2, \quad (1.25)$$

其中 κ_n 是 E_n 里么球的体积(1.22). 不等式(1.25)源出于 Mahler[387], 而为 Bambah[19]和 Santaló[556]所改进. (1.25)中右边的不等式对于一切凸集, 不限于中心对称集, 是最佳的, 而对于以 O 为中心的 n 维椭球, 等式成立. 对于中心对称体, (1.25)中左边等式成立的充要条件是 K 为平行超体或交叉多胞体. Mahler 猜想: 对于任意凸体 K , $V(K) \cdot V(K^*) \geq 4^n n!$ (等式成立的充要条件是 K 为单纯形), 但这个不等式尚未证明. 某些改进可以在 Dvoretzky 与 Rogers[157]和 Guggenheimer[258]中找到. 对于数的几何的应用, 见[361, 104—110页]. 仿射不变量 $V(K^*)$ 在仿射积分几何里有一种清楚的几何意义, 这一点我们在第十一章第二和第三节里将看到.

练习1 设 K 为凸集, 它的边界 ∂K 属于 C^1 类. 假定 ∂K 有

正向, 对于 ∂K 的每一点 A , 作弦 AB , 使 AB 同在 A 点的切线作固定角 θ . 假定 K 具有性质 $|AB| = \lambda = \text{常数}$. 证明 ∂K 的长是 $L = \lambda / \sin \theta$. 若 K 是常宽集而 $\theta = \pi/2$, 则 λ 为宽度而这个公式化为 (1.20).

练习2 设 ∂K 为属于 C^1 类的闭凸线. 假定经过 K 每一点 A 有一条具有已给长度 $|AB| = \lambda$ 的弦, 在每一条这样的弦上取一点 X , 使 $|AX| = a$, $|XB| = b$ ($a + b = \lambda$). 证明 ∂K 与 X 所描的曲线之间的面积是 πab (与 ∂K 无关). 这个结果叫做 Holditch 定理.

练习3 若垂直于方向 ϕ_0 的撑线含有 ∂K 的一个线段 P_1P_2 (图1.9), 证明撑函数 $p(\phi)$ 在 ϕ_0 没有导数, 但有右导数 $p'_+(\phi_0)$ 和左导数 $p'_-(\phi_0)$, 而且 $p'_+(\phi_0) = HP_1$, $p'_-(\phi_0) = HP_2$, 其中 H 是从 O 到撑线的垂足.

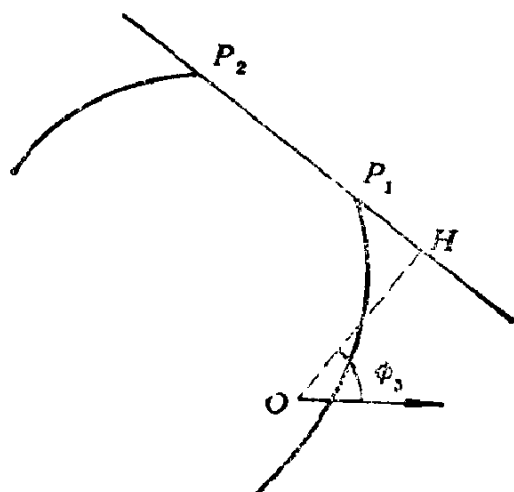


图 1.9

第二章 平面里的点集与 Poisson 过程

1. 点集的密度

设 x, y 表示平面里的直角笛卡尔坐标。在积分几何和几何概率中, 一个点集 X 的测度是指在这个点集上, 一个微分齐式 $\omega = f(x, y)dx \wedge dy$ 的积分(假定按 Lebesgue 的意义这个积分存在), 其中函数 $f(x, y)$ 是遵照下面条件选择的: 测度 $m(X)$ 在平面运动群下不变。

我们将始终采用外微积的记号和定则, 这些可以在任何现代的微积分或微分几何书中看到(例如 Fleming[204], Flanders [201, 202], Loomis 与 Sternberg[368], 以及 H.Cartan[91])。

设 \mathfrak{M} 为平面里的运动群。在一个直角笛卡尔坐标系里, 一个运动 $u \in \mathfrak{M}$ 的方程是

$$x' = x \cos a - y \sin a + a, \quad y' = x \sin a + y \cos a + b, \quad (2.1)$$

其中 (a, b) 是 u 的平移分量而 a 是 u 的转角。

我们需要求一个函数 $f(x, y)$, 使对于任意点集 X , 测度

$$m(X) = \int_X f(x, y) dx \wedge dy$$

在 \mathfrak{M} 下不变。若 $X' = uX$ 为 X 经过运动 u 后的象, 则由于 $dx \wedge dy = dx' \wedge dy'$, 我们有

$$\begin{aligned} m(X') &= \int_{X'} f(x', y') dx' \wedge dy' \\ &= \int_X f(x', y') dx \wedge dy. \end{aligned} \quad (2.2)$$

而根据对于任意 $X, m(X') = m(X)$ 的条件, 可知对于一切对应的点偶 $(x, y) \rightarrow (x', y')$, $f(x', y') = f(x, y)$ 。由于任意点 x, y 可以经过运动变到任意另一点 (x', y') (即运动群对于点是可迁的),

可见 $f(x, y) = \text{常数}$ 。由此可见下面定义是合理的：

平面里，点 $P(x, y)$ 的一个集合的测度用微分齐式

$$dP = dx \wedge dy \quad (2.3)$$

在该点集上的积分确定， dP 称为点密度。

显然，除一个常数因子外，这是在运动下唯一不变的密度。

与此类似，对于 n 个彼此独立的点 P_1, P_2, \dots, P_n 所构成的 n 点组的集合，我们可以叙述如下定义：

平面里独立的 n 点组 $P_i(x_i, y_i), i = 1, 2, \dots, n$ 所构成的集合的密度是

$$dP_1 \wedge dP_2 \wedge \dots \wedge dP_n, \quad (2.4)$$

其中 $dP_i = dx_i \wedge dy_i$ 。除一个常数因子外，这个密度是唯一的。

对于密度(2.3)和(2.4)，我们总是取它们的绝对值。

若 P 点是用另一种坐标 ξ, η 确定的，它们和直角坐标 x, y 的关系是 $x = h(\xi, \eta)$ ， $y = g(\xi, \eta)$ ，点密度可以写成

$$dP = dx \wedge dy = |J| d\xi \wedge d\eta,$$

其中 J 是雅科比行列式 $J = h_\xi g_\eta - h_\eta g_\xi$ 。

设 X 为一个集合(点集或 n 点组的集)，而 $Y \subset X$ 。有了点集和 n 点组的集的定义后，若已经知道一个随机元素(点或 n 点组)在 X 里，就可以确定它在 Y 里的概率，这个概率的定义是

$$p = \frac{m(Y)}{m(X)}. \quad (2.5)$$

下面我们需用的关于几何概率的概念，见于 Deltheil[144]，M.G.Kendall 与 P.A.P Moran[335]，M.I.Stoka 与 R.Theodorescu[654]。一个公理化的构造见 Hadwiger[275] 或 Rényi[501, 503]。

2. 初始的积分公式

我们将按照 Crofton[132, 133]和 Lebesgue[357]的款式，给一个例来说明，密度 $dP = dx \wedge dy$ 在不同坐标系里的简单计算可

以给出关于平面里凸集的一些值得注意的积分公式.

设 K_1, K_2 为两个有界凸集. 它们相对于点 O_1, O_2 的撑函数是 $p_1(\phi_1), p_2(\phi_2)$. 假定每一条撑线和相应的凸集只有一个公共点. 设 $\tau_i = \phi_i + \pi/2 (i=1, 2)$ 为垂直于方向 ϕ_i 的撑线方向 (图 2.1). 撑线的方程是

$$(x - x_i)\sin\tau_i - (y - y_i)\cos\tau_i - p_i = 0 \quad (i=1, 2), \quad (2.6)$$

其中 x_i, y_i 为 O_i 的坐标.

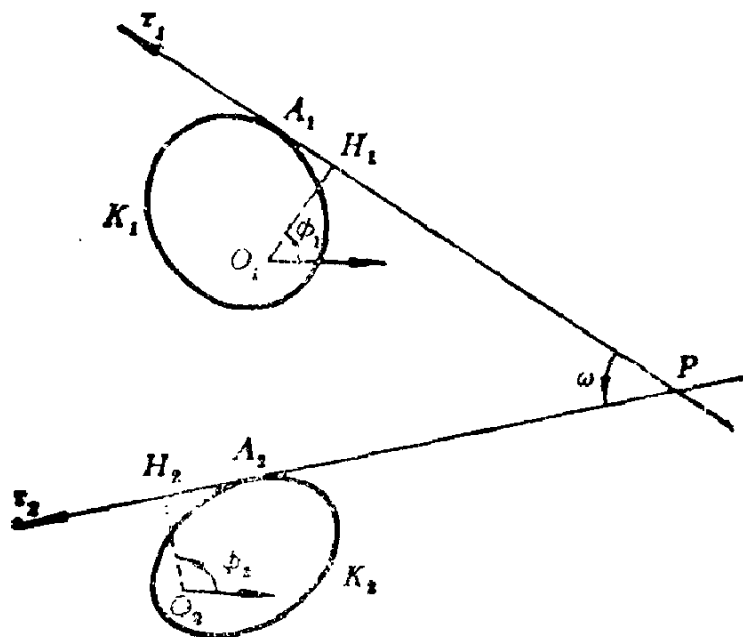


图 2.1

这两条撑线(2.6)的交点 P 的坐标是方程组(2.6)的解. 我们要用 τ_1, τ_2 来表示密度 dP . 对(2.6)微导, 得

$$\sin\tau_i dx - \cos\tau_i dy = -t_i d\tau_i, \quad (2.7)$$

其中 t_i 表示从 P 到切点 A_i 的切线长. 这是因为 $(x - x_i)\cos\tau_i + (y - y_i)\sin\tau_i = H_i$ 是 $O_i P$ 在撑线上的投影, 因为按照(1.4)有

$$dp_i/d\tau_i = H_i A_i.$$

取(2.7) $i=1, 2$ 的外积, 得

$$dP = dx \wedge dy = \frac{t_1 t_2}{\sin(\tau_2 - \tau_1)} d\tau_1 \wedge d\tau_2$$

或

$$d\tau_1 \wedge d\tau_2 = \frac{\sin(\tau_2 - \tau_1)}{t_1 t_2} dP. \quad (2.8)$$

现对 τ_1 和 τ_2 的一切值取这个等式两边的积分。在左边得 $4\pi^2$ 。在右边，注意经过在 K_1, K_2 外的每一点 P ，有两条 K_1 的撑线，两条 K_2 的撑线。设 t_1, t'_1 和 t_2, t'_2 为从 P 到相应的切点的撑线长，而令 (t_1, t_2) 表示撑线 t_1 和 t_2 之间的角。对于每一点 P ，有以下的和

$$\frac{\sin(t_1, t_2)}{t_1 t_2} + \frac{\sin(t_1, t'_2)}{t_1 t'_2} + \frac{\sin(t'_1, t_2)}{t'_1 t_2} + \frac{\sin(t'_1, t'_2)}{t'_1 t'_2}. \quad (2.9)$$

因而就有积分公式

$$\int_{P \notin K_1, K_2} \left[\frac{\sin(t_1, t_2)}{t_1 t_2} + \frac{\sin(t_1, t'_2)}{t_1 t'_2} + \frac{\sin(t'_1, t_2)}{t'_1 t_2} + \frac{\sin(t'_1, t'_2)}{t'_1 t'_2} \right] dP = 4\pi^2, \quad (2.10)$$

其中的积分是对于 K_1, K_2 外面的一切点取的。

公式(2.10)包括一些特例：

(a) 若 $K_1 \equiv K_2 \equiv K$ 而令 t, t' 为 PA_1, PA_2 的长(图2.2)，则 $t = t_1 = t_2, t' = t'_1 = t'_2$ 而 $(t_1, t_2) = (t'_1, t'_2) = 0, (t_1, t'_2) = (t'_1, t_2) = \omega = A_1 P A_2$ 角。于是

$$\int_{P \notin K} \frac{\sin \omega}{t t'} dP = 2\pi^2. \quad (2.11)$$

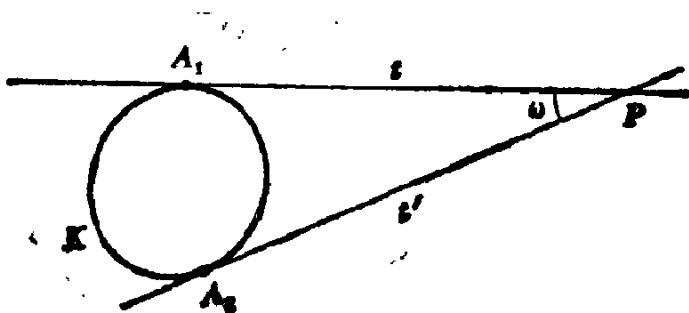


图 2.2

(b) 若凸集 K 的边界 ∂K 有连续曲率半径 ρ , 令 $\rho_i (i=1, 2)$ 为在切点 A_i 的曲率半径, 则 $\rho_i d\tau_i = ds_i$, 其中 ds_i 是 K 的边界在 A_i 的弧元. 于是公式(2.8)可以写成

$$\frac{\sin \omega}{tt'} \rho_1 dP = ds_1 \wedge d\tau_2 \text{ 或 } \frac{\sin \omega}{tt'} \rho_1 \rho_2 dP = ds_1 \wedge ds_2. \quad (2.12)$$

(c) 对于 K 外一切点取积分, 注意每一点属于两条撑线, 得

$$\int_{P \notin K} \frac{\sin \omega}{tt'} (\rho_1 + \rho_2) dP = 2\pi L, \quad \int_{P \notin K} \frac{\sin \omega}{tt'} \rho_1 \rho_2 dP = \frac{1}{2} L^2. \quad (2.13)$$

最后一项中出现因子 $\frac{1}{2}$, 因为把 s_1, s_2 交换时, 得到同一点 P .

练习 证明更一般的公式

$$\int_{P \notin K} \frac{\sin^m \omega}{tt'} dP = \frac{2\Gamma(m/2)}{\Gamma[(m+1)/2]} \pi^{3/2},$$

$$\int_{P \notin K} \frac{\sin^m \omega}{tt'} (\rho_1 + \rho_2) dP = \frac{2\Gamma(m/2)}{\Gamma[(m+1)/2]} \sqrt{\pi} L. \quad (2.14)$$

类似公式为 Czuber[135], Masotti-Biggiogero[393]—[395], 和 Stoka[647]所给出.

3. 三点组的集合

设 $P_i(x_i, y_i)$, $i=1, 2, 3$, 为平面里三个独立的点. 假定它们不共线, 设 $Q(\xi, \eta)$ 为三角形 $P_1P_2P_3$ 的外心, 而 (R, a_i) 为 P_i 对于 Q 的极坐标 (R 为三角形 $P_1P_2P_3$ 的外接圆半径). 我们有

$$x_i = \xi + R \cos a_i, \quad y_i = \eta + R \sin a_i. \quad (2.15)$$

令 $dP_i = dx_i \wedge dy_i$, $dQ = d\xi \wedge d\eta$, 经过简捷了当的计算, 就得到下面关于平面上三点组的密度.

$$dP_1 \wedge dP_2 \wedge dP_3 = R^3 |S| dQ \wedge dR \wedge da_1 \wedge da_2 \wedge da_3, \quad (2.16)$$

其中

$$\begin{aligned}
 S &= \sin(\alpha_2 - \alpha_1) + \sin(\alpha_3 - \alpha_2) + \sin(\alpha_1 - \alpha_3) \\
 &= -4 \sin \frac{(\alpha_2 - \alpha_1)}{2} \sin \frac{(\alpha_3 - \alpha_2)}{2} \sin \frac{(\alpha_1 - \alpha_3)}{2}. \quad (2.17)
 \end{aligned}$$

注意 $\frac{1}{2}R^2S$ 是三角形 $P_1P_2P_3$ 的面积 T , 就得

$$\begin{aligned}
 dP_1 \wedge dP_2 \wedge dP_3 &= 2RT dQ \wedge dR \wedge d\alpha_1 \wedge d\alpha_2 \wedge d\alpha_3 \\
 &= 2(T/S) dQ \wedge dT \wedge d\alpha_1 \wedge d\alpha_2 \wedge d\alpha_3. \quad (2.18)
 \end{aligned}$$

令 $C \equiv C(P_1, P_2, P_3)$ 表示三角形 $P_1P_2P_3$ 的外接圆盘. 已给一个半径等于 ρ 的三角形 C_ρ , 考虑 C 在 C_ρ 内的一切有序三点组 P_1, P_2, P_3 所构成的集合. 若令 r, ϕ 为 Q 相对于 C_ρ 的中心的极坐标, 则根据(2.16), 这个集合的度量是

$$\begin{aligned}
 m(P_1, P_2, P_3; C \subset C_\rho) &= \int_0^{2\pi} d\phi \int_0^\rho (\rho - r)^4 r dr \int_0^{2\pi} d\alpha_1 \int_0^{2\pi} d\alpha_2 \int_{\alpha_2}^{2\pi} |S| d\alpha_3 \\
 &= \frac{\pi^3 \rho^6}{5}. \quad (2.19)
 \end{aligned}$$

若只考虑 $C \subset C_\rho$ 而且 $P_1P_2P_3$ 是锐角三角形的三点组 P_1, P_2, P_3 , 则这些三点组集合的度量是

$$\begin{aligned}
 &\int_0^{2\pi} d\phi \frac{1}{4} \int_0^\rho (\rho - r)^4 r dr \int_0^{2\pi} d\alpha_1 \int_{\alpha_1}^{\alpha_1 + \pi} d\alpha_2 \int_{\alpha_1 + \pi}^{\alpha_1 + 2\pi} |S| d\alpha_3 \\
 &= \frac{\pi^3 \rho^6}{10}.
 \end{aligned}$$

因此, 在 $C \subset C_\rho$ 的三点组的集合中, 三点组构成锐角三角形的概率是 $1/2$. 取 $\rho \rightarrow \infty$ 时的极限, 可知平面里随机三角形为锐角三角形的概率(按密度(2.16))是 $\frac{1}{2}$ (参看 R.E.Miles[411]). Richard[510]证明了, 在一个面积等于 F 的区域里, 三个随机点所构成的三角形 $P_1P_2P_3$ 的周长 L 的概率密度函数是 $(4\pi^2/21F^2) L^3 dL$ (F 充分大时的渐近值).

4. 齐次平面 Poisson 点过程

设 D_0, D 为平面上两个区域, $D \subset D_0$. 设 F_0, F 依次为 D_0, D 的面积. 按密度 $dP = dx \wedge dy$, D_0 的一个随机点位于 D 内的概率是 F/F_0 . 若在 D_0 随意选取 n 点, 则恰好有 m 点位于 D 内的概率是(二项分布)

$$p_m = \binom{n}{m} \left(\frac{F}{F_0} \right)^m \left(1 - \frac{F}{F_0} \right)^{n-m}. \quad (2.20)$$

若 D_0 扩大成整个平面, n 无限增加, 而且 $n, F_0 \rightarrow \infty$ 时, $n/F_0 \rightarrow \rho$, ρ 是一个正常数, 则

$$\lim p_m = \frac{(\rho F)^m}{m!} e^{-\rho F}. \quad (2.21)$$

(2.21)右边是 Poisson 分布的概率函数; 它只依赖于乘积 ρF , 而 ρF 叫做分布的参数. 这个关于平面上的点的概率模型叫做一个具有强度 ρ 的齐次平面 Poisson 点过程. 它的特性是, 在每一个区域 D 内的点数是一个只依赖于面积 F 的随机变量(不依赖于 D 的形状或 D 在平面的位置), 它具有分布(2.21). 关于 n 维空间中随机点过程, 特别是关于 Poisson 过程的一个系统的探讨, 见于 J.R. Goldman[232]. 从积分几何的观点看, 最重要的应用是 R.E. Miles 的成果[411]. 下面是这篇论文中的一些结论.

(1) 设 $\Gamma_0(\nu, \lambda) (\theta > 0, \lambda > 0, \nu > 0)$ 表示所谓的 Γ 分布, 它有概率密度函数

$$f(x) = \theta \lambda^{\nu/\theta} x^{\nu-1} \frac{\exp(-\lambda x^\theta)}{\Gamma(\nu/\theta)}, \quad x \geq 0, \quad (2.22)$$

其中 Γ 是满足关系(1.23)的 Γ 函数. 这就是说, 随机变量介乎 x 与 $x+dx$ 之间的概率是 $f(x)dx$, 因而

$$\int_0^\infty f(x)dx = 1. \quad (2.23)$$

这个分布的矩是

$$\mu_k = \left\{ \frac{\Gamma[(\nu + k)/\theta]}{\Gamma(\nu/\theta)} \right\} \lambda^{-k/\theta}, \quad k = 1, 2, \dots \quad (2.24)$$

特殊地, x 的期望值是

$$E(x) = \mu_1 = \left\{ \frac{\Gamma[(\nu + 1)/\theta]}{\Gamma(\nu/\theta)} \right\} \lambda^{-1/\theta}. \quad (2.25)$$

把一个 Poisson 过程的点叫做粒子, 考虑以粒子 P_1, P_2, P_3 为顶点而含有恰好 m 个粒子在内的三角形的集合 $C(m)$. 设 $P_1 P_2 P_3$ 为这样一个三角形, 而 T 为其面积. 按照概率恒等式 $\text{prob}(\text{面积为 } T, \text{含 } m \text{ 个粒子在内}) = \text{prob}(\text{面积为 } T) \times \text{prob}(\text{假定面积为 } T, \text{含 } m \text{ 个粒子在内})$, 并利用(2.18)和(2.21), 就得以一个 Poisson 过程的粒子为顶点, 具有面积 T , 而含有恰好 m 个粒子在内的三角形的概率密度函数

$$f_m(T) = K_m \frac{(\rho T)^m}{m!} e^{-\rho T}, \quad m = 0, 1, 2, \dots, \quad (2.26)$$

其中 K_m 是通过条件(2.23)可以确定的常数. 其结果是 $K_m = \rho^2/(m+1)$. 于是有:

在一个强度为 ρ 的齐次平面 Poisson 点过程中, 含有恰好 m 个粒子在内的三角形的面积分布是 $\Gamma_1(m+2, \rho)$.

特殊地, 空三角形($m=0$)的平均面积是 $E(T_0) = 2/\rho$.

(2) 现在考虑三角形 $P_1 P_2 P_3$ 的外接圆盘的半径 R . 按照(2.16), R 的概率密度函数和 R^3 成正比, 因此, 含有恰好 m 个粒子在内的圆盘(它边界上的粒子不计算在内)半径的概率密度函数可以写成 $K_m^* (\rho \pi R^2)^m [\exp(-\rho \pi R^2)/m!] R^3$ 的形状. 条件(2.23)给出 $K_m^* = 2(\pi \rho^2)^2/(m+1)$, 于是得

在一个具有强度 ρ 的齐次平面 Poisson 点过程中, 设 R_m 为含恰好 m 个粒子的三角形 $P_1 P_2 P_3$ 的外接圆盘半径, 则 R_m 的分布是 $\Gamma_2(2m+4, \pi \rho)$.

这样, R_0 的平均值是 $E(R_0) = 3/2\sqrt{\rho}$. 要得到细节和更完备的结果, 请看 Miles 的论文[411].

Krickeberg 研究了别的点过程, 例如所谓的 Cox 过程或双随机 Poisson 过程. 在研究几何变换群下具有不变性质的点过程中, Cox 过程起重要作用(见 Krickeberg 的论文[345, 346]). 有关问题可以在 Matheron 的书[401a]里找到.

(3) 随机拼嵌.^① 一个拼嵌是(以凸多边形为边界的)胞腔集合, 这些胞腔拼接在一起, 没有重叠地覆盖 E_n . 对欧氏平面和双曲平面上的规则拼嵌曾经有过探讨, 例如 Coxeter[128, 130]. 问题是给出随机拼嵌的定义. 我们将考虑齐性平面 Poisson 点过程所产生的某些随机拼嵌.

已给点 x , 用 $P_i(x)$ 表示和 x 第 i 个最近的粒子, 并规定以下等价关系: 若对于 $i = 1, 2, \dots, n$, $P_i(x) = P_i(y)$, 则 x 和 y 称为等价. 对于某些点, 第 i 个最近粒子可能不唯一存在, 除此以外, 这个等价关系把整个平面分割成互不相交的等价点构成的集合, 这些点集几乎肯定是有界凸多边形. 这些多边形构成平面的一个随机拼嵌, Miles[411]用 V_n^* 表示它.

若对于 x , 和 x 最近的 n 个粒子是唯一确定的, 则这 n 个粒子的集合称为 x 的邻近 n 组. 于是又有一个等价关系: 若 x 和 y 有相同的邻近 n 组, 则称为等价. 这个等价关系所产生的拼嵌用 V_n 表示. 显然 V_n 的每个胞腔是 V_n^* 的不相交胞腔的并集, 因而 V_n^* 是 V_n 的一个细分. 若 $n = 1$, 则 $V_1^* = V_1$, 这时得到的是所谓 Veronoi 拼嵌, 它可以在 E_n 内推广(见[704]).

对于一个拼嵌的每一个胞腔, 我们可以确定面积 A , 顶点数 N , 以及周长 L . 对 V_n 和 V_n^* , Miles 给出了这些纯量的下列中值.

(a) 对于 V_n ,

① Tessellations. — 译者

$$E(A) = [(2n-1)\rho]^{-1}, \quad E(N) = 6,$$

$$E(L) = \frac{(2n)!}{n!(n-1)!(2n-1)2^{2n-2}\rho^{1/2}} \sim \frac{4}{(\pi n\rho)^{1/2}}.$$

(b) 对于 V_* ,

$$E(A) = \{n[2n-1 + (64/9\pi^2)(n-1)(n-2)]\rho\}^{-1} \sim \frac{9\pi^2}{64n^3\rho},$$

$$E(N) = \frac{54\pi^2 n + 256(n-1)(n-2)}{9\pi^2(2n-1) + 64(n-1)(n-2)} \sim 4,$$

$$E(L) = \frac{2 \sum_1^{\infty} [(2m)!/m!(m-1)!2^{2m-2}]}{2[2n-1 + (64/9\pi^2)(n-1)(n-2)]\rho^{1/2}} \sim \frac{3}{4} \left(\frac{\pi^3}{n^3\rho} \right)^{1/2},$$

其中 \sim 表示 $n \rightarrow \infty$ 时的渐近。

除了对于 V_* , $E(A^2) = 1.280\rho^{-2}$ 之外, 更高阶的矩尚属未知。若 ν 表示 V_n 的一个胞腔所含 V_* 的胞腔个数, 上面结果给出

$$E(\nu) = n \left(1 + \frac{64(n-1)(n-2)}{9\pi^2(2n-1)} \right) \sim \frac{32n^2}{9\pi^2}.$$

关于 Voronoi 拼嵌, Crain[130]利用 Monte Carlo 方法估计了 $N^2, N^3, N^4, L^2, L^3, A^2, A^3$ 的期望值。Matschinski 报导了有关随机拼嵌的一些有趣的理论和实验结果([403], 以及所附文献); 还可参看 Ambarcumjan 的论文[8,9]。关于 E_3 里的随机拼嵌, 见第16章第4节注记9。

5. 注记

(1) 一些经典的积分公式。(a) 设 K 为平面上一个有界凸集, 并考虑两条固定的交角为 $\alpha (0 \leq \alpha \leq \pi)$ 的撑线(图2.3)。这两条撑线把 K 外那部分平面分成五个区域 R_1, R_2, R_3, R_4, R_5 如图2.3。若 I_i 表示在 R_i 上 $(\sin \omega/tt')dP$ 的积分, 其中 t, t' 为从 P 到切点的撑线长, 可以证明下列公式:

$$I_1 = \frac{1}{2}\alpha^2, \quad I_2 = \frac{1}{2}(\pi - \alpha)^2,$$

$$I_3 = I_5 = \frac{1}{2}(\pi^2 - \alpha^2), \quad I_4 = \frac{1}{2}\pi^2 + \pi\alpha.$$

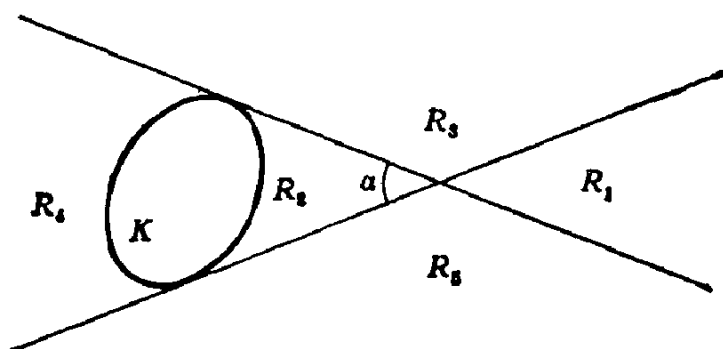


图 2.3

这些公式是 Crofton[132,133]和 Czuber[134]的工作, 它们对任意 $\alpha(0 \leq \alpha \leq \pi)$ 都是正确的. 注意 $I_1 + I_2 + I_3 + I_4 + I_5 = 2\pi^2$, 这是按照(2.11)可以预料的.

(b) 设 K 为有界凸集. 经过 K 外一点, 可以作两条撑线, 设 ω 为它们的夹角. 若 ω 为常数, 例如 $\omega = \omega_0$, 则那些点构成一条闭凸曲线 C . 证明: 在 C 与 K 之间的环形域上, $(\sin \omega / tt')dP$ 的积分值是 $2\pi(\omega - \omega_0)$ [135].

(c) 假定 t, t' 和 ω 具有与(a), (b)中相同的意义, 可以证明下面公式[394]:

$$\int_{P \notin K} \omega^2 \left(\frac{1}{t} + \frac{1}{t'} \right) dP = 8\pi L \log 2,$$

$$\int_{P \notin K} \sin^2 \omega \left(\frac{1}{t} + \frac{1}{t'} \right) dP = 2\pi L.$$

(2) 随机三角形为钝角三角形的概率. 设 $p(L)$ 为在一个具有边长 $1 \times L$ 的长方形内三个随机点构成钝角三角形的概率, 则有 Langford[355]的结果: 若 $1 \leq L \leq 2$, 则

$$p(L) = \frac{1}{3} + \frac{47}{300} \left(L^2 + \frac{1}{L^2} \right) + \frac{\pi}{80} \left(L^3 + \frac{1}{L^3} \right) - \frac{\log L}{5} \left(L^2 - \frac{1}{L^2} \right);$$

若 $L \geq 2$, 则

$$p(L) = \frac{1}{3} + \frac{1}{L^2} \left(\frac{\pi}{80L} + \frac{47}{300} + \frac{\log L}{5} \right) \\ + \left(\frac{L^2}{10} - \frac{3}{5L^2} \right) \log \frac{L + (L^2 - 4)^{1/2}}{L - (L^2 - 4)^{1/2}} + \frac{L^3}{40} \arcsin \frac{2}{L} - \frac{L^2 \log L}{5} \\ + \frac{47L^2}{300} + \frac{L(L^2 - 4)^{1/2}}{150} \left(-31 + \frac{63}{L^2} + \frac{64}{L^4} \right).$$

当长方形为正方形时, $L = 1$,

$$p(1) = (97/150) + (\pi/40) = 0.7252.$$

和第 3 节的结果比较, 它们有矛盾吗?

(3) 关于 n 个随机点的凸包. 设 K 为凸集, 它的边界属于 C^2 类. 设 $\kappa = \kappa(s)$ 为 ∂K 的曲率, 它满足不等式 $0 < \kappa < M$, 其中 M 是常数. 设 H_n 为 K 内 n 个随机给定的点的凸包; 设 F_n 为 H_n 的面积而 L_n 为其边界长. 关于 F_n 和 L_n 的期望值, Rényi 和 Sulanke[504] 证明了下列公式:

$$E(F_n) = F - \frac{\Gamma(8/3)(12F)^{2/3}Q_{1/3}}{10n^{2/3}} + O\left(\frac{1}{n}\right),$$

$$E(L_n) = L - \frac{\Gamma(2/3)(12F)^{2/3}Q_{4/3}}{12n^{2/3}} + O\left(\frac{1}{n}\right),$$

其中 F 和 L 依次是 K 的面积和周长, 而

$$Q_m = \int_0^L \kappa^m ds.$$

关于 H_n 的顶点数 ν , 则有

$$E(\nu) \sim \Gamma\left(\frac{5}{3}\right)\left(\frac{2}{3}\right)^{1/3} (F^{-1/3}Q_{1/3})n^{1/3}.$$

若 ∂K 不属于 C^2 类, 计算较复杂. 对于边长为 a 的正方形, 结果是

$$E(F_n) = a^2 - \frac{8a^2 \log n}{3n} + O\left(\frac{1}{n}\right),$$

$$E(L_n) = 4a - \frac{a(2-q)(2\pi)^{1/2}}{n^{1/2}} + O\left(\frac{1}{n}\right),$$

其中 q 为常数

$$q = \int_0^1 \frac{[(1+t^2)^{1/2} - 1]}{t^{3/2}} dt,$$

现在考虑 K 是具有 r 个顶点的凸多边形的情况, 凸包 H_n 的顶点数 ν 的期望值是

$$E(\nu) = \frac{2r}{3}(\log n + C) + \frac{2}{3} \log \left(F^{-r} \prod f_i \right) + o(1),$$

其中 $C = 0.5772 \dots$ 是 Euler 常数, F 是 K 的面积, 而 f_i 表示三角形 $A_{i-1}A_iA_{i+1}$ 的面积, 其中 A_1, A_2, \dots, A_r 是按次序排列的 K 的顶点. 例如, 若 K 是三角形, 则有 $E(\nu) = 2(\log n + C) + o(1)$ 与三角形的形状无关. 乘积 $F^{-r} \prod f_i$ 是 K 的一个仿射不变量, 当 K 是正多边形时, 它达到最大值. 所有这些结果属于 Rényi 与 Sulanke [504].

H. Raynaud [496] 给出了到 m 维空间的某些推广. 例如, 若 K 是 m 维幺球, 而在 K 内取 n 个随机点的凸包, 则当 $m \rightarrow \infty$ 时, 这个凸包(多面形)面数的期望值的无穷大的阶是

$$E(\nu) \sim 2 \frac{\kappa_{m-1}^2 \Gamma[(m^2+1)/(m+1)]}{\kappa_m^2 (m+1)!} \left[(m+1) \frac{\kappa_m}{\kappa_{m-1}} \right]^{\frac{m^2+1}{m+1}} n^{\frac{m-1}{m+1}}$$

其中 κ_i 为 i 维幺球面的体积(1.22).

Efron [160] 和 Geffroy [220, 221] 给出了其它结果. 这些结果和关于 n 点组的集合的均匀密度(2.4)联系着. Rényi 与 Sulanke [504] 探讨了正则分布点的款. Carnal [84] 考虑了较一般的款, 只假定点的分布是旋转对称的. 他研究了在两种情况下的概率问题中, 期望值 $E(\nu)$, $E(L_n)$, $E(F_n)$ 的渐近表现. 设一个随机点 P 到原点 O 的距离 $OP > x$, 他研究的是 $x \rightarrow 1$ 时的情况(在幺圆盘上的分布), 和 $x \rightarrow \infty$ 时的情况(在整个平面上的分布). 还可以

参看[736]。Miles[420]研究了在一个 m 维欧氏球面内，一个随机集的点的多胞凸包具有某个数目的顶的概率。研究随机凸包的另一种途径见 L. D. Fisher[196, 197]。

(4) 一个 Poisson 过程中的最近邻点。设 p_n 为一个 Poisson 过程中，一个点是另外 n 个点的最近邻的概率。以一个已给点为最近邻的点最多是 6 个。这出现在 P 为以那六点为顶点所构成的正六边形的中心的时候。在一个 Poisson 过程中，这样一个格局出现的概率是零。因此， $n \geq 6$ 时， $p_n = 0$ 。 p_n 的准确值未知。利用 Monte Carlo 方法，Roberts[514]得到以下的界值：

$$p_0 < 0.3785, \quad p_2 < p_0, \quad p_n < \frac{p_0}{n-1} < \frac{0.3785}{n-1} \quad (n = 2, 3, 4, 5).$$

直接计算 p_n 时，遇到了至今未能解决的组合问题。

现在考虑平面是一个具有强度 ρ 的齐性 Poisson 点过程。假定每一点是一个线段的终点，线段的正向在二维欧氏球上是均匀的而线段的长则具有分布 $dF(s)$ ($0 \leq s < \infty$)。假定正向和长互不相关。这时，若与线段过程无关地选取一点，则该点与最近的线段终点的距离大于 u 的概率是

$$\exp(-\rho B_2(u)) \quad (0 \leq u < \infty),$$

其中

$$B_2(u) = 2u^2 \left\{ \pi - \int_0^{2u} \left[\arccos \frac{s}{2u} - \frac{s \sqrt{1 - s^2/4u^2}}{2u} \right] dF(s) \right\}.$$

这个结果是 Coleman[121]的。在 n 维欧氏空间 E_n 里，同样问题的概率是 $\exp(-\rho B_n(u))$ ，其中

$$B_n(u) = \left(\frac{2u^n}{n} \right) \left\{ O_{n-1} - O_{n-2} \right. \\ \left. \times \int_0^{2u} \left[\Phi_{n-2}(\alpha) - \left(\frac{s}{2(n-1)u} \right) \left(1 - \frac{s^2}{4u^2} \right)^{(n-1)/2} \right] dF(s) \right\},$$

这里, $\Phi_n(a) = \int_0^a \sin^s x \, dx$, $a = \arccos(s/2u)$, 而 O_h 是 h 维球的面积. 有关的结果见 Holgate[311], Eberhardt[158], 和 Coleman[120].

(5) 直线上的覆盖问题. 设在实数轴的节 $0, L$ 上有 $n-1$ 个独立而均匀分布的点 P_1, P_2, \dots, P_{n-1} . 这 $n-1$ 个点所构成的 $n-1$ 组的密度是 $dx_1 \wedge dx_2 \wedge \dots \wedge dx_{n-1}$, 其中 x_i 是 P_i 的坐标 ($0 \leq x_i \leq L$). 可以证明, $0, x_1, x_2, \dots, x_{n-1}, L$ 诸点所确定的 n 个节中, 恰好有 m 个的长大于 μ ($m\mu \leq L$, $m \leq n$) 的概率是

$$p_{(m)} = \binom{n}{m} \left\{ \left(1 - \frac{m\mu}{L}\right)^{n-1} - \binom{n-m}{1} \left[1 - \frac{(m+1)\mu}{L}\right]^{n-1} + \binom{n-m}{2} \left[1 - \frac{(m+2)\mu}{L}\right]^{n-1} - \dots \right\}, \quad (2.27)$$

其中的和到 $1 - (m+h)\mu/L > 0$ 的最后一项为止 (见 [335]).

特殊地, 在 $m=0$ 的情况下, 就得: 所有的节长不大于 μ ($n\mu \geq L$) 的概率是

$$p_{(0)} = 1 - \binom{n}{1} \left(1 - \frac{\mu}{L}\right)^{n-1} + \binom{n}{2} \left(1 - \frac{2\mu}{L}\right)^{n-1} - \dots + (-1)^r \binom{n}{r} \left(1 - \frac{r\mu}{L}\right)^{n-1} \quad (2.28)$$

其中 r 是满足 $r\mu \leq L$ 的最大整数.

至少 m 个节的长超过 μ ($m\mu \leq L$, $m < n$) 的概率是

$$p_m = \binom{n}{m} \left(1 - \frac{m\mu}{L}\right)^{n-1} - \binom{m}{1} \binom{n}{m+1} \left[1 - \frac{(m+1)\mu}{L}\right]^{n-1} + \binom{m+1}{2} \binom{n}{m+2} \left[1 - \frac{(m+2)\mu}{L}\right]^{n-1} - \dots, \quad (2.29)$$

其中的和继续下去, 但受条件 $(m+h)\mu \leq L$ ($h=0, 1, 2, \dots$) 所限.

若干作者研究了这些问题，其中有 R.A.Fisher[198]；Garwood[214]，他给出了在车辆交通管理问题中的一种应用；Baticle[23]；Levy[365]。还可以参看 Kendall 与 Moran 的书[335]。

现在考虑在直线上具有长度 a 的节的集合。每一个这样的节可以用它的中点(或者它里面任意一个其他固定点)来确定，而具有固定长的节的集合的测度可以确定为它们中点点集的测度。这样，从(2.28)就得到直线上覆盖问题的下面解答：

设 S_0 为直线上具有固定长 L 的一个节。假定有 n 个具有长度 a ($na \geq L$) 而与 S_0 相交的随机节，则它们完全覆盖 S_0 的概率是

$$p = 1 - \binom{n+1}{1} \left(1 - \frac{a}{L+a}\right)^n + \binom{n+1}{2} \left(1 - \frac{2a}{L+a}\right)^n \\ + \dots + (-1)^h \binom{n+1}{h} \left(1 - \frac{ha}{L+a}\right)^n \quad (2.30)$$

其中 h 是满足 $h \leq n+1$, $ha \leq L+a$ 的最大整数。

在圆上的相应问题可以叙述如下[630]：

设在半径为 1 的圆上，取 n 个具有长度 ϕ 的独立而随机的弧，则 $n\phi \leq 2\pi$ 时，它们完全覆盖圆的概率是 0，而 $n\phi \geq 2\pi$ 时，其概率是

$$p_0^* = 1 - \binom{n}{1} \left(1 - \frac{\phi}{2\pi}\right)^{n-1} + \binom{n}{2} \left(1 - \frac{2\phi}{2\pi}\right)^{n-2} - \dots \\ + (-1)^h \binom{n}{h} \left(1 - \frac{h\phi}{2\pi}\right)^{n-h}, \quad (2.31)$$

其中 h 是满足 $h\phi \leq 2\pi$ 的最大整数。

在维数大于 1 的空间里，覆盖问题困难得多，而且一般地还没有准确的解答(见第六章第 7 节)。关于其它覆盖问题，参看 Robbins[512,513]，Takacs[666]，Votaw[705]。

(6) Rényi 的“停车”问题^① [502]。取节 $(0, x)$ ，其中 $x > 1$ 。

① Parking problems.——译者

在它里面，随意选取一个单位长的节。然后，在余下的节里，选第二个单位长的节。照这样下去，直到不再能选单位长的节为止。假定在已给节 $(0, x)$ 里，所取的单位长的节的个数是 N ，问题是求 N 的平均数作为 x 的函数。这个问题显然就是在一条长度为 x 的路上停单位长的车的问题。Rényi的主要结果是，当 $x \rightarrow \infty$ 时，随机地停在一条长度为 x 的路上(单位长)的车的个数 N 和路长 x 之比，其极限是 $C = 0.74759\dots$ 。

这个问题为几个作者所推广。Ney[449]考虑了具有随机长度的车的停车问题。Dvoretzky与Robbins[156]给出了关于 $N(x)$ 的某些极限定理。Mannion[389]证明了当所给节的长度变成无穷大时，它里面停车所占据的部分的方差和 $c_1 x$ 成正比，其中 x 是节长，而 $c_1 = 0.035672$ (参见[440])。关于停车问题以及这个问题到高维情况的推广，Solomon[616, 618]提出了一些建议，并列出了文献。关于二维的款，参看Palasti[467]和Gani[212]。Bernal[28]，Bernal，Masson与Knight[29]以及D.G.Scott[602]研究了三维空间里关于随机空间填充和随机停车的若干问题，主要是联系着具有液体结构的模型。

第三章 平面里的直线集合

1. 直线集合的密度

确定平面里一条直线 G ，我们用垂直于 G 的方向和一个固定方向所作的角 ϕ ($0 \leq \phi \leq 2\pi$) 以及 G 从原点 O 的距离 p ($0 \leq p$)。坐标 p, ϕ 是从原点到直线的垂足的极坐标。这样 G 的方程是 (图 3.1)

$$x \cos \phi + y \sin \phi - p = 0. \quad (3.1)$$

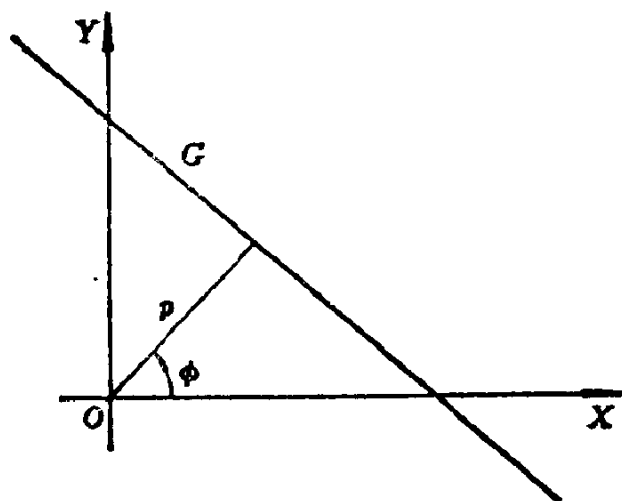


图 3.1

一个直线集合 X 的测度可以用任意具有象

$$m(X) = \int_X f(p, \phi) dp \wedge d\phi \quad (3.2)$$

那样的积分来确定，其中 f 必须遵照某些联系到问题性质的判别标准(或判准)来确定。在积分几何学和几何概率论里，所选的判准要求测度在运动群 Ω 下不变。

经过一个运动 $u(2.1)$, 直线(3.1)变成

$$x \cos(\phi - \alpha) + y \sin(\phi - \alpha) - (p - a \cos \phi - b \sin \phi) = 0.$$

和(3.1)比较, 可见在运动 $u(a, b, \alpha)$ 下, G 的坐标 p, ϕ 按照

$$p' = p - a \cos \alpha - b \sin \alpha, \quad \phi' = \phi - \alpha \quad (3.3)$$

而变换, 故 $dp \wedge d\phi = dp' \wedge d\phi'$. 变换了的集合 $X' = uX$ 的测度是

$$\begin{aligned} m(X') &= \int_{X'} f(p', \phi') dp' \wedge d\phi' \\ &= \int_X f(p - a \cos \alpha - b \sin \alpha, \phi - \alpha) dp \wedge d\phi. \end{aligned} \quad (3.4)$$

若对于任意集合 X , 要求 $m(X) = m(X')$, 则由 (3.2) 和 (3.4) 得 $f(p - a \cos \alpha - b \sin \alpha, \phi - \alpha) = f(p, \phi)$, 而由于这个等式对于一切运动 u 成立, 就得 $f(p, \phi) = \text{常数}$, 选这个常数为 1, 就得:

直线 $G(p, \phi)$ 的一个集合的测度, 用微分齐式

$$dG = dp \wedge d\phi \quad (3.5)$$

在该集合上的积分来确定, 这个微分齐式叫做直线集合(或线集)的密度.

除了一个常数因子外, 这是在运动下不变的唯一密度. 密度(3.5)将总是取绝对值.

我们将给出密度(3.5)的一个直接应用. 设 D 为平面里具有面积 F 的一个区域, G 为和 D 相交的一条直线. 对(3.5)两边乘以弦 $G \cap D$ 的长 σ , 并对一切直线 G 取积分, 则因子 σdp 为 D 的面积元素, 对于任意固定的 $\phi (0 \leq \phi \leq 2\pi)$, 对 dp 的积分是面积 F , 故

$$\int_{G \cap D \neq \emptyset} \sigma dG = \pi F. \quad (3.6)$$

dG 的其他形式. 若直线 G 用不同于 p, ϕ 的其他坐标确定, 则 dG 的形式也不同, 这些其他形式可以通过简单的坐标变换得

到。

(a) 若确定 G 时, 用的是它和 x 轴所作的角 θ 以及它和 x 轴交点的横坐标 x (图3.2), 则

$$p = x \sin \theta, \quad \phi = \theta - \pi/2,$$

因而

$$dG = \sin \theta dx \wedge d\theta. \quad (3.7)$$

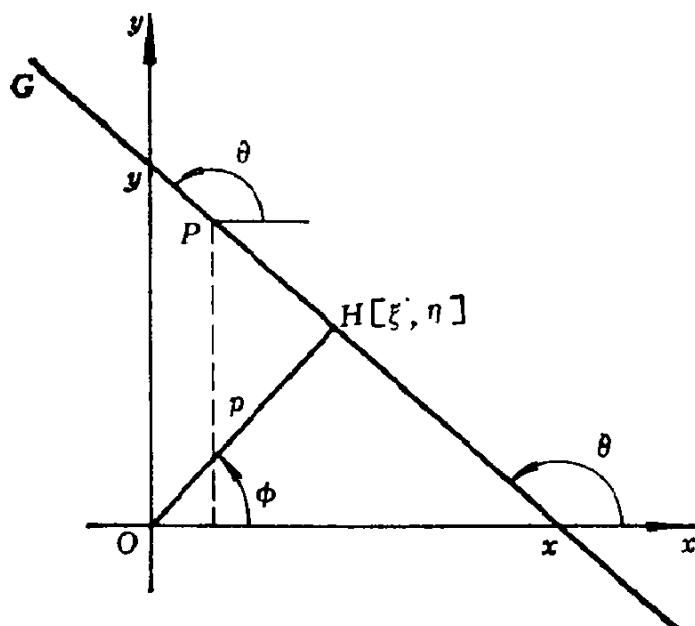


图 3.2

(b) 若 G 用它在坐标轴上的截距确定, 则

$$p = xy(x^2 + y^2)^{-1/2}, \quad \phi = \arctan(x/y),$$

因而

$$dG = \frac{xy}{(x^2 + y^2)^{3/2}} dx \wedge dy. \quad (3.8)$$

(c) 若 G 用写成形状 $ux + vy + 1 = 0$ 的方程中的系数 u, v 确定, 则在(3.8)中, 有

$$x = 1/u, \quad y = -1/v,$$

因而

$$dG = \frac{du \wedge dv}{(u^2 + v^2)^{3/2}}. \quad (3.9)$$

(d) 若 G 用从原点到它的垂足的坐标 ξ, η 确定, 则

$$\xi = p \cos \phi, \quad \eta = p \sin \phi,$$

因而

$$dG = \frac{d\xi \wedge d\eta}{(\xi^2 + \eta^2)^{1/2}}. \quad (3.10)$$

(e) 设 $P(x, y)$ 为 G 的一点, 而 θ 为 G 和 x 轴所作的角. 则有

$$p = x \sin \theta - y \cos \theta, \quad \phi = \theta - \frac{\pi}{2},$$

因而

$$dG = \sin \theta dx \wedge d\theta - \cos \theta dy \wedge d\theta. \quad (3.11)$$

一切这些 dG 的表达式都必须考虑它的绝对值, 因为我们把一切密度看作是正的.

2. 和凸集或曲线相交的直线

我们来求和一个有界凸集 K 相交的线集的测度. 取一点 $O \in K$ 为原点, 而设 $p = p(\phi)$ 为 K 相对于 O 的撑函数. 应用 (3.5) 和 (1.6), 就得

$$m(G; G \cap K \neq \emptyset) = \int_{\partial K \neq \emptyset} dp \wedge d\phi = \int_0^{2\pi} p d\phi = L, \quad (3.12)$$

其中 L 为 ∂K (K 的周长) 的长. 于是有:

和一个有界凸集 K 相交的线集的测度等于 K 的周长.

用几何概率的术语表达, 我们就有:

设 K 为有界凸集, K_1 为含在 K 里的凸集. 若已知随机直线 G 和 K 相交, 则它和 K_1 相交的概率是 $p = L_1/L$, 其中 L, L_1 依次为 K, K_1 的周长.

由 (3.12) 和 (3.6), 还可以推得一条随机直线被一个凸集 K 所截的弦长的平均值

$$E(\sigma) = \pi F/L, \quad (3.13)$$

其中 F 为 K 的面积, L 为其周长.

设 C 为平面上一条逐段可微分的曲线, 具有有限长 L . 设 G 用方程

$$x = x(s), \quad y = y(s) \quad (3.14)$$

确定, 其中 s 为弧长. 设 G 为和 C 相交的直线, 交点为 x, y , G 和曲线在这一点切线作 θ 角. 坐标 s, θ 确定直线 G , 我们要用 s, θ 来表达 dG . 我们有

$$\phi = \theta + \tau - (\pi/2), \quad (3.15)$$

其中 τ 是 C 的切线和 x 轴所作的角.

由于 x, y 是 G 的点, 我们有 $p = x \cos \phi + y \sin \phi$, 因而

$$dp = \cos \phi dx + \sin \phi dy + (-x \sin \phi + y \cos \phi) d\phi.$$

但

$$dx = \cos \tau ds, \quad dy = \sin \tau ds,$$

故

$$dp = \cos(\phi - \tau) ds + (-x \sin \phi + y \cos \phi) d\phi.$$

取和 $d\phi$ 的外积, 得

$$dG = dp \wedge d\phi = \cos(\phi - \tau) ds \wedge d\phi,$$

而根据(3.15), 由于 $d\phi = d\theta + \tau' ds$, 就得

$$dG = |\sin \theta| ds \wedge d\theta, \quad (3.16)$$

其中用了 $|\sin \theta|$. 因为一切密度都是正的.

现在对一切和 C 相交的直线取(3.16)两边的积分. 在右边我们有

$$\int_0^L ds \int_0^\pi |\sin \theta| d\theta = 2L,$$

而在左边, 每一条直线和 C 有多少交点就计算多少次. 设这个数目为 n , 则有

$$\int n dG = 2L, \quad (3.17)$$

其中积分范围是平面上一切直线，对于和 C 不相交的直线， $n = 0$ 。 $n = 2$ 时，我们再次得(3.12)。

我们对于逐段可微分的曲线证明了(3.17)，但它对于任意可求长曲线都成立[377, 51]。(3.17)左边可以作为一个点的连续统的长的定义，叫做连续统的 Favard 长[172, 604]。把(3.17)的积分作为 Lebesgue 积分而不作为 Riemann 积分的重要性见[171]。

公式(3.17)可以用来度量曲线的长。遵照Steinhaus[625, 626]的办法，我们进行如下。在一张透明的材料上，画一族等距离的平行线 $G_i (i = 1, 2, \dots)$ 。把它铺在要量长度的曲线弧 C 上。设 C 和 G_i 交于 n_i 个点， $s_0 = \sum n_i$ 为交点的总数。令透明片作转角 $(k/m)\pi$ ($k = 0, 1, \dots, m-1$)，就得 s_k 个交点，而令总和 $N = \sum_{k=0}^{m-1} s_k$ 。设 a 为 G_i 和 G_{i+1} 之间的距离，就得

$$\frac{N\pi a}{2m} \tag{3.18}$$

作为 C 的长的近似值（因为它是 $\frac{1}{2} \int ndG$ 的近似值）。(3.18)的准确度与 a 和 m 有关。当 $a \rightarrow 0$, $m \rightarrow \infty$ 时，(3.18)趋于 C 的长。Moran 估计了用这个方法产生的误差[427]。

3. 同两个凸集相交或把它们隔开的直线

设 K_1, K_2 为平面里两个有界凸集， L_1, L_2 为它们边界 $\partial K_1, \partial K_2$ 的长。

$K_1 \cup K_2$ 的凸包(一个点集的凸包是含该点集在内的一切凸集的交集)的边界称为 K_1 和 K_2 的外壳^① C_e 。根据直觉，可以认为，这个外壳用一条围绕 K_1 和 K_2 的弹性闭线来表现(图3.3)。设 L_e 为 C_e 的长。若 $K_1 \cap K_2 = \emptyset$ ，象图3.3那样， K_1 和 K_2 还有一个内壳^② C_i ，它用一条围绕 K_1 和 K_2 而在 K_1, K_2 之间的一点 O 交叉

① Exterior cover. — 译者
② Interior cover. — 译者

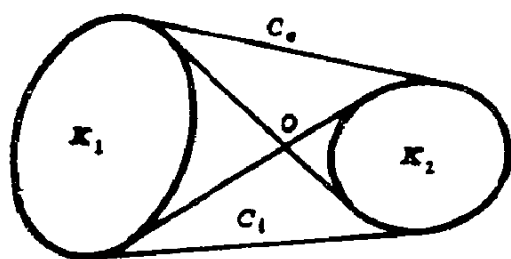


图 3.3

的弹性闭线来表现。设 L_i 为 C_i 的长。

尽管 $\partial K_1, \partial K_2, C_e, C_i$ 有公共弧，我们把它们看成不同的曲线。 $\partial K_1, \partial K_2, C_e$ 的撑线属于测度为零的一个点集，除了这些之外，同 K_1 和 K_2 相交的每一条直线都同曲线 $\partial K_1, \partial K_2$ 和 C_e 各有两个交点，而同 C_i 有四个交点；故共有十个交点。设 m_{10} 为这个线集的测度。

和 K_1 或 K_2 相交但和它们不同时相交的直线同曲线 $\partial K_1, \partial K_2, C_i, C_e$ 有六个公共点；设 m_6 为这个线集的测度。把 K_1 和 K_2 隔开的直线同上述曲线有四个公共点（同 C_e, C_i 各有两个公共点）；设 m_4 为这个线集的测度。

由于同一个凸集相交的直线的集合的测度等于它的周长，同 K_1 相交但不同 K_2 相交，或同 K_2 相交但不同 K_1 相交的直线集合的测度 m'_6, m''_6 是

$$m'_6 = L_1 - m_{10}, \quad m''_6 = L_2 - m_{10}, \quad (3.19)$$

因而

$$m_6 = L_1 + L_2 - 2m_{10}. \quad (3.20)$$

由于 C_e 是一个闭凸线，

$$m_4 + m_6 + m_{10} = L_e, \quad (3.21)$$

而把(3.17)应用于四条曲线 $\partial K_1, \partial K_2, C_i, C_e$ 所构成的整体，又得

$$4m_4 + 6m_6 + 10m_{10} = 2(L_1 + L_2 + L_e + L_i). \quad (3.22)$$

由(3.19)–(3.22)，得

$$\begin{aligned} m_4 &= L_i - (L_1 + L_2), & m'_6 &= L_1 - (L_i - L_e), \\ m''_6 &= L_2 - (L_i - L_e), & m_{10} &= L_i - L_e. \end{aligned} \quad (3.23)$$

用文字叙述，就是：

(a) 同 K_1 和 K_2 相交的一切直线的测度是 $L_i - L_e$ 。

(b) 同 K_1 相交但不同 K_2 相交的直线集合的测度是 $L_1 - (L_i - L_e)$ ，同 K_2 相交但不同 K_1 相交的直线集合的测度是 $L_2 - (L_i - L_e)$ 。

(c) 把 K_1 和 K_2 隔开的直线集合的测度是 $L_i - (L_1 + L_2)$ 。

上面我们假定了 $K_1 \cap K_2 = \emptyset$ 。若它们有重叠处，只须令 $L_i = L_1 + L_2$ ，(a) — (c) 诸结果仍然正确。

用几何概率的术语，这些结果可以叙述如下，

设 K_1 和 K_2 为两个有界凸集。若 G 为在平面里随意选取，但同 K_1 和 K_2 的凸包相交的直线，则：

(a) G 同 K_1 和 K_2 相交的概率是

$$p(G \cap K_1 \neq \emptyset, G \cap K_2 \neq \emptyset) = (L_i - L_e) / L_e.$$

(b) G 同 K_1 相交，但不同 K_2 相交的概率是

$$p(G \cap K_1 \neq \emptyset, G \cap K_2 = \emptyset) = 1 - \frac{L_i - L_1}{L_e},$$

同样，

$$p(G \cap K_1 = \emptyset, G \cap K_2 \neq \emptyset) = 1 - \frac{L_i - L_2}{L_e}.$$

(c) G 把 K_1 和 K_2 隔开的概率是

$$p(G \cap K_1 = G \cap K_2 = \emptyset, G \cap C_e \neq \emptyset) = \frac{L_i - (L_1 + L_2)}{L_e}.$$

若 $K_1 \cap K_2 \neq \emptyset$ ，在上面公式中，须令 $L_i = L_1 + L_2$ 。若只考虑和 K_1 相交的直线，则采取类似论点，我们得下面的结果。

若 K_1 和 K_2 为平面里两个有界凸集（不论它们是否有重叠），则 K_1 的一条随机弦和 K_2 相交的概率是

$$p = (L_i - L_e) / L_1,$$

其中，当 $K_1 \cap K_2 = \emptyset$ 时， L_i 为内壳长，而当 $K_1 \cap K_2 \neq \emptyset$ 时， L_i

$$= L_1 + L_2.$$

上面的结果是 Sylvester[665a]的工作, 他还考虑了多于两个凸集的情况. 关于一条可求长曲线 C 和一条随机直线的交点数的分布(即: 对于每一个 k , G 和 C 有 k 个交点的概率), 人们所知最少(见 Sulanke[662]和 Ambergumjan[6]).

4. 几何应用

(1) 设 C 为属于 C^2 类的平面闭曲线, 它是有向的, 即具有指定了的走向. 设 s 为 C 的弧长, $\tau(s)$ 表示 C 的切线和一个固定方向, 例如 x 轴, 所作的角. C 的曲率是 $k = d\tau/ds$ 而绝对总曲率曲率则用积分

$$c_a = \int_C |\kappa| ds = \int_C |d\tau| \quad (3.24)$$

确定.

设 $\nu(\tau)$ 表示 C 的无向切线中平行于方向 τ 的个数(例如在图 3.4 里, $\nu = 6$). 由于在 (3.24) 右边的积分里每一个方向 ν 出现 $\nu(\tau)$ 次, 方程 (3.24) 可以写成

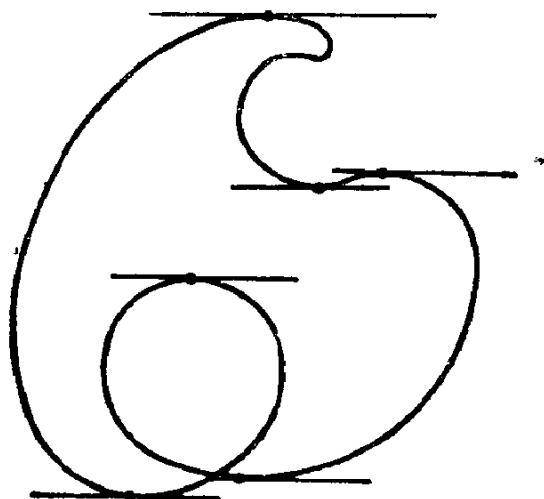


图 3.4

$$c_a = \int_0^\pi \nu(\tau) |d\tau|. \quad (3.25)$$

另一方面, 若直线 G 平行于方向 ν 而和 C 相交于 n 点 P_i , 则 C

至少有 n 条平行于 G 的切线 (在每个弧 $P_1P_2, P_2P_3, \dots, P_{n-1}P_n, P_nP_1$ 上至少有一条), 因而 $n(\tau) \leq \nu(\tau)$. 利用 (3.17), 有

$$\begin{aligned} 2L &= \int_{G \cap C \neq \emptyset} n dG \leq \int_{G \cap C \neq \emptyset} \nu dG = \int_{G \cap C \neq \emptyset} \nu dp \wedge d\tau \\ &\leq \Delta_m \int_0^\pi \nu |d\tau| = \Delta_m c_a, \end{aligned} \quad (3.26)$$

其中 L 为 C 的长而 Δ_m 是最大幅度.

特殊地, 若 C 在一个半径为 r 的圆内, 则 $\Delta_m \leq 2r$, 因而有下面的 Fary 定理[169]:

若一条长度为 L 全曲率为 c_a 的平面闭曲线可以含在半径为 r 的圆内, 则 $L \leq rc_a$.

(2) 设 K 为有界凸集, 面积为 F , 周长为 L . 设 G, G' 为两条直线, 它们和 ∂K 相交的点对应于弧长 s, s' . 用 θ, θ' 表示 G, G' 在它们同边界 ∂K 的交点和撑线所作的角, σ, σ' 为 G, G' 被 K 所截的弧长 (如图 3.5). 考虑积分

$$I = \int (\sigma \sin \theta' - \sigma' \sin \theta)^2 ds \wedge d\theta \wedge ds' \wedge d\theta', \quad (3.27)$$

积分范围为 $0 \leq s \leq L, 0 \leq s' \leq L, 0 \leq \theta, \theta' \leq \pi$. 按照 (3.16), $\sin \theta ds \wedge d\theta = dG, \sin \theta' ds' \wedge d\theta' = dG'$. 现在

$$\int_0^\pi \sigma^2 d\theta = 2F, \quad \int_0^\pi \sin^2 \theta d\theta = \pi/2, \quad (3.28)$$

其中第一个积分是根据极坐标里的面积公式. 关于 G' , 有类似的公式. 故

$$I = 2\pi L^2 F - 2 \int_{G \cap K \neq \emptyset} \sigma dG \int_{G' \cap K \neq \emptyset} \sigma' d'G' = 2\pi F(L^2 - 4\pi F),$$

在这里我们应用了 (3.6), 并且注意到在积分 (3.27) 里, 每条线 G, G' 都计算了两次, 对每个和 ∂K 的交点计算一次.

但显然 $I \geq 0$, 于是已经证明了经典的等周不等式

$$L^2 - 4\pi F \geq 0. \quad (3.29)$$

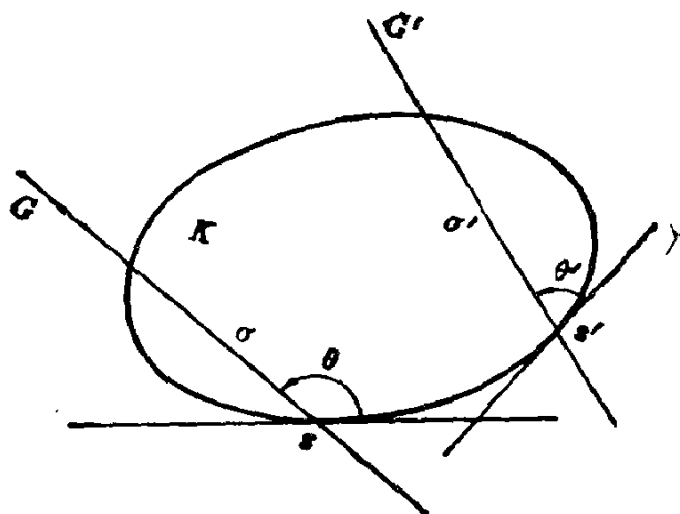


图 3.5

若 $I = 0$, 等号成立. 这时 $\sigma/\sin\theta = \sigma'/\sin\theta'$, 表明 K 为一个圆. 这个证明是 Blaschke 的 [38].

(3) 设一条长度为 L 的曲线含在一条长度为 L_1 的闭凸线内. 若考虑一切和 C_1 相交的直线 G , 这些直线和 C 的交点数的平均值为 $E(n) = 2L/L_1$. 由于必然存在着和 C 交点数不少于 $E(n)$ 的直线 G , 就有: 若一条长度为 L 的曲线位于一条长度为 L_1 的闭凸线内, 则存在着和它至少交于 $2L/L_1$ 点的直线.

5. 注记与练习

(1) 关于凸线的等周不等式的又一证明. 设 C 为属于 C^1 类的一条闭凸线. 设 A_1, A_2 为 C 同直线 $G(p, \phi)$ 的交点, ds_1, ds_2 为 C 在 A_1, A_2 的弧元, θ_1, θ_2 为 G 同 C 在 A_1, A_2 的切线所作的角. 容易看出,

$$\sigma dG = \sin\theta_1 \sin\theta_2 ds_1 \wedge ds_2, \quad (3.30)$$

其中 σ 为弦 $A_1 A_2$ 的长. 对一切和 C 相交的有向直线取积分, 得

$$\begin{aligned} 2\pi F &= \int_L ds_1 \int_L \sin\theta_1 \sin\theta_2 ds_2 \\ &= \frac{1}{2} \int_L ds_1 \int_L [\cos(\theta_1 - \theta_2) - \cos(\theta_1 + \theta_2)] ds_2. \end{aligned}$$

积分 $\int_L \cos(\theta_1 + \theta_2) ds_2$ 等于 C 在该曲线在 A_1 的切线的射影, 因

而等于零。于是有

$$4\pi F = L^2 - 2 \int_L ds_1 \int_L \sin^2 \frac{1}{2}(\theta_1 - \theta_2) ds_2, \quad (3.31)$$

这包含等周不等式 $L^2 - 4\pi F \geq 0$ 。这个证明是 Pleijel [479] 的。

一个更带普遍性的结果可以从公式

$$\int_{\sigma \cap C \neq \emptyset} \sigma^n dG = \frac{n}{2} \int_L \int_L \sigma^{n-1} \cos \theta_1 \cos \theta_2 ds_1 \wedge ds_2,$$

$$\int_{\sigma \cap C \neq \emptyset} \sigma^n dG = \frac{1}{2} \int_L \int_L \sigma^{n-1} \sin \theta_1 \sin \theta_2 ds_1 \wedge ds_2$$

推得。它们给出下面的 Ambarcumjan 公式 [7] (对于任意 $n > 0$):

$$\begin{aligned} 2(n+1) \int_{\sigma \cap C \neq \emptyset} \sigma^n dG \\ = n \int_L \int_L \sigma^{n-1} ds_1 \wedge ds_2 - 2n \int_L \int_L \sigma^{n-1} \sin^2 \left(\frac{\theta_1 - \theta_2}{2} \right) ds_1 \wedge ds_2. \end{aligned}$$

当 $n=1$ 时, 它给出等周不等式。

由此, 可以推得

$$\int_{\sigma \cap C \neq \emptyset} \sigma^n dG \leq \frac{n}{2(n+1)} \int_L \int_L \sigma^{n-1} ds_1 \wedge ds_2. \quad (3.32)$$

$n=1$ 时, 由此即得等周不等式。

Banchoff 与 Pohl [20] 把 Pleijel 的证明推广到非简单曲线。那时, 曲线把平面分割成若干块, 每块面积附加一个权, 等于其回转数, 这些加权面积和取代了 F , 即

$$L^2 - 4\pi \int \omega^2 dP \geq 0,$$

其中积分范围是整个平面。所谓 P 点相对于曲线的回转数^① $\omega(P)$ 就是当一点 X 绕曲线一周时, 矢量 PX 绕 P 点转动的周数。当曲线为圆或绕几次的圆时, 而且只在此时, 等式成立。Banchoff 与 Pohl 还把这个等周不等式推广到任意维和任意余维, 见第 14 章第 7 节注记 8。

① Linking number. — 译者

(2) 两条曲线的距离. 设 C_1 和 C_2 为平面里两条曲线, 令 $N_1(G), N_2(G)$ 表示它们和一条动直线 G 的交点数. 在整个平面上取积分

$$(C_1, C_2) = \frac{1}{2} \int |N_1(G) - N_2(G)| dG, \quad (3.33)$$

并把它叫做 C_1, C_2 的距离.

若 C_1 和 C_2 为可求长曲线, 距离 (C_1, C_2) 是有穷的, 因为 $(C_1, C_2) \leq L_1 + L_2$. 证明这样确定的距离满足条件:

- (a) $(C_1, C_1) = 0$;
- (b) $(C_1, C_2) = (C_2, C_1)$;
- (c) $(C_1, C_2) + (C_2, C_3) \geq (C_1, C_3)$.

若 C_1, C_2 为 Jordan 曲线 (即一个线段或圆的同胚象), 则由 $(C_1, C_2) = 0$ 可得 $C_1 = C_2$. 有了这些定义之后, 证明:

- (a) 若 C_1 和 C_2 是闭凸线, 而 C_1 在 C_2 内, 则 $(C_1, C_2) = L_2 - L_1$;
- (b) 若 C_1, C_2 为闭曲线, 而且 C_1 在 C_2 外, 则 $(C_1, C_2) = L_1 + L_2 - 2(L_i - L_e)$, 其中 L_i, L_e 为 C_1, C_2 的内壳和外壳长 (第三节) (见 [625]) .

(3) 凸线的非对称值. 已给具有长度 L 的曲线 C , 设 C^* 为 C 对于一条直线 G_0 的反射象, 则距离 (C, C^*) 可以称为 C 对于 G_0 的非对称值. 使得非对称值 (C, C^*) 达到最小值的直线 G_0 叫做 C 的对称轴, 而 $1 - \min(C, C^*)$ 则称为 C 的对称指数. 这个 Steinhau 所给的定义可以和凸线的其他对称定义比较 (例如 Grünbaum [246] 的定义) .

(4) m 阶长度. 已给一个点集 C , 若交集 $G \cap C$ 含有 $n \leq m$ 点, 令 $w_m = n$; 若交点数 $n > m$, 令 $w_m = m$. Steinhau [625] 把积分

$$L_m = \frac{1}{2} \int_{G \cap C \neq \emptyset} w_m dG \quad (3.34)$$

称为 C 的 m 阶长度. 注意若 C 为可求长闭曲线, 则 L_2 为它的凸包的边界长, 而 L_∞ 为普通长.

(5) 不可分隔的凸集组. 已给平面里 n 个闭凸集 $K_i (i=1, 2, \dots, n)$, 若有一条直线 G 不和任何 K_i 相交, 而且把平面分为两个半面, 其中每个含有至少一个 K_i , 则这一组凸集称为可分隔的. 在相反的情况下, 这一组凸集称为不可分隔的. 可以证明以下定理: 设 $K_i (i=1, 2, \dots, n)$ 为一组不可分隔的凸集, 而 K_0 为它们的凸包. 用 L_i, D_i, R_i 依次表示 K_i 的外接圆的周长, 直径和半径, 则

$$L_0 \leq \sum_1^n L_i, \quad D_0 \leq \sum_1^n D_i, \quad R_0 \leq \sum_1^n R_i.$$

(见 Hadwiger [266], A. W. Goodman 与 R. E. Goodman [233].)

(6) 经过反射和折射密度的不变性. 假定直线 G 是光射线的轨道, 它射到一条固定曲线 C 上而按照反射定律被反射: 即反射角等于入射角. 这样, 若 θ 为直线 G 同 C 的切线所作的角, 则切线同反射线 G^* 所作的角是 $\theta^* = -\theta$ (图 3.6), 而利用 dG 的表达式 (3.16), 就有 $dG = dG^*$ (按绝对值). 因此, 经过反射, 密度 dG 不变.

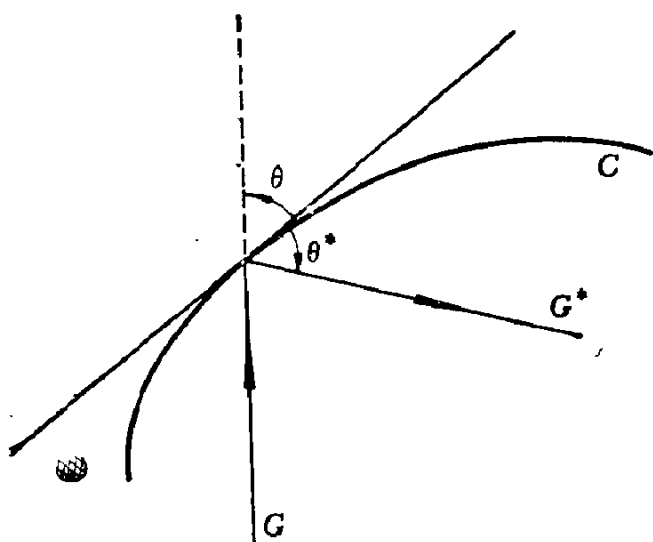


图 3.6

假定曲线 C 把两个介质隔开, 它们的折射指数依次是 n_1 和 n_2 (图 3.7). 若 i_1 和 i_2 依次为入射角和折射角, 则光学中经典的 Snell 定律指出

$$\sin i_1 / \sin i_2 = n_2 / n_1.$$

另一方面，切线和入射线 G_1 所作的角是 $\theta_1 = \pi/2 - i_1$ 而切线和折射线 G_2 所作的角是 $\theta_2 = \pi/2 - i_2$ ，因此，利用(3.16)，就得

$$dG_1 = -\cos i_1 ds \wedge di_1 = -ds \wedge d(\sin i_1),$$

$$dG_2 = -\cos i_2 ds \wedge di_2 = -ds \wedge d(\sin i_2)$$

$$= -(n_1/n_2) ds \wedge d(\sin i_1) = (n_1/n_2) dG_1.$$

因此，当光线从折射指数为 n_1 的介质到折射指数为 n_2 的介质时，密度 dG 乘以常数因子 n_1/n_2 。

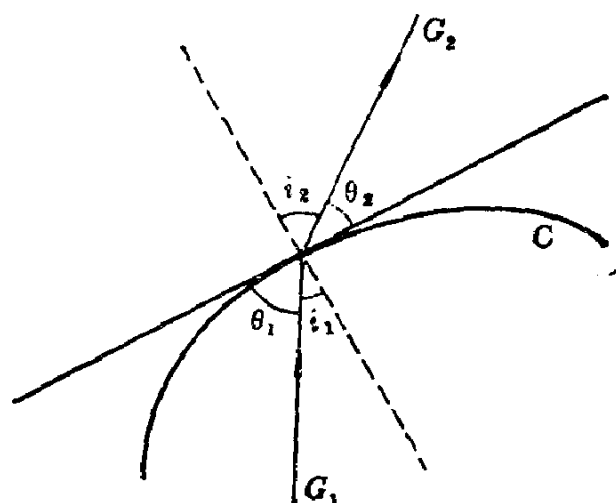


图 3.7

考虑一个含有几种介质的光学装置，这些介质的折射指数是 n_1, n_2, \dots, n_m ，但光线入射时的第一介质和光线最后出现的介质相同，即 $n_1 = n_m$ 。我们有

$$dG_m = (n_{m-1}/n_m) dG_{m-1}$$

$$= (n_{m-1}n_{m-2})/(n_m n_{m-1}) dG_{m-2}$$

$$= \dots = (n_{m-1} \dots n_1)/(n_m n_{m-1} \dots n_2) dG_1 = dG_1.$$

因此，通过光学装置传播时，光线密度不变[40]。

(7) G. D Birkhoff 的凸台球桌。设 C 为平面里一条闭凸曲线。假定一点 P 在 C 内部运动而和 C 相撞时，按照“入射角等于反射角”的定律继续运动。 P 的轨道决定于弧 OA 的长 s (O 是 C 上任意选定的点) 和直 $G \equiv AP$ 同 C 在 A 的切线所作的角 α ($0 \leq \alpha \leq$

π)(图3.8)。按照(3.16), 直线的密度可以写成 $dG = \sin \alpha ds \wedge da$, 而由于这个密度经过反射不变, 可知微分齐式 $\sin \alpha ds \wedge da$ 在 P 的运动中不变(见 Birkhoff 的书[31]以及 Arnold 与 Avez[13])。

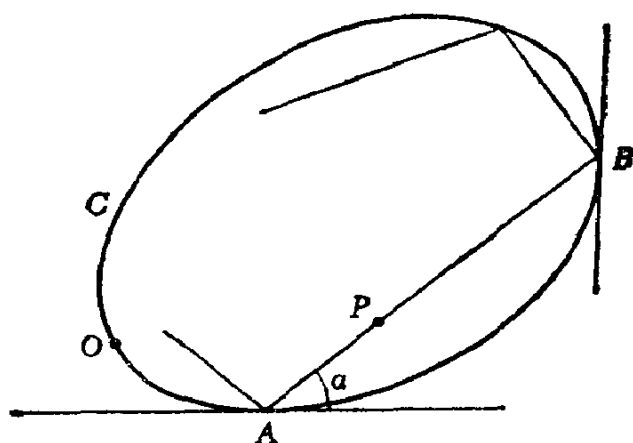


图 3.8

(8) Feller 的一个不等式。设 D 为平面里含于幺圆内的区域, 其面积等于 F 。假定任意直线和 D 的交集的测度不超过一个常数 $a < 1$ 。则必然有 $F < 2a$ 。这在下面意义 F 是可能的最好结果: 那就是, 已给任意小的 $\varepsilon > 0$, 存在着一个区域, 它和任意直线的交集的总长不超过 a , 而它的面积 $F > 2a(1 - \pi^{-2}a^2 - \varepsilon)$ (见 [184]), 其中 ε 的值任意小。Ueno 及其合作者[682]和 Santalo[563]把这结果推广到球体以及非欧空间。若 D 是凸集, 就有 $F \leq \pi a^2/4$, 其中等号在 D 为圆时成立, 而且只是这时才成立[30a]。

(9) 一个积分公式。设 C 由 m 段弧构成的闭凸曲线, 它的长是 L , 各段弧长分别是 a_1, a_2, \dots, a_m (图3.9)。设 A_1, A_2 为一条直线 G 同 C 的交点, σ 为弦 A_1A_2 的长, θ_1, θ_2 为 G 同 C 在 A_1, A_2 的撑线所作的角。则下面公式

$$\int_{\sigma \neq 0} \frac{\sigma}{\sin \theta_1 \sin \theta_2} dG = \frac{1}{2} \left(L^2 - \sum_1^m a_i^2 \right). \quad (3.35)$$

(10) 平面线性图。Sulanke[622]考虑了下面一种问题。一个线性图是由有限多个点(顶点)和有限多个曲线段(边, 假定是可

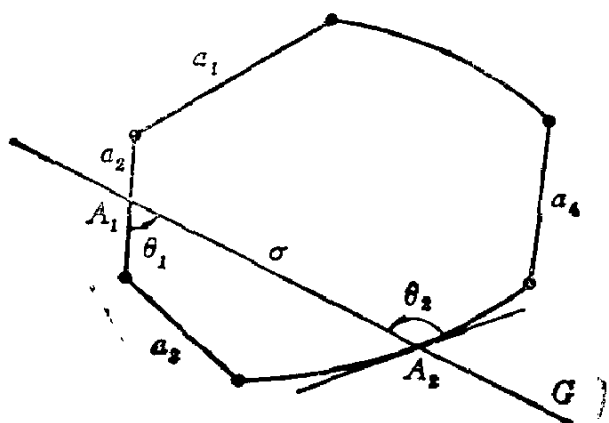


图 3.9

求长的)所构成, 每一条边连结两个顶点, 任意两边没有公共内点, 而每个顶点是至少一条边的端点. 对于每一个图 Q , 规定一组实数 $P_i(Q) (i=1, 2, \dots)$, 等于一条随机直线和 Q 相交于恰好 i 点的概率.

定理 一个直线图是 Euler 图(这种图的特征是, 存在着一条通过每条边恰好一次的运行路线, 它过每个顶点, 而且始点和终点相同)的一个充要条件是, 对于一切奇数 i , $p_i = 0$.

具有令 $p_i > 0$ 的同一组自然数 $\{i_1, i_2, \dots, i_N\}$ 的图称为同类. 提出的问题是, 是否对于每一组自然数 $i_1 < i_2 < \dots < i_N$, 总有一个线性图. 对于 $i_N \leq 5$, Sulanke 解决了这个问题, 但 $\{1, 2, 5\}$ 和 $\{1, 4, 5\}$ 是例外. 最近 Hristov 证明 $\{1, 2, 5\}$ 这一类不存在 (M.R.50, #8295).

设 Q 为线性图, G 的随机直线. 在 G 上取 G 和 Q 的交集 $G \cap Q$ 里的第一和最后点的线段 s_G , 则 $Q + s_G$ 也是线性图. 设 c 为 Q 分隔平面时所形成的有界区域(图的面)的个数, c_G 为对于图 $Q + s_G$ 的相应数. 这样, 若假定 Q 是连通的, 则 c_G 的期望值是 $c - 1 + 2L(Q)/L(Q^*)$, 其中 $L(Q)$ 是 Q 的总长而 $L(Q^*)$ 为 Q 的凸包长.

用 $N_G(Q)$ 表示一条直线 G 和 Q 的交点数, 则 $m(G; N_G(Q)) \neq N_G(Q')$ 表示交点数 $N_G(Q)$ 和 $N_G(Q')$ 不相等的直线 G 的集合的测度. 这时, 在图空间里, $\rho(Q, Q') = m(G; N_G(Q)) \neq N_G(Q')$

确定一个度量。可与注记 2 的距离相比较。见[662]。

(11) 一种平均自由路。设平面里分布了薄片，每单位面积里薄片密度是 D 个，其平均面积为 F_0 ，平均周长为 L_0 ，则通过平面的平均自由路是

$$E(\sigma) = (1 - F_0 D) / L_0 D.$$

若薄片为半径等于 r 的圆片，则

$$E(\sigma) = (1 - \pi r^2 D) / 2\pi r D,$$

而当 r 很小时，这个值可以用 $1/2\pi r D$ 逼近。

在空间 E_3 里，设随机地均匀分布了质点，其密度是每单位体积 D 个，质点的平均体积是 v ，平均表面积是 f ，则对于一个动点，平均自由路是 $E(\sigma) = 4(1 - vD) / fD$ 。当质点小时，可以取 $E(\sigma) = 4(fD)^{-1}$ 。

Polya[486]用下面方式来说明平均自由路。考虑一个树林，其中树木是随机地均匀分布的，密度是每单位面积 D 棵，树木半径是 r ，则作为平面平均自由路是从树林中一点平均可见距离。在空间，则平均自由路是在随机地均匀分布的，平均密度为 D 的，雪花丛中的平均可见距离。Santaló 考虑了路线属于一种已知类型的情况。

练习1 设 AB 为长度等于 L 的凸弧， L_0 为线段 AB 长，它们构成一个凸集的边界。证明：一条和这个凸集相交的随机直线和弦 AB 相交的概率是 $2L_0 / (L + L_0)$ 。

练习2 若已知一条随机直线和已给正方形的一边相交，证明它也和对边相交的概率是 $p = \sqrt{2} - 1$ 。

练习3 若已知一条随机直线和已给正方形的一条对角线相交，证明它和另一条对角线相交的概率是 $p = 2 - \sqrt{2}$ 。

练习4 在一条长度为 L 的闭凸线 C 里，设有 m 条凸线 C_i ，其长为 $L_i (i = 1, 2, \dots, m)$ (图3.10)。证明：存在着直线，它们和 k 条 C_i 相交，而 k 等于或大于 $(\sum L_i) / L$ 的整数部分。

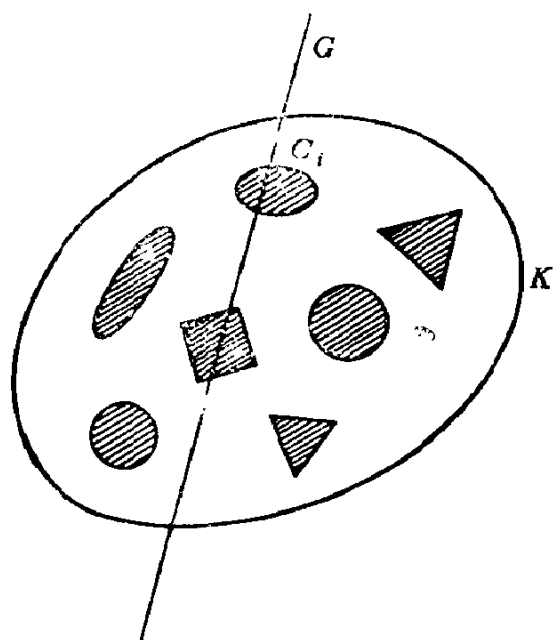


图 3.10

练习5 设 K_0, K_1 为两个凸集, $K_1 \subset K_0$. 和 K_0 相交的 n 条随机直线同 K_1 没有公共点的概率是 $(1 - L_1/L_0)^n$, 其中 L_0, L_1 为 K_0, K_1 的周长. 较困难是下面的问题: 假定 n 条随机直线和 K_0 相交, 求一个和 K_1 全等的凸集可以放在 K_0 内而不和任何所给直线相交的概率. 考虑 K_1 为一条线段或圆的情况.

第四章 点偶和线偶

1. 点偶密度

一对点 $P_1(x_1, y_1), P_2(x_2, y_2)$ 可以用四个坐标 x_1, y_1, x_2, y_2 确定, 也可以用它们连线 G 的坐标 p, ϕ 和由 P_1, P_2 到 H 的距离 t_1, t_2 来确定, 其中 H 为坐标原点 O 到 G 的垂足(图4.1)。我们要用坐标 p, ϕ, t_1, t_2 来表示外积 $dP_1 \wedge dP_2 = dx_1 \wedge dy_1 \wedge dx_2 \wedge dy_2$ 。我们有

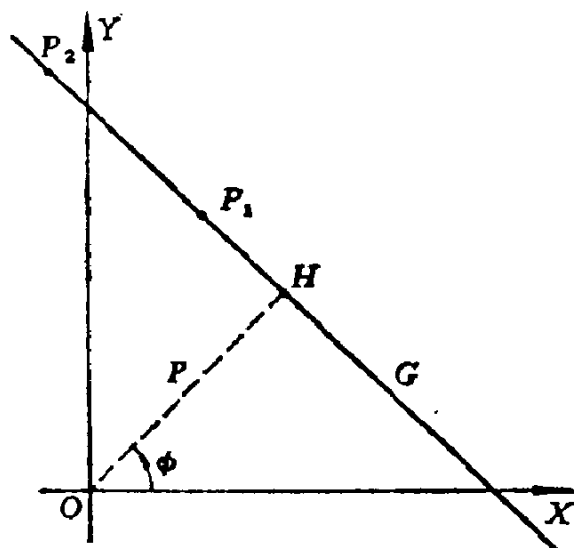


图 4.1

$$x_i = p \cos \phi - t_i \sin \phi, \quad y_i = p \sin \phi + t_i \cos \phi \quad (i = 1, 2) \quad (4.1)$$

故

$$dx_i = \cos \phi dp - (p \sin \phi + t_i \cos \phi) d\phi - \sin \phi dt_i,$$

$$dy_i = \sin \phi dp + (p \cos \phi - t_i \sin \phi) d\phi + \cos \phi dt_i,$$

因而通过取外积, 得

$$dP_i = dx_i \wedge dy_i = p dp \wedge d\phi + dp \wedge dt_i - t_i d\phi \wedge dt_i \quad (i = 1, 2)$$

以及

$$dP_1 \wedge dP_2 = (t_2 - t_1) dp \wedge d\phi \wedge dt_1 \wedge dt_2.$$

由于 $dp \wedge d\phi = dG$, 这可以写为

$$dP_1 \wedge dP_2 = |t_2 - t_1| dG \wedge dt_1 \wedge dt_2, \quad (4.2)$$

其中我们取了 $t_2 - t_1$ 的绝对值，因为一切密度都假定为正的。

2. 凸集的弦幂积分

设 K 为平面有界凸集，而 σ 为直线 G 上 K 的弦长。考虑积分

$$I_n = \int_{G \cap K \neq \emptyset} \sigma^n dG, \quad J_n = \int_{P_1, P_2 \in K} r^n dP_1 \wedge dP_2, \quad (4.3)$$

其中 n 为整数而 r 为属于 K 的点 P_1, P_2 间的距离。

为了求 I_n 和 J_n 的关系，我们利用 (4.2)，并注意 $|t_1 - t_2| = r$ 。我们得

$$\begin{aligned} J_n &= \int |t_2 - t_1|^{n+1} dt_1 \wedge dt_2 \wedge dG \\ &= \int dG \wedge dt_1 \left[\int_{t_1}^b (t_2 - t_1)^{n+1} dt_2 + \int_a^{t_1} (t_1 - t_2)^{n+1} dt_2 \right] \\ &= \frac{1}{n+2} \int dG \int_a^b [(b - t_1)^{n+2} + (t_1 - a)^{n+2}] dt_1 \\ &= \frac{2}{(n+2)(n+3)} \int_{G \cap K \neq \emptyset} (b - a)^{n+3} dG, \end{aligned} \quad (4.4)$$

其中 a, b 表示对应于 σ 的端点的 t 值，因而 $b - a = \sigma$ 。于是有结果

$$J_n = \frac{2}{(n+2)(n+3)} I_{n+3}, \quad (4.5)$$

这公式在 $n = -1, 0, 1, 2, \dots$ 时成立。公式 (4.5) 可以写成

$$I_n = \frac{n(n-1)}{2} I_{n-3}, \quad (4.6)$$

这在 $n = 2, 3, 4, \dots$ 时成立。当 $n = 0, 1$ 时，利用 (3.6) 和 (3.12)，得

$$I_0 = L, \quad I_1 = \pi F, \quad (4.7)$$

其中 L 为 K 的周长， F 为其面积。

$n=2$ 时, (4.3)和(4.6)化为

$$I_2 = \int_{G \cap K \neq \emptyset} \sigma^2 dG = \int_{P_1, P_2 \in K} \frac{dP_1 \wedge dP_2}{r}. \quad (4.8)$$

$n=3$ 时, 由于 $J_0 = F^2$, 公式(4.6)化为

$$I_3 = \int_{G \cap K \neq \emptyset} \sigma^3 dG = 3F^2, \quad (4.9)$$

这是 Crofton[133]所得到的一个值得注意的公式。

$n=4$ 时, 若用 $E(r)$ 为 K 中两点的平均距离, 即

$$E(r) = \frac{1}{F^2} \int_{P_1, P_2 \in K} r dP_1 \wedge dP_2, \quad (4.10)$$

利用(4.6), 就得

$$I_4 = \int_{G \cap K \neq \emptyset} \sigma^4 dG = 6F^2 E(r). \quad (4.11)$$

当 K 为半径等于 R 的圆时, 通过直接计算, 得

$$n \text{ 为偶数时, } I_n = \frac{2 \cdot 4 \cdot \dots \cdot n}{3 \cdot 5 \cdot \dots \cdot (n+1)} 2^{n+1} \pi R^{n+1}, \quad (4.12)$$

$$n \text{ 为奇数时, } I_n = \frac{1 \cdot 3 \cdot \dots \cdot n}{2 \cdot 4 \cdot \dots \cdot (n+1)} 2^n \pi^2 R^{n+1}.$$

积分 I_n 不是彼此独立的。它们满足某些不等式。例如 $I_0^2 - 4I_1 \geq 0$ 就是等周不等式(3.29)。联系到这个问题, Blaschke[51]提出以下命题: 求一个实数叙列构成关于一个凸集的叙列 I_n 的充要条件, 而且当这些条件得到满足时, 判断那样的凸集是否唯一的。除等周不等式以及(4.9)外, 下面的必要条件是已知的^①:

$$n=4, 6, \dots \text{ 时, } I_n \geq \frac{2 \cdot 4 \cdot \dots \cdot n}{3 \cdot 5 \cdot \dots \cdot (n+1)} 2^{n+1} \pi^{-n} I_1^{(n+1)/2},$$

① 原文公式(4.13)有误, 已改正。——译者

$$n = 5, 7, \dots \text{时}, \quad I_1 \geq \frac{1 \cdot 3 \cdot \dots \cdot n}{2 \cdot 4 \cdot \dots \cdot (n+1)} 2^n \pi^{-(n+1)/2} I_1^{(n+1)/2}, \quad (4.13)$$

$$2^8 I_1^3 \geq 3^2 \pi^4 I_2^2, \quad (4.14)$$

对于任意的 $n, k = 0, 1, 2, \dots$,

$$\begin{aligned} \frac{2^n I_n}{I_0^n} - \binom{k}{1} \frac{2^{n+1} I_{n+1}}{I_0^{n+1}} + \binom{k}{2} \frac{2^{n+2} I_{n+2}}{I_0^{n+2}} \\ + \dots + (-1)^k \frac{2^{n+k} I_{n+k}}{I_0^{n+k}} > 0; \end{aligned} \quad (4.15)$$

对于任意满足 $0 \leq m \leq n \leq p$ 的整数 m, n, p ,

$$I_{2m} I_{2n} \geq I_{m+n}^2, \quad I_m^{p-m} I_p^{n-m} \geq I_n^{p-m}. \quad (4.16)$$

不等式(4.13)是 Blaschke [35] 得到的, (4.14) 是 Carleman [81] 得到的; 那里面的等式都只对于圆成立. 不等式(4.15)与 Hausdorff 的矩问题(见 Shohat 与 Tamarkin 的书[605])有关, 并为 Sulanke[659]所指出; 参看[339]. 不等式(4.16)容易从 Schwarz 与 Holder 的经典不等式导出. 关于 $G \cap K$ 的弦长的分布函数, 即一条随机直线 G 和一个固定凸集 K 所定弦长 $\leq x$ 的概率, 参看 Sulanke[659] 和 Geciauskas[217, 218]. Mallows 与 Clark[388]证明了, 这个分布函数不能确定凸集 K . 他们给出一例, 其中两个不全等的凸集有相同的分布函数. 这就部分地解答了上述 Blaschke 命题. 这个问题与模式辨认的某些方法有关(见[443a, 457, 627]).

平均距离的例. 从定义(4.10), 利用(4.11), 通过直接计算, 可得一个凸集中两点的平均距离.

对于半径为 R 的圆: $E(r) = (128/45\pi)R$.

对于边长为 a 的等边三角形:

$$E(r) = \frac{3a}{5} \left(\frac{1}{3} + \frac{1}{4} \log 3 \right). \quad (4.17)$$

对于一个边长为 a, b 的长方形 ($a \geq b$),

$$E(r) = \frac{1}{15} \left[\frac{a^3}{b^2} + \frac{b^3}{a^2} + d \left(3 - \frac{a^2}{b^2} - \frac{b^2}{a^2} \right) + \frac{5}{2} \left(\frac{b^2}{a} \log \frac{a+d}{b} + \frac{a^2}{b} \log \frac{b+d}{a} \right) \right], \quad (4.18)$$

其中 d 为长方形的对角线。特殊地, 对于边长为 a 的正方形, 我们有

$$E(r) = (a/15) [\sqrt{2} + 2 + 5 \log(1 + \sqrt{2})] = 0.521a.$$

Ghosh[225]探讨了, 在一个长方形内的以及两个长方形间的随机距离的分布。Fairthorne[167]得到了一些其它结果。

3. 线偶密度

设 $G_i(p_i, \phi_i)$, $i = 1, 2$ 为两条相交于 $P(x, y)$ 的直线, 它们和 x 轴作 α_1, α_2 角。作为第一节讨论问题的“对偶”, 我们将把外积 $dG_1 \wedge dG_2$ 用坐标 x, y, α_1, α_2 表示。

我们有(图4.2) $\phi_i = \alpha_i - (\pi/2)$, 因而

$$p_i = x \cos \phi_i + y \sin \phi_i = x \sin \alpha_i - y \cos \alpha_i, \quad (i = 1, 2).$$

于是

$$d\phi_i = d\alpha_i,$$

$$dp_i = \sin \alpha_i dx - \cos \alpha_i dy + (x \cos \alpha_i + y \sin \alpha_i) d\alpha_i = d\alpha_i,$$

而通过取外积, 就得

$$dG_i = dp_i \wedge d\phi_i = \sin \alpha_i dx \wedge d\alpha_i - \cos \alpha_i dy \wedge d\alpha_i.$$

由此, 得

$$dG_1 \wedge dG_2 = |\sin(\alpha_2 - \alpha_1)| dp \wedge d\alpha_1 \wedge d\alpha_2, \quad (4.19)$$

这就是(4.2)的对偶公式。

作为第一个应用, 我们对一切和一个有界凸集 K 相交的线偶计算(4.19)两边的积分。根据(3.12), 左边等于 L^2 , 其中 L 是 K 的周长。右边可以先对 K 内的点 P 积分然后对 K 外的点积分。对于 $P \in K$, 我们有

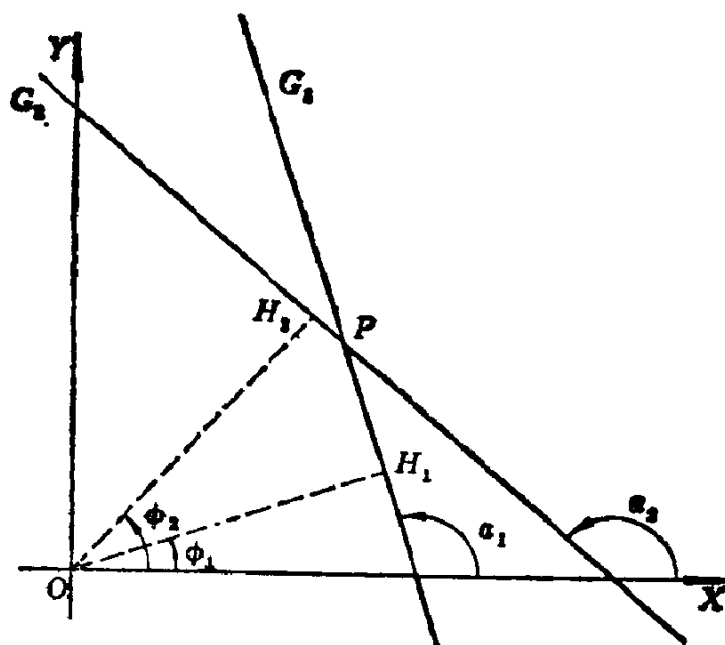


图 4.2

$$\int_{P \in K} dP \int_0^\pi \int_0^\pi |\sin(\alpha_2 - \alpha_1)| d\alpha_1 \wedge d\alpha_2 = 2\pi F, \quad (4.20)$$

而对于 K 外的点, 若 α 和 β 为 K 经过 P 的撑线同 x 轴所作的角, 则

$$\begin{aligned} & \int_\alpha^\beta \int_\alpha^\beta |\sin(\alpha_2 - \alpha_1)| d\alpha_2 \wedge d\alpha_1 \\ &= \int_\alpha^\beta d\alpha_1 \left(\int_\alpha^{\alpha_1} \sin(\alpha_1 - \alpha_2) d\alpha_2 + \int_{\alpha_1}^\beta \sin(\alpha_2 - \alpha_1) d\alpha_2 \right) \\ &= \int_\alpha^\beta [2 - \cos(\alpha_1 - \alpha) - \cos(\beta - \alpha_1)] d\alpha_1 \\ &= 2(\beta - \alpha) - 2\sin(\beta - \alpha). \end{aligned} \quad (4.21)$$

若令 $\omega = \beta - \alpha$ 为 K 经过 P 的两条撑线之间的角, 则

$$\int_{P \notin K} dP \int_\alpha^\beta \int_\alpha^\beta |\sin(\alpha_2 - \alpha_1)| d\alpha_1 \wedge d\alpha_2 = 2 \int_{P \notin K} (\omega - \sin \omega) dP, \quad (4.22)$$

而由于 (4.20) 和 (4.22) 之和必等于 L^2 , 我们得下面的 Crofton 公式

$$\int_{P \notin K} (\omega - \sin \omega) dP = \frac{1}{2} L^2 - \pi F, \quad (4.23)$$

它对于任意有界凸集 K 成立(图4.3)。参看[133, 144, 335]。

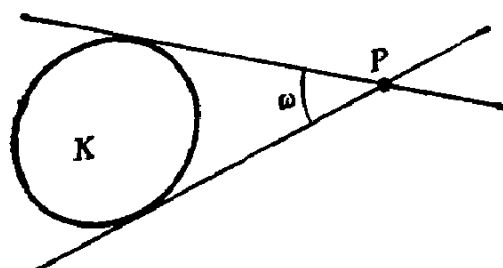


图 4.3

注意当我们试求 K 内点偶时就得(4.9)，而当我们试求和 K 相交的线偶时就得(4.23)。所以这两个公式可以看成是在平面里某种“对偶”原则下的对应公式。当我们在球面上处理相同问题时，这个事实表现得更为清楚[539]。

4. 随机直线对平面的分割

设 K 为平面里含有内点的有界凸集。设 F 为它的面积而 L 为

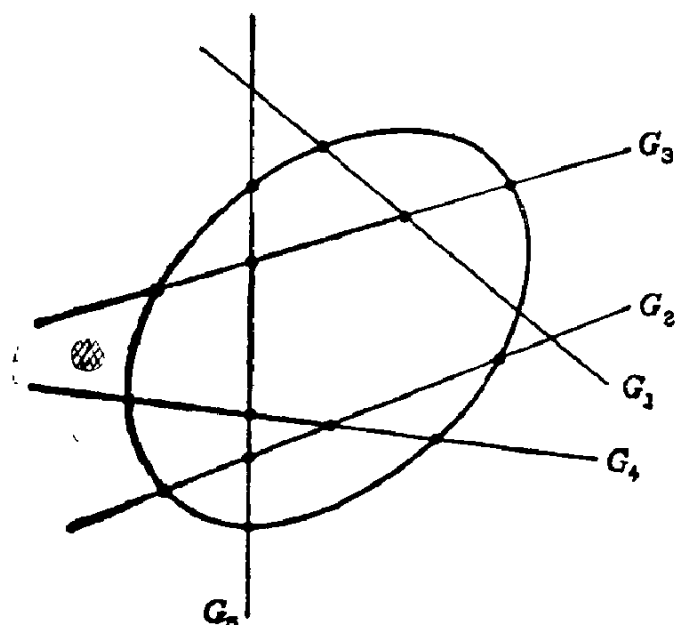


图 4.4

周长. 假定有 n 条和 K 相交的直线 $G_i(p_i, \phi_i)$ (图4.4). 这些直线把 K 分成一定数目 c 的区域, 确定一定数目 v 的顶点(线偶在 K 内的交点), 和一定数目 e 的棱. 在图4.4里,

$$n = 5, \quad c = 11, \quad v = 5, \quad e = 25.$$

我们将求 c, v, e 的中值.

先求顶点 v 的平均值. 根据定义

$$E(v) = \frac{1}{L^n} \int_{G_i \cap K \neq \emptyset} v dG_1 \wedge dG_2 \wedge \dots \wedge dG_n. \quad (4.24)$$

设 $v_{hk} (h \neq k)$ 表示 G_h, G_k 的一个函数: 当 $G_h \cap G_k \in K$ 时, 它等于 1; 否则等于 0 (为完备起见, 令 $v_{ii} = 0$). 我们有 $v = \sum v_{hk}$, 其中的总和含有 $n(n-1)/2$ 项. 令 σ 为弦 $G_h \cap K$ 的长, 则

$$\int v_{hk} dG_h \wedge dG_k = 2 \int \sigma_h dG_h = 2\pi F, \quad (4.25)$$

其中积分是对于一切和 K 相交的线 G_h, G_k 所取的. 因此,

$$\begin{aligned} & \int_{G_i \cap K \neq \emptyset} v dG_1 \wedge dG_2 \wedge \dots \wedge dG_n \\ &= \frac{n(n-1)}{2} \int_{G_i \cap K \neq \emptyset} v_{hk} dG_1 \wedge \dots \wedge dG_n \\ &= n(n-1)\pi FL^{n-2}. \end{aligned} \quad (4.26)$$

因此,

已给 n 条和有界凸集相交的直线, 在 K 内交点的平均值是

$$E(v) = \frac{n(n-1)\pi F}{L^2}. \quad (4.27)$$

我们还可以求 $E(v^2)$. 事实上, 我们有

$$\begin{aligned} L^n E(v^2) &= \int_{G_i \cap K \neq \emptyset} (v_{12} + v_{13} + \dots + v_{n-1,n})^2 dG_1 \wedge dG_2 \wedge \dots \wedge dG_n \\ &= \int_{G_i \cap K \neq \emptyset} \left(\sum_{i < j} v_{ij}^2 \right) dG_1 \wedge \dots \wedge dG_n \end{aligned}$$

$$\begin{aligned}
& + 2 \int_{G_i \cap K \neq \emptyset} \sum_{(i,j) \neq (h,k)} v_{ij} v_{kh} dG_i \wedge \dots \wedge dG_n \\
& = 2\pi \binom{n}{2} FL^{n-2} \\
& \quad + 2L^{n-4} \binom{n}{4} 3 \int_I v_{ij} v_{kh} dG_i \wedge dG_j \wedge dG_k \wedge dG_h \\
& \quad + 2L^{n-3} \binom{n}{3} 3 \int_{II} v_{ij} v_{ih} dG_i \wedge dG_j \wedge dG_h. \quad (4.28)
\end{aligned}$$

在这里的积分 I，我们假设 $i < j < k < h$ ，而因子 3 的出现是根据可能性 $v_{ij}v_{kh}, v_{jk}v_{ih}, v_{jh}v_{ik}$ ；在积分 II，我们假设 $i < j < h$ ，而因子 3 的出现则根据可能性 $v_{ij}v_{ih}, v_{ij}v_{jh}, v_{jh}v_{ih}$ 。因此，我们有

$$\begin{aligned}
L^n E(v^2) &= 2\pi \binom{n}{2} FL^{n-2} + 24L^{n-4} \binom{n}{4} \pi^2 F^2 \\
&\quad + 24L^{n-3} \binom{n}{3} \int_{G \cap K \neq \emptyset} \sigma^2 dG. \quad (4.29)
\end{aligned}$$

像(4.8)那样，令 $I_2 = \int_{G \cap K \neq \emptyset} \sigma^2 dG$ ，就得下面结果。

$$E(v^2) = 2\pi \binom{n}{2} \frac{F}{L^2} + 24\pi^2 \binom{n}{4} \frac{F^2}{L^4} + 24 \binom{n}{3} \frac{I_2}{L^3}. \quad (4.30)$$

例如若 K 是半径为 R 的圆，则 $I_2 = (16/3)\pi R^3$ ，故

$$E(v^2) = \frac{1}{2} \binom{n}{2} + \frac{3}{2} \binom{n}{4} + 16\pi^{-2} \binom{n}{3}. \quad (4.31)$$

考虑 n 条随机直线把 K 分成区域的个数 c 。 $G_i \cap K$ 的诸弦以及边界 ∂K 构成一个图，它有 c 个区域与 $v + 2n$ 个顶点 (v 个在 K 内， $2n$ 个在边界上)。经过内部的每个顶点有四条棱，而经过边界上的每个顶点有三条棱。因此，由于每条棱联结两个顶点，棱的个数是 $e = \frac{1}{2}(4v + 6n) = 2v + 3n$ ，于是应用 Euler 公式 $v - e + c$

$\rightarrow 1$, 得

$$c = v + n + 1. \quad (4.32)$$

注意我们没有考虑多于两条直线经过同一点的情况, 也没有考虑两条直线交于边界上的情况, 因为这两种情况下的测度等于零, 因而不影响结果. 于是由等式(4.32)和(4.27), 就得

$$E(c) = n(n-1)(\pi F/L^2) + n + 1. \quad (4.33)$$

即,

设 n 条随机直线和一个有界凸域 K 相交, 它们把 K 分成平均 $E(c)$ 个区域, $E(c)$ 的值如(4.33)所示.

现在考虑每个区域的边数. 设 e_i 为区域 c_i 的边数 ($i=1, 2, \dots, c$). 棱的总数是 $e = 2v + 3n$, 其中的 $2n$ 属于 K 的边界, 故内(部)棱数是 $2v + n$. 由于每条内棱是两个区域的边, 而边界上的每条棱则只是一个区域的边, 故

$$e^* = \sum_{i=1}^c e_i = 2(2v + n) + 2n = 4v + 4n, \quad (4.34)$$

因而

$$\begin{aligned} E(e^*) &= E(\sum e_i) = 4E(v) + 4n \\ &= \frac{4n(n-1)\pi F}{L^2} + 4n. \end{aligned} \quad (4.35)$$

同样, 所有区域周长的总和是

$$s = \sum_{i=1}^c s_i = 2 \sum_{i=1}^c \sigma_i + L, \quad (4.36)$$

因此, 由于 $E(\sigma) = \pi F/L$ (3.13), 得

$$E(s) = 2nE(\sigma) + L = 2n\pi F/L + L, \quad (4.37)$$

若 G_1, G_2, \dots, G_n 为任意 n 条与 K 相交的直线, 它把 K 分成 c 个区域, 这些区域的边的平均数是 $N = e^*/c$. 这个商值 N 是一个随机变数, 它的平均值的表达式可能很繁. 我们代之以下面平均值之商

$$E^*(N) = \frac{E(e^*)}{E(c)} = 1 - \frac{4L^2}{n(n-1)\pi F + (n+1)L^2}. \quad (4.38)$$

同样，我们不计算随机变数 $S = s/c$ 的平均值（难于计算），而写出下面平均值之商

$$E^*(S) = \frac{E(s)}{E(c)} = \frac{2\pi nFL + L^3}{n(n-1)\pi F + (n+1)L^2}, \quad (4.39)$$

也不计算区域面积的平均值 $A = F/c$ 而写出下面平均值之商

$$E^*(A) = \frac{F}{E(c)} = \frac{FL^2}{n(n-1)\pi F + (n+1)L^2}. \quad (4.40)$$

练习 证明 $n=2$ 时，

$$E\left(\frac{F}{c}\right) = \frac{(2L^2 - \pi F)F}{6L^2},$$

故 $E^*(A)/E(A) = 6L^4/(6L^4 + \pi FL^2 - 2\pi^2 F^2)$ 。

例如，若 K 是圆，则 $E^*(A)/E(A) = 48/49$ 。计算关于 N 和 S 相应的比值。

极限款：关于随机直线构成的多边形的平均值。设 $K(t)$ 为一族凸域， t 是参数，而 $F(t)$ 为 $K(t)$ 的面积， $L(t)$ 为其周长。假定对于平面上任意点 P ，有一个 t 值 t_P ，使得当 $t > t_P$ 时， $P \in K(t)$ 。这表示当 $t \rightarrow \infty$ 时， $K(t)$ 充满整个平面。

引理 我们有

$$\lim_{t \rightarrow \infty} \frac{F(t)}{L(t)} = 0 \quad (4.41)$$

与 $K(t)$ 的形状无关。

证明 设 $C(t)$ 为含在 $K(t)$ 内的最大圆， $R(t)$ 是它的半径。设 O 为 $C(t)$ 的中心， $h_t = h_t(\phi)$ 表示 $K(t)$ 相对于 O 的撑函数。我们有

$$F(t) = \frac{1}{2} \int h_t(\phi) ds_t,$$

其中 ds_i 表示 ∂K 垂直于方向 ϕ 的撑线上切点处的弧素, 而积分则是在 ∂K 上取的. 由 $h_i(\phi) \geq R(t)$, 可知

$$F(t) \geq \frac{1}{2} R(t) L(t).$$

又因 $t \rightarrow \infty$ 时, $R(t) \rightarrow \infty$, 就得 (4.41).

考虑含于 $K(t)$ 内的一个线段 K_0 , 其长为 b . 若假定有 n 条随机直线和 $K(t)$ 相交, 则其中恰好有 m 条和 K_0 相交的概率 (二项分布) 是

$$p_m = \binom{n}{m} \left(\frac{2b}{L} \right)^m \left(1 - \frac{2b}{L} \right)^{n-m}. \quad (4.42)$$

在这里我们应用了以下事实: 一条和 $K(t)$ 相交的随机直线也和 K_0 相交的概率是 $2b/L$ (第 3 章第 2 节). 假定 $K(t)$ 扩大到整个平面而且当 $n = n(t) \rightarrow \infty$ 时, 下面条件得到满足:

$$\lim_{t \rightarrow \infty} \frac{n(t)}{L(t)} = \frac{\lambda}{2}, \quad \lambda = \text{正常数}. \quad (4.43)$$

在此情况下, 我们说在平面上产生了一个 Poisson 线族, 或者, 我们有一个齐性平面 Poisson 线过程 [414]. 这时 p_m 的极限是

$$p_m = \lim_{t \rightarrow \infty} p_m = \frac{(b\lambda)^m}{m!} e^{-b\lambda}, \quad (4.44)$$

而 m 的中值是 $E(m) = \sum_0^\infty m p_m^* = b\lambda$, 即常数 λ 等于与任意单位长线段相交的直线数的中值, 而 λ^{-1} 则是与该线段无公共点的直线段之长的中值.

由 (4.27) 和 (4.30), 我们有

$$\lim_{t \rightarrow \infty} E(v/F) = (\pi\lambda^2)/4, \quad \lim_{t \rightarrow \infty} E(v^2/F^2) = (\pi^2/\lambda^4)/16, \quad (4.45)$$

因此, 方差

$$\text{var}(v/F) = E(v^2/F^2) - (E(v/F))^2 \rightarrow 0.$$

按概率论，从这个结果我们推得，在概率 1 的情况下，

$$\lim_{t \rightarrow \infty} \frac{v}{F} = \frac{\pi \lambda^2}{4}. \quad (4.45)$$

这是每单位面积内顶点数的中值。

按照(4.43)和(4.41)，可知当 $t \rightarrow \infty$ 时， $n/F = (n/L)(L/F) \rightarrow 0$ ，而利用(4.32)，就得随机直线把平面分为区域的面积中值

$$E(A) = \lim_{t \rightarrow \infty} \frac{F}{c} = \lim_{t \rightarrow \infty} (v/F + n/F + 1/F)^{-1} = \frac{4}{\pi \lambda^2}. \quad (4.47)$$

关于每个区域的平均边数，从(4.34)和(4.32)，我们得

$$E(N) = \lim_{t \rightarrow \infty} \frac{e^*}{c} = \lim_{t \rightarrow \infty} \frac{4v + 4n}{v + n + 1} = 4. \quad (4.48)$$

而关于平均周长，则根据(4.36)，得

$$E(S) = \lim_{t \rightarrow \infty} \frac{s}{c} = \lim_{t \rightarrow \infty} \frac{2(\sum \sigma_i/n) + L/n}{v/n + 1 + 1/n} = \frac{4}{\lambda}, \quad (4.49)$$

其中我们利用了关系

$$(\sum \sigma_i/n) \rightarrow E(\sigma) = \pi F/L \text{ 和 } v/n = (v/F)(F/L)(L/n).$$

所有这些等式都是在概率 1 (几乎必然)的情况下的结果。于是我们有：

若用一个以 λ 为参数的齐性 Poisson 线过程把平面分为无数多个凸多边形，则每个区域的平均面积 A ，平均周长 S 以及平均边数 N 依次为

$$E(A) = 4/\pi \lambda^2, \quad E(S) = 4/\lambda, \quad E(N) = 4. \quad (4.50)$$

注意这些平均值和 $t \rightarrow \infty$ 时(4.38)——(4.40)里的比值的极限一致。参数 λ 是和一条任意单位长线段相交的直线数的中值。

Richards[510]和Miles[407, 418]利用概率方法获得关于这些随机多边形的其他几种量的中值。我们叙述 Miles 的下列结果，而不加证明：

$$E(N^2) = (\pi^2 + 24)/2, \quad E(SN) = (\pi^2 + 8)\lambda,$$

$$E(AN) = 2\pi/\lambda^2, \quad E(S^2) = [2(\pi^2 + 4)]/\lambda^2,$$

$$E(AS) = 4\pi/\lambda^3, \quad E(A^2) = 8/\lambda^4,$$

$$E(NA^2) = \frac{(8\pi^2 - 21)16}{21\lambda^4}, \quad E(SA^2) = \frac{256\pi^2}{21\lambda^5},$$

$$E(A^3) = \frac{256\pi}{7\lambda^6}.$$

在 Richards[510]的结果中, 含有

$$E\left(\int f(r) dP_1 \wedge dP_2\right) = (8/\lambda^2) \int_0^\infty r f(r) e^{-\lambda r} dr,$$

$$\begin{aligned} E\left(\int f(p) dP_1 \wedge dP_2 \wedge dP_3\right) \\ = (8/21\lambda^2) \int_0^\infty r^3 f(r) \exp(-\lambda r/2) dr, \end{aligned}$$

其中 p 表示三角形 $P_1P_2P_3$ 的周长, 而左边的积分是在一个有代表性的多边形上取的 (若令 $f=1$ 就得 $E(A^3)$). 又

$$E\left(\int f(r) ds_1 \wedge ds_2\right) = (2/\lambda) \int_0^\infty (4 + \pi^2 \lambda r) f(r) e^{-r} dr,$$

其中 ds_1, ds_2 是一个有代表性的多边形边界上的弧素, 而 r 为它们之间的距离.

这些结果的严格证明是不容易的, 它们可以在 Miles[414, 415, 418] 和 Matheron[399] 这一系列的论文中找到. 这个问题起源于 Goudsmidt[234] 的较早的结果. Santaló 和 Yáñez[592] 把它们推广到双曲平面. 关于用随机平面分割 E_3 的问题, 见第 16 章第 4 节注记 8.

在平面上可以有不同的直线过程, Poisson 过程只是其中的一例, 而由于它的简单性, 也许是最有兴味的一例. 对这些线过程以及关于用这种直线把平面分成区域的探讨看来是一个有前途的领域. 请读者参阅 Davidson[140] 和 Krickeberg[345, 346] 的论文以及 E.F. Harding 与 D.G. Kendall 所编的《随机几何学》[294] (参看第 5 节注记 8).

5. 注记

(1) 关于凸集的面积公式。Crofton 公式(4.9)和(4.23)是关于平面凸集的一类公式中的有代表性者,这类公式是通过用不同方法计算与凸集有关的点集和线集的测度来求得的。下面我们给出其他一些例。

(a) 设 K 为有界凸集,边界是 ∂K , 属于 C^1 类。设 P 为不在 K 内的一点, t_1, t_2 为由 P 到 K 的切线段长, ω 为这两条切线的夹角。这时,若 f 为 ∂K 上的可积函数,而 f_1, f_2 为 f 在切点的值,则

$$\int_{P \notin K} \left(\frac{f_1}{t_1} + \frac{f_2}{t_2} \right) \sin^2 \left(\frac{\omega}{2} \right) dP = \frac{1}{2} L \int_0^{2\pi} f d\phi, \quad (4.51)$$

其中 ϕ 表示切线的方向,令 f 有不同值 ($f = \text{常数}$, $f = \rho^2$, $f = p$, ...) ①, 我们就获得若干积分公式作为特款(见 Lebesgue[357], Masotti-Biggioero[396], 和 Stoka[647]的结果)。

若 A_1, A_2 为由 P 到 K 的切线上的切点而 D 为 A_1, A_2, P 所确定的圆的直径, Masotti-Biggioero[392]证明了

$$\begin{aligned} \int \frac{\rho_1 \rho_2}{D^3} dP &= L, & \int \rho_1 \rho_2 \sin^3 \omega dP &= 3F^2, \\ \int \frac{\rho_1 \rho_2}{\sigma^2} \sin^3 \omega dP &= \pi F, & \int \frac{\rho_1 + \rho_2}{D^3} dP &= 4\pi, \end{aligned}$$

其中 ω 为角 $A_1 P A_2$, σ 为弦 $A_1 A_2$, 而 ρ_i 为 ∂K 在 A_i 的曲率半径 ($i = 1, 2$)。积分域是平面在 K 外的部分。

利用函数 $p(\phi)$ 和 $\rho(\phi)$ 的 Fourier 展开式可以像 Hurwitz[319]所做的那样, 获得类似的积分公式。例如, 若用 τ 表示 ∂K 的切线

① ρ^2, p 原文未说明, 从下文看, ρ 应是 ∂K 的曲率半径, p 是 ∂K 的撑函数。
——译者

和一个固定方向所作的角($0 \leq \tau \leq 2\pi$), 令

$$a_2 = \frac{1}{\pi} \int_0^{2\pi} \rho \cos 2\tau d\tau, \quad a'_2 = \frac{1}{\pi} \int_0^{2\pi} \rho \sin 2\tau d\tau,$$

就有

$$\int_{P \notin K} \sin^3 \omega dP = (3/4)L^2 + (\pi^2/4)(a_2^2 + a'_2{}^2).$$

对于任意凸集 K , 可以证明

$$(16 - \pi^2)F \leq \int_{P \notin K} (\omega^2 - \sin^2 \omega) dP \leq (4/\pi)L^2 - \pi^2 F,$$

其中在左边, 等号对于圆成立, 而在右边, 等号对于常幅集成立 [270, 396].

设 $x = x(s)$, $y = y(s)$ 是一条周长为 2π 的闭凸曲线 ∂K 的参数方程而 a_n, b_n 与 c_n, d_n 依次是 $x(s)$ 和 $y(s)$ 的 Fourier 展开式的系数, 则泛函 $\phi_n(\partial K) = a_n^2 + b_n^2 + c_n^2 + d_n^2$ ($n \geq 1$) 满足一些值得注意的不等式, 例如 $\phi_1(\partial K) \geq (336/27\pi) - 3/2 = 1.282\cdots$ 而 $\phi_n(\partial K) \leq 8/\pi n^4$ ($n \geq 2$) (见 [145a]).

(b) 设直线 G_1, G_2, G_3 构成以 P_1, P_2, P_3 为顶点的三角形, D 为这三点所定的圆的直径, 则 (根据 Blaschke [51])

$$dP_1 \wedge dP_2 \wedge dP_3 = D^3 dG_1 \wedge dG_2 \wedge dG_3. \quad (4.52)$$

更一般地, 考虑有序的 n 点 P_i ($i = 1, 2, \dots, n$), 并令 G_i 表示直线 $P_i P_{i+1}$ ($i = 1, 2, \dots, n$), $G_n = P_n P_1$. 令 L_i 表示 $P_i P_{i+1}$ 的长, 而 α_i 表示 G_{i-1} 和 G_i 的角, 可以证明 [418]

$$\bigwedge L_i \wedge dP_i \wedge d\phi_i = \bigwedge |\sin \alpha_i| dP_i. \quad (4.53)$$

(c) 设 D 为具有光滑边界 ∂D 的平面域. 设 ds_1 和 ds_2 为 ∂D 在其上两点 P_1, P_2 的弧元素, 而 σ 为 P_1, P_2 间的距离, 则 D 的面积可由下式计算:

$$F^2 = -\frac{1}{4} \int_{\partial D \times \partial D} \sigma^2 \cos \psi ds_1 \wedge ds_2, \quad (4.54)$$

其中 ψ 是 ∂D 在 P_1, P_2 的向外法线之间的角. 这公式是Redei和Szász [497]的成果, Hadwiger[267]与Ruben[518]把它推广到 n 维欧氏空间.

(2) 直线上的函数及其积分. 注意: 若当 $x^2 + y^2 < 1$ 时, $f(x, y) = 1/(1 - x^2 - y^2)^{1/2}$, 则 $\int f(x, y)ds = \pi$, 其中积分域是么圆的任意弦. Rényi 提出这样的问题: 是否存在一个异于么圆的凸线 ∂K 以及一个在 ∂K 的内部有确定值而且不恒等于零的函数 f , 使得在 K 的一切弦上, $\int f ds = \text{常数}$?

J. W. Green[235]给出这问题的答案, 他证明了:

设 ∂K 为凸线, f 为它内部的一个可积函数, 而且在 K 的一切弦上, $\int f ds = k$. 则或者几乎处处 $f = 0$, 或者 K 是圆, 而且 $f = k\pi^{-1}(1 - x^2 - y^2)^{1/2}$.

若 $k = 0$, 我们有定理:

若 $f(x, y)$ 是平面上连续而可积的函数而且在任意(两端无限延伸的)直线上, 积分 $\int f ds = 0$, 则 $f \equiv 0$.

Darling[139]研究了到高维空间的推广.

(3) 互相接合的点和线的密度. 设 $P(x, y)$ 为直线 $G(p, \phi)$ 上的点. 若 H 为从原点到 G 的垂足, t 表示线段 HP 的长, 而 θ 表示 G 和 x 轴所作的角, 则 $t = x\cos\theta + y\sin\theta$. 于是

$$dt = \cos\theta dx + \sin\theta dy + (-x\sin\theta + y\cos\theta)d\theta.$$

取两边和(3.11)中的 dG 的外积, 若不计算符号, 就得 $dG \wedge dt = dP \wedge d\theta$, 其中 $dP = dx \wedge dy$. 在这公式里, 假定了 $0 \leq \theta \leq \pi$. 若 G^* 为有向直线, 可以令

$$dG^* \wedge dt = dP \wedge d\theta, \quad (4.55)$$

于是 θ 在节 $0 \leq \theta \leq 2\pi$ 中变化. 公式(4.55)给出点 P 和与之相接合的有向直线 G^* 所构成的元素偶 (P, G^*) 的密度.

(4) 关于凸集的弦的平均长度。有不同的方法来给出一个有界凸集 K 的随机弦的平均长度定义。这些方法决定于如何理解随机弦。下面给出一些例子。

例1 若假定含有那根弦的直线 G 是按照积分几何的意义随机地选取的, 则我们知道, 弦长的平均值是 $E(\sigma) = \pi F/L(3.13)$ 。

例2 假设 ∂K 是一道完善的反射墙, 并设一个粒子从 K 的一点 P 沿方向 θ 发射(图 4.5)。当粒子到达 ∂K 上一点 A_1 时, 它受到

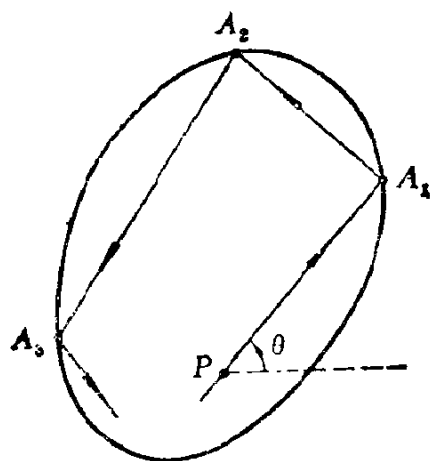


图 4.5

反射, 沿一条弦 A_1A_2 进行, 然后又受到反射, 逐次沿弦 A_1A_2, \dots 前进. 设 P 是在 K 内随机选取, 而 θ 是在 0 与 2π 之间随机选取的, 我们求弦 A_1A_2, A_2A_3, \dots 的平均长. 用 σ 表示含 PA_1 的弦的长, 我们用下式来确定上述平均长:

$$E_1(\sigma) = \frac{\int \sigma dP \wedge d\theta}{\int dP \wedge d\theta} = \frac{1}{2\pi F} \int \sigma dP \wedge d\theta, \quad (4.56)$$

其中两个积分的积分范围是一切 $P \in K$ 和 $0 \leq \theta \leq 2\pi$. 根据(4.55),

$$\int \sigma dP \wedge d\theta = \int \sigma dG^* \wedge dt = 2 \int \sigma^2 dG = 2I_2,$$

其中 I_2 的定义是(4.8)。因此,

$$E_1(\sigma) = I_2/2\pi F. \quad (4.57)$$

不变量 I_2 依赖于 K 的形状, 一般地缺乏简单的表达式。为了比较 $E(\sigma)$ 和 $E_1(\sigma)$, 令 $E(\sigma - E(\sigma))^2 = E(\sigma^2) - (E(\sigma))^2$, 因而若令 $\text{var}(\sigma) = E(\sigma - E(\sigma))^2$, 就有 $E(\sigma^2) = (E(\sigma))^2 + \text{var}(\sigma)$ 。但 $I_2 = E(\sigma^2)L$, 故

$$E_1(\sigma) = E(\sigma) + \frac{L}{\pi F} \text{var}(\sigma) = \frac{\pi F}{L} + \frac{L}{\pi F} \text{var}(\sigma)。$$

因此, $E(\sigma) \leq E_1(\sigma)$ 。

例如对于半径为 R 的圆,

$$E(\sigma) = (\pi/2)R, \quad E_1(\sigma) = (16/3\pi)R. \quad (4.58)$$

对于边长为 1 的正方形,

$$E(\sigma) = \pi/4 = 0.785\cdots, \quad (4.59)$$

$$E_1(\sigma) = (4/3\pi)(3\log(1 + \sqrt{2}) - \sqrt{2} + 1) = 0.546.$$

这个问题在建筑声学有应用见[22,335,336]。

例 3 下面是凸域内随机弦平均长的另一种可能定义。假定在 K 的边界上取随机点 P 并自 P 出发取随机方向 PP_1 。设 σ 为弦 PP_1 的长。这时 σ 的平均值是

$$E_2(\sigma) = \frac{1}{\pi L} \int_0^L \int_0^\pi \sigma ds \wedge d\theta, \quad (4.60)$$

其中 s 为 K 在 P 的弧长。

例如对于半径为 R 的圆, 其结果(Horowitz[315])是 $E_2(\sigma) = 4R/\pi$, 而对于边长为 a, b 的长方形,

$$E_2(\sigma) = \frac{a}{a+b} f(a, b) + \frac{b}{a+b} f(b, a),$$

其中 ①

① 式中第一括弧里的 $a^2 + b^2$ 疑误, 似应为 $(a^2 + b^2)^{1/2}$ 。——译者

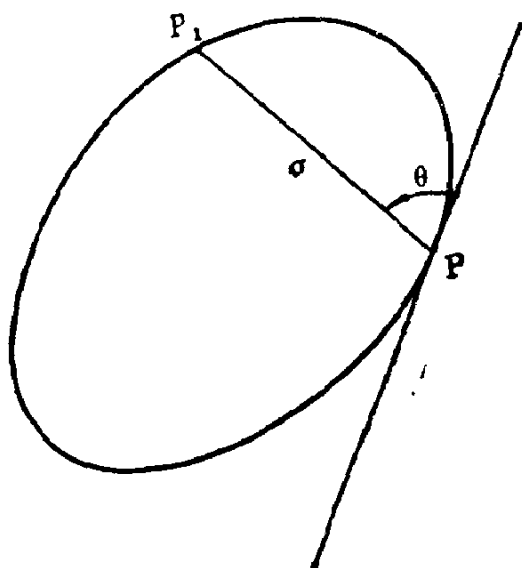


图 4.6

$$f(a, b) = \frac{a}{\pi} \log \left(\frac{a^2 + b^2}{a} + \frac{b}{a} \right) + \frac{2b}{\pi} \log \left[\frac{a + (a^2 + b^2)^{1/2}}{b} \right] \\ - \frac{b^2}{\pi a} \left[\frac{(a^2 + b^2)^{1/2}}{b} - 1 \right].$$

例 4 设 P, Q 为 ∂K 上两个随机点。距离 $\sigma = |PQ|$ 的平均值是

$$E_3(\sigma) = L^{-2} \int_{\partial K \times \partial K} \sigma ds_1 \wedge ds_2, \quad (4.61)$$

其中 ds_1 与 ds_2 是 ∂K 在 P 与 Q 的弧元素。已给长度 L ，只有当 ∂K 是圆时，平均值 $E_3(\sigma)$ 才达到最大值。更一般地，在 L 固定后，若 $g(\sigma)$ 是增凸函数，则

$$E_3(g) = L^{-2} \int_{\partial K \times \partial K} g(\sigma) ds_1 \wedge ds_2$$

只有当 ∂K 是圆时才达到最大值[375]。特殊地，选择 $g(\sigma) = \sigma$ ，就可知：一条周长为 L 的闭曲线的弦的平均长不超过 $2L/\pi^2$ 。

例 5 最后，若随机线是由两个在 Δ 内随机选择的点 P_1, P_2 所决定，我们令

$$E_4(\sigma) = F^{-2} \int_{K \times K} \sigma dP_1 \wedge dP_2. \quad (4.62)$$

利用(4.2), (4.4)和(4.11), 可得 $E_4(\sigma) = 2E(r)$, 其中 $E(r)$ 表示 K 中两点间的平均距离,

Coleman[119]给出了关于以上结果的细节及其到三维空间的推广; 参看Geciauskas文章[217, 218].

(5) Sylvester 问题. 积分几何中关于几何概率的一个有兴趣的经典问题是Sylvester问题:

在一个凸集 K 内随机选四点 P_0, P_1, P_2, P_3 , 求它们构成凸四边形(即它们每一点不含在其余三点所决定的三角形内)的概率.

考虑与此互相补充的问题, 即四边形不凸的概率. 这时, 每一点 P_i 都可以含于其余三点所决定的三角形之内, 故共有四种不同情况. 取四点组 P_0, P_1, P_2, P_3 , 其中 P_3 位于三角形 $P_0P_1P_2$ 里面, 这样的四点组的度量是

$$T_2 = \int_{P_3 \in K} T_{012} dP_0 \wedge dP_1 \wedge dP_2,$$

其中 T_{012} 表示以 P_0, P_1, P_2 为顶点的三角形面积. 其它三种情况下, 测度相同, 故四边形不凸的总测度是 $4T_2$. 其对应的概率是 $4T_2/F^4$ (其中 F 是 K 的面积), 因而四点构成凸四边形的概率是

$$p = 1 - (4T_2/F^4).$$

由于 F 只含面积与面积元素, 因而在么模仿射变换下不变, 为了计算概率 p , 只须取一个与 K 仿射等价的较简单的图形. 例如 p 对于一切椭圆有相同的值, 对于一切三角形有相同的值, 对于一切平行四边形有相同的值. 直接计算给出以下结果:

$$\text{椭圆} \quad T_2 = 35F^4(48\pi^2)^{-1},$$

$$\text{三角形} \quad T_2 = F^4/12,$$

$$\text{平行四边形} \quad T_2 = 11F^4/144,$$

$$\text{正 } n \text{ 边形} \quad T_2 = \frac{9\cos^2\alpha + 52\cos\alpha + 44}{36n^2\sin^2\alpha} F^4,$$

其中 $\alpha = 2\pi/n$ 。最后一个结果是 Alikoski 的[3]。从这些结果可以写出其对应的概率。

Blaschke[33]证明了不等式

$$\frac{35}{48\pi^2} \leq \frac{T_2}{F^4} \leq \frac{1}{12}, \quad (1.43)$$

由此可知, Sylvester 问题中的概率对于椭圆有最大值, 对于三角形有最小值。

在 n 维欧氏空间里, Sylvester 问题引出积分

$$T_n = \int T_{012\dots n} dP_0 \wedge dP_1 \wedge \dots \wedge dP_n,$$

其中 $T_{012\dots n}$ 表示以 P_0, P_1, \dots, P_n 为顶点的单纯形, 而积分范围则是一个凸体 K 的 $n+1$ 点组。对于 n 维幺球体, 直接计算给出, 除一个因子 F^{n+2} 外,

$$T_n(\text{幺球体}) = \left(\frac{n+1}{\frac{1}{2}(n+1)} \right)^{n+1} \left(\frac{(n+1)^2}{\frac{1}{2}(n+1)^2} \right)^{-1} 2^{-n}, \quad (4.64)$$

其中, 当 $n+1$ 为奇数时, 我们令

$$\left(\frac{n+1}{\frac{1}{2}(n+1)} \right) = \frac{2^{2n+4}}{(n+2)\pi} \left(\frac{n+2}{\frac{1}{2}(n+2)} \right)^{-1}.$$

例如

$$T_1 = \frac{1}{3}, \quad T_2 = \frac{35}{48\pi^2}, \quad T_3 = \frac{9}{715}.$$

上述关于 $T_n(\text{幺球体})$ 的值是 J.F.C. Kingman[337]给出的。Blaschke 的前一个不等式可以推广到 n 维欧氏空间, 即对于椭圆体, Sylvester 问题中的概率有最大值。这个结果是 Groemer 的

[244, 245]. 关于这个问题的历史事实可参考[338]; 还有[498]. Miles [420]在以下意义下推广了 Sylvester 问题: 求 n 维球体内 $n+3$ 个随机点的多面体凸包有 m 个顶点的概率 $p(n, m)$. 特别有意义的几个值是

$$p(2, 3) = 15/16\pi^2 = 0.0949\cdots,$$

$$p(2, 4) = 65/12\pi^2 = 0.5488\cdots,$$

$$p(2, 5) = 1 - 305/48\pi^2 = 0.35619\cdots,$$

$$p(3, 4) = 9/200\pi^2 = 0.004559\cdots,$$

$$p(3, 5) = \left(\frac{27}{143}\right) - \left(\frac{9}{100\pi^2}\right) = 0.17969\cdots,$$

$$p(3, 6) = \left(\frac{116}{143}\right) + \left(\frac{9}{200\pi^2}\right) = 0.81575\cdots.$$

Miles [420]计算了其他情况下 $p(n, m)$ 的一些值, 但 $p(n, m)$ 的一般值尚属未知.

(6) 和一个凸集相交的直线. 设 G_i , $i=1, 2, \cdots, n$ 为和一个凸集 K 相交的 n 条随机直线. 我们知道, 直线 G_i 在 K 内的交点平均数是 $E(v) = n(n-1)\pi F/L^2$ (4.27). 较困难的是求恰好 h 个交点位于 K 内的概率 p_h , $h=0, 1, 2, \cdots, n(n-1)/2$. 为了表达这些概率, 除需要关于 K 的面积 F , 周长 L 和第二节的不变量 I_m 外, 还需要一些其他关于 K 的不变量. 例如, 当 $n=3$ 时, 就出现积分

$$U = \int_{G_1 \cap G_2 \in K} u(G_1, G_2) dG_1 \wedge dG_2,$$

其中 $u(G_1, G_2)$ 表示以 G_1, G_2 和 ∂K 的交点的凸四边形的长. 利用第 3 章第 3 节的结果, 可以证明, $n=3$ 时,

$$p_0 = \frac{1}{L^3}(U + I_0 + I^3 - 6\pi FL), \quad p_1 = \frac{3}{L^3}(2\pi FL - U),$$

$$p_2 = \frac{3}{L^3}(U - I_2), \quad p_3 = \frac{1}{L^3}(2I_2 - U).$$

若 ∂K 属于 C^2 类, 一切交点在 K 内的概率 $p_{n(n-1)/2}$ 满足不等式

$$p_{n(n-1)/2} < \frac{n!}{(2n)!} \left(\frac{bL}{2} \right)^n,$$

其中 b 是 ∂K 的曲率的极大值. 这些结果是Sulanke的[660].

(7) 一个环形区里的随机多边形. 设 K_0 为平面上一个有界凸域, 它的内部有另一个凸域 K_1 . 设 G_i ($i=1, 2, \dots, n$)为 n 条随机直线, 它们和 K_0 相交, 但不同 K_1 相交. 设 H_i 为以 G_i 为界而含 K_1 在内的闭半平面. 设 K_n 为所有 H_i 的交集. Rényi与Sulanke[505]证明了:

(a) 当 $n \rightarrow \infty$ 时, K_n 为开集的概率的阶是 γ^n , 其中 γ 是决定于 K_0 和 K_1 的常数, $0 < \gamma < 1$. 可以把这个结果写作 $p(K_n \text{开}) = O(\gamma^n)$. 特殊地, 若 K_0 和 K_1 为平行凸域, 则 $p(K_n \text{开}) = n/2^{n-1}$.

(b) 若 K_1 缩成一点, K_n 的顶点数 V_n 的期望值是

$$E(V_n) = \pi^2/2 + O(\gamma^n) \quad (0 < \gamma < 1).$$

因此, 当 $n \rightarrow \infty$ 时, $E(V_n) \rightarrow \pi^2/2$.

(c) 若 ∂K_1 有连续有界曲率 $\kappa > 0$, 则

$$E(V_n) = \left[\left(\frac{2}{3(L_0 - L_1)} \right)^{1/3} \Gamma\left(\frac{5}{3}\right) \int_0^{L_1} \kappa^{2/3} ds \right] n^{1/3} + O(1),$$

其中 L_0 和 L_1 依次是 K_0 和 K_1 的周长.

(d) 若 K_1 为凸 r 边形, 则 $E(V_n) = \frac{2}{3} r \log n + O(1)$.

关于这个问题向高维空间的部分推广, 可参阅W. M. Schmidt [598]和Sulanke与Wintgen[665]的工作. Ziezold[736]考虑了平面上直线的一般分布函数, 并处理了相应的问题. 他通过“对偶原则”把这个问题同以下问题相联系: 求一个凸域中 n 随机点的凸包的期望顶点数(参看第2章第5节注记3).

(8) 直线的随机过程. 平面 E_2 上一条有向直线 G 可以看作圆柱面 $C(p, \phi; -\infty < p < \infty, 0 < \phi < 2\pi)$ 上的一点 (p, ϕ) . E_2 上的

运动(平移与转动)群引导出 C 上的一个运动群,用 \mathfrak{M} 表示.设 B_q 为球 $B_q = \{(p, \phi); |p| < q\}$. E_2 上的一个直线过程可以看作 C 上的一个点过程,即 C 上的一个非负整数值的随机Borel测度 Z ,它具有以下两个性质:(a) 对于一切 $q \geq 0$, $Z(B_q)$ 几乎肯定有限;(b) Z 几乎肯定不含有质量大于1的原子. Davidson考虑了再满足以下两条件的一类线过程 LP_4 ;(c) 对于一切 $q \geq 0$, $E(Z^2(B_q)) < \infty$,而对于一切 $T \in \mathfrak{M}$, $E(Z(A)) = E(Z(TA))$ (一级平稳性),而且,若有一个 q ,使得 $A_1 \cup A_2 \subset B_q$,则 $E(Z(TA_1), Z(TA_2)) = E(Z(A_1)Z(A_2))$ (二级平稳性);(d) Z 几乎肯定没有平行(或逆平行)线. 线过程 LP_4 中,又满足以下条件的,构成线过程 LP_5 ;(e) Z 的有限维分布在 \mathfrak{M} 下是平稳的,即对于一切 $k, n_1, n_2, \dots, n_k, A_1, \dots, A_k$ 以及一切 $T \in \mathfrak{M}$,

$$\text{Prob}\left(\bigcap_{i=1}^k (Z(A_i) = n_i)\right) = \text{Prob}\left(\bigcap_{i=1}^k (Z(TA_i) = n_i)\right).$$

Davidson[140]与Krickeberg[345]证明了,每一个 $Z \in LP_4$ 在 E_2 的反射下(等价于在 C 的平移下)是二级平稳的. 对于满足(a)(b)(c)的 Z ,把 Z 在任意测度为1的集合内的平均点数 λ 叫做 Z 的强度. Davidson证明了,已给 $Z \in LP_4$,可以构成另一个过程 $Z^* \in LP_4$,这个 Z^* 是一个双随机Poisson过程(dsP),它和 Z 有相同的强度与协变测度. Davidson获得了一个属于 LP_5 而不是dsP的线过程,但他所作的满足 LP_5 的一切过程都是dsP,于是他猜想, LP_5 中只含有dsP. 果然如此, Miles[407, 410, 414]所得的,联系着Poisson过程时关于分布的成果,就可以用来获得这些分布联系着任意 $Z \in PL_5$ 时的表达式.

Davidson[140]研究了线过程对于纸张结构以及道路网络的应用. 纸张可以看作(压紧了的)长纤维的随机过程. 纸张强度必然决定于它的纤维的编织密度,因此,就要找出什么线过程具有每单位面积最大的交点密度比. 交点密度比的定义是平均每单位交点的个数和平均每单位相交的直线偶的个数之比,它与纸张

的厚度无关。Davidson证明了，产生最大强度纸张的是所谓混合 Poisson 过程，这就是具有随机变化的整体密度的普通均匀 Poisson 过程。关于随机纤维网的一些其他结果为 Dodson [147, 148] 和 Corte [124] 所得到。

关于道路网络，问题是在平面上放一个用(设想上)无限长直路构成的网络，使得沿道路行进的平均旅程尽可能地短。设 A 为网络内一个随机点，考虑网络上一切与 A 距离为 d 的点 B 。设 $r(d, A)$ 表示从 A 沿网络道路行进到 B 的平均距离。对于固定的 A 点， $r(d, A)$ 的平均值除以 d ，得到的值叫做网络的无效系数 $m(d)$ 。对于长方网络，可以证明 $m(d) \geq (2 + \pi)/4$ ，并且当 $d \rightarrow \infty$ 时， $m(d)$ 趋于这个极限。在一个 Poisson 过程里，对于一切 d ， $m(d)$ 是有限的，而且当 $d \rightarrow \infty$ 时， $m(d) \rightarrow 1$ 。在这个意义下，对于长途旅行，Poisson 过程是最有效的。

两组随机平行线之间，每单位面积交点的期望数在道路交通理论中有应用 [213]。关于点和直线过程的其他结果可以在 Papangelou [439] 和 Daley [136] 中找到。一般理论可参阅 G. Matheron 的书 [401a]。

第五章 平面上的带集

1. 带集密度

若平面上两条平行直线之间的距离为 a ，则它们之间以及它们上面的点所构成的闭集叫做一个宽度为 a 的带。

我们用字母 B 代表带。一个带的位置可以用它的平行中线^①来确定。设 p, ϕ 为这样的线的坐标，则具有固定宽度的带(的)集(合)(图5.1)的密度是

$$dB = dp \wedge d\phi. \quad (5.1)$$

若要求密度在平面运动群下不变，则除一个常数因子外，这个密度是唯一的。

设 K 为有界凸集。若 $B \cap K \neq \emptyset$ ，而 $K_{a/2}$ 为距 K 为 $a/2$ 的

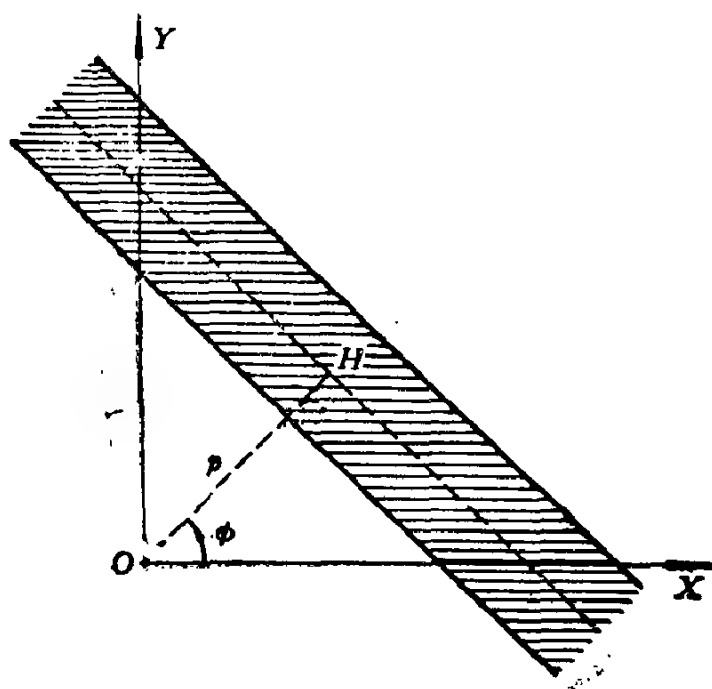


图 5.1

① 即同带的两界线平行而距离相等的直线。——译者

平行集，则 B 的平行中线同 $K_{\alpha/2}$ 相交。反过来，若 B 的平行中线和 $K_{\alpha/2}$ 相交，则 B 和 K 相交。因此，利用(1.18)和(3.12)，就得：

同一个凸集 K 相交而宽度为 a 的带集的测度是

$$m(B; B \cap K \neq \emptyset) = \int_{B \cap K \neq \emptyset} dB = L + \pi a, \quad (5.2)$$

其中 L 为 K 的周长。特殊地，有以下结果：

(a) 含一个固定点 P 在内宽度为 a 的一切带的测度是

$$m(B; P \in B) = \pi a. \quad (5.3)$$

(b) 同一条长度为 s 的线段相交而宽度为 a 的一切带的测度是

$$m(B; B \cap S \neq \emptyset) = 2s + \pi a. \quad (5.4)$$

(c) 同一个连通但不一定凸的域相交而宽度为 a 的一切带的测度也用公式(5.2)确定，但这时 L 表示域的凸包的周长。

含一个已给点集在内的带的集合测度比较复杂，但若所给集 K 的直径 $D \leq a$ ，结果是简单的。在此情况下，所求测度等于(5.2)中的测度减去一切其边界同 K 相交的带的测度，而后一测度则是 $2L$ 。故

$$m(B; K \subset B) = \pi a - L. \quad (5.5)$$

注意由于 $L \leq \pi D$ 而 $D \leq a$ ，这个测度是非负的。

以上结果可用于几何概率如下：

(a) 设 K_1 为含于凸集 K 内的凸集。一个宽度为 a 而同 K 相交的随机带也同 K_1 相交的概率是

$$p = \frac{L_1 + \pi a}{L + \pi a}, \quad (5.6)$$

其中 L_1 和 L 依次为 K_1 和 K 的周长。

若 K_1 的直径不超过 K 的直径，则带 B 含 K_1 在内的概率是

$$p = \frac{\pi a - L_1}{\pi a + L}. \quad (5.7)$$

若 K_1 缩成一点, 则只须在(5.7)中令 $L_1 = 0$, 该式就适用。

(b) 考虑在有界凸集 K 内 N 个凸集 $K_i (i = 1, 2, \dots, N)$ (图 5.2)。设 L 为 K 的周长, L_i 为 K_i 的周长。若 n 为和带 B 相交

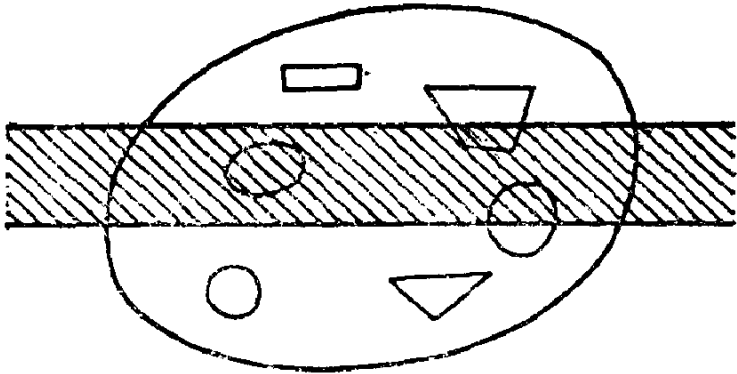


图 5.2

的集 K_i 的个数(在图 5.2 里, $n = 3$), 则

$$\int_{B \cap K \neq \emptyset} n dB = \sum_i^N m(B; B \cap K_i \neq \emptyset) = \sum_i^N L_i + \pi N a, \quad (5.8)$$

若一切 K_i 的周长都不超过 a , 而 n_i 为含于带 B 内的 K_i 的个数, 则从(5.5)可得

$$\int_{B \cap K \neq \emptyset} n_i dB = \pi N a - \sum_i^N L_i. \quad (5.9)$$

由(5.5), (5.8)和(5.9), 得:

设 $K_i (i = 1, 2, \dots, N)$ 为含于有界凸集 K 内的 N 个凸集, 而 B 为一个随机地同 K 相交而宽度为 a 的带。则同 B 相交的 K_i 的个数的平均值是

$$E(n) = \frac{\sum_i^N L_i + \pi N a}{L + \pi a}. \quad (5.10)$$

若一切 K_i 的直径都不超过 a , 则含于带内的 K_i 的个数的平均值是

$$E(n_i) = \frac{\pi N a - \sum_i^N L_i}{\pi a + L}. \quad (5.11)$$

2. Buffon 投针问题

让我们回到上节的问题(a)。假设 K 为幅度等于 D 的凸集而 K_1 为含于 K 内的任意凸集。我们曾经指出,幅度 $D_1 \leq D$ 的任意凸集都可以含在 K 内(第一章第4节)。一个和 K 相交而宽度为 a 的带 B 同时和 K_1 相交的概率为(5.6)所确定。我们原来假定 K 固

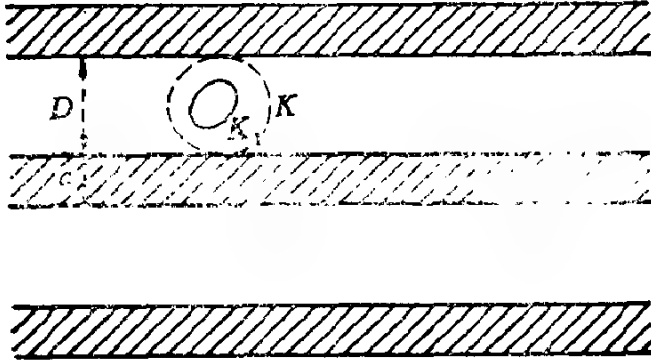


图 5.3

定而带 B 则是随机位置的,现在反过来,设想在整个平面上画上平行的带 B ,其间的间隔是 D ,然后把 K 和 K_1 一起随机地放上去(图5.3)。这样 K 肯定要和唯一的一个带相交(除非 K 同带相切,但这样位置的 K 测度是零)而 K_1 和一个带相交的概率为(5.6)所确定,即,若令 $L = \pi D$,就有

$$p = \frac{L_1 + \pi a}{\pi(a + D)}. \quad (5.12)$$

显然,不必要假定 K 集存在,因此,可以说,若一个幅度为 $D_1 \leq D$,周长等于 L_1 的凸域 K_1 随机地放在平面上,则它和一个带相交的概率为(5.12)所确定。

若 $a = 0$,而 K_1 缩成一个长度为 l 的线段,则 $L_1 = 2l$,这时(5.12)给出经典的 Buffon 投针问题:

若在整个平面上画上平行直线,其行距是 $D \geq l$,而把一根长度为 l 的针随机地放上去,则这根针和这些线之一相交的概率

是 $p = 2l/\pi D$.

注记 Buffon 在他的 *Essai d'Arithmétique Morale* (1777) 里提出并解答了 Buffon 问题, 这是几何概率论中最早命题之一. 若在画上平行线的平面上把一根针随机地丢上去 N 次, 公式 $p = 2L/\pi D$ 给出估计 π 的值的的可能性. 若其中有 n 次那根针和一条直线相交, 则 $p^* = n/N$ 是 p 的一个估计值, 而 $\pi^* = 2l/p^*D$ 是对 π 的对应的估计值. 由概率论, 我们知道, N 次试投中, p 的标准误差是 $[p(1-p)/N]^{1/2}$ ①, 由于 $\delta\pi^* = (2l/p^2D)\delta p$, 可见对于大的 N 值, π^* 的标准误差是 $\pi[(\pi D - 2l)/2lN]^{1/2}$, 而这个公式表示, 最大可能的 l 值, 即 $l = D$, 对应于较准确的 π 的估计值.

试验进行了多次, 其结果见于文献(例如 Kendall 与 Moran [335]). 但是, 如 Gridgeman [238] 所指出, 所有已发表的结果都比预期好. 这个作者指出, 若概率是 95%, 要准确到恰好 d 位小数的 π 值, 必须取 $N \sim 90 \cdot 10^{2d}$ (假定 $D = l$) ②, 而这比已公布的试验的数值大很多(参看 Mantel [390] 的结果). 关于针问题以及其他积分几何结果在设计模式 辨认部件中的应用, 参考 Novikoff 的工作 [457]. 关于对曲线长的估计中的应用, 参看 [205]. Kac, Van Kampen, 与 Wintner [328] 对处理 Buffon 问题中所包含的假设进行了分析, 参看 [318] 和 [601].

3. 点, 线与带构成的集合

设 D 为平面上一个域, 它不一定是凸的(图 5.4), 它的面积是 F . 若假定点 P 与带 B 是独立的, 则元素偶 (P, B) 所构成的集的密度是 $dP \wedge dB$. 于是满足 $P \in B \cap D$ 的 (P, B) 的测度是

$$m(P, B; P \in B \cap D) = \int_{P \in B \cap D} dP \wedge dB. \quad (5.13)$$

① 原文误作 $[p/(1-p)/N]^{1/2}$. ——译者

② 原文作 $D = 1$, 疑误. ——译者

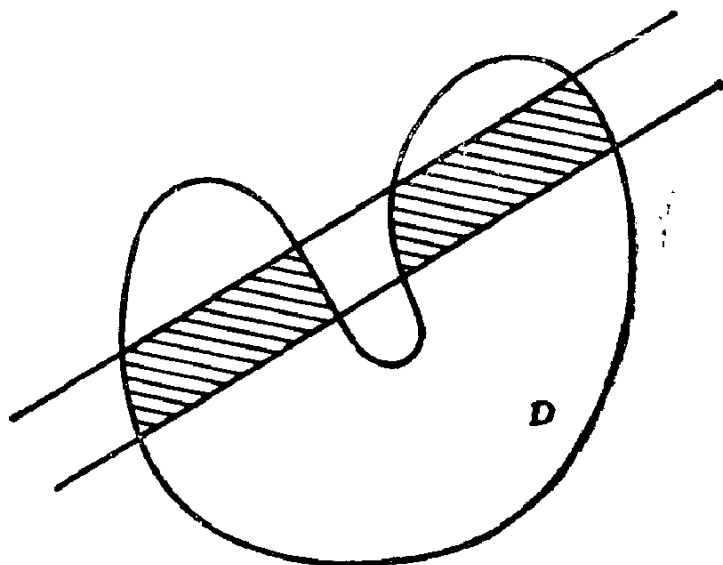


图 5.4

为了计算这个积分，先固定 P 然后利用(5.3)。其结果是

$$m(P, B; P \in B \cap D) = \pi a \int_{P \in D} dP = \pi a F, \quad (5.14)$$

其中 a 是 B 的宽。另一方面，若先固定 B 而令 f 为 $B \cap D$ 的面积，则

$$m(P, B; P \in B \cap D) = \int_{B \cap D \neq \emptyset} f dB. \quad (5.15)$$

于是

$$\int_{B \cap D \neq \emptyset} f dB = \pi a F. \quad (5.16)$$

设 L 为 D 的凸包的周长。则 $m(P; P \in D) = F$ 而 $m(B; B \cap D \neq \emptyset) = L + \pi a$ ，故得：

若 P 与 B 是随机选取但满足条件 $P \in D$ ， $B \cap D \neq \emptyset$ 的，则 P 属于 $B \cap D$ 的概率是

$$p = \frac{\pi a}{L + \pi a} \quad (5.17)$$

而交集 $B \cap D$ 的面积 f 的中值是

$$E(f) = \frac{\pi a F}{L + \pi a}. \quad (5.18)$$

设 K 为凸集并考虑元素偶 G, B (直线与带), 其中 $G \cap B \cap K \neq \emptyset$. 这个集合的测度是在条件 $G \cap B \cap K \neq \emptyset$ 下 $dG \wedge dB$ 的积分. 计算这个积分可以先固定 G 然后对带 B 求积, 也可以先固定 B 然后对直线 G 求积. 利用(5.4), 第一种方法给出

$$\begin{aligned} m(G, B; G \cap B \cap K \neq \emptyset) &= \int_{G \cap K \neq \emptyset} (2\sigma + \pi a) dG \\ &= 2\pi F + \pi a L, \end{aligned} \quad (5.19)$$

其中 σ 是弦 $G \cap K$ 的长. 第二种方法给出

$$m(G, B; G \cap B \cap K \neq \emptyset) = \int_{B \cap K \neq \emptyset} u dB, \quad (5.20)$$

其中 u 表示 $B \cap K$ 的周长(图5.5). 由(5.19)和(5.20)得

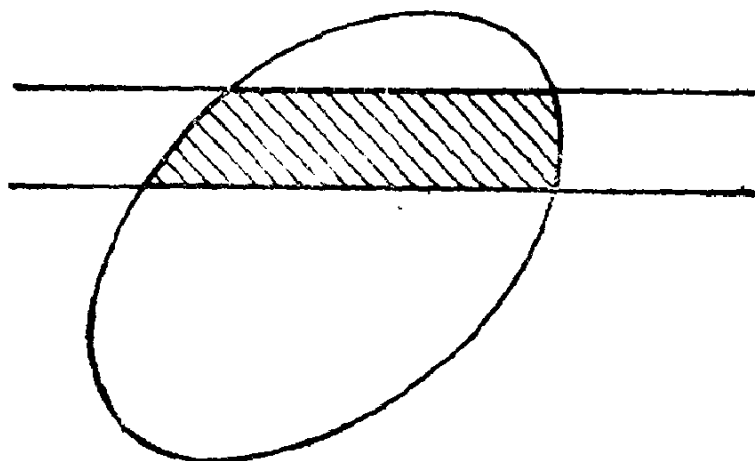


图 5.5

$$\int_{B \cap K \neq \emptyset} u dB = 2\pi F + \pi a L. \quad (5.21)$$

这些结果可以叙述如下:

设 G 是直线, B 是宽度为 a 的带, 它们是随机选取的, 但满足 $G \cap K \neq \emptyset$. 则 $G \cap B \cap K \neq \emptyset$ 的概率是

$$p = \frac{2\pi F + \pi a L}{L(L + \pi a)}. \quad (5.22)$$

若 $a=0$, 就得: K 的两个随机弦相交于 K 内的概率是 $p = 2\pi F/L^2$.

$B \cap K$ 的边界周长中值是

$$E(u) = \frac{2\pi F + \pi a L}{L + \pi a}. \quad (5.23)$$

两个独立的带 B_1, B_2 所构成的带偶的密度是 $dB_1 \wedge dB_2$, 故满足 $B_1 \cap B_2 \cap K \neq \emptyset$ 的带偶 B_1, B_2 的测度是

$$m(B_1, B_2; B_1 \cap B_2 \cap K \neq \emptyset)$$

$$\int_{B_1 \cap B_2 \cap K \neq \emptyset} dB_1 \wedge dB_2 = \int_{B_1 \cap K \neq \emptyset} (u_1 + \pi a_2) dB_1$$

$$= 2\pi F + \pi a_1 L + \pi a_2 (L + \pi a_1), \quad (5.24)$$

其中我们利用了(5.2)和(5.21), 而 a_1, a_2 则依次是 B_1, B_2 的宽. 于是有:

若 B_1, B_2 为和凸集 K 相交的两个随机带, 则 $B_1 \cap B_2 \cap K \neq \emptyset$ 的概率是

$$p = \frac{2\pi F + \pi L(a_1 + a_2) + \pi^2 a_1 a_2}{(L + \pi a_1)(L + \pi a_2)}. \quad (5.25)$$

关于具有随机宽度的带, 见[216].

4. 一些中值

设 $B_i (i=1, 2, \dots, n)$ 是 n 个同一个凸集 K 相交的宽度等于 a 的随机带. 设 f_r 为 K 内被恰好 r 个带覆盖部分的面积, 我们试求 f_r 的平均值. 考虑积分

$$i_r = \int dP \wedge dB_1 \wedge dB_2 \wedge \dots \wedge dB_n, \quad (5.26)$$

其积分范围是: 对于一切和 K 相交的带 B_i 和对于一切被恰好 r

个带覆盖的 P 。我们有

$$I_r = \binom{n}{r} \int_{P \in B_i} dP \wedge dB_1 \wedge \cdots \wedge dB_r \int_{P \in B_h} dB_{r+1} \wedge \cdots \wedge dB_n, \quad (5.27)$$

其中 $i = 1, 2, \dots, r$; $h = r + 1, \dots, n$ 。由于含 P 在内的带的测度是 πa ，而不含 P 的带的测度是 $(L + \pi a) - \pi a = L$ ，我们就有

$$I_r = \binom{n}{r} (\pi a)^r L^{n-r} F. \quad (5.28)$$

另一方面，若在计算 I_r 时，先固定诸带 B_1, B_2, \dots, B_r ，则有

$$I_r = \int f_r dB_1 \wedge dB_2 \wedge \cdots \wedge dB_r, \quad (5.29)$$

积分范围是一切和 K 相交的 B_r 。由 (5.28) 与 (5.29)，就得

$$\int f_r dB_1 \wedge dB_2 \wedge \cdots \wedge dB_r = \binom{n}{r} (\pi a)^r L^{n-r} F. \quad (5.30)$$

由于和 K 相交的 n 带组的集合的测度是 $(L + \pi a)^n$ ，我们得

已给 n 个和凸集 K 相交而宽度为 a 的带，则 K 内恰好被 r 个带覆盖的部分平均面积是

$$E(f_r) = \frac{\binom{n}{r} (\pi a)^r L^{n-r} F}{(L + \pi a)^n}, \quad r = 0, 1, 2, \dots, n. \quad (5.31)$$

若按照 $na = a = \text{常数}$ (即 n 个带的宽度总和等于常数 a) 的规律令 $n \rightarrow \infty$ ，同时 $a \rightarrow 0$ ，就得

$$E(f_r) \rightarrow \frac{1}{r!} \left(\frac{\pi a}{L} \right)^r F \exp\left(-\frac{\pi a}{L}\right). \quad (5.32)$$

例如 K 内不被任何带覆盖的平均面积，其极限是

$$E(f_0) = F \exp(-\pi a/L).$$

换句话说, 这些结果可以写成下面形式:

若假定 n 个宽度为 a 的带随机地和一个凸集 K 相交, 则 K 的一点恰好属于 r 个带的概率是

$$p_r = \binom{n}{r} \frac{(\pi a)^r L^{n-r}}{(L + \pi a)^n}, \quad r = 0, 1, 2, \dots, n. \quad (5.33)$$

若 $n \rightarrow \infty$, $a \rightarrow 0$ 而 $na = a$ (常数), 则

$$p_r \rightarrow \frac{1}{r!} \left(\frac{\pi a}{L} \right)^r \exp\left(-\frac{\pi a}{L}\right).$$

5. 注记

(1) Buffon 问题的推广. 假定针长 L 超过平行线之间的距离 D . 这时它同至少一条平行线相交的概率是

$$p = \frac{2}{\pi} \arccos \frac{D}{L} + \frac{2}{\pi D} [L - (L^2 - D^2)^{1/2}]. \quad (5.34)$$

更具体些, 若假定 $D = 1$ 而 $L = n + L'$ ($0 \leq L' \leq 1$), 则那根针同恰好 h 条平行线 ($1 \leq h \leq n + 1$) 相交的概率是

$$p_h = \frac{2}{\pi} [(h+1)\alpha_{h+1} - 2h\alpha_h + (h-1)\alpha_{h-1}] \\ + \frac{2L}{\pi} (\cos \alpha_{h+1} - 2\cos \alpha_h + \cos \alpha_{h-1}), \quad (5.35)$$

其中对于 $i = 1, 2, \dots, n$, α_i 是 $L \sin \alpha_i = i$ 所确定的角, 而 $\alpha_{n+1} = \pi/2$. 当 $h = n + 1$ 时, $p_{n+1} = 2L\pi^{-1}\cos \alpha_n + 2n\pi^{-1}(\alpha_n - \pi/2)$. 见 [335].

(2) 关于折线的 Buffon 问题. 假定平面上画有平行直线, 行距是 D . 把一根折线 $\gamma = BAC$ 随机地放上去, 折线两边 AB , AC 的长是 $|AB| = a$, $|AC| = b$. 假定三角形 ABC 最长的一边小于 D . 作为练习, 证明 γ 同平行线有零个, 一个或两个交点的概率依次是

$$p_0 = 1 - \frac{a+b+c}{\pi D}, \quad p_1 = \frac{2c}{\pi D}, \quad p_2 = \frac{a+b-c}{\pi D},$$

其中 $c = |BC|$ (图5.6)。

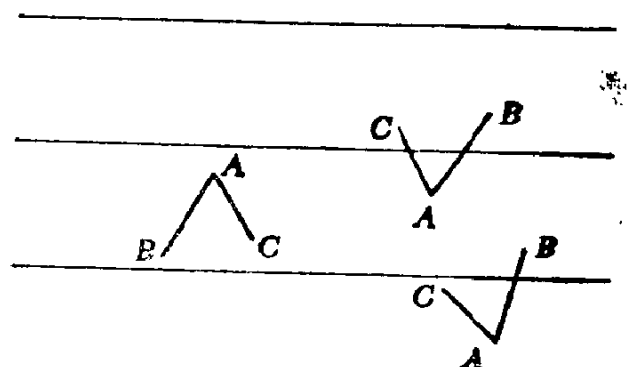


图 5.6

(3) 黑白随机带。设 K 为凸集，面积是 F ，周长是 L ，而且假定是白色的。假定用一个宽度为 a 的黑色带 B_1 随机地跨过 K 那以后，用一个宽度同样为 a 的白色带 B_2 随机地跨过 K ，而且把它和

B_1 相交部分的黑色抹掉。继续这个过程，随机而交替地画上黑带和白带(图5.7)。在画了 $n+1$ 个黑带和 n 个白带后， K 内黑色面积的平均值是

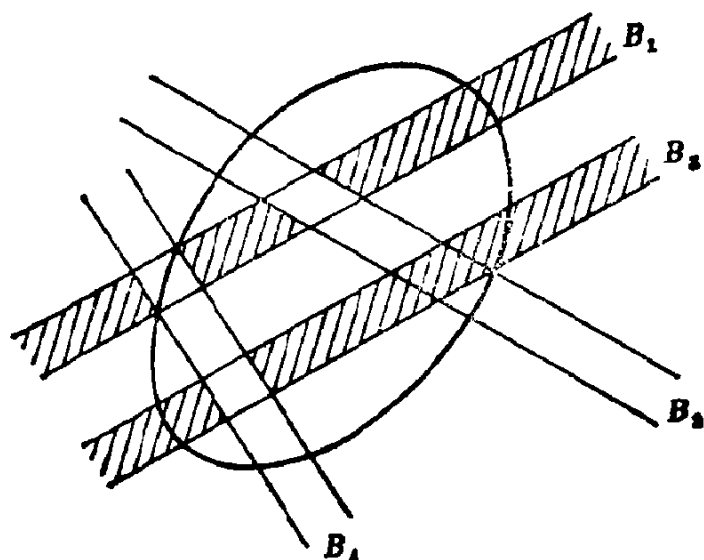


图 5.7

$$E(f_{2n+1}) = \frac{\pi a F}{L + \pi a} \left[1 + \left(\frac{L}{L + \pi a} \right)^2 + \left(\frac{L}{L + \pi a} \right)^4 + \dots \right]$$

$$+ \left(\frac{L}{L + \pi a} \right)^{2n} \Big]. \quad (5.36)$$

而在画了 $n+1$ 个黑带和 $n+1$ 个白带后, 平均值变成

$$E(f_{2n+2}) = \frac{\pi a F L}{(L + \pi a)^2} \left[1 + \left(\frac{L}{L + \pi a} \right)^2 + \left(\frac{L}{L + \pi a} \right)^4 + \dots + \left(\frac{L}{L + \pi a} \right)^{2n} \right]. \quad (5.37)$$

当 $n \rightarrow \infty$ 时, 得

$$E(f_{2n+1}) \rightarrow \frac{F(L + \pi a)}{2L + \pi a}, \quad E(f_{2n+2}) \rightarrow \frac{FL}{2L + \pi a}. \quad (5.38)$$

(见[534].)

第六章 平面上的运动群：运动密度

1. 平面上的运动群

我们曾经要求平面上的点密度和线密度在运动群下不变。这个运动群以后用 \mathfrak{M} 表示。现在，我们要具体地讨论这个群 \mathfrak{M} ，以便在此基础上进行第九章关于方阵群的一般探讨。

设在欧氏平面上建立了直角坐标系。一个运动是一个变换 u ， $P(x, y) \rightarrow P'(x', y')$ ，它用方程

$$x' = x \cos \phi - y \sin \phi + a, \quad y' = x \sin \phi + y \cos \phi + b \quad (6.1)$$

表示，其中 a, b, ϕ 是参数，它们的范围依次是

$$-\infty < a < \infty, \quad -\infty < b < \infty, \quad 0 \leq \phi \leq 2\pi. \quad (6.2)$$

若 K 为一个点集而 $K' = uK$ 为在 u 下 K 的象，我们就说， K 和 K' 全等^①。

容易给出参数 a, b, ϕ 的几何意义。设 $(O; x, y)$ 表示原点 O 和 x, y 轴所构成的直角标架(图6.1)。假定经过运动 u ，标架 $(O; x, y)$ 的象是标架 $(O'; x', y')$ ，则 a, b 为 O' 在 $(O; x, y)$ 里的坐标，而 ϕ 为从 x 轴到 x' 轴的角。

群的幺元是恒等变换 $a = 0, b = 0, \phi = 0$ 。有时利用方阵

$$u = \begin{pmatrix} \cos \phi & -\sin \phi & a \\ \sin \phi & \cos \phi & b \\ 0 & 0 & 1 \end{pmatrix} \quad (6.3)$$

来表示运动 u 以代替方程组(6.1)。

这样，运动 $u_2 u_1$ 就用方阵积 $u_2 u_1$ 表示。而逆运动 u^{-1} 则用逆方阵

① 在这里，运动不包括对于平面上一条直线的反射，因而全等不包括一般“对称”。——译者

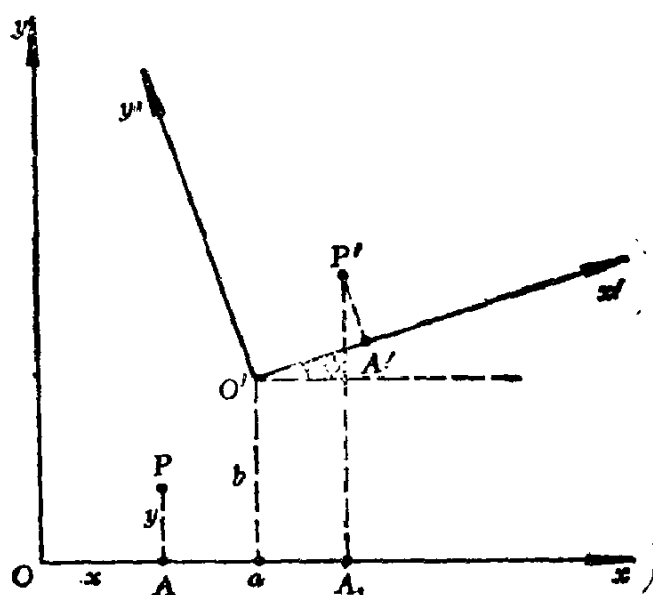


图 6.1

$$u^{-1} = \begin{pmatrix} \cos \phi & \sin \phi & -a \cos \phi - b \sin \phi \\ -\sin \phi & \cos \phi & a \sin \phi - b \cos \phi \\ 0 & 0 & 1 \end{pmatrix} \quad (6.4)$$

表示。

因此，运动群 \mathcal{M} 可以看作具有形状(6.3)的方阵群，其元素的合成规律是普通的方阵积。我们将用同一个记号来表示一个运动和其对应方阵。

每一个运动可以用三维空间一点 (a, b, ϕ) 来确定。这个空间，附上等价关系 $(a, b, \phi) \sim (a, b, \phi + 2k\pi)$ (k 为任意整数)，是群 \mathcal{M} 的空间，也用同一个字母 \mathcal{M} 表示。

每一个运动 $s \in \mathcal{M}$ 确定 \mathcal{M} 的两个自同态：

左移

$$L_s: u \rightarrow su \quad (6.5)$$

与右移

$$R_s: u \rightarrow us. \quad (6.6)$$

例如，若

$$s = \begin{pmatrix} \cos \phi_0 & -\sin \phi_0 & a_0 \\ \sin \phi_0 & \cos \phi_0 & b_0 \\ 0 & 0 & 1 \end{pmatrix}, \quad (6.7)$$

则

$$\begin{aligned} L_s: \begin{pmatrix} \cos \phi & -\sin \phi & a \\ \sin \phi & \cos \phi & b \\ 0 & 0 & 1 \end{pmatrix} \\ \rightarrow \begin{pmatrix} \cos(\phi + \phi_0) & -\sin(\phi + \phi_0) & a \cos \phi_0 - b \sin \phi_0 + a_0 \\ \sin(\phi + \phi_0) & \cos(\phi + \phi_0) & a \sin \phi_0 + b \cos \phi_0 + b_0 \\ 0 & 0 & 1 \end{pmatrix} \end{aligned} \quad (6.8)$$

而这可以写成

$$L_s \begin{cases} a \rightarrow a \cos \phi_0 - b \sin \phi_0 + a_0, \\ b \rightarrow a \sin \phi_0 + b \cos \phi_0 + b_0, \\ \phi \rightarrow \phi + \phi_0. \end{cases} \quad (6.9)$$

同样,

$$R_s \begin{cases} a \rightarrow a_0 \cos \phi - b_0 \sin \phi + a, \\ b \rightarrow a_0 \sin \phi + b_0 \cos \phi + b, \\ \phi \rightarrow \phi_0 + \phi. \end{cases} \quad (6.10)$$

2. \mathfrak{M} 上的微分齐式

\mathfrak{M} 上一个一次微分齐式或一次式(或 Pfaffian 齐式)是任意一个具有形状

$$\omega(u) = \alpha(u)da + \beta(u)db + \gamma(u)d\phi \quad (6.11)$$

的式, 其中 $\alpha(u), \beta(u), \gamma(u)$ 是在空间 \mathfrak{M} 内确定的, 属于 C^∞ 类的函数, 即含 \mathfrak{M} 内 u 点的坐标 a, b, ϕ 的无限次可微的函数.

在 \mathfrak{M} 上, 一切在 u 点的一次微分齐式, 附以自然确定的加法和同纯量的乘法

$$(\omega_1(u) + \omega_2(u)) = (\alpha_1 + \alpha_2)da + (\beta_1 + \beta_2)db + (\gamma_1 + \gamma_2)d\phi,$$

$$\lambda\omega = \lambda\alpha da + \lambda\beta db + \lambda\gamma d\phi$$

构成一个三维矢空间,称为在 u 的一次式矢空间(或 \mathfrak{M} 在 u 点的余切空间),并用 T_u^* 表示. 一次齐式 $da, db, d\phi$ 或者它们的任意一组三个独立的线性组合构成 T_u^* 的一个底. 左移 L_s 和右移 R_s 在 T_u^* 上导出映象

$$L_s^*: \omega(u) \rightarrow \omega(su), \quad R_s^*: \omega(u) \rightarrow \omega(us). \quad (6.12)$$

利用(6.9)和(6.10), 可以写出 $\omega(su)$ 和 $\omega(us)$ 的显式, 其结果是变换方程

$$L_s^* \begin{cases} da \rightarrow \cos\phi_0 da - \sin\phi_0 db, \\ db \rightarrow \sin\phi_0 da + \cos\phi_0 db, \\ d\phi \rightarrow d\phi; \end{cases} \quad (6.13)$$

$$R_s^* \begin{cases} da \rightarrow -(a_0 \sin\phi + b_0 \cos\phi) d\phi + da, \\ db \rightarrow (a_0 \cos\phi - b_0 \sin\phi) d\phi + db, \\ d\phi \rightarrow d\phi. \end{cases} \quad (6.14)$$

一个重要的命题是求 \mathfrak{M} 上一切分别在 L_s^* 下和在 R_s^* 下不变的一次式. 它们依次称为左不变一次式和右不变一次式. 为此, 我们注意方阵

$$\Omega_L = u^{-1} du \quad (6.15)$$

在左移下是不变的, 这是因为

$$L_s^* \Omega_L = (su)^{-1} d(su) = u^{-1} s^{-1} s du = u^{-1} du = \Omega_L. \quad (6.16)$$

故 Ω_L 的元素是左不变一次式. 由(6.3)和(6.4), 得

$$\Omega_L = u^{-1} du = \begin{pmatrix} 0 & -d\phi & \cos\phi da + \sin\phi db \\ d\phi & 0 & -\sin\phi da + \cos\phi db \\ 0 & 0 & 0 \end{pmatrix}. \quad (6.17)$$

故一次齐式

$$\begin{cases} \omega_1 = \cos\phi da + \sin\phi db, \\ \omega_2 = -\sin\phi da + \cos\phi db, \\ \omega_3 = d\phi \end{cases} \quad (6.18)$$

是左不变一次式。

显然, $\omega_1, \omega_2, \omega_3$ 的任意一个常系数线性组合在 L^* 下也是不变一次式^①。我们将要证明: 逆命题也是正确的, 即 \mathfrak{M} 的任意一个左不变式是一次式(6.18)的常系数线性组合。

为了证明这个事实, 我们指出: $\omega_1, \omega_2, \omega_3$ 是独立的(因为作为 $da, db, d\phi$ 的线性组合, 它们的系数行列式不等于零), 因此, 它们构成 T^* 的底, 而每一个一次式 $\omega(u)$ 可以写成

$$\omega(u) = \alpha(u)\omega_1 + \beta(u)\omega_2 + \gamma(u)\omega_3.$$

若 ω 在 L^* 下不变, 则

$$\omega(su) = \alpha(su)\omega_1(su) + \beta(su)\omega_2(su) + \gamma(su)\omega_3(su).$$

但 $\omega_i(su) = \omega_i(u)$ ($i = 1, 2, 3$), 故

$$\begin{aligned} & (\alpha(su) - \alpha(u))\omega_1(u) + (\beta(su) - \beta(u))\omega_2(u) \\ & + (\gamma(su) - \gamma(u))\omega_3(u) = 0. \end{aligned}$$

根据 $\omega_1, \omega_2, \omega_3$ 的独立性, 由此可知

$$\alpha(su) = \alpha(u), \quad \beta(su) = \beta(u), \quad \gamma(su) = \gamma(u),$$

这表明(因为 s 是 \mathfrak{M} 的任意点), α, β, γ 是常数。这样, 我们就解决了求 \mathfrak{M} 的一切左不变一次式问题。

为了求右不变一次式, 我们取方阵

$$\Omega_R = duu^{-1}, \tag{6.19}$$

它是在 R^* 下不变的, 因为

$$R^*\Omega_R = d(us)(us)^{-1} = duss^{-1}u^{-1} = duu^{-1} = \Omega_R.$$

根据(6.3)和(6.4), 可得

$$\Omega_R = \begin{pmatrix} 0 & d\phi & bd\phi + da \\ d\phi & 0 & -ad\phi + db \\ 0 & 0 & 0 \end{pmatrix}, \tag{6.20}$$

① 原文作: “另一方面, $\omega_1, \omega_2, \omega_3$ 是独立齐式(因为 $da, db, d\phi$ 的系数行列式不等于零), 因此它们的每一个常系数线性组合在 L^* 下也是不变一次式。”由于 $\omega_1, \omega_2, \omega_3$ 的独立并不是这里结论的必要条件, 故这里的译文作了删节, 而把 $\omega_1, \omega_2, \omega_3$ 独立性的根据移注于下面的证明中。——译者

故有下列右不变一次式:

$$\omega^1 = b d\phi + da, \quad \omega^2 = -a d\phi + db, \quad \omega^3 = d\phi. \quad (6.21)$$

$\omega^1, \omega^2, \omega^3$ 的任意一个常系数线性组合是右不变一次式, 而通过和上面相同的证明, 可以看出, 倒转来, \mathfrak{M} 的任意一个右不变一次式是一次式 (6.21) 的常系数线性组合.

最后, 把恒等式 $uu^{-1} = e = \varepsilon$ 方阵微导, 我们得 $duu^{-1} + udu^{-1} = 0$, 因此

$$du^{-1} = -u^{-1}duu^{-1}. \quad (6.22)$$

由这个等式以及 (6.15), (6.19), 得

$$\Omega_L(u^{-1}) = -\Omega_R(u). \quad (6.23)$$

这是一个以后有用的一个重要关系.

3. 运动密度

由于 $\omega_1, \omega_2, \omega_3$ 是左不变一次式, 外积

$$dK = \omega_1 \wedge \omega_2 \wedge \omega_3 = da \wedge db \wedge d\phi \quad (6.24)$$

是左不变三次式. 不但如此, 除一个常数因子外, dK 还是 \mathfrak{M} 上唯一的左不变三次式. 证明如下.

若

$$\psi = f(a, b, \phi) da \wedge db \wedge d\phi = f(u) \omega_1 \wedge \omega_2 \wedge \omega_3$$

是一个左不变三次式, 则

$$f(su) \omega_1(su) \wedge \omega_2(su) \wedge \omega_3(su) = f(u) \omega_1 \wedge \omega_2 \wedge \omega_3.$$

而由于 $\omega_i(su) = \omega_i(u) (i = 1, 2, 3)$, 可知 $f(su) = f(u)$. 由于任意的 u 可以通过一个适当的左移^① 变成任意的 su ^①, 函数 f 在 \mathfrak{M} 的一切点有相同的值: 即它是常数.

由 (6.21) 可知

$$\omega^1 \wedge \omega^2 \wedge \omega^3 = da \wedge db \wedge d\phi = dK, \quad (6.25)$$

即微分齐式 dK 也是右不变式. 根据与上面相同的论证可知, 除

① 这句话的意思也就是: 若 u, v 为 m 的任意两点, 令 $s = vu^{-1}$ 就得 $su = v$.
——译者

一个常数因子外，它是在右移下唯一的不变三次式。最后，由(6.23)①，可知

$$dK(u^{-1}) = -dK(u), \quad (6.26)$$

即：除一个符号外，在运动逆转(即取运动 u 的逆运动 u^{-1})中， dK 也是不变式。由于我们对于密度总是取绝对值，(6.26)里的变号是不起作用的，于是可以断言：三次式(6.24)在左移和右移下，以及在运动逆转中，都是不变的，它叫做平面上运动群的运动密度。

运动密度 dK 是运动群 Ω 的空间的不变体积元素。在 Ω 上一个域内取 dK 的积分，就得其对应的运动集合的测度(运动测度)。现在我们举几个例来说明运动测度的几何意义及其不变性。

取一个长方形 $K = OABC$ 和一个固定的域 K_0 如图6.2所示。设运动 u 令 $uK \cap K_0 \neq \emptyset$ ，试考虑一切这样的运动 u 所构成的集合的测度。上述集合也就是把 K 移动到和 K_0 相交的位置的运动

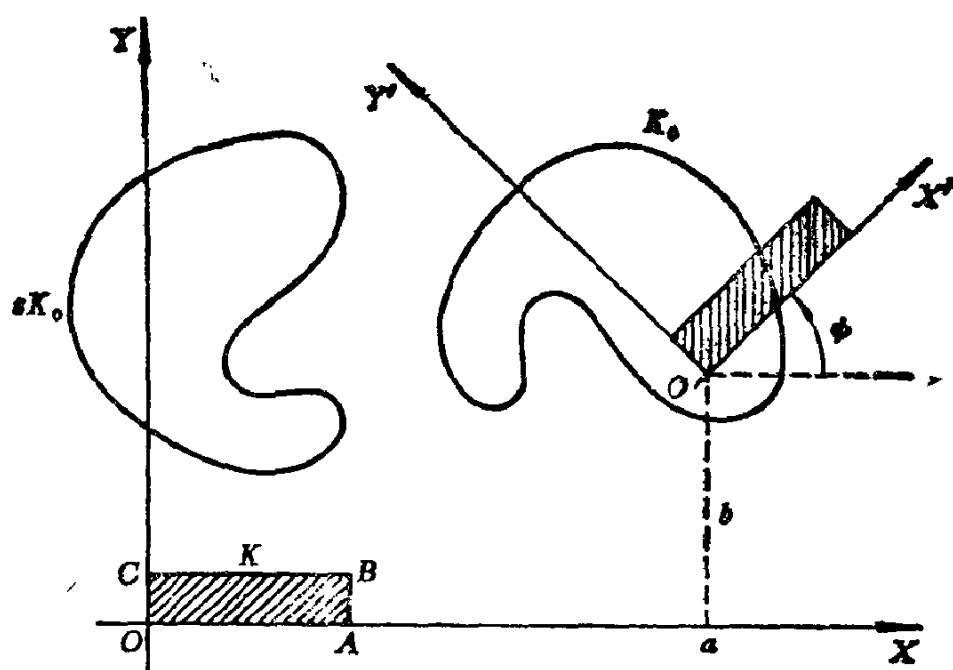


图 6.2

① 原文作 (6.22)，疑误。由 (6.23) 以及 (6.17)，(6.18) 和 (6.20)，(6.21) 可知， $\Omega_L(u^{-1})$ 的元素 $\omega_1(u^{-1}), \omega_2(u^{-1}), \omega_3(u^{-1})$ 依次等于 $-\Omega_R(u)$ 的对应元素 $-\omega^1(u), -\omega^2(u), -\omega^3(u)$ ，故由 (6.24) 和 (6.25) 得 (6.26)。——译者

的集合.所考虑的测度等于 $dK = da \wedge db \wedge d\phi$ 的一个积分,积分范围是使 $uK \cap K_0 \neq \emptyset$ 的点 $O'(a, b)$ 和角 ϕ . 这个测度的左不变性表示, 我们可以用 K_0 在运动 s 下的象 sK_0 来代替 K_0 , 因为这样做并不影响测度. 换句话说, 对于任意固定的 s , 令 $uK \cap K_0 \neq \emptyset$ 的运动的测度等于令 $uK \cap sK_0 \neq \emptyset$ 的测度.

测度的右不变性表示, 我们可以取 sK 来代替 K , 而令 $u(sK) \cap K_0 \neq \emptyset$ 的运动测度与前相同. 由此可见, 运动测度与 K 或 K_0 的初始位置无关, 因而求上述运动集合的测度问题可代以求“同域 K_0 有公共点, 而和 K 全等的长方形的测度”问题. 这种以“全等图形集合”为基础的提法比以“运动集合”为基础的提法, 显然是等价的, 有时却更直观.

取运动的逆而 dK 不变, 这表明令 $uK \cap K_0 \neq \emptyset$ 的运动 u 的集合的测度等于令 $K \cap u'K_0 \neq \emptyset$ 的运动 $u' = u^{-1}$ 的测度. 例如, 若 K 缩成一点 $P_0(0, 0)$, 而令 $uP_0 = P(a, b)$, 则

$$\begin{aligned} m(u; uP_0 \in K_0) &= \int_{uP_0 \in K_0} da \wedge db \wedge d\phi \\ &= 2\pi \int_{uP_0 \in K_0} da \wedge db = 2\pi F_0, \end{aligned} \quad (6.27)$$

其中 F_0 是 K_0 的面积. 若考虑令 $P_0 \in u'K_0$ 的逆运动 u' , 其结果应相同, 故

$$m(u'; P_0 \in u'K_0) = \int_{P_0 \in u'K_0} dK_0 = 2\pi F_0, \quad (6.28)$$

其中我们用 dK_0 表示现在运动中的图形是 K_0 . 方程(6.28)是一个简单而有用的公式.

注记. 根据上面的分析, 可见在计算一个图形 K 的全等图形位置的集合测度时, 必须选取一个固定在 K 内的标架 $(O'; x', y')$ (动标), 然后在那个集合范围内积分 $dK = da \wedge db \wedge d\phi$, 其中 a, b 是 O' 在固定标架 $(O; x, y)$ (定标)里的坐标, 而 ϕ 则由 x 轴到 x' 轴的角(图6.3).

动标的选择是任意的. 事实上, 若选取动标, $(O_1; x_1, y_1)$ 来

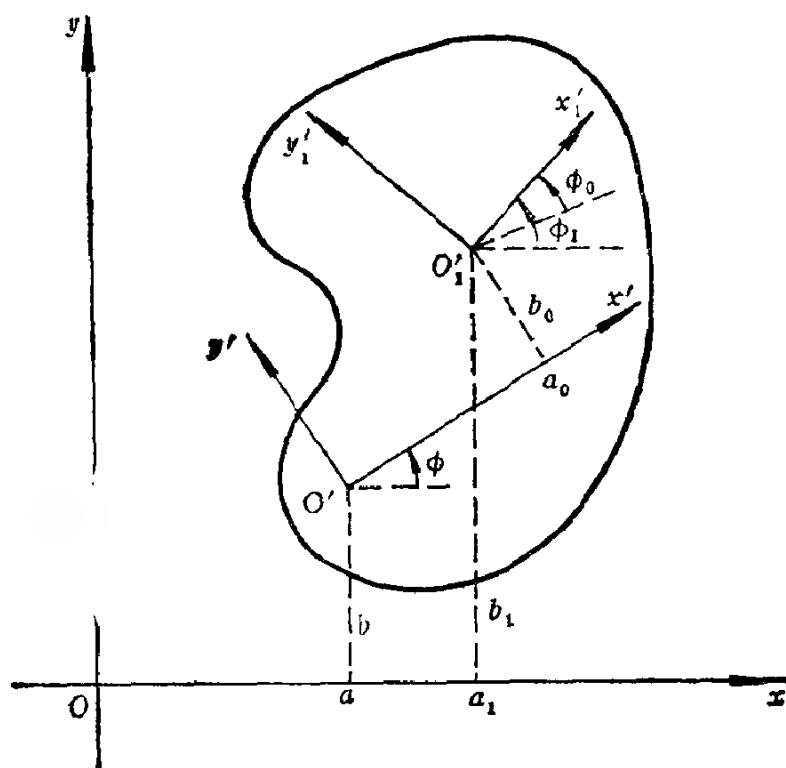


图 6.3

代替 $(O'; x', y')$, 并设 a_0, b_0 为 O'_1 在标架 $(O'; x', y')$ 里的坐标, 而 ϕ_0 为 $O'x'$ 到 $O'_1x'_1$ 的角, 则

$$\begin{cases} a_1 = a + a_0 \cos \phi - b_0 \sin \phi, \\ b_1 = b + a_0 \sin \phi + b_0 \cos \phi, \\ \phi_1 = \phi + \phi_0, \end{cases} \quad (6.29)$$

而这正是右移(6.10)的变换方程, 因此运动密度不变. 换句话说, dK 的右不变性等价于在动标变更下的不变性. 这个性质使 我们可以在每一个具体实例中选取较适当的动标.

运动密度的其他表达形式. 设 $(P; x', y')$ 为动标, 其原点在 $P(a, b)$, 而由 x 轴到 Px' 轴的角是 ϕ (图6.4). 若用新的坐标来确定这个动标, 就会获得 dK 新的表达式. 例如, 设用 $G(p, \theta)$ 表示直线 Px' , 而用 H 表示从 O 到 G 的垂足, 并令 $t = PH$, 就可以用 G 和 t 确定 $(P; x', y')$. 变换公式是

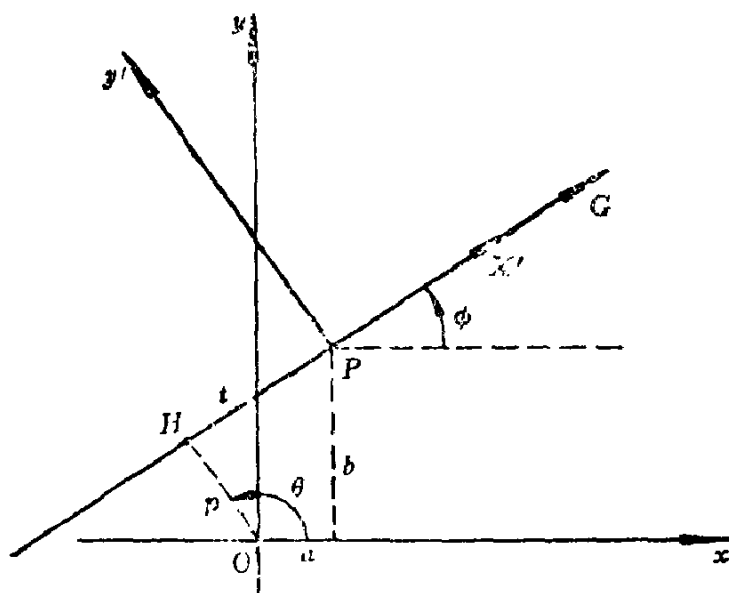


图 6.4

$$a = p \cos \theta + t \sin \theta, \quad b = p \sin \theta - t \cos \theta, \quad \phi = \theta - \pi/2.$$

故 $dK = da \wedge db \wedge d\phi = dp \wedge d\theta \wedge dt$, 或者

$$dK = dG^* \wedge dt, \quad (6.30)$$

其中我们用 G^* 来标明 G 必须看作有向直线, 因为动标 $(P; x', y')$ 随着 G 的方向改变而改变。每一条无向直线对应于两条有向直线。

若令 $dP = da \wedge db$, 则(6.30)可以写成

$$dP \wedge d\phi = dG^* \wedge dt. \quad (6.31)$$

下面是 dK 的另一种表达式。平面上平移决定于两个参数 a, b , 因而在运动群中, 平移的集合的测度是零。因此在讨论运动集合的测度时, 可以把平移排除在外。除平移外, 每一个运动 u 是绕一个定点 Q 的转动, Q 称为 u 的转动中心。设 ξ, η 为 Q 的坐标, ϕ 为转动角, 并设转动 u 把标架 $(O; x, y)$ 变成 $(O'; x', y')$ 。则坐标 a, b, ϕ 和 ξ, η, ϕ 之间的关系是

$$a = (1 - \cos \phi) \xi + \sin(\phi) \eta, \quad b = -\sin(\phi) \xi + (1 - \cos \phi) \eta.$$

这可以在方程(6.1)中令 $x = x' = \xi, y = y' = \eta$ 得到。由上面的变

换公式，容易算出

$$dK = 4\sin^2(\phi/2)d\xi \wedge d\eta \wedge d\phi. \quad (6.32)$$

这个表达式不能用于平移，因为对于平移， Q 是一个无穷远点。

4. 线段集合

设 K_0 为固定凸集，面积是 F_0 ，周长是 L_0 。设 K 为长度等于 l 的有向线段。我们要计算同 K_0 相交而和 K 全等的线段集合的测度(图6.5)。选取运动密度的表达式(6.30)，令 G 为含线段 K 在内的直线， σ 为弦 $G \cap K_0$ 之长，则(利用(3.6)和(3.12))，

$$\begin{aligned} m(K; K \cap K_0 \neq \emptyset) &= \int_{K \cap K_0 \neq \emptyset} dG^* \wedge dt = \int_{G \cap K_0 \neq \emptyset} (\sigma + l) dG^* \\ &= 2\pi F_0 + 2lL_0. \end{aligned} \quad (6.33)$$



图 6.5

因此，若一个凸集的面积是 F_0 ，周长为 L_0 ，则一切长度等于 l 而和该凸集有公共点的有向线段的测度为 $2\pi F_0 + 2lL_0$ 。

关于求含于 K_0 内的定长线段的测度问题，没有简单答案，其结果同 K_0 的形状密切相关。对于直径等于 $D \geq l$ 的圆 C ，通

过直接计算可得

$$m(K, K \subset C) = (\pi/2) [\pi D^2 - 2D^2 \arcsin(l/D) - 2l(D^2 - l^2)^{1/2}], \quad (6.34)$$

而对于边长等于 $a, b (l \leq a, l \leq b)$ 的长方形 R , 则有

$$m(K, K \subset R) = 2(\pi ab - 2(a+b)l + l^2). \quad (6.35)$$

在 l 满足某些条件下, 对于一个凸多边形, 其相应测度将在下面(6.44)给出.

若 K_0 缩成长度为 l_0 的线段, 测度(6.33)化为 $4ll_0$. 若 K_0 为总长等于 L_0 的折线, 则对于 K_0 每边计算这个测度, 然后对一切边相加, 就得

$$\int_{K \cap K_0 \neq \emptyset} n dK = 4lL_0, \quad (6.36)$$

其中 n 表示在线段 K 各个位置上, K_0 同 K 有公共点的边数(图 6.6).

现在, 我们计算同一个角 A 的两边都相交而长度为 l 的有向线段 K 的测度. 我们用 A 同时表示角的顶点与角的大小. 用 σ 表示角 A 从 K 所在的直线 G 截下的弦(图 6.7), 则

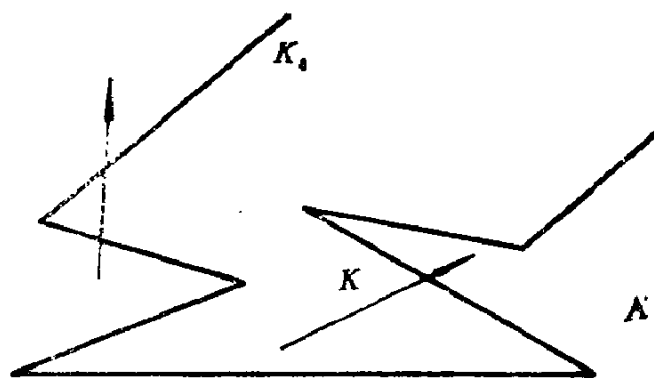


图 6.6

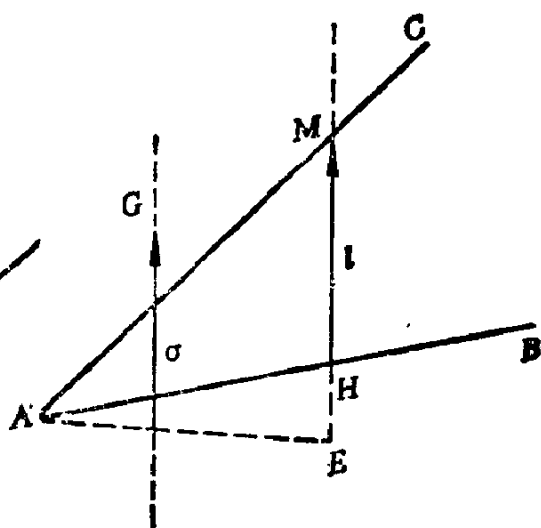


图 6.7

$$m(K; K \cap AB \neq \emptyset, K \cap AC \neq \emptyset) = \int dG^* \wedge dt = 2 \int_{\sigma < l} (l - \sigma) dG. \quad (6.37)$$

又

$$\int_{\sigma < l} l dG = l \int_{\sigma < l} dp \lambda d\phi = l \int |AE| d\phi = 2 \int_0^{\pi-A} T d\phi, \quad (6.38)$$

其中 T 是垂直于方向 ϕ 而具有长度 l 的弦 HM 所确定的三角形 AHM 的面积。

另一方面,

$$\int_{\sigma < l} \sigma dG = \int_{\sigma < l} \sigma dp \wedge d\phi = \int_0^{\pi-A} T d\phi. \quad (6.39)$$

因此,

$$m(K; K \cap AB \neq \emptyset, K \cap AC \neq \emptyset) = 2 \int_0^{\pi-A} T d\phi. \quad (6.40)$$

为了计算这个积分, 注意

$$2T = (l^2/\sin A) \sin \phi \sin(A + \phi), \quad (6.41)$$

故

$$m = \frac{l^2}{\sin A} \int_0^{\pi-A} \sin \phi \sin(A + \phi) d\phi = \frac{l^2}{2} [1 + (\pi - A) \cot A]. \quad (6.42)$$

于是, 一切同一个角 A 两边都相交而长度为 l 的有向线段的测度如(6.42)所示。

在一个已给凸多边形内部的线段集合。设 K_0 为一个凸多边形而 K 为一个有向线段, 假定 K 的长 l 限定它不能同两条不相邻的边都相交。

设 $m_i (i=0, 1, 2)$ 为同 K_0 的边界恰好有 i 个公共点的一切 K 的位置的测度 (m_0 是在 K_0 内部的一切线段 K 的测度)。公式(6.33), (6.36)和(6.42)依次可以写作:

$$m_0 + m_1 + m_2 = 2\pi F_0 + 2lL_0,$$

$$m_1 + 2m_2 = 4lF_0,$$

① 公式里的 A , 指 K_0 边界上的角, 其下标与 m_i 的下标无涉。——译者

$$m_2 = (l^2/2) \sum_{A_i} [1 + (\pi - A_i) \cot A_i], \quad (6.43)$$

因而

$$\begin{aligned} m_0 &= 2\pi F_0 - 2lL_0 + \frac{l^2}{2} \sum_{A_i} [1 + (\pi - A_i) \cot A_i], \\ m_1 &= 4lL_0 - l^2 \sum_{A_i} [1 + (\pi - A_i) \cot A_i], \\ m_2 &= \frac{l^2}{2} \sum_{A_i} [1 + (\pi - A_i) \cot A_i]. \end{aligned} \quad (6.44)$$

对于无向线段，这些结果都应除以 2。

同一个已给凸集相交的凸集

设 K_0 为具有面积 F_0 和周长 L_0 的凸集，而 K_1 为具有面积 F_1 和周长 L_1 的凸集。我们将计算同 K_0 有公共点的一切与 K_1 全等的凸集的测度，也就是同 K_0 相交的一切 K_1 的位置的测度。 K_1 的位置决定于 K_1 中一点 P_1 的坐标 x_1, y_1 以及固定在 K_1 内的一个方向 P_1A 同固定在平面上的一个方向 P_0x 所作的角(图6.8)。

运动测度 $dK_1 = dx_1 \wedge dy_1 \wedge d\phi$ ，其中我们用 dK_1 (代替 dK)

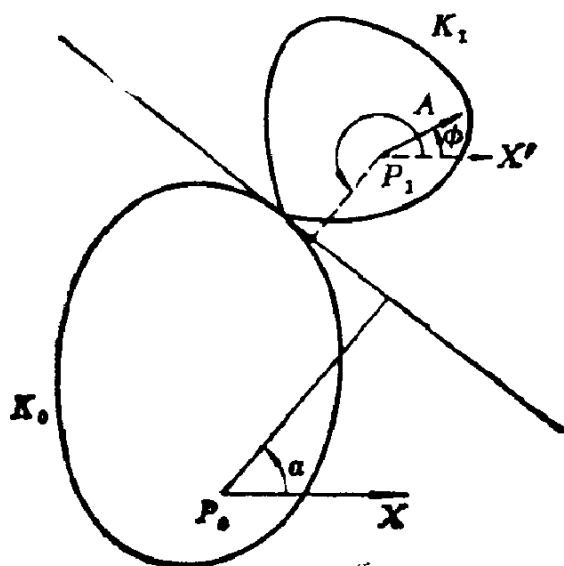


图 6.8

来表示它属于运动中的 K_1 。我们要计算

$$m(K_1; K_1 \cap K_0 \neq \emptyset) = \int_{K_1 \cap K_0 \neq \emptyset} dK_1 = \int_{K_1 \cap K_0 \neq \emptyset} dP_1 \wedge d\phi. \quad (6.45)$$

设 $p_0(\alpha)$ 和 $p_1(\alpha)$ 依次为 K_0 和 K_1 的撑函数, 依次相对于原点 $P_0(x_0, y_0) \in K_0$, $P_1(x_1, y_1) \in K_1$ 和平行的轴 P_0x, P_1x' 。若固定 ϕ 而将 K_1 平移, 使它和 K_0 外切(图6.8), 则 P_1 在平移中描出一条新的曲线, 它是撑函数

$$p(\alpha) = p_0(\alpha) + p_1(\alpha + \pi) \quad (6.46)$$

所确定的凸集的边界。

按照第一章第三节, $p_1(\alpha + \pi)$ 是把 K_1 对 P_1 点作反射所得的凸集 K_1^* 的撑函数, 因此, 以 $p(\alpha)$ 为撑函数的凸集的面积是 $F_0 + F_1 + 2F_{01}^*$, 其中 F_{01}^* 是 K_0 和 K_1^* 的混合面积。所以, 使 $K_0 \cap K_1 \neq \emptyset$ 的一切 K_1 的平移的测度是 $F_0 + F_1 + 2F_{01}^*$ 。这是把(6.45)对 dP_1 积分的结果。

再对 $d\phi$ 积分, 得

$$\begin{aligned} m(K_1; K_1 \cap K_0 \neq \emptyset) &= \int_0^{2\pi} (F_0 + F_1 + 2F_{01}^*) d\phi \\ &= 2\pi(F_0 + F_1) + L_0 L_1, \end{aligned} \quad (6.47)$$

其中我们利用了(1.13)。注意 K_1 和 K_1^* 有相同的周长。于是证明了

一个凸集 K_1 同一个已给凸集 K_0 相交的一切位置的测度是

$$m(K_1; K_1 \cap K_0 \neq \emptyset) = \int_{K_1 \cap K_0 \neq \emptyset} dK_1 = 2\pi(F_0 + F_1) + L_0 L_1. \quad (6.48)$$

特款1. 若 K_1 为长度等于 l 的线段, 则 $F_1 = 0, L_1 = 2l$, 而(6.48)化为(6.33)。

特款2. 若 K_1 为半径等于 R 的圆, 可以选取 K_1 的中心为 P_1 , 于是 $\int dK_1 = 2\pi \int dP_1$, 公式(6.48)化为

$$\int_{K_0 \cap K_1 \neq \emptyset} dP_1 = F_0 + L_0 R + \pi R^2. \quad (6.49)$$

这是(1.18)中的第二公式，而这是当然的。

含在一个已给凸集内的凸集。一个凸集 K_1 含在一个固定凸集 K_0 的位置的测度，一般地没有简单的表达式。但是，在 ∂K_1 和 ∂K_0 有连续的曲率半径，而且 ∂K_1 的最大曲率半径不大于 ∂K_0 的最小曲率半径的假设下，其答案是简单的。事实上，沿用上面记号，若把 K_1 平移，使它总是含在 K_0 内，则这样所得到的 P_1 的位置的集合是一个凸集，其撑函数是

$$p(\alpha) = p_0(\alpha) - p_1(\alpha). \quad (6.50)$$

注意由于 $p + p'' = (p_0 + p_0'') - (p_1 + p_1'') > 0$ (见第一章,第2节), $p(\alpha)$ 的确是一个凸集的撑函数。根据(1.8)，这个凸集的面积是

$$\frac{1}{2} \int_0^{2\pi} (p^2 - p'^2) d\phi = F_0 + F_1 - 2F_{01}. \quad (6.51)$$

在 K_1 的一切转动范围内积分，并利用(1.13)，就得

$$m(K_1; K_1 \subset K_0) = 2\pi(F_0 + F_1) - L_0 L_1. \quad (6.52)$$

于是得：

若 K_0 和 K_1 为有界凸集，其边界 ∂K_0 和 ∂K_1 有连续曲率半径，而且 ∂K_1 的最大曲率半径不大于 ∂K_0 的最小曲率半径，则含在 K_0 而和 K_1 全等的一切凸集的测度由(6.52)决定。若只考虑 K_1 的平移，则其相应测度由(6.51)决定。

若 ρ_m 是 ∂K_0 的最小曲率半径而 K_1 是半径为 R ($R \leq \rho_m$) 的圆，并取 K_1 的中心为 P_1 ，则由(6.52)可知，含在 K_0 内的 K_1 的中心所构成的区域的面积，即距 K_0 为 R 的内平行凸集的面积是 (参考第一章,第4节)

$$(2\pi)^{-1} m(K_1; K_1 \subset K_0) = F - LR + \pi R^2. \quad (6.53)$$

若 ρ_M 为 ∂K_0 的最大曲率半径而 K_1 为半径等于 R ($R \geq \rho_M$) 的圆，则(6.53)给出含整个 K_0 在内的圆 K_1 的中心所构成的区

域的面积。

6. 一些积分公式

(1) 设 K_0, K_1 为两个平面域, 它们不一定是凸的, 其面积依次为 F_0, F_1 . 假定 K_0 固定而 K_1 在运动. 设 dK_1 为 K_1 的密度, 设 $P(x, y)$ 为平面上一点而 $dP = dx \wedge dy$ 为其密度. 考虑积分

$$I = m(P, K_1, P \in K_0 \cap K_1) = \int_{P \in K_0 \cap K_1} dP \wedge dK_1. \quad (6.54)$$

其积分范围是满足 $P \in K_0 \cap K_1$ 的 P_1 和 K_1 的一切位置. 若先令 P 固定并利用(6.28), 就得

$$I = \int_{P \in K_0} dP \int_{P \in K_1} dK_1 = 2\pi F_1 \int_{P \in K_0} dP = 2\pi F_0 F_1, \quad (6.55)$$

若先令 K_1 固定, 就得

$$I = \int_{K_1 \cap K_0 \neq \emptyset} dK_1 \int_{P \in K_1 \cap K_0} dP = \int_{K_1 \cap K_0 \neq \emptyset} f_{01} dK_1, \quad (6.56)$$

其中 f_{01} 表示 $K_1 \cap K_0$ 的面积(图6.9). 由(6.55)和(6.56)得

$$\int_{K_1 \cap K_0 \neq \emptyset} f_{01} dK_1 = 2\pi F_0 F_1. \quad (6.57)$$

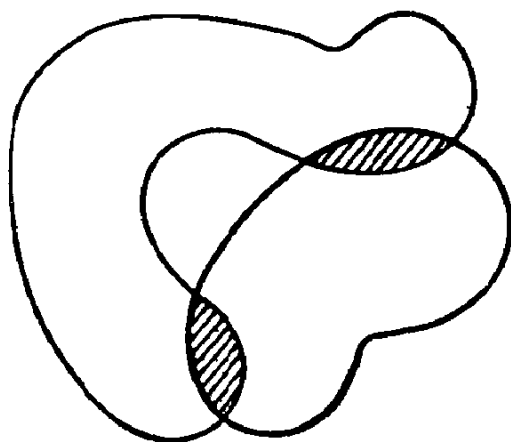


图 6.9

(2) 设 K_0, K_1 为平面区域, 其面积依次为 F_0, F_1 , 而且它们的边界为可求长曲线, 其长为 L_0, L_1 . 设 $A(s_0)$ 为 ∂K_0 上一点 (s_0 表示弧长), 并考虑

$$J_1 = \int_{A \in K_1} ds_0 \wedge dK_1.$$

若先令 A 固定, 就得

$$J_1 = \int_{\partial K_0} ds_0 \int_{A \in K_1} dK_1 = 2\pi F_1 L_0. \quad (6.58)$$

若先令 K_1 固定而用 l_{01} 表示 ∂K_0 在 K_1 内部分的弧长, 则得

$$J_1 = \int_{K_1 \cap K_0 \neq \emptyset} dK_1 \int_{A \in K_1} ds_0 = \int_{K_1 \cap K_0 \neq \emptyset} l_{01} dK_1. \quad (6.59)$$

由(6.58)和(6.59), 就得(图6.10)

$$\int_{K_0 \cap K_1 \neq \emptyset} l_{01} dK_1 = 2\pi F_1 L_0. \quad (6.60)$$

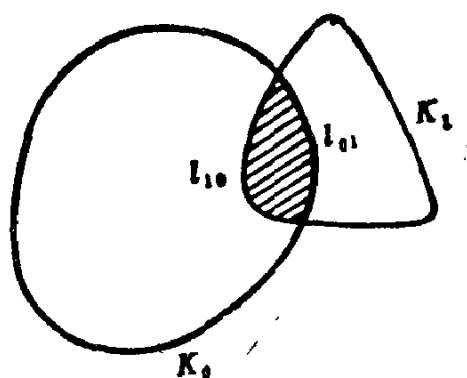


图 6.10

若 l_{10} 表示 ∂K_1 在 K_0 内部分的弧长, 则根据运动测度在运动逆转中的不变性, 与(6.60)类似, 得

$$\int_{K_0 \cap K_1 \neq \emptyset} l_{10} dK_1 = 2\pi F_0 L_1. \quad (6.61)$$

把(6.60)和(6.61)相加, 得

$$\int_{K_0 \cap K_1 \neq \emptyset} L_{01} dK_1 = 2\pi(F_1 L_0 + F_0 L_1), \quad (6.62)$$

其中 L_{01} 是 $K_0 \cap K_1$ 的边界长.

(3) 设 K_0, K_1, K_2 为平面上三个有界凸集. 假定 K_0 固定而 K_1, K_2 在运动, 其运动密度依次为 dK_1, dK_2 . 连接应用(6.48), 得

$$\begin{aligned} m(K_1, K_2; K_0 \cap K_1 \cap K_2 \neq \emptyset) &= \int_{K_0 \cap K_1 \cap K_2 \neq \emptyset} dK_1 \wedge dK_2 \\ &= \int_{K_1 \cap K_0 \neq \emptyset} [2(F_2 + f_{01}) + L_2 L_{01}] dK_1 \\ &= (2\pi)^2 (F_1 F_2 + F_0 F_1 + F_0 F_2) \\ &\quad + 2\pi (F_0 L_1 L_2 + F_1 L_0 L_2 + F_2 L_0 L_1), \end{aligned} \quad (6.63)$$

在这里, 我们利用了(6.56)和(6.62). 把(6.63)扩充到 n 个凸集是直接了当的[523]. Stoka [648, 650, 651]和 Filipescu[190]获得了一些与此有关的结果, 关于把(6.57)推广到 E_n 以及 Lebesgue^e 可测集的问题, 可参看[17, 18].

7. 一项中值, 覆盖问题

设 K_0 为面积等于 F_0 , 周长等于 L_0 的凸集, K_1, K_2, \dots, K_n 为互相全等, 面积等于 F , 周长等于 L 的凸集. 假定让 K_i 随机地落在平面上, 使它们都和 K_0 相交. 我们求 K_0 内被恰好 r 个 K_i 覆盖的面积的中值 ($r = 0, 1, 2, \dots, n$). 在图 6.11 里, $n = 4$, 有阴影的面积对应于 $r = 2$. 为了上述目的, 考虑积分

$$I_r = \int dP \wedge dK_1 \wedge dK_2 \wedge \dots \wedge dK_n, \quad (6.64)$$

其积分范围是一切 K_0 内被恰好 r 个 K_i 覆盖的点 P , 和一切满足 $K_i \cap K_0 \neq \emptyset$ 的 K_i 的位置. 若先令 P 固定, 就有

$$I_r = \binom{n}{r} \int_{P \in K_0} (2\pi F)^r (2\pi F_0 + L_0 L)^{n-r} dP$$

$$= \binom{n}{r} (2\pi F)^r (2\pi F_0 + L_0 L)^{n-r} F_0. \quad (6.65)$$

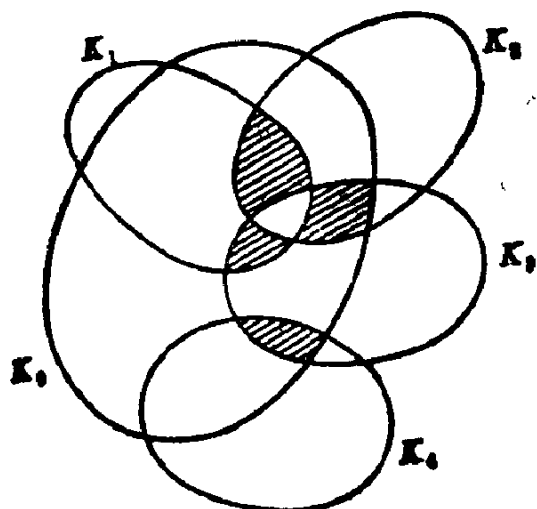


图 6.11

另一方面，若先令 K_1, K_2, \dots, K_n 固定，就有

$$I_r = \int_{K_0 \cap K_1 \neq \emptyset} f_r dK_1 \wedge dK_2 \wedge \dots \wedge dK_n, \quad (6.66)$$

其中 f_r 表示 K_0 被恰好 r 个 K_i 覆盖的面积。于是所求中值是

$$E(f_r) = \frac{\binom{n}{r} (2\pi F)^r (2\pi F_0 + L_0 L)^{n-r} F_0}{[2\pi(F + F_0) + LL_0]^n}. \quad (6.67)$$

令 $n \rightarrow \infty$ ，同时 K_i 的面积和不变，即 $nF = \alpha = \text{常数}$ ，考虑这时上述中值的极限。在(6.67)中，令 $F = \alpha/n$ ，并取 $n \rightarrow \infty$ 时的极限，就得：

(a) 若 K_i 趋于长度为 s 的线段，则 $L \rightarrow 2s$ ，

$$E(f_r) \rightarrow \frac{F_0}{r!} \left(\frac{\pi \alpha}{\pi \alpha + s L_0} \right)^r \exp \left(- \frac{\pi \alpha}{\pi F_0 + s L_0} \right). \quad (6.68)$$

(b) 若当 $F \rightarrow 0$ 时， K_i 的周长 $L \rightarrow 0$ ，则

$$E(f_r) \rightarrow \frac{F_0}{r!} \left(\frac{\alpha}{F_0} \right)^r \exp \left(- \frac{\alpha}{F_0} \right). \quad (6.69)$$

令 $r=0$, 这些公式就给出 K_0 内不被任何 K_i 覆盖的面积的中值。

由(6.65)可知, 若随机地取凸集 K_0 内一点 P 和 n 个同 K_0 相交而互相全等的凸集 K_i , 则 P 点被恰好 r 个 K_i 覆盖的概率是

$$p_r = \frac{\binom{n}{r} (2\pi F)^r (2\pi F_0 + L_0 L)^{n-r}}{[2\pi(F + F_0) + LL_0]^n}. \quad (6.70)$$

较困难而尚未解决的问题是求 K_0 内每一点被恰好 r 个 K_i 覆盖的概率。所谓覆盖问题是指下述形式的问题。设 S 为固定点集而 A_i 为含 S 在内的那个空间里一个叙列的随机集。这时, 对于固定的 N , 我们要求 $S \subset \bigcup_{i=1}^N A_i$ 的概率(覆盖概率)。Cooke[122,123]给出了这些覆盖概率的一般上界和下界。这些概率一般地难以准确地计算, 于是我们就寻求渐近的结果。下面我们举一个例。

设 D 是凸集 K_0 的一个域。 D 内一点被恰好 r 个凸集 K_i 覆盖的概率如(6.70)所示, 假定 K_0 膨胀成整个平面, 但同时 $n/F_0 \rightarrow \rho$ (正常数)。这时, 不管 K_0 的形状如何, $L_0/F_0 \rightarrow 0$ (第四章, 第4节), 而(6.70)化为

$$\lim p_r = \frac{(PF)^r}{r!} e^{-PF}. \quad (6.71)$$

这个过程所产生的面积为 F 的凸集 K_i 的无尽叙列, 构成一个密度为 ρ 的凸集场。按照(6.71), 它们覆盖平面上一点的个数是一个参数为 ρF 的 Poisson 随机变量。同前面的情况一样, D 的每一点都被恰好 r 个 K_i 覆盖的概率还是不知道。对于 D 的面积 $F^* \rightarrow \infty$ 的款, Miles[412]给出了下面的渐近结果。

D 的每一点被至少 r 块 K_i 覆盖的概率是

$$\sim \exp\{-r\rho F^* \exp(-\rho F)[1 + \dots + (\rho F)^r / r!]\}, \quad (6.72)$$

$$r = 0, 1, 2, \dots,$$

而 D 的每一点被至多 r 块 K_i 覆盖的概率($F^* \rightarrow \infty$ 的渐近值)是

$$\sim \exp \left[- (r+1) \rho F^* \exp(-\rho F) \left(\frac{(\rho F)^r}{r!} + \frac{(\rho F)^{r+1}}{(r+1)!} + \dots \right) \right],$$

(6.73)

$$r = 0, 1, 2, \dots,$$

其中 F^* 是 D 的面积。

关于一类覆盖问题的文献评介，可参考 W. C. Guenther 与 P. Terragno[251]。关于球面上的覆盖问题，参看第十八章第 6 节注记 4。

8. 注记与练习

(1) 两个中值。设 K_0 为面积等于 F_0 ，周长等于 L_0 的固定凸集； K_1, K_2, \dots, K_n 为 n 个面积等于 F ，周长等于 L 的互相全等凸集。假定让 K_i 随机地落在平面上，但都和 K_0 相交。设 u_r 为 K_0 被恰好 r 个 K_i 覆盖部分的边界长，这个边界可能为若干个闭曲线所构成。这样， u_r 的中值是以下两积分值之比：

$$\begin{aligned} & \int_{K_i \cap K_0 \neq \emptyset} u_r dK_1 \wedge dK_2 \wedge \dots \wedge dK_n \\ &= \binom{n}{r} (2\pi F)^r (2\pi F_0 + LL_0)^{n-r} L_0 \\ &+ n \left[\binom{n-1}{r-1} (2\pi F)^{r-1} (2\pi F_0 + LL_0)^{n-r} 2\pi F_0 L \right. \\ &\quad \left. + \binom{n-1}{r} (2\pi F)^r (2\pi F_0 + LL_0)^{n-r-1} 2\pi F_0 L \right] \end{aligned}$$

(6.74)

和

$$\int_{K_i \cap K_0 \neq \emptyset} dK_1 \wedge dK_2 \wedge \dots \wedge dK_n = [2\pi(F + F_0) + LL_0]^n.$$

(6.75)

恰好被 r 个 K_i 覆盖的区域数 N_r 的中值（在图 6.11 里， $N_0 = 2$ ， $N_1 = 4$ ， $N_2 = 4$ ， $N_3 = 1$ ）是下面积分值和 (6.75) 之比：

$$\begin{aligned}
& \int_{K_i \cap K_0 \neq \emptyset} N_r dK_1 \wedge dK_2 \wedge \cdots \wedge dK_n \\
&= n(2\pi F)^{r-1} (2\pi F_0 + LL_0)^{n-r-1} 2\pi F_0 \\
&\quad \times \left[\binom{n-1}{r} + \binom{n-1}{r-1} (2\pi F_0 + LL_0) \right] \\
&\quad + \binom{n}{r} (2\pi F)^r (2\pi F_0 + LL_0)^{n-r} \\
&\quad + \binom{n}{2} 2\pi L F_0 (2\pi F)^{r-2} (2\pi F_0 + LL_0)^{n-r-2} \\
&\quad \times \left[\binom{n-2}{r-2} (2\pi F_0 + LL_0)^2 + \binom{n-1}{r-1} 4\pi F (2\pi F_0 + LL_0) \right. \\
&\quad \left. + \binom{n-2}{r} (2\pi F)^2 \right] + LL_0 n (2\pi F)^{r-1} (2\pi F_0 \\
&\quad + LL_0)^{n-r-1} \times \left[\binom{n-1}{r-1} (2\pi F_0 + LL_0) \right. \\
&\quad \left. + \binom{n-1}{r} 2\pi F \right]. \tag{6.76}
\end{aligned}$$

在 (6.74) 和 (6.76) 里, 当二项式系数没有意义时, 就用零代入 [560]。其他有关的中值以及到三维空间的推广见 [658]。

(2) 凸集的一个随机分布中的团数。设在一个面积 A 上随机地放上 N 个小薄凸片。若有一组的薄片, 其中每一片搭上组中另一片, 我们就说, 这一组薄片构成一团^①。为方便起见, 若一个薄片不和别的相搭, 它本身也算是一个团。Armitage [12] 和 Mack [385] 考虑了下述问题: 求表达团的期望数的近似公式。当人们需要在样品盘上数一数有多少个粒子, 而粒子又太小, 单个粒子和互相搭上的粒子不易区分时, 上述问题就有重要意义。我们将考

① Clumps. — 译者

考虑一种简单的情况：所有 N 个薄片都是全等的，其面积是 f ，周长是 u 。

设确定 K_i 的位置的点和方向是 P_i, ϕ_i ，则 K_i 的运动密度是 $dK_i = dP_i \wedge d\phi_i$ 。设 α 为面积 A 内一个域，它具有这样的性质：对于每一个和 α 相交的 K_i ，对应的 P_i 含在 α 内。随机给定一个薄片 K_r ，点 $P_r \in \alpha$ 的概率是 α/A ，因此，具有这个性质的 K_i 的平均个数是 $N\alpha/A$ 。另一方面，若 K_r 固定，对于一个随机 K_i ，它满足 $K_i \cap K_r \neq \emptyset$ 的概率是 $1 - (4\pi f + u^2)/2\pi A$ (利用(6.48))，一切 K_i 都满足 $K_i \cap K_r = \emptyset$ 的概率是

$$[1 - (4\pi f + u^2)/2\pi A]^{N-1}.$$

因此，不相搭的薄片的平均个数 (只含一个薄片的团的个数 c_1 的中值) 是

$$E(c_1) = \frac{N\alpha}{A} \left[1 - \frac{4\pi f + u^2}{2\pi A} \right]^{N-1}. \quad (6.77)$$

为了求团的平均个数，我们先指出，在每一个团内，总有一个 K_r ，其对应点 P_r 有最大的横坐标 x_r ，因此，这个团就可以用该 K_r 来确定。这样，固定了 K_r ，另一个 K_i 和 K_r 相交的概率是 $(4\pi f + u^2)/2\pi A$ ，因而由对称可知， K_i 和 K_r 相交而且 P_i 的横坐标 $x_i \geq x_r$ 的概率是 $(4\pi f + u^2)/4\pi A$ ，而一切 K_i 都不具有上述性质的概率是

$$[1 - (4\pi f + u^2)/4\pi A]^{N-1}.$$

于是具有这样性质的 K_r 的平均数 (即团的个数 c 的平均值，这些团中，可能有只含一个薄片的) 是

$$E(c) = \frac{N\alpha}{A} \left[1 - \frac{4\pi f + u^2}{4\pi A} \right]^{N-1}. \quad (6.78)$$

假定 $N \rightarrow \infty$ ， $A \rightarrow \infty$ 而且 $N/A \rightarrow \lambda$ (单位面积内平均薄片数)，

则

$$E(c_1) \rightarrow \lambda \alpha \exp[-\lambda(2f + u^2/2\pi)], \quad (6.79)$$

$$E(c) \rightarrow \lambda a \exp[-\lambda(f + u^2/4\pi)]. \quad (6.80)$$

这些公式是 Maek[385]得到的,他还考虑了薄片不全等的情况。细节以及随机结团的理论见 Roach 的书[511]。

(3) 一个随机的点分布中, k -组的期望数。假定有 n 点独立而均匀地分布在平面上一个区域里。已给一个域 D , 若上述 n 个点中恰好有 k 个含在 D 内, 则这 k 个点构成一个 k -组。一个有趣的问题是, 对于不同大小和形状的域 D , 求这种 k -组的个数的中值。这问题曾被 Mach 所探究[382, 383]。

Ambarcumjan [10] 把上述 n 个点所构成的有限集合叫做“撮^①”, 并假设它含在一个以原点 O 为中心半径等于 R 的基圆内。他考虑一个随机圆, 半径为常数 r , 中心在基圆中均匀分布, 并求撮中有 k 个点含在该圆内的概率 $P_k(r)$ 。若撮 M 是中心对称的, 对称中心为 O , 而令 n 变成无穷大, 则在撮中随机选取的 m -组的凸包的周长平均值 h_m 满足不等式 $h_{m+2} \geq 4\rho(1 - 2^{-m-1})$, 其中 ρ 表示从 O 到 M 里的点的平均距离。Ambarcujan 给出的另一个渐近结果是 $\rho^*/H \leq 1/4$, 其中 ρ^* 表示 M 里的点偶的平均距离, 而 H 表示 M 的凸包的周长。

(4) 用直探针探到一个凸域的概率。设 K_0 为凸域, 在它里面有另一个凸域 K 。在 K_0 内随机地取一个长度为 s 的线段, 这样的线段叫做探针。问题是要探出 K , 即求探针和 K 相交的概率 (图6.12)。我们假定长度为 s 而和 K 相交的探针都含在 K_0 内。根据(6.33), 探到 K 的概率是

$$p = \frac{m(S; S \cap K \neq \emptyset)}{m(S \subset K_0)} = \frac{2\pi F + 2sL}{m(S \subset K_0)}, \quad (6.81)$$

其中 F 和 L 依次是 K 的面积和周长。若 K_0 是一个半径 $R > 2s$ 的圆, 则按(6.34), 得

① Clusters——译者

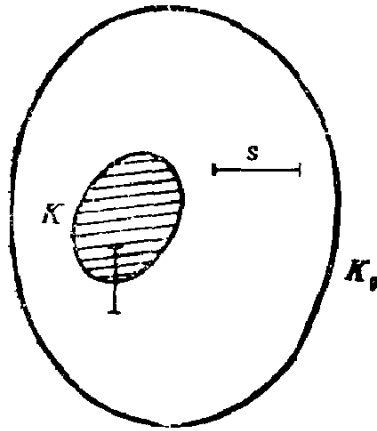


图 6.12

$$p(S \cap K \neq \emptyset)$$

$$= \frac{4\pi F + 4sL}{\pi[4\pi R^2 - 8R^2 \arcsin(s/2R) - 2s(4R^2 - s^2)^{1/2}]} \quad (6.82)$$

若 K_0 是一个边长为 $a, b (a > s, b > s)$ 的长方形, 则按(6.35), 得

$$p(S \cap K \neq \emptyset) = \frac{\pi F + sL}{\pi ab - 2(a+b)s + s^2} \quad (6.33)$$

(参看[260]). Vinogradov 与 Zaregradsi [703] 讨论了下面的探测问题; 所探测的是在一个凸域 K_0 内均匀分布的随机对象, 探测的方法是以固定速度在 K_0 内描绘一条定长曲线. 还可以参阅[468]. 关于网络的探测, 参看[80]. 关于对生态学的应用, 见[404]. 其他结果见[219].

(5) 连续随机步行中的自交. 设平面上有 $n (n \geq 3)$ 个线段, 每段长为1, 第一段始点是原点, 以后每段始点是前一段的终点, 而每一段的方向是具有均匀分布角度的随机方向, 则这一叙列的线段构成一个 n 步步行, 每一线段叫做一步, 若把概率为零的事件略去不算, 则步行中的一个自交指这样的事件: 对于某个 i 和某个 j , 其中 $1 \leq i < j \leq n$ 而且 $j - i > 1$, 第 i 步和第 j 步恰好有一个公共点作为两步的内点.

设 $E(n)$ 为自交数的期望值. 则对于大数 n , 已知有渐近值

$$E(n) \sim (2\pi^2)n \log n.$$

参看 Meizak 的论文[406], 其中也给出了 $E(n)$ 的准确值(较复杂).

(6) 等周不等式的又一个证明. 假定 K_0 和 K_1 是两个全等凸集. 这时(6.47)化为

$$m(K_1, K_1 \cap K_0 \neq \emptyset) = 4\pi F_0 + L_0^2$$

利用关于 dK_1 的表达式(6.32), 容易得到

$$m(K_1, K_1 \cap K_0 \neq \emptyset) = 4\pi F_0 + 4 \int_{P \in K_0} \left(\frac{\phi}{2} - \sin \frac{\phi}{2} \right) dP,$$

其中 ϕ 是当我们以 $P (P \in K_0)$ 为中心把 K_0 转动时, 不至使它同它的初始位置完全脱离的最大转角. 于是得

$$\int_{P \in K_0} \left(\frac{\phi}{2} - \sin \frac{\phi}{2} \right) dP = \frac{L_0^2}{4}.$$

和 Crofton 公式(4.23)比较, 就得等周不等式 $L_0^2 - 4\pi F_0 \geq 0$ [531].

(7) 定向^①不均匀分布的随机图形. 运动测度对于一切点 P 和关于几何图形的一切方向 ϕ , 赋予了相等的“权”. 这是因为我们假定了它在平移和转动下的不变性. 若只假定它在平移下的不变性, 我们就得到像 $dK^* = F(\phi) dP \wedge d\phi$ 那样的密度, 并对其定向不均匀分布的图形, 推得一些积分公式和概率. 这个各向异性款曾为 S. W. Dufour 所探讨[155].

练习1 关于相交凸集的一些积分公式. 设 K_0 和 K_1 为平面上两个有界点集, 它们的面积和周长依次是 F_0, F_1 和 L_0, L_1 . 用 F_i 表示 $K_0 \cap K_1$ 的面积; F_{0e} 表示 $K_0 - K_0 \cap K_1$ 的面积; F_{1e} 表示 $K_1 - K_0 \cap K_1$ 的面积; L_{1i} 表示 ∂K_1 含在 K_0 内部分的弧长; L_{0i} 表示 ∂K_0 含在 K_1 内部分的弧长; L_{1e} 表示 ∂K_1 在 K_0 外部分的弧长; L_{0e} 表示 ∂K_0 在 K_1 外部分的弧长. 作为练习, 试证下列积分公式:

$$\int L_{0i} dK_1 = 2\pi F_1 L_0, \quad \int L_{1i} dK_1 = 2\pi F_0 L_1,$$

① 即确定图形位置的方向. ——译者

$$\int L_{1e} dK_1 = 2\pi L_1 F_1 + L_0 L_1^2, \quad \int L_{0e} dK_1 = 2\pi L_0 F_0 + L_1 L_0^2,$$

$$\int (L_{1e} L_{0e} - L_{1i} L_{0i}) dK_1 = L_0^2 L_1^2,$$

$$\int (F_{1e} F_{0e} - F_i^2) dK_1 = F_0 F_1 L_0 L_1,$$

其中积分范围是满足 $K_1 \cap K_0 \neq \emptyset$ 的一切 K_1 位置。

练习2 几何概率中的问题。我们将给出几何概率中的问题的一些例子, 这些问题都可以利用本节结果求解。在这些問題中, 我们始终用 F_i, L_i 依次表示有界凸集 K_i 的面积和周长。

(a) 设 K_0, K_1 为平面上凸集, $K_1 \subset K_0$ 。把凸集 K_1 随机地放在平面上, 使它和 K_0 相交。求它和 K_1 相交的概率。

解 由(6.48), 可得

$$p = \frac{2\pi(F_1 + F_2) + L_1 L_2}{2\pi(F_0 + F_2) + L_0 L_2}.$$

(b) 随机地取 P 点和凸集 K_1 , 使 $P \in K_0, K_0 \cap K_1 \neq \emptyset$ 。求 $P \in K_1 \cap K_0$ 的概率。

解

$$p = \frac{2\pi F_1}{2\pi(F_0 + F_1) + L_0 L_1}.$$

(c) 把直线 G 和凸集 K_1 随机地放在平面上, 使它们都和 K_0 相交。求 $G \cap K_1 \cap K_0 \neq \emptyset$ 的概率。

解

$$p = \frac{2\pi(F_0 L_1 + F_1 L_0)}{L_0 [2\pi(F_0 + F_1) + L_0 L_1]}.$$

特殊地, 若 K_1 是长度为 s 的线段, 则 $F_1 = 0, L_1 = 2s$, 而所求概率化为

$$p = \frac{2\pi F_0 s}{L_0 (\pi F_0 + L_0 s)}.$$

令 $s \rightarrow \infty$, 就得到: 一个凸集 K_0 的两条随机弦在 K_0 内相交的

概率是 $p = 2\pi F_0/L_0^2$.

(d) 设 K_1 和 K_2 为两个和固定凸集 K_0 的随机凸集. 求 $K_0 \cap K_1 \cap K_2$ 的概率.

解 解答是(6.63)和

$$[2\pi(F_1 + F_0) + L_1 L_0][2\pi(F_2 + F_0) + L_2 L_0]$$

之比. 特殊地, 若 K_1 和 K 为线段, 其长依次为 s_1, s_2 , 就得

$$p = \frac{2\pi s_1 s_2 F_0}{(\pi F_0 + L_0 s_1)(\pi F_0 + L_0 s_2)}.$$

(e) 设有 n 个和固定凸集相交的随机凸集 K_i . 证明在 K_0 内所有 K_i 有公共点的概率是

$$p = \frac{(2\pi)^n (F^n + nF_0 F^{n-1})}{[2\pi(F + F_0) + LL_0]^2} + \frac{(2\pi)^{n-1} (nLL_0 F^{n-1} + \binom{n}{2} F_0 L F^{n-2})}{[2\pi(F + F_0) + LL_0]^2}, \quad (6.84)$$

其中 F 和 L 依次表示互相全等的 K_i 的面积和周长. 从命题(d), 经过归纳法, 就可以直接了当地得到公式的证明.

(f) 假定在一个半径等于 R 的圆 K 内随机地取 n 点. 求它们可以用一个含在 K 内而半径为 r ($r \leq R$) 的圆包围的概率.

解 这等价于下面问题: 取一个和 K 同心, 半径为 $R - r$ 的圆, 求 n 个中心在 K 内, 半径等于 r 的圆同该圆有交点的概率. 于是其解答可在(6.84)内令 $F = \pi r^2$, $F_0 = \pi(R - r)^2$, $L_0 = 2\pi(R - r)$ 得到. 结果是

$$p = \frac{r^{2n-3}}{\pi R^{2n}} \left[\pi r^3 + n\pi r(R - r)^2 + 2\pi n R^3 (R - r) + \binom{n}{2} (R - r)^2 \right].$$

(g) 设 K_0 为固定凸多边形. 把一个不能和 K_0 两条不相邻边相交的有向线段 S^* 随机地放在平面上, 使它和 K_0 相交. 求: (i)

S^* 在 K_0 内的概率 p_0 ; (ii) S^* 和 ∂K_0 恰好有一个公共点的概率;
(iii) S^* 和 K_0 恰好有两个公共点的概率。

解答是 $p_i = m_i / 2(\pi F_0 + L_0 s)$, 其中 s 为 S^* 的长, 而 m_i 为 (6.44) 中的测度。

我们将给出这结果的一个应用。假设 R 是边长为 $a, \nu b$ 的长方形, 用平行于底边 a 而相距为 b 的直线把 R 分成较小的长方形 R_i (图 6.13)。按照 (6.35), 含在 R 内而长度为 $s (s \leq b)$ 的一切线段 S^* 的测度是

$$m(S^*, S^* \subset R) = 2\pi\nu ab - 4s(a + \nu b) + 2s^2, \quad (6.85)$$

而含在长方形 $R_i (i = 1, 2, \dots)$ 内的线段 S^* 的测度之和是

$$\nu m(S^*, S^* \subset R_i) = [2\pi ab - 4s(a + b) + 2s^2]\nu. \quad (6.86)$$

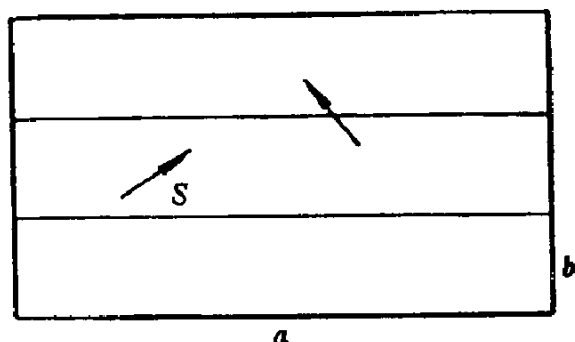


图 6.13

由此可知: 若在一个边长为 $a, \nu b (a > b)$ 的长方形 R 内画上平行于底边 a 而距离为 b 的直线, 并在 R 的内部随机地取一长度为 $s (s < b)$ 的针, 则这针不和任何平行线相交的概率是

$$p = \frac{(\pi ab - 2s(a + b) + s^2)\nu}{\pi\nu ab - 2s(a + \nu b) + s^2}. \quad (6.87)$$

若 $a \rightarrow \infty, \nu \rightarrow \infty$, 则整个平面上画上了距离为 b 的平行直线, 我们就得到 Buffon 针问题 (第五章, 第 2 节) 的结果。

(h) 设 K_0 为凸多边形, 并设不能和 K_0 两条相邻的边相交的线段的最长度是 h 。设 P_1, P_2 为 K_0 内两个随机点。求距离 $|P_1 P_2|$

不超过 h 的概率。

解 设 $|P_1P_2| = r$ 。由极坐标中的面积元素表达式, 可知

$$dP_1 \wedge dP_2 = r dP_1 \wedge dr \wedge d\phi,$$

其中 ϕ 是由平面上一个参考方向到直线 P_1P_2 的角。若令 r 固定, 则 $dP_1 \wedge d\phi$ 是长度为 r 的线段的运动密度, 于是利用(6.44), 就得

$$\begin{aligned} m(P_1, P_2; |P_1P_2| < h) \\ &= \int_{r \leq h} dP_1 \wedge dP_2 = \int_0^h m_0 r dr \\ &= \pi F_0 h^2 - \frac{2}{3} L_0 h^3 + \frac{1}{8} h^4 \sum_{A_i} [1 + (\pi - A_i) \cot A_i], \end{aligned}$$

而所求概率是

$$p(r \leq h) = \frac{1}{F_0^2} \left\{ \pi F_0 h^2 - \frac{2}{3} L_0 h^3 + \frac{1}{8} h^4 \sum_{A_i} [1 + (\pi - A_i) \cot A_i] \right\}.$$

(i) 设 P_1, P_2 为直径等于 D 的一个圆内的两个随机点, 求距离 $|P_1P_2|$ 不超过 h ($h \leq D$) 的概率。

解

$$p(|P_1P_2| \leq h) = \frac{4}{\pi D^2} [\pi h^2 + a(D^2/4 - h^2) - (D^2/4 + h^2/2) \sin a],$$

其中 $a = 2 \arcsin(h/D)$ 。

E. Borel[64]计算了, 当 P_1, P_2 是三角形, 正方形和一般多边形内的随机点时的相应结果。

一般地, 若 r 为一个凸集 K 内两点之间的距离, 则分布函数 $\text{prob}(r \leq x)$ 是 $rm(r)/F^2$ 对于 r 的积分, 积分范围从 0 到 x , 其中 F 是 K 的面积, 而 $m(r)$ 表示含于 K 内而长度为 r 的一切有向线段的测度。这从等式 $dP_1 \wedge dP_2 = r dr \wedge d\phi \wedge dP_2$ 可以立刻得到。关于到 E_n 的推广, 见[217]。

第七章 Poincaré 和 Blaschke 的基本公式

1. 关于运动密度的又一个表达式

设 $(O; x, y)$ 为固定标架, Γ_0 表示一条固定的可求长曲线, Γ_0 由有限多个弧所构成, 而每个弧在它各点都有连续转动的切线(如图 7.1). 设

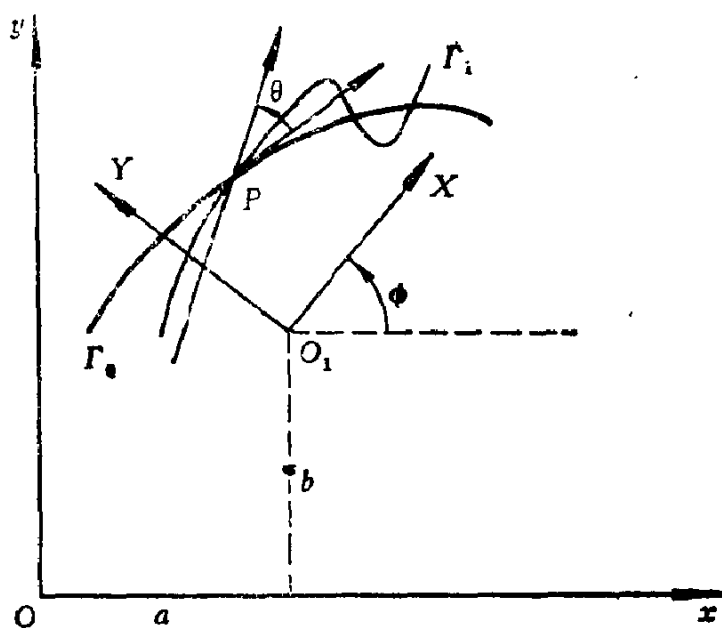


图 7.1

$$x = x(s_0), \quad y = y(s_0) \quad (7.1)$$

为 Γ_0 在坐标系 $(O; x, y)$ 下的方程, 参数 s_0 是弧长.

设 $(O_1; X, Y)$ 为动标, Γ_1 为和这个动标一起运动的曲线, Γ_1 也是逐段光滑的, 它在标架 $(O_1; X, Y)$ 下的方程是

$$X = X(s_1), \quad Y = Y(s_1), \quad (7.2)$$

其中 s_1 表示 Γ_1 的弧长. 在坐标系 $(O; x, y)$ 下, Γ_1 的方程变成

$$x = a + X \cos \phi - Y \sin \phi, \quad y = b + X \sin \phi + Y \cos \phi, \quad (7.3)$$

其中 a, b 是 O_1 的坐标, 而 ϕ 是从 Ox 到 O_1X 的角.

确定 Γ_0 和 Γ_1 交点的是方程组

$$\begin{aligned} x(s_0) &= a + X(s_1)\cos\phi - Y(s_1)\sin\phi, \\ y(s_0) &= b + X(s_1)\sin\phi + Y(s_1)\cos\phi, \end{aligned} \quad (7.4)$$

其中 s_0, s_1 是未知数. 由(7.4)可得

$$\begin{aligned} da &= X' ds_0 - (X' \cos\phi - Y' \sin\phi) ds_1 + (X \sin\phi + Y \cos\phi) d\phi, \\ db &= Y' ds_0 - (X' \sin\phi + Y' \cos\phi) ds_1 - (X \cos\phi - Y \sin\phi) d\phi, \end{aligned} \quad (7.5)$$

其中撇号表示导数. 通过取外积得

$$\begin{aligned} da \wedge db \wedge d\phi &= [(X' y' - x' Y') \cos\phi - (Y' y' + X' x') \sin\phi] \\ &\quad \times ds_0 \wedge ds_1 \wedge d\phi. \end{aligned} \quad (7.6)$$

若 α_0 表示从 x 轴到 Γ_0 在 $P(P \in \Gamma_0 \cap \Gamma_1)$ 点的切线的角, 而 α_1 表示从 X 轴到 Γ_1 在同一点的切线的角, 则

$$x' = \cos\alpha_0, \quad y' = \sin\alpha_0, \quad X' = \cos\alpha_1, \quad Y' = \sin\alpha_1, \quad (7.7)$$

因而运动密度可以写成

$$dK_1 = da \wedge db \wedge d\phi = \sin(\alpha_0 - \alpha_1 - \phi) ds_0 \wedge ds_1 \wedge d\phi.$$

若 θ 是在 P 点, Γ_0 和 Γ_1 的夹角, 则 $|\theta| = |\alpha_0 - \alpha_1 - \phi|$, 又由于 α_0 和 α_1 只是 s_0 和 s_1 的函数, 所以

$$dK_1 = |\sin\theta| ds_0 \wedge ds_1 \wedge d\theta. \quad (7.8)$$

这是非常有用的关于 dK_1 的表达式. 它表明, Γ_0 和一条随机曲线 Γ_1 在任意一个交点的夹角介乎 $\theta (0 \leq \theta \leq \pi)$ 和 $\theta + d\theta$ 之间的概率是 $\frac{1}{2} \sin\theta d\theta$. 因此, θ 的期望值是

$$E(\theta) = \pi/2. \quad (7.9)$$

2. Poincaré 公式

假定我们试求和一条固定曲线 Γ_0 有公共点而与 Γ_1 全等的曲线的集合的测度, 或者说, 和 Γ_0 相交的 Γ_1 的位置集合的测度. 这个测度等于 dK_1 的积分, 积分范围是使, $\Gamma_0 \cap \Gamma_1 \neq \emptyset$ 的参数

a, b, ϕ 一切值。一般地，这个积分决定于 Γ_0 和 Γ_1 的形状，而缺乏一个简单的表达式。不过，如果对一切 s_0, s_1, θ 值(假定 $|\theta| \leq \pi$)把(7.8)两边积分，则在右边得

$$\int_0^{L_0} ds_0 \int_0^{L_1} ds_1 \int_{-\pi}^{\pi} |\sin \theta| d\theta = 4L_0L_1, \tag{7.10}$$

其中 L_0, L_1 为 Γ_0, Γ_1 的长。

在(7.8)左边，对于 Γ_1 每一个和 Γ_0 有交点的位置， Γ_1 和 Γ_0 有几个交点在积分中就计算了几次，因而

$$\int_{\Gamma_0 \cap \Gamma_1 \neq \emptyset} n dK_1 = 4L_0L_1, \tag{7.11}$$

其中 n 为 Γ_0 和 Γ_1 的交点数。

在积分几何中，公式(7.11)叫做 **Poincaré 公式**。更确切地说，Poincaré 只考虑了球面上的公式(7.11)作为具有已知长度的球面曲线的平均交点数[484, 第 143 页]。Barbier 也知道这样的公式 [21]。上述证明假定了曲线 Γ_0, Γ_1 是逐段光滑的[523]。但是，只须假定曲线是可求长的，公式就成立[377, 378, 455]。关于得到公式的另一个途径，见[351]。

若令 Γ_1 取一切满足 $\Gamma_0 \cap \Gamma_1 \neq \emptyset$ 的位置时， Q_1 (同 Γ_1 相固连的标架原点)所形成的区域面积是 A ，则 Poincare 公式表明， Γ_1 和 Γ_0 交点数的期望值是 $2L_0L_1/\pi A$ 。显然， Γ_0, Γ_1 两条曲线中的每一条都可以是若干条不相连的曲线所构成，只要其总长依次是 L_0 与 L_1 (见[434])。

注意：若以 $|\theta|$ 乘(7.8)两边，再对一切 $s_0, s_1, \theta (-\pi \leq \theta \leq \pi)$ 值取积分，就得

$$\int_{\Gamma_0 \cap \Gamma_1 \neq \emptyset} \sum_1 |\theta^i| dK_1 = 2\pi L_0L_1, \tag{7.12}$$

其中 θ^i 是 θ 在 Γ_0, Γ_1 诸交点的值。

一个特款。若 Γ_1 为半径等于 r 的圆，我们可以采用表达式

$dK_1 = dP \wedge d\phi$, 其中 P 是圆心. 这时对于 P 的每个位置, ϕ 角可以从 0 到 2π 变化而 n 不变, 于是 Poincaré 公式化为

$$\int n dP = 4\pi L_0, \quad (7.13)$$

积分域是整个平面. 由 (7.13) 可知 $L_0 = (1/4\pi) \int n dP$, 这可以作为一个连续统点集 Γ_0 的长的定义. 这个定义可以推广到 n 维欧氏空间里的曲线 (如 Santaló [535] 所作的).

3. 闭曲线的与平面域的总曲率

设 Γ 为平面上具有连续曲率的有向闭曲线. 积分

$$c(\Gamma) = \int_{\Gamma} \kappa ds \quad (7.14)$$

叫做 Γ 的总曲率, 其中 s 是 Γ 的弧长, 因为 $\kappa = d\tau/ds$, 其中 τ 为从 x 轴到 Γ 的有向切线的角, 所以

$$c(\Gamma) = \int_{\Gamma} d\tau. \quad (7.15)$$

即: 当切线顺着 Γ 正向移动一周时, 总曲率等于 τ 的全部变差.

若 Γ 为有限多个 C^2 类弧 $a_1 = A_1 A_2, a_2 = A_2 A_3, \dots, a_m = A_m A_1$ 的并集, 而 $\theta(A_i)$ 是在隅角 A_i 的外角 (即 $\theta(A_i)$ 是在 A_i 点, a_{i-1} 的切线和 a_i 的切线的夹角, $-\pi \leq \theta_i < \pi$), 总曲率的定义是

$$c(\Gamma) = \sum_{i=1}^m \int_{a_i} d\tau + \sum_{i=1}^m \theta(A_i). \quad (7.16)$$

一条没有重点的曲线叫做简单曲线. 所谓转动切线定理指出, 一条简单闭(曲)线的总曲率是 $\pm 2\pi$, 其中的符号决定于曲线的正向 [113].

总曲率的定义也可以用于平面区域. 设 D 为平面域, 它的边界是有限多条逐段光滑的简单闭线所构成. 假定取每条闭线的正

向,使区域位于它的左侧。这样, D 的总曲率就是它的边界 ∂D 的总曲率。例如,假定平面上逆时针方向为正向,则图7.2(a)有阴影区域的总曲率是 -2π ,而图7.2(b)有阴影区域的总曲率是 2π 。

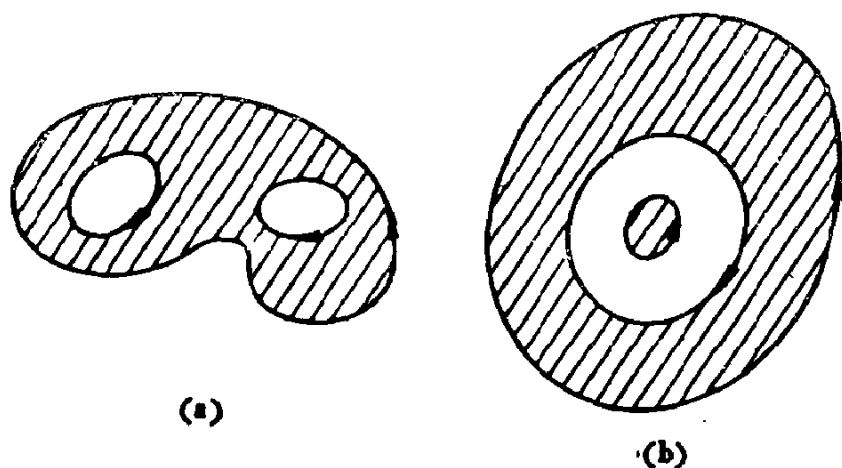


图 7.2

注意一个域的总曲率总是 2π 的一个整数倍。因此,可以令

$$c(D) = 2\pi\chi(D), \quad (7.17)$$

其中 $\chi(D)$ 是一个整数,叫做 D 的 Euler 示性数。单一的简单闭线所包围的域的 Euler 特征数是 $+1$ 。一般地,若 D 可以分解成 f 个面或胞腔(和一个圆盘同胚的点集),这些面共有 a 条边和 v 个顶点,人们知道(例如参看 Coxeter[128])

$$\chi(D) = v - a + f. \quad (7.18)$$

4. Blaschke 基本公式

设有区域 D_0 ,它的边界为有限多条逐段光滑的简单闭线所构成。设 c_0 是 D_0 的总曲率, F_0 是它的面积, L_0 是它的周长。设 D_1 为同类的域, D_1 有总曲率 c_1 ,面积 F_1 ,周长 L_1 。假定 D_1 在平面上运动,运动密度是 dK_1 。用 c_{01} 表示域 $D_0 \cap D_1$ 的总曲率,我们要证明下面的 Blaschke 运动基本公式:

$$\int_{D_0 \setminus D_1 \neq \emptyset} c_{01} dK_1 = 2\pi(F_0 c_1 + F_1 c_0 + L_0 L_1). \quad (7.19)$$

证明 用 $a_i^j (j=0,1)$ 表示 ∂D_j 所含的光滑弧, 而 A_i^j 表示隅角。按照(7.16), D_j 的总曲率是(图7.3)

$$c_j = \sum_i \int_{a_i^j} d\tau + \sum_i \theta(A_i^j), \quad j=0,1. \quad (7.20)$$

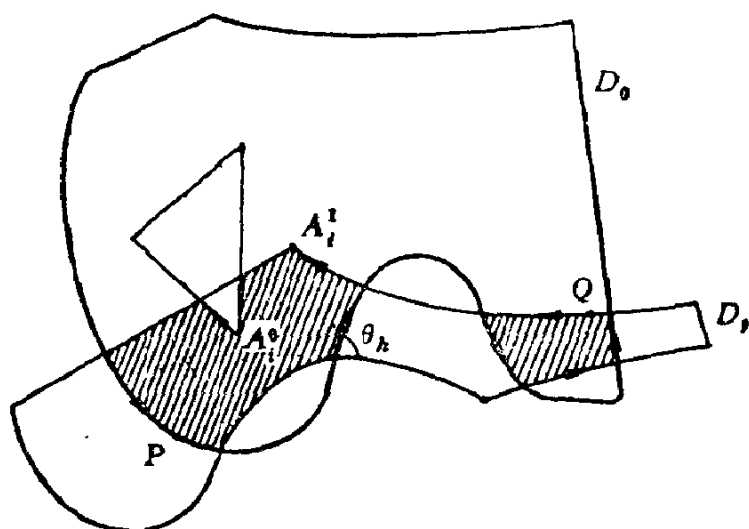


图 7.3

若 $P(s_0)$ 表示 ∂D_0 的一点, $Q(s_1)$ 表示 ∂D_1 的一点(s_0, s_1 为相应的弧长), 则 $D_0 \cap D_1$ 的总曲率是

$$\begin{aligned} c_{01} = & \int_{P \in D_1} d\tau(s_0) + \int_{Q \in D_0} d\tau(s_1) + \sum_{A_i^0 \in D_1} \theta(A_i^0) \\ & + \sum_{A_i^1 \in D_0} \theta(A_i^1) + \sum_h \theta_h, \end{aligned} \quad (7.21)$$

其中 θ_h 是 ∂D_0 和 ∂D_1 在它们交点的夹角。在这里, 我们假定选取 ∂D_0 和 ∂D_1 的正向, 使 D_0, D_1 因而也使 $D_0 \cap D_1$ 位于它们左侧。这样, 除去具有零测度的一个集合的 D_1 位置之外, $0 \leq \theta_h \leq \pi$, 因而 $|\theta_h| = \theta_h$ 。我们考虑

$$I_1 = \int_{P \in D_1} d\tau(s_0) \wedge dK_1, \quad (7.22)$$

其中 dK_1 代表当 D_1 作为运动中的点集时的运动密度。我们有

$$\begin{aligned} I_1 &= \int_{\partial D_0} d\tau(s_0) \int_{P \in D_1} dK_1 = 2\pi F_1 \int_{\partial D_0} d\tau(s_0) \\ &= 2\pi F_1 \sum_i \int_{a_i^0} d\tau(s_0), \end{aligned} \quad (7.23)$$

又有

$$I_1 = \int_{D_0 \cap D_1 \neq \emptyset} dK_1 \int_{P \in D_1} d\tau(s_1) = \int_{D_0 \cap D_1 \neq \emptyset} \left(\int_{P \in D_1} d\tau(s_0) \right) dK_1. \quad (7.24)$$

因此,

$$\int_{D_0 \cap D_1 \neq \emptyset} \left(\int_{P \in D_1} d\tau(s_0) \right) dK_1 = 2\pi F_1 \sum_i \int_{a_i^0} d\tau(s_0). \quad (7.25)$$

另一方面,

$$\begin{aligned} \int_{D_0 \cap D_1 \neq \emptyset} \left(\sum_{A_i^0 \in D_1} \theta(A_i^0) \right) dK_1 &= \sum_i \int_{A_i^0 \in D_1} \theta(A_i^0) dK_1 \\ &= 2\pi F_1 \sum_i \theta(A_i^0). \end{aligned} \quad (7.26)$$

注意我们可以令 $dK_1 = dK_0$ (运动密度在运动逆转中的不变性), 就从(7.25)和(7.26)得

$$\int_{D_0 \cap D_1 \neq \emptyset} \int_{Q \in D_0} (d\tau(s_1)) dK_1 = 2\pi F_0 \sum_i \int_{a_i^1} d\tau(s_1) \quad (7.27)$$

和

$$\int_{D_0 \cap D_1 \neq \emptyset} \sum_i \left(\int_{A_i^1 \in D_0} \theta(A_i^1) \right) dK_1 = 2\pi F_0 \sum_i \theta(A_i^1). \quad (7.28)$$

而由(7.12), 注意 $0 \leq \theta_h \leq \pi$, 又有

$$\int_{D_0 \cap D_1 \neq \emptyset} \left(\sum_h \theta_h \right) dK_1 = 2\pi L_0 L_1. \quad (7.29)$$

把最后五等式相加, 根据(7.21)和(7.20), 就得所要证明的公式(7.19)。

特款1. 若 D_0, D_1 是凸域, 则 $c_0 = c_1 = c_{01} = 2\pi$, 而公式(7.19)化为(6.48), 这是预料中的。

特款2. 若 D_0, D_1 的边界都是单一的简单闭线, 则 $c_0 = c_1 = 2\pi$, 而 $D_0 \cap D_1$ 包括有限多个分离的区域, 例如 ν 个, 每个的总曲率是 2π , 因而 $c_{01} = 2\pi\nu$ (在图 7.4 里, $\nu = 2$)。这时基本公式(7.19)化为

$$\int_{D_0 \cap D_1 \neq \emptyset} \nu dK_1 = 2\pi(F_0 + F_1) + L_0 L_1. \quad (7.30)$$

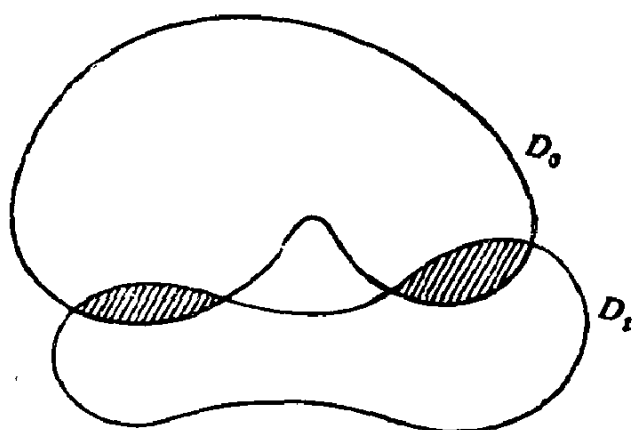


图 7.4

特款3. 若 D_0 是 m 个分离的凸集 $D_0^i (i = 1, 2, \dots, m)$ 的并集, 其总面积是 F_0 , 总周长是 L_0 , 则 $c_0 = 2\pi m$ 。假定 D_1 的边界是单一的简单闭线, 则 $c_1 = 2\pi$, 而

$$\int_{D_0 \cap D_1 \neq \emptyset} \nu dK_1 = 2\pi(F_0 + mF_1) + L_0 L_1, \quad (7.31)$$

其中 ν 是和 D_1 相交的 D_0^i 的个数 (例如在图 7.5 里, $\nu = 5, m = 7$)

特殊地, 若 D_0 化为 m 个点, 就得

$$\int \nu dK_1 = 2\pi m F_1, \quad (7.32)$$

其中 ν 表示, 对于 D_1 的每个位置, 含在该区域内的点的数目 (在图 7.6 里, $m = 9, \nu = 3$), 而积分范围是整个平面。

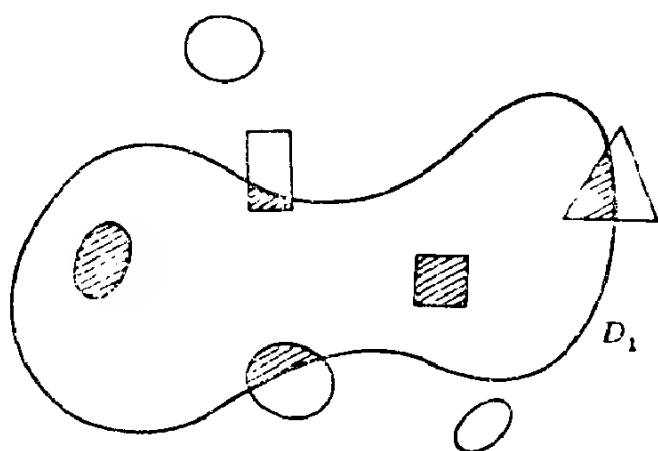


图 7.5

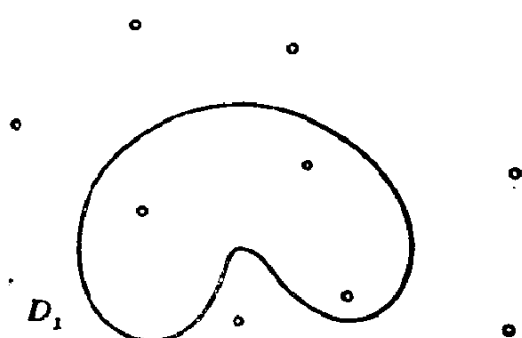


图 7.6

特款4. 假定 D_1 是边长为 $a, b (a > b)$ 的长方形, 则 $F_1 = ab$, $L_1 = 2(a + b)$, $c_1 = 2\pi$. 它的运动密度可以写成 $dK_1 = dG_1^* \wedge dt$ (6.30), 其中 G_1^* 是经过长方形中心而单行于长度为 a 的两边的直线. 这样, 对于 G_1 的每个位置, (7.19)左边的积分可以分为两部分: 第一部分对应于长度为 b 的两边同 D_0 都不相交的 t 值, 第二部分对应于长度为 b 的至少一边同 D_0 相交的 t 值. 对于第一部分的 D_1 的位置, c_{01} 与 t 无关, 因而对 dt 积分后所得因子有如 $a - h_1$ 的形状, 其中 h_1 不超过 D_0 的直径. 若 $a \rightarrow \infty$ 而 b 固定, 则对于任意 G_1 , 第二部分 D_1 的位置有有限测度, 因此, 若以 a 除(7.19)两边, 并取 $a \rightarrow \infty$ 时的极限, 就得

$$\int_{B \cap D_0 \neq \emptyset} c_{01} dG_1^* = 2\pi(bc_0 + 2L_0), \quad (7.33)$$

其中 B 表示以 G_1 为中心平行线而宽度为 b 的带. 若令 $dG_1^* = 2db$, 其中 db 表示无向带的密度(第五章, 第 1 节), 则得

$$\int_{B \cap D_0 \neq \emptyset} c_{01} dB = \pi(bc_0 + 2L_0). \quad (7.34)$$

这就是关于宽度为 b 的带的基本公式. 例如, 在图 7.7 里, $c_0 = -2\pi$, $c_{01} = 6\pi$.

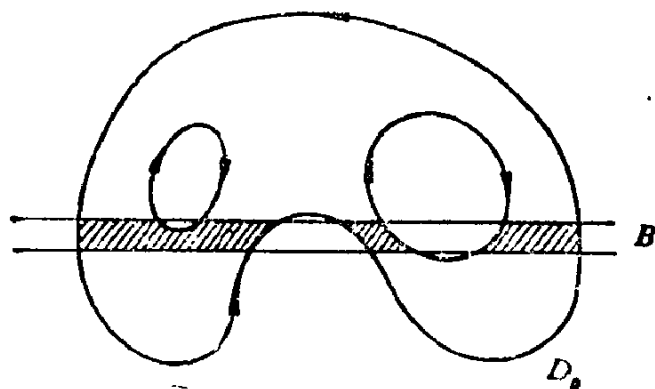


图 7.7

基本公式(7.19)可以推广到比这里所讨论的更一般性的域; 见 Blaschke[51]和Nöbeling[464]; 关于另一种证明, 见 Hadwiger[270, 274].

5. 等周不等式

设 $K_i (i = 0, 1)$ 为两个有界全等凸集, 它们的面积都是 F , 周长是 L . 把 Blaschke 公式和 Poincaré 公式应用于 K_0, K_1 及其边界, 就得

$$\int_{K_0 \cap K_1 \neq \emptyset} dK_1 = 4\pi F + L^2, \quad \int_{K_0 \cap K_1 \neq \emptyset} ndK_1 = 4L^2. \quad (7.35)$$

用 m_i 表示 ∂K_1 和 ∂K_0 有 i 个公共点时 K_1 的位置集合的测度. 则(7.35)可以写成(注意 K_1 和 K_0 有奇数个点的位置集合测度是零)

$$m_2 + m_4 + \dots = 4\pi F + L^2, \quad 2m_2 + 4m_4 + 6m_6 + \dots = 4L^2.$$

由此可知

$$L^2 - 4\pi F = m_4 + 2m_6 + 3m_8 + \dots, \quad (7.36)$$

而由于测度 m_i 总是 ≥ 0 , 就得经典的等周不等式

$$L^2 - 4\pi F \geq 0. \quad (7.37)$$

注意(7.36)提供了关于一个凸集的等周亏量 $\Delta = L^2 - 4\pi F$ 的一种几何意义, 若 $K \equiv K_0 \equiv K$ 不是凸集, 我们考虑其凸包 K^* . 在 K 和 K^* 的面积 F, F^* 以及在 ∂K 和 ∂K^* 的周长 L, L^* 之间, 有关系 $F \leq F^*, L^* \leq L$, 故 $L^2 - 4\pi F \geq L^{*2} - 4\pi F^* \geq 0$. 因此, 等周不等式对于一切平面域(不论凸否)都成立.

更强的等周不等式. 设 K 为有界凸集, 设 r_i 为可能含在 K 内的最大圆的半径, r_e 为可能含 K 在内的最小圆的半径. 显然 $r_i \leq r_e$, 而且当 K 为圆时, 也只在此时, $r_i = r_e$. 设 K_r 为圆, 它的半径 r 满足

$$r_i \leq r \leq r_e. \quad (7.38)$$

如上文那样, 设 m_i 为 K_i 和 K 的边界有 i 个公共点时 K_i 的位置集合的测度, 这时 Blaschke 公式和 Poincaré 公式可以写成

$$m_2 + m_4 + \dots = 2\pi F + 2\pi^2 r^2 + 2\pi r L,$$

$$2m_2 + 4m_4 + \dots = 8\pi^2 L,$$

因而

$$m_4 + 2m_6 + \dots = 2\pi(rL - F - r^2).$$

由于 $m_i \geq 0$, 得 Bonnesen 不等式[62]

$$rL - F - \pi r^2 \geq 0. \quad (7.39)$$

对于满足(7.38)的任意 r , 这个公式都是正确的.

若注意有等式

$$Lr - F - \pi r^2 = \frac{L^2}{4\pi} - F - \pi \left(\frac{L}{2\pi} - r \right)^2, \quad (7.40)$$

而且对应于半径为 r_i 和 r_e 的圆, 我们依次用 s_i 和 s_e 表示 $(m_4 + 2m_6 + \dots)/2\pi$ 的值, 就有

$$\frac{L^2}{4\pi} - F = \pi \left(\frac{L}{2\pi} - r_i \right)^2 + s_i, \quad \frac{L^2}{4\pi} - F = \pi \left(\frac{L}{2\pi} - r_e \right)^2 + s_e.$$

于是

$$\frac{L^2}{4\pi} - F = \frac{1}{2} \left[\pi \left(\frac{L}{2\pi} - r_i \right)^2 + \pi \left(\frac{L}{2\pi} - r_e \right)^2 + s_i + s_e \right],$$

因而

$$L^2 - 4\pi F \geq \frac{1}{2} [(L - 2\pi r_i)^2 + (2\pi r_e - L)^2]. \quad (7.41)$$

这个不等式比(7.37)强, 它表明等式 $L^2 - 4\pi F = 0$ 只有在 $r_i = r_e = L/2\pi$ 时, 即 K 为圆时成立. 换句话说, 已给周长, 只有圆才包围最大面积. 这个结果以及(7.36)证明了(Fujiwara[206]和Bonnesen[61]所得到的)下述定理:

若有界凸集 K 不是圆, 则必有 K 的位置, 使它的边界和另一个同它全等的凸集的边界有至少四个公共点, 而且这样的 K 的位置测度 > 0 .

利用一般的不等式 $2(x^2 + y^2) \geq (x + y)^2$, 可以看出, 从(7.41)可得

$$L^2 - 4\pi F \geq \pi^2 (r_e - r_i)^2. \quad (7.42)$$

这是 Bonnesen[62]所得到的另一个等周不等式.

等周亏量的一个上限. 现设凸集 K 的边界有连续的曲率半径 ρ . 设 ρ_m 和 ρ_M 依次为 ρ 的最小和最大值. 设 K_1 为圆, 其半径 r 或者满足 $r \leq \rho_m$ 或者满足 $r \geq \rho_M$. 根据(6.53), 含在 K 内与含 K 在内的 K_1 的集合测度 m_0 满足

$$\frac{m_0}{2\pi} = F + \pi r^2 - Lr = \pi \left(\frac{L}{2\pi} - r \right)^2 - \left(\frac{L^2}{4\pi} - F \right). \quad (7.43)$$

由于 $m_0 \geq 0$ 而(7.43)对 $r = \rho_m$ 和 $r = \rho_M$ 都成立, 就有

$$\frac{L^2}{4\pi} - F \leq \pi \left(\frac{L}{2\pi} - \rho_m \right)^2, \quad \frac{L^2}{4\pi} - F \leq \pi \left(\rho_M - \frac{L}{2\pi} \right)^2. \quad (7.44)$$

将两个不等式相乘, 注意 $2\pi\rho_m \leq L \leq 2\pi\rho_M$, 就得

$$\frac{L^2}{4\pi} - F \leq \pi \left(\frac{L}{2\pi} - \rho_m \right) \left(\rho_M - \frac{L}{2\pi} \right). \quad (7.45)$$

于是利用一般不等式 $4xy \leq (x+y)^2$, 就得

$$L^2 - 4\pi F \leq \pi^2 (\rho_M - \rho_m)^2. \quad (7.46)$$

这是 Bottema[66]所得到的等周亏量的上限. 当 $\rho_m = \rho_M$, 即 K 是圆时, 而且只在此时, 等式成立.

Pleijel[480]证明了 $L^2 - 4\pi F \leq \pi(4-\pi)(\rho_M - \rho_m)^2$, 这是(7.46)的一种改进.

6. 一个域能含在另一个内的 Hadwiger 条件

设 K_1 是具有面积 F_1 的域, 它的边界是长度为 L_1 的简单闭线, K_0 是面积为 F_0 的域, 它的边界是长度为 L_0 的简单闭线. 我们将按照 Hadwiger[263, 264]的方法, 求得 K_1 可以含在 K_0 内的一个充分条件. 由于我们将应用 Poincaré 公式(7.11)和 Blaschke 公式(7.19), 我们将先假设边界 ∂K_0 和 ∂K_1 是逐段光滑的, 然后将看到, 在较一般条件下, 结果仍然正确.

假定 K_0 在平面上固定而 K_1 在运动. 设 $\partial K_0 \cap \partial K_1$ 含有 n 点而交集 $K_0 \cap K_1$ 则为 ν 块所构成. 若 m_0 表示满足 $K_1 \subset K_0$ 或 $K_1 \supset K_0$ 的 K_1 的一切位置的测度, 则公式(7.30)可以写成

$$m_0 + \int_{\partial K_0 \cap \partial K_1 \neq \emptyset} \nu dK_1 = 2\pi(F_0 + F_1) + L_0 L_1. \quad (7.47)$$

当 $\partial K_0 \cap \partial K_1 \neq \emptyset$ 时, $K_0 \cap K_1$ 的每一块的边界都至少含有 ∂K_0 和 ∂K_1 各一段弧. 因此, $\nu \leq n/2$. 而由(7.11)和(7.47)可知

$$m_0 \geq 2\pi(F_0 + F_1) - L_0 L_1. \quad (7.48)$$

所以, 若右边大于零, K_1 就必有含 K_0 在内或者含在 K_0 内的位置. 为了去掉 ∂K_0 和 ∂K_1 逐段光滑的条件, 只须考虑域 $K_0^{(m)}, K_1^{(m)}$ ①,

① 当 $m \rightarrow \infty$ 时, $K_0^{(m)} \rightarrow K_0$, $K_1^{(m)} \rightarrow K_1$, 而且 $K_0^{(m)}, K_1^{(m)}$ 的周长依次是 $L_0^{(m)}, L_1^{(m)}$, 其面积依次是 $F_0^{(m)}, F_1^{(m)}$. ——译者

其边界是 ∂K_0 和 ∂K_1 的内接多边形. 若 $2\pi(F_0 + F_1) - L_0 L_1 > 0$, $\partial K_0, \partial K_1$ 为可求长曲线, 则必有正整数 μ , 使 $m > \mu$ 时, 可以取 $K_0^{(m)}$ 和 $K_1^{(m)}$, 满足

$$2\pi(F_0^{(m)} + F_1^{(m)}) - L_0^{(m)} L_1^{(m)} > 0.$$

这表明, 对于每一个大于 μ 的 m , $K_0^{(m)}, K_1^{(m)}$ 两域中, 必有一个在另一个之内. 在取极限后, K_0, K_1 将有同样性质(注意只要 K_0 有一个点在 K_1 之外, 不管它们边界有无公共点, 我们就说, K_0 不在 K_1 内). 于是我们有定理:

一个边界为可求长简单闭线的域 K_1 或者可以含在另一个同类的域 K_0 内, 或者可以含 K_0 在内的一个充分条件是

$$2\pi(F_0 + F_1) - L_0 L_1 > 0. \quad (7.49)$$

的确, 这个条件不能把 $K_0 \subset K_1$ 和 $K_1 \subset K_0$ 两款区别开来. 为了解决这个问题, 我们考虑不等式

$$L_0 L_1 - 4\pi F_1 > (L_0^2 L_1^2 - 16\pi^2 F_0 F_1)^{1/2}, \quad (7.50)$$

其中根号下的式总有非负值, 因为等周不等式(7.37)对 K_0 和 K_1 都成立. 若(7.50)成立, 则(7.49)也成立, 因而 K_0 或者可以含在 K_1 内, 或者可以含 K_1 在内. 此处, 若(7.50)成立, 则 $L_0 L_1 - 4\pi F_1 > 0$, 因而若把它加在(7.49)上, $2\pi(F_0 - F_1) > 0$, 即 $F_0 > F_1$. 这表明 $K_0 \subset K_1$ 的可能性排除了, 而 K_0 必能含 K_1 在内.

若考虑不等式

$$4\pi F_0 - L_0 L_1 > (L_0^2 L_1^2 - 16\pi^2 F_0 F_1)^{1/2}, \quad (7.51)$$

来代替(7.50), 我们注意, 若它得到满足, 则(7.49)也得到满足; 此外, 由(7.51)所得到的不等式 $4\pi F_0 - L_0 L_1 > 0$, 或即 $16\pi^2 F_0^2 - L_0^2 L_1^2 > 0$ 和 $L_0^2 L_1^2 - 16\pi^2 F_0 F_1 > 0$ 在一起, 给出 $F_0 > F_1$. 这就是说, 若(7.51)成立, 则 $K_0 \subset K_1$. 由此可见: 设 K_0, K_1 分别都是单一的可求长简单闭线所包围的域, 则只要条件(7.50)或(7.51)得到满足, K_1 就可以含在 K_0 之内.

当然这些充分条件不是必要的(它们是Hadwiger[263, 264]得到的).

一个特款。假定 K_1 是半径为 r 的圆。我们从 (7.50) 推得以下结果：设 K_0 是一条简单闭线所包围的域，面积为 F_0 ，周长为 L_0 ，则一个半径为 r 的圆可以含在 K_0 内的一个充分条件是

$$r < \frac{L_0 - (L_0^2 - 4\pi F_0)^{1/2}}{2\pi} = r_0. \quad (7.52)$$

同样，由 (7.51) 可知：设 K_0 为如上的域，则一个半径等于 R 的圆可以含 K_0 在内的一个充分条件是

$$R > \frac{L_0 + (L_0^2 - 4\pi F_0)^{1/2}}{2\pi} = R_0. \quad (7.53)$$

这些不等式说明：对于任意的 $\varepsilon (\varepsilon > 0)$ ，总有半径为 $r_0 - \varepsilon$ ($R_0 + \varepsilon$) 的圆可以含在 K_0 内 (含 K_0 在内)，因而取极限 $\varepsilon \rightarrow 0$ ，就得到定理：

已给面积为 F_0 ，周长为 L_0 ，边界为简单闭线的域 K_0 ，必有半径为 r

$$r \geq \frac{L_0 - (L_0^2 - 4\pi F_0)^{1/2}}{2\pi} \quad (7.54)$$

的圆含在 K_0 内，又必有半径为 R

$$R \leq \frac{L_0 + (L_0^2 - 4\pi F_0)^{1/2}}{2\pi} \quad (7.55)$$

的圆含 K_0 在内。

由于 $L_0 - (L_0^2 - 4\pi F_0)^{1/2} \geq 2\pi(F_0/L_0)$ ，(7.54) 的右边可代以 F_0/L_0 。这是 Grünwald 与 Turan [249] 的结果。

7. 注记

(1) 更多的等周不等式。设 K_0 和 K_1 两域的边界都是一条单一的简单闭线，而它们每一个都不能含在另一个内，则 (7.50) 和 (7.51) 都不能成立，因而

$$(L_0^2 L_1^2 - 16\pi^2 F_0 F_1)^{1/2} \geq L_0 L_1 - 4\pi F_1, \quad (7.56)$$

$$(L_0^2 L_1^2 - 16\pi^2 F_0 F_1)^{1/2} \geq 4\pi F_0 - L_0 L_1, \quad (7.57)$$

而把 K_0 和 K_1 对换, 又得

$$(L_0^2 L_1^2 - 16\pi^2 F_0 F_1)^{1/2} \geq L_0 L_1 - 4\pi F_0, \quad (7.58)$$

$$(L_0^2 L_1^2 - 16\pi^2 F_0 F_1)^{1/2} \geq 4\pi F_1 - L_0 L_1. \quad (7.59)$$

若 r_i 为含在 K_0 内的最大圆 K_1 的半径, 则满足 $K_1 \subset K_0$ 的位置的测度是零。这样, (7.56) 和 (7.57) 成立, 因而

$$L_0^2 - 4\pi F_0 \geq (L_0 - 2\pi r_i)^2, \quad L_0^2 - 4\pi F_0 \geq \left(\frac{2F_0}{r_i} - L_0\right)^2. \quad (7.60)$$

同样, 若 r_e 为含 K_0 在内的最小圆的半径, 则

$$L_0^2 - 4\pi F_0 \geq \left(L_0 - \frac{2F_0}{r_e}\right)^2, \quad L_0^2 - 4\pi F_0 \geq (2\pi r_e - L_0)^2. \quad (7.61)$$

利用 $x^2 + y^2 \geq \frac{1}{2}(x + y)^2$, 从这两组不等式得^①

$$L_0^2 - 4\pi F_0 \geq r_i^{-2}(F_0 - \pi r_i^2)^2, \quad L_0^2 - 4\pi F_0 \geq F_0^2 \left(\frac{1}{r_i} - \frac{1}{r_e}\right)^2. \quad (7.62)$$

Bonnesen[62]和 Hadwiger[264]曾得到这类的不等式。D.C. Benson[26]曾得到其他加强了等周不等式。

(2) 关于凸集的 Minkowski 不等式。设 K_0, K_1 为凸集, 它们的撑函数依次是 p_0, p_1 。假定 K_0 固定, 我们知道, 使 K_1 和 K_0 相交的对 K_1 平移的集合测度是 $F_0 + F_1 + 2F_{01}^*$, 其中 F_{01}^* 表示 K_0 和 K_1^* 的混合面积, 而 K_1^* 则是从 K_1 经过对一点的反射所得的点集(第六章, 第 5 节)。换句话说, 若 P_1 为同 K_1 相固连的一点, 则

$$\int_{K_0 \cap K_1 \neq \emptyset} dP_1 = F_0 + F_1 + 2F_{01}^*. \quad (7.63)$$

① 似乎还可得到 $L_0^2 - 4\pi F_0 \geq r_e^{-2}(\pi r_e^2 - F_0)^2$, $L_0^2 - 4\pi F_0 \geq \pi^2(r_e - r_i)^2$ 。

现在考虑凸线 $\partial K_0, \partial K_1$. 我们要在只考虑平移的情况下, 求得类似Poincaré公式(7.11)的, 关于 $\partial K_0, \partial K_1$ 的公式. 设 s_0, s_1 表示边界 $\partial K_0, \partial K_1$ 的弧长, 而令 P_1 为 $\partial K_0 \cap \partial K_1$ 的一点. 由于 ∂K_0 和 ∂K_1 的隅角构成可数点集(第一章, 第1节), 可以假定两曲线在 P_1 都是可微的, 因而在 P_1 的面积元素可以写成

$$dP_1 = |\sin\theta| ds_0 \wedge ds_1,$$

其中 θ 是 ∂K_0 和 ∂K_1 在 P_1 的夹角. 令 s_0 固定, 对 $|\sin\theta| ds_1$ 积分, 就得到 ∂K_1 在垂直于 ∂K_0 的切线的直线上的投影, 即

$$2[p_1(\phi) + p_1(\phi + \pi)],$$

其中 ϕ 是从一个参考方向到 ∂K_0 在 P_1 的法线的角. 因此, 若 n 为 ∂K_0 和 ∂K_1 的交点数, 则利用(1.12), 得

$$\begin{aligned} \int_{\partial K_0 \cap \partial K_1 \neq \emptyset} n dP_1 &= 2 \int_{\partial K_0} [p_1(\phi) + p_1(\phi + \pi)] ds_0 \\ &= 4(F_{01} + F_{01}^*), \end{aligned} \quad (7.64)$$

其中 F_{01} 是 K_0 和 K_1 的混合面积. 由此等式和(7.63), 即得 n 的平均值

$$E(n) = \frac{4(F_{01} + F_{01}^*)}{F_0 + F_1 + 2F_{01}^*}. \quad (7.65)$$

假定 ∂K_0 和 ∂K_1 总相交, 则 $E(n) \geq 2$. 这时(7.65)表明

$$2F_{01} \geq F_0 + F_1. \quad (7.66)$$

又由于 $(F_0 + F_1)^2 \geq 4F_0F_1$, 故

$$F_{01}^2 \geq F_0F_1. \quad (7.67)$$

可以证明, 这个 Minkowski 不等式对于任意两个凸集都成立. 注意: 若 K_1 为么圆, 则

$$F_1 = \pi, \quad F_{01} = \frac{1}{2} \int_0^{2\pi} p_0 d\phi = \frac{L_0}{2},$$

而(7.67)化为特殊的 $L_0^2 - 4\pi F_0 \geq 0$, 即等周不等式.

下面是比(7.67)更强的关系. 用 rK_1 表示 K_1 在以 r 为比值的位似变换下的象. 经过平移, 可使 rK_1 含在 K_0 内的最大 r 值 r_0 叫

做 K_0 相对于 K_1 的内半径,经过平移,可使 rK 含 K_0 在内的最小 r 值 R_0 叫做 K_0 相对于 K_1 的外半径.显然 $R_0 \geq r_0$,而且当 K_1 和 K_0 同位相似时,并且只在此时,它们相等.注意:若 K_1 为么圆, r_0 和 R_0 就是第5节的 r_i 和 r_e .有了这些定义之后,可以证明最强的不等式

$$F_{01}^2 - F_1 F_2 \geq (F_1^2/4)(R_0 - r_0)^2. \tag{7.68}$$

Bonneson[62]得到了这个不等式. Blaschke[51]有一个类似第5节方法的证明. Flanders[201]有一个初等而详细的证明.

(3) 凸集的差集及其被平分的弦. 我们按照 Chakerian 与 Stein 的论文[101], 叙述(7.64)的一项应用. 设 ∂K_0 为凸线, ∂K_0^* 为 ∂K_0 对于 $Q(Q \in K_0)$ 点的反射的象(图7.8). 除一个平移外, 曲线 ∂K_0^* 与 Q 无关^①. 若 P_0 为 K_0 的一个固定点, 而经过以 Q 为中心的

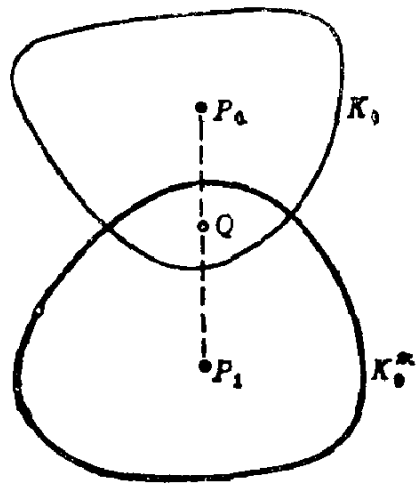


图 7.8

反射, P_0 的象是 P_1 , 则 P_1 在 K_0^* 内固定, 于是可应用公式(7.46). 注意 $dP_1 = 4dQ$, 就得

$$\int_{Q \in K_0} n(Q) dQ = F_{00}^* + F_{00}, \tag{7.69}$$

其中 $F_{00} = F_0(K_0 \text{ 和 } K_0 \text{ 的混合面积})$, F_{00}^* 表示 K_0 和 K_0^* 的混合面积, $n(Q)$ 为 ∂K_0 和 ∂K_0^* 的交点数.

让我们考虑所谓差集 DK_0 , 它是撑函数

$$p(\phi) = p_0(\phi) + p_0(\phi + \pi)$$

^① 即通过不同的反射中心 Q 所得曲线都可以经过平移互相叠合。——译者

所确定的凸集。按照(1.9), DK_0 的面积是 $F(DK_0) = 2F_0 + 2F_{00}^*$, 而把 Minkowski 不等式(7.66)应用于 K_0 和 K_0^* 的结果是 $F(DK_0) \geq 4F_0$, 其中等号当 K 中心对称时, 而且只在此时适用。此外, 可以证明(见 Bonneson 与 Fenchel[63, 第105 页]), $F(DK_0) \leq 6F_0$ (其中等号当 K_0 是三角形时, 而且只在此时适用)。于是有

$$F_0 \leq F_{00}^* \leq 2F_0, \quad (7.70)$$

其中左边的等式适用于中心对称集而右边等式则适用于三角形。

设 $\nu(Q)$ 为被 Q 平分的, K_0 的弦的个数。显然, $2\nu(Q) = n(Q)$, 而(7.69)和(7.70)给出

$$F_0 \leq \int_{Q \in K_0} \nu(Q) dQ \leq \frac{3}{2} F_0, \quad (7.71)$$

其中等号所适用的凸集与(7.70)同。由于 $\nu(Q) \geq 1$, (7.71)表明, 当 K_0 内平分不只一个弦的点的测度为零时, 而且只在此时, K_0 是中心对称的。这推广了 Viet[701]的一个结果。

令 $M_k = \{Q \in K_0; \nu(Q) = k\}$, 并用 $F(M_k)$ 表示 M_k 的面积。这样, 从上面的公式, Chakerian 与 Stein[101]推得以下结果:

(a) 若 k 是偶数, $F(M_k) = 0$;

(b) $3F_0 \leq F(M_1) \leq 4F_0$;

(c) 若 K_0 是常幅集, 则

$$1 \geq F(M_1)/F_0 \geq F(M_1(R))/F(R) \sim 0.943,$$

其中 R 是 Reuleaux 三角形(第 1 章第 4 节)。右边等式适用于而且只适用于 Reuleaux 三角形, 左边等式适用于而且只适用于圆。

(4) 线段的填装^①。把 $m(Q)$ 个凸盘随机地放在一个面积为 $A(Q)$ 的正方形 Q 内, 使每两个之间的距离至少是 $2r$ 。用 $F(Q)$, $L(Q)$ 依次表示这些凸盘的平均面积和平均周长。假定 Q 无限地增大, 同时 $F(Q)$, $L(Q)$ 和 $n(Q)/A(Q)$ 依次趋于极限 F, L, N 。不难证明, $N \leq (F + L + \pi r^2)^{-1}$ 。若凸盘缩成线段, 平均长是 a , 则这个结果可以改善成 $N \leq (2ar + 2\sqrt{3}r^2)^{-1}$ [181]。

① Close Packing. — 译者

第八章 图形的格

1. 定义与基本公式

平面上一个连通开集叫做一个域。一个域，或者它和它的部分或全部边界点的并集，叫做一个区。

已给平面上一个叙列的全等区 a_0, a_1, a_2, \dots ，如果下列条件得到满足，则这个叙列称为构成一个格，各区称为格的基本区。

(a) 平面上每一点属于唯一的 a_i ；

(b) 每一个 a_i 可以通过一个运动 t_i 和 a_0 叠合，而且 t_i 把每一个 a_s 叠置在一个 a_h 上，也就是把整个格变为自己。

使得 $a_0 = t_i a_i$ 的运动集合 $\{t_i\}$ 是运动群的一个离散子群。这样一个群叫做晶体群。共有十七类不同构的晶体群，但对于每一个晶体群有无数多种可能的基本区。我们的目的不在于介绍这些群的细节，对此，Coxeter[127]和Guggenheimer[254]两书都作了考察。图8.1到图8.5是格的例，其中的基本区是正方形、平行四边形、正六角形或者形状更复杂的图形。

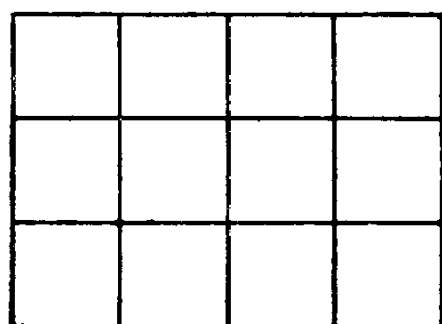


图 8.1

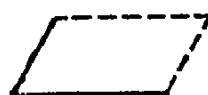
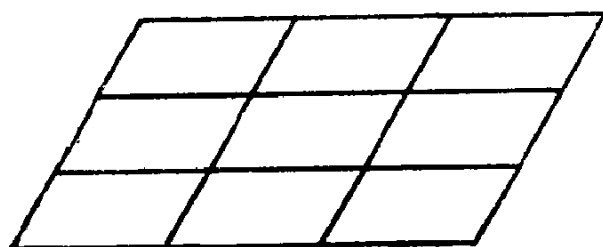


图 8.2

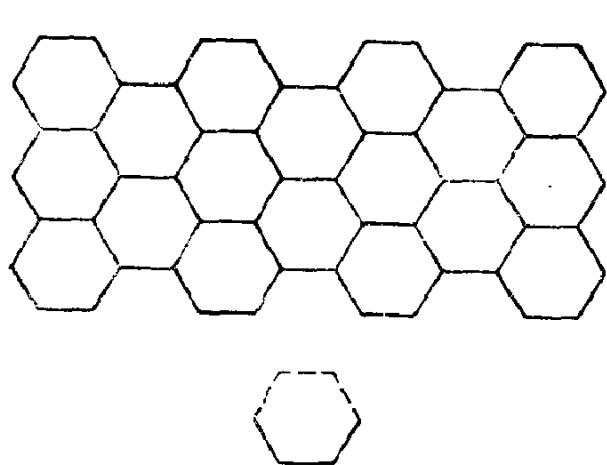


图 8.3

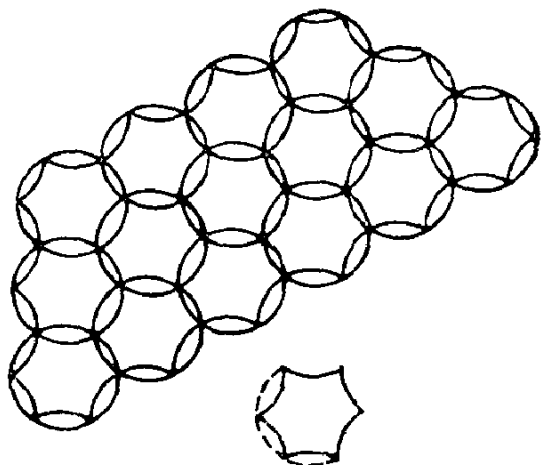


图 8.4

设 D_0 为平面上一个图形，它可能是被有限多条简单闭线所包围的区，或可求长曲线的一个集合，或有限多个点，等等。假定 D_0 含在一个格中的一个基本区 a_m 内。设 D_1 为另一个图形，它不一定含在一个基本区内。令 D_0 固定，而 D_1 作运动，其运动密度是

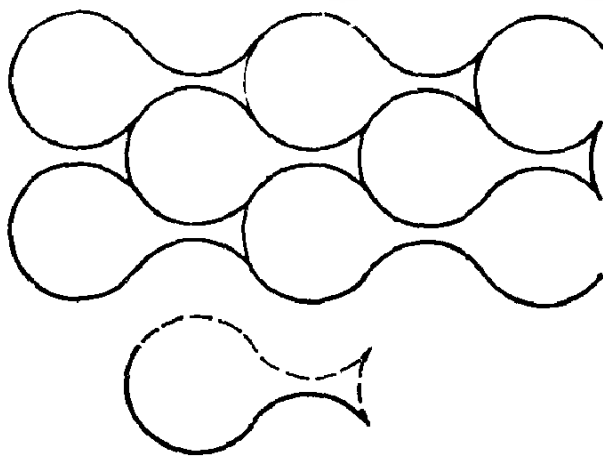


图 8.5

$dK_1 = dP \wedge d\phi$ ，其中 P 是 D_1 的一点而 ϕ 表示从一个参考方向到一个和 D_1 相固连的方向的角。考虑积分

$$I = \int_{D_0 \cap D_1 \neq \emptyset} f(D_0 \cap D_1) dK_1, \quad (8.1)$$

其中 f 表示交集 $D_0 \cap D_1$ 的一个实函数， $f(\emptyset) = 0$ 。我们有

$$I = \sum_i \int_{a_i} f(D_0 \cap D_1) dK_1, \quad (8.2)$$

其中的和是对于一切的基本区所取的, 而对于每个 i , 积分范围是一切属于 a_i 的 P 和 $0 \leq \phi \leq 2\pi$.

经过运动 t_i , 基本区 a_i 转移到 a_0 , 即 $t_i a_i = a_0$. 因此, 经过变数的改变 $K_1 \rightarrow t_i K_1$ (即通过 t_i 移动动标 P, ϕ), 由于运动密度的不变性 (即 $dK_1 = d(t_i K_1)$), 就得

$$I = \sum_i \int_{a_0} f(D_0 \cap t_i D_1) dK_1, \quad (8.3)$$

而由于交集 $D_0 \cap t_i D_1$ 和 $t_i^{-1} D_0 \cap D_1$ 全等, 又得

$$I = \int_{a_0} \sum_i f(t_i^{-1} D_0 \cap D_1) dK_1, \quad (8.4)$$

因此, 若在平面上画出一切点集 $t_i^{-1} D_0 (i = 0, 1, 2, \dots)$, 然后对于一切 i 取和 $\sum_i f(t_i^{-1} D_0 \cap D_1)$, 再在 $P \in a_0$, $0 \leq \phi \leq 2\pi$ 的范围 (这确定 D_1 的位置的一个集合) 内取积分, 则所得积分 (8.4) 和 (8.1) 相同.

2. 域格

设 D_0 和 D_1 为闭域, 它们的边界是有限多条逐段光滑的简单闭线所构成. 设 F_i, L_i, c_i 依次为 $D_i (i = 0, 1)$ 的面积、周长和总曲率. 假定 D_0 含在基本区 a_0 内, 我们考虑一切域 $t_i^{-1} D_0 (i = 0, 1, 2, \dots)$ 所构成的格^①. 这样, 若令 $f(D_0 \cap D_1)$ 为 $D_0 \cap D_1$ 的总曲率, 则由基本公式 (7.19) 以及 (8.4), 就得

$$\int_{a_0} c_{01} dK_1 = 2\pi(F_0 c_1 + F_1 c_0) + L_0 L_1, \quad (8.5)$$

① 这不是第一节中所说的那种意义的格, 它不是由基本区所构成. ——译者

γ_{01} 表示 D_1 和一切图形 $t_i^{-1}D_0$ 的交集的总曲率，也就是 D_1 和 D_0 在一切 α_i 内的翻版所构成的格的交集的总曲率。(8.5)里的积分范围是 $P \in \alpha_0$, $0 \leq \phi \leq 2\pi$ 。

例如，若 D_0 和 D_1 的边界分别都是一条单一的闭线，则 $c_0 = c_1 = 2\pi$, $c_{01} = 2\pi\nu$ ，其中 ν 表示交集 $\sum_i (t_i^{-1}D_0) \cap D_1$ 所含的块数，因而

$$\int_{\alpha_0} \nu dK_1 = 2\pi(F_0 + F_1) + L_0L_1. \tag{8.6}$$

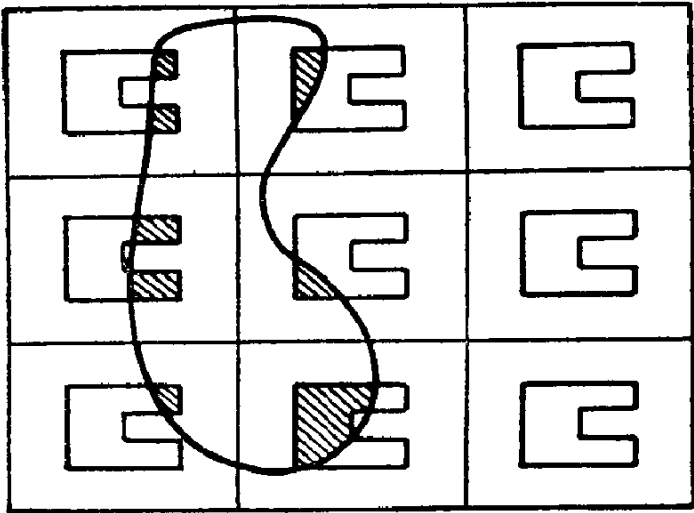


图 8.6

在图8.6的款， $\nu = 8$ 。

特别值得注意的一款是： D_0 和基本区 α_0 重合，但需补上必要的边界点，使 D_0 成为闭集。这时，(8.6)成立，而 ν 则表示 D_1 被格所分割成块的数目。例如在图8.7里①， $\nu = 8$ 。

由于积分范围的“体积”是 $2\pi\alpha_0$ ，其中 α_0 也表示基本区 α_0 的面积，我们有：

设一个闭域 D_1 的面积是 F_1 ，边界是长度为 L_1 的单一闭线，再设一个格的基本区面积为 α_0 ，周长为 L_0 ，则将 D_1 随机地放在格上时， D_1 被格分割成块的平均数是

① 对原图有小变动。——译者

$$E(\nu) = \frac{2\pi(a_0 + F_1) + L_0 L_1}{2\pi a_0}. \quad (8.7)$$

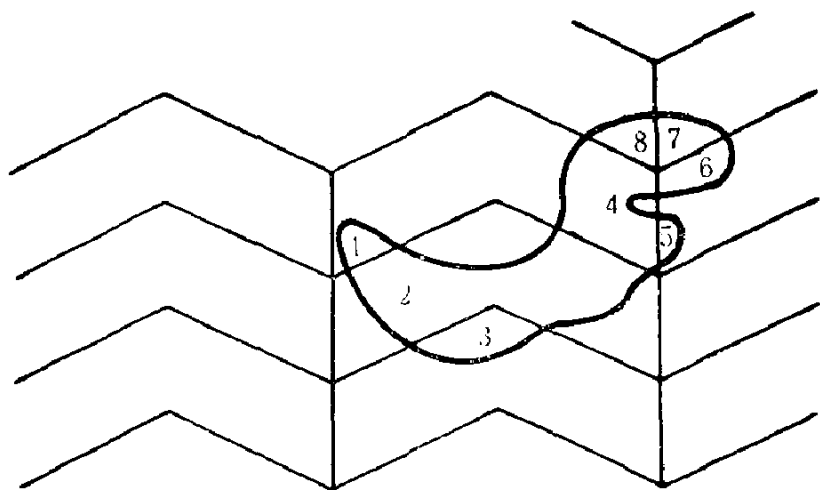


图 8.7

和 D_1 有公共点的基本区数 N 总小于等于 ν (例如在图8.7中①, $N=6$, $\nu=8$)。因此, $E(N) \leq E(\nu)$ 。故:

设 D_1 为任意闭域, 面积是 F_1 , 边界是长度为 L_1 的单一闭线, 再设一个格的基本区面积为 a_0 , 周长为 L_0 , 则 D_1 可以被格中一定数目 μ 的基本区所覆盖, 而 μ 满足不等式 $\mu \leq E(\nu)$, 其中 $E(\nu)$ 的值是(8.7)。

把这个结果应用于由边长为 a 的正方形格($a_0 = a^2$, $L_0 = 4a$), 就得: 每一个由单一的闭线包围的域可以用不多于

$$\mu_s = 1 + \frac{2L_1}{\pi a} + \frac{F_1}{a^2} \quad (8.8)$$

个那样的正方形覆盖。

若格是由边长为 a 的正六边形所构成(图8.3), 则得: D_1 可以用不多于

$$\mu_h = 1 + \frac{2L_1}{\sqrt{3}\pi a} + \frac{2F_1}{3\sqrt{3}a^2} \quad (8.9)$$

① 对原图稍有修改。——译者

个六边形覆盖。

若考虑这些六边形的外接圆，就得： D_1 可以用不多于 μ_h 个半径等 a 的圆覆盖。这些结果是 Hadwiger[263]得到的。关于到 n 维空间的推广，见第十五章第 9 节。Trandafir [675, 677, 677a] 探讨了二维黎曼空间和三维欧氏空间关于格的问题，参看[464, 465]。

3. 曲线格

设 D_0 和 D_1 为逐段光滑曲线，长度依次是 L_0, L_1 。由 (7.11) 和 (8.4)，令 $f(D_0 \cap D_1)$ 为交集 $D_0 \cap D_1$ 所含的点数，就得

$$\int_{\sigma_0} n dK_1 = 4L_0L_1, \tag{8.10}$$

其中 n 表示 D_1 和曲线格 $t_i^{-1}D_0 (i=0,1,2,\dots)$ 的交点数。

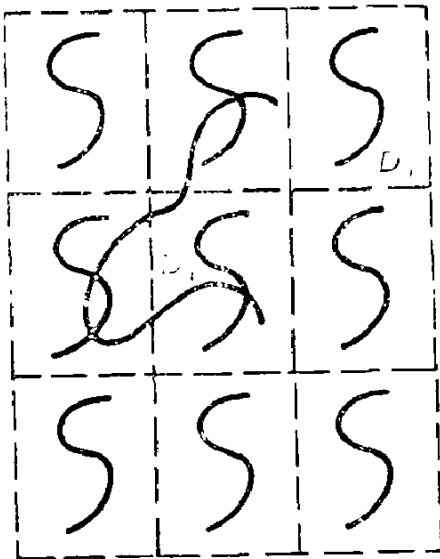


图 8.8

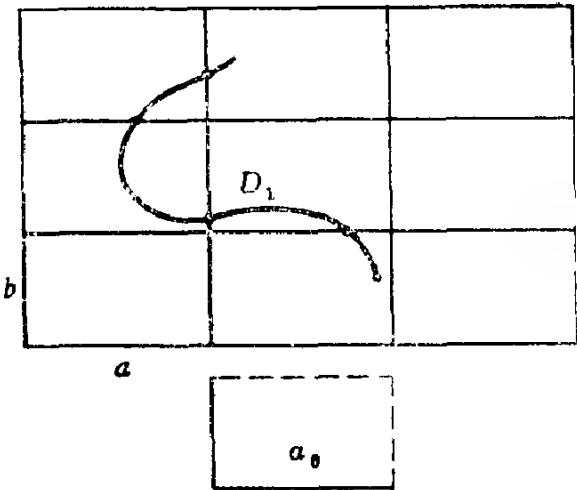


图 8.9

在图8.8里 \mathbb{D} ， $n=4$ 。于是得：

设一个格的基本区面积是 a_0 ，每个区含一条长度为 L_0 的曲线，而一条长度为 L_1 的曲线 D_1 随机地放了上去，则上述曲线格和 D_1 的平均交点数是

① 对原图有小改动。——译者

$$E(n) = \frac{2L_0L_1}{\pi a_0}. \quad (8.11)$$

例如, 考虑以边长为 a, b 的长方形格, 而 D_0 为这些长方形的两条相邻边所构成 (图 8.9), 则 $a_0 = ab$, $L_0 = a + b$, 而

$$E(n) = \frac{2(a+b)L_1}{\pi ab}, \quad (8.12)$$

若 $a \rightarrow \infty$, 则上述的格变成平行线格, 其间隔距离是 b , 而 $E(n) = 2L_1/\pi b$. 特殊地, 若 D_1 为长度等于 L_1 ($L_1 \leq b$) 的线段, 则 n 的值只能是 0, 1, 而 $E(n)$ 就等于一条长度为 L_1 的线段和一条平行线相交的概率. 我们又一次获得 Buffon 的结果 (第五章, 第 2 节).

4. 点格

设 D_0 为有尽多个点所构成. 例如 m 个. 令 $f(D_0 \cap D_1)$ 是含在 D_1 内的 D_0 点的个数. 由 (7.32) 和 (8.4), 就有

$$\int_{D_1} n dK_1 = 2\pi m F_1, \quad (8.13)$$

其中 n 是点格中属于 D_1 的点的个数. 例如在图 (8.10) 里, $m = 3$, $n = 4$, 而在图 8.11 里, $m = 1$, $n = 2$. 这个结果可以写成:

若每个基本区含有 m 点, 而一个面积为 F_1 的域 D_1 随机地放在平面上, 则 D_1 含有格点的平均数是

$$E(n) = \frac{m F_1}{a_0}. \quad (8.14)$$

我们将给出这个中值的三项应用.

(1) 考虑边长等于 a 的等边三角形格, 则这些三角形的顶点构成一个点格. 以这些点为顶点的平行四边形也构成一个格, 其基本区是两个三角形所形成, $a_0 = (\sqrt{3}/2)a^2$, $m = 1$ (图 8.12). 这样, $E(n) = 2F_1(\sqrt{3}a^2)^{-1}$, 于是得定理:

总可以把 n 个点放在一个已给的, 面积为 F_1 的域内, 使它们

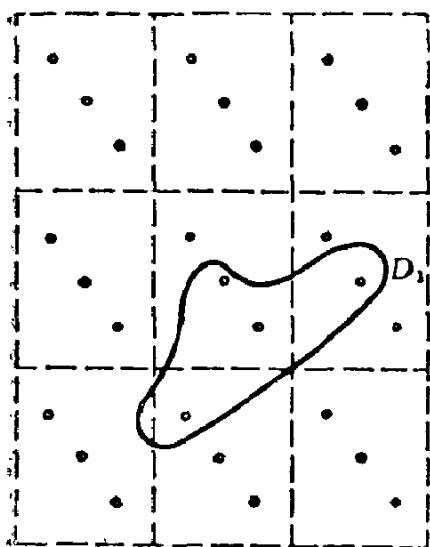


图 8.10

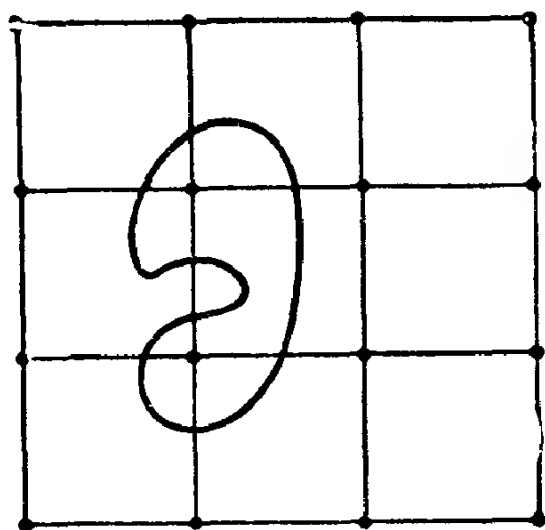


图 8.11

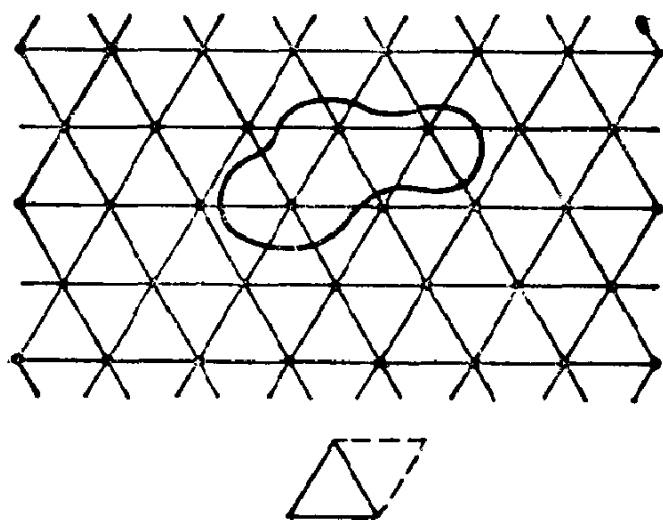


图 8.12

两点的最小距离 a 满足条件 $a^2 \geq 2F_1(\sqrt{3}n)^{-1}$ [179].

(2) 若只考虑 D_1 的平移, 只要把 (7.32) 右边的因子 2π 去掉, 那个公式就适用, 因而中值 (8.14) 也适用, 不需改变. 我们将证明, 若 D_1 是有界闭域, 则它必有一个位置, 含有至少 $[mF_1/a_0] + 1$ 个格点, 其中 $[]$ 表示“整数部分”. 事实上, 若存在着使 $n < [mF_1/a_0]$ 的 D_1 的位置集合, 其测度是正的, 则为了补

偿, 必有使 $n > [mF_1/a_0]$ 的位置集合, 其测度是正的, 因而必有 D_1 的位置, 使 n 等于 $[mF_1/a_0] + 1$. 现在假设除了一个零测度集的 D_1 位置外, $n = [mF_1/a_0]$. 取 D_1 的一个位置, 使这些点中有些在边界 ∂D_1 上. 设 ε 为不属于 D_1 的格点和 D_1 的最短距离; 由于 D_1 是有界闭集, $\varepsilon > 0$, 通过一个距离小于 ε 的平移, 肯定可以使 ∂D_1 上的一些格点离开 D_1 , 因而就有一个正测度的 D_1 位置集合, 使 $D_1 < [mF_1/a_0]$, 和假设矛盾. 于是我们证明了 Blichfeldt 定理 [53]:

若平面上有一个格, 其基本区的面积是 a_0 , 而每个基本区含有 m 个格点, 又在这个平面上有一个面积等于 F_1 的有界闭域 D_1 , 则经过一个平移, 必可使 D_1 的新位置含有至少 $[mF_1/a_0] + 1$ 个格点.

(3) 已给一个点格, 一个困难的课题是: 若要求一个域的任何位置都含有至少一个已给数目的格点, 求具有最小面积的这样的域的形状.

举一个例. 考虑一个直角坐标系中具有整数坐标的点所构成的格 (这样的格叫做整格), 试求最小面积的闭凸集, 它无论怎样地放在平面上, 总要覆盖整格的一个点. 对这一款, 由 (8.14) 可知 $E(n) = F_1$, 而所需满足的条件是 $E(n) \geq 1$, 因而 $F_1 \geq 1$. 若只考虑平移, 所求答案显然是边长为 1 的正方形, $F_1 = 1$. 若把一切运动考虑在内, 条件 $F_1 = 1$ 是不充分的. D. B. Sawyer ([593], 对于具有中心的凸集) 和 J. J. Schäffer ([594], 对于一般凸集) 证明了: 答案是一个边长为 1 的正方形和两个抛物线弓形所构成, 抛物线切线和正方形的边所作的角是 $\pi/4$ (图 8.13). 这个最小

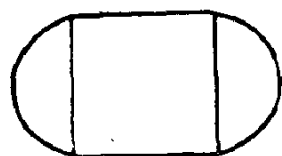


图 8.13

凸集的面积是 $F_1 = 4/3$ (参阅 [332]).

下面是一个类似的课题 (设计人是 Scott [603]). 设 K 为欧氏平面上一个有界凸集. 令 $\delta(K)$ 表示 K 的宽. 若 $\delta(K) \geq$

$\frac{1}{2}(2 + \sqrt{3})$, 则 K 含有整格的一个点. 当 K 为边长为 $\frac{2 + \sqrt{3}}{\sqrt{3}}$ 的等边三角形时, 而且只在此时, 需用这里面的等号.

若一个域 D 不含整格中的任何点作为一个内点, 则相对于整格, D 称为可容[许]的. Bender[25]证明了 $2F \leq L$, 其中 F 为 D 的面积, L 为周长. 参看 Silver[612], Hadwiger[277, 278] 和 Wills[726, 727]的结果. 下面是 Bokowski, Hadwiger 与 Wills[60]所得到的一般结果: 设 K 为 n 维欧氏空间的凸体, 它的体积是 V , 表面面积是 F , 并设 N 为作为 K 的内点的格点 (具有整数坐标的点), 则 $N > V - F/2$, 而且其中的因子 $1/2$ 不能用更小的数替代 (参看 [598a]).

Poole 与 Gerriets[491]探讨了以下课题: 已给任意长度为 L 的弧, 求平面上面积最小的凸区, 它经过适当的平移和转动, 可以覆盖那个弧. 他们指出, 一个对角线长为 L 和 $3^{-1/2}L$ 的菱形 R 将能覆盖每一个那样的弧. 他们还指出, 可以把 R “截”去一块以得到具有所要求性质的较小的区, 其面积小于 $0.2861L^2$. Chakerian 与 Klamkin[100]和 Wetzel[714a]考虑了与此相关的问题.

要确定一个随机区所覆盖的格点数的方差, 一般地是困难的. Kendall 与 Rankin[334]处理了 E_n 里在一个随机球内部的格点问题 (与此有关的结果, 见 [335]).

5. 注记与练习

(1) 有关格的概率. 考虑基本区为具面积 a_0 的凸多边形所构成的格. 基本区的边界构成一个线状格 (或无穷网络), 它是 a_0 的部分边界经过变换 t_i 所产生的. 设 u_0 为这部分边界的长. 例如, 对于图 8.2 的格, 若作为基本区的平行四边形的边长是 a, b , 顶角是 θ , 则 $a_0 = ab \sin \theta$, $u_0 = a + b$; 对于图 8.3 的格, 若六边形的边长是 a , 则 $a_0 = (3\sqrt{3}/2)a^2$, $u_0 = 3a$. 在本节里, 我们用“格”这个词来表示基本区的边界所构成的线状格.

设 S^* 是长度为 r 的有向线段, 而且 S^* 不能同线状格有多于两个公共点. (6.44 给) 出了 S^* 含在一个基本区内的一切位置集合测度 m . 另一方面, 若令 $m_i (i=0, 1, 2)$ 为 S^* 同格有 i 个公

共点的一切位置测度, 则根据(8.10), $m_1 - m_2 = 4ru_0$, 而 S^* 在运动群 $\{t_i\}$ 下互不等价的位置集合的测度是 $m_0 + m_1 + m_2 = 2\pi a_0$. 若 m_0 已知, 则由这些公式可以确定 m_1 和 m_2 , 我们就可以求得 S^* 同格有 0, 1, 2 个公共点的概率。

例1 考虑图8.2里的平行四边形格。按照(6.44),

$$m_0 = 2\pi ab \sin \theta - 4r(a+b) + r^2[2 + (\pi - 2\theta) \cot \theta], \quad (8.15)$$

而利用上述的结果, 就得

$$\begin{aligned} m_1 &= 4r(a+b) - 2r^2[2 + (\pi - 2\theta) \cot \theta], \\ m_2 &= r^2[2 + (\pi - 2\theta) \cot \theta]. \end{aligned} \quad (8.16)$$

因此

设平面上有一个以边长为 a, b , 顶角为 θ 的全等平行四边形所构成的格, 并把一根长度为 r 的针随机地放在上面。假定该针同格相交不多于两点, 则交点数为 0, 1, 2 的概率是

$$p_0 = 1 - \frac{2r(a+b)}{\pi ab \sin \theta} + \frac{r^2}{2\pi ab \sin \theta} [2 + (\pi - 2\theta) \cot \theta],$$

$$p_1 = \frac{2r(a+b)}{\pi ab \sin \theta} - \frac{r^2[2 + (\pi - 2\theta) \cot \theta]}{\pi ab \sin \theta},$$

$$p_2 = \frac{r^2[2 + (\pi - 2\theta) \cot \theta]}{2\pi ab \sin \theta}.$$

例2 对于以边长为 a 的正六边形格和长度 r ($r \leq a$) 的针, 其概率是

$$p_0 = 1 - \frac{4\sqrt{3}r}{3\pi a} + \left(\frac{\sqrt{3}}{3\pi} - \frac{1}{9}\right) \frac{r^2}{a^2},$$

$$p_1 = \frac{4\sqrt{3}r}{3\pi a} - \left(\frac{2\sqrt{3}}{3\pi} - \frac{2}{9}\right) \frac{r^2}{a^2},$$

$$p_2 = \left(\frac{\sqrt{3}}{3\pi} - \frac{1}{9} \right) \frac{r^2}{a^2}.$$

Santaló[532]探讨了这个问题。

例3 凸集格 假定每个基本区含有一个凸集 D_0 ，它的面积是 F_0 ，周长是 L_0 。设 D_1 为另一个凸集，它的面积是 F_1 ，周长是 L_1 ，而且它不能和一个以上的 $t_i^{-1}D_0$ 相交(图8.14)。根据(7.19)，

$$\begin{aligned} m(D_1; D_0 \cap D_1 \neq \emptyset) \\ = 2\pi(F_0 + F_1) + L_0L_1 \end{aligned}$$

而由于 D (对于 $\{t_i\}$ 不等价)的位置测度是 $2\pi\alpha_0$ ，就得：

设在平面上有由凸集 D_0 所产生的格而把一个凸集 D_1 随机地放上去，则 (在 D_1 不能和两个 $t_i^{-1}D_0$ 相交的假定下)， D_1 和 $t_i^{-1}D_0$ 之一相交的概率是

$$p = \frac{2\pi(F_0 + F_1) + L_0L_1}{2\pi\alpha_0}.$$

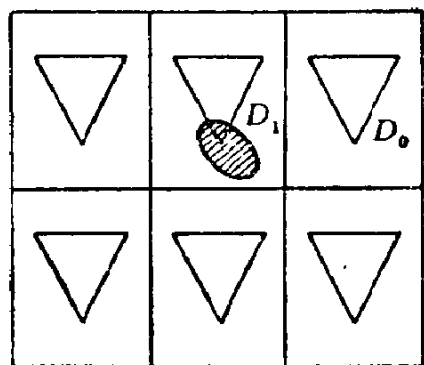


图 8.14

练习 设 D_1 为线段，它的长 r 不小于 D_0 的直径，但又不能和格中一个以上的凸集 $t_i^{-1}D_0$ 相交。证明： D_1 同 ∂D_0 交于0,1,2个点的概率是

$$p_0 = 1 - \frac{F_0}{a_0} - \frac{rL_0}{\pi a_0}, \quad p_1 = \frac{2F_0}{a_0}, \quad p_2 = \frac{rL_0}{\pi a_0} - \frac{F_0}{a_0}.$$

(3) **等边三角形格**。考虑边长为 a 的等边三角形格(图8.12)。把一条长度为 r ($r \leq (\sqrt{3}/2)a$)的线段随机地放上去，它可能和格交于0,1,2个点。其对应的概率是[532]

$$p_0 = 1 - \frac{4\sqrt{3}r}{\pi a} + 2\left(\frac{\sqrt{3}}{2\pi} + \frac{1}{3}\right)\frac{r^2}{a^2},$$

$$p_1 = \frac{4\sqrt{3}r}{\pi a} - \left(\frac{\sqrt{3}}{\pi} + \frac{5}{3}\right)\frac{r^2}{a^2},$$

$$p_2 = \left(\frac{1}{3} - \frac{\sqrt{3}}{\pi} \right) \frac{r^2}{a^2},$$

$$p_3 = \left(\frac{\sqrt{3}}{\pi} - \frac{1}{3} \right) \frac{r^2}{a^2}.$$

(4) 特殊形状的凸集及其格。

(a) 考虑边长为 $a, b (a \geq b)$ 的长方形的格 (图 8.15), 并设 K 为常幅凸集, 其幅 $h \leq b$ 。若把 D_1 随机地放在平面上, 则 K_1 和 0, 1, 2 条格线相交的概率是

$$p_0 = 1 - \frac{(a+b)h}{ab} + \frac{h^2}{ab}, \quad p_1 = \frac{(a+b)h}{ab} - \frac{2h^2}{ab}, \quad p_2 = \frac{h^2}{ab}.$$

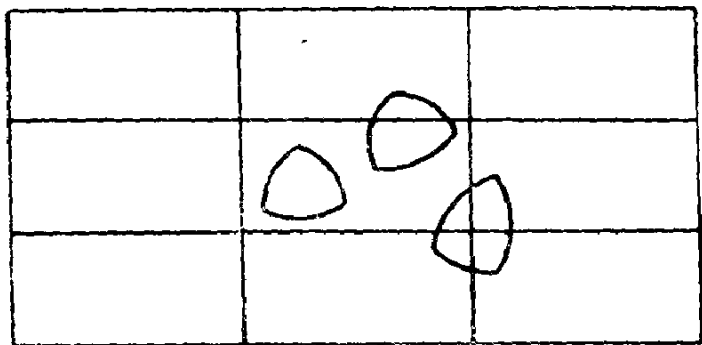


图 8.15

(b) 考虑边长为 a 的等边三角形格 (图 8.16) 和一个三角凸集 K_1 , 其外接三角形的边 $a_1 \leq a$ (第一章, 第 4 节)。若把 K_1 随机地放在平面上, 则 K_1 和格相交的概率是 $p = 2a_1/a - (a_1/a)^2$, 而 K_1 完全落在格中一个三角形之内的概率是 $p_0 = 1 - (2a_1/a) + (a_1/a)^2$ [551]。

(c) 考虑边长为 a 的正方形的格, 并以每个顶点为中心作半径等于 $a/4$ 的圆 (图 8.17)。作为练习, 证明: (i) 格中的圆和一个长度为 L 的随机曲线的平均交点数是 $E(n) = L/a$ 。(ii) 若一个形状任意而有 16 个小孔的薄片随机地放在平面上, 则落在格中一个圆内的小孔的平均数是 π 。

(5) 曲线长的测量。把公式 (8.12) 应用于边长为 a 的正

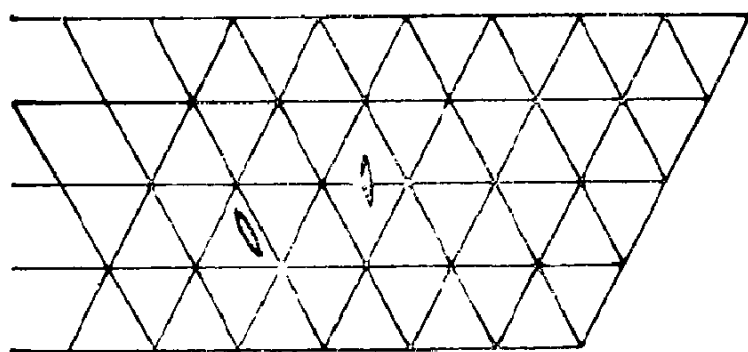


图 8.16

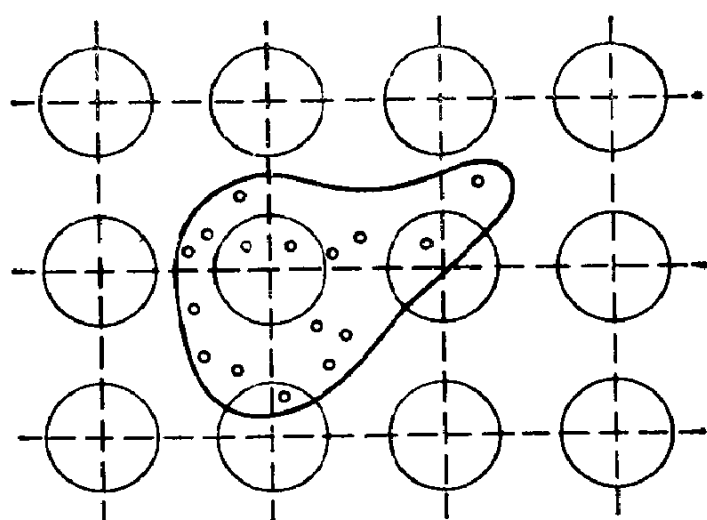


图 8.17

方形格，就得 $L_1 = (\pi/4)aE(n)$ 。这个结果提供了测量曲线长的一种实际方法。假定我们把一张画有边长为 a 的正方格的透明薄片盖在曲线上。记下曲线和格线的交点数，把薄片逐次转动 π/n 角，取各次交点数的中值，再乘以 $(\pi/4)a$ ，就得 L_1 的一个估计值。利用这个方法所产生误差的估计，Moran[427]作过分析。

第 二 篇

一 般 积 分 几 何

第九章 微分齐式与李群

1. 微分齐式

在第一篇里，我们从初等观点论述了平面积分几何。点集和线集的密度以及运动密度都是通过特殊办法获得的，它们的不变性是直接地而且彼此独立地证明的。

我们要把前面的结果和思想概括在一个一般的范畴内。为此目的，我们需要：(a) 一个含有某些几何对象的基本空间 M (在第一篇里， M 是欧氏平面而对象是点，线，或全等图形)；(b) 一个作用于 M 上的变换群 \mathcal{G} (在第一篇里， \mathcal{G} 是平面上的运动群)。一旦有了空间 M 和变换群 \mathcal{G} ，下一步就是对于几何对象的集合确定在 \mathcal{G} 下不变的一种测度，然后对于某些特殊的集合计算其测度，以便获得一些有几何意义的结果。

我们将假定读者已经了解微分流形与李群中的一般定义和基本定理，象 Sternberg [628]，Kobayashi 与 Nomizu [341a] 或 Bishop 与 Goldberg [32] 的书中所阐明的。在本章内，我们只对微分组和李群与齐性空间上的不变测度的主要性质作一概述。

设 M 为一个 C^∞ 类 n 维微分流形。用 T_p 表示在 p 点的切空间， $T(M)$ 表示所有切空间 T_p 的并集。一个矢量场 X 是一个函数 $X: M \rightarrow T(M)$ ，对于每个 $p \in M$ ，它确定一个矢量 $X_p \in T_p$ 。若 X 是一个矢量场，而 f 属于确定于 M 上的 C^∞ 类函数环，则 Xf 为函数 $p \rightarrow X_p(f)$ 或 $Xf(p) = X_p f$ 。若 x_i 是局部坐标系，则一个矢量场用

$$X = \sum_i a^i(x) \frac{\partial}{\partial x_i} \quad (9.1)$$

确定，其中函数 $a^i(x)$ 总假定是属于 C^∞ 类的。

若 T_p^* 表示 T_p 的对偶空间 (称为 M 在 p 的余切空间) 而 $T^*(M)$

表示所有空间 T_p^* 的并集, 则 M 的一个一次式是一个函数 $M \rightarrow T^*(M)$, 对于每一点 $P \in M$, 它确定一个余矢 $\omega_P \in T_P^*$. 在局部坐标系里, 一次式表现为

$$\omega = \sum_1^n a_i(x) dx_i, \quad (9.2)$$

其中 $a_i(x)$ 是 C^∞ 类函数. 若 $\bigwedge T_p^*(M)$ 表示 $T_p^*(M)$ 上的外代数, 则一个 q 次式就对于每个点 $p \in M$ 确定 $\bigwedge T_p^*(M)$ 里的一个 q 次元素. 在局部坐标系 x_i 里, $\omega^{(q)}$ 可以唯一地表示为

$$\omega^{(q)} = \sum_{i_1 < \dots < i_q} a_{i_1 \dots i_q} dx_{i_1} \wedge dx_{i_2} \wedge \dots \wedge dx_{i_q},$$

其中 $a_{i_1 \dots i_q}$ 为 M 上的 C^∞ 类函数. 当 $q > n$ 时, 不存在不等于零的 q 次式. q 次式就叫做 q 次微分齐式, 而且我们约定, 函数是零次微分齐式. 显然, M 上的 q 次式构成确定于 M 上的 C^∞ 类函数环上的一个模. 这个模的一个底是一切外积 $dx_{i_1} \wedge \dots \wedge dx_{i_q}$, ($i_1 < \dots < i_q$). 更一般地, 若 $\omega_1, \omega_2, \dots, \omega_n$ 为一次式的一个底, 则一切外积 $\omega_{i_1} \wedge \dots \wedge \omega_{i_q}$ ($i_1 < \dots < i_q$) 构成 q 次式的一个底.

$\omega^{(q)}$ 的外导式或外微分的定义是

$$\begin{aligned} d\omega^{(q)} &= \sum_{i_1, \dots, i_q} da_{i_1 \dots i_q} \wedge dx_{i_1} \wedge \dots \wedge dx_{i_q} \\ &= \sum_{i_1, \dots, i_q} \frac{\partial a_{i_1 \dots i_q}}{\partial x_k} dx_k \wedge dx_{i_1} \wedge \dots \wedge dx_{i_q}, \end{aligned} \quad (9.3)$$

其中的总和里下标 i_h 的范围是满足 $i_1 < \dots < i_q$ 的一切排列, 而 k 则满足 $1 \leq k \leq n$. 注意, 对于任意整数 $q, s \geq 1$,

$$\begin{aligned} d(d\omega^{(q)}) &= 0, \\ d(\omega^{(q)} \wedge \omega^{(s)}) &= d\omega^{(q)} \wedge \omega^{(s)} + (-1)^q \omega^{(q)} \wedge d\omega^{(s)}. \end{aligned} \quad (9.4)$$

对于一次式, 有时候利于把它的外微分用普通微分表示. 为此, 注意外积 $dx_1 \wedge dx_2$ 可以看作 R^2 里的带有正负号的面积元素. 于是, 若 (dx_1, dx_2) 和 $(\delta x_1, \delta x_2)$ 为两个独立的无穷小矢, 就

故 $dx_1 \wedge dx_2 = dx_1 \delta x_2 - dx_2 \delta x_1$, 而一次式 $\omega(9.2)$ 的外微分可以写成

$$\begin{aligned} d\omega &= \sum_{i,k} \frac{\partial a_i}{\partial x_k} dx_k \wedge dx_i \\ &= \sum_{i,k} \frac{\partial a_i}{\partial x_k} (dx_k \delta x_i - \delta x_k dx_i). \end{aligned} \quad (9.5)$$

根据 $d\delta x_i = \delta dx_i$ (这相当于二阶偏导数与取导数的次序无关), 就有 [90, 第36页]

$$d\omega = d\omega(\delta) - \delta\omega(d) \textcircled{1}, \quad (9.6)$$

这个公式在坐标变换下不变, 我们以后将用到它. 注意在左边, d 表示外导, 而在右边, 它表示普通的微分. 不过, 既然 (9.6) 并不常用, 保留这个较易误解的记法并无危险.

最后, 注意已给 r 个一次式

$$\phi_i = \sum_j a_{ij} dx_j \quad (i=1, 2, \dots, r),$$

我们有

$$\begin{aligned} &\phi_1 \wedge \phi_2 \wedge \dots \wedge \phi_r \\ &= \sum_{i_1 < \dots < i_r} \det(a_{i_1} \dots a_{i_r}) dx_{i_1} \wedge \dots \wedge dx_{i_r}, \end{aligned} \quad (9.7)$$

其中 $\det(a_{i_1} \dots a_{i_r})$ 表示矩阵 (a_{ij}) 的第 i_1, \dots, i_r 列所构成的行列式. 特殊地, 若 $r=n$, 就有

$$\phi_1 \wedge \dots \wedge \phi_n = \det(a_{ij}) dx_1 \wedge dx_2 \wedge \dots \wedge dx_n. \quad (9.8)$$

若在 M 的每点, 矩阵 (a_{ij}) 的秩是 r , 一次式 ϕ_1, \dots, ϕ_r 是独立的, 故根据 (9.7), ϕ_1, \dots, ϕ_r 独立的充要条件是

$$\phi_1 \wedge \dots \wedge \phi_r \neq 0. \quad (9.9)$$

① 右边更明确的写法是 $d[\omega(\delta)] - \delta[\omega(d)]$, 其中 $\omega(d)$ 就是 (9.2) 中的一次式, 而 $\omega(\delta) = \sum_i a_i \delta x_i$, ——译者

2. Pfaff 微分组

设 ω 为微分流形 M 上的一次式, 而 X 为 M 上的 矢量场. 方程 $\omega X = 0$ 表示在 M 的每一点 p , 余矢 $\omega(p)$ 把矢量 X_p 化为零. 这时, 我们就说 X 是方程 $\omega = 0$ 的一个解, 而这样一个方程 就叫做一个 Pfaff 方程.

更一般地, 若 $\omega_1, \omega_2, \dots, \omega_r$ 为 M 上 r 个独立一次式, 则方程组

$$\omega_1 = 0, \quad \omega_2 = 0, \quad \dots, \quad \omega_r = 0 \quad (9.10)$$

称为 M 上的一个 Pfaff 组. 已给 M (或 M 的一个开域) 上两个 Pfaff 组 $\omega_i = 0 (i = 1, 2, \dots, r)$ 和 $\phi_j = 0 (j = 1, 2, \dots, m)$, 若有 C^∞ 类函数 λ_{ij} 和 μ_{ij} , 使

$$\omega_i = \sum_{j=1}^m \lambda_{ij} \phi_j, \quad \phi_j = \sum_{i=1}^r \mu_{ij} \omega_i, \quad (9.11)$$

则两个 Pfaff 组称为等价的.

显然, 若一次式 ω_i 是独立的, 而一次式 ϕ_j 也是独立的, 则只有 $m = r$ 而且 方阵 (μ_{ij}) 是 方阵 (λ_{ij}) 的逆时, (9.11) 才能成立. 若设 $\omega_i = \sum a_{ik} dx_k$, 则一个 矢量场 $X = \sum a^j (\partial/\partial x_j)$ 为 (9.10) 的解的充要条件是

$$\sum_{k=1}^n a_{ik} a^k = 0, \quad i = 1, 2, \dots, r. \quad (9.12)$$

若一次式 ω_i 是独立的, 则方阵 (a_{ik}) 的秩等于 r , 这时在每一点 $p \in M$, 分量 $a^k(p)$ 满足线性方程 (9.12) 的 矢量 X_p 构成切空间 T_p 的一个 $n-r$ 维子空间, 或 $n-r$ 维平面. 于是对于每一个 Pfaff 组 (9.10), 就有一个 $n-r$ 维平面场, 也就是有一个 函数. 对于每一点 $p \in M$, 这个函数使一个 $n-r$ 维平面 T_p 与 p 对应. 这样一个函数叫做 M 上的一个 r 维分布. 我们说, 这个 $n-r$ 维平面场是 (9.10) 组的零化场或解. 若 M' 为 M 的一个子流形, 而且对于每一个 $p \in M'$, M' 在 p 的切空间 T_p 含在 (9.10) 组的零化场内,

则 M' 称为(9.10)组的一个积分流形。倒转来, 若有 $n-r$ 个独立的矢场 $X' = \sum a_i^k (\partial/\partial x_k)$ ($i = 1, \dots, n-r$; $k = 1, 2, \dots, n$), 张成一个 M 上的 $n-r$ 维矢场, 则线性方程组

$$\sum_{k=1}^n a_k a_i^k = 0 \quad (i = 1, 2, \dots, n-r) \quad (9.13)$$

在每一点 $p \in M$ 确定余空间 T_p^* 的一个 r 维平面。这就是说, 对应于每一个 $n-r$ 维平面场, 有一个函数(叫做一个 r 维余分布), 对于每一点 $p \in M$, 它确定 T_p^* 的一个 r 维平面, 即一组 r 个独立的一次式, 而这 r 个一次式, 除了还可以用它们的线性组合代替之外, 是完全确定的。

已给 Pffaf 组(9.10), 若在 M (或 M 的一个开集) 上有一组 r 个函数 $f_i(x_1, x_2, \dots, x_n)$ ($i = 1, 2, \dots, r$), 使(9.10)组和方程组

$$dy_1 = 0, \quad dy_2 = 0, \quad \dots, \quad dy_r = 0 \quad (9.14)$$

等价, 则所给 Pffaf 组称为完全可积的。

换句话说, 若有 r 个函数 $y_i(x_1, \dots, x_n)$, 使

$$\omega_i = \sum_{k=1}^r a_{ik} dy_k, \quad (9.15)$$

其中 (a_{ik}) 是可逆(即满秩)方阵, 其元素 a_{ik} 是 C^∞ 类的, 则(9.10)完全可积。若(9.10)完全可积, 则经过每一点 $p \in M$, 有一个 $n-r$ 维积分流形。事实上, 在每一点 p 的邻近, 方程组 $y_i(x) = y_i(p)$ 确定一个 $n-r$ 维子流形, 而这显然是一个积分流形, 因为(9.14)和(9.10)等价。倒转来, 已给一族的 $n-r$ 维微分子流形, 若经过 M 的每一点, 有族中唯一的一个子流形, 则这些微分子流形是一个完全可积 Pffaf 组的积分流形。事实上, 在一个局部坐标系里, 所给子流形可以用

$$F_i(x_1, x_2, \dots, x_n; \xi_1, \xi_2, \dots, \xi_r) = 0, \quad i = 1, 2, \dots, r \quad (9.16)$$

代表, 其中每一点 $p \in M$ 确定唯一的一组参数 ξ_1, \dots, ξ_r 。这时, 上面所说的 Pffaf 式就是

$$\sum_{j=1}^r \frac{\partial F_i}{\partial x_j} dx_j = 0, \quad i = 1, 2, \dots, r, \quad (9.17)$$

其中的参数 ξ_i 要用从(9.16)解出的含 x_i 的函数代入。

最后, 我们指出, 若(9.10)是完全可积的, 即若一次式 ω_i 可以写成(9.15)的形状, 则

$$d\omega_i = \sum_{j=1}^r \sum_{h=1}^r \frac{\partial a_{ih}}{\partial x_j} dx_j \wedge dy_h, \quad i = 1, 2, \dots, r, \quad (9.18)$$

而利用方程(9.14), 就得 $d\omega_i = 0$ 。于是可以得出下面结论:

(9.10)组完全可积的一个必要条件是, 若把组中的方程考虑在内时, 外微分 $d\omega_i = 0$ 。

换句话说, (9.10)组完全可积的一个必要条件是

$$d\omega_i \wedge \omega_1 \wedge \dots \wedge \omega_r = 0 \quad (i = 1, 2, \dots, r). \quad (9.19)$$

上述条件也是充分的(Frobenius 定理), 但我们将只用到它的必要性。Frobenius 定理的证明见 Flanders[201], Sternberg [628], 或 H.Cartan[91]。

3. 微分流形的映射

在讨论李群之前, 需要陈述关于微分流形的映射的一些定义。设 $\Phi: M \rightarrow M'$ 为从 n 维微分流形 M 到 m 维微分流形 M' 内的一个映射。若对于在 M' 上确定的任意 $f \in C^\infty$, 都有 $f \circ \Phi \in C^\infty$, 则 Φ 就称为可微的。若 Φ 是可微的, 则有一个诱导的线性映射 $d\Phi: T(M) \rightarrow T(M')$, 称为 Φ 的微分, 其定义如下: 对于任意矢量 $X_p \in T_p$ 和任意在 $p' = \Phi(p)$ 的一个邻域里确定的 $f \in C^\infty$, $d\Phi(X_p)f = \Phi_p(f \circ \Phi)$ 。用局部坐标表示: 若 Φ 表现为 $x'_a = x'_a(x_1, x_2, \dots, x_n)$, $a = 1, 2, \dots, m$, 而 $X_p = \sum_i a^i (\partial/\partial x_i)_p$, 则

$$(d\Phi)X_p = \sum_{i,a} a^i \left(\frac{\partial x'_a}{\partial x_i} \right)_p \left(\frac{\partial}{\partial x'_a} \right)_{p'}, \quad (9.20)$$

其中的上下标的范围是 $i = 1, 2, \dots, n$; $\alpha = 1, 2, \dots, m$.

从这个式就可以得到链式法则: 若 $\Phi: M \rightarrow M'$, 而 $\Psi: M' \rightarrow M''$, 则

$$d(\Psi \circ \Phi) = d\Psi \circ d\Phi. \quad (9.21)$$

可微映射 $\Phi: M \rightarrow M'$ 还诱导出一个映射

$$\Phi^*: T^*(M') \rightarrow T^*(M),$$

称为 Φ 的对偶, 其定义为

$$\Phi^*(\omega') X_p = \omega' X_{p'}, \quad (9.22)$$

其中 $X_{p'} = (d\Phi) X_p$, 而 ω' 表示 $T^*_{p'}$ 的一个一次式. 若 $\omega' = \sum_1^m \alpha'_a dx_a$, 则 $\Phi^*(\omega')$ 的表达式是

$$\Phi^*\left(\sum_1^m \alpha'_a dx_a\right) = \sum_{i=1}^n \alpha_a \frac{\partial x'_a}{\partial x_i} dx_i. \quad (9.23)$$

注意 $d\Phi$ 和 Φ^* 的矩阵互为转置.

映射 Φ^* 可以扩充成关于 q 次式的一个映射 $\omega'^{(q)} \rightarrow \omega^{(q)}$ 如下:

$$\begin{aligned} \Phi^*\left(\sum_a \alpha_{a_1, a_2, \dots, a_q} dx_{a_1} \wedge \dots \wedge dx_{a_q}\right) \\ = \sum_{a_1, \dots, a_q} \alpha_{a_1, \dots, a_q} \frac{\partial x'_{a_1}}{\partial x_{i_1}} \dots \frac{\partial x'_{a_q}}{\partial x_{i_q}} dx_{i_1} \wedge \dots \wedge dx_{i_q}. \end{aligned} \quad (9.24)$$

特殊地, 若 $m = n$ 而 ω' 为 M' 上的 n 次式, 则

$$\Phi^*\omega' = |J|\omega = (\det \Phi)\omega, \quad (9.25)$$

其中 $|J|$ 表示 Jacobi 方阵 $J = (\partial x'_a / \partial x_i)$ 的行列式 ($i = 1, 2, \dots, n$; $a = 1, 2, \dots, m$).

由(9.24)容易推得下面公式.

$$\begin{aligned} (\Psi \circ \Phi)^* &= \Phi^* \circ \Psi^*, \\ \Phi^*(\omega \wedge \phi) &= \Phi^*(\omega) \wedge \Phi^*(\phi), \\ \Phi^*(d\omega) &= d(\Phi^*(\omega)). \end{aligned} \quad (9.26)$$

4. 李群；左移与右移

一个李群 \mathcal{G} 是一个群，其元素是一个微分流形的点，这个流形也用 \mathcal{G} 表示，而且群运算 $(a, b) \rightarrow ab^{-1} (a, b \in \mathcal{G})$ 是一个从 $\mathcal{G} \times \mathcal{G}$ 到 \mathcal{G} 内的可微映射。若 $e \in \mathcal{G}$ 是么元，映射 $x \rightarrow x^{-1}$ 可以写成 $(e, x) \rightarrow ex^{-1}$ ，故它也是一个可微分映射 $\mathcal{G} \rightarrow \mathcal{G}$ 。

一般线性群 $GL(n)$ （一切可逆 $n \times n$ 方阵的群）是一个李群。映射 $a_{ij} \rightarrow x_{n(i-1)+j} (i, j = 1, 2, \dots, n)$ 把每一个方阵 (a_{ij}) 变成 \mathbb{R}^{n^2} 的一点。因此， $GL(n)$ 的群流形是把满足 $\det(a_{ij}) = F(x_1, \dots, x_{n^2}) = 0$ 的点除外后的 n^2 维仿射空间。积分几何主要是讨论方阵李群，即 $GL(n)$ 的子群中构成微分流形的，例如特殊线性群 $SL(n)$ （行列式等于1的一切 $n \times n$ 实方阵的群），和正交群 $O(n)$ （满足 $OO^t = I$ 的一切 $n \times n$ 实方阵的群，其中 O^t 是 O 的转置，而 I 为么方阵）。由于 $OO^t = I$ 包含 $n(n-1)/2$ 个条件， $O(n)$ 的维是 $n(n-1)/2$ 。

对于每个固定的 $g_0 \in \mathcal{G}$ ，我们有两个可微映射 $\mathcal{G} \rightarrow \mathcal{G}$ ：

(a) 左移 $L_{g_0}: g \rightarrow g_0 g$ 及 (b) 右移 $R_{g_0}: g \rightarrow gg_0$ 。

已给 \mathcal{G} 上一个矢场 X ，若对于任意的 $g, g_0 \in \mathcal{G}$ ，我们有

$$(dL_{g_0})X_g = X_{g_0 g}, \quad (9.27)$$

则 X 称为左不变矢场。

把 $g \rightarrow g, g \rightarrow e$ 代入，得

$$X_g = (dL_g)X_e. \quad (9.28)$$

因此，每一个左不变矢场可以由一个在么元 e 的切矢通过左移产生。

同样，已给 \mathcal{G} 上一个矢场 X ，若对于任意的 $g, g_0 \in \mathcal{G}$ ，我们有 $d(R_{g_0})X_g = X_{g_0 g}$ ，则 X 称为右不变矢场。用 $g_0 \rightarrow g, g \rightarrow e$ 代入，就有 $X_g = (dR_g)X_e$ 。这证明了，每一个右不变矢场可以由一个在么元的切矢通过右移产生。

对于一切 $g_0, g_1 \in \mathcal{G}$ ，我们有

$$L_{g_0} R_{g_1}(g) = L_{g_0}(gg_1) = g_0 g g_1,$$

$$R_{g_1} L_{g_0}(g) = R_{g_1}(g_0 g) = g_0 g g_1,$$

因而

$$L_{g_0} R_{g_1} = R_{g_1} L_{g_0}. \quad (9.29)$$

另一方面, 根据(9.21), 我们有 $d(L_{g_0} \circ R_{g_1}) = dL_{g_0} \circ dR_{g_1}$, 于是有交换性

$$dL_{g_0} \quad dR_{g_1} = dR_{g_1} \circ dL_{g_0}. \quad (9.30)$$

现在注意

$$L_{g_1 g_0}: g \rightarrow (g_1 g_0)g = g_1(g_0 g), \quad R_{g_1 g_0}: g \rightarrow g(g_1 g_0) = (g g_1)g_0,$$

因此,

$$L_{g_1 g_0} = L_{g_1} \circ L_{g_0}, \quad R_{g_1 g_0} = R_{g_0} \circ R_{g_1}. \quad (9.31)$$

于是根据(9.21),

$$dL_{g_1 g_0} = dL_{g_1} \circ dL_{g_0}, \quad dR_{g_1 g_0} = dR_{g_0} \circ dR_{g_1}. \quad (9.32)$$

由(9.31)可知 $L_{g_0}^{-1} \circ L_{g_0} = R_{g_0} \circ R_{g_0}^{-1} = \text{么变换}$, 因而

$$dL_{g_0}^{-1} = (dL_{g_0})^{-1}, \quad dR_{g_0}^{-1} = (dR_{g_0})^{-1}. \quad (9.33)$$

伴随表现. 设 T_e 表示 \mathfrak{G} 在么元 e 的切空间, 每一个 $g_0 \in \mathfrak{G}$ 诱导出一个把 T_e 表为自己的变换, 称为 g_0 的伴随变换, 其定义是

$$\text{ad}(g_0): X_e \rightarrow (dR_{g_0}^{-1} \circ dL_{g_0})X_e. \quad (9.34)$$

它是线性变换, 因为 dL_{g_0} 和 dR_{g_0} 是线性变换. 映射 $g \rightarrow \text{ad}(g)$ 叫做 \mathfrak{G} 的伴随表现, 它是从 \mathfrak{G} 到 T_e 的同构群 (即 $GL(n)$) 内的一个同态. 事实上, 利用(9.30)和(9.32), 我们容易证明

$$\text{ad}(g_1 g_0): X_e \rightarrow \text{ad}(g_1) \circ \text{ad}(g_0)X_e,$$

$$\text{而 } \text{ad}(g_0^{-1}) = (\text{ad}(g_0))^{-1}$$

5. 左不变微分齐式

每一个左移 L_{g_0} 诱导出它的对偶映射(9.22)

$$L_{g_0}^*: T_{g_0 g}^* \rightarrow T_g^*, \quad (9.35)$$

它是从余切空间 $T_{g_0}^* \mathfrak{G}$ 到 T_g^* 上的映射, 已给一次式 $\omega \in T^*(\mathfrak{G})$, 若对于一切 $g_0, g \in \mathfrak{G}$,

$$L_{g_0}^* \omega(g_0 g) = \omega(g), \quad (9.36)$$

则 ω 称为左不变式. 在局部坐标下, 若 x_i, x_i^0 和 $y_i = y_i(x_i, x_i^0)$ 依次为 g, g_0 和 $g_0 g$ 的坐标, 则不变条件(9.36)可以写成

$$\sum_i a_i(y) dy_i = \sum_{i,h} a_i(y(x)) \frac{\partial y_i}{\partial x_h} dx_h = \sum_i a_i(x) dx_i, \quad (9.37)$$

而这个等式表明, 有时用来表达 ω 的左不变性的记号

$$\omega(g_0 g) = \omega(g) \quad (9.38)$$

是合理的. 例如 $x^{-1} dx$ 是实数乘法群的一个左不变式, 因为对于任意常数 x_0 ,

$$\omega(x_0 x) = (x_0 x)^{-1} (dx_0 x) = x^{-1} dx = \omega(x).$$

若 ω_1 和 ω_2 为左不变一次式, 则对于任意常数 a, b , $a\omega_1 + b\omega_2$ 也是左不变式, 因而左不变一次式构成实数域上的一个矢空间. 由(9.36)可知

$$L_{g_0}^* \omega(e) = \omega(g).$$

因此, \mathfrak{G} 上的一切左不变一次式都可以由在 e 的一次式产生, 所以左不变一次式所构成的空间和 T_e^* 有相同的维, 即 \mathfrak{G} 的维 n . 构成这个空间的任意底的一次式 $\omega_1, \omega_2, \dots, \omega_n$ 称为 \mathfrak{G} 的 Maurer-Cartan 式. 换句话说, \mathfrak{G} 的一组 Maurer-Cartan 式是 \mathfrak{G} 的任意一组线性无关的左不变一次式. 因此, 每一个左不变一次式可以写成

$$\omega = \sum_i a_i \omega_i, \quad (9.39)$$

其中 a_i 是常数. 为了给出这个事实的一个直接证明, 注意若 ω 是一个左不变一次式, 则

$$L_{g_0}^* \omega(g_0 g) = \sum_i a_i(g_0 g) \omega_i(g_0 g) = \omega(g)$$

$$= \sum_i a_i(g) \omega_i(g),$$

而由于 $\omega_i(g_0 g) = \omega_i(g)$, 就得

$$\sum_i (a_i(g_0 g) - a_i(g)) \omega_i(g) = 0.$$

但因据假设, 一次式 ω_i 是线性独立的, 最后一式表明 $a_i(g_0 g) = a_i(g)$, 因而 $a_i = \text{常数} (i = 1, 2, \dots, n)$.

一般地, 我们有下列的重要定理.

每一个左不变 n 次式可以写成

$$\omega^{(n)} = \sum_{i_1, i_2, \dots, i_n} a_{i_1 i_2 \dots i_n} \omega_{i_1} \wedge \dots \wedge \omega_{i_n}, \quad (9.40)$$

其中一次式 ω_{i_k} 属于一组 Maurer-Cartan 式. 而系数 $a_{i_1 i_2 \dots i_n}$ 是常数.

证明与前同, 因为 $\binom{n}{h}$ 个乘积 $\omega_{i_1} \wedge \omega_{i_2} \wedge \dots \wedge \omega_{i_h}$ 构成 h 次式模的一个底.

系理 若 \mathfrak{G} 是 n 维的, 一切左不变 n 次式彼此间的差别只是一个常数因子.

6. Maurer-Cartan 方程

设 $\{\omega_i\} (i = 1, 2, \dots, n)$ 为一组 Maurer-Cartan 一次式, 即 \mathfrak{G} 上左一次不变式所构成的矢空间的一个底, 根据(9.26)中的最后一个方程, 我们有 $L_g^* d\omega = d(L_g^* \omega)$. 这样, 外导式 $d\omega_i$ 是左不变二次式, 而根据上节最后定理, 我们可以令

$$d\omega_i = \sum_{j,k=1}^n C_{jk}^i \omega_j \wedge \omega_k, \quad (9.41)$$

其中 C_{jk}^i 为常数. 令 $C_{jk}^i - C_{kj}^i = C'_{jk}^i$, 然后把 C'_{jk}^i 仍写成 C_{jk}^i , 则(9.41)可以写成

$$d\omega_i = \frac{1}{2} \sum_{j, k=1}^n C_{jk}^i \omega_j \wedge \omega_k, \quad (9.42)$$

其中 C_{jk}^i 是满足

$$C_{jk}^i + C_{kj}^i = 0 \quad (9.43)$$

的常数。

方程(9.42)叫做群 \mathfrak{G} 的 Manrer-Cartan 方程或结构方程。常数 C_{jk}^i 称为 \mathfrak{G} 对于底 $\{\omega_i\}$ 的结构常数。

有时候利于把结构方程用普通的微分来表示。利用(9.6)，可以把(9.42)写成

$$\begin{aligned} d\omega_i(\delta) - \delta\omega(d) &= \frac{1}{2} \sum_{j, k} C_{jk}^i (\omega_j(d)\omega_k(\delta) - \omega_j(\delta)\omega_k(d)) \\ &= \sum_{j, k} C_{jk}^i \omega_j(d)\omega_k(\delta), \end{aligned} \quad (9.44)$$

其中右边是微分齐式的普通乘积。

结构常数的性质。结构常数满足反称条件(9.43)。此外，对 Manrer-Cartan 方程取外积，利用 $d(d\omega) = 0$ ，得

$$\begin{aligned} 0 &= \frac{1}{4} \sum C_{jk}^i (C_{pq}^j \omega_p \wedge \omega_q \wedge \omega_k - C_{pq}^k \omega_j \wedge \omega_p \wedge \omega_q) \\ &= \frac{1}{2} \sum C_{jk}^i C_{pq}^j \omega_p \wedge \omega_q \wedge \omega_k \\ &= \sum_j \sum_{p < q < k} (C_{jk}^i C_{pq}^j + C_{jq}^i C_{kp}^j + C_{jp}^i C_{kq}^j) \omega_p \wedge \omega_q \wedge \omega_k. \end{aligned}$$

由于 $\{\omega_p \wedge \omega_q \wedge \omega_k\} (p < q < k)$ 是左不变三次式所构成的矢空间的底，因而这些三次式是独立的。我们有，对于一切 $i, p, q, k \leq n$,

$$\sum_j (C_{jk}^i C_{pq}^j + C_{jq}^i C_{kp}^j + C_{jp}^i C_{kq}^j) = 0. \quad (9.45)$$

方程(9.41)所确定的结构常数和底 $\{\omega_i\}$ 有关。若用另一个底

$\{\phi_i\}$ 代替 $\{\omega_i\}$ ，而它们之间的关系是

$$\phi_i = \sum_{h=1}^n u_{ih} \omega_h, \quad \omega_i = \sum_{h=1}^n U_{ih} \phi_h, \quad (9.46)$$

其中 u_{ih}, U_{ih} 是常数，而且

$$\sum_{h=1}^n u_{ih} U_{hj} = \delta_{ij}, \quad (9.47)$$

则我们有以下一组新结构常数。

$$C'_{ijk} = \sum_{l=1}^n C_{lmk} U_{ml} U_{hk} u_{jl}. \quad (9.48)$$

这些等式表明：

(a) 条件 $C'_{m1} = 0$ 与底无关，它们代表 \mathfrak{G} 的一项内在性质。我们可以证明，它们是 \mathfrak{G} 为交换群的充要条件。

(b) 从(9.47)和(9.48)，可得

$$\sum_{j=1}^n C'_{mij} = \sum_{l=1}^n C_{mli} U_{ml},$$

于是

$$\sum_{i=1}^n C'_{mi} = 0, \quad m = 1, 2, \dots, n \quad (9.49)$$

是与底无关的方程组，因而代表 \mathfrak{G} 的另一项内在性质。我们将看到，(9.49)是所谓单模群的特征。

方阵群的 Maurer-Cartan 式的构成法。设 \mathfrak{G} 为一个方阵群， $g = (g_{ij})$ 为其元素。取方阵

$$\Omega = g^{-1} dg, \quad (9.50)$$

它的元素是

$$\omega_{ij} = \sum_{h=1}^n \gamma_{vh} dg_{hj}, \quad (9.51)$$

其中 γ_{ih} 是逆方阵 g^{-1} 的元素。方阵 Ω 是左不变方阵，即 ω_{ij} 为左不变式。事实上

$$\begin{aligned} L_{g_0}^* \Omega(g_0 g) &= (g_0 g)^{-1} d(g_0 g) = g^{-1} g_0^{-1} g_0 dg \\ &= g^{-1} dg = \Omega(g), \end{aligned} \quad (9.52)$$

而这就是左不变的条件(9.36)。

若③中的 g 是 $r \times r$ 方阵而 ③ 的维是 n ，我们要证明，在 r^2 个一次式 ω_{ij} 中，恰好有 n 个线性无关。证明如下。在 \mathfrak{g} 元，我们有

$$\Omega(e) = (dg)_e = (dg_{ij}(e)).$$

而由于 $dg_{ij}(e)$ 构成 $GL(r)$ 在 \mathfrak{g} 元的余切空间的一个底，它们包含 ③ 在 e 的余切空间的一个底，而这个底的余切矢产生 n 个线性无关一次式。因此，在(9.51)的一次式里，可以选出左不变一次式的底，即一组的 Maurer-Cartan 一次式。

对(9.50)外导，得 $d\Omega = dg^{-1} \wedge dg = -g^{-1} dg g^{-1} \wedge dg$ ①，即

$$d\Omega = -\Omega \wedge \Omega. \quad (9.53)$$

这个方阵方程所含的 r^2 个方程里就有着 ③ 的 Maurer-Cartan 方程。

例 考察三维方阵群

$$g = \begin{pmatrix} x & 0 & y \\ x \log x & x & z \\ 0 & 0 & 1 \end{pmatrix}, \quad x \neq 0. \quad (9.54)$$

群流形是 R^3 ，但其中去掉了平面 $x=0$ 。我们有

$$\Omega = g^{-1} dg = \begin{pmatrix} dx/x & 0 & dy/x \\ dx/x & dx/x & -x^{-1} \log y dy + dz/x \\ 0 & 0 & 0 \end{pmatrix}. \quad (9.55)$$

于是一组 Maurer-Cartan 式是

$$\omega_1 = \frac{dx}{x}, \quad \omega_2 = \frac{dy}{x}, \quad \omega_3 = -\frac{\log x}{x} dy + \frac{dz}{x}. \quad (9.56)$$

由于

① 由 $g^{-1}g = e$ 可知 $(dg^{-1})g + g^{-1}dg = 0$ ，故 $dg^{-1} = -g^{-1}dg g^{-1}$ 。——译者

$$\Omega \wedge \Omega = \begin{pmatrix} 0 & 0 & \omega_1 \wedge \omega_2 \\ 0 & 0 & \omega_1 \wedge \omega_2 + \omega_1 \wedge \omega_3 \\ 0 & 0 & 0 \end{pmatrix},$$

⑥的结构方程为

$$d\omega_1 = 0, \quad d\omega_2 = -\omega_1 \wedge \omega_2, \quad d\omega_3 = -\omega_1 \wedge \omega_2 + \omega_1 \wedge \omega_3, \quad (9.57)$$

而非零结构常数是

$$C_{12}^2 = -C_{21}^2 = -1, \quad C_{12}^3 = -C_{21}^3 = -1, \quad C_{13}^3 = -C_{31}^3 = -1. \quad (9.58)$$

右不变一次式。关于左不变一次式的一切论点几乎可以不加改变地用于右不变一次式。已给一次式 ω , 若对于一切 $g, g_0 \in \mathfrak{G}$,

$$R_{g_0}^* \omega(gg_0) = \omega(g), \quad (9.59)$$

则 ω 叫做右不变式。我们将把这个条件写成

$$R_{g_0}^* \omega = \omega \quad \text{或} \quad \omega(gg_0) = \omega(g), \quad (9.60)$$

但(9.60)的意义要理解如(9.59), 因为严格地说, $\omega(gg_0)$ 是余切空间 $T_{gg_0}^*$ 的元素而 $\omega(g)$ 则是 T_g^* 的元素。

象左不变式的款那样, 右不变一次式是实域上的一个 n 维矢量空间。对于方阵群, 右不变一次式可以从方阵

$$\bar{\Omega} = dgg^{-1} \quad (9.61)$$

得到, 而由于 $R_{g_0}^* \bar{\Omega} = d(gg_0)(gg_0)^{-1} = \bar{\Omega}$, 它是右不变方阵。从方阵 $\bar{\Omega}$ 里选出 n 个线性独立的元素, 就得到右不变一次式所构成的矢空间的一个底, 由(9.61)和(9.50), 我们有

$$\Omega(g^{-1}) = g d g^{-1} = -d g g^{-1} = -\bar{\Omega}(g). \quad (9.62)$$

因此, 总可以选取底 $\{\omega_i\}, \{\bar{\omega}_i\}$, 使

$$\bar{\omega}_i(g) = -\omega_i(g^{-1}), \quad i = 1, 2, \dots, n. \quad (9.63)$$

如同我们得到(9.42)那样, 我们可得

$$d\omega_i = \frac{1}{2} \sum_{j,k=1}^n \bar{C}_{jk}^i \omega_j \wedge \omega_k, \quad (9.64)$$

其中 \bar{C}_{jk}^i 是常数。应用(9.64)于 g^{-1} 并参照(9.63), 就得

$$-d\omega_i = \frac{1}{2} \sum_{j,k=1}^n \bar{C}_{jk}^i \omega_j \wedge \omega_k. \quad (9.65)$$

于是和(9.42)比较, 就得 $\bar{C}_{jk}^i = -C_{jk}^i$. 故关于右不变一次式的结构方程可以写成

$$d\omega_i = -\frac{1}{2} \sum_{j,k=1}^n C_{jk}^i d\omega_j \wedge d\omega_k. \quad (9.66)$$

对于交换群, 左右不变式相同, 而(9.66)和(9.42)给出 $C_{jk}^i = 0$. 换句话说, 交换群的结构常数等于零。可以证明, 这也是交换群的充分条件。

与(9.44)对应, 结构方程(9.66)可以写成

$$d\omega_i(\delta) - \delta\omega(d) = -\sum_{j,k=1}^n C_{jk}^i \omega_j(d)\omega_k(\delta). \quad (9.67)$$

例 考虑方阵群(9.54). 我们有

$$\bar{\omega} = dg g^{-1} = \begin{pmatrix} x^{-1}dx & 0 & -yx^{-1}dx + dy \\ x^{-1}dx & x^{-1}dx & -yx^{-1} - zx^{-1}dx + dz \\ 0 & 0 & 0 \end{pmatrix},$$

故一组右不变一次式是

$$\omega_1 = \frac{dx}{x}, \quad \omega_2 = -\frac{y}{x}dx + dy, \quad \omega_3 = -\frac{y+z}{x}dx + dz. \quad (9.68)$$

结构方程是

$$d\omega_1 = 0, \quad d\omega_2 = \omega_1 \wedge \omega_2, \quad d\omega_3 = \omega_1 \wedge \omega_2 + \omega_1 \wedge \omega_3. \quad (9.69)$$

结构常数和(6.68)相同, 只是符号相反。

7. 群的不变体元: 单模群

设 $\{\omega_i\}$ 为群 \mathfrak{G} 的一组 Maurer-Cartan 一次式。外积

$$d_L \mathfrak{G} = \omega_1 \wedge \omega_2 \wedge \cdots \wedge \omega_n \quad (9.70)$$

是一个左不变 n 次式, 而且按第 5 节的系理, 除一个常数因子

外，它是唯一的左不变一次式。我们将把 $d_L\mathfrak{G}$ 的左不变性用记号

$$d_L(g_0\mathfrak{G}) = d_L\mathfrak{G}, \quad g_0 \in \mathfrak{G} \tag{9.71}$$

表示。

n 次式 $d_L\mathfrak{G}$ 叫做 \mathfrak{G} 的左不变体[积]元[素]。在积分几何里，它也叫做 \mathfrak{G} 的运动密度。第 6 章所讨论的运动密度是平面运动群的左不变体元。

同样， \mathfrak{G} 的右不变体元的定义为

$$d_R\mathfrak{G} = \varpi_1 \wedge \varpi_2 \wedge \cdots \wedge \varpi_n, \tag{9.72}$$

其中 $\{\varpi_i\}$ 是右不变一次式空间的一个底。 $d_R\mathfrak{G}$ 的右不变式可以用记号

$$d_R(\mathfrak{G}g_0) = d_R\mathfrak{G}, \quad g_0 \in \mathfrak{G}. \tag{9.73}$$

对左[右]不变体元取积分，就得到 \mathfrak{G} 上的一个左[右]测度。在任意局部紧致群上，这个不变体元是存在的，并称为 \mathfrak{G} 上的左[右]Haar测度，大多数我们将要证明的关于李群的左[右]不变测度的性质、对于局部紧致群这个更一般款，都是适用的(见[443, 500, 710])。

若一个李群的左不变体元同时是右不变体元，则它叫做单模群。这时 $d_L\mathfrak{G}$ 和 $d_R\mathfrak{G}$ 至多差一个常数因子，我们就可以选择底 $\{\omega_i\}$ 和 $\{\varpi_i\}$ ，使得

$$d_L\mathfrak{G} = d_R\mathfrak{G}.$$

若 \mathfrak{G} 是单模群，根据(9.63)，可知(除符号外)

$$d_L\mathfrak{G}(g) = d_L\mathfrak{G}(g^{-1}); \tag{9.74}$$

换句话说，单模群的不变体元在映射 $g \rightarrow g^{-1}$ 下也不变。这个不变性对应于所谓在运动逆转中的不变性(见第六章，第 3 节)。

现在我们将给出单模群的若干条件。由于 n 个一次式 ω_i 是独立的，而 \mathfrak{G} 上的一次式模是 n 维的，可以令

$$\omega_i = \sum_{k=1}^n a_{ik} \varpi_k, \tag{9.75}$$

其中 a_{ik} 是 \mathfrak{G} 上的函数。若采用写成(9.67)形状的结构方程，假定

δ 表示一个左移元(无穷小左移)而 d 表示一个右移元, 并利用 ω_i 的右不变性, 则 $d\omega_i(\delta) = 0$, 而(9.67)变成

$$\delta\omega(d) = \sum_{j, k=1}^n C_{jk}^i \omega_j(d) \omega_k(\delta). \quad (9.76)$$

另一方面, 由于 $\omega_i(d)$ 的左不变性, $\delta\omega_i(d) = 0$, 而由(9.75), 我们得

$$\sum_{k=1}^n (\delta a_{ik} \omega_k(d) + a_{ik} \delta \omega_k(d)) = 0. \quad (9.77)$$

由(9.76)和(9.77), 我们得

$$\sum_{k=1}^n \left(\delta a_{ik} - \sum_{m, j=1}^n C_{jk}^m a_{im} \omega_j(\delta) \omega_k(d) \right) = 0, \quad (9.78)$$

而由于一次式 $\omega_k(d)$ 是独立的, 用 d 代 δ , 就得

$$da_{ik} - \sum_{j, m=1}^n C_{jk}^m a_{im} \omega_j = 0. \quad (9.79)$$

再若令 Δ 为关系(9.75)的行列式 $|a_{ik}|$, 则除符号外,

$$d_L \mathfrak{G} = \Delta(g) d_R \mathfrak{G}, \quad (9.80)$$

一个行列式的导数可以写成

$$d\Delta = \sum_{i, k=1}^n a_{ik} da_{ik}, \quad (9.81)$$

其中 a_{ik} 的定义是

$$\sum_{i=1}^n a_{ik} a_{ih} = \Delta \delta_{kh}. \quad (9.82)$$

用 a_{ik} 乘(9.79)两边, 再对 i, k 求和, 得

$$\frac{d\Delta}{\Delta} = \sum_{j, k=1}^n C_{jk}^k \omega_j. \quad (9.83)$$

若 \mathfrak{G} 是单模群, 则 Δ 是常数, 而 $d\Delta = 0$. 倒转来, 若 Δ 是常数, 则可以把两种体元规格化, 使 $\Delta = 1$, 而由(9.80)可知 \mathfrak{G} 为单

模群。由此可见 \mathfrak{G} 为单模群的一个充要条件是

$$\sum_{k=1}^n C_{jk}^k = 0, \quad j = 1, 2, \dots, n. \quad (9.84)$$

$\Delta(g)$ 的性质。关系(9.80)所确定的 $\Delta(g)$ 有重要性质，我们现在加以探究。令右移 R_{g_0} 作用于(9.80)两边，并利用 $d_R G$ 的右不变性，得

$$\begin{aligned} R_{g_0}^* d_L \mathfrak{G} &= \Delta(g g_0) R_{g_0}^* d_R \mathfrak{G} = \Delta(g g_0) d_R \mathfrak{G} \\ &= \frac{\Delta(g g_0)}{\Delta(g)} d_L \mathfrak{G}. \end{aligned} \quad (9.85)$$

根据(9.29)， $R_{g_0}^*$ 和任意左不变 n 次式是可交换的，因而 $R_{g_0}^* d_L G$ 仍是左不变式。于是，根据第5节里的系理， $R_{g_0}^* d_L G$ 和 $d_L G$ 只差一个常数因子，因而利用(9.85)，就有

$$\frac{\Delta(g g_0)}{\Delta(g)} = c, \quad (9.86)$$

其中 c 相对于 g 是常数，但还可能和 g_0 有关。为了求 c 的值，我们考虑 $g = e$ 。这时，根据(9.63)， $\omega_i(e) = -\omega_i(e)$ ，因而除符号外， $(d_L \mathfrak{G})_e = (d_R \mathfrak{G})_e$ ，即 $\Delta(e) = 1$ 。故 $c = \Delta(g_0)$ ，而我们可得，对于一切 $g, g_0 \in \mathfrak{G}$ ，

$$\Delta(g g_0) = \Delta(g) \Delta(g_0), \quad \Delta(g^{-1}) = \frac{1}{\Delta(g)}. \quad (9.87)$$

这些等式表明， $\Delta(g)$ 是由 \mathfrak{G} 到正实数乘法交换群内的一个同态。

由(9.85)和(9.87)可得 $R_{g_0}^* d_L \mathfrak{G} = \Delta(g_0) d_L \mathfrak{G}$ ，而这可以写成

$$d_L(\mathfrak{G} g_0) = \Delta(g_0) d_L \mathfrak{G}. \quad (9.88)$$

若 \mathfrak{G} 的体积有限， $d_L(\mathfrak{G} g_0)$ 和 $d_L \mathfrak{G}$ 在整个群上的积分相等，因而对于一切 $g_0 \in \mathfrak{G}$ ， $\Delta(g_0) = 1$ 。因此，具有有限体积的群是单模群。逆定理不成立，例如尽管 $GL(n)$ 的体积并非有限，我们将看到，它却是单模的。

若一个李群所构成的微分流形是紧致的, 则李群就称为紧致的。由于任意紧致群有有限体积, 因此, 紧致群是单模的。

通过伴随表现, 可以得到 \mathfrak{G} 为单模群的另一个条件, 事实上, $\text{ad}(g_0)$ 在 T^* 上诱导出线性变换

$$(\text{ad}(g_0))^*: \omega(e) \rightarrow (R_{g_0^{-1}} \circ L_{g_0})^* \omega(e) = L_{g_0}^* \circ R_{g_0^{-1}}^* \omega(e), \quad (9.89)$$

这对于一切一次式 $\omega(e) \in T^*$ 成立。注意这个线性变换的方阵是(9.34)的方阵的转置, 因此, 它们的行列式相等, 我们将用 $\det \text{ad}(g_0)$ 表示它, 应用变换(9.89)于(9.80)两边, 并利用 $R_{g_0^{-1}}^* d_R \mathfrak{G} = d_R \mathfrak{G}$, 就得

$$L_{g_0}^* \circ R_{g_0^{-1}}^* d_L \mathfrak{G} = \Delta(g_0 g g_0^{-1}) L_{g_0}^* d_R \mathfrak{G} = \Delta(g_0 g g_0^{-1}) d_R(g_0 g). \quad (9.90)$$

利用(9.26), 我们有

$$\begin{aligned} L_{g_0}^* \circ R_{g_0^{-1}}^* d_L \mathfrak{G} &= L_{g_0}^* \circ R_{g_0^{-1}}^* \omega_1 \wedge \cdots \wedge L_{g_0}^* \circ R_{g_0^{-1}}^* \omega_n \\ &= \det \text{ad}(g_0) d_L \mathfrak{G}. \end{aligned}$$

因而

$$\begin{aligned} \det \text{ad}(g_0) d_L \mathfrak{G} &= \Delta(g_0 g g_0^{-1}) d_R(g_0 g) \\ &= \frac{\Delta(g_0 g g_0^{-1})}{\Delta(g_0 g)} d_L \mathfrak{G}. \end{aligned} \quad (9.91)$$

令 $g = e$, 得

$$\det \text{ad}(g_0) = \frac{\Delta(e)}{\Delta(g_0)}. \quad (9.92)$$

若 \mathfrak{G} 是单模群, 则 $\Delta = \text{常数}$ 而由(9.92)可知 $\det \text{ad}(g_0) = 1$ 。反过来, 若 $\det \text{ad}(g_0) = 1$, 我们有

$$\Delta(g_0) = \Delta(e) = \text{常数},$$

而 \mathfrak{G} 是单模群。于是有:

李群 \mathfrak{G} 是单模群的一个充要条件是: 对于一切 $g, g_0 \in \mathfrak{G}$,

$$\det \text{ad}(g_0) = 1. \quad (9.93)$$

8. 注记与练习

(1) 平面里的运动群与相似群。在第六章里，已经详细讨论了平面里的运动群。它和方阵群

$$g = \begin{pmatrix} \cos\phi & -\sin\phi & a \\ \sin\phi & \cos\phi & b \\ 0 & 0 & 1 \end{pmatrix} \quad (9.94)$$

同构。

一组Maurer-Cartan式是

$$\omega_1 = \cos\phi da + \sin\phi db, \quad \omega_2 = -\sin\phi da + \cos\phi db, \quad \omega_3 = d\phi.$$

结构方程是

$$d\omega_1 = \omega_3 \wedge \omega_2, \quad d\omega_2 = \omega_1 \wedge \omega_3, \quad d\omega_3 = 0,$$

而非零结构常数是

$$C_{23}^1 = -C_{32}^1 = -1, \quad C_{13}^2 = -C_{31}^2 = 1.$$

因此，条件(9.84)得到满足，而平面里的运动群是单模群。不变体元是

$$d_L \mathfrak{G} = d_R \mathfrak{G} = da \wedge db \wedge d\phi.$$

这些结果和第六章里的一致。

平面里的相似群是四维变换群

$$x' = \rho(x \cos\phi + y \sin\phi) + a, \quad y' = \rho(-x \sin\phi + y \cos\phi) + b. \quad (9.95)$$

参数是 ρ, a, b, ϕ ，其中 $\rho \neq 0$ 。这个群与方阵群

$$g = \begin{pmatrix} \rho \cos\phi & \rho \sin\phi & a \\ -\rho \sin\phi & \rho \cos\phi & b \\ 0 & 0 & 1 \end{pmatrix}, \quad \rho \neq 0 \quad (9.96)$$

同构。

利用(9.50)，我们得一组Maurer-Cartan一次式：

$$\begin{aligned} \omega_1 &= d\rho/\rho, \quad \omega_2 = d\phi, \\ \omega_3 &= \rho^{-1} \cos\phi da - \rho^{-1} \sin\phi db, \end{aligned} \quad (9.97)$$

$$\omega_4 = \rho^{-1} \sin \phi da + \rho^{-1} \cos \phi db,$$

结构方程是

$$\begin{aligned} d\omega_1 &= 0, & d\omega_2 &= 0, \\ d\omega_3 &= -\omega_1 \wedge \omega_3 - \omega_2 \wedge \omega_4, \\ d\omega_4 &= \omega_2 \wedge \omega_3 - \omega_1 \wedge \omega_4, \end{aligned}$$

而非零结构常数是

$$\begin{aligned} C_{13}^3 &= -C_{31}^3 = -1, & C_{24}^3 &= -C_{42}^3 = -1, \\ C_{23}^4 &= C_{32}^4 = 1, & C_{14}^4 &= -C_{41}^4 = -1, \end{aligned}$$

条件(9.84)不满足, 故相似群不是单模群。左不变体元是

$$d_L \mathfrak{G} = \omega_1 \wedge \omega_2 \wedge \omega_3 \wedge \omega_4 = \frac{d\rho \wedge d\phi \wedge da \wedge db}{\rho^3}.$$

同样, 右不变体元是

$$d_R \mathfrak{G} = \frac{d\rho \wedge d\phi \wedge da \wedge db}{\rho}.$$

例如, 以 (a, b) 为中心, 以 ρ 为半径的圆的一个集合 C , 在相似群下的左与右不变测度是

$$\begin{aligned} m_L(C) &= 2\pi \int_C \frac{da \wedge db \wedge d\rho}{\rho^3}, \\ m_R(C) &= 2\pi \int_C \frac{da \wedge db \wedge d\rho}{\rho}. \end{aligned}$$

除一个常数因子外, 这些测度是唯一确定的(见[647]).

(2) 群的直积。若 $\mathfrak{G}_1, \mathfrak{G}_2$ 为 \mathfrak{G} 的子群, 而群 \mathfrak{G} 的元素是一切的偶 (g_1, g_2) , 其中 $g_1 \in \mathfrak{G}_1, g_2 \in \mathfrak{G}_2$, 而 \mathfrak{G} 的乘法定律是

$$(g_1, g_2)(g'_1, g'_2) = (g_1 g'_1, g_2 g'_2),$$

则 \mathfrak{G} 称为 $\mathfrak{G}_1, \mathfrak{G}_2$ 的直积, 若 $d_L \mathfrak{G}_1$ 和 $d_L \mathfrak{G}_2$ 为 \mathfrak{G}_1 和 \mathfrak{G}_2 的左不变体元, 则 \mathfrak{G} 的左不变体元是 $d_L \mathfrak{G} = d_L \mathfrak{G}_1 \wedge d_L \mathfrak{G}_2$ 。同样, $d_R \mathfrak{G} = d_R \mathfrak{G}_1 \wedge d_R \mathfrak{G}_2$ 。由此可见, 若 $\mathfrak{G}_1, \mathfrak{G}_2$ 是单模群, 则 \mathfrak{G} 也是单模群。

练习1 证明关系

$$\begin{aligned}d_L(\mathfrak{G}g_0) &= \det \operatorname{ad}(g_0^{-1})d_L\mathfrak{G}, \\d_R(g_0\mathfrak{G}) &= \det \operatorname{ad}(g_0)d_R\mathfrak{G}, \\d_L(\mathfrak{G}g^{-1}) &= \det \operatorname{ad}(g)d_L\mathfrak{G}.\end{aligned}\tag{9.98}$$

练习2 设 C_{ijk} 为结构常数而 a_{ij} 的定义如(9.75)所示, 对于任意 $i, s, k \leq n$, 证明恒等式

$$\sum_{r=1}^n C_{rqs} a_{rk} a_{ps} = \sum_{r=1}^n C_{rsk} a_{ir}.\tag{9.99}$$

例1 考虑方阵群

$$g = \begin{pmatrix} a & b \\ 0 & 1 \end{pmatrix}, \quad a \neq 0.$$

利用(9.50)和(9.61), 得

$$\omega_1 = da/a, \quad \omega_2 = db/a, \quad \varpi_1 = da/a, \quad \varpi_2 = -(b/a)da + db,\tag{9.100}$$

因此

$$d_L\mathfrak{G} = \frac{da \wedge db}{a^2}, \quad d_R\mathfrak{G} = \frac{da \wedge db}{a}, \quad \Delta = \frac{1}{a}.\tag{9.101}$$

不难得到以下映射:

$$\begin{aligned}L_{g_0}: \quad a &\rightarrow aa_0, \quad b \rightarrow a_0b + b_0; \\R_{g_0}: \quad a &\rightarrow aa_0, \quad b \rightarrow ab_0 + b; \\R_{g_0^{-1}} \circ L_{g_0}: \quad a &\rightarrow a, \quad b \rightarrow -ab_0 + ba_0 + b_0; \\\operatorname{ad}(g_0): \quad \frac{\partial}{\partial a} &\rightarrow \frac{\partial}{\partial a} - b_0 \frac{\partial}{\partial b}, \quad \frac{\partial}{\partial b} \rightarrow a_0 \frac{\partial}{\partial b},\end{aligned}$$

因而 $\det \operatorname{ad}(g_0) = a_0$ 与(9.92)一致. 容易验证关系(9.98).

例2 考虑(9.54)中的方阵群 \mathfrak{G} , 由(9.56)和(9.68), 可得

$$d_L\mathfrak{G} = x^{-3}dx \wedge dy \wedge dz, \quad d_R\mathfrak{G} = x^{-1}dx \wedge dy \wedge dz.\tag{9.102}$$

这个群不是单模群, 和(9.80)比较, 可得 $\Delta(g) = x^{-2}$, $d\Delta/\Delta = -(2x)dx$. 利用(9.80), 容易验证, 关系(9.83)成立. 群的元素 $g' = gg_0$, 是具有(9.54)形状的方阵, 其中的元素是

$$x' = xx_0, \quad y' = xy_0 + y, \quad z' = xy_0 \log x + xz_0 + z,$$

故有

$$\Delta(gg_0) = (x^2 x_0^2)^{-1} = \Delta(g)\Delta(g_0),$$

而

$$\begin{aligned} d_L(\mathbb{G}g_0) &= x'^{-3} dx' \wedge dy' \wedge dz' \\ &= (xx_0)^{-3} x_0 dx \wedge dy \wedge dz = \Delta(g_0) d_L \mathbb{G}. \end{aligned}$$

按照(9.88), 这是必然的.

映射 $g \rightarrow g_0 g g_0^{-1}$ 是

$$\begin{aligned} x' &= x, \quad y' = -y_0 x + x_0 y + y_0, \\ z' &= -xy_0 \log x + x_0 y \log x_0 - z_0 x + x_0 z + z_0, \end{aligned}$$

因而一次式 $\omega' = a' dx' + b' dy' + c' dz'$ 变成

$$\begin{aligned} \omega &= [a' - y_0 b' - (y_0 \log x + y_0 + z_0) c'] dx \\ &\quad + [b' x_0 + x_0 \log x_0 c'] dy + c' x_0 dz. \end{aligned}$$

么元 e 对应于 $x=1, y=0, z=0$, 因此, 变换 $(\text{ad}(g_0))^*$ 可以写成

$$a = a' - y_0 b' - (y_0 + z_0) c', \quad b = x_0 b' + x_0 \log x_0 c', \quad c = x_0 c',$$

因而 $\det \text{ad}(g_0) = x_0^2$. 利用这个值, 不难验证方程(9.92)和恒等式(9.98).

例3 考虑群 $\text{GL}(2)$, 即 2×2 可逆方阵

$$g = \begin{pmatrix} x & y \\ z & t \end{pmatrix}, \quad xt - yz = D \neq 0. \quad (9.103)$$

所构成的四维群.

方阵 $\Omega = g^{-1} dg$ 的元素是

$$\omega_1 = \frac{1}{D} (tdx - ydz), \quad \omega_2 = \frac{1}{D} (tdy - ydt),$$

$$\omega_3 = \frac{1}{D} (-zdx + xdz), \quad \omega_4 = \frac{1}{D} (-zdy + xdt).$$

从(9.52)所得的结构方程是

$$\begin{aligned} d\omega_1 &= -\omega_2 \wedge \omega_3, \quad d\omega_2 = -\omega_1 \wedge \omega_3 - \omega_2 \wedge \omega_4, \\ d\omega_3 &= \omega_1 \wedge \omega_3 + \omega_3 \wedge \omega_4, \quad d\omega_4 = \omega_2 \wedge \omega_3. \end{aligned}$$

故非零结构常数是

$$C_{23}^1 = -C_{32}^1 = -1, \quad C_{12}^2 = -C_{21}^2 = -1, \quad C_{24}^2 = -C_{42}^2 = -1, \\ C_{13}^3 = -C_{31}^3 = 1, \quad C_{34}^3 = -C_{43}^3 = 1, \quad C_{23}^4 = -C_{32}^4 = 1.$$

因此, 条件(9.84)成立, 而 $GL(2)$ 是单模群. 以后我们将看到 $GL(n)$ 同样也是单模群. $GL(2)$ 的不变体元是

$$d_L \mathfrak{G} = d_R \mathfrak{G} = \omega_1 \wedge \omega_2 \wedge \omega_3 \wedge \omega_4 \\ = \frac{dx \wedge dy \wedge dz \wedge dt}{D^2}. \quad (9.104)$$

例4 设 \mathfrak{G} 为方阵群

$$g = \begin{pmatrix} x & y \\ 0 & x \end{pmatrix}, \quad x \neq 0.$$

这是一个交换群, 因而是单模群. 一般方法给出

$$\omega_1 = \bar{\omega}_1 = dx/x, \quad \omega_2 = \bar{\omega}_2 = dy/x - (y/x^2)dx.$$

结构方程是 $d\omega_1 = 0$, $d\omega_2 = 0$, 而不变体元是

$$d_L \mathfrak{G} = d_R \mathfrak{G} = x^{-2} dx \wedge dy.$$

例5 设 \mathfrak{G} 为方阵群

$$g = \begin{pmatrix} x & y \\ 0 & \frac{1}{x} \end{pmatrix}, \quad x \neq 0.$$

通过一般方法, 得

$$\omega_1 = dx/x, \quad \omega_2 = dy/x + (y/x^2)dx,$$

$$\bar{\omega}_1 = dx/x, \quad \bar{\omega}_2 = -ydx + xdy.$$

结构方程是 $d\omega_1 = 0$, $d\omega_2 = -2\omega_1 \wedge \omega_2$, 而非零结构常数是 $C_{12}^2 = -C_{21}^2 = -2$. 这不是单模群. 体元是

$$d_L \mathfrak{G} = x^{-2} dx \wedge dy \quad \text{和} \quad d_R \mathfrak{G} = dx \wedge dy.$$

故

$$\Delta = 1/x^2, \quad d\Delta/\Delta = -2(dx/x),$$

与(9.83)一致. 伴随映射是

$$A dx + B dy \rightarrow (A - 2x_0 y_0 B) dx + B x_0^2 dy.$$

因此, $\det \cdot \text{ad}(g_0) = x_0^2$.

第十章 齐性空间的密度与测度

1. 引论

在本章里，我们将只用到左不变性。因此，为简化文字和记号，我们将把左不变性说成不变性，左不变体元 $d_L \mathfrak{G}$ 就简写成 $d\mathfrak{G}$ 。

设 \mathfrak{G} 为 n 维李群， \mathfrak{H} 为 \mathfrak{G} 的一个 $n-m$ 维闭子群（若 \mathfrak{H} 的点在 \mathfrak{G} 的流形里构成闭集，则 \mathfrak{H} 叫做闭子群）。对于 $g \in \mathfrak{G}$ ，旁系 $g\mathfrak{H}$ 所构成的集合是齐性空间 $\mathfrak{G}/\mathfrak{H}$ ，人们知道，可赋予它一个 m 维微分结构（例如参考 [628, 第230页]）。我们将要求得在 $\mathfrak{G}/\mathfrak{H}$ 上存在着一个在 \mathfrak{G} 下不变的非零 m 次式的条件。这样一个 m 次式叫做 $\mathfrak{G}/\mathfrak{H}$ 上的密度，而把它积分，就得到 $\mathfrak{G}/\mathfrak{H}$ 上一个不变测度。由于 \mathfrak{G} 在 $\mathfrak{G}/\mathfrak{H}$ 上的作用是可迁的，不变测度如果存在，就是唯一的。

注意 \mathfrak{H} 和它的旁系 $g\mathfrak{H}$ ($g \in \mathfrak{G}$) 是微分流形 \mathfrak{G} 的微分子流形，而且经过 \mathfrak{G} 的每一点有唯一的一个子流形 $g\mathfrak{H}$ 。因此，根据第 9 章第 2 节，它们是一个完全可积 Pfaff 系

$$\omega_1 = 0, \quad \omega_2 = 0, \quad \dots, \quad \omega_m = 0 \quad (10.1)$$

的积分流形，其中 ω_i 是 \mathfrak{G} 上的一次式。

由于 \mathfrak{H} 和它的旁系作为一个整体在 \mathfrak{G} 下是不变的，(10.1) 里各式的左边可以从不变一次式中选取，因而可以作为 \mathfrak{G} 的一组 Maurer-Cartan 式的具有常数系数的线性组合（第九章，第5节）。由于这样一组 Maurer-Cartan 式，除了可以用具有常数系数的线性组合代替外，是唯一确定的，可以假定 (10.1) 中的一次式是 \mathfrak{G} 的一组 Maurer-Cartan 式的前 m 个式。于是 m 次微分齐式

$$d(\mathfrak{G}/\mathfrak{H}) = \omega_1 \wedge \omega_2 \wedge \dots \wedge \omega_m \quad (10.2)$$

在 \mathfrak{G} 下是不变式，而且，除一个常数因子外，是唯一的不变 m 次

微分齐式. 事实上, 任意另一个不变 m 次式可以写成 $f(g)d(\mathfrak{G}/\mathfrak{H})$, 而由不变性, 可知

$$f(g_0g)d(\mathfrak{G}/\mathfrak{H}) = f(g)d(\mathfrak{G}/\mathfrak{H});$$

由此, 对于任意的 g_0 , $f(g_0g) = f(g)$, 于是由 \mathfrak{G} 在 $\mathfrak{G}/\mathfrak{H}$ 上的可迁性, 又可知 $f(g) = \text{常数}$. 不过, $d(\mathfrak{G}/\mathfrak{H})$ 不总是 $\mathfrak{G}/\mathfrak{H}$ 的密度, 因为当 $g \in \mathfrak{G}$ 在子流形 $g\mathfrak{H}$ 上变动时, $d(\mathfrak{G}/\mathfrak{H})$ 的值还可能变化. 我们将证明以下定理:

m 次式 $d(\mathfrak{G}/\mathfrak{H})$ 成为 $\mathfrak{G}/\mathfrak{H}$ 的密度的一个充要条件是它的外微分等于零, 即

$$d(d(\mathfrak{G}/\mathfrak{H})) = 0. \quad (10.3)$$

证明 设 x_i 为点 $g \in \mathfrak{G}$ 在一个局部坐标系里的坐标. 可以通过一个坐标变换

$$(x_1, x_2, \dots, x_n) \rightarrow (\xi_1, \xi_2, \dots, \xi_m, \xi_{m+1}, \dots, y_n),$$

使旁系 $g\mathfrak{H}$ 用方程 $\xi_i = \text{常数}$ 代表($i = 1, 2, \dots, m$)而 y_i ($i = m+1, \dots, n$)则是 $g\mathfrak{H}$ 上的局部坐标. 方程组(10.1)等价于

$$d\xi_1 = 0, \quad d\xi_2 = 0, \quad \dots, \quad d\xi_m = 0,$$

从而我们有

$$d(\mathfrak{G}/\mathfrak{H}) = F(\xi_1, \dots, \xi_m, y_{m+1}, \dots, y_n) d\xi_1 \wedge \dots \wedge d\xi_m. \quad (10.4)$$

在 $g\mathfrak{H}$ 上的一个变差 δ 下, 坐标 ξ_i 保持不变, 从而我们有

$$\delta(d(\mathfrak{G}/\mathfrak{H})) = \sum_{j=m+1}^n \frac{\partial F}{\partial y_j} dy_j \wedge d\xi_1 \wedge \dots \wedge d\xi_m. \quad (10.5)$$

另一方面, 对(10.4)外导, 得

$$\begin{aligned} d(d(\mathfrak{G}/\mathfrak{H})) &= \sum_{j=1}^m \frac{\partial F}{\partial \xi_j} d\xi_j \wedge d\xi_1 \wedge \dots \wedge d\xi_m \\ &\quad + \sum_{j=m+1}^n \frac{\partial F}{\partial y_j} dy_j \wedge d\xi_1 \wedge \dots \wedge d\xi_m \\ &= \delta(d(\mathfrak{G}/\mathfrak{H})), \end{aligned} \quad (10.6)$$

因为前一个总和等于零. 因此, $\delta(d(\mathfrak{G}/\mathfrak{H})) = 0$ (即在流形 $g\mathfrak{H}$ 上

的位移下 $d(\mathfrak{G}/\mathfrak{H})$ 不变) 的充要条件是 $d(d(\mathfrak{G}/\mathfrak{H})) = 0$ 。证毕。

另一处理法 我们将给出 $\mathfrak{G}/\mathfrak{H}$ 上存在着一种不变密度 (我们总是考虑“非零”密度) 的条件其他形式。设 $\xi_1, \xi_2, \dots, \xi_m, y_{m+1}, \dots, y_n$ 为上面所引进的局部坐标。 \mathfrak{H} 的元素将用 g_H 表示, 它们有坐标

$$(e_1, e_2, \dots, e_m, y_{m+1}, \dots, y_n),$$

其中 (e_1, e_2, \dots, e_n) 为 \mathfrak{G} 的每个元素属于一个旁系 $g\mathfrak{H}$, 而在这个旁系里, 我们取其中具有坐标

$$(\xi_1, \xi_2, \dots, \xi_m, e_{m+1}, \dots, e_n)$$

的元素 h 为它的代表。由于 (10.1) 中的齐式是 \mathfrak{G} 的一组 Maurer-Cartan 式的前 m 个, 而 (10.1) 又等价于

$$d\xi_1 = 0, d\xi_2 = 0, \dots, d\xi_m = 0,$$

ω_i 就具有 $\omega_i(\xi, y, d\xi)$ ($i = 1, 2, \dots, m$) 的形状, 即不含有微分 dy_{m+1}, \dots, dy_n 。此外, 若在 \mathfrak{G} 的其余的 Maurer-Cartan 式中, 令

$$\xi_1 = e_1, \xi_2 = e_2, \dots, \xi_m = e_m,$$

所得到的齐式在 \mathfrak{H} 的作用下将是不变的, 因而构成 \mathfrak{H} 的一组 Maurer-Cartan 式。因此, 我们有:

\mathfrak{G} 的 Maurer-Cartan 式可以写成

$$\begin{aligned} \omega_i &= \omega_i(\xi, y, d\xi), \quad i = 1, 2, \dots, m, \\ \omega_s &= \omega_s^*(\xi, y, d\xi) + \omega_s^H(y, dy), \quad s = m+1, \dots, n, \end{aligned} \quad (10.7)$$

其中 ω_s^H 是群 \mathfrak{H} 的一组 Maurer-Cartan 式。

取 (10.7) 诸式的外积, 得

$$d\mathfrak{G}(g) = d(\mathfrak{G}/\mathfrak{H})(h) \wedge d\mathfrak{H}(g_H), \quad (10.8)$$

其中 $d\mathfrak{H}(g_H) = \omega_{m+1}^H \wedge \dots \wedge \omega_n^H$ 是在元素 g_H 的不变体元, 而 $g = hg_H$ 。

若 $d(\mathfrak{G}/\mathfrak{H})$ 可以作为密度, 它必须①在旁系 $g\mathfrak{H}$ 的位移中不变; 即它在 $h \rightarrow hg_H$ 下不变。因此, 必须②有:

对于一切 $g_H \in \mathfrak{H}$,

①② 而且“只须”。——译者

$$d(\mathfrak{G}/\mathfrak{H})(hg_H) = d(\mathfrak{G}/\mathfrak{H})(h). \quad (10.9)$$

根据关系(9.88), 现在有 $d(\mathfrak{G}g_H) = \Delta(g_H)d\mathfrak{G}$. 对于群 \mathfrak{H} , 则有对应的等式 $d(\mathfrak{H}g_H) = \delta(g_H)d\mathfrak{H}$. 通过右移 $g \rightarrow gg_H$, (10.8) 给出

$$d(\mathfrak{G}g_H) = d(\mathfrak{G}/\mathfrak{H})(hg_H) \wedge d(\mathfrak{H}g_H),$$

而这可以写成

$$\Delta(g_H)d\mathfrak{G} = d(\mathfrak{G}/\mathfrak{H})(hg_H) \wedge \delta(g_H)d\mathfrak{H}. \quad (10.10)$$

由这个方程和(10.8), 可得: 对于每个 $g_H \in \mathfrak{H}$,

$$\frac{\Delta(g_H)}{\delta(g_H)} = \frac{d(\mathfrak{G}/\mathfrak{H})(hg_H) \wedge d\mathfrak{H}^{(1)}}{d(\mathfrak{G}/\mathfrak{H})(h) \wedge d\mathfrak{H}}. \quad (10.11)$$

因此, 若要(10.9)得到满足, 必须 $\Delta(g_H) = \delta(g_H)$. 由于在考虑密度时总是取绝对值, 就有下面的 Weil 条件[710]:

在齐性空间 $\mathfrak{G}/\mathfrak{H}$ 上存在着不变密度的一个充要条件是: 对于一切 $g_H \in \mathfrak{H}$,

$$|\Delta(g_H)| = |\delta(g_H)|. \quad (10.12)$$

根据(9.92), 条件(10.12)表示

$$|\det \operatorname{ad}_G(g_H)| = |\det \operatorname{ad}_H(g_H)|. \quad (10.13)$$

推论 (a) 若 \mathfrak{G} 是单模群, 则对于一切 $g \in \mathfrak{G}$,

$$\det \operatorname{ad}_G(g) = 1.$$

而由(10.13)可知, 若 $\mathfrak{G}/\mathfrak{H}$ 有不变密度而 \mathfrak{G} 是单模群, 则 \mathfrak{H} 也是单模群.

(b) 若(10.13)成立, 则根据(9.92), 我们有

$$|\Delta(g_H)/\delta(g_H)| = |\Delta(e)/\delta(e)| = \text{常数},$$

但 $d\mathfrak{G}$ 和 $d\mathfrak{H}$ 除常数因子外是唯一确定的, 可以把它们规范化, 使得 $|\Delta(g_H)| = |\delta(g_H)|$. 于是可知: 条件(10.13)是 $\mathfrak{G}/\mathfrak{H}$ 上存在着不变密度的一个充要条件.

(c) 若 \mathfrak{G} 和 \mathfrak{H} 是单模群, 则条件(10.12)成立, 因此, 若 \mathfrak{G} 和

① 原书分式上下都缺因子 $d\mathfrak{H}$ 疑误, 兹补上. ——译者

② 这是充要条件: 若 $\Delta(g_H) = \delta(g_H)$, 则(10.11)分子和分母相等, 但 ω_i ($i = 1, 2, \dots, n$) 线性无关, 故得(10.9). ——译者

\mathfrak{H} 是单模群, 则 $\mathfrak{G}/\mathfrak{H}$ 有不变密度.

(d) 回顾(3.87)的一个推论: 映射 $g \rightarrow \Delta(g)$ 是从 \mathfrak{G} 到正实数乘法群内的一个同态. 若 \mathfrak{H} 是紧致的, 它在映射 Δ 或 δ 下的象是正实数乘法群的一个紧致子群, 因而只含幺元, 即 $\Delta(g_H) = \delta(g_H) = 1$. 因此, 若 \mathfrak{G} 的一个闭子群 \mathfrak{H} 是紧致的, 则在 $\mathfrak{G}/\mathfrak{H}$ 上有不变密度.

正实数乘法群的一个紧致子群必然只含幺元的事实可以证明如下: 若它含有任意实数 $a \neq 1$, 则对于任意(正整数) m , 它含有 a^m . 但这是不可能的, 因为当 $m \rightarrow \infty$ 时, $a^m \rightarrow \infty$ 或 $a^m \rightarrow 0$; 而这两种情况都不可能, 因为 a^m 必须保持在一个不含 0 的有界闭节 (区间) 之内.

注意 $|\det \text{ad}(g_H)| = 1$ 不表示对于任意 $g \in \mathfrak{G}$,

$$|\det \text{ad}(g)| = 1.$$

因此, \mathfrak{H} 是单模群而 $\mathfrak{G}/\mathfrak{H}$ 有不变密度时, \mathfrak{G} 可能不是单模群. 例如设 \mathfrak{G} 为方阵群

$$g = \begin{pmatrix} a & b \\ 0 & 1 \end{pmatrix}, \quad a \neq 0$$

而 \mathfrak{H} 为子群

$$g_H = \begin{pmatrix} 1 & b \\ 0 & 1 \end{pmatrix}.$$

这时 \mathfrak{H} 是交换群, 因而是单模群. \mathfrak{G} 的 Maurer-Cartan 式是 $\omega_1 = da/a$, $\omega_2 = db/a$, 故旁系 $g\mathfrak{H}$ 可以用 $\omega_1 = 0$ 确定, 而由于 $d\omega_1 = 0$, 根据判别准则(10.3), $\mathfrak{G}/\mathfrak{H}$ 有不变密度. 但是, \mathfrak{G} 却不是单模群, 因为 $\bar{\omega}_1 = da/a$, $\bar{\omega}_2 = -(b/a)da + db$, 故

$$d_L \mathfrak{G} = a^{-2} da \wedge db, \quad d_R \mathfrak{G} = a^{-1} da \wedge db.$$

线性变换 $\text{ad}_G(g_0)$ 是 $A' = A$, $B' = -b_0 A + a_0 B$, 故 $\text{ad}_G(g_0) = a_0$. 所以, 当 $g_0 = g_H \in \mathfrak{H}$ 时, $\det \text{ad}_G(g_0) = 1$, 否则 $\det \text{ad}_G(g_0) \neq 1$.

2. 不变子群与商群

设 \mathfrak{H} 为李群 \mathfrak{G} 的子群而对于一切 $g_H \in \mathfrak{H}$ 和一切 $g \in \mathfrak{G}$, 关系 $g g_H g^{-1} \in \mathfrak{H}$ 成立, 则 \mathfrak{H} 称为 \mathfrak{G} 的不变子群或正规子群. 这时, 若 \mathfrak{H} 是闭的, 则人们知道, 按照乘法规律 $(x\mathfrak{H})(y\mathfrak{H}) = xy\mathfrak{H}$, 齐性空间 $\mathfrak{G}/\mathfrak{H}$ 成为一个李群, 称为商群, 也用 $\mathfrak{G}/\mathfrak{H}$ 表示.

设 $d_L(\mathfrak{G}/\mathfrak{H})$ 表示这个群 $\mathfrak{G}/\mathfrak{H}$ 的左不变密度. 若 $h \in \mathfrak{G}$ 是旁系 $g\mathfrak{H}$ 的一个代表元素, 由 $h g_H h^{-1} \in \mathfrak{H}$ 可知 $h g_H = g_H^* h$, 其中 $g_H^* \in \mathfrak{H}$. 这个事实可用记号

$$(\mathfrak{G}/\mathfrak{H}) g_H = g_H^*(\mathfrak{G}/\mathfrak{H})$$

表示. 于是左不变性 $d_L(\mathfrak{G}/\mathfrak{H}) = d_L(g_H^*(\mathfrak{G}/\mathfrak{H}))$ 表示

$$d_L(\mathfrak{G}/\mathfrak{H}) = d_L((\mathfrak{G}/\mathfrak{H}) g_H),$$

因而由(10.9)可知 $d_L(\mathfrak{G}/\mathfrak{H})$ 是齐性空间 $\mathfrak{G}/\mathfrak{H}$ 的不变密度. 这样, 可知:

若 \mathfrak{H} 为 \mathfrak{G} 的一个不变闭子群, 齐性空间 $\mathfrak{G}/\mathfrak{H}$ 有一个在 \mathfrak{G} 下不变的密度, 它等于商群 $\mathfrak{G}/\mathfrak{H}$ 的左不变密度.

由这个定理和上节的推论(a)可知: 若 \mathfrak{G} 是单模群而 \mathfrak{H} 是 \mathfrak{G} 的一个不变闭子群, 则 \mathfrak{H} 是单模群.

\mathfrak{H} 是不变子群的条件不能去掉. 例如 $GL(2)$ 是单模群, 而它的子群

$$\begin{pmatrix} x & y \\ 0 & z \end{pmatrix}, \quad xz = 1$$

则不是单模群. 上述定理的逆理也不正确. 例如方阵群

$$g_H = \begin{pmatrix} 1 & h \\ 0 & 1 \end{pmatrix}$$

是方阵群

$$\begin{pmatrix} x & y \\ 0 & 1 \end{pmatrix}, \quad x \neq 0$$

的一个不变单模闭子群，但后一个群却不是单模群。当然，若 \mathfrak{H} 是单模群而 $\mathfrak{G}/\mathfrak{H}$ 是紧致的，则 \mathfrak{G} 是单模群。

3. 齐性空间上密度存在的其他条件

令变换(9.89)作用于(10.8)的两边得

$$\begin{aligned} L_{g_H}^* \circ R_{g_H}^{*-1} p(\mathfrak{G})(e) \\ = L_{g_H} \circ R_{g_H}^{*-1} d((\mathfrak{G}/\mathfrak{H})(e)) \wedge L_{g_H}^* \circ R_{g_H}^{*-1} d\mathfrak{H}(e). \end{aligned} \tag{10.14}$$

把 $\mathfrak{G}/\mathfrak{H}$ 变成自己的微分同胚 $\tau(g_H)$ ； $g\mathfrak{H} \rightarrow g_H g\mathfrak{H}$ 等价于 $g\mathfrak{H} \rightarrow g_H g\mathfrak{H} g_H^{-1}$ (因为 $g_H \in \mathfrak{H}$)；故(10.14)右边第一个因子是映射 $\tau^*(g_H)_e$ 。令(10.14)两边线性变换的方阵行列式相等，则由于 τ^* 和 $d\tau$ 的方阵互为转置，得

$$\det \operatorname{ad}_{\mathfrak{G}}(g_H) = \det \operatorname{ad}_{\mathfrak{H}}(g_H) \cdot \det(d\tau(g_H))_e. \tag{10.15}$$

对于商群 $\mathfrak{G}/\mathfrak{H}$ ，么元 e 就是旁系 \mathfrak{H} ，作用于 $\mathfrak{G}/\mathfrak{H}$ 在 e 的切空间的线性变换群 $(d\tau(g_H))_e$ 叫做 \mathfrak{G} 的线性合痕群。由(10.13)和(10.15)，我们得定理(见[353])：

在齐性空间 $\mathfrak{G}/\mathfrak{H}$ 上存在着不变密度的一个充要条件是

$$|\det d\tau(g_H)_e| = 1, \tag{10.16}$$

即线性合痕群的行列式等于1。

我们再给出 $\mathfrak{G}/\mathfrak{H}$ 上存在着不变密度的最后一个条件。从

(10.7)，写出结构方程 $d\omega_s = \frac{1}{2} \sum C_{ik}^s \omega_i \wedge \omega_k$ ($s = m+1, \dots, n$)，并令两边不含有诸微分 $d\xi_i$ 的项相等，就得

$$d\omega_s^H = \frac{1}{2} \sum C_{ik}^s \omega_i^H \wedge \omega_k^H.$$

因此，对于 $i, k, s = m+1, \dots, n$ ，群 \mathfrak{G} 的结构常数 C_{ik}^s 和子群 \mathfrak{H} 的相同。另一方面，根据(10.7)，对于点 g_H ($\xi_i = \text{常数}$)，我们有 $\omega_i(g_H) = 0$ ($i = 1, 2, \dots, m$)，而 $i = m+1, \dots, n$ 时，

$$\omega_i(g_H) = \omega_i^H(g_H).$$

因此, 利用(9.63), 我们有

$$\bar{\omega}_i(g_H) = -\omega_i(g_H^{-1}) = 0 \quad (i = 1, 2, \dots, m).$$

所以, 参照(9.83), 条件 $\Delta = \delta$ 或 $d\Delta/\Delta = d\delta/\delta$ 化为

$$\sum_{s=m+1}^n \sum_{k=1}^n C_{s,k}^k \bar{\omega}_s = \sum_{s=m+1}^n \sum_{k=m+1}^n C_{s,k}^k \bar{\omega}_s,$$

由此得

$$\sum_{s=m+1}^n \left(\sum_{k=1}^m C_{s,k}^k \right) \bar{\omega}_s = 0.$$

由于一次式 $\bar{\omega}_s$ 是独立的, 我们导出下面的陈省身判准[见105]:

在齐性空间 \mathcal{G}/\mathcal{H} 上存在着不变密度的一个充要条件是

$$\sum_{k=1}^m C_{s,k}^k = 0, \quad s = m+1, \dots, n. \quad (10.17)$$

Gaeta [见211]给出了一种计算不变密度的方法, 这种方法的基础是把齐性空间作为仿射空间里的簇, 并建立它们的模型.

4. 例

(1) 设 \mathcal{G} 为方阵群

$$g = \begin{pmatrix} 1 & 0 & \log x \\ y & x & z \\ 0 & 0 & 1 \end{pmatrix}, \quad x \neq 0, \quad (10.18)$$

而 \mathcal{H} 为一维子群

$$g_H = \begin{pmatrix} 1 & 0 & 0 \\ y & 1 & 0 \\ 0 & 0 & 1 \end{pmatrix}. \quad (10.19)$$

\mathcal{G} 的一组 Maurer-Cartan 一次式是

$$\omega_1 = dx/x, \quad \omega_2 = dy/x, \quad \omega_3 = -yx^{-2}dx + x^{-1}dz, \quad (10.20)$$

而结构方程是

$$d\omega_1 = 0, \quad d\omega_2 = -\omega_1 \wedge \omega_2, \quad d\omega_3 = \omega_1 \wedge \omega_2 - \omega_1 \wedge \omega_3. \quad (10.21)$$

子群 \mathfrak{H} 为 $x=1, z=0$ 所确定. 因此方程组(10.1)现在是 $dx=0, dz=0$; 也就是 $\omega_1=0, \omega_3=0$. 而不变密度如果存在, 必然是 $d(\mathfrak{G}/\mathfrak{H}) = \omega_1 \wedge \omega_3$. 由于

$$d(\omega_1 \wedge \omega_3) = d\omega_1 \wedge \omega_3 - \omega_1 \wedge d\omega_3 = 0,$$

条件(10.3)得到满足, 因而空间 $\mathfrak{G}/\mathfrak{H}$ 有不变密度 $d(\mathfrak{G}/\mathfrak{H}) = \omega_1 \wedge \omega_2$. 旁系 $g\mathfrak{H}$ ($\mathfrak{G}/\mathfrak{H}$ 的点)被 x, z 坐标(第一节中的 ξ_1, ξ_2)所确定而用这两个坐标表示的不变密度是

$$d(\mathfrak{G}/\mathfrak{H}) = x^{-2} dx \wedge dz. \quad (10.22)$$

作为练习, 我们要验证 $\mathfrak{G}/\mathfrak{H}$ 上存在着不变密度的其他条件也得到满足. 事实上, 由(10.21)可知, 非零结构常数是

$$C_{12}^2 = -C_{21}^2 = -1, \quad C_{12}^3 = -C_{21}^3 = -1, \quad C_{13}^3 = -C_{31}^3 = -1,$$

因而(10.17)得到满足. 映射 $g \rightarrow g \circ gg_0^{-1}$ 是 $x' = x, y' = -y_0x + x_0y + y_0, z' = (y_0 \log x_0 - z_0)x + y_0 \log x - x_0y \log x_0 + x_0z - y_0 \log x_0 + z_0$, 而 $|\det \operatorname{ad}_G(g_0)| = x_0^2$. 若 $g_0 \in \mathfrak{H}$, 则 $x_0 = 1$, 而 $|\det \operatorname{ad}_G(g_H)| = 1$. 映射 $g_H \rightarrow g_H g_H g_H^{-1}$ 可以写成 $y' = y$, 因而 $|\det \operatorname{ad}_H(g_H)| = 1$. 于是条件(10.13)得到满足. 旁系 $g\mathfrak{H}$ 是: 对于一切 $y_0 \in \mathbb{R}^1$ 的方阵

$$\begin{pmatrix} 1 & 0 & \log x \\ y + xy_0 & x & z \\ 0 & 0 & 1 \end{pmatrix}.$$

因此, 若 g_H^1 是元素 $x=1, y=y_1, z=0$, 映射 $\tau(g_H^1)$ 是 $x'=x, y'=y+y_1, z'=y_1 \log x + z$, 因而映射 $(d\tau(g_H^1))e$ 可以写成

$$dx' = dx, \quad dy' = dy, \quad dz' = \frac{y_1 dx}{x} + dz \text{ ①}.$$

于是 $|\det(d\tau(g_H^1))e| = 1$, 和(10.16)一致.

(2) 考虑方阵群

① 原书作 $x'=x, y'=y, z'=y_1+z$. ——译者

$$\begin{aligned}\mathfrak{G}: \quad g &= \begin{pmatrix} x & 0 & 0 \\ 0 & y & z \\ 0 & 0 & 1 \end{pmatrix}, \quad xy \neq 0, \\ \mathfrak{H}: \quad g_H &= \begin{pmatrix} 1 & 0 & 0 \\ 0 & y & 0 \\ 0 & 0 & 1 \end{pmatrix}, \quad y \neq 0, \end{aligned} \quad (10.23)$$

显然 $\mathfrak{H} \subset \mathfrak{G}$. \mathfrak{G} 的一组 Maurer - Cartan 式是

$$\omega_1 = dx/x, \quad \omega_2 = dy/y, \quad \omega_3 = dz/y,$$

而结构方程是

$$d\omega_1 = 0, \quad d\omega_2 = 0, \quad d\omega_3 = -\omega_2 \wedge \omega_3.$$

旁系 $g\mathfrak{H}$ 可用 $x = \text{常数}$, $z = \text{常数}$ 确定, 故方程组 (10.1) 化为 $\omega_1 = 0$, $\omega_3 = 0$. 我们需要看看, $d(\mathfrak{G}/\mathfrak{H}) = \omega_1 \wedge \omega_3$ 是不是 $\mathfrak{G}/\mathfrak{H}$ 的不变密度. 我们有

$$d(d(\mathfrak{G}/\mathfrak{H})) = d\omega_1 \wedge \omega_3 - \omega_1 \wedge d\omega_3 = \omega_1 \wedge \omega_2 \wedge \omega_3 \neq 0.$$

因此, 齐性空间 $\mathfrak{G}/\mathfrak{H}$ 在 \mathfrak{G} 下没有不变密度. 第二和第三节的判准给出相同的结果. 例如, 从结构方程可得 $C_{21}^1 + C_{22}^2 + C_{23}^3 = -1$, 因而条件 (10.17) 不能满足. 一组右不变一次式是

$$\begin{aligned}\bar{\omega}_1 &= dx/x, \quad \bar{\omega}_2 = dy/y, \\ \bar{\omega}_3 &= (z/y)dy + dz = -z\omega_2 + y\omega_3.\end{aligned}$$

因而按 $\Delta(g)$ 的定义 (9.80), 我们有 $\Delta(g) = 1/y$. 故 \mathfrak{G} 不是单模群. 对于群 \mathfrak{H} , 我们有 $\omega_1^H = \bar{\omega}_1^H = dy/y$, $\delta(g_H) = 1$, 因而 \mathfrak{H} 是单模群. 条件 (10.12) 没有满足. 读者容易计算

$$\begin{aligned}|\det \operatorname{ad}_{\mathfrak{G}}(g_1)| &= y_1, \quad |\det \operatorname{ad}_{\mathfrak{H}}(g_H)| = 1, \\ |\det(d\tau(g'_H))_e| &= y_1.\end{aligned}$$

5. 李变换群

设 \mathfrak{G} 为李群, M 为微分流形. 若对应于每个 $x \in \mathfrak{G}$, $p \rightarrow xp$ ($p \in M$) 是一个把 M 变为自己的同胚变换, 而且 (a) 对于 $x_1, x_2 \in \mathfrak{G}$,

$p \in M$, 有 $(x_1 x_2)p = x_1(x_2 p)$; (b) 映射 $(x, p) \rightarrow xp$ 是 $G \times M$ 到 M 上的可微映射, 则 \mathcal{G} 叫做 M 的一个李变换群. 由此可见, 映射 $p \rightarrow xp$ 是一个把 M 变成自己的微分同胚映射. xp 称为在变换 x 下 p 的象. 平面上的运动群是李群的一例.

设 \mathcal{G} 为 M 的一个李变换群, 若对于 M 的每一对点 p_1, p_2 , 至少有一个 $x \in \mathcal{G}$, 使 $xp_1 = p_2$, 则 \mathcal{G} 叫做可迁群. 若对于每一对点 $p_1, p_2 \in M$, 有唯一的 x , 使 $xp_1 = p_2$, 则 \mathcal{G} 叫做单迁群. 若 e 是 \mathcal{G} 的元素中唯一能令 M 的一切点固定, 则 \mathcal{G} 叫做有效的.

设 \mathcal{G} 在 M 上是可迁群. 已给点 $p_0 \in M$, \mathcal{G} 中令 p_0 不变的一切元素 s , ($sp_0 = p_0$) 构成 \mathcal{G} 的一个子群 \mathcal{G}_0 , 叫做在 p_0 的含痕群 (或 \mathcal{G} 在 p_0 的稳定子群). 这个群 \mathcal{G}_0 在 \mathcal{G} 内是闭集. 若 \mathcal{G} 是有效群, 则 $\psi: x\mathcal{G}_0 \rightarrow xp_0$ 是把齐次空间 $\mathcal{G}/\mathcal{G}_0$ 变到 M 上的一个连续而一对一的映射, 即对应于旁系 $x\mathcal{G}_0$ ($\mathcal{G}/\mathcal{G}_0$ 的一个元素) 的是 M 的点 xp_0 , 而且反过来, 对应于 M 的点 $p = xp_0$ 的是旁系 $x\mathcal{G}_0$. 设 $\{y\}$ 是 $\mathcal{G}/\mathcal{G}_0$ 的代表元素的一个集合, 即元素 $y \in \mathcal{G}$ 的一个集合, 它具有以下性质: $y\mathcal{G}_0$ ($y \in \{y\}$) 是 $\mathcal{G}/\mathcal{G}_0$ 的一切旁系, 而且若 $y_1 \neq y_2$, 则 $y_1\mathcal{G}_0 \neq y_2\mathcal{G}_0$. 集合 $\{y\}$ 叫做 \mathcal{G} 的一组平移. 通过上面的映射 ψ , 集合 $\{y\}$ 以一种连续而一对一的方式变到 M 上.

若 $\mathcal{G}/\mathcal{G}_0$ 有一个在 \mathcal{G} 下不变密度, 映射 ψ 给出关于 M 的点的不变密度, 而 M 的一个点集 X 的不变测度是

$$m(X) = \int_{\mathcal{G}/\mathcal{G}_0} \phi(y) d(\mathcal{G}/\mathcal{G}_0), \quad (10.24)$$

其中当 $yp_0 \in X$ 时, $\phi(y) = 1$, 否则 $\phi(y) = 0$. 密度 $d(\mathcal{G}/\mathcal{G}_0)$ 称为在 \mathcal{G} 下不变的, M 内的点密度, 并记作

$$dP = d(\mathcal{G}/\mathcal{G}_0). \quad (10.25)$$

由 (9.74) 和 (10.8) 可知, 若 \mathcal{G}_0 和 \mathcal{G} 是单模群, 则 $dP = d(\mathcal{G}/\mathcal{G}_0)$ 在映射 $y \rightarrow y^{-1}$ 下不变, 而 (10.24) 可以写作

$$m(X) = \int_{\mathfrak{G}/\mathfrak{G}_0} \phi(y^{-1}) dP, \quad (10.26)$$

其中 $p_0 \in yX$ 时, $\phi(y^{-1}) = 1$, 否则 $\phi(y^{-1}) = 0$.

我们给出这些公式的两项应用.

(1) 设 K_0 为 M 内一组 N 个固定点 p_1, p_2, \dots, p_N . 对于每个 p_i , 写出 (10.26) 并相加, 得

$$\int_{\mathfrak{G}/\mathfrak{G}_0} \nu(K_0 \cap yX) dP = Nm(X), \quad (10.27)$$

其中 $\nu(K_0 \cap yX)$ 表示属于 yX 的 K_0 中的点的个数. 由此可见, 若 $m(M) = m(\mathfrak{G}/\mathfrak{G}_0)$ 表示 M 的体积, 则对于一切 y , 点集 yX 含有 K_0 的点的个数的中值是

$$E(\nu) = \frac{m(X)}{m(M)} N. \quad (10.28)$$

由于中值 $E(\nu)$ 在 ν 的最大和最小值之间, 我们可以叙述以下定理:

设 M 为微分流行, 在它上面, 群 \mathfrak{G} 的作用是可迁的. 设 \mathfrak{G}_0 为在 $p_0 \in M$ 的合痕群, \mathfrak{G} 和 \mathfrak{G}_0 是单模群, 而且齐性空间 $\mathfrak{G}/\mathfrak{G}_0$ 有不不变密度. 设 X 为 M 内已给点集, 体积是 $m(X)$, 而 M 有有限体积 $m(M)$ ($m(X)$ 和 $m(M)$ 都用点密度 $d(\mathfrak{G}/\mathfrak{G}_0) = dP$ 来测量). 则已给 N 个点 $p_i \in M$ ($i = 1, 2, \dots, N$), 就有一个平移 $y \in \mathfrak{G}$, 使 yX 含有至少(至多) $Nm(X)/m(M)$ 个所给点. 若 X 在 M 内是闭集而 $0 < m(X) < m(M)$ ①, 则至少有一个 yX 含有大于(小于) $Nm(X)/m(M)$ 个所给点.

定理最后部分的证明和第八章第 4 节里的相同.

(2) 考虑复变数 $z = \xi + i\eta$. 群 $SL(2)$ (一切行列式等于 1 的 2×2 方阵) 在上半平面的作用就如群

① 原文作 $m(X) < m(M)$. ——译者

$$z' = \frac{az + b}{pz + q}, \quad aq - bp = 1 \quad (10.29)$$

那样, 其中 a, b, p, q 为实数. $SL(2)$ 的 Maurer-Cartan 式是^①

$$\omega_1 = qda - b dq, \quad \omega_2 = qdb - b dq, \quad \omega_3 = -pda + adp, \quad (10.30)$$

而利用 $d(aq - bp) = 0$, 我们有

$$\begin{aligned} da &= a\omega_1 + b\omega_3, & db &= -b\omega_1 + a\omega_2, \\ dp &= p\omega_1 + q\omega_3, & dq &= -q\omega_1 + p\omega_2. \end{aligned} \quad (10.31)$$

结构方程为

$$d\omega_1 = -\omega_2 \wedge \omega_3, \quad d\omega_2 = -2\omega_1 \wedge \omega_2, \quad d\omega_3 = -2\omega_3 \wedge \omega_1. \quad (10.32)$$

在 $z = i$ 的合痕群 \mathcal{G}_0 用条件 $b = -p, a = q$ 确定, 而按照 (10.31), 这个条件等价于 $\omega_1 = 0, \omega_2 + \omega_3 = 0$ ^②. 由于 $d(\omega_1 \wedge (\omega_2 + \omega_3)) = 0$, 根据判准 (10.3), 可知 $\mathcal{G}/\mathcal{G}_0$ 有不变密度 $d(\mathcal{G}/\mathcal{G}_0) = dP = \omega_1 \wedge (\omega_2 + \omega_3)$. 注意

$$\begin{aligned} dz &= (\omega_2 + \omega_3 + 2i\omega_1)/(pi + q)^2 \textcircled{3}, \\ z - \bar{z} &= 2i(p^2 + q^2)^{-1}, \end{aligned}$$

就得

$$dp = i \frac{dz \wedge d\bar{z}}{(z - \bar{z})^2} = -\frac{d\xi \wedge d\eta}{2\eta^2}. \quad (10.33)$$

现在考虑 $\mathcal{G} \equiv SL(2)$ 中, 令半圆 $|z| = 1$ ($\eta > 0$) 保持不变的元素所构成的群 \mathcal{G}_1 . 这些元素的特征是, 对于任意的 ξ ,

① 注意: 若令 $g = \begin{pmatrix} a & b \\ p & q \end{pmatrix}$, 则

$$\Omega = g^{-1}dg = \begin{pmatrix} \omega_1 & \omega_2 \\ \omega_3 & -\omega_1 \end{pmatrix},$$

其中用到 $d(aq - bp) = adq + qda - bdp - pdb = 0$. ——译者

② 注意由 $b = -p, a = q$ 立刻得到 $\omega_1 = 0, \omega_2 + \omega_3 = 0$, 因此 (10.31) 是不必需的. ——译者

③ 原书分母作 $(p + iq)^2$. ——译者

$$1 = (a^2 + 2ab\xi + b^2)(p^2 + 2pq\xi + q^2)^{-1}.$$

故有条件 $a^2 + b^2 = p^2 + q^2$, $ab = pq$, 而由此就可得 $a = q$, $b = p$ 或 $a = -q$, $b = -p$. 这些条件等价于 $\omega_1 = 0$, $\omega_2 - \omega_3 = 0$. 由于 $d(\omega_1 \wedge (\omega_2 - \omega_3)) = 0$, 齐性空间 \mathbb{G}/\mathbb{G}_1 有不变密度

$$d(\mathbb{G}/\mathbb{G}_1) = \omega_1 \wedge (\omega_2 - \omega_3),$$

\mathbb{G} 的元素 (10.29) 把半圆 $|z| = 1$ ($n > 0$) 变到另一个半圆, 其中心 $(\xi, 0)$ 和半径 r 确定于

$$\xi = (bq - ap)(p^2 - q^2)^{-1}, \quad r = (q^2 - p^2)^{-1} \textcircled{1}. \quad (10.34)$$

利用 (10.30), 通过简易计算, 可得

$$d(\mathbb{G}/\mathbb{G}_1) = \omega_1 \wedge (\omega_2 - \omega_3) = -(d\xi \wedge dr)/2r^2. \quad (10.35)$$

这是中心在 ξ 轴的半圆在群 (10.29) 下的不变密度.

在变换群 (10.29) 下, 上半平面 $n > 0$ 是关于非欧双曲几何的经典的 Poincaré 模型. 因此, 除一个常数因子外, 点密度 (10.33) 是非欧面元, 而 (10.35) 则是双曲平面内直线 (短程线) 集合的密度 (例如参看 [360]).

6. 注记与练习

(1) Blichfeld 定理和 Minkowski 定理的推广. 设 M 为微分流形, 而且在 M 上李变换群 \mathbb{G} 的作用是可迁的. 首先, 假定齐性空间 \mathbb{G}/\mathbb{G}_0 (\mathbb{G}_0 为在 p_0 的合痕群) 有不变密度 $d(\mathbb{G}/\mathbb{G}_0)$; 其次, 假定 M 可划分为基本区域 D_h ($h = 0, 1, \dots$), 当 $h \neq m$ 时, $D_h \cap D_m = \emptyset$; 第三, 假定 \mathbb{G} 有一个离散子群 \mathfrak{F} , 它具有以下性质: (a) 每个 D_h 是变换 $x_h \in \mathfrak{F}$ 作用于 D_0 的象 ($x_0 = \mathfrak{F}$ 的幺元), 即 $D_h = x_h D_0$ ($x_h \in \mathfrak{F}, h = 0, 1, \dots$); (b) 若 $h \neq 0$, 则每一个 x_h 把一个基本区域 D_j 变成一个基本区域 D_m , 而且 $j \neq m$; (c) 基本区域有有限体积 $0 < m(D_0) = m(D_h)$. 这样, 我们可以证明下面的定理:

设 p_i 为含在基本区域 D_0 里的 N 个点. 考虑一切点 $x_h p_i$ ($x_h \in$

① 更准确些, $r^2 = (q^2 - p^2)^{-1}$. ——译者

\mathfrak{S})所构成的格, 设函数 $f(p_i)$ 在点 p_i 及其平移后所得的象是确定的, 而且 $f(p_i) = f(x_h p_i)$. 这样, 则对于 M 的每个点集 X , 存在着平移象 yX ($\{y\} = \mathfrak{G}/\mathfrak{G}_0$ 的代表元素的集合), 使得在 yX 所含的格点上, $\sum f(p_i)$ 不小于

$$\frac{m(X)}{m(D_0)} \sum_1^N f(p_i); \quad (10.36)$$

也存在着平移象 yX , 使那个和不大于(10.36). 若 X 在 M 里是闭的, 则必存在着平移象, 使总和 $\sum f(p_i)$ 确实小于(10.36), 也必存在着平移象, 使总和确实大于(10.36).

若 $f(p_i) = 1$, 我们得到 yX 所覆盖的格点数的中值, 即 $m(\nu) = Nm(X)/m(D_0)$, 而定理给出在适当的平移下, X 的象所含格点数的上下限. 若 M 为 n 维欧氏空间 E_n , \mathfrak{G} 为其中的运动群, 而 \mathfrak{S} 为保持具整数坐标的格点不动的平移子群, 则 $\mathfrak{G}/\mathfrak{G}_0$ 为 E_n 里的平移群, 而上述定理与经典的 Blichfeld 定理一致, 即:

考虑 E_n 内具整数坐标的点所构成的格. 设 X 为可测集, $m(X) \geq k$, 则有平移 y , 使 yX 至少含 k 个格点. $n=2$ 的款见第八章第 5 节.

若 M 为复数平面的幺圆盘 $|z| \leq 1$, \mathfrak{G} 为把 M 变成自己的线性变换群, 而 \mathfrak{S} 为 \mathfrak{G} 的一个不连续实子群 (Fuchs 群), 我们的定理给出 Tsuji [680] 的一些结果. 考虑 $N=1$ 的款. 已给含 p_0 在内的一个域 X , 若 X^* 为含在 X 内的域, 而且对于任意两个元素 $x, y \in \mathfrak{G}$, 下面的两个条件得到满足, 则对于群 \mathfrak{G} , X^* 称为 X 的一个 m 域, 这两个条件是: (a) 若 $x p_0 \in X^*$, 则 $x^{-1} p_0 \in X^*$; (b) 若 $x p_0 \in X^*$, $y p_0 \in X^*$, 则 $x y p_0 \in X$. 在这样的条件下, 可以证明: 若含 p_0 在内的那个域 X 有一个 m 域 X^* , 而且 $m(X^*) > m(D_0)$, 则 X 至少含有和 p_0 不同的一个格点.

若 M 是 E_n , \mathfrak{G} 为平移群, 而 \mathfrak{S} 为 \mathfrak{G} 的子群, 它保持具整数坐标的点所构成的格, 这个定理就是一个经典的 Minkonski 定理 [361]. 关于它对复数平面的幺圆盘和对 Fuchs 群的应用, 见

Tsuji[679]和Santaló[571].

(2) 按照M.I. Stoka 意义的可测群. 设在微分流形 M 上, \mathcal{G} 是可迁李变换群, 而 \mathcal{G}_0 为在 $p_0 \in M$ 的合痕群. 若齐性空间 $\mathcal{G}/\mathcal{G}_0$ 有不变密度 $d(\mathcal{G}/\mathcal{G}_0)$ (M 内的点的密度), 则 \mathcal{G} 叫做按照 M.I. Stoka 意义的可测群[646]. 换句话说, 若在可迁群 \mathcal{G} 下有不变点密度, 则 \mathcal{G} 叫做可测群. 可以证明下列定理:

(a) M 上的一切单迁群是可测群(因为这时 $d(\mathcal{G}/\mathcal{G}_0)$ 是 \mathcal{G} 的不变密度).

(b) 若 M 是 n 维的, 则任意作用于 M 的 $n+1$ 维群或者可测, 或者有一个 n 维可测子群.

(c) 若 \mathcal{G} 有一个可迁但不可测子群 \mathcal{G}_1 , 则 \mathcal{G} 不可测.

(d) 若 \mathcal{G} 有两个单迁群 $\mathcal{G}_1, \mathcal{G}_2$, 则 \mathcal{G} 可测的一个充要条件是 $\mathcal{G}_1, \mathcal{G}_2$ 有 相 同 的 不 变 密 度. 例如作用于实线的仿射群 $\mathcal{G}: x' = ax + b (a \neq 0)$ 有子群 $\mathcal{G}_1: x' = x + b$, 它具有不变密度 dx , \mathcal{G} 又有相似子群 $\mathcal{G}_2: x' = ax, a \neq 0$, 它具有不变密度 dx/x . 由于这两个密度不同, \mathcal{G} 是不可测的, 即在仿射群 \mathcal{G} 下, 实线上的点集没有不变密度. 由此可见, 射影群

$$x' = (ax + b)/(cx + d), \quad ad - bc \neq 0$$

是不可测的, 即它没有不变点密度, 这可以通过直接计算验证.

关于可测群的其他性质以及通过群的无穷小算子和结构常数表达的关于可测性的充要条件, 见 Stoka[646]; 参看 Chebotarev [102], Drinfel'd[152, 153], Vranceanu[706].

(3) 链式法则. (a) 设 \mathcal{G}, \mathcal{F} 为李群 \mathcal{G} 的闭子群, $\mathcal{G} \subset \mathcal{F}$. 若齐性空间 \mathcal{G}/\mathcal{F} 和 \mathcal{G}/\mathcal{G} 依次有非零不变密度 $d(\mathcal{G}/\mathcal{F})$ 和 $d(\mathcal{G}/\mathcal{G})$, 则 \mathcal{F}/\mathcal{G} 也有不变密度, 而且在适当规范化后, 它可以写作

$$d(\mathcal{G}/\mathcal{G}) = d(\mathcal{G}/\mathcal{F}) \wedge d(\mathcal{F}/\mathcal{G}). \tag{10.37}$$

见[298, 第449页]; 关于具有有限不变测度的齐性空间, 见[436].

(b) 设 $\mathfrak{H}, \mathfrak{K}$ 为李群 \mathfrak{G} 的闭子群。设 $\mathfrak{G}/\mathfrak{H}$ 和 $\mathfrak{G}/\mathfrak{K}$ 在 \mathfrak{G} 下不变密度。则 $\mathfrak{H}/(\mathfrak{H} \cap \mathfrak{K})$ 和 $\mathfrak{K}/(\mathfrak{H} \cap \mathfrak{K})$ 有不变密度的一个充要条件是 $\mathfrak{G}/(\mathfrak{H} \cap \mathfrak{K})$ 有不变密度[661]。

(4) 齐性空间里的相对不变密度。设 \mathfrak{G} 为李群。设 Ω 为 \mathfrak{G} 上确定的微分齐式。我们知道，若对于一切 $g_0, g \in \mathfrak{G}$, $\Omega(g_0 g) = \Omega(g)$, 则 Ω 称为在 \mathfrak{G} 下不变(记住在本章里，不变指的是“左变”)。更一般地，若存在着一个正实值的函数 $\phi: \mathfrak{G} \rightarrow \mathbb{R}^+$ (称为乘子)使得对于 $g, g_0 \in \mathfrak{G}$,

$$\Omega(g_0 g) = \phi(g_0) \Omega(g),$$

则 Ω 称为在 \mathfrak{G} 下相对不变。

设 \mathfrak{H} 为 \mathfrak{G} 的闭子群，并考虑齐性空间 $\mathfrak{G}/\mathfrak{H}$ 。假定 $\mathfrak{G}/\mathfrak{H}$ 是 m 维的而 Ω 为 \mathfrak{G} 上的 m 次式。这样，若 Ω 在对旁系 $g\mathfrak{H}$ 的平移不变，即对于 $g \in \mathfrak{G}$, $g_H \in \mathfrak{H}$, 有

$$\Omega(g g_H) = \Omega(g),$$

则 Ω 是 $\mathfrak{G}/\mathfrak{H}$ 上的一个 m 次式。我们已经得到，在 $\mathfrak{G}/\mathfrak{H}$ 上，存在着在 \mathfrak{G} 下不变的 m 次式的一些判准。现在我们将指出，如何得到在 \mathfrak{G} 下相对不变的， $\mathfrak{G}/\mathfrak{H}$ 上的 m 次式。

设 $\omega_1 = 0, \omega_2 = 0, \dots, \omega_m = 0$ 为一组确定 $\mathfrak{G}/\mathfrak{H}$ 的旁系 $g\mathfrak{H}$ 的 Pfaff 式。令 $\omega = \omega_1 \wedge \omega_2 \wedge \dots \wedge \omega_m$ 。作为判准(10.3)的推广，可证明，在 $\phi(g_0 g) = \phi(g_0) \phi(g)$ 的情况下， $\mathfrak{G}/\mathfrak{H}$ 具乘子 ϕ 的相对不变密度存在的一个充要条件是 $d(\phi \omega) = 0$ 。这样，所求的相对不变 m 次式是 $\Omega = \phi \omega$ 。此外，沿用和(10.13)里相同的记号，在 \mathfrak{G} 上乘子 ϕ 满足等式

$$\phi(g_H) = \det \text{ad}_H(g_H) / \det \text{ad}_G(g_H) \quad (\text{见}[521])。$$

由 $\phi(g_1 g_0) = \phi(g_1) \phi(g_0)$ 可知，除一个常数因子外， $\phi(g_H) = \delta(g_H) / \Delta(g_H)$ 。 \mathfrak{G} 上任意一个满足这些条件的严格正函数 ϕ 给出 $\mathfrak{G}/\mathfrak{H}$ 上的一种相对不变密度。更一般结果曾为 Bourbaki[69]和 Reinehardt[500]所讨论。

练习1 三角群. 设 $ST(n)$, $n \geq 2$ 为行列式等于 1, $g_{ii} = 0$ ($1 \leq i < i \leq n$), $g_{ij} > 0$ ($1 \leq i \leq n$) 的一切 $n \times n$ 方阵所构成的群, 它叫做特殊三角群. 证明它不是单模群. 用 $ST_1(n)$ 表示 $g_{ii} = 0$ ($1 \leq i < i \leq n$), $g_{ii} = 1$ ($1 \leq i \leq n$) 的一切 $n \times n$ 方阵所构成的群, 它是 $ST(n)$ 的闭子群. 证明它是单模群(见[500]).

第十一章 仿射诸群

1. 仿射变换诸群

设 R^n 表示实 n 数组 (x_1, \dots, x_n) 所构成的空间, 并具有通常的拓扑. 我们将把它叫做笛卡儿 n 维空间. R^n 的 r 维线性空间叫做 r 维平面 ($r=1$ 时是直线, $r=2$ 时是平面, $r=n-1$ 时是超平面).

现将前章的结果应用于 R^n 的仿射群. 用 x 表示具有坐标 (x_1, x_2, \dots, x_n) 的点, 同时表示以这些坐标为元素的 $n \times 1$ 矩阵. 一个仿射变换是一个把 R^n 变成自己的变换, 它用形状为

$$x' = ax + b, \quad \det a \neq 0 \quad (11.1)$$

的矩阵方程表示, 其中 $a = (a_{ij})$, $b = (b_i)$ 依次是 $n \times n$ 和 $n \times 1$ 矩阵. 一个仿射群是具有 (11.1) 形状的变换所构成的群. 这些群和对应的 $(n+1) \times (n+1)$ 方阵群

$$g = \begin{pmatrix} a & b \\ 0 & 1 \end{pmatrix} \quad (11.2)$$

同构, 后一个群的元素满足规律

$$g_2 g_1 = \begin{pmatrix} a_2 a_1 & a_2 b_1 + b_2 \\ 0 & 1 \end{pmatrix}, \quad g^{-1} = \begin{pmatrix} a^{-1} & -a^{-1}b \\ 0 & 1 \end{pmatrix}. \quad (11.3)$$

一个仿射群的 Maurer-Cartan 齐式和对应的方阵群相同, 即方阵 $g^{-1}dg$ 中一组独立的一次式, 而这个方阵现在可分解成矩阵

$$\Omega_1 = a^{-1}da, \quad \Omega_2 = a^{-1}db. \quad (11.4)$$

通过外导, 同时利用关系 $da^{-1} = -a^{-1}daa^{-1}$, 我们得下面的结构方程

$$d\Omega_1 = -\Omega_1 \wedge \Omega_1, \quad d\Omega_2 = -\Omega_1 \wedge \Omega_2. \quad (11.5)$$

若令

$$\begin{aligned} a &= (a_{ij}), \quad b = (b_i), \quad a^{-1} = (a_{ij}), \\ \Omega_1 &= (\omega_{ij}), \quad \Omega_2 = (\omega_i), \end{aligned} \quad (11.6)$$

则方程(11.4)可以写成显式

$$\omega_{ij} = \sum_{h=1}^n a_{ih} da_{hj}, \quad \omega_i = \sum_{h=1}^n a_{ih} db_h, \quad (11.7)$$

而结构方程变成

$$d\omega_{ij} = - \sum_{h=1}^n \omega_{ih} \wedge \omega_{hj}, \quad d\omega_i = - \sum_{h=1}^n \omega_{ih} \wedge \omega_h. \quad (11.8)$$

若一个仿射群是 r 维的, 则在 $n^2 + n$ 个一次式 ω_{ij}, ω_i 中恰好有 r 个是线性独立的, 它们构成那个群的一组 Maurer-Cartan 式。例如对于一般仿射群 $\mathfrak{G}(n)$ (a 是任意 $n \times n$ 满秩方阵而 b 是任意 $n \times 1$ 矩阵), 则有 $r = n^2 + n$ 而 Maurer-Cartan 式就是所有的 ω_{ij}, ω_i 。对于特殊仿射群 $\mathfrak{G}_s(n)$ ($\det a = 1$), 我们有 $r = n^2 + n - 1$, 因而在一次式 ω_{ij}, ω_i 之间存在着一个关系。事实上, 把方程 $d(\det a) = 0$ 展开, 就得

$$\sum_{i,j} a_{ij} da_{ji} = 0 \quad \text{或} \quad \omega_{11} + \omega_{22} + \cdots + \omega_{nn} = 0, \quad (11.9)$$

因而 $\mathfrak{G}_s(n)$ 的 Maurer-Cartan 齐式就是除一个 ω_{ij} 外的所有 ω_{ij}, ω_i 。

E. Cartan 的动标。为了给出 Pfaff 式 ω_{ij}, ω_h 的几何意义, 取 R^n 里一个固定标架 $(p_0; e_1^0, e_2^0, \dots, e_n^0)$, 其中 p_0 是一点而 e_i^0 是 n 个独立点, 再取通过仿射变换(11.1)从固定标架所得到的动标 $(p; e_1, e_2, \dots, e_n)$ 。假定 p_0 是原点 $(0, 0, \dots, 0)$ 而 e_i^0 是坐标矢

$$e_1^0(1, 0, \dots, 0), \quad e_2^0(0, 1, 0, \dots, 0), \quad \dots, \quad e_n^0(0, \dots, 0, 1). \quad (11.10)$$

若引进矢矩阵

$$e^0 = (e_1^0, e_2^0, \dots, e_n^0), \quad e = (e_1, e_2, \dots, e_n), \quad (11.11)$$

我们可以写

$$p - p_0 = e^0 b, \quad e = e^0 a. \quad (11.12)$$

因而

$$dp = e^0 db = ea^{-1}db = e\Omega_2, \quad de = e^0 da = ea^{-1}da = e\Omega_1, \quad (11.13)$$

这叫做仿射群的动标方程。它们可以写成

$$dp = \sum_{i=1}^n \omega_i e_i, \quad de_i = \sum_{j=1}^n \omega_{ji} e_j. \quad (11.14)$$

注意：由方程 $e = e^0 a$ 可知，动标的矢量 e_i 相对于定标的分量就是方阵 a 的列 $a_{1i}, a_{2i}, \dots, a_{ni}$ 。因此， $\det a$ 可以写成 $|e_1 e_2 \dots e_n|$ ，其中每个矢 e_i 需要用它相对于定标的分量所构成的列代入。在这个记号下，特殊仿射变换的特征是 $|e_1 e_2 \dots e_n| = 1$ ，而利用 (11.14)，我们有

$$\begin{aligned} \omega_i &= |e_1 e_2 \dots e_{i-1} dp e_{i+1} \dots e_n|, \\ \omega_{ji} &= |e_1 \dots e_{i-1} de_i e_{i+1} \dots e_n|. \end{aligned} \quad (11.15)$$

仿射群的不变体积。我们已经看到，通过 (11.4) 的矩阵 Ω_1, Ω_2 ，可以得到仿射群的左不变一次式。通过方阵 dgg^{-1} ，就可以得到右不变一次式，方阵 dgg^{-1} 现在可以分解成

$$\bar{\Omega}_1 = daa^{-1}, \quad \bar{\Omega}_2 = -daa^{-1}b + db. \quad (11.16)$$

为了得到仿射群的体元的显式，我们分别考虑 $b = 0$ 和 $b \neq 0$ 两款。

当列矩阵 b 是零矩阵时。我们得到所谓齐次仿射变换（或中心仿射变换）

$$x' = ax, \quad \det a \neq 0. \quad (11.17)$$

这个群将用 $\mathfrak{A}^0(n)$ 表示，它和 $GL(n)$ 同构。按照 (11.7)，左不变体元是

$$\begin{aligned} d_L \mathfrak{A}^0(n) &= d_L GL(n) \\ &= \bigwedge_i (\det a)^n da_{1i} \wedge da_{2i} \wedge \dots \wedge da_{ni}, \end{aligned}$$

其中 $a = a^{-1}$ 。由 (11.16)，右不变一次式是 $\omega_{ih} = \sum_i da_{ik} a_{kh}$ ，故

$$d_R \mathfrak{A}^0(n) = d_R GL(n) = \bigwedge_i (\det a)^n da_{i1} \wedge da_{i2} \wedge \dots \wedge da_{in}.$$

由于 $\det a = (\det a)^{-1}$, 我们得下面的结论:

群 $\mathfrak{U}^0(n)$ (或群 $GL(n)$) 是单模的。左和右不变体元可以写成

$$d\mathfrak{U}^0(n) = dGL(n) = \frac{1}{(\det a)^n} \bigwedge_{i,k} da_{ik}. \quad (11.18)$$

R^n 里的特殊齐次仿射群是

$$x' = ax, \quad \det a = 1, \quad (11.19)$$

它和 $SL(n)$ 同构, 用 \mathfrak{U}_s^0 表示。这是 $GL(n)$ 的一个不变闭子群。

因为, 若 $g \in GL(n)$, $g_H \in SL(n)$, 我们有

$$\det(gg_Hg^{-1}) = 1,$$

因而 $gg_Hg^{-1} \in SL(n)$ 。因此, 由于 $GL(n)$ 是单模群, 由第10章第3节可知 $SL(n)$ 也是单模群。它的左和右不变体元 (记住对于密度, 我们总考虑绝对值) 是

$$\begin{aligned} d\mathfrak{U}_s^0(n) &= dSL(n) \\ &= \sum_{i=1}^n (-1)^{n+i} a_{in} \bigwedge_{k,k \neq i} da_{k,i}, \end{aligned} \quad (11.20)$$

其中 (da_{in}) 表示因子 a_{in} 需要从中删掉。例如 $n=2$ 时,

$$d\mathfrak{U}_s^0(2) = dSL(2) = \frac{da_{11} \wedge da_{12} \wedge da_{21}}{a_{11}}.$$

对于一般仿射群 (11.1), 按照 (11.7), 我们有

$$d_L \mathfrak{U}(n) = (\det a)^{-1} d_L GL(n) \bigwedge_i db_i. \quad (11.21)$$

右不变体元是方阵 (11.16) 中的一切元素的外积, 它是

$$d_R \mathfrak{U}(n) = d_R(GL(n)) \bigwedge_i db_{ih}. \quad (11.22)$$

因此, 一般仿射群不是单模的。由 (9.80) 可知 $\Delta(g) = (\det a)^{-1}$ 。

非齐次特殊仿射群 $\Omega_s(n)$: $x' = ax + b$, $\det a = 1$ 是单模群, 它的不变体元是

$$d\mathfrak{U}_s(n) = dSL(n) \bigwedge_i db_{ih}, \quad (11.23)$$

其中 $d \operatorname{SL}(n)$ 的值见(11.20)。

2. 对于特殊齐次仿射群的线性空间密度

考虑作用于 n 维空间 R^n 上的特殊齐次仿射变换群 $\mathfrak{U}_s^0(n)$, 或简单些 \mathfrak{U}_s^0 , 在 $R^n - O$ 上, (11.19) 这个群是可迁而有效的。设 L_r 为一个不经原点的固定 r 维平面, \mathfrak{U}_r 表示为令 L_r 固定的变换所构成的子群。显然, 在 \mathfrak{U}_s^0 里, \mathfrak{U}_r 是闭的, 而且在 r 维平面的集合和齐次空间 $\mathfrak{U}_s^0/\mathfrak{U}_r$ 的点之间有一个一一对应关系。 $\mathfrak{U}_s/\mathfrak{U}_r$ 在 \mathfrak{U}_s^0 下的不变密度, 如果存在, 叫做 r 维平面的密度。为了判断这样的密度是否存在, 假定 r 维平面 L_r 经过 e_1 的终点而平行于 e_2, e_3, \dots, e_{r+1} 的 r 维平面, 在这里, (e_1, e_2, \dots, e_n) 是在原点 O , 满足条件 $|e_1 e_2 \dots e_n| = 1$ 的动标。对于 \mathfrak{U}_s^0 中令 L_r 不变的元素, $de_i (i = 1, 2, \dots, r+1)$ 是 e_2, e_3, \dots, e_{r+1} 的线性组合。于是, 根据(11.14)中第二组方程, 它们的特征是

$$\begin{aligned} \omega_{1i} &= 0, \quad i = 1, 2, \dots, r+1; \\ \omega_{ji} &= 0, \quad i = r+2, \dots, n, \quad j = 1, 2, \dots, r+1. \end{aligned} \quad (11.24)$$

这就是一般理论中的方程组(10.1)。根据(10.3), L_r 的集合在 \mathfrak{U}_s^0 下有不变密度的一个充要条件是

$$d\left(\bigwedge \omega_{1i} \bigwedge \omega_{ji}\right) = 0, \quad (11.25)$$

其中外积中下标的范围见(11.24)。 \mathfrak{U}_s^0 的结构方程是附有条件(11.9)的方程组(11.8)。利用这些方程, (10.25)可写作

$$\bigwedge \omega_{1i} \bigwedge \omega_{ji} \bigwedge \left(\sum_{h=1}^{r+1} \omega_{hh} \right) = 0, \quad (11.26)$$

$$i = 1, \dots, r+1; \quad j = r+2, \dots, n.$$

这个条件得到满足的充要条件是

$$\omega_{11} \wedge (\omega_{22} + \dots + \omega_{r+1, r+1}) = 0. \quad (11.27)$$

而由于(11.9)是 Maurer-Cartan 一次式间的唯一关系, 可见或者 $r = 0$, 或者 $r = n - 1$ 。

令 $r=0$, 所得的是点密度

$$dL_0 = \omega_{11} \wedge \omega_{21} \wedge \cdots \wedge \omega_{n1} = da_{11} \wedge da_{21} \wedge \cdots \wedge da_{n1},$$

而由于 $a_{11}, a_{21}, \cdots, a_{n1}$ 是 \mathbf{e}_1 终点的坐标, 可见除一个常数因子外, 点密度等于空间的体元, 而这是当然的, 因为特殊仿射变换保持面积不变. 令 $r=n-1$, 所得的超平面密度是

$$dL_{n-1} = \omega_{11} \wedge \omega_{12} \wedge \cdots \wedge \omega_{1n}. \quad (11.28)$$

这式对应于经过 \mathbf{e}_1 的终点而平行于 $\mathbf{e}_2, \mathbf{e}_3, \cdots, \mathbf{e}_n$ 的超平面. 为了给出这个密度的一种度量解释, 我们进行如下. 设 \mathbf{b} 为经过原点 O 的 L_{n-1} 的么法矢, 并设 $\mathbf{b}_2, \mathbf{b}_3, \cdots, \mathbf{b}_n$ 为平行于 L_{n-1} 的超平面 $(O, \mathbf{e}_2, \cdots, \mathbf{e}_n)$ 里 $n-1$ 个互相垂直的么矢. 数积 $\mathbf{b} \cdot d\mathbf{b}_i$ 等于 $n-1$ 维么球面 U_{n-1} 上, 在 \mathbf{b} 的终点, 沿 \mathbf{b}_i 的方向的弧素, 因此, 若用 du_{n-1} 表示在 \mathbf{b} 的终点, U_{n-1} 的 $n-1$ 维体元, 则

$$du_{n-1} = \bigwedge_i (\mathbf{b} \cdot d\mathbf{b}_i), \quad i=2, 3, \cdots, n. \quad (11.29)$$

另一方面, 由于矢量 \mathbf{b}_i 和 \mathbf{e}_i 属于同一个超平面, 可以令

$$\mathbf{e}_i = \sum_{k=2}^n \lambda_{ik} \mathbf{b}_k, \quad i=2, 3, \cdots, n, \quad (11.30)$$

因而

$$\bigwedge (\mathbf{b} \cdot d\mathbf{e}_i) = \det(\lambda_{ik}) \bigwedge (\mathbf{b} \cdot d\mathbf{b}_i) = \det(\lambda_{ik}) du_{n-1}. \quad (11.31)$$

由于 $\mathbf{b} \cdot \mathbf{e}_i = 0 (i=2, \cdots, n)$, 根据(11.14), 我们有

$$\mathbf{b} \cdot d\mathbf{e}_i = \omega_{1i} (\mathbf{b} \cdot \mathbf{e}_i) = \omega_{1i} \rho_1 \cos \theta \quad (i=2, \cdots, n),$$

其中 ρ_1 是 \mathbf{e}_1 的长而 θ 是 \mathbf{e}_1 和 \mathbf{b} 之间的角. 这就是说, 若 p 表示由 O 到 L_{n-1} 的距离, 则 $p = \rho_1 \cos \theta$, 而由(11.31), 就推得

$$\left(\sum_{i=2}^n \omega_{1i} \right) p^{n-1} = \det(\lambda_{ik}) du_{n-1}. \quad (11.32)$$

此外, 由 $(\mathbf{b} \cdot d\mathbf{e}_1) = \omega_{11} (\mathbf{b} \cdot \mathbf{e}_1) = \omega_{11} p$ 和

$$(\mathbf{b} \cdot d\mathbf{e}_1) = dp - (\mathbf{e}_1 \cdot d\mathbf{b}),$$

利用由(11.29)以及关系 $\mathbf{b} \cdot \mathbf{b}_i = 0, \mathbf{b}^2 = 1, \mathbf{b} \cdot d\mathbf{b} = 0$ 所

推得的结果 $(e_1 \cdot db) \wedge du_{n-1} = 0$, 就得

$$(\omega_{11} \wedge du_{n-1})p = dp \wedge du_{n-1}. \quad (11.33)$$

另一方面, 由于 $|e_1 e_2 \cdots e_n| = 1$, 矢量 e_1, e_2, \cdots, e_n 所张成的平行超体体积是1, 而 e_2, e_3, \cdots, e_n 所构成的平行超体的体积等于 $\det(\lambda_{ik})$, 可知 $\det(\lambda_{ik}) \cdot p = 1$, 于是最后得

$$dL_{n-1} = \frac{dp \wedge du_{n-1}}{p^{n+1}}, \quad (11.34)$$

而这就是所求的关于 dL_{n-1} 的度量意义。我们可以把上面的结果归结为以下定理:

在特殊齐次仿射群 \mathfrak{U}_n^0 下, 在线性子空间中, 只有点和不经过原点的超平面有不变密度, 点密度等于体元。超平面的密度可以写成变量式(11.34), 其中 p 是从原点到超平面的距离而 du_{n-1} 表示 $n-1$ 维球面对应于超平面法方向的体元(即对应于超平面的么法矢的立体角元)。

对凸体的一项应用。设 K 为 E_n 里含原点 O 在内的一个凸体, $p = p(u_{n-1})$ 表示它相对于 O 的(支)撑函数, 即 p 等于从 O 到垂直于方向 u_{n-1} 的 K 的撑超(平)面的距离, 在 K 外的超平面集合的测度在 \mathfrak{U}_n^0 上不变, 根据(11.34), 它是

$$I(K, O) = m(L_{n-1}; L_{n-1} \cap K \neq \emptyset) = \frac{1}{n} \int_{U_{n-1}} \frac{du_{n-1}}{p^n}, \quad (11.35)$$

其中积分范围是整个 $n-1$ 维么球面 U_{n-1} 。积分 $I(K, O)$ 是依赖于 K 也依赖于 O 的一个仿射不变量。存在着唯一的点 $O_M \in K$, 使

$$I(K, O_M) = \min I(K, O) \quad (O \in K).$$

这个事实的一些推论见 Petty[476]。注意: 若 K^* 是 K 对于 O (确定于矢径 $1/p$) 的配极体, 则 $I(K, O)$ 是 K^* 的体积。关于这个不变量的一些性质, 在第一章第6节中已有所阐述。

经过原点的线性子空间。群 \mathfrak{U}_0° 令原点 O 不变，因而把过原点的线性子空间变为过原点的线性子空间。现在我们考察经过原点的 r 维平面 $L_{r[0]}$ 在 \mathfrak{U}_0° 下是否有不变密度。

假定 $L_{r[0]}$ 为矢量 e_1, e_2, \dots, e_r 所确定。这样，若 $L_{r[0]}$ 在映射 (11.19) 下不变，微分 de_1, de_2, \dots, de_r 必然是 e_1, e_2, \dots, e_r 的线性组合，而 (11.14) 给出

$$\omega_{ji} = 0, \quad i = 1, 2, \dots, r; j = r+1, \dots, n. \quad (11.36)$$

根据一般理论， r 维平面集合有不变密度的充要条件是 $d\left(\bigwedge \omega_{ji}\right) = 0$ ，其中外积的下标范围见 (11.36)。利用 (11.8) 和 (11.9)，就得

$$\begin{aligned} d\left(\bigwedge \omega_{ji}\right) &= \bigwedge \omega_{ji} \wedge \left(\sum_{j=r+1}^n \omega_{jj} - \sum_i \omega_{ii}\right) \\ &= -2 \bigwedge \omega_{ji} \wedge \left(\sum_i \omega_{ii}\right). \end{aligned} \quad (11.37)$$

但 (11.9) 是一次式 ω_{ji} 间唯一的关系而且 $r < n$ ，齐式 (11.37) 不能等于零。由此可见，在 \mathfrak{U}_0° 下，经过原点的线性子空间没有不变密度。

现在取经过原点的 m 个线性子空间 $(L_{r_1[0]}, L_{r_2[0]}, \dots, L_{r_m[0]})$ ，它们的维是 r_1, r_2, \dots, r_m ，而且它们除原点外没有其他公共点，并考虑它们所构成的 m 组的集合。假定这些 m 组在 \mathfrak{U}_0° 下受到可迁的变换。取动标，使 $L_{r_h[0]}$ 确定于矢量 $e_{r_1+\dots+r_{h-1}+1}, e_{r_1+\dots+r_{h-1}+2}, \dots, e_{r_1+\dots+r_{h-1}+r_h}$ ($h = 1, 2, \dots, m$)。 \mathfrak{U}_0° 中令这个 m 组不变的元素构成一个闭子群 $\mathfrak{H}(r_1, \dots, r_m)$ ，其特征是微分 de_i ($r_1 + \dots + r_{h-1} + 1 \leq i \leq r_1 + \dots + r_h$) 是 e_s ($r_1 + \dots + r_{h-1} + 1 \leq s \leq r_1 + \dots + r_h$) 的线性组合。因此，根据 (11.14)，对于每一个 $h = 1, 2, \dots, m$ 和一切在下面范围内的 i, j ， $\omega_{ji} = 0$ ：

$$\begin{aligned} r_1 + \dots + r_{h-1} + 1 \leq i \leq r_1 + \dots + r_h, \quad 1 \leq j \leq r_1 + \dots + r_{h-1}, \\ r_1 + \dots + r_h + 1 \leq j \leq n. \end{aligned}$$

对具有这些范围内的下标的一切 ω_{ij} 取外积，我们得到一个

微分齐式 Φ ，它构成齐性空间 $\mathfrak{U}_s^0/\mathfrak{S}(r_1 + \cdots + r_m)$ 的不变密度。即 m 组 $(L_{r_1[0]}, \cdots, L_{r_m[0]})$ 的密度的充要条件是 $d\Phi = 0$ (根据条件 (10.3))。利用结构方程 (11.8)，经过简易运算可知， $d\Phi = \Phi \wedge \sum \omega_{hh} (h = 1, 2, \cdots, r_1 + r_2 + \cdots + r_m)$ 。由于 (11.9) 是齐式 ω_{ij} 间的唯一关系， $d\Phi = 0$ 成立的充要条件是

$$r_1 + r_2 + \cdots + r_m = n, \tag{11.38}$$

从而我们得定理：

具有维数 r_1, r_2, \cdots, r_m ，经过原点而没有其他公共点的线性子空间所构成的 m 组 $(L_{r_1[0]}, \cdots, L_{r_m[0]})$ 在 \mathfrak{U}_s^0 下有不变密度的充要条件是 (11.38) 成立。

在这种情况下， m 组 $(L_{r_1[0]}, \cdots, L_{r_m[0]})$ 的密度是一个 $(n - r_1)r_1 + \cdots + (n - r_m)r_m$ 次微分齐式。例如在平面上， $n = 2$ ，经过原点的直线集在 $\mathfrak{U}_s^0(2)$ 下没有不变密度；但直线偶 (L_1, L'_1) 的密度却存在。若这两条件和 x 轴所作的有向角是 ϕ, ϕ' (假定直角坐标)，则这个不变密度可以写成

$$d(L, L') = \sin^{-2}(\phi - \phi') d\phi \wedge d\phi'.$$

3. 对于特殊非齐次仿射群的线性子空间密度

现在我们考察群 \mathfrak{U}_s 或 $\mathfrak{U}_s(n)$ ：

$$x' = ax + b, \quad \det a = 1. \tag{11.39}$$

\mathfrak{U}_s 的每个元素确定于一个 n 维标架 $(p; e_1, e_2, \cdots, e_n)$ 的位置，其中 $|e_1 e_2 \cdots e_n| = 1$ ，而 \mathfrak{U}_s 的 Maurer-Cartan 式则可以从 (11.4) 得到，结构方程是附有条件 (11.9) 的 (11.8)。设 L_r 为 p 点和矢量 $e_1, \cdots, e_r (0 \leq r \leq n)$ 所确定的 r 维平面。由 (11.14) 可知，令 L_r 不变的仿射子群 \mathfrak{S}_r 的特征是

$$\begin{aligned} \omega_i &= 0, & i &= r + 1, \cdots, n; \\ \omega_{jh} &= 0, & h &= 1, \cdots, r; \quad j = r + 1, \cdots, n. \end{aligned} \tag{11.40}$$

这是一般理论中的方程组 (10.1)。齐性空间 $\mathfrak{U}_s/\mathfrak{S}_r$ 在 \mathfrak{U}_s 下有不变密度的充要条件是 $d\left(\bigwedge \omega_i \bigwedge \omega_{jh}\right) = 0$ ，其中下标范围见

(11.40). 利用结构方程(11.8), 容易得到, 除符号外,

$$d\left(\bigwedge \omega_i \bigwedge \omega_{jh}\right) = \bigwedge \omega_i \bigwedge \omega_{jh} \bigwedge (2(\omega_{r+1, r+1} + \cdots + \omega_{nn})). \quad (11.41)$$

由于齐式 ω_i, ω_{jh} 只受方程(11.9)的约束, (11.41)右边等于零的充要条件是 $r = 0$. 因此, 除点以外, 线性子空间 L_r 在 \mathfrak{U}_s 下没有不变密度. 对于点, $r = 0$, 不变密度是

$$dL_0 = \omega_1 \wedge \cdots \wedge \omega_n = db_1 \wedge db_2 \wedge \cdots \wedge db_n,$$

这等于空间的体元.

对于没有公共点的线性空间 m 组 $(L_{r_1}, \cdots, L_{r_m})$, 仿照群 \mathfrak{U}_s^0 的款, 就可以证明下面的定理:

若线性子空间 L_{r_1}, \cdots, L_{r_m} 没有公共点, 它们的维数 r_i 满足条件 $r_1 + r_2 + \cdots + r_m + m \leq n + 1$, 而且在 $\mathfrak{U}_s(n)$ 下, 它们所构成的 m 组 $(L_{r_1}, \cdots, L_{r_m})$ 是可迁地变换着, 则在 $\mathfrak{U}_s(n)$ 下, 这种 m 组有不变密度的充要条件是: 或者一切 r_i 是零, 或者

$$r_1 + r_2 + \cdots + r_m + m = n + 1. \quad (11.42)$$

例如, 若点 L_0 不在超平面 L_{n-1} 上, 则 (L_0, L_{n-1}) 的集合有一个不变密度, 它的度量表达式是 $d(L_0, L_{n-1}) = p^{-(n+1)} dL_0 \wedge du_{n-1} \wedge dp$, 其中 dL_0 是在 L_0 点的体元, 而 du_{n-1} 是对应于与 L_{n-1} 垂直的方向的立体角元, 而 p 是从点到超平面的距离.

平行超平面偶的集合的密度. 我们将证明: 平行超平面偶的集合在 \mathfrak{U} 下有不变密度. 由于超平面偶在 \mathfrak{U}_s 下是可迁地变换着, 可以取两个超平面之一经过 p 点而平行于矢量 $e_1, e_2, \cdots, e_{n-1}$, 而另一个则和它平行而经过 e_n 的终点. 由(11.14)可知, 这个平面偶属于下面方程组的积分簇:

$$\omega_n = 0, \quad \omega_{nh} = 0, \quad h = 1, 2, \cdots, n. \quad (11.43)$$

根据(10.3), 外积 $d\mathcal{P} = \omega_n \wedge \omega_{n1} \wedge \cdots \wedge \omega_{nn}$ 是密度的充分条件为 $d(d\mathcal{P}) = 0$. 利用结构方程, 我们就有, 除符号外,

$$d(d\mathcal{J}) = d\mathcal{J} \wedge \left(\sum_1^n \omega_{1i} \right) = 0.$$

于是有定理:

对于群 \mathcal{U}_1 , 平行超平面偶的集合有不变密度

$$d\mathcal{J} = \omega_n \wedge \omega_{n1} \wedge \cdots \wedge \omega_{nn}. \quad (11.44)$$

不难得到 $d\mathcal{J}$ 的一个度量表达式. 若 p_1, p_2 表示从原点到两个超平面的距离, 而 du_{n-1} 表示对应于与超平面垂直的方向的 $n-1$ 维么球面的体元, 可以证明[577]

$$d\mathcal{J} = \frac{du_{n-1} \wedge dp_1 \wedge dp_2}{|p_2 - p_1|^{n+2}}. \quad (11.45)$$

对凸体的应用. 已给欧氏空间 E_n 里的一个凸体 K , 设 $\Delta = \Delta(u_{n-1})$ 为 K 对应于 u_{n-1} 方向的宽. 一切包含 K 在内的平行超平面偶的测度是

$$\int \frac{du_{n-1} \wedge dp_1 \wedge dp_2}{|p_2 - p_1|^{n+2}} = \frac{1}{n(n+1)} \int_{v_{n-1/2}} \frac{du_{n-1}}{\Delta^n}. \quad (11.46)$$

这个测度引出 K 的仿射不变量

$$J = \int_{v_{n-1/2}} \frac{du_{n-1}}{\Delta^n}, \quad (11.47)$$

其中积分的范围是半个 $n-1$ 维么球面.

若 K 具有一个对称中心, 则 J 和 (11.35) 中的仿射不变量 $I(K, O)$ 之间显然有关系 $nI(K, O) = 2^{n+1}J$. 若 K 没有对称中心, J 和 I 没有简单的关系. 为了得到它们之间的一个不等式, 可以利用不等式

$$x^{-n} + y^{-n} \geq 2(xy)^{-n/2}, \quad (xy)^{n/2} = [(x+y)/2]^n, \\ x^{-n} + y^{-n} \geq 2^{n+1}(x+y)^{-n},$$

它对于 $x > 0, y > 0$ 是成立的, 而且只有 $x = y$ 时, 等式才适用. 现在, 设 p_1, p_2 表示在 K 的两个相对的点的撑函数 (相对于 K 内部的一点 O), 则利用上述不等式, 得

$$\begin{aligned}
 2J &= \int_{U_{n-1}} \frac{du_{n-1}}{\Delta^2} = \int_{U_{n-1}} \frac{du_{n-1}}{(p_1 + p_2)^2} \\
 &\leq \frac{1}{2^{n+1}} \int_{U_{n-1}} \left(\frac{du_{n-1}}{p_1^2} + \frac{du_{n-1}}{p_2^2} \right) = \frac{n}{2^n} I(K, O),
 \end{aligned}$$

因而

$$J \leq \frac{n}{2^{n+1}} I(K, O), \quad (11.48)$$

这适用于任意 $O \in K$, 而等号适用的充要条件是 K 对于 O 中心对称. 我们可以证明不等式

$$\frac{2^{n-1}}{n!(n-1)!} < JV \leq \frac{4\pi^n}{2^{n+1}(\Gamma(n/2))^{2n}}, \quad (11.49)$$

其中 V 是 K 的体积[577]. 达到上界的充要条件是 K 为椭球. 下界不是最好的值, 而且 $n > 2$ 时, 最好的值也尚未知. $n = 2$ 时 Eggleston[161]证明了 $JV \geq 3/2$, 而等式成立是三角形的特征.

4. 注记与练习

(1) 格点集. 设 e_1, e_2, \dots, e_n 为 R^n 里的线性无关矢量. 当 u_1, u_2, \dots, u_n 为整数时, 一切点 $x = u_1 e_1 + \dots + u_n e_n$ 构成的点集叫做以 e_1, e_2, \dots, e_n 为底的格. 当 x_i 为满足 $0 \leq x_i < 1$ 的实数时, $x = x_1 e_1 + \dots + x_n e_n$ 所确定的半开平行体叫做格的基本区域 (按照第八章第一节的意义), 而这个基本区域的体积等于行列式 $|e_1 e_2 \dots e_n|$, 它就称为格的行列式. 现在考虑以 $e_i(0, \dots, 0, 1, 0, \dots, 0)$ (其中 1 是第 i 个分量) 为底的格 \mathcal{L}_0 以及特殊齐次仿射群 $\mathcal{U}_0^n(n)$. 格 $\mathcal{L} = a\mathcal{L}_0$ ($a \in \mathcal{U}_0^n$) 的行列式是 1, 而且倒转来, 任意行列式等于 1 的格是 \mathcal{L}_0 在某个 $a \in \mathcal{U}_0^n$ 下的象. 用 \mathcal{L} 表示行列式等于 1 的一切格的集合. 若 Γ 表示 \mathcal{U}_0^n 中使 \mathcal{L}_0 不变的元素所构成的子群, 集合 \mathcal{L} 可以和齐性空间 \mathcal{U}_0^n/Γ 同化. 由于 Γ 是一个离散群, 行列式等于 1 的格的不变密度 $d\mathcal{L}$ 就是 (11.20) 所给出的密度 $d\mathcal{U}_0^n = d\text{SL}(n)$.

我们将令 $d\mathcal{L} = d\mathfrak{U}_0^*$.

有了这个密度, 我们可以证明, \mathcal{L} 的测度是

$$m(\mathcal{L}) = \zeta(2)\zeta(3)\cdots\zeta(n),$$

其中 $\zeta(n) = 1 + 2^{-n} + 3^{-n} + \cdots$. 此外, 已给 R^n 里一个域 D , 其体积是 $v(D)$, 而用 N 表示 \mathcal{L} 中属于 D 而具有互素坐标的格点 (称为原始格点) 的个数, 而用 N_t 表示 \mathcal{L} 中属于 D 的一切格点的总数, 就有

$$\int_L N d\mathcal{L} = v(D)\zeta(2)\zeta(3)\cdots\zeta(n-1),$$

$$\int_L N_t d\mathcal{L} = v(D)\zeta(2)\cdots\zeta(n-1)\zeta(n).$$

于是有:

(a) 含于一个具有体积 $v(D)$ 的固定域 D 内的原始格点数的中值是 $E(N) = v(D)/\zeta(n)$;

(b) 含于 D 内的格点数的中值是 $E(N_t) = v(D)$.

取这些中值的范围是一切行列式等于 1 的格的集合. 作为一个推论, 我们有下列的 Minkowski 与 Hlawka 定理:

在 R^n 里, 设 D 为相对于原点的星状域 (即这个域只要含有 x 点, 就含有整个线段 $\lambda x, 0 \leq \lambda \leq 1$), 其体积是 $v(D) < \zeta(n)$, 则存在着一个行列式等于 1 的格, 对于这个格, 除原点外, D 不含有任何其他格点.

这个定理为 Minkowski 所猜想到, 被 Hlawka 在 1944 年所最先证明. 利用中值 $E(N)$ 和 $E(N_t)$ 的证明是 Siegel [610a] 和 Weil [712] 作出的. 一个简化的证明以及一些更一般的结果为 Macbeath 和 Rogers [381] 所给出. 其他类型的证明以及有关的有趣结果, 见 Cassels [92] 和 Lekkerkerker [361] 两书, 还可以参看 [557].

(2) 仿射空间的平行子空间集. 第三节关于平行超平面集的结果是下面的定理 (Santaló [578]) 的特款:

设平行线性子空间 L_{h_1}, \dots, L_{h_q} 的维是 h_1, \dots, h_q , 而 q 组 H

$(L_{h_1}, \dots, L_{h_q})$ 在特殊仿射群 $\mathfrak{U}_s(n)$ 下可迁地变换着, 则这些 q 组的集合在 \mathfrak{U}_s 下有不变密度的充要条件是一切维数 h_i 相等, $h_1 = h_2 = \dots = h_q = h$, 而且 $q = n + 1 - h$.

两个平行超平面的款对应于 $h = n - 1, q = 2$.

当 $n = 3$ 时, 我们得到的是两个平行平面的款以及三条平行 (不共面) 直线的款, 对于后一款, 若用 du_2 表示么球面对应于这些直线方向的面元, 而用 dP_0, dP_1, dP_2 表示垂直于这些直线的平面上, 在其交点的面元, 则对于已给凸体区, 考虑三条平行线, 其凸包含 K 在内, 并计算这样的三条单行线的集合的测度, 就导出下面的关于 K 的仿射不变量:

$$m_1(K) = \frac{1}{64} \int_{u_{2/2}} du_2 \int \frac{dP_0 \wedge dP_1 \wedge dP_2}{T^6}, \quad (11.50)$$

其中 T 表示三角形 $P_0P_1P_2$ 的面积. 这里, 第一次积分的范围是在垂直于 u_2 的平面上, 一切含 K 的投影在内的三角形, 而第二个积分范围则是半么球面. 寻求不变量 (11.50) 和 K 的其他仿射不变量之间的不等式将是饶有兴味的.

(3) 抛物线、椭圆、双曲线的集合. 考虑仿射平面, 抛物线在仿射群 $\mathfrak{U}_s(2)$ 下可迁地变换着. 因此, 求抛物线集合在 $\mathfrak{U}_s(2)$ 下的不变密度是有意义的. 假定抛物线为方程

$$x^2 + 2bxy + b^2y^2 + px + qy + r = 0$$

所确定, 可以证明, 不变密度是 [104]

$$dP = \frac{db \wedge dp \wedge dq \wedge dr}{(q - bp)^{8/3}}.$$

同样, 假定椭圆为方程

$$x^2 + 2axy + (a^2 + b^2)y^2 + 2px + 2qy + r = 0$$

所确定, 则在群 $\mathfrak{U}(2)$ 下, 椭圆集合有不变密度

$$dE = \frac{b}{\Delta^2} da \wedge db \wedge dp \wedge dq \wedge dr,$$

$$\Delta = \begin{vmatrix} 1 & a & p \\ a & a^2 + b^2 & q \\ p & q & r \end{vmatrix}.$$

对于由方程

$$x^2 + 2axy + (a^2 - b^2)y^2 + 2px + 2qy + r = 0$$

所确定的双曲线, 在 $\mathfrak{U}(2)$ 下的不变密度是

$$dH = \frac{b}{\Delta^2} da \wedge db \wedge dp \wedge dq \wedge dr,$$

$$\Delta = \begin{vmatrix} 1 & a & p \\ a & a^2 - b^2 & q \\ p & q & r \end{vmatrix}.$$

这些密度是Stoka的结果[634, 647].

(4) 实射影群. 设 V^{n+1} 为实数上的 $n+1$ 维矢空间, 用 $V_*^{n+1} = V^{n+1} - \{0\}$ 表示 V^{n+1} 的一切非零矢的集合. V_*^{n+1} 的两个线性相关的矢 x, y (即有实数 $c \neq 0$, 使 $y = cx$) 称为有关系 $\rho: x \sim y$, 这是一个等价关系 (比例关系). 商集 V_*^{n+1}/ρ , 即等价类集, 称为 n 维射影空间. 若 L_{r+1}^* 是 V^{n+1} 的 $r+1$ 维子空间 ($r = 0, 1, \dots, n$), 则 $(L_{r+1}^* - \{0\})/\rho$ 是 P_n 里的一个 r 维空间. 若 x 为 V_*^{n+1} 的矢量, 则一切具形状 cx ($c \neq 0$) 的矢量都代表同一点 x . 若非零矢 x^0, x^1, \dots, x^r 确定 V_*^{n+1} 里一个 $r+1$ 维子空间, 则其对应点确定 P_n 里一个 r 维平面.

设 A_0, A_1, \dots, A_n 为 V^{n+1} 的一个底. 则每一个矢量可以写成 $x = x_0 A_0 + x_1 A_1 + \dots + x_n A_n$. 数值 x_0, x_1, \dots, x_n 称为对应于等价类 cx ($c \neq 0$) 的点的齐次坐标. 若两点的坐标成比例, 则它们重合. 若 $x_0 \neq 0$, 则比值 $x_1/x_0, x_2/x_0, \dots, x_n/x_0$ 是 x 点的非齐次坐标. 矢空间 V^{n+1} 称为与 P_n 相伴的矢空间, 而底 A_0, A_1, \dots, A_n 则构成一个齐次坐标系.

用 x 表示点 $x \in P_n$, 同时表示以 x 的齐次坐标为元素的列矩

阵, 即 $(n+1) \times 1$ 矩阵。把 P_n 变成自己的一个射影变换或 直 射 变换是一个用矩阵方程 $x' = Ax$, $\det A \neq 0$ 的变换, 其中 $A = (a_{ij})$ 是一个 $(n+1) \times (n+1)$ 满秩方阵。由于 x 和 cx 代表同一点, 我们总可以假定 $\det A = 1$ 。把 P_n 变成自己的直射变换构成射影群 \mathfrak{P}_n 。 \mathfrak{P} 的一组 Maurer-Cartan 式是方阵 $\Omega = A^{-1}dA$ 的一组独立元素而结构方程则是 $d\Omega = -\Omega \wedge \Omega$ 。用显式表示, 若

$$A = (a_{ij}), \quad A^{-1} = (a_{ij}), \quad \Omega = (\omega_{ij}),$$

就有

$$\begin{aligned} \omega_{ij} &= \sum_{h=0}^n a_{ih} da_{hj} = - \sum_{h=0}^n a_{hj} da_{ih}, \\ d\omega_{ij} &= - \sum_{h=0}^n \omega_{ih} \wedge \omega_{hj}, \end{aligned}$$

而取 $\det A = 1$ 的微分, 就得 $\omega_{00} + \omega_{11} + \cdots + \omega_{nn} = 0$ 。

用 A_i 表示 V_n^{+1} 中具有分量 $(a_{0i}, a_{1i}, \cdots, a_{ni})$, $i = 0, 1, \cdots, n$ 的矢量, 可以把方程 $dA = A\Omega$ 写成

$$dA_i = \sum_{j=0}^n \omega_{ji} A_j, \tag{11.51}$$

因而

$$\omega_{ji} = |A_0 \cdots A_{j-1} dA_i A_{j+1} \cdots A_n| \tag{11.52}$$

P_n 的运动密度具有下面的度量表达式。 P_n 里的一个直射变换被 $n+2$ 个点 $Q_0, Q_1, \cdots, Q_{n+1}$ 所确定, 它们是点 $(1, 0, \cdots, 0)$, $(0, 1, 0, \cdots, 0), \cdots, (0, 0, \cdots, 0, 1), (1, 1, \cdots, 1)$ 的象。设 S_h 表示以 $Q_0, Q_1, \cdots, Q_{n+1}$ (Q_h 除外) 诸点为顶点的单(纯)形的体积, 而 dQ_i 表示在 Q_i 的体元, 则 \mathfrak{P}_n 的不变体元 (\mathfrak{P}_n 的运动密度) 可以写成 [370]:

$$d\mathfrak{P}_n = \frac{dQ_0 \wedge dQ_1 \wedge \cdots \wedge dQ_{n+1}}{S_0 S_1 \cdots S_{n+1}}. \tag{11.53}$$

在 \mathfrak{P}_n 下, 线性空间的 m 组是否有不变密度的问题, 可以像仿射群的情况那样解决, 其结果是下面的定理:

设线性空间 L_{h_1}, \dots, L_{h_m} 没有公共点, 它们的维 h_i 满足条件 $h_1 + h_2 + \dots + h_m + m \leq n + 1$, 则对于射影群, m 组 $(L_{h_1}, \dots, L_{h_m})$ 有不变密度的充要条件是

$$h_1 + h_2 + \dots + h_m + m = n + 1. \quad (11.54)$$

这时候, 不变密度是外积 $\bigwedge \omega_{ij}$, 其中齐式为 (11.52) 所给出而下标则有以下范围:

$$\begin{aligned} 0 \leq i \leq h_1, \quad h_1 + 1 \leq j \leq n, \\ h_1 + 1 \leq i \leq h_1 + h_2 + 1, \quad 0 \leq j \leq h_1, \quad h_1 + h_2 + 2 \leq j \leq n, \\ \dots \dots \dots \end{aligned}$$

$$\begin{aligned} h_1 + \dots + h_{m-1} + m - 1 \leq i \leq h_1 + h_2 + \dots + h_m + m - 1, \\ 0 \leq j \leq h_1 + \dots + h_{m-1} + m - 2, \quad h_1 + \dots + h_m + m \leq j \leq n. \end{aligned}$$

$m = 2$ 时, 这个结果是 Varga[686] 得到的.

例1 对于射影直线 ($n = 1$), 唯一可能的款是 $h_1 = h_2 = 0$, 即点偶. 点偶 (A_0, A_1) 的不变密度是

$$\begin{aligned} d(A_0, A_1) &= \omega_{01} \wedge \omega_{10} \\ &= a_{00}a_{11}da_{10} \wedge da_{01} - a_{00}a_{01}da_{10} \wedge da_{11} \\ &\quad - a_{10}a_{11}da_{00} \wedge da_{01} + a_{10}a_{01}da_{00} \wedge da_{11}. \end{aligned}$$

另一方面, A_0 和 A_1 的非齐次坐标是

$$\xi = a_{10}/a_{00}, \quad \eta = a_{11}/a_{01},$$

这样, 容易算得

$$d\xi \wedge d\eta = (a_{00}a_{01})^{-2} \omega_{10} \wedge \omega_{01} \quad \text{和} \quad (\eta - \xi)^2 = (a_{01}a_{00})^{-2}.$$

因此, 直线上点偶的射影不变密度是

$$d(A_0, A_1) = (\xi - \eta)^{-2} d\xi \wedge d\eta,$$

其中 ξ, η 为两点的非齐次坐标. 例如, 假定 (ξ_1, ξ_2) 和 (η_1, η_2) 两个节①没有公共点, 则在 (ξ_1, ξ_2) 内的 A_0 和在 (η_1, η_2) 内的 A_1 所构成的点偶 (A_0, A_1) 的测度是

① 闭节. ——译者

$$m(\xi, \eta; \xi_1 \leq \xi \leq \xi_2, \eta_1 \leq \eta \leq \eta_2) = \log(\eta_2, \eta_1, \xi_2, \xi_1),$$

其中 $(\eta_2, \eta_1, \xi_2, \xi_1)$ 表示 $\eta_2, \eta_1, \xi_2, \xi_1$ 四点的交比。

例2 对于射影平面 ($n=2$), 条件(11.52)得到满足的款是

(a) $h_1 = h_2 = h_3 = 0, m = 3$ (不共线的三点组);

(b) $h_1 = 0, h_2 = 1, m = 2$ (不关联的点与直线)。

(a) 由(11.51), A_0, A_1, A_2 为固定点的条件是

$$\omega_{10} = \omega_{20} = 0, \quad \omega_{01} = \omega_{21} = 0, \quad \omega_{02} = \omega_{12} = 0,$$

而不变密度化为

$$d(A_0, A_1, A_2) = \omega_{10} \wedge \omega_{20} \wedge \omega_{01} \wedge \omega_{21} \wedge \omega_{02} \wedge \omega_{12}.$$

A_0, A_1, A_2 的非齐次坐标是

$$A_0(\xi_0 = a_{10}/a_{00}, \quad \eta_0 = a_{20}/a_{00}),$$

$$A_1(\xi_1 = a_{11}/a_{01}, \quad \eta_1 = a_{21}/a_{01}),$$

$$A_2(\xi_2 = a_{12}/a_{02}, \quad \eta_2 = a_{22}/a_{02}),$$

因而利用(11.52), 就得

$$d(A_0, A_1, A_2) = a_{00}^3 a_{01}^3 a_{02}^3 d\xi_0 \wedge d\eta_0 \wedge d\xi_1 \wedge d\eta_1 \wedge d\xi_2 \wedge d\eta_2.$$

注意三角形 $A_0 A_1 A_2$ 的面积是 $T = \frac{1}{2} (a_{00} a_{01} a_{02})^{-1}$, 就得, 除一个常数因子外,

$$d(A_0 A_1 A_2) = T^{-3} dA_0 \wedge dA_1 \wedge dA_2,$$

其中 $dA_i = d\xi_i \wedge d\eta_i$ 是在 A_i 点的面元。

(b) 对于点 A_0 和直线 $G = A_1 A_2$, 不变密度是

$$d(A_0, G) = \omega_{10} \wedge \omega_{20} \wedge \omega_{01} \wedge \omega_{02}.$$

这个密度的度量表达式是

$$d(A_0, G) = \delta^{-3} dA_0 \wedge dG,$$

其中 dA_0 和 dG 是 A 和 G 的度量密度而 δ 是从 A_0 到 G 的距离。

二次超曲面的集合。在 P_n 里, 一个满秩二次超曲面 G 的矩阵方程可以写成 $x' Q x = 0$, 其中 Q 是一个满秩 $(n+1) \times (n+1)$ 对称

方阵 (q_{ij}) ，而 x 是以 x 的齐次坐标为元素的 $(n+1) \times 1$ 矩阵。这样，满秩二次超曲面集合在 \mathfrak{P}_n 下的不变密度可以写成

$$dC = (q^{**})^{-1} dq_{00} \wedge dq_{01} \wedge \cdots \wedge dq_{n-1,n},$$

其中 q^{**} 是逆方阵 Q^{-1} 的 (n,n) 元素，而且我们假定 Q 已经规范化，使得 $\det Q = 1$ 。

若二次超曲面的方程已经规范化为

$$\sum q_{ij}^* x_i x_j = 0,$$

其中 $q_{ii}^* = 1$ ($i, j = 0, 1, \dots, n$)，则有

$$dC = \frac{dq_{00}^* \wedge dq_{01}^* \wedge \cdots \wedge dq_{n-1,n}^*}{(n+1)\Delta^{(n+2)/2}},$$

其中 $\Delta = \det(q_{ij}^*)$ 。

例如，若把二次曲线的方程写成

$$q_{00}x_0^2 + 2q_{01}x_0x_1 + 2q_{02}x_0x_2 + q_{11}x_1^2 + 2q_{12}x_1x_2 + x_2^2 = 0,$$

则二次曲线集合的不变密度是(见[646, 647, 577])

$$dC = \frac{dq_{00} \wedge dq_{01} \wedge dq_{02} \wedge dq_{11} \wedge dq_{12}}{3\Delta^2}.$$

Luccioni[371]讨论了降秩二次超曲面的款。Stanilow[622]研究了 P_{2n+1} 是关于令两个平面不变的直射变换的积分几何学。

练习1 在一般仿射群 $\mathfrak{U}(2)$ 下，平面四边形是可迁地变换着，它们有不变密度 $F^{-2} dP_0 \wedge dP_1 \wedge dP_2$ ，其中 P_0, P_1, P_2 是平行四边形的三个顶点，而 F 是它的面积。

练习2 在特殊仿射群 $\mathfrak{U}_s(2)$ 下，直线偶 (G_0, G_1) 有不变密度 $d(G_0, G_1) = \sin^{-3}\theta dG_0 \wedge dG_1$ ，其中 dG_0, dG_1 表示直线的度量密度而 θ 表示 G_0, G_1 之间的角。

练习3 在相似群(9.95)下，点偶 (P_0, P_1) 有不变密度

$$d(P_0, P_1) = \delta^{-4} dP_0 \wedge dP_1,$$

其中 δ 是两点间的距离。平行直线 (G_0, G_1) 有密度

$$d(G_0, G_1) = \Delta^{-2} dG_0 \wedge dG_1,$$

其中 Δ 两线之间的距离, p_i 是从原点到 G_i 的距离。

其他例为 Stoka[634]和Santaló[581]所给出。在已给定点偶或直线偶的密度的情况下求群的逆问题, 曾为Lucenko和Jurtova[374]所探讨。

练习4 下面分别给定了平面中射影变换的一个子群, 验证在这个子群下点和线的密度。所缺的密度, 表示它们不存在。

$$(a) \quad x' = ax, \quad y' = by, \quad dP = (xy)^{-1}dx \wedge dy,$$

$$dG = (p \sin \phi \cos \phi)^{-1}dp \wedge d\phi,$$

$$(b) \quad x' = ax, \quad y' = y + h, \quad dP = x^{-1}dx \wedge dy,$$

$$dG = (\sin^2 \phi \cos \phi)^{-1}dp \wedge d\phi,$$

$$(c) \quad x' = x + c, \quad y' = cx + y + h, \quad dP = dx \wedge dy,$$

$$dG = \sin^{-3} \phi dp \wedge d\phi,$$

$$(d) \quad x' = ax, \quad y' = ay + h, \quad dP = x^{-2}dx \wedge dy,$$

$$(e) \quad x' = x + \log a, \quad y' = ay + h, \quad dP = e^{-x}dx \wedge dy,$$

$$dG = (\cos^2 \phi \sin \phi)^{-1}dp \wedge d\phi,$$

$$(f) \quad x' = x, \quad y' = ay + b, \quad dG = (\cos^2 \phi \sin \phi)^{-1}dp \wedge d\phi,$$

$$(g) \quad x' = (ax + b)(cx + h)^{-1}, \quad y' = (cx + h)^{-1}y, \quad ah - bc = 1,$$

$$dP = y^{-3}dx \wedge dy, \quad dG = \sin^{-3} \phi dp \wedge d\phi.$$

$$(h) \quad x' = ax + b, \quad y' = cx + a^{1/2}y + h, \quad dG = \sin^3 \phi dp \wedge d\phi.$$

平面上有的射影群下存在着 n 点组的密度, 这种群曾为Lucenko[372]所探讨。

第十二章 E_n 中的运动群

1. 引言

设 $x(x_1, \dots, x_n)$ 和 $y(y_1, \dots, y_n)$ 为 R^n 中两点. 若 x 与 y 之间的距离用

$$d(x, y) = [(x_1 - y_1)^2 + \dots + (x_n - y_n)^2]^{1/2}$$

来确定, 则 R^n 为度量空间, 称为 n 维欧氏空间, 用 E_n 表示. 一个把 E_n 变为自己的仿射变换若保持距离不变, 则称为运动. 一切运动构成仿射群的子群 \mathfrak{M} , 它用方程

$$x' = ax + b, \quad aa' = e \quad (12.1)$$

来确定, 其中 a' 表示 $n \times n$ 方阵 a 的转置, 而 e 则表示 $n \times n$ 么方阵. 条件 $aa' = e$ 表明 a 是正交方阵. 若 $\det a = +1$ 就得到 \mathfrak{M} 的一个子群, 叫做特殊运动群.

利用活动标架法(第十一章, 第1节), 容易对 \mathfrak{M} 进行考察. 设 $(p_0; e_1^0, \dots, e_n^0) \equiv (p_0; e_i^0)$ 为固定么模正交标架 ($e_i^0 \cdot e_j^0 = \delta_{ij}$). 对应于每个运动 $g \in \mathfrak{M}$, 有一个么模正交动标 $(p; e_i)$, 它是 $(p_0; e_i^0)$ 在 g 下的象; 倒转来, 对应于每一个么模正交标架 $(p; e_i^0)$, 有一个运动 g , 使得 $(p; e_i) = g(p_0; e_i^0)$. 根据方程(11.14)

$$dp = \sum_{i=1}^n \omega_i e_i, \quad de_i = \sum_{j=1}^n \omega_{ji} e_j, \quad (12.2)$$

利用关系 $e_i \cdot e_j = \delta_{ij}$, $de_i \cdot e_j + e_i \cdot de_j = 0$, 我们有

$$\omega_i = dp \cdot e_i, \quad \omega_{ji} = de_i \cdot e_j, \quad \omega_{ji} + \omega_{ij} = 0 \quad (12.3)$$

用矩阵 a, b 表示, 这些一次式为(11.7)所确定, 现在它可以写成

$$\omega_{ij} = \sum_{h=1}^n a_{hi} da_{hj}, \quad \omega_i = \sum_{h=1}^n a_{hi} db_h. \quad (12.4)$$

结构方程是

$$d\omega_{ij} = - \sum_{k=1}^n \omega_{ik} \wedge \omega_{kj}, \quad d\omega_i = \sum_{k=1}^n \omega_k \wedge \omega_{ik}. \quad (12.5)$$

我们下面求 \mathfrak{M} 的不变体元和它的一些子群。

平移群。 这是用 $x' = x + b$ 确定的子群 $\mathfrak{S} \subset \mathfrak{M}$ 。 \mathfrak{S} 的维是 n 而一次式 db_i 构成一组 Maurer-Cartan 式。由于 \mathfrak{S} 是可交换的，它是单模群，而它的不变体元是

$$d\mathcal{S} = db_1 \wedge db_2 \wedge \cdots \wedge db_n. \quad (12.6)$$

平移群的积分几何曾为 Berwald 与 Varga[30]，Blaschke[44] 以及 Miles[422] 所研究。

绕一点的转动。 绕原点的转动群 $\mathfrak{M}_{[O]}$ 用 $x' = ax$ 确定 (a 是正交方阵)。它和正交群 $O(n)$ 同构。由条件 $aa^t = e$ 可知，对于一切 $i, h, a_{ih}^2 \leq 1$ ，因而 $\mathfrak{M}_{[O]}$ 的群流形是有界(而闭)的。所以 $\mathfrak{M}_{[O]}$ 是紧致群，于是根据第九章的第 6 节，可知：绕 E_n 中一点的转动群 $\mathfrak{M}_{[O]}$ (正交群 $O(n)$) 是单模群。不变体元为

$$d\mathfrak{M}_{[O]} = \bigwedge_{i < j} \omega_{ij}. \quad (12.7)$$

作为 (9.63) 的一个推论，我们有

$$d\mathfrak{M}_{[O]}(a) = d\mathfrak{M}_{[O]}(a^{-1}),$$

即：把转动用它的逆来替代后，不变体元 $d\mathfrak{M}_{[O]}$ 不受影响。

我们将计算 $\mathfrak{M}_{[O]}$ 的总体积。在绕原点 O 转动中，矢量 e_i 的终点在以 O 为中心的么球 U_{n-1} 上运动。数积 $de_i \cdot e_j = \omega_{ji}$ 等于 e_i 的终点沿 e_j 方向的弧长元素，因此，若用 du_{n-1} 表示 U_{n-1} 在 e_1 终点的 $n-1$ 维体元，则

$$du_{n-1} = \omega_{21} \wedge \omega_{31} \wedge \cdots \wedge \omega_{n1}. \quad (12.8)$$

根据类似理由，若 U_{n-2} 为含在垂直于 e_1 的 $n-1$ 维平面内的 $n-2$ 维么球，则它在 e_2 终点的 $n-2$ 维体元是

$$du_{n-2} = \omega_{32} \wedge \omega_{42} \wedge \cdots \wedge \omega_{n2}, \quad (12.9)$$

于是通过归纳法就得

$$d\mathfrak{M}_{(O)} = du_{n-1} \wedge du_{n-2} \wedge \cdots \wedge du_1. \quad (12.10)$$

注意最后的矢量 e_n 有两个可能的正向, e_n 与 $-e_n$, 它们分别确定一个 n 棱标架 $(O; e_i)$. 群 $\mathfrak{M}_{(O)}$ 包括两种可能性, 因此在整个群上对 (12.10) 积分就得

$$m(\mathfrak{M}_{(O)}) = 2O_{n-1}O_{n-2}\cdots O_1, \quad (12.11)$$

其中 O_i 表示 i 维幺球的面积 (1.22). 若只考虑正常转动, 则测度 (12.11) 应除以 2.

$n=3$ 时, 绕原点 O 的运动密度可用

$$d\mathfrak{M}_{(O)} = du_2 \wedge du_1 = \sin\theta d\theta \wedge d\phi \wedge da$$

表示, 其中 θ, ϕ 为幺球面 U_2 在 e_3 终点的球面坐标, 而 a 则表示绕 e_3 的转角 ($0 \leq \theta \leq \pi, 0 \leq \phi \leq 2\pi, 0 \leq a \leq 2\pi$). 若确定转动时, 采用具有球面坐标 θ_1, ϕ_1 的转动轴以及绕该轴的转角 a_1 , 则经过坐标变换可得

$$d\mathfrak{M}_{(O)} = 2\sin^2(a_1/2)\sin\theta_1 d\theta_1 \wedge d\phi_1 \wedge da_1.$$

这表明, 若以为转轴和转角都是均匀地随机选取的, 那就猜错了 (见 [144, 335, 408, 670]).

运动群. 由于 $\mathfrak{M}_{(O)}$ 和 \mathfrak{S} 都是单模群, 运动群 \mathfrak{M} 也是单模群, 因而它的不变体元可以写成

$$d\mathfrak{M} = d\mathfrak{M}_{(O)} \wedge d\mathfrak{S}. \quad (12.12)$$

假定用标架 $(p; e_i)$ 确定运动, 则根据 (12.6) 和 (12.10), 并注意 E_n 在 p 的体元是 $dP = db_1 \wedge db_2 \wedge \cdots \wedge db_n$, 则不变体元 (12.12) 可以写成

$$\begin{aligned} d\mathfrak{M} &= dP \wedge d\mathfrak{M}_{(O)} \\ &= dP \wedge du_{n-1} \wedge du_{n-2} \wedge \cdots \wedge du_1. \end{aligned} \quad (12.13)$$

绕一个 q 维平面的转动. 在 E_n 中, 令一个 q 维平面 L_q 内的一切点都不动的运动构成绕 L_q 的转动群 $\mathfrak{M}_{(L_q)}$. 若用一个和 L_q 正交的 $n-q$ 维平面 L_{n-q} 和 L_q 相交, 则群 $\mathfrak{M}_{(L_q)}$ 显然和欧氏空间 L_{n-q} 内绕 $O = L_q \cap L_{n-q}$ 的转动群 $\mathfrak{M}_{(O)}^{(n-q)}$ 同构. 故 $\mathfrak{M}_{(L_q)}$

是单模群，而根据(12.11)，它的总体积是

$$m(\mathfrak{M}_{(q)}) = 2O_{n-q-1}O_{n-q-2}\cdots O_1. \quad (12.14)$$

在以上一切款，若动标 $(p; e_i)$ 的定向和原标架 $(p_0; e_i^0)$ 相同，则 $\det a = 1$ ，我们所得的是正常转动群或正常运动群。总测度(12.11)或(12.14)为其对应的正常群的总测度的两倍。

2. E_n 里线性空间密度

我们要对于 E_n 内的 r 维平面确定一个运动群下不变的测度。设 \mathfrak{S}_r 表示令一个固定的 L_r^0 不变的运动群。显然 \mathfrak{S}_r 在 \mathfrak{M} 内是闭的。若 $g \in \mathfrak{M}$ ，则对应于每个旁集 $g\mathfrak{S}_r$ ，有一个 r 维平面 gL_r^0 ；而反过来，对应于每一个 L_r ，有一个旁集 $g\mathfrak{S}_r$ ，其中 g 是使 $L_r = gL_r^0$ 的一个运动。即：在 E_n 的 r 维平面和齐性空间 $\mathfrak{M}/\mathfrak{S}_r$ 的元素之间有一宗一一对应。求 r 维平面的集合的不变密度问题就等价于求 $\mathfrak{M}/\mathfrak{S}_r$ 上的不变密度问题。我们将应用第十章的一般方法。

群 \mathfrak{S}_r 是绕 L_r^0 的转动群 \mathfrak{M}_r 和 L_r^0 内的运动群 \mathfrak{M}' 的直积。由于 \mathfrak{M}_r 和 \mathfrak{M}' 是单模群，它们的积 $\mathfrak{S}_r = \mathfrak{M}_r \times \mathfrak{M}'$ 也是单模群。因此，根据第十章第 1 节的结论(c)，齐性空间 $\mathfrak{M}/\mathfrak{S}_r$ ($r = 0, 1, \dots, n-1$) 有不变密度。这个不变密度叫做 r 维平面密度，并用 dL_r 表示。我们将算得 dL_r 的显式。设 $(p; e_i)$ 为 E_n 内的一个动标。设 L_r^0 为 p 点以及 r 个么矢 e_1, e_2, \dots, e_r 所确定的 r 维空间。若令 L_r^0 固定，则 p 和矢量 e_1, \dots, e_r 只能在 L_r^0 上变动，因此，

$$dp \cdot e_a = 0 \quad (a = r+1, \dots, n),$$

$$de_i \cdot e_\beta = 0 \quad (\beta = r+1, \dots, n; \quad i = 1, 2, \dots, r).$$

所以，根据(12.3)，

$$\omega_a = 0, \quad \omega_{i\beta} = 0, \quad (12.15)$$

其中指标的范围是

$$\alpha, \beta = r+1, r+2, \dots, n, \quad i = 1, 2, \dots, r. \quad (12.16)$$

(12.15)是一般理论中的 Pfaff 系, $\mathfrak{M}/\mathfrak{S}_r$ 的不变密度可以写成

$$d(\mathfrak{M}/\mathfrak{h}_r) = \bigwedge \omega_{i\beta} \bigwedge \omega_\alpha, \quad (12.17)$$

其中指标范围是(12.16). 虽然我们不知道这个微分式对于 $\mathfrak{M}/\mathfrak{S}_r$ 是不变密度, 我们仍可以作为练习, 用结构方程(12.5)验证条件(10.3)得到满足. 于是可知:

对于 E_n 里 r 维平面的集合, 存在着密度, 它用

$$dL_r = \bigwedge \omega_{i\beta} \bigwedge \omega_\alpha \quad (12.18)$$

确定, 其中 $\omega_\alpha, \omega_{i\beta}$ 是(12.3)里的一次式, 其指标范围是(12.16).

除一个常数因子外, 密度 dL_r 唯一确定, 它是 $(n-r)(r+1)$ 次式; 而这是可以预期的, 因为 E_n 的 r 维平面所构成的空间维数是 $(n-r)(r+1)$. 关于齐式(12.18)的不变性的直接证明, 见 [36, 664, 274].

例 考虑 $n=2, r=1$ 的款. 我们有

$$dL_1 = \omega_{12} \wedge \omega_3 = (de_1 \circ e_2) \wedge (dp \circ e_3).$$

若 x, y 为 p 的坐标而 $e_1(\cos\theta, \sin\theta), e_2(-\sin\theta, \cos\theta)$, 则

$$\omega_{12} = d\theta, \quad \omega_3 = -\sin\theta dx + \cos\theta dy,$$

因而

$$dL_1 = -\sin\theta d\theta \wedge dx + \cos\theta d\theta \wedge dy,$$

而这就是平面上直线密度的齐式(3.11).

3. 一个微分公式

设 r, p_1, \dots, p_r 为 E_n 里 $p+1$ 个点. 设 p 为动标 $(p; e_i)$ 的原点, 而 L_r 为 $(p; e_1, e_2, \dots, e_r)$ 所确定的 r 维平面, 则

$$p_i - p = \sum_{j=1}^r \lambda_{ij} e_j.$$

$$dp_i - dp = \sum_{j=1}^r d\lambda_{ij} e_j + \sum_{j=1}^r \lambda_{ij} de_j \quad (i=1, \dots, r).$$

乘以 $e_a (a = r+1, \dots, n)$, 得

$$dp_i \cdot e_a = dp \cdot e_i = \sum_{j=1}^r \lambda_{ij} e_a \cdot de_j,$$

或

$$dp_i \cdot e_a = \omega_i + \sum_{j=1}^r \lambda_{ij} \omega_{aj} \quad (a = r+1, \dots, n).$$

对于 $i = 1, 2, \dots, r$, 取这些量以及 $dp \cdot e_a = \omega_a$ 的外积, 得

$$(dp \cdot e_a) \bigwedge_i (dp_i \cdot e_a) = r! S \omega_a \bigwedge_i \omega_{aj} \quad (i, j = 1, 2, \dots, r). \quad (12.19)$$

其中

$$r! S = \begin{vmatrix} 1 & 0 & 0 & \dots & 0 \\ 1 & \lambda_{11} & \lambda_{12} & \dots & \lambda_{1r} \\ \dots & \dots & \dots & \dots & \dots \\ 1 & \lambda_{r1} & \lambda_{r2} & \dots & \lambda_{rr} \end{vmatrix}, \quad (12.20)$$

即 S 等于含于 L_r 内而以 p, p_1, \dots, p_r 为顶的单纯形的体积。对于 $a = r+1, \dots, n$, 取(12.19)中诸量的外积, 得

$$\bigwedge_a (dp \cdot e_a) \bigwedge_i (dp_i \cdot e_a) = (r! S)^{n-r} dL_r. \quad (12.21)$$

E_n 在 p_i 的体元可以写作

$$dP_i(E_n) = \bigwedge_h (dp_i \cdot e_h) \quad (h = 1, 2, \dots, n),$$

而 L_r 在 p_i 的体元是

$$dP_i(L_r) = \bigwedge_j (dp_i \cdot e_j) \quad (j = 1, 2, \dots, r).$$

因此, 取(12.21)和

$$\bigwedge_h (dp_i \cdot e_h) \bigwedge_j (dp_i \cdot e_j) \quad (h, i, j = 1, 2, \dots, r),$$

的外积, 就得

$$\begin{aligned} dP(E_n) \wedge dP_1(E_n) \wedge \cdots \wedge dP_r(E_n) \\ = (r+1)S^{r-1} dP_1(L_r) \wedge \cdots \wedge dP_r(L_r) \wedge dL_r. \end{aligned} \quad (12.22)$$

这是 Blaschke 所得到的很有用的公式。Petkantschin[471]和 Kingman[337]得到了类似公式。Miles[420]把(12.22)应用于随机几何中的问题。例如, 用于确定 E_n 中各种异向同性的随机 r 维单纯形($r=1, 2, \dots, n$)的随机体积的一切矩。

作为(12.22)的特款, 有

(a) $r=1$. 设 P, P_1 为 E_n 中直线 L_1 上两点。若 t, t_1 为它们在 L_1 上的坐标, 则 $dP(L_1) = dt$, $dP_1(L_1) = dt_1$, $S = t_1 - t$, 而(12.22)化为(取 S 的绝对值)

$$dP(E_n) \wedge dP_1(E_n) = |t_1 - t|^{n-1} dt \wedge dt_1 \wedge dL_1, \quad (12.23)$$

而 $n=2$ 时, 这就是公式(4.2)。

(b) $r=n-1$. 若 p, p_1, \dots, p_{n-1} 为超平面 L_{n-1} 的 n 个独立点, 则

$$\begin{aligned} dP(E_n) \wedge dP_1(E_n) \wedge \cdots \wedge dP_{n-1}(E_n) \\ = (n-1)! S dP(L_{n-1}) \wedge dP_1(L_{n-1}) \wedge \cdots \\ \wedge dP_{n-1}(L_{n-1}) \wedge dL_{n-1}. \end{aligned} \quad (12.24)$$

4. 绕一个固定 q 维平面的 r 维平面密度

设在 E_n 里, 固定一个 q 维平面 L_q^0 . 我们要求含 L_q^0 在内的 r 维平面 L_r ($r > q$) 的密度。假定 L_q^0 为 p 点和 q 个矢 e_1, e_2, \dots, e_q 所确定, 考虑 L_q^0 和 q 个矢 e_{q+1}, \dots, e_r 所确定的 r 维平面 L_r^0 . 一切令 L_q^0 固定的运动所构成的群 $\mathfrak{S}_{r(q)}$, 作为一切令 L_q^0 固定的运动群 \mathfrak{S}_q 的子群, 确定于

$$\omega_{hi} = 0, \quad i = q+1, \dots, r, h = r+1, \dots, n, \quad (12.25)$$

这是因为 e_{q+1}, \dots, e_r 只能在 L_q^0 内变动。因此, $\mathfrak{S}_q/\mathfrak{S}_{r(q)}$ 的不变

体元是 $\bigwedge_{h,i} \omega_{hi}$, 而这又等于绕 L_q^0 的 r 维平面的密度, 故得

$$dL_{r(q)} = \bigwedge_{h,i} \omega_{hi} \quad (i = q+1, \dots, r; h = r+1, \dots, n). \quad (12.26)$$

从 \mathfrak{D} 的结构方程(12.5)可知 $d(dL_{r(q)}) = 0$. 所以, 根据(10.3), 空间 $\mathfrak{D}_q/h_{r(q)}$ 有不变密度(12.26), 因而可得以下结论:

E_n 里绕一个 q 维平面的 r 维平面 $r(q < r \leq n-1)$ 有不变密度, 它用(12.26)表示.

令 $q = 0$, 我们得到绕一个固定点的 r 维平面的密度

$$dL_{r(0)} = \bigwedge_{h,i} \omega_{hi} \quad (i = 1, 2, \dots, r; h = r+1, \dots, n), \quad (12.27)$$

这就是 Grassmann 流形 $G_{r,n-r}$ 的不变体元. 我们提醒读者, Grassmann 流形 $G_{n,p}$ 是经过 R^{n+p} 的原点的 n 维平面所构成的集合, 但带有适当的微分流形结构(例如参看[341a]).

在 r 维平面 $L_{r(0)}$ 和它们的正交余(空间) $L_{n-r(0)}$ 之间, 有对偶关系

$$dL_{r(0)} = dL_{n-r(0)}, \quad (12.28)$$

这从(12.27)和(12.3)可以立刻看到.

含 L_0^0 在内的一切 L_r 有有限的测度. 为了计算这个测度, 先考虑 $q = 0$ 的款. 设 $L_{n-1(0)}$ 为经过动标 $(p; e_1)$ 的原点 p 而垂直于 e_1 的 $n-1$ 维平面. 用 $L_{r-1(0)}$ 表示 $r-1$ 维平面 $L_{r(0)} \cap L_{n-1(0)}$, 则 $L_{r-1(0)}$ 在 $L_{n-1(0)}$ 的密度是

$$dL_{r-1(0)}^{(n-1)} = \bigwedge_{h,i} \omega_{hi} \quad (i = 2, \dots, r; h = r+1, \dots, n). \quad (12.29)$$

由于在 U_{n-1} 上, 在 e_1 终点的体元是

$$du_{n-1} = \omega_{21} \wedge \omega_{31} \wedge \dots \wedge \omega_{n1},$$

由(12.27)和(12.29), 得

$$dL_{r(0)} \wedge \omega_{21} \wedge \omega_{31} \wedge \dots \wedge \omega_{r1} = dL_{r-1(0)}^{(n-1)} \wedge du_{n-1}. \quad (12.30)$$

若用 du_{r-1} 表示 $L_{r(0)}$ 里 $r-1$ 维么球的体元, 则(12.30)可以写成

$$dL_{r+1,0} \wedge du_{r-1} = (dL_{r+1,0}^{(r+1)} \wedge du_{r-1}). \quad (12.31)$$

取(12.31)两边和 du_{r-2} 的外积, 就得(不计较符号)

$$\begin{aligned} dL_{r+1,0} \wedge du_{r-1} \wedge du_{r-2} \\ &= dL_{r+1,0}^{(r+1)} \wedge du_{r-2} \wedge du_{r-1} \\ &= dL_{r+2,0}^{(r+2)} \wedge du_{r-1} \wedge du_{r-2}. \end{aligned} \quad (12.32)$$

接连取两边和 $du_{r-3}, \dots, du_{n-q}$ 的外积, 每次利用(12.31), 就得

$$dL_{r+1,0} \wedge du_{r-1} \wedge \dots \wedge du_{n-q} = du_{n-1} \wedge \dots \wedge du_{n-q}. \quad (12.33)$$

当 $q = r - 1$ 时, 由于 $L_{r+1,0}^{(r+1)} = du_{n-r}$, 就有

$$dL_{r+1,0} \wedge du_{r-1} \wedge \dots \wedge du_n = du_{n-1} \wedge \dots \wedge du_{n-r}. \quad (12.34)$$

在么球 $U_{n-1}, U_{n-2}, \dots, U_1$ 的半球上取积分, 并(由于我们考虑的是不定向的 $L_{r+1,0}$)除以 $O_0 = 2$, 我们得:

E_n 内, 经过一个固定点的不空向 r 维平面的总测度(即 Grassmann 流形 $G_{r,n-1}$ 的体积)是

$$\begin{aligned} m(G_{r,n-1}) &= m(G_{n-r,r}) \\ &= \int_{G_{r,n-1}} dL_{r+1,0} = \frac{O_{n-1}O_{n-2}\dots O_{n-r}}{O_{r-1}O_{r-2}\dots O_1O_0}, \end{aligned} \quad (12.35)$$

其中 O_i 是 i 维么球的表面积(1.22)。

一切 $L_{r,q}$ 的测度, 即 E_n 里含一个已给 L_q 的一切 r 维平面的测度, 可以从(12.35)推得. 设 $L_{n-q,0}$ 为垂直于 L_q 的一个 $n-q$ 维平面, 而令 O 为其交点. 每一个 $L_{r,q}$ 可以用交集 $L_{r,q} \cap L_{n-q,0}$ 确定, 而这是经过 O 的一个 $n-q$ 维平面. 因此 E_n 里一切 $L_{r,q}$ 的测度等于 $L_{n-q,0}$ 里一切 $L_{r-q,0}$ 的测度. 于是(12.35)给出

$$\int_{\text{全部}} dL_{r,q} = \frac{O_{n-q-1}O_{n-q-2}\dots O_{n-r}}{O_{r-q-1}O_{r-q-2}\dots O_1O_0}. \quad (12.36)$$

例1 在 E_3 里, 经过一点的一切直线的测度对应于 $n=3$, $r=1$, $q=0$, 因而由(12.36)可知其值为 2π .

例2 在 E_3 里, 经过一条直线的一切平面的测度对应于

$n=3, r=2, q=1$, 因而由(12.36)可知其值为 π .

注意我们所考虑的是不定向 r 维平面. 若考虑的是定向 r 维平面, 上述测度都得加倍.

5. E_n 里 r 维平面密度的另一式

公式(12.18)所表达的 dL_r 是通过 L_r 里面一点 p 和 r 个正交么矢量来得到的. 有时我们利于引进经过一点定点 O 而垂直于 L_r 的 $n-r$ 维平面内的一些元素来得到 dL_r 的表达式. 为此, 设 $L_{n-r|0}$ 为经过 O 而垂直于 L_r 的 $n-r$ 维平面, p 为交点 $L_r \cap L_{n-r|0}$. 设 ρ 为距离 Op . 选取正交标架 $(p; e_i)$, 设 p, e_1, \dots, e_r 在 L_r 内, 而 e_{r+1} 沿 Op 方向. 一次式 $\omega_{r+h} = dp \cdot e_{r+h}$ 是 $L_{n-r|0}$ 在 p 点沿 e_{r+h} 方向的弧素. 于是 $\omega_{r+1} \wedge \omega_{r+2} \wedge \dots \wedge \omega_n$ 是 $L_{n-r|0}$ 在 p 的体元; 若用 $d\sigma_{n-r}$ 表示这个体元, 则

$$d\sigma_{n-r} = \omega_{r+1} \wedge \omega_{r+2} \wedge \dots \wedge \omega_n. \quad (12.37)$$

由(12.27)和(12.28), 可知 $\bigwedge \omega_{hj} (h=r+1, \dots, n; j=1, 2, \dots, r)$ 等于 $dL_{n-r|0}$, 因此

$$dL_r = d\sigma_{n-r} \wedge dL_{n-r|0}. \quad (12.38)$$

例1 $n=2, r=1$. 这对应于平面上的直线. 这时 $L_{1|0}$ 是经过 O 而垂直于 L_1 的直线而 $d\sigma_1$ 是 $L_{1|0}$ 上的弧元. 另一方面, $L_{1|0}$ 是经过 O 的直线的密度, 即 $dL_{1|0} = d\phi$, 其中 ϕ 是 $L_{1|0}$ 和一个固定参考方向所作的角. 用这些记号, 由(12.38)就得(3.5).

例2 $r=1$. E_n 里一条 L_1 可决定于它的方向以及它同那个经过 O 而垂直于它的超平面 $L_{n-1|0}$ 的交点 p . 密度 $dL_{n-1|0}$ 是么球 U_{n-1} 上在平行于 L_1 的矢量 e_1 的终点的体元, 而 $d\sigma_{n-1}$ 是 $L_{n-1|0}$ 在 p 的体元. 我们有

$$dL_1 = d\sigma_{n-1} \wedge du_{n-1}. \quad (12.39)$$

例3 $r=n-1$. 设 ρ 为从原点 O 到超平面 L_{n-1} 的距离; 则 $d\sigma_1 = d\rho$. 密度 $dL_{1|0}$ 是么球 U_{n-1} 在经过 O 而垂直于 L_{n-1} 的矢

量 e_n 终点的体元 du_{n-1} 。于是有

$$dL_{n-1} = d\rho \wedge du_{n-1}. \quad (12.40)$$

$n=2$ 时, 我们再次得到平面上直线的密度表达式(3.5)。

6. 线性空间偶

(1) 设 L_{n-1} 和 L_{n-1}^* 为 E_n 里两个超平面。设 dL_{n-2} 为交集

$$L_{n-2} = L_{n-1} \cap L_{n-1}^*$$

的密度, 而 $d\phi_1, d\phi_2$ 是 L_{n-1} 和 L_{n-1}^* 绕 L_{n-2} 的密度。我们将通过 dL_{n-1} 和 $d\phi_1, d\phi_2$ 来表达 $dL_{n-1} \wedge dL_{n-1}^*$ 。

为此目的, 我们考虑么模正交标架 $(p; e_1, \dots, e_n), (p; e_1, e_2, \dots, e_{n-2}, e_{n-1}^*, e_n^*)$ 和 $(p; e_1, \dots, e_{n-2}, a, b)$, 其中 (a) $p; e_1, \dots, e_{n-2}$ 确定 L_{n-2} ; (b) e_{n-1} 在 L_{n-1} 内而 e_n 则是 L_{n-1} 的么法矢; (c) e_{n-1}^* 在 L_{n-1}^* 内而 e_n^* 则是 L_{n-1}^* 的么法矢; (d) a 与 b 为固定么矢。由(12.18)和(12.3), 我们有

$$dL_{n-1} = \bigwedge_i (de_i \cdot e_n) \wedge (dp \cdot e_n) \quad (i = 1, 2, \dots, n-1),$$

$$dL_{n-1}^* = \bigwedge_i (de_i \cdot e_n^*) \wedge (de_{n-1}^* \cdot e_n^*) \wedge (dp \cdot e_n^*) \\ (i = 1, 2, \dots, n-2),$$

$$dL_{n-2} = \bigwedge_i (de_i \cdot a)(de_i \cdot b) \wedge (dp \cdot a) \wedge (dp \cdot b) \\ (i = 1, 2, \dots, n-2). \quad (12.41)$$

用 ϕ_1 和 ϕ_2 表示 L_{n-1} 和 L_{n-1}^* 绕 L_{n-2} 的角, 它们等于 e_n 和 e_n^* 同 b 所作的角, 则

$$e_{n-1} = \cos\phi_1 a + \sin\phi_1 b, \quad e_n = -\sin\phi_1 a + \cos\phi_1 b, \\ e_{n-1}^* = \cos\phi_2 a + \sin\phi_2 b, \quad e_n^* = -\sin\phi_2 a + \cos\phi_2 b,$$

因而

$$(de_i \cdot e_n) \wedge (de_i \cdot e_n^*) = \sin(\phi_2 - \phi_1)(de_i \cdot a) \wedge (de_i \cdot b),$$

$$(d\mathbf{e}_{n-1} \cdot \mathbf{e}_n) = d\phi_1, \quad (d\mathbf{e}_{n-1}^* \cdot \mathbf{e}_n^*) = d\phi_2,$$

$$(dp \cdot \mathbf{e}_n) \wedge (dp \cdot \mathbf{e}_n^*) = \sin(\phi_2 - \phi_1)(dp \cdot \mathbf{a}) \wedge (dp \cdot \mathbf{b}). \quad (12.42)$$

由(12.41)和(12.42), 就得, 除一个符号外,

$$dL_{n-1} \wedge dL_{n-1}^* = \sin^{n-1}(\phi_2 - \phi_1) d\phi_2 \wedge d\phi_1 \wedge dL_{n-2}. \quad (12.43)$$

这就是我们所要得到的公式. $n=2$ 时, 我们就得(4.19).

(2) 我们可以推广(12.43)到满足 $r+s-n \geq 0$ 的子空间 L_r, L_s . 为此, 设 $L_{r+s-n} = L_r \cap L_s$, 并考虑以下各组经过 $p \in L_{r+s-n}$ 的正交么矢:

(a) $\mathbf{e}_1, \mathbf{e}_2, \dots, \mathbf{e}_{r+s-n}$, 它们确定 L_{r+s-n} ;

(b) $\mathbf{b}_1, \mathbf{b}_2, \dots, \mathbf{b}_{2n-r-s}$, 它们确定经过 p 而垂直于 L_{r+s-n} 的 $2n-r-s$ 维平面 L_{2n-r-s} ;

(c) $\mathbf{f}_1, \mathbf{f}_2, \dots, \mathbf{f}_{n-s}$, 它们在 L_r 内而垂直于 L_{r+s-n} ;

(d) $\mathbf{f}'_1, \mathbf{f}'_2, \dots, \mathbf{f}'_{n-r}$, 它们与 L_r 正交而垂直于 L_{r+s-n} ;

(e) $\mathbf{g}_1, \mathbf{g}_2, \dots, \mathbf{g}_r$, 它们在 L_s 内而垂直于 L_{r+s-n} ;

(f) $\mathbf{g}'_1, \mathbf{g}'_2, \dots, \mathbf{g}'_r$, 它们与 L_s 正交而垂直于 L_{r+s-n} .

令

$$\begin{aligned} \mathbf{f}_i &= \sum_{j=1}^{2n-r-s} a_{ij} \mathbf{b}_j, & \mathbf{f}'_i &= \sum_{j=1}^{2n-r-s} a'_{ij} \mathbf{b}_j, \\ \mathbf{g}_h &= \sum_{j=1}^{2n-r-s} \beta_{hj} \mathbf{b}_j, & \mathbf{g}'_i &= \sum_{j=1}^{2n-r-s} \beta'_{ij} \mathbf{b}_j, \end{aligned} \quad (12.44)$$

其中下标的范围是

$$i = 1, 2, \dots, n-s; \quad h = 1, 2, \dots, n-r; \quad j = 1, 2, \dots, 2n-r-s.$$

(12.45)

根据(12.18)和(12.3)我们有

$$dL_{r+s-n} = \bigwedge_i (dp \cdot \mathbf{b}_i) \bigwedge_{m,j} (d\mathbf{e}_m \cdot \mathbf{b}_j), \quad m = 1, 2, \dots, r+s-n,$$

$$dL_{r|r+s-n} = \bigwedge_{i,h} (d\mathbf{f}_i \cdot \mathbf{f}'_h), \quad dL_{s|r+s-n} = \bigwedge_{h,i} (d\mathbf{g}_h \cdot \mathbf{g}'_i),$$

$$dL_r = \bigwedge_h (dp \cdot \mathbf{f}'_h) \bigwedge_{m,h} (d\mathbf{e}_m \cdot \mathbf{f}'_h) \bigwedge_{i,h} (d\mathbf{f}_i \cdot \mathbf{f}'_h),$$

$$dL_s = \bigwedge_i (dp \cdot g'_i) \bigwedge_{m=1} (de_m \cdot g'_h) \bigwedge_{h,i} (dg_h \cdot g'_i).$$

把(12.44)代入以上各式, 并引进行列式

$$\Delta = \begin{vmatrix} f'_1 \cdot b_1 & f'_1 \cdot b_2 & \cdots & f'_1 \cdot b_{2n-r-s} \\ f'_2 \cdot b_1 & f'_2 \cdot b_2 & \cdots & f'_2 \cdot b_{2n-r-s} \\ \cdots \cdots & \cdots \cdots & \cdots & \cdots \cdots \cdots \cdots \\ f'_{s-r} \cdot b_1 & f'_{s-r} \cdot b_2 & \cdots & f'_{s-r} \cdot b_{2n-r-s} \\ g'_1 \cdot b_1 & g'_1 \cdot b_2 & \cdots & g'_1 \cdot b_{2n-r-s} \\ \cdots \cdots & \cdots \cdots & \cdots & \cdots \cdots \cdots \cdots \\ g'_{s-s} \cdot b_1 & g'_{s-s} \cdot b_2 & \cdots & g'_{s-s} \cdot b_{2n-r-s} \end{vmatrix} \quad (12.46)$$

就不难获得所求公式

$$dL_r \wedge dL_s = \Delta^{r+s-s+1} dL_{r[r+s-n]} \wedge dL_{s[r+s-n]} \wedge dL_{r+s-n}. \quad (12.47)$$

(3) 最后, 考虑线性空间偶 $(L_r, L_{i+1}^{(r)})$ 中, $L_{i+1}^{(r)} \subset L_r (i+1 < r)^{(1)}$ 那部分的集合. 选择动标 $(p; e_1, e_2, \dots, e_n)$, 使 p, e_1, \dots, e_{i+1} 属于 $L_{i+1}^{(r)}$ 而 p, e_1, \dots, e_r 属于 L_r . 根据(12.18), 在 L_r 里, $i+1$ 维平面 $L_{i+1}^{(r)}$ 的密度是

$$dL_{i+1}^{(r)} = \bigwedge_{j,\beta} \omega_{j\beta} \bigwedge_a \omega_a, \quad (12.48)$$

其中

$$j = 1, 2, \dots, i+1; \quad a, \beta = i+2, \dots, r. \quad (12.49)$$

另一方面, 根据(12.26), 绕 $L_{i+1}^{(r)}$ 的 L_r 的密度是

$$dL_{r(i+1)} = \bigwedge_{h,a} \omega_{ha}, \quad h = r+1, \dots, n, a = i+2, \dots, r. \quad (12.50)$$

此外, 由(12.18)可得

$$dL_{i+1} = \bigwedge_{j,m} \omega_{jm} \bigwedge_h \omega_h, \quad m, h = i+2, \dots, n, j = 1, 2, \dots, i+1.$$

(12.51)

① 原书作 $i+1 \leq r$. ——译者

由以上结果可得

$$dL_{i+1}^{(r)} \wedge dL_i^* = dL_{r(i+1)} \wedge dL_{i+1}, \quad (12.52)$$

其中左边的 r 维平面 L_r 是有向的, 因为每一个含 $L_{i+1}^{(r)}$ 在内的不定向 L_r 确定两个不同向而含 $L_{i+1}^{(r)}$ 在内的 $L_{r(i+1)}$.

若只考虑经过 E_n 的一个固定点的线性空间, (12.52) 仍然成立, 这时它可以写成

$$dL_{i+1(0)}^{(r)} \wedge dL_{i(0)}^* = dL_{r(i+1)} \wedge dL_{i+1(0)}. \quad (12.53)$$

Petkantsin[471]获得了像(12.52)和(12.53)那样性质的公式以及更一般的公式.

例 令 $n=3, r=2, i=0$. 设 dG 为 E_3 中直线密度, dE 为平面密度, $dE(G)$ 为平面绕 G 的密度, 而 $dG(E)$ 为 E 上的直线密度, 则(12.52)化为

$$dG(E) \wedge dE^* = dE(G) \wedge dG. \quad (12.54)$$

7. 注记

(1) Stiefel 流形. 考虑 E_{r+n} 里经过原点 O 的一切幺模正交标架 (e_1, e_2, \dots, e_r) 所构成的集合. 这个集合可以按一种自然的方式形成一个流形, 称为 Stiefel 流形 $S_{r,n}$. 若以矢量 e_i 对于一个固定的幺模正交标架的分量为矩阵的列, 就得一个 $(n+r) \times r$ 矩阵 A , 而 $A^t A = e$ ($r \times r$ 幺方阵). 这样的矩阵 A 的集合就是 Stiefel 流形. 例如 $S_{r,0}$ 是正交 $r \times r$ 方阵的集合, 可以和正交群 $O(r)$ 等同. 一般地, $S_{r,n}$ 可以和齐性空间 $O(r+n)/O(n)$ 等同.

r 维标架集合在绕 O 的转动群下的不变密度可以按以下方法求得. 设 $(\varepsilon_1, \varepsilon_2, \dots, \varepsilon_n)$ 为幺模正交标架, 它和 (e_1, \dots, e_r) 一起构成 E_{r+n} 的一个幺模正交标架. 确定 r 维标架 (e_1, e_2, \dots, e_r) 的 Pfaff 系(10.1)是

$$\omega_{ih} = e_i \cdot de_h, \quad \phi_{ah} = \varepsilon_a \cdot de_h = 0 \quad (1 \leq i, h \leq r; 1 \leq a \leq n).$$

因此, Stiefel 流形的体元是

$$dS_{r,n} = \bigwedge_{i < k} \omega_{ih} \bigwedge_{a, b} \phi_{ak} \quad (1 \leq i, h, k \leq r; 1 \leq a \leq n). \quad (12.55)$$

仿照第 1 节中关于正交群所采用的推理, 可以证明, (12.55) 可以写作

$$dS_{r,n} = du_{r+n-1} \wedge \cdots \wedge du_n,$$

因而 Stiefel 的总体积是

$$m(S_{r,n}) = \int_{S_{r,n}} dS_{r,n} = O_{r+n-1} O_{r+n-2} \cdots O_n. \quad (12.56)$$

特殊地, $n=0$ 时, 得 $O(r)$ 的体积 $= M_{0,0}$.

(2) 一些微分公式. (a) 设 $L_{r, \{0\}}$ 和 $L_{s, \{0\}}$ 为 E_n 中经过 O 的两个正交的子空间. 假定 $r+s \geq n$. 可以证明

$$dL_{r, \{0\}} \wedge dL_{s, \{n-r\}} = dL_{s, \{0\}} \wedge dL_{r, \{n-s\}}, \quad (12.57)$$

其中 $dL_{s, \{n-r\}}$ 表示 L_s 绕垂直于 L_r 的 $(n-r)$ 维平面的密度, $dL_{r, \{n-s\}}$ 的意义与此类似.

(b) 设 L_{n-p}^0 为固定 $(n-p)$ 维平面. 设 $L_i^{(0)}$ 为一个已给的 L_i 在 L_{n-p}^0 上的正投影 (假定 $i < n-p$), 而令 L_{i+p} 为含 L_i 和 $L_i^{(0)}$ 在内而垂直于 L_{n-p}^0 的 $(i+p)$ 维平面, 则可以证明

$$dL_i(E_n) = dL_i^0(L_{n-p}^0) \wedge dL_i(L_{i+p}), \quad (12.58)$$

其中 $dL_i(L)$ 表示 L_i 在 L 里的密度.

(c) 设 L_r 和 L_s 为 E_n 中两个线性子空间, $r+s \geq n$. 若 $L_{r+s-n} = L_r \cap L_s$, 取一个垂直于 L_{r+s-n} 的 $(2n-r-s)$ 维平面 L_{2n-r-s} , 并设 O 为交点 $L_{2n-r-s} \cap L_{r+s-n}$, 令 $L_{n-r}^* = L_{2n-r-s} \cap L_r$, $L_{n-s}^* = L_{2n-r-s} \cap L_s$, 并考虑 $L_{2n-r-s-1}$ 里以 O 为中心的么球 $U_{2n-r-s-1}$. 交集 $U_{2n-r-s-1} \cap L_{n-r}^*$ 和 $U_{2n-r-s-1} \cap L_{n-s}^*$ 是 U_{2n-r-s} 的大圆. 考虑和 U_{n-r-1}^*, U_{n-s-1}^* 都垂直相交的大圆, 并令 $\theta_1, \theta_2, \dots$ 为各交点之间的球面距离. 这些距离 $\theta_1, \theta_2, \dots$ 称为 L_r 和 L_s 之间的角.

现在考虑一个固定的 L_s , 用 L_s^0 表示, 以及一个变动的 L_r .

我们要通过作为 L_0^n 里一个 $(r+s-n)$ 维平面的 $L_{r+s-n} = L_r \cap L_s$ 的密度 $dL_{r+s-n}^{(s)}$ 和 L_r 绕 L_{r+s-n} 的密度 $dL_{r[r+s-n]}$ 来表达密度 dL_r 。其结果是

$$dL_r = (\sin \theta_1 \sin \theta_2 \cdots)^{r+s-n+1} dL_{r+s-n}^{(s)} \wedge dL_{r[r+s-n]}. \quad (12.59)$$

例1 $r=s=1, n=2$ 。这时(12.59)和(3.7)一致。

例2 $r=1, s=2, n=3$ 。这时

$$dL_1 = \sin \theta \, dP \wedge du_2, \quad (12.60)$$

其中 $dP = dL_0^{(2)}$ 是平面 L_2^0 在交点 $P = L_1 \cap L_2^0$ 的面素 du_2 是直线绕 P 的密度, 而 θ 是 L_1 和 L_2^0 之间的角。

(3) 通过共生的截痕来表示的体积。设 P_1, P_2, \dots, P_{n-1} 为 E_n 的点, $T(P_1, P_2, \dots, P_{n-1}, O)$ 为以 P_1, \dots, P_{n-1}, O 为顶点的单纯形的体积 (O 是一个作为坐标原点的固定点)。由(12.22), 易得

$$\begin{aligned} & dP_1(E_n) \wedge dP_2(E_n) \wedge \cdots \wedge dP_{n-1}(E_n) \\ &= (n-1)! T(P_1, \dots, P_{n-1}, O) dP_1(L_{n-1}) \\ & \quad \wedge \cdots \wedge dP_{n-1}(L_{n-1}) \wedge du_{n-1}, \end{aligned} \quad (12.61)$$

其中 L_{n-1} 表示 $P_1, P_2, \dots, P_{n-1}, O$ 所确定的 $(n-1)$ 维平面, 而 $du_{n-1} = dL_{n-1}$ 表示 $n-1$ 维么球面 U_{n-1} 上在 L_{n-1} 的么法矢终点的面积元素。

若 $K_i (i=1, 2, \dots, n-1)$ 为 $E_n (n \geq 3)$ 里的凸体, 而 $K_i(L_{n-1}) = K_i^*$ 表示截痕 $K_i \cap L_{n-1}$, 则在一切 $P_i \in K_i$ 范围内积分, 得

$$\begin{aligned} & V_1 V_2 \cdots V_{n-1} \\ &= \frac{(n-1)!}{2} \int_{U_{n-1}} \left(\int_{K_1^*} \cdots \int_{K_{n-1}^*} T(P_1, \dots, P_{n-1}, O) dP_1(L_{n-1}) \right. \\ & \quad \left. \wedge \cdots \wedge dP_{n-1}(L_{n-1}) \right) du_{n-1}, \end{aligned} \quad (12.62)$$

其中 V_i 是 K_i 的体积, 而因子 $\frac{1}{2}$ 的出现则是因为在 U_{n-1} 上取积分时, 每一个 $K_i(L_{n+1})$ 计入两次。

若用以 O 为中心的 n 球 S_n 代替集合 $K_{n-k+1}, \dots, K_{n-1}$, 则经过一些运算, 可由 (12.62) 获得用体积 $T(P_1, \dots, P_{n-1}, O)$ 表达的关于 $V_1 V_2 \dots V_{n-1}$ 的若干公式。例如 $h = n - 1$ 时, 由 (12.62) 可得人们已知的公式

$$V_i = \frac{1}{n} \int_{U_{n-1}} r^n du_{n-1}, \quad (12.63)$$

其中 r 是从 O 沿 u_{n-1} 方向到 ∂K_i 上的点的距离。计算过程在 Busemann [75] 中可以看到。若 $V_i^* = V_i(L_{n-1})$ 表示截痕 K_i^* 的 $(n-1)$ 维体积, Busemann 还证明了不等式

$$V_1 V_2 \dots V_{n-1} \geq \frac{1}{2} \frac{\kappa_n^{n-1}}{\kappa_{n-1}^{n-1}} \int_{U_{n-1}} (V_1^* V_2^* \dots V_{n-1}^*)^{n/(n-1)} du_{n-1}, \quad (12.64)$$

其中 κ_i 表示 i 维 n 球的体积 (1.22), 而只有当 K_i 是以 O_i 为中心的同位相似椭球时, 等式才成立。特殊地, $n \geq 3$ 时, 对于凸体 K , 我们有

$$V^{n-1} \geq \frac{1}{n} \frac{\kappa_n^{n-1}}{\kappa_{n-1}^{n-1}} \int_{U_{n-1}} (V^*)^n du_{n-1}, \quad (12.65)$$

而若 $V > 0$, 其中等式只对于以 O 为中心的椭球成立。

Petty [473] 给出了这些结果以及其他同类关系的解释。

(4) E_n 里的平均密度。设有限的质量按函数 $\phi(P)$ 分布于整个 E_n , 这就是说, $\phi(P)$ 是 E_n 中一个可测的非负实函数, 它在 E_n 里每个有界集上是有界的 ($n \geq 2$)。 ϕ 的平均密度 $\delta(\phi)$ 的定义 (假定极限存在) 是

$$\delta(\phi) = \lim_{R \rightarrow \infty} \left(\int_{B_R} \phi(P) dP \right) \kappa_n^{-1}(R),$$

其中 $\kappa_n(R)$ 表示半径为 R 的 n 维球体 S_R 的体积. 设 $H = L_{n-1}$ 是经过 O 的一个超平面, 而 ϕ_H 是把 ϕ 限制于 H 所得的函数. 若对于每一个经过 O 的 H , $\delta(\phi_H)$ 存在, 则 $\delta(\phi) \geq \inf \delta(\phi_H)$, 而若 $\delta(\phi)$ 又是有界的, 则 $\delta(\phi) \leq \sup \delta(\phi_H)$, 在这里 \inf 和 \sup 都是对于经过 O 的超平面集合说的. 这是 Groemer [241] 的结果. 考虑用经过 O 的 r 维平面来代替超平面并对新情况作出分析.

(5) E_3 里的平面密度和直线密度. 我们要给出 E_3 里的平面密度和直线密度的各种表达式, 它们都容易从一般公式 (12.18) 和 (12.38) 通过对其中微分齐式的变数变换得到. 为简便起见, 我们用 E 表示平面, 用 G 表示直线来代替前面所用的一般记号 L_2 和 L_1 .

根据 (12.40), 平面密度是 $dE = dp \wedge du_2$, 其中 p 是从原点到 E 的距离而 $du_2 = \sin \theta d\phi \wedge d\theta$ 是么球面 U_2 上, 在 E 的么法矢终点的面元 (θ, ϕ 是 U_2 上的极坐标).

(a) 若 E 用方程 $ax + \beta y + \gamma z = 1$ 确定, 则

$$\alpha = p^{-1} \cos \phi \sin \theta, \quad \beta = p^{-1} \sin \phi \sin \theta, \quad \gamma = p^{-1} \cos \theta,$$

而

$$d\alpha \wedge d\beta \wedge d\gamma = p^{-4} \sin \theta dp \wedge d\phi \wedge d\theta,$$

故平面密度化为

$$dE = \frac{d\alpha \wedge d\beta \wedge d\gamma}{(\alpha^2 + \beta^2 + \gamma^2)^{3/2}}. \quad (12.66)$$

(b) 若 a, b, c 为平面在一个直角坐标系的坐标轴上的截距, 则 $\alpha = 1/a, \beta = 1/b, \gamma = 1/c$, 因而

$$dE = \frac{a^2 b^2 c^2 da \wedge db \wedge dc}{(b^2 c^2 + c^2 a^2 + a^2 b^2)^{3/2}}. \quad (12.67)$$

(c) 设 E_0 为 E_3 里固定平面. 一个平面可以用直线 $G = E \cap E_0$ 和 E, E_0 之间的角 ψ 来确定. 故

$$dE = \sin^2 \psi dG(E_0) \wedge d\psi, \quad (12.68)$$

其中 $dG(E_0)$ 表示 E_0 上的直线密度. 这个公式曾用来解决下面

关于平面的课题：从空间平面在一个或几个固定平面上的截痕的角分布来得到空间平面的角分布(见[435])。

根据(12.39)，直线 G 的密度是 $dG = d\sigma_2 \wedge du_2$ ，其中 $d\sigma_2$ 是在一个垂直于 G 的平面上，在交点的面元，而 du_2 是 U_2 上，在平行于 G 的么矢的终点的面元。

(a) 若 G 用它的方向和它同一个固定平面的交点 (x, y) 确定，设 γ 表示 G 同固定平面法线之间的角，则

$$dG = |\cos \gamma| dx \wedge dy \wedge d\gamma. \quad (12.69)$$

(b) 若 ν_1, ν_2, ν_3 为 G 的方向余弦，则 $du_2 = (d\nu_1 \wedge d\nu_2)/\nu_3$ ， $\nu_3 = \cos \gamma$ ，于是(12.69)可以写成

$$dG = d\nu_1 \wedge d\nu_2 \wedge dx \wedge dy. \quad (12.70)$$

(c) 若在一个直角坐标系里， G 用方程 $x = az + m, y = bz + q$ 确定，则它的方向余弦是

$$\begin{aligned} \nu_1 &= a(1 + a^2 + b^2)^{-1/2}, \quad \nu_2 = b(1 + a^2 + b^2)^{-1/2}, \\ \nu_3 &= (1 + a^2 + b^2)^{-1/2}, \end{aligned}$$

它和 (x, y) 平面的交点是 $x = m, y = q$ ，于是(12.70)化为

$$dG = (1 + a^2 + b^2)^{-2} da \wedge db \wedge dm \wedge dq, \quad (12.71)$$

一个双参数平面族的直线(叫做线汇)有两个不变密度。第一个是直线的球面象的面元。第二个密度更重要，它可以写作

$$dG^* = -\sin \alpha_1 dx \wedge da_1 - \sin \alpha_2 dy \wedge da_2, \quad (12.72)$$

其中 $\alpha_1, \alpha_2, \alpha_3$ 是在一个直角坐标系 (x, y, z) 里 G 和坐标轴所作的角， x, y 是 G 同 (x, y) 平面的交点坐标。这个密度是 E. Cartan [85] 引进的。参看 Vidal Abascal [695] 和 Pohl [481]。Sulanke [663] 详细研究了 E_3 里这种线汇的积分几何。关于到 E_n 的推广，参看 Stanilov 与 Sulanke [623]。Blaschke [51] 和 Varga [685] 给出了平面密度与直线密度之间的关系。关于对矿物学的应用，见[54—56]。

(6) 在一个 n 维球内的距离分布。在一个半径等于 R 的 n 维球体内，两个随机点 P, Q 点的距离 r 的概率分布曾为 Deltheil

[143], Hammesley [288], Lord [369]和 Miles [420]所讨论, 还可以参看 [335]。若 $f_n(x)dx$ 表示距离 r 的值在 x 和 $x+dx$ 之间的概率, 再令 $r=2R\lambda$, 可以证明

$$f_n(\lambda) = 2^n n \lambda^{n-1} I_{1-\lambda^2}[(n+1)/2, 1/2], \tag{12.73}$$

其中 $I_n(p,q)$ 是完全 β 函数, 其定义是

$$I_n(p,q) = \frac{\Gamma(p+q)}{\Gamma(p)\Gamma(q)} \int_0^1 t^{p-1}(1-t)^{q-1} dt.$$

$n=1,2,3$ 时, 有

$$f_1(\lambda) = 2(1-\lambda),$$

$$f_2(\lambda) = 16\lambda\pi^{-1}[\arccos\lambda - \lambda(1-\lambda^2)^{1/2}],$$

$$f_3(\lambda) = 12\lambda^2(1-\lambda^2)(2+\lambda),$$

它们依次是关于线段、图片以及三维球体的。

由(12.73)可得 r 的第 k 矩

$$\mu_k(n) = \left(\frac{n}{n+k}\right)^k \frac{\Gamma(n+k+1)\Gamma(n/2)}{\Gamma(n+1+k/2)\Gamma((n+k)/2)} R^k. \tag{12.74}$$

特殊地, 在一个半径为 R 的 n 维球体内的第一矩, 即距离 PQ 的中值, 化为

$$\mu_1(n) = \left(\frac{n}{n+1}\right)^2 \frac{\Gamma(n+2)\Gamma(n/2)}{\Gamma(n+3/2)\Gamma((n+1)/2)} R.$$

当 n 变得很大时, 可以证明, 上述分布趋于正态分布, 其中值是 $\sqrt{2} R$, 方差是 $(2n)^{-1} R^2$. 由此可见, 当 n 变得很大时, 距离 PQ 几乎总等于 $\sqrt{2} R$, 即两个正交半径端点的距离。

Miles[420]给出了一个更一般的结果。设 P_1, P_2, \dots, P_i 为 n 维球体内的独立随机点, 而 Q_1, Q_2, \dots, Q_j 为它的 $(n-1)$ 维球面上的独立随机点。考虑 $2 \leq i+j \leq n+1$ 的款; 这时, 上述 $i+j$ 点的凸包几乎必是以这些点为顶点的 r 维单纯形 ($r=i+j-1$)。这样, 这个随机 r 维单纯形的 r 维体积 T 的矩是

$$E(T^k) = \frac{1}{\kappa_n(O, T)} \int T^k dP_1 \wedge \dots \wedge dP_i \wedge dQ_1 \wedge \dots \wedge dQ_j,$$

$$= \left(\frac{1}{r!}\right)^k \left(\frac{n}{n+k}\right)^i \frac{\Gamma\left[\frac{1}{2}(r+1)(n+k) - j + i\right]}{\Gamma\left[\frac{1}{2}(rn + n + rk) - j + 1\right]} \\ \times \left\{ \frac{\Gamma(n/2)}{\Gamma[(n+k)/2]} \right\}^r \prod_{k=1}^{r-1} \frac{\Gamma[(n-r+k+h)/2]}{\Gamma[(n-r+h)/2]}, \quad (12.75)$$

其中 dP_1, \dots, dP_i 表示 E_s 中的体元而 dQ_1, \dots, dQ_i 表示 $n-1$ 维么球面上的体元; K_s 和 O_{s-1} 的值见(1.22)。

(7) 随机撮。在 E_s 内考虑满足以下条件的点分布: 一个体积 V 含有恰好 δ 个点的概率是 $p_s(\lambda, V) = e^{-\lambda V} (\lambda V)^{\delta} / \delta!$ (具有强度 λ 的 Poisson 过程)。若两个点之间的距离在 $2R$ 之内, 它们就称为互相联络的。一个大小为 n 的撮是指具有如下性质的 n 点的集合: 每一点和集中至少另一点相联络, 而没有一个点和不属于集合的一点相联络。虽然一个撮中的点的数目的分布和撮大小的期望值决定于两个参数 λ 与 R , 但因次分析表明, 它们是一个复合参数 $t = \lambda R^3$ 的函数。设 $p_s(t)$ 为撮大小的概率分布而 $E(t)$ 为撮大小的期望值。Roberts 与 Storey [515] 考虑了寻求使得 $E(t)$ 变成无穷大的临界值 $t = t_c$ 的问题, 以及寻求使无穷团集出现的 $t > t_c$ 。他们给出下界 $t_c \geq 0.0434$ 以及 Monte Carlo 估值 $t_c = 0.0889$ 。Holcomb, Iwarawa 与 Roberts [310] 值计 $t_c = 0.070$, 而 Domb [149] 经过级数展开, 提出的值是 $t_c = 0.081$ 。

Tate [668] 也考虑了 E_s 里的随机点的撮。设 B 为一个正圆柱形, 长度为 T , 截面积为 A , 而选择了单位长, 使 $T \geq 1, A \geq 1$ 。设 Z, Z' 为么柱形, 即具有单位长和单位截面积的正圆柱形, 其轴和 B 的轴平行。设 $\psi_s(\lambda, A, T)$ 为任何么柱面都不含 n 个或更多个点的概率。落在一个么柱面里的 k 个点称为构成一个 k 次集。这样, 不存在 n 次或更高次集的概率是

$$\psi_s(\lambda, A, T) = \sum_{s=0}^{\infty} e^{-\lambda V} \frac{(\lambda V)^s}{s!} f_s(s, A, T),$$

其中 $V = AT$ ，而 $f_n(s, A, T)$ 是当 B 含有恰好 s 个位置随机的点时，不存在 n 次或更高次集的概率。只有 $A = 1, n = 2$ 时， $f_n(s, A, T)$ 容易确定，结果是 $f_2(s, 1, T) = (1 - (s-1)/T)^s$ 。一般地， $f_n(s, 1, T)$ 是以 T^{-1} 为变数的 s 次多项式。当 $n > 2$ 时， $\psi_n(A, A, T)$ 的解析推算不能进行，Tate[668]报导了利用 Monte Carlo 方法所获得的一些结果。

第 三 篇

E . 里 的 积 分 几 何

第十三章 E_n 里的凸集

1. 凸集与截痕测度积分

E_n 的一个点集, 若含有属于它的任意两点所确定的整个线段, 则称为凸集. 我们将始终只考虑有界闭凸集. 具有非空内部的凸集叫做凸体. 一个凸体的边界 ∂K 叫做凸[曲]面.

可以证明凸面的以下性质: (a) 一个凸面几乎处处可微, 即几乎处处有切面[74, 第13页]. (b) 任意凸面可以用解析凸面叙列来逼近, 也可以用凸多面形叙列来逼近[63, 第36页; 195].

一个凸集 K 的一个撑超平面(或者凸面 ∂K 的一个撑超平面)是含有 K 的点但不把 K 任何两点隔离的超平面. 若 K 有内点, 则撑超平面是含有 ∂K 的点但不含有 K 的内点的超平面. 经过凸集的每一个边界点至少有一个撑超平面. 若经过一个边界点只有一个撑超平面, 则该点叫做正则点.

设 K 为凸集, O 为 E_n 里一个固定点. 考虑一切经过 O 的 $(n-r)$ 维平面 $L_{n-r, \{0\}}$, 并令 K'_{n-r} 为 K 在 $L_{n-r, \{0\}}$ 中的正交投影. 这就是说, 若经过 K 的每一点作 r 维平面垂直于 $L_{n-r, \{0\}}$, 则这些 r 维平面和 $L_{n-r, \{0\}}$ 的一切交点所构成的凸集就是 K'_{n-r} . 我们给出这些投影集合的体积 $V(K'_{n-r})$ 中值的定义.

方程 (12.27) 给出绕固定点 O 的 $n-r$ 维平面的密度 $dL_{n-r, \{0\}}$, 即 Grassmann 流形 $G_{n-r, r}$ 的不变体元. 于是投影体积 $V(K'_{n-r})$ 的中值是

$$E(V(K'_{n-r})) = \frac{I_r(K)}{m(G_{n-r, r})} = \frac{O_{r-1} \cdots O_1 O_0}{O_{n-r} \cdots O_{n-r}} I_r(K), \quad (13.1)$$

其中 $m(G_{n-r, r})$ 表示 (12.35) 所给出的 Grassmann 流形 $G_{n-r, r}$ 的体积, 而

$$\begin{aligned}
 I_r(K) &= \int_{G_{n-r,r}} V(K'_{n-r}) dL_{n-r,0} \\
 &= \int_{G_{r,n-r}} V(K'_{n-r}) dL_{r,0} \quad (13.2)
 \end{aligned}$$

是凸集 K 的一项重要特征, 我们将对它进行考察。方程 (13.2) 给出了 $r=1, 2, \dots, n-1$ 时 $I_r(K)$ 的定义。为完备起见, 我们令

$$I_0(K) = V(K) = K \text{ 的体积。} \quad (13.3)$$

当 $r=n-1, i+1=r$ 时, 公式 (12.53) 化为

$$dL_{r,0}^{n-1} \wedge dL_{n-r,0}^{n-r} = dL_{n-1,0} \wedge dL_{r,0}, \quad (13.4)$$

而若令 $n \rightarrow n-1, i+1 \rightarrow r-1$, 则上述公式 (12.53) 化为

$$dL_{r-1,0} \wedge dL_{r-1,0}^{n-1} = dL_{r-1,0}^{n-1} \wedge dL_{r-1,0}^{n-1}, \quad (13.5)$$

以 $L_{r-1,0}^{n-1}$ 乘 (13.4) 两边, 并利用 (13.5), 就得 (不计较符号, 注意一个有向平面等价于两个无向平面)

$$\begin{aligned}
 dL_{n-1,0} \wedge dL_{r-1,0}^{n-1} \wedge dL_{r-1,0}^{n-1} \\
 = dL_{r,0} \wedge dL_{r-1,0}^{n-1} \wedge dL_{n-1,r}. \quad (13.6)
 \end{aligned}$$

现在我们以 $V(K'_{n-r})$ 乘两边, 并对一切线性空间偶 $L_{r,0}, L_{r-1,0}^{n-1}$ 积分。由于 K'_{n-r} 也是凸集 K'_{n-1} (这是 K 在 $L_{n-1,0}$ 上的正交投影) 在 $L_{n-r,0}$ 上的正交投影, 而 $dL_{n-1,0} = du_{n-1}$ 是么球面 U_{n-1} 的面元, 在左边, 我们得

$$\frac{1}{2} O_{n-r-1} \int I'_{r-1}(K'_{n-1}) du_{n-1},$$

在这里, 我们用到了一切 $L_{r-1,0}^{n-1}$ 的测度是 $\frac{1}{2} O_{n-r-1}$ 的事实, 而 $I'_{r-1}(K'_{n-1})$ 则是把 K'_{n-1} 看作 $L_{n-1,0}$ 里的凸集时的对应积分 (13.2)。在右边, 我们得 $I_r(K)$ 乘以一切 $L_{r-1,0}^{n-1}$ 的测度 (等于 $\frac{1}{2} O_{r-1}$) 和一切 $L_{n-1,r}$ 的测度 (等于 $\frac{1}{2} O_{n-r-1}$)。于是就得到递推公式

$$I_r(K) = \frac{2}{O_{r-1}} \int_{\frac{1}{2}U_{n-1}} I'_{r-1}(K'_{n-1}) du_{n-1}. \quad (13.7)$$

注意么半球 $\frac{1}{2}U_{n-1}$ 恰恰就是 $G_{1, n-1}$, 即经过原点 O 的一切

无向直线所构成的流形。

(13.2) 给出积分 $I_r(K)$ 同投影体积 $V(K'_{n-r})$ 的期望值的关系; 我们常常引用所谓的截[痕]测[度]积分: (quermassintegrals), 或者平均截痕测度^① 来代替 $I_r(K)$, 它们是 Minkowski 引进的, 其定义为

$$\begin{aligned} W_r(K) &= \frac{(n-r)O_{n-1}E(V(K'_{n-r}))}{nO_{n-r-1}} \\ &= \frac{(n-r)O_{r-1}\cdots O_0}{nO_{n-2}\cdots O_{n-r-1}} I_r(K). \end{aligned} \quad (13.8)$$

这样, (13.7) 就化为

$$W_r(K) = \frac{2(n-1)}{nO_{n-2}} \int_{\frac{1}{2}U_{n-1}} W'_{r-1}(K'_{n-1}) du_{n-1}, \quad (13.9)$$

它称为 Kubota 公式 ([348]; 还可以参考 Bonnesen 与 Fenchel [63, 第49页], 和 Hadwiger [274, 第209页]). 为完备起见, 我们令

$$W_0(K) = I_0(K) = V(K), \quad W_n(K) = O_{n-1}/n, \quad (13.10)$$

其中最后一式可从 (13.8) 得到, 为此, 只须假定 W_r 是只依赖于 n 的常数。

值得指出, 由 (13.8) 可知, K 的平均宽度是

$$E(V(K'_1)) = (2n/O_{n-1})W_{n-1}(K). \quad (13.11)$$

容易证明, 截测积分是在凸集所构成的空间上的连续泛函 ([274, 第211页]; 还可以参看 [243]). 关于它们到任意可测点集的推广, 见 [460, 461].

① Quermassintegrals.——译者

② Mean cross-sectional measures.——译者

2. Cauchy 公式

先假定 K 是一个凸多面形区域。设 f_i 是 ∂K 的一个面的面积，而 f'_i 是它在 $L_{n-1[0]}$ 上的正交投影面积。则 $f'_i = |\cos \theta_i| f_i$ ，其中 θ_i 是 $L_{n-1[0]}$ 的法方向 u_{n-1} 和 ∂K 的向外法线之间的角。由于这些投影面积的总和等于 K 的投影面积 $V(K'_{n-1})$ 的两倍，我们有

$$2V(K'_{n-1}) = \sum_1^m |\cos \theta_i| f_i, \quad (13.12)$$

其中 m 是 ∂K 的面的个数。

乘以 du_{n-1} ，并在 $\frac{1}{2}U_{n-1}$ 半球上取积分，得

$$2 \int_{\frac{1}{2}U_{n-1}} V(K'_{n-1}) du_{n-1} = \frac{O_{n-1}}{n-1} F, \quad (13.13)$$

其中 F 表示 ∂K 的 $n-1$ 维面积。在这里，我们应用了这样的事实：在 $\frac{1}{2}U_{n-1}$ 上， $\int |\cos \theta_i| du_{n-1}$ 等于 $\frac{1}{2} U_{n-1}$ 在一个直径超平面上的投影，即 $n-1$ 维 $\frac{1}{2}$ 球体积 $\kappa_{n-1} = O_{n-2}/(n-1)$ 的体积。

方程(13.13)可以写成

$$F = \frac{2(n-1)}{O_{n-2}} \int_{\frac{1}{2}U_{n-1}} V(K'_{n-1}) du_{n-1} = nW_1, \quad (13.14)$$

这叫做关于凸多面形的 Cauchy 公式。由于任意凸集都可以作为凸多面形叙列的极限，这公式适用于任意凸集[93, 63, 274]。关于这公式到 n 维 $\frac{1}{2}$ 球面的子集的推广，见[188]。

$n=3$ 的款。 $n=3$ 时，若 F_v 表示 K 在一个垂直于 u_2 的平面上的正交投影面积，Cauchy 公式可以写成

$$F = \frac{1}{\pi} \int F_v du_2, \quad (13.15)$$

其中 F 是 ∂K 的面积。 F_v 的期望值是

$$E(F_*) = F/4. \quad (13.16)$$

这个公式提供一种度量一个小凸体的面积的实际方法。若 E_{12} 和 E_{20} 依次表示 K 在一个十二面体和一个二十面体的面的平均投影面积, Moran 证明了

$$0.2294 \leq E_{12} \leq 0.2696, \quad 0.2390 \leq E_{20} \leq 0.2618.$$

也可以证明关于曲线的一个类似结果。若 Γ 是长度为 L 的曲线, 则在一个平面上的投影长的期望值是 $E(L_*) = (\pi/4)L$, 而曲线在一个十二面体或一个二十面体的面的平均投影长就给出 L 的近似值。若这两个平均投影长是 L_{12} 和 L_{20} , 则有

$$0.229 \leq L_{12}/\pi L \leq 0.269, \quad 0.244 \leq L_{20}/\pi L \leq 0.252.$$

概率密度函数 $f(F_*)$ (这个函数的意义是: $f(F_*)$ 在由 a 到 b 的节 $[a, b]$ 内的积分给出 F_* 在该节内的概率) 的表达式一般是复杂的, 它和 K 的形状有关, 但在若干特款, 它是可以推算到的。例如, 设 K 为正圆柱形, 其高是 h , 半径是 r 。若一个平面的法线和圆柱形的轴作 θ 角, 则 K 在这个平面上的正交投影面积是 (图 13.1)

$$F_\theta = \pi r^2 \cos \theta + 2rh \sin \theta. \quad (13.17)$$

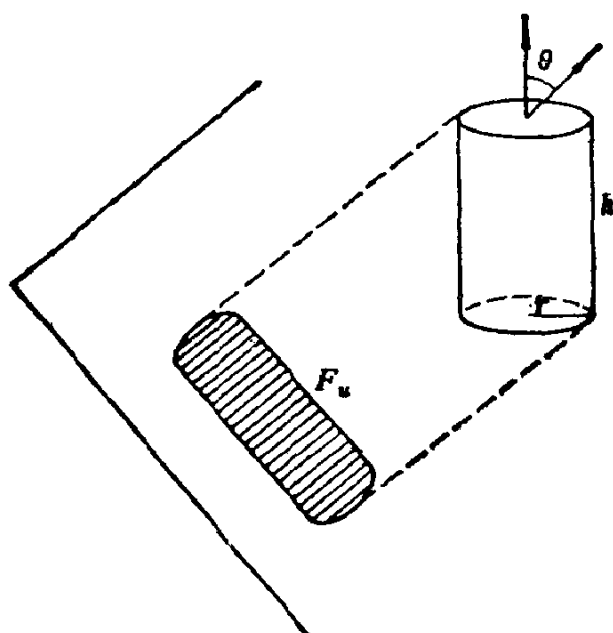


图 13.1

最大投影面积对应于 $\theta = \arctan(2h/\pi r)$ ，其值是 $F_K = r(\pi^2 r^2 + 4h^2)^{1/2}$ 。所得分布函数是：当 $\min(\pi r^2, 2rh) < F_* < \max(\pi r^2, 2rh)$ 时，

$$f(F_*) = \frac{1}{F_M^2} \left[\frac{2rhF_*}{(F_M^2 - F_*^2)^{1/2}} \pm \pi r^2 \right], \quad (13.18)$$

而 $\max(\pi r^2, 2rh) < F_* < F_M$ 时，

$$f(F_*) = \frac{1}{F_M^2} \frac{4\pi h F_*}{(F_M^2 - F_*^2)^{3/2}}. \quad (13.19)$$

在(13.18)里：当 $\pi r^2 > 2rh$ 时，用正号，而当 $\pi r^2 < 2rh$ 时，用负号。例如， $\pi r^2 < 2rh$ 时，我们有

$$\int_{\pi r^2}^{F_M} f(F_*) dF_* = 1,$$

$$E(F_*) = \int_{\pi r^2}^{F_M} F_* f(F_*) dF_* = \frac{\pi r^2}{2} + \frac{\pi rh}{2}, \quad (13.20)$$

这和上面的结果是吻合的。第二矩是

$$\int_{\pi r^2}^{F_M} F_*^2 f(F_*) dF_* = \frac{4rh}{3}(2rh + \pi r^2) + \frac{\pi^2 r^4}{3}. \quad (13.21)$$

这些公式，还有关于正平行六面体的类似公式，是 A.G. Walters[707]的结果。

3. 平行凸集；Steiner 公式

设 K 为凸集，以 K 的每一点为中心作以 ρ 为半径的球体，则一切这样球体的并集，叫做距离为 ρ 的， K 的平行凸集。边界 ∂K_ρ 叫做距离为 ρ 的， ∂K 的平行曲面。

我们要证明关于 K_ρ 的体积公式

$$V(K_\rho) = \sum_0^n \binom{n}{i} W_i(K) \rho^i, \quad (13.22)$$

它对于任意 $\rho \geq 0$ 成立，称为关于凸集的 Steiner 公式。

我们采用归纳法。 $n=1$ 时，(13.22)化为

$$V(K_\rho) = V(K) + 2\rho,$$

这是对的, 因为 K 是长度为 $V(K)$ 的线段而 K_ρ 是长度为 $V(K) + 2\rho$ 的线段. 假定 (13.22) 对于 E_{n-1} 内的凸集成立. 设 K' 为 K 在 L_{n-1} 上的投影, 并把 (13.22) 应用于 K' , 就得

$$V'(K'_\rho) = \sum_{i=0}^{n-1} \binom{n-1}{i} W'_i(K') \rho^i. \quad (13.23)$$

设 du_{n-1} 为 n -球面 U_{n-1} 上在垂直于 L_{n-1} 的 n -矢的终点的面元, 以 du_{n-1} 乘 (13.23) 两边并在整个 U_{n-1} 上积分, 利用 Kubota 公式和 Cauchy 公式, 得

$$F(K_\rho) = \sum_{i=0}^{n-1} n \binom{n-1}{i} W_{i+1}(K) \rho^i. \quad (13.24)$$

另一方面,

$$V(K_\rho) = V(K) + \int_0^\rho F(K_\rho) d\rho,$$

故

$$V(K_\rho) = V(K) + \sum_{i=0}^{n-1} \binom{n}{i+1} W_{i+1}(K) \rho^{i+1}.$$

根据 (13.10), 可以令 $W_0(K) = V(K)$, 于是经过指标更换 $i+1 \rightarrow i$ 就得所求公式.

由于平行体 $K_{\rho+\alpha}$ 就是 K_ρ 的平行体 $(K_\rho)_\alpha$, 可以获得一个更一般的公式. 我们有

$$\sum_{i=0}^n \binom{n}{i} W_i(K_\rho) \alpha^i = \sum_{h=0}^n \binom{n}{h} W_h(K) (\rho + \alpha)^h, \quad (13.25)$$

或

$$\sum_{i=0}^n \binom{n}{i} W_i(K_\rho) \alpha^i = \sum_{h=0}^n \binom{n}{h} W_h(K) \sum_{i=0}^h \binom{h}{i} \rho^{h-i} \alpha^i. \quad (13.26)$$

对于任意 $\alpha \geq 0$, 这个等式都成立, 因此, 可以令 α^i 在两边

的系数相等, 于是经过指标更换 $h-i \rightarrow i$ 后, 得

$$W_i(K_\rho) = \sum_{j=0}^{n-i} \binom{n-i}{j} W_{i+j}(K) \rho^j, \quad (13.27)$$

这对于 $i=0, 1, \dots, n$ 成立.

4. 关于凸集在线性空间上投影的积分公式

设 K 为凸集而 K'_{n-r} 为它在经过原点 O 的 $n-r$ 维线性空间 $L_{n-r}\{0\}$ 上的投影. 公式 (13.8) 用 $W_r(K)$ 来表达 K'_{n-r} 的平均体积. 我们将求不变量 $W_i(K_{n-r})$ 的平均值.

为此, 对凸体 K_ρ 应用 (13.8), 我们得

$$W_r(K_\rho) = \frac{(n-r)O_{r-1} \cdots O_0}{nO_{n-r} \cdots O_{n-r-1}} \int_{G_{r, n-r}} V(K'_\rho)_{n-r} dL_{r\{0\}}. \quad (13.28)$$

根据 (13.27),

$$W_r(K_\rho) = \sum_{j=0}^{n-r} \binom{n-r}{j} W_{r+j}(K) \rho^j, \quad (13.28)$$

于是对 $(K'_\rho)_{n-r}$ 应用 Steiner 公式, 注意 $(K'_\rho)_{n-r} = (K'_{n-r})_\rho$, 就得

$$V(K'_\rho)_{n-r} = \sum_{j=0}^{n-r} W'_j(K'_{n-r}) \rho^j, \quad (13.30)$$

把 (13.30) 和 (13.29) 代入 (13.28), 然后令两边 ρ^i 的系数相等, 就得

$$\int_{G_{r, n-r}} W'_j(K'_{n-r}) dL_{r\{0\}} = \frac{nO_{n-2} \cdots O_{n-r-1}}{(n-r)O_{r-1} \cdots O_0} W_{r+j}(K), \quad (13.31)$$

这个公式对于 $0 \leq j \leq n-r \leq n-1$ 成立. 考察 $j=0, 1$ 两款. 若 $j=0$, 则 $W'_0 = V(K'_{n-r})$ 是投影 K'_{n-r} 的体积, 而 (13.31) 和 (13.8) 一致, 即

$$\int_{\sigma_{r, n-r}} V(K'_{n-r}) dL_{r[0]} = \frac{n O_{n-2} \cdots O_{n-r-1}}{(n-r) O_{r-1} \cdots O_0} W_r(K). \quad (13.32)$$

若 $j=1$, 根据 (13.9) 和 (13.14), $W_1(K'_{n-r}) = F(K'_{n-r}) / (n-r)$, 其中 $F(K'_{n-r})$ 表示 $\partial K'_{n-r}$ 的面积. 这时 (13.31) 化为

$$\int_{\sigma_{r, n-r}} F(K'_{n-r}) dL_{r[0]} = \frac{O_{n-2} \cdots O_{n-r-1}}{O_{r-1} \cdots O_0} n W_{r+1}(K). \quad (13.33)$$

5. 中曲率积分

若凸集 K 的边界 ∂K 是一个 C^2 类曲面, 截测积分 W_r 可以用 ∂K 的中曲率积分表达. 我们知道, 在一个超曲面 Σ 上一点, 有 $n-1$ 个主方向和 $n-1$ 个主曲率 $\kappa_1, \kappa_2, \dots, \kappa_{n-1}$. 若 $d\sigma$ 表示 Σ 的面元, 则中曲率的第 r 个积分 $M_r(\Sigma)$ 的定义是

$$M_r(\Sigma) = \binom{n-1}{r}^{-1} \int_{\Sigma} \{\kappa_{i_1}, \kappa_{i_2}, \dots, \kappa_{i_r}\} d\sigma, \quad (13.34)$$

其中 $\{\kappa_{i_1}, \kappa_{i_2}, \dots, \kappa_{i_r}\}$ 表示主曲率的第 r 个初等对称函数. 乘积 $\kappa_1 \kappa_2 \cdots \kappa_{n-1}$ 叫做 Gauss-Kronecker 曲率, 它和 Σ 的球面象的面元 du_{n-1} 之间有关系

$$\kappa_1 \kappa_2 \cdots \kappa_{n-1} d\sigma = du_{n-1}. \quad (13.35)$$

我们指出: Σ 的球面象是映射 $\Sigma \rightarrow U_{n-1}$, 它令 Σ 上一点对应于经过原点 O 而平行于 Σ 在 P 的法矢的么矢终点.

若 $R_i = 1/\kappa_i (i=1, 2, \dots, n-1)$ 是主曲率半径, 则 (13.34) 可以写成

$$M_r(\Sigma) = \binom{n-1}{r}^{-1} \int_{U_{n-1}} \{R_{i_1}, R_{i_2}, \dots, R_{i_r}\} du_{n-1}, \quad (13.36)$$

其积分域是么球 U_{n-1} .

若 Σ 是紧致可定向 C^2 类超曲面, 而 $n-1$ 是偶数, 则 $M_{n-1}(\Sigma)$ 等于球面象的总体积, 它是 Σ 的一个拓扑不变量, 和 Euler-

Poincaré 特征数 $\chi(\Sigma)$ 的关系是

$$M_{n-1}(\Sigma) = \frac{1}{2} O_{n-1} \chi(\Sigma) \quad (n-1 \text{ 为偶数}). \quad (13.37)$$

若 Σ 是一个域 D 的边界, 则对于任意 n ,

$$M_{n-1}(\partial D) = O_{n-1} \chi(D). \quad (13.38)$$

例如, 若 D 是一个拓扑球, 特殊地若 D 是凸体, 我们知道 $\chi(D) = 1$, 因而

$$M_{n-1}(\partial D) = O_{n-1}. \quad (13.39)$$

最后, 我们指出, 若一个紧致可微 m 维流形 Σ_m 具有有尽单形分割而 α_i 表示 i 维单纯形的个数, 则

$$\chi(\Sigma_m) = \alpha_0 - \alpha_1 + \alpha_2 + \cdots + (-1)^m \alpha_m. \quad (13.40)$$

把这个公式应用于一个 n 维单纯形, 容易得知, 对于 E_n 里的拓扑球 D ,

$$\chi(D) = 1, \quad \chi(\partial D) = 1 - (-1)^n. \quad (13.41)$$

关于 Euler-Poincaré 特征数的公理性定义见 Hadwiger[272, 274], Groemer[243] 和 Lenz[363].

6. 中曲率积分与截痕测度积分

设 K 为凸集, 并假设 ∂K 为 C^2 类超曲面. 若 R_i 为 ∂K 的主曲率半径, 则 ∂K_ρ 的主曲率半径是 $R_i + \rho$, 而 ∂K_ρ 的面元 $d\sigma_\rho$ 是(利用(13.35))

$$d\sigma_\rho = (R_1 + \rho)(R_2 + \rho) \cdots (R_{n-1} + \rho) du_{n-1}. \quad (13.42)$$

因此, ∂K_ρ 的面积是

$$\begin{aligned} F(K_\rho) &= \int_{\partial K_\rho} (R_1 + \rho) \cdots (R_{n-1} + \rho) du_{n-1} \\ &= \sum_{r=0}^{n-1} \{R_{i_1}, \dots, R_{i_{n-1-r}}\} \rho^r du_{n-1} \\ &= \sum_{r=0}^{n-1} \binom{n-1}{r} M_r(\partial K) \rho^r. \end{aligned} \quad (13.43)$$

关于 K_ρ 的体积, 则有

$$\begin{aligned} V(K_\rho) &= V(K) + \int_0^\rho F(K_\rho) d\rho \\ &= V(K) + \sum_{r=0}^{n-1} \frac{\rho^{r+1}}{r+1} \binom{n-1}{r} M_r(\partial K). \end{aligned} \quad (13.44)$$

把这式和 Steiner 公式 (13.22) 比较, 得

$$M_r(\partial K) = nW_{r+1}(K). \quad (13.45)$$

注意 $W_{r+1}(K)$ 对于任意凸集都是确定的, 而 $M_r(\partial K)$ 的定义 (13.34) 则只有当 ∂K 属于 C^2 类时才有意义. 但是, 我们可以取 (13.45) 作为 $M_r(\partial K)$ 的定义, 而我们此后就这样做, 因而对于任意凸集 K , 都有确定的中曲率积分

$$M_r(\partial K), \quad r = 0, 1, \dots, n-1.$$

反过来, 等式 (13.45) 还可以用来计算 $W_{r+1}(K)$. 这是因为, 平行凸集 K_ρ 的边界 ∂K_ρ 是光滑的, 而 $M_r(\partial K_\rho)$ 可以直接用 (13.34) 计算, 于是令 $\rho \rightarrow 0$ 就得到 $M_r(\partial K_\rho)$ 的极限值, 即 $nW_{r+1}(K)$. 下面我们对于某些 E_n 的特殊凸集列举一些 $W_r(K)$ 的值.

(a) 半径为 R 的球:

$$W_r(\text{球}) = (O_{n-1}/n) R^{n-r}, \quad r = 0, 1, \dots, n. \quad (13.46)$$

(b) 棱长为 $a_i (i = 1, 2, \dots, n)$ 的立方体:

$$W_r(\text{立方体}) = \frac{O_{r-1}}{r \binom{n}{r}} \{a_{i_1}, \dots, a_{i_{n-r}}\}, \quad (13.47)$$

其中 $\{a_{i_1}, \dots, a_{i_{n-r}}\}$ 是 a_i 的第 $n-r$ 个初等对称函数. 例如, 对于棱长为 a 的立方体,

$$W_r(\text{立方体}) = (O_{r-1}/r) a^{n-r}. \quad (13.48)$$

(c) 长度为 s 的线段:

$n \geq 2$ 时,

$$W_i = 0 \quad (i = 0, 1, \dots, n-2),$$

$$W_{n-1} = \frac{O_{n-2}}{n(n-1)} s, \quad W_n = \frac{O_{n-1}}{n}.$$

$n = 1$ 时,

$$W_0 = s, \quad W_1 = 2. \quad (13.50)$$

(d) 凸柱面:

在 E_n 里, 设 A_p, B_{n-p} 为凸域, 依次含于互相正交的平面 L_p 和 L_{n-p} 内. 若 $x \in A_p, y \in B_{n-p}$, 一切点 $x + y$ 构成凸集 $A_p \times B_{n-p}$, 称为 A_p 和 B_{n-p} 的 Minkowski 和. 这时,

$$\begin{aligned} W_i(A_p \times B_{n-p}) &= \frac{O_{i-1}}{\binom{n}{i}} \sum_{\nu=1}^{i-1} \frac{\nu(1-\nu)}{O_{\nu-1} O_{i-\nu-1}} \binom{p}{\nu} \binom{n-p}{i-\nu} W_{\nu}^{(p)}(A_p) W_{i-\nu}^{(n-p)}(B_{n-p}) \\ &\quad + \frac{1}{\binom{n}{i}} \left[\binom{n-p}{i} W_0^{(p)}(A_p) W_i^{(n-p)}(B_{n-p}) \right. \\ &\quad \left. + \binom{p}{i} W_i^{(p)}(A_p) W_0^{(n-p)}(B_{n-p}) \right] \end{aligned} \quad (13.51)$$

其中, $W_{\nu}^{(p)}(A_p)$ 表示作为 L_p 的凸集的第 ν 个截测积分, 而 $W_{i-\nu}^{(n-p)}(B_{n-p})$ 则表示作为 L_{n-p} 的凸集的第 $i-\nu$ 个截测积分.

特殊地, 若 $p = 1$ 而 A_1 是长度为 h 的线段, 而 B_{n-1} 是半径为 a 的 $n-1$ 维球体, 则 (13.51) 是半径为 a , 高度为 h 的迴转柱面的截测积分, 即 $i \geq 2$ 时

$$W_i(\text{柱面}) = \frac{O_{n-2}}{n(n-1)} \left[\frac{(i-1)O_{i-1}}{O_{i-2}} a^{n-i} + (n-i)a^{n-i-1}h \right], \quad (13.52)$$

而

$$W_0 = \frac{O_{n-2}a^{n-1}h}{n-1}, \quad W_1 = \frac{O_{n-2}}{n(n-1)} (2a^{n-1} + (n-1)a^{n-2}h). \quad (13.53)$$

(e) 迴转椭球:

若 K 是半轴为 a 与 λa ($a =$ 赤道半径) 的椭球, 则

$$W = (O_{n-1}/n)\lambda^{r+1}a^{s-r}F[(n+1)/2, r/2, n/2; 1-\lambda^2], \quad (13.54)$$

其中 F 为超比函数。以上诸值摘自 Hadwiger 的书 [274, 第 220—221 页]。

(f) 值得指出:

利用 (13.45), 可得 ∂K 的 (距离为 ρ 的) 平行曲面的中曲率积分

$$M_i(\partial K_\rho) = \sum_{j=0}^{n-i-1} \binom{n-i-1}{j} M_{i+j}(\partial K) \rho^j, \quad i=0, 1, \dots, n-1. \quad (13.55)$$

(g) $n=3$ 的款:

对于 E_3 里的凸体 K , 中曲率积分是 $M_0 = F(\partial K \text{ 的面积})$; $M_1 = M(\partial K \text{ 的中曲率积分})$; $M_2 = 4\pi$. 于是利用 (13.45), (13.11) 和 (13.33), 易得

$$M = \frac{1}{2\pi} \int_{U_2} L_u du_2 = \frac{1}{2} \int_{U_2} \Delta du_2, \quad (13.56)$$

其中 L_u 表示 K 在垂直于方向 u_2 的平面的正交投影周长, 而 Δ 则是 K 在 u_2 方向的宽度, 即垂直于 u_2 而包含 K 在内的两个撑平面的距离。于是有中值

$$E(L_u) = M/2, \quad E(\Delta) = M/2\pi. \quad (13.57)$$

由最后等式可知, 除一个常数因子 2π 外, M 等于平行撑平面之间的平均距, 在技术书中, 它也叫做“平均测径” [166]。

为了求 $M(K)$, 有时可以先计算 $M(K_\rho)$, 再取 $\rho \rightarrow 0$ 时的极限。通过这个方法, 可得以下结果。

(a) 对于一个棱长为 a_i , 其对应二面角为 α_i 的多面体,

$$M = \frac{1}{2} \sum (\pi - \alpha_i) a_i, \quad (13.58)$$

其中取总和的范围是 ∂K 的一切棱。

(b) 对于高为 h , 半径为 a 的正圆柱体,

$$M = \pi h + \pi^2 r, \quad (13.59)$$

特殊地, 对于长度为 h 的线段 ($r=0$), $M = \pi h$ 。

(c) 对于平面凸集, 作为 E_3 里压平了的凸体,

$$M = (\pi/2)L, \quad (13.60)$$

其中 L 是凸集周长。

计算距离为 ρ 的平行曲面的 M 然后取 $\rho \rightarrow 0$ 时的极限的方法也可以用于非凸集的边界。例如, 若一个正柱面 Z 的高为 h , 其截面的周长为 L , 总曲率为 c (在图13.2里, $c(Z) = -2\pi$), 则

$$M(Z) = \frac{1}{2}(\pi L + ch). \quad (13.61)$$

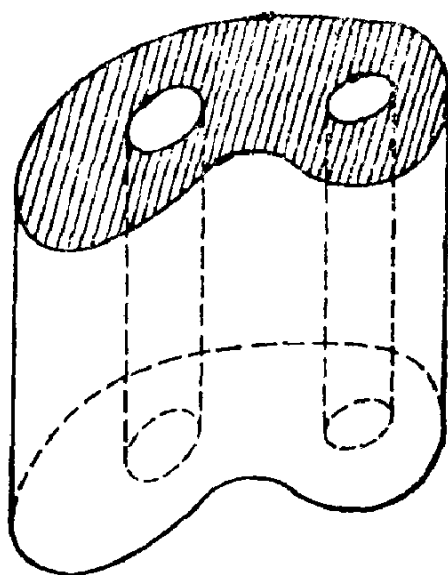


图 13.2

7. 压平了的凸体的中曲率积分

设在 E_n 里, K' 为含在一个 r 维平面内的凸体, 其边界 $\partial K'$, 作为 L_r 的点集, 是 L_r 的一个 $n-1$ 维流形; 我们假定它两次可微。设

$M_q^{(r)}(\partial K^r)$ ($q = 0, 1, \dots, r-1$) 是作为 L_r 的凸面的中曲率积分。若把 K^r 看作 E_n ($n > r$) 内的压平了的凸体, 其中曲率积分 $M_q^{(r)}(\partial K^r)$ 可按以下方法计算: 把 K^r 看作 E_n 的凸体, 取距离为 ε 的平行凸体 K^ε , 计算它的中曲率积分, 再取 $\varepsilon \rightarrow 0$ 时的极限。我们叙述下面结果而不加证明; 这些结果是不难得到的 (见 [574], [274])。

(a) 若 $q \geq n-r$, 则

$$M_q^{(r)}(\partial K^r) = \frac{\binom{r-1}{q-n+r}}{\binom{n-1}{q}} \frac{O_q}{O_{q-n+r}} M_{q-n+r}^{(r)}(\partial K^r),$$

$$q \geq n-r. \quad (13.62)$$

(b) 若 $q = n-r-1$, 则

$$M_{q=n-r-1}^{(r)}(\partial K^r) = \binom{n-1}{n-r-1}^{-1} O_{n-r-1} V_r(K^r),$$

$$(13.63)$$

其中 $V_r(K^r)$ 表示 K^r 的 r 维体积。

(c) 若 $q < n-r-1$, 则

$$M_q^{(r)}(\partial K^r) = 0, \quad q < n-r-1. \quad (13.64)$$

由这些中曲率积分可以通过 (13.45) 来得到截测积分。

例1 在普通空间 E_n 有以下可能性。

(a) $r=1$. K^1 退化成长度为 s 的线段。中曲率积分是

$$M_0^{(3)} = 0, \quad M_1^{(3)} = \pi s, \quad M_2^{(3)} = 4\pi. \quad (13.65)$$

(b) $r=2$. $K^{(2)}$ 是平面凸域 设 u 为其周长, f 为其面积, 则

$$M_0^{(3)} = 2f, \quad M_1^{(3)} = (\pi/2)M_0^{(2)} = (\pi/2)u, \quad M_2^{(3)} = 2M_1^{(2)} = 4\pi. \quad (13.66)$$

例2 对于半径为 R 的 r 维球, 作为 E_n 的凸体, $q = n-r, n-r-1, \dots, n-1$ 时,

$$M_q^{(s)} = \frac{\binom{n-1}{q-n+r}}{\binom{n-1}{q}} \frac{O_q}{O_{q-n+r}} \frac{O_{r-1}}{O_r} R^{n-q-1}, \quad (13.67)$$

而 $q = n - r - 1$ 时,

$$M_q^{(s)} = \frac{1}{\binom{n-1}{q}} O_{n-r-1} O_{r-1}. \quad (13.68)$$

$q < n - r - 1$ 时,

$$M_q^{(s)} = 0.$$

例3 对于棱长为 a 的 r 维正方体, 作为 E_n 的凸体,

$q = n - r, \dots, n - 1$ 时,

$$M_q^{(s)} = \frac{\binom{r-1}{q-n+r}}{\binom{n-1}{q}} \frac{O_r}{q-n+r+1} a^{n-q-1}, \quad (13.69)$$

$q = n - r - 1$ 时,

$$M_q^{(s)} = \binom{n-r}{q}^{-1} O_{n-r-1} a^r. \quad (13.70)$$

$q < n - r - 1$ 时,

$$M_q^{(s)} = 0.$$

例4 对于 E_n 里长度为 s 的线段, $q = 0, 1, \dots, n - 3$ 时,

$M_{n-1}^{(s)} = O_{n-1}, M_q^{(s)} = 0$, 而

$$M_{n-2}^{(s)} = \frac{O_{n-2}}{n-1} s. \quad (13.71)$$

8. 注记

(1) E_n 中不同形状的凸体的体积, 面积和中曲率积分.

(a) 对于外接球面半径为 R 的正多面体, 我们有下列体积 V , 面积 F 和中曲率积分 M [270].

四面体

$$V = (8\sqrt{3}/27)R^3, \quad F = (8\sqrt{3}/3)R^2,$$

$$M = 2\sqrt{6} R \arccos(-1/3).$$

立方体

$$V = (8\sqrt{3}/9)R^3, \quad F = 8R^2, \quad M = 2\sqrt{3}\pi R.$$

八面体

$$V = (4/3)R^3, \quad F = 4\sqrt{3}R^2, \quad M = 6\sqrt{2} R \arccos(1/3)$$

十二面体

$$V = (2/9)\sqrt{15}(\sqrt{5}+1)R^3, \quad F = (200-40\sqrt{5})^{\frac{1}{2}}R^2,$$

$$M = 5\sqrt{3}(\sqrt{5}-1)R \arctan 2.$$

二十面体

$$V = (40+8\sqrt{5})^{\frac{1}{2}}R^3/3, \quad F = \sqrt{3}(10-2\sqrt{5})R^2,$$

$$M = (450-90\sqrt{5})^{\frac{1}{2}} R \arcsin(2/3).$$

(b) 对于三个共点棱长为 a_1, a_2, a_3 的长方体,

$$V = a_1 a_2 a_3, \quad F = 2(a_1 a_2 + a_1 a_3 + a_2 a_3),$$

$$M = \pi(a_1 + a_2 + a_3).$$

(c) 对于高为 h 半径为 R 的迴转锥体,

$$V = (1/3)\pi R^2 h, \quad F = \pi R^2 + \pi R(h^2 + R^2)^{\frac{1}{2}}$$

$$M = \pi R^2 + \pi R - \pi R \arctan(h/R).$$

(d) 对于高为 h , 半径为 R 的圆柱体.

$$V = \pi R^2 h, \quad F = 2\pi R(h+R), \quad M = \pi(h + \pi R)$$

(e) 对于半径为 R 的半球体,

$$V = (2/3)\pi R^3, \quad F = 2\pi R^2, \quad M = 2\pi R(1 + \pi/4).$$

(f) 对于半轴为 $a, a, \lambda a$ 的迴转椭球面, $0 < \lambda < 1$ 时,

$$V = (4/3)\pi \lambda a^3,$$

$$F = 2\pi[1 + \lambda^2(1 - \lambda^2)^{-1/2} \log\{[1 + (1 - \lambda^2)^{-1/2}]\lambda^{-1}\}]a^2,$$

$$M = 2\pi[\lambda + (1 - \lambda^2)^{-1/2} \arccos \lambda]a,$$

而 $1 < \lambda < \infty$ 时,

$$V = (4/3)\pi \lambda a^3,$$

$$F = 2\pi[1 + \lambda^2(\lambda^2 - 1)^{-1/2} \arccos(1/\lambda)]a^2,$$

$$M = 2\pi\{\lambda + (\lambda^2 - 1)^{-1/2} \log[\lambda + (\lambda^2 - 1)^{1/2}]\}a.$$

(g) 关于 E_3 中凸体的一些其他几何量以及这些量的上下估计 见[490].

(2) 关于 E_3 中凸体的积分公式. 设 K 为 E_3 里的凸集. 用 G_s 表示和 K 相交的直线, G_e 为在 K 外的直线. 用 P_1, P_2 表示 G_s 和 ∂K 的交点, 同时又表示经过 G_e 的, K 的撑平面的切点. 设 k_1, k_2 为 ∂K 在 P_1, P_2 的 Gauss 曲率, $d\sigma_1, d\sigma_2$ 为 ∂K 在该两点的面元. 设 s 为弦 $G_s \cap K = P_1P_2$ 的长, α_1, α_2 为 G_s 和 ∂K 在 P_1, P_2 的外向法线所作的角. 设 ω 为经过 G_e 的, K 的撑平面之间的角, t_1, t_2 为从 P_1, P_2 到 G_e 的距离¹⁾. 这样, 下列关系成立

$$dG_s = \frac{\cos\alpha_1 \cos\alpha_2}{s^2} d\sigma_1 \wedge d\sigma_2, \quad dG_e = \frac{k_1 k_2 t_1 t_2}{\sin^2 \omega} d\sigma_1 \wedge d\sigma_2,$$

$$dG_s = \frac{k_1 k_2 t_1 t_2 s^2}{\cos\alpha_1 \cos\alpha_2 \sin^2 \omega} dG_e, \quad dG_e = \frac{k_1 k_2 s^4}{\sin^4 \omega} dG_s.$$

利用这些关系, 可以证明以下积分公式, 其中积分范围是一切在 K 外的直线 G_e 和一切同 K 相交的 G_s :

$$\int \frac{\sin^m \omega}{t_1 t_2} dG_s = 4\pi^{m+1} \frac{\Gamma(m/2)}{\Gamma((m+1)/2)},$$

$$\int (2\omega - \sin 2\omega) \left(\frac{1}{t_1} + \frac{1}{t_2} \right) dG_e = 16\pi M,$$

$$\int \frac{\sin^2 \omega}{k_1 k_2 t_1 t_2} dG_e = \left(\frac{\pi}{2} \right) F^2, \quad \int \frac{\sin^4 \omega}{k_1 k_2 s^4} dG_e = \left(\frac{\pi}{2} \right) F,$$

$$\int \frac{\sin^4 \omega}{k_1 k_2 s^3} dG_e = 2\pi V, \quad \int \frac{\sin^4 \omega}{k_1 k_2} dG_e = bV^2,$$

1) 原书没有明确指出 P_1, P_2 和 G_e 的关系, 译文补上, 同时把各定义次序作了调整. ——译者

$$\int \frac{k_1 k_2 s^2}{\cos \alpha_1 \cos \alpha_2} dG_s = 8\pi^2, \quad \int \frac{s^2}{\cos \alpha_1 \cos \alpha_2} dG_s = \frac{F^2}{2},$$

$$\int \frac{(k_1 + k_2)s^2}{\cos \alpha_1 \cos \alpha_2} dG_s = 4\pi F,$$

$$\int \left(\frac{f_1}{\cos \alpha_1} + \frac{f_2}{\cos \alpha_2} \right) dG_s = 2\pi \int_{\partial K} f d\sigma,$$

$$\int \left(\frac{f_1}{\cos \alpha_1} + \frac{f_2}{\cos \alpha_2} \right) s^3 dG_s = 3V \int_{\partial K} f d\sigma,$$

其中 f_1, f_2 表示 ∂K 上的函数 f 在 P_1, P_2 的值。见 [395, 397, 546]。

(3) Ambarcumjan 的一个不等式。^① 设 G 为和凸体 K 相交的直线。设 s 为弦 $G \cap K$ 的长，而 $d\sigma_1, d\sigma_2$ 为 ∂K 在交点 $G \cap \partial K$ 的面元。Ambarcumjan [7] 证明了不等式 (对于一切整数 $n \geq 0$)

$$\int_{G \cap K \neq \emptyset} s^n dG \leq \frac{n}{\pi(n+2)} \int_{\partial K \times \partial K} s^{n-2} d\sigma_1 \wedge d\sigma_2.$$

$n=2$ 时，就有 $I_2 \leq F^2/2\pi$ ^②。

(4) 凸集的 q 维撑平面。设想在 E_3 里按以下方法作一族 q 维平面：取以原点为中心的么球 U_{n-1} ，对于每一个和 U_{n-1} 相切的 L_q ，在 O 和 L_q 所确定的 L_{q+1} 里，令 L_q 平移到一个 q 维撑平面 L'_q 。试问所得的族 $\{L'_q\}$ 构成某一个凸集 K 的全部撑 q 维平面的充要条件是什么？在这里， L'_q 是 K 的 q 维撑平面，是指 $L'_q \cap K$ 是 ∂K 的一个非空子集。 $q=0$ 和 $q=n-1$ 两款是经典的成果 [63, 第 26 页]。Firey [194] 给出了答案，那是一组关于从 O 到 L_q^{-1} 的距离 r 的条件。把 $n/(n-q)^{1/2} = h_q$ 称作 K 的 q 维撑函数，Firey 还给出了用 h_q 表达 K 的截测积分的公式。

(5) Chakerian 等周不等式。(a) 设 K 为 E_n 里的凸集，而 ΔK 为 K 在方向 u 的幅度。设 u_1, \dots, u_p ($p \geq 1$) 为固定的矢量，它们

① 在 E_3 里。——译者

② I_2 表示 Ambarcumjan 不等式左边的积分。——译者

不一定正交,但构成一个 p 维标架。假定这个标架绕原点 O 运动,其运动密度为 $d\mathfrak{M}_{[0]}$ (12.7)。考虑幅度 $\Delta(u_i)$ 之积的平均值,

$$I_p = (2O_1 \cdots O_{n-1})^{-1} \int \Delta(u_1) \cdots \Delta(u_p) d\mathfrak{M}_{[0]},$$

其中积分范围是整个群 $\mathfrak{M}_{[0]}$ (第十二章,第1节)。Chakerian [98] 证明了以下不等式,

$$I_p \geqslant 2^p n W_{n-p} O_{n-1}^{-1}, \quad (1 \leqslant p \leqslant n); \quad I_p \geqslant \binom{p}{n} 2^p n I_{p-n} O_{n-1}^{-1},$$

其中 W_{n-p} 是 K 的第 $n-p$ 个截测积分,而 I_h 的定义则是 $\int_K r^h dP$, 其中 r 是从 K 中一点 P 到 ∂K 的距离。 $p=1$ 时,两个不等式中的等号只当 K 为 n 维球时成立。

(b) 设 K 为 E_n 中凸体,其体积是 V , 面积是 F , 第 i 个截测积分是 W_i 。设 K_u 为 K 在垂直于方向 u 的超平面 L_{n-1} 上的正交投影。设 σ_u 为 K_u 的 $n-1$ 维体积而 λ_u 为 K_u 相对于 L_{n-1} 的平均幅度。Chakerian [99] 得到了不等式

$$2W_{n-1} \geqslant W_{n-2} \lambda_u^{-1} + n^{-1} O_n \lambda_u,$$

$$F \geqslant (n-1) \left[\frac{(n-1)\sigma_u}{O_{n-1}} \right]^{-1/(n-1)} V + \left[\frac{(n-1)O_n}{nO_{n-1}} \right] \sigma_u.$$

在么球上积分,还可以获得其他不等式。 $n=2$ 时,有关不等式是 D.C. Benson [26] 的结果。

第十四章 线性子空间, 凸集, 紧致流形

1. 和一个凸集相交的 r 维平面的集合

设 K 为 E_n 里的凸集。我们试求一切和 K 相交的 r 维平面 L_r 的测度。应用关于 dL_r 的表达式(12.38)并利用(13.2), 可知这个测度等于 $I_r(K)$, 或者, 用截测积分(13.8)表示

$$\begin{aligned} M(L_r; L_r \cap K \neq \emptyset) &= \int_{L_r \cap K \neq \emptyset} dL_r \\ &= \frac{n O_{n-2} O_{n-3} \cdots O_{n-r-1}}{(n-r) O_{r-1} \cdots O_1 O_0} W_r(K), \end{aligned} \quad (14.1)$$

于是得结论:

在 E_n 里, 一切和一个凸集相交的 r 维平面的测度 ($r = 1, 2, \dots, n-1$) 由(14.1)确定。

$r = 0$ 时, K 的点的测度等于 K 的体积 $V(K)$ 。

利用关系(13.45), 还可以把(14.1)写成

$$m(L_r; L_r \cap K \neq \emptyset) = \frac{O_{n-2} \cdots O_{n-r-1}}{(n-r) O_{r-1} \cdots O_0} M_{r-1}(\partial K). \quad (14.2)$$

若 K 为含于一个 L_q 内的凸体, 则(14.1)和(14.2)里的 W_r 和 M_{r-1} 须用第十三章第 7 节里的相应值代入。

$n = 3$ 时, 就得

$$m(L_1; L_1 \cap K \neq \emptyset) = (\pi/2)F, \quad m(L_2; L_2 \cap K \neq \emptyset) = M_1,$$

这些是 E_3 里和一个凸集相交的直线测度和平面测度。直接的证明见[586, 335, 144]。

其次, 在和 K 相交的一切 L_r 的范围上, 试求截测积分

$W_{i+1}^{(r)}(K \cap L_r)$. 为此, 我们利用(12.52), 即

$$dL_{i+1}^{(r)} \wedge dL_r^* = dL_{r[i+1]} \wedge dL_{i+1}, \quad i+1 \leq r. \quad (11.3)$$

考虑积分

$$I = \int_{L_{i+1}^{(r)} \cap K \neq \emptyset} dL_{i+1}^{(r)} \wedge dL_r^*. \quad (11.4)$$

令 L_r 固定, 对 $dL_{i+1}^{(r)}$ 求积, 利用(14.1), 得

$$I = \frac{r O_{r-2} \cdots O_{r-i-2}}{(r-i-1) O_i \cdots O_1 O_0} \int_{L_r \cap K \neq \emptyset} W_{i+1}^{(r)}(K \cap L_r) dL_r^*. \quad (11.5)$$

另一方面, 根据(14.3)和(12.36),

$$\begin{aligned} I &= \int_{L_{i+1} \cap K \neq \emptyset} dL_{i+1} \int_{\text{全体}} dL_{r[i+1]} \\ &= \frac{2 O_{n-i-2} \cdots O_{n-r}}{O_{r-i-2} \cdots O_0} \int_{L_{i+1} \cap K \neq \emptyset} dL_{i+1}, \end{aligned} \quad (14.6)$$

其中因子 2 的出现是由于假定 L_r 是有向的. 因此若假定 L_r 是无向的, 则根据(14.1)和(11.5),

$$\begin{aligned} &\int_{L_r \cap K \neq \emptyset} W_{i+1}^{(r)}(K \cap L_r) dL_r \\ &= \frac{(r-i-1) O_{n-i-2} O_{n-2} \cdots O_{n-r} n}{(n-i-1) O_{r-i-2} O_{n-r} \cdots O_1 O_0 r} W_{i+1}(K), \end{aligned} \quad (14.7)$$

或者, 根据恒等式

$$2\pi O_{i-2} = (i-1) O_i, \quad (14.8)$$

可得

$$\begin{aligned} &\int_{L_r \cap K \neq \emptyset} W_{i+1}^{(r)}(K \cap L_r) dL_r \\ &= \frac{O_{n-2} \cdots O_{n-r} O_{n-i} n}{O_{r-i} \cdots O_0 O_{r-i} r} W_{i+1}(K). \end{aligned} \quad (14.9)$$

注意 $i=r-1$ 时, 根据(13.10), $W_r^{(r)} = O_{r-1}/r$ 而(14.9)和

(14.1)一致。

利用(13.17), 可以把(14.3)写成用中曲率积分表达的形式

$$\begin{aligned} \int_{L_r \cap K \neq \emptyset} M_r^{(r)}(\partial(K \cap L_r)) dL_r \\ = \frac{O_{n-1} \cdots O_{n-r} O_{n-1}}{O_{r-1} \cdots O_0 O_{r-1}} M_r(\partial K). \end{aligned} \quad (14.10)$$

本节的公式为 Santaló[565, 572]和 Hadwiger [274]所给出。

2. 几何概率

由以上公式可以得出几何概率中下面一些典型问题的解。

(1) 设 K_0, K_1 为 E_n 里的凸集而 $K_1 \subset K_0$ 。一个和 K_0 相交的随机 r 维平面 ($r = 1, 2, \dots, n-1$) 也和 K_1 相交的概率是

$$p(L_r \cap K_1 \neq \emptyset) = \frac{W_r(K_1)}{W_r(K_0)} = \frac{M_{r-1}(\partial K_1)}{M_{r-1}(\partial K_0)}. \quad (14.11)$$

这个结果可以从(14.1)和(14.2)直接推得。

(2) 设 K 为 E_n 里的凸集, 假定 $p+q \geq n$, 而 L_p 和 L_q 为 E_n 里和 K 相交的两个子空间。求 $L_p \cap L_q$ 和 K 相交的概率。

解 我们需要求下面积分的值

$$m(L_p, L_q; L_p \cap L_q \cap K \neq \emptyset) = \int_{L_p \cap L_q \cap K \neq \emptyset} dL_p / dL_q. \quad (14.12)$$

令 L_q 固定, 然后对于一切和 $L_q \cap K$ 相交的 L_p 求积, 得

$$m = \frac{O_{n-2} \cdots O_{n-p-1}}{(n-p) O_{p-1} \cdots O_0} \int_{L_q \cap K \neq \emptyset} M_{p-1}(L_q \cap \partial K) dL_q. \quad (14.13)$$

为了计算最后的积分, 我们分两款来考虑:

(a) $p+q \geq n+1$ 。根据(13.62), 得

$$M_{p-1} = \frac{\binom{q-1}{p+q-n-1}}{\binom{n-1}{p-1}} \frac{O_{p-1}}{O_{p+q-n-1}} M_{p+q-n-1}^{(q)} \quad (14.14)$$

而根据(14.10),

$$\begin{aligned} \int_{L_q \cap K \neq \emptyset} M_{p+q-n-1}^{(q)}(L_q \cap \partial K) dL_q \\ = \frac{O_{n-2} \cdots O_{n-q} O_{2n-p-q+1}}{O_{q-2} \cdots O_0 O_{n-p+1}} M_{p+q-n-1}(\partial K). \end{aligned} \quad (14.15)$$

把(14.14)和(14.15)代入(14.13),就得满足 $L_p \cap L_q \cap K \neq \emptyset$ 的一切子空间偶 L_p, L_q 的测度. 一切和 K 相交的子空间偶 L_p, L_q 的测度等于(14.2)所给出的 $m(L_p; L_p \cap K \neq \emptyset)$ 和 $m(L_q; L_q \cap K \neq \emptyset)$ 之积. 相除, 就得所求概率

$$\begin{aligned} p(L_p \cap L_q \cap K \neq \emptyset, p+q > n) \\ = \frac{2(p-1)!(q-1)! O_{p-1} O_{q-1} O_{2n-p-q+1}}{(p+q-n-1)!(n-1)! O_{n-p+1} O_{n-q+1} O_{p+q-n-1}} \\ \times \frac{M_{p+q-n-1}(\partial K)}{M_{p-1}(\partial K) M_{q-1}(\partial K)}. \end{aligned} \quad (14.16)$$

(b) $p+q=n$, 这时, (13.63)给出

$$M_{p-1} = \binom{n-1}{p-1}^{-1} O_{n-q-1} \sigma_q(L_q \cap K), \quad (14.17)$$

其中 $\sigma_q(L_q \cap K)$ 表示 $L_q \cap K$ 的 q 维体积. 此外, 利用关于 dL_q 的表达式(12.38), 并取 K 在 $L_{n-q \{n\}}$ 上的投影 K'_{n-q} 上的积分 $\sigma_q(L_q \cap K) d\sigma_{n-q}$, 则因这个积分等于 K 的体积 $V(K)$, 得

$$\begin{aligned} \int_{L_q \cap K \neq \emptyset} \sigma_q(L_q \cap K) dL_q = V(K) \int_{L_{n-q \{n\}}} dL_{n-q \{n\}} \\ = \frac{O_{n-1} \cdots O_{n-q}}{O_{q-1} \cdots O_0} V(K). \end{aligned} \quad (14.18)$$

故这时

$$m(L_p, L_q; L_p \cap L_q \cap K \neq \emptyset) \\ = \frac{O_{n-2} \cdots O_{n-p-1} O_{n-q-1}}{(n-p) O_{p-1} \cdots O_0 \binom{n-1}{p-1}} \frac{O_{n-1} \cdots O_{n-q}}{O_{q-1} \cdots O_0} V(K), \quad (14.19)$$

而所求概率是

$$p(L_p \cap L_q \cap K \neq \emptyset, p+q=n) \\ = \frac{p!q!O_{n-1}V(K)}{(n-1)!M_{p-1}(\partial K)M_{q-1}(\partial K)}. \quad (14.20)$$

例 (a) $p=1, q=n-1$ 时,

$$p = \frac{O_{n-1}V(K)}{F(\partial K)M_{n-2}(\partial K)}, \quad (14.21)$$

其中 $F(\partial K)$ 表示 ∂K 的面积.

(b) 若 K 为球体, (14.21) 给出 $p=1/n$. 于是得: 和一个球体相交的超平面和直线彼此在球内相交的概率是 $1/n$.

(3) 上面方法给出以下一般问题的解: 已给 h 个和凸集 K 相交的随机子空间 $L_{r_i} (i=1, 2, \dots, h)$, 其维数满足 $r_1 + r_2 + \dots + r_h \geq (h-1)n$, 求

$$L_{r_1} \cap L_{r_2} \cap \dots \cap L_{r_h} \cap K \neq \emptyset$$

的概率.

一般公式是复杂的, 但把上面方法用于每个特款, 就都容易得到解答. 例如在 E_3 里, 三个和 K 相交的平面的公共点在 K 内的概率是 $\pi^4 V/M^3$.

3. E_n 里的 Crofton 公式

我们试把第四章中 E_2 里的两个经典的 Crofton 公式推广到 E_n .

弦公式。设 P_1, P_2 为 E_n 里两点, G 为它们所确定的直线, t_1, t_2 为 P_1, P_2 在 G 上的坐标。若 $d\sigma_{n-1}$ 表示在 P_1 垂直于 G 的超平面上的体元, 则 E_n 在 P_1 的体元可以写成 $dP_1 = d\sigma_{n-1} \wedge dt_1$ 。另一方面, E_n 在 P_2 的体元可以写成 $dP_2 = t^{n-1} du_{n-1} \wedge dt_2$, 其中 $t = |t_2 - t_1|$ 而 du_{n-1} 表示对应于 G 的方向的 $n-1$ 维立体角元^①。于是

$$dP_1 \wedge dP_2 = t^{n-1} dG \wedge dt_1 \wedge dt_2. \quad (14.22)$$

对于一个凸集 K 内的一切点偶 P_1, P_2 求积, 并利用关系

$$\int_0^\sigma \int_0^\sigma |t_1 - t_2|^{n-1} dt_1 \wedge dt_2 = \frac{2}{n(n+1)} \sigma^{n+1}, \quad (14.23)$$

其中 σ 表示 K 在 G 上的弦长, 就得

$$\int_{G \cap K \neq \emptyset} \sigma^{n+1} dG = \frac{n(n+1)}{2} V^2, \quad (14.24)$$

其中 V 是 K 的体积。

Crofton 弦公式到 E_n 的这个推广是 Hadwiger [269] 的结果 (参看 [337])。由于和 K 相交的直线的测度是 $[O_{n-2}/2(n-1)]F$ (根据 (14.2)), σ^{n+1} 的中值是

$$E(\sigma^{n+1}) = \frac{n(n+1)}{O_{n-2}} \frac{V^2}{F}.$$

更一般地, 用 t 的一个幂乘 (14.22) 两边并像上面那样求积, 就得关系

$$2I_m = n(m-1)J_{m-n-1}, \quad (14.25)$$

其中

$$I_m = \int_{G \cap K \neq \emptyset} \sigma^m dG, \quad J_m = \int_{P_1, P_2 \in K} t^m dP_1 \wedge dP_2. \quad (14.26)$$

在 I_m 和 J_m 之间有类似第四章中所给出的对于 E_2 的不等式。

① 即 $n-1$ 维球面上的体元。——译者

② 应限于 $m \geq 2$ 。——译者

Hadwiger[269]证明了

$$F^2 \geq 2(n-1)(n-2)I_{-2},$$

其中等号只适用于球体。

由(14.25)和(14.26)可知一个凸集的两点间距离的中值是

$$E(r) = \frac{2I_{n+1}}{(n+1)(n+2)V^2}.$$

对于半径为 R 的三维球体, 经直接计算可得

$$I_m = \frac{2^{m+2}}{m+2} \pi^2 R^{m+2}.$$

$n=3$ 时, 已经知道的关于 I_3 之间的不等式有

$$8I_0^3 - 9\pi^2 I_1^2 \geq 0, \quad 4I_0^3 - 3\pi^4 I_4 \geq 0, \quad 3^4 I_1^4 - 2^6 \pi^2 I_2^3 \geq 0,$$

$$2^5 I_1^5 - 3^3 \pi^4 I_3^3 \geq 0, \quad \pi^2 I_2^2 - 3^2 I_1^2 \geq 0,$$

其中等号对于球体而且只对于球体成立(见[35.81])①。

① 译者证明了: 在 E_n , 若令 $J_m = (m+2)^2 \pi^{n/2} I_m^2 - 3m^{m+2-n} I_1$, 则下列一组等式和不等式成立:

$f_0 \geq 0, f_1 = 0, f_2 \leq 0, f_3 \leq 0, f_4 = 0$. $m \geq 5$ 时, $f_m \geq 0$, 其中 $f_0 \geq 0$ 就是经典的等周不等式 $O^2 - 2^2 3^2 \pi V^2 \geq 0$, f_1 本身是0, $f_4 = 0$ 就是 $n=2$ 时的Crofton公式(14.24), 即 $I_4 = 6V^2$, 而且所有不等式里的等号对于球体, 而且只对于球体成立. 书中第一, 第三, 第四和第五不等式就是 $f_0 \geq 0, f_2 \leq 0, f_3 \leq 0$ 和 $f_5 \geq 0$, 而书中第二不等式则可以由 $f_0 \geq 0$ 和 $f_1 = 0$ 得到.

任德麟把这一组等式和不等式推广到 $E_n (n \geq 2)$. 引进以下记号:

n	m	Δ_m
偶	奇	$I_m - 2^{m+\frac{n}{2}-1} \pi^{\frac{n}{2}} \frac{m!}{(m+n-1)!} O_n \left(\frac{2m}{O_{n-1}^2} I_1 \right)^{\frac{m+n-1}{n}}$
	偶	$I_m - 2^{m+\frac{n}{2}-1} \pi^{\frac{n}{2}-1} \frac{m!}{(m+n-1)!} \left(\frac{2m}{O_n^2} I_1 \right)^{\frac{m+n-1}{n}}$
奇	奇偶	$I_m - 2^{m+\frac{n-1}{2}-1} \pi^{\frac{n-1}{2}} \frac{m!}{(m+n-1)!} O_n \left(\frac{2m}{O_{n-1}^2} \right)^{\frac{m+n-1}{n}}$

则

$$\Delta_0 \geq 0, \Delta_1 = 0, \Delta_2, \Delta_3, \dots, \Delta_n \leq 0,$$

$$\Delta_{n+1} = 0, \Delta_{n+2}, \Delta_{n+3}, \dots \geq 0,$$

其中不等式中的等号对于球体, 而且只对于球体成立。——译者

角公式. 其次, 我们试推广 Crofton 公式(4.23) 到 E_n . 设 L_{n-1} 和 L_{n-1}^* 为两个和凸集 K 相交的超平面. 这样的超平面偶的测度是

$$\int_{\substack{L_{n-1} \cap K \neq \emptyset \\ L_{n-1}^* \cap K \neq \emptyset}} dL_{n-1} \wedge dL_{n-1}^* = M_{n-2}^2(\partial K). \quad (14.27)$$

我们计算其交集 $L_{n-1} \cap L_{n-1}^*$ 和 K 相交的超平面偶 L_{n-1} , L_{n-1}^* . 利用 $p = n-1, q = n-1$ 时的(11.13), (14.14), (14.15) (假定 $n > 2$), 得

$$M(L_{n-1} \cap L_{n-1}^* \cap K \neq \emptyset) = \frac{n-2}{n-1} \frac{O_{n-2}^2}{O_{n-3}} \frac{\pi}{4} M_{n-3}(\partial K). \quad (14.28)$$

另一方面, 考虑和 K 相交但其交集不和 K 相交的超平面偶, 为了计算它们的测度, 我们利用公式(12.43). 令 ϕ 表示 K 的两个经过 L_{n-2} 的撑超平面之间的角, 并令

$$\Phi_{n-1}(\phi) = \int_0^\phi \int_0^\phi |\sin^{n-1}(\phi_2 - \phi_1)| d\phi_1 \wedge d\phi_2, \quad (14.29)$$

则所求测度等于 $\int \Phi_{n-1}(\phi) dL_{n-2}$, 其中积分范围是一切在 K 外的 L_{n-2} . 由于这个测度和(4.28)之和必须等于(14.27), 我们得

$$\begin{aligned} & \int_{L_{n-2} \cap K \neq \emptyset} \Phi_{n-1}(\phi) dL_{n-2} \\ &= M_{n-2}^2(\partial K) - \frac{n-2}{n-1} \frac{O_{n-2}^2}{O_{n-3}} \frac{\pi}{4} M_{n-3}(\partial K). \end{aligned} \quad (14.30)$$

这就是 $n > 2$ 时 Crofton 公式到 E_n 的推广. $n = 2$ 的款已经在第四章直接讨论了. $\Phi_{n-1}(\phi)$ 的值如下:

(a) $n-1$ 为偶数时,

① 原书作(4.26), 下同. ——译者

$$\begin{aligned}\Phi_{n-1}(\phi) = & -\frac{2}{n-1} \left[\frac{1}{n-1} \sin^{n-1} \phi \right. \\ & + \sum_{i=1}^{n-3} \frac{(n-1) \cdots (n-2i)}{(n-3) \cdots (n-1-2i)} \sin^{n-1-2i} \phi \Big] \\ & + \frac{(n-2) \cdots 3 \cdot 1}{(n-1) \cdots 4 \cdot 2} \phi^2.\end{aligned}\quad (14.31)$$

(b) $n-1$ 为奇数时,

$$\begin{aligned}\Phi_{n-1}(\phi) = & -\frac{2}{n-1} \left[\frac{1}{n-1} \sin^{n-1} \phi \right. \\ & + \sum_{i=1}^{n-2} \frac{(n-2) \cdots (n-2i)}{(n-3) \cdots (n-1-2i)} \sin^{n-1-2i} \phi \\ & \left. - \frac{(n-1) \cdots 4 \cdot 2}{(n-3) \cdots 3 \cdot 1} \phi \right].\end{aligned}\quad (14.32)$$

公式(14.30)是 Santaló[565]给出的. $n=3$ 时, 有

$$\int_{L_1, K \neq \emptyset} (\phi^2 - \sin^2 \phi) dL_1 = 2M^2 - (\pi^{3/2})F, \quad (14.33)$$

这是 Herglotz[51, 306]的结果.

4. 线性子空间密度之间的一些关系

设 O 为固定点(原点), 并设 $L_{q[0]}$ 为经过 O 的一个固定 q 维平面. 设 $L_{r[0]}$ 为经过 O 的变动 r 维平面, 而且 $q+r > n$, 这样, $L_{q[0]} \cap L_{r[0]}$ 一般是经过 O 的 $r+q-n$ 维平面, 用 $L_{r+q-n[0]}$ 表示. 我们将用 $dL_{r[r+q-n]}(L_r$ 绕 $L_{r+q-n[0]}$ 的密度)和 $dL_{r+q-n[0]}^{(q)}(L_{r+q-n[0]}$ 作为固定的 $L_{q[0]}$ 的子空间的密度)之积来表达 $dL_{r[0]}$. 为此目的, 考虑下面两个么模正交动标:

动标 I

(a) $e_1, e_2, \dots, e_{r+q-n}$ 确定 $L_{q[0]} \cap L_{r[0]}$;

(b) $e_{r+q-n+1}, \dots, e_r$ 在 $L_{q[0]}$ 里;

(c) e_{r+1}, \dots, e_n , 补足么模正交动标 I 的任意么矢.

动标 II

(a) $e_1, e_2, \dots, e_{r+q-n}$ 确定 $L_{q[0]} \cap L_{r[0]}$;

(b) $b_{r+q-n+1}, \dots, b_r$ 为垂直于 $L_{q[0]}$ 的 $n-q$ 维平面 $L_{n-q[0]}$ 里的常矢;

(c) b_{r+1}, \dots, b_n 在 $L_{q[0]}$ 里, 它们和 e_1, \dots, e_{r+q-n} 一起构成 $L_{q[0]}$ 里的一个么模正交标架.

有了以上记号之后, 根据(12.27)和(12.3), 就有

$$dL_{r[0]} = \bigwedge_{a=1} (e_{r+a}, de_i) \bigwedge_{a,h} (e_{r+a}, de_h), \quad (14.34)$$

其中下标范围如下:

$$\begin{aligned} a &= 1, 2, \dots, n-r; & i &= 1, 2, \dots, r+q-n; \\ h &= r+q-n+1, \dots, r, \end{aligned} \quad (14.35)$$

这些范围在本节中都适用.

根据(12.26), 我们有

$$dL_{r[r+q-n]} = \bigwedge_{a,h} (e_{r+a}, de_h), \quad (14.36)$$

$$dL_{r+q-n[0]}^{(q)} = \bigwedge_{a,i} (b_{r+a}, de_i). \quad (14.37)$$

令

$$e_{r+a} = \sum_h u_{r+a,h} b_h + \sum_k u_{r+a,k} b_k, \quad (14.38)$$

其中 h 的范围见(14.35)而 $k = r+1, r+2, \dots, n$.

由于 b_h 是常矢, $(b_h \cdot de_i) = -(e_i \cdot db_h) = 0$, 故

$$(e_{r+a} \cdot de_i) = \sum_k u_{r+a,k} (b_k \cdot de_i). \quad (14.39)$$

由(14.34)和(14.39), 就得所求公式

$$dL_{r[0]} = \Delta^{r+q-n} dL_{r[r+q-n]} \wedge dL_{r+q-n[0]}^{(q)}, \quad (14.40)$$

其中

$$\Delta = \det(\mathbf{e}_{r+1}, \dots, \mathbf{e}_r). \quad (14.41)$$

在一切 $L_{r,0}$ 上对 (14.40) 求积, 在左边得到已知的值 (12.35), 而在右边, 由于 Δ 只和 $L_{r+r+q-n}$ 有关, 可以对于 $n \rightarrow q$, $r \rightarrow r+q-n$ 利用同一个公式 (12.35) 来积分 $dL_{r+q-n,0}^{(q)}$, 其结果是

$$\int \Delta^{r+q-n} dL_{r+q-n,0}^{(q)} = \frac{O_{n-1} O_{n-2} \dots O_q}{O_{r-1} O_{r-2} \dots O_{r+q-n}}, \quad (14.42)$$

其中积分范围是一切 $L_{r+q-n,0}$.

可以把这个公式写成另一种有用的形式. 注意 $dL_{r,0}^{(r)} = dL_{r-r,0}^{(r-r)}$ (第十二章, 第 4 节), 它可以写成

$$dL_{r(r+q-n)} = dL_{r-r,0}^{(2r-r-q)}, \quad (14.43)$$

因而 (14.42) 化为

$$\int_{\sigma_{r-r,0}, \dots, \sigma_r} \Delta^{r+q-n} dL_{r-r,0}^{(2r-r-q)} = \frac{O_{n-1} \dots O_q}{O_{r-1} \dots O_{r+q-n}}. \quad (14.44)$$

改变记号, 令 $r+q-n=N$, $2n-x-q=\nu$, $n-q=\rho$, 就得

$$\int_{\sigma_{\rho,0}, \dots, \sigma_N} \Delta^N dL_{\rho,0}^{(\nu)} = \frac{O_{N+\rho-1} \dots O_{N+\nu-\rho}}{O_{N+\rho-1} \dots O_N}. \quad (14.45)$$

注意行列式 Δ 的意义: 经过原点 O , 有 ρ 个固定么模正交矢量 $\mathbf{e}_1^0, \mathbf{e}_2^0, \dots, \mathbf{e}_\rho^0$, 又有么模正交矢量 $\mathbf{e}_1, \mathbf{e}_2, \dots, \mathbf{e}_\rho$ 所张成的变动中的 $L_{\rho,0}$. 这样, $\Delta = \det(\mathbf{e}_i^0, \mathbf{e}_j)$, 其中 $1 \leq i, j \leq \rho$.

试考察从 (14.40) 可得的其他结果. 考虑固定的 $L_{q,0}$ 和一个变动的 L_r , $r+q > n$. 设 x 为交集 $L_r \cap L_{q,0}$ 的一点, 并考虑以 x 为始点的上述动标 I 和 II. 为了应用 (14.40), 注意

$$dL_{n-r,0} = dL_{r,0} = dL_{r(x)}, \\ d\sigma_{n-r} = (dx \cdot \mathbf{e}_{r+1}) \wedge \dots \wedge (dx \cdot \mathbf{e}_n).$$

于是

$$dL_r = dL_{r(x)} \bigwedge_a (dx \cdot \mathbf{e}_{r+a}), \quad a = 1, 2, \dots, n-r. \quad (14.46)$$

由于矢量 $b_h (h = r + q - n + 1, \dots, r)$ 垂直于 $L_r \cap L_{q|0}$, 而 $x \in L_r \cap L_{q|0}$, 我们有 $dx \cdot b_h = 0$, 因而由(14.38) 得

$$dx \cdot e_{r+q} = \sum_k v_{r+q, k} (dx \cdot b_k). \quad (14.47)$$

由此可知

$$\bigwedge_a (dx \cdot e_{r+q}) = \Delta \bigwedge_k (dx \cdot b_k), \quad k = r + 1, \dots, n. \quad (14.48)$$

但 $dL_{r+q-n}^{(q)} = dL_{r+q-n|0}^{(q)} \bigwedge_k (dx \cdot b_k)$, 故由最后几个关系和(14.39), 得

$$dL_r = \Delta^{r+q-n+1} dL_{r(r+q-n)} \wedge dL_{r+q-n}^{(q)}. \quad (14.49)$$

设 $F(L_r)$ 为只决定于 $L_{r+q-n}^{(q)} = L_r \cap L_{q|0}$ 的可积函数, 就有

$$\int F(L_r) dL_r = \int \Delta^{r+q-n+1} dL_{r(r+q-n)} \int F(L_{r+q-n}^{(q)}) dL_{r+q-n}^{(q)}, \quad (14.50)$$

其中积分范围是被积函数的一切可能的值。根据(14.43),

$$\int \Delta^{r+q-n+1} dL_{r(r+q-n)} = \int \Delta^{r+q-n+1} dL_{\frac{(2n-r-q)}{q-q|0}}, \quad (14.51)$$

又把(14.45) 应用于 $N = r + q - n + 1$, $\rho = n - q$, $\nu = 2n - r - q$ 的款, 就得

$$\int \Delta^{r+q-n+1} dL_{r(r+q-n)} = \frac{O_n O_{n-1} \dots O_{q-1}}{O_r O_{r-1} \dots O_{r+q-n+1}} \quad (14.52)$$

以及最后

$$\int F(L_r) dL_r = \frac{O_n O_{n-1} \dots O_{q+1}}{O_r O_{r-1} \dots O_{r+q-n+1}} \int F(L_{r+q-n}^{(q)}) dL_{r+q-n}^{(q)}. \quad (14.53)$$

公式(14.44)和(14.53)是陈省身[112]的工作。

作为(14.53)的一个应用, 设 K_q 为含在 $L_{q|0}$ 里的凸集, 而 F 为一个函数, 当 $L_r \cap K_q \neq \emptyset$ 时, 它等于 1, 否则等于 0。这样, (14.53)左边是和 K_q 相交的一切 L_r 的测度。于是根据(14.2), 就有

$$\int_{L_r \cap K_q \neq \emptyset} dL_r = \frac{O_{n-2} \cdots O_{n-r-1}}{(n-r)O_{r-1} \cdots O_1 O_0} M_{r-1}^{(*)}, \quad (14.54)$$

其中 $M_{r-1}^{(*)}$ 表示作为 E_n 的凸体的 K_q 的第 $r-1$ 个中曲率积分。(14.53)右边的积分是 $L_{q|0}$ 里一切和 K_q 相交的 $L_{r+q-n}^{(q)}$ 的测度。因此, 根据同一个公式(14.2), 就有

$$\begin{aligned} \int_{L_{r+q-n}^{(q)} \cap K_q \neq \emptyset} dL_{r+q-n}^{(q)} \\ = \frac{O_{q-2} \cdots O_{n-r-1}}{(n-r)O_{r+q-n-1} \cdots O_0} M_{r+q-n-1}^{(q)}, \end{aligned} \quad (14.55)$$

其中 $M_{r+q-n-1}^{(q)}$ 是作为 $L_{q|0}$ 的凸体的 K_q 的第 $r+q-n-1$ 个中曲率积分。于是(14.53)给出

$$M_{r-1}^{(*)} = \frac{O_{r+q-n} O_n O_{n-1}}{O_r O_q O_{q-1}} M_{r+q-n-1}^{(q)}. \quad (14.56)$$

这个公式应当和(13.62)一致。为了验证这一点, 只须利用(1.22)中 O_i 的值以及下面关于 γ 函数的已知性质:

$$\Gamma(z) = (z-1)!, \quad \Gamma(z)\Gamma\left(z + \frac{1}{2}\right) = 2^{1-2z} \pi^{1/2} \Gamma(2z). \quad (14.57)$$

5. 和一个流形相交的线性子空间

设 $(x; e_i)$ 为变动的么模正交标架, 并设 L_r 为 x, e_1, e_2, \dots, e_r 所确定的 r 维平面。根据(12.18), L_r 的密度是

$$dL_r = \bigwedge_i \omega_i \bigwedge_{h,j} \omega_h \omega_j, \quad 1, h = r+1, \dots, n, \quad j = 1, 2, \dots, r. \quad (14.58)$$

外积 $\bigwedge \omega_i = \bigwedge (dx \cdot e_i)$ ($i = r+1, \dots, n$) 等于垂直于 L_r 的 $n-r$ 维平面 $L_{n-r[x]}$ 在 x 的体元 $d\sigma_{n-r}(x)$ 。外积

$$\bigwedge_{k=r+1}^n = \bigwedge (e_i \cdot de_k)$$

是绕 x 的 r 维平面的体元。故有(参看(12.38))

$$dL_r = d\sigma_{n-r}(x) \wedge dL_{r[x]}. \quad (14.59)$$

设 M^q 为嵌在 E_n 里的一个 q 维紧致可微流形, 并假定它是逐段(块)光滑的。假定 $r+q \geq n$, 并考虑和 M^q 有交点的 r 维平面的集合。交集 $L_r \cap M^q$ 一般是 $r+q-n$ 维流形。选取标架 $(x; e_i)$, 其中 $x \in L_r \cap M^q$, 而 $e_1, e_2, \dots, e_{r+q-n}$ 是 $L_r \cap M^q$ 的么模正交切矢。设 $b_{r+1}, b_{r+2}, \dots, b_n$ 为一组么模正交矢量, 而且 $e_1, \dots, e_{r+q-n}, b_{r+1}, \dots, b_n$ 张成 M^q 在 x 的切空间。由于我们只考虑和 M^q 相交的 r 维平面, 对于(14.59)中的 x , 可以假定

$$dx = \sum_{i=1}^{r+q-n} \lambda_i e_i + \sum_{k=r+1}^n \beta_k b_k, \quad (14.60)$$

其中 λ_i 和 β_k 是一次微分齐式。于是

$$\omega_{r+a} = dx \cdot e_{r+a} = \sum_{k=r+1}^n \beta_k (b_k \cdot e_{r+a}), \quad a = 1, 2, \dots, n-r, \quad (14.61)$$

因而

$$d\sigma_{n-r}(x) = \bigwedge_{a=1}^{n-r} \omega_{r+a} = \Delta \bigwedge_{k=r+1}^n \beta_k, \quad k = r+1, \dots, n, \quad (14.62)$$

其中 $\Delta = \det(b_k, e_{r+a}) = \det(\cos \phi_{k, r+a})$, 而 $\phi_{k, r+a}$ 则是 b_k 和 e_{r+a} 之间的角。

在 x , 若 $d\sigma_{r+q-n}(x)$ 表示 $L_r \cap M^q$ 的体元而 $d\sigma_q(x)$ 表示 M^q 的体元, 则因 $\bigwedge \beta_k$ 是 M^q 中垂直于 $L_r \cap M^q$ 的 $n-r$ 维体元, 得

$$\bigwedge_{k=2}^n \beta_k \bigwedge d\sigma_{r+q-1}(x) = d\sigma_q(x), \quad (14.63)$$

因而从(14.59), (14.62)和(14.63), 就得

$$d\sigma_{r+q-n}(x) dL_r = \Delta d\sigma_q(x) \wedge dL_{r|x}, \quad (14.64)$$

注意:

(a) Δ 决定于 L_r 相对于 M^q 在 x 的 q 维平面的位置, 但与 x 无关.

(b) 若 $r+q-n=0$, 公式(14.64)仍然正确, 并化为

$$dL_r = \Delta d\sigma_q(x) \wedge dL_{r|x}, \quad r+q=n. \quad (14.65)$$

用 $\sigma(M^q)$ 表示 M^q 的 q 维体元. 对一切和 M^q 相交的 r 维平面求(14.64)两边的积分, 得

$$\int_{L_r \cap M^q \neq \emptyset} \sigma_{r+q-n}(M^q \cap L_r) dL_r = c \sigma_q(M^q), \quad (14.66)$$

其中

$$c = \int \Delta dL_{r|x}$$

是需要计算的一个常数. 为此, 我们将对于 E_n 里的 q 维么球 U_q 直接计算(14.66)的左边. 用 $L_m^{(q+1)}$, $m \leq q$ 表示含 U_q 在内的 $q+1$ 维平面里的 m 维平面. 先考虑积分

$$\int \sigma_{m-1}(U_q \cap L_m^{(q+1)}) dL_m^{(q+1)}, \quad (14.67)$$

积分范围是一切和 U_q 相交的 $L_m^{(q+1)}$. 若 O 是 U_q 的中心而 ρ 表示从 O 到 $L_m^{(q+1)}$ 的距离, 则 $U_q \cap L_m^{(q+1)}$ 是一个 $m-1$ 维球, 其半径是 $(1-\rho^2)^{1/2}$. 因而

$$\sigma_{m-1}(U_q \cap L_m^{(q+1)}) = (1-\rho^2)^{(m-1)/2} O_{m-1}.$$

另一方面, 由于经过 O 而垂直于 $L_m^{(q+1)}$ 的 $q+1-m$ 维平面在它和 $L_m^{(q+1)}$ 的交点的体元是 $\rho^{q-m} du_{q-m} \wedge d\rho$, 我们就有

$$dL_m^{(q+1)} = \rho^{q-m} du_{q-m} \wedge d\rho \wedge dL_{q+1-m|0}.$$

注意

$$\int_0^1 \rho^{q-m} (1-\rho^2)^{m-1} d\rho = O_{q+1} (O_{q-m} O_m)^{-1},$$

再应用对于 Grassmann 流形 $G_{q+1-m, m}$ 的公式(12.35), 就得

$$\begin{aligned} \int_{L_m^{(q+1)} \cap U_q \neq \emptyset} \sigma_{m-1}(U_q \cap L_m^{(q+1)}) dL_m^{(q+1)} \\ = \frac{O_{q+1} O_q \cdots O_{m+1} O_{m-1}}{O_{q-m} O_{q-m-1} \cdots O_0}. \end{aligned} \quad (14.68)$$

现在回到 E_n 里的一般 L_m 的情况. 我们令公式(14.53)里的 F 等于 $U_q \cap L_m$ 的体积, 然后应用该公式. 由于 U_q 是含在一个固定的 $q+1$ 维平面里, 我们用 q 代替 $q+1$, 然后令 (14.68) 中的 $m \rightarrow r+q+1-n$, 就得

$$\int_{U_q \cap L_r \neq \emptyset} \sigma_{r+q-n}(U_q \cap L_r) dL_r = \frac{O_n O_{n-1} \cdots O_{r+1} O_{r+q-n}}{O_{n-r-1} \cdots O_1 O_0}.$$

和(14.66)比较, 就得常数 c 的值. 代入(14.66), 就得最后结果

$$\int_{M^q \cap L_r \neq \emptyset} \sigma_{r+q-n}(M^q \cap L_r) dL_r = \frac{O_n \cdots O_{n-r} O_{r+q-n}}{O_r \cdots O_0 O_n} \sigma_q(M^q). \quad (14.69)$$

值得注意的是, 这个公式适用于任意常曲率空间, 即欧氏和非欧空间(见[561, 565]). $r+q=n$ 时, (14.69)化为

$$\int_{M^{n-r} \cap L_r \neq \emptyset} N(M^{n-r} \cap L_r) dL_r = \frac{O_n \cdots O_{n-r+1}}{O_r \cdots O_1} \sigma_q(M^{n-r}), \quad (14.70)$$

其中 $N(M^{n-r} \cap L_r)$ 表示交集 $M^{n-r} \cap L_r$ 所含的点的个数.

公式(14.69)包括大量的特款. 我们指出下列结果.

例1 对于平面, $n=2$, 有两种可能:

(a) $r=1, q=1$. 这 M^1 是曲线, $\sigma_1(M^1)$ 是它的长, 而 $\sigma_0(M^1)$

$\cap L_1$) 是 M^1 和直线 L_1 的交点数。公式(14.69)化为(3.17)。

(b) $r = 1, q = 2$ 。这时 M^2 是平面域，面积是 $\sigma_2(M^2)$ 。被积函数 $\sigma_1(M^2 \cap L_1)$ 是弦 $M^2 \cap L_1$ 的长，因而(14.69)和(3.6)一致。

例2 对于空间 $n = 3$ ，有下列诸款：

(a) $r = 1, q = 2$ 。 L_1 是和 一个面积的 F 为固定曲面 M^2 相交的直线，而(14.69)化为

$$\int_{L_1 \cap M^2 \neq \emptyset} N dL_1 = \pi F, \quad (14.71)$$

其中 N 是 L_1 和 M^2 的交点数。

(b) $r = 1, q = 3$ 。 L_1 是和 一个固定域 D 相交的直线。若 σ_1 表示弦 $L_1 \cap D$ 的长，就得

$$\int_{L_1 \cap D \neq \emptyset} \sigma_1 dL_1 = 2\pi V, \quad V = D \text{ 的面积。} \quad (14.72)$$

(c) $r = 2, q = 1$ 。 L_2 为和长度等于 L 的曲线 C 相交的平面。这时有

$$\int_{L_2 \cap C \neq \emptyset} N dL_2 = \pi L, \quad (14.73)$$

其中 N 是 L_2 和 C 的交点数。我们已经证明，这个公式(14.73)对于逐段光滑曲线是成立的，但它对于任意有长曲线也是正确的。

(d) $r = 2, q = 2$ 。 L_2 为和 一个固定曲面 M^2 相交的平面。这时(14.69)给出

$$\int_{L_2 \cap M^2 \neq \emptyset} \lambda dL_2 = (\pi^2/2)F, \quad (14.74)$$

其中 λ 是 $L_2 \cap M^2$ 的长， F 是 M^2 的面积。

White[721]给出了一些积分公式，这些公式表达了经过一个固定点的平面同 一个曲面的交线的长和总曲率与曲面不变量之间的关系。

(e) $r = 2, q = 3$. L_2 是和一个体积等于 V 的固定域 D 相交的平面。这时(14.69)化为

$$\int_{L_2 \cap D \neq \emptyset} \sigma_2 dL_2 = 2\pi V, \quad (14.75)$$

其中 σ_2 是交集 $L_2 \cap D$ 的面积。

由(14.74)和(14.75), 利用 $m(L_r; L_r \cap K \neq \emptyset) = M$ 的事实, 可得以下(关于凸体 K)的中值:

$$E(\lambda) = \pi^2 F / 2M, \quad E(\sigma_2) = 2\pi V / M. \quad (14.76)$$

例3 设 $\omega^{(s-r)}$ 为一个在 M^{s-r} 上确定的 $n-1$ 次齐式。则(14.70)可以推广到如下形状的积分公式:

$$\int_{L_r \cap M^{s-r} \neq \emptyset} \left(\sum_i \omega^{(s-r)}(P_i) \right) dL_r = c \int_{M^{s-r}} \omega^{(s-r)},$$

其中 P_i 为 $M^{s-r} \cap L_r$ 中的交点, c 为常数。这类公式可用来证明 Stokes 公式

$$\int_{\partial M^{s-r}} \omega = \int_{M^{s-r}} d\omega$$

(例如 Maak[379] 和 Horneffer[312, 313])。

6. 超曲面与线性空间

我们试把公式(14.10)推广到一个不限于凸的体 Q 和同它相交的变动的 r 维平面。假定 ∂Q 是属于 C^2 类的超曲面。设 L_r 为同 Q 相交的 r 维平面, 而 $x \in L_r \cap \partial Q$ 。这时 $q = n-1$, 公式(14.64)化为

$$d\sigma_{r-1}(x) \wedge dL_r = \Delta d\sigma_{n-1}(x) \wedge dL_{r[x]}. \quad (14.77)$$

设 $\rho_1, \dots, \rho_{r-1}$ 为 $r-1$ 维流形 $\partial Q \cap L_r$ 在 x 的主曲率。以 $\{1/\rho_{h_1}, \dots, 1/\rho_{h_{r-1}}\}$ 乘(14.77)两边, 并对一切变量值求积, 则在左边, 得到积分

$$\binom{r-1}{i} \int M_i^{(r)} dL_r,$$

其积分范围是一切令 $L_r \cap \partial Q \neq \emptyset$ 的 L_r . 为了计算右边的积分, 注意主曲率 $1/\rho_h (h=1, 2, \dots, r-1)$ 可以用 ∂Q 在 x 的主曲率 $1/R_s (s=1, 2, \dots, n-1)$ 以及第 5 节的矢量 e_h 和 b_s 之间的角 $\phi_{h,s}$ 表示 (因为 Euler 和 Meusnier 关于曲面的经典定理对于超曲面也以一种类似的方式适用, 见 [165]). 因此, 令

$$\{1/\rho_{h_1}, \dots, 1/\rho_{h_r}\} \Delta = F(1/R_s, \phi_{h,s}),$$

就可以看出, 对于一切经过 x 的 L_r 所取的积分 $\int F dL_{r(x)}$ 只同 R_1, R_2, \dots, R_{n-1} 有关. 直接计算这个积分看来是困难的. 但是我们知道, 对于凸体, 它 (除了一个常数因子外) 等于对称函数 $\{1/R_{h_1}, \dots, 1/R_{h_r}\}$ (14.10), 而这个局部结果不会受 ∂Q 的整体性质所影响, 因此 (14.10) 普遍成立. 换句话说, 对于任意其边界 ∂Q 属于 C^2 类的 Q , 可以写出公式

$$\begin{aligned} \int_{Q \cap L_r \neq \emptyset} M_i^{(r)} (\partial Q \cap L_r) dL_r \\ = \frac{O_{n-2} \cdots O_{n-r} O_{n-r+1}}{O_{r-2} \cdots O_0 O_{r-1}} M_i (\partial Q). \end{aligned} \quad (14.78)$$

若 Q 为凸体而取 $i=r-1$, 就得 $M_{r-1}^{(r)} = O_{r-1}$, 而 (14.78) 就和 (14.2) 一致. 对于任意不一定是凸的体 Q , 利用 (13.78), 有

$$\begin{aligned} \int_{Q \cap L_r \neq \emptyset} \chi(Q \cap L_r) dL_r \\ = \frac{O_{n-2} \cdots O_{n-r} O_{n-r+1}}{O_{r-2} \cdots O_0 O_{r-1}} M_{r-1} (\partial Q) \\ = \frac{O_{n-2} \cdots O_{n-r-1}}{(n-r) O_{r-1} \cdots O_0} M_{r-1} (\partial Q). \end{aligned} \quad (14.79)$$

若令 $M_-(\partial Q) = nW_{r+1}(Q)$, (14.79) 可以作为非凸体的 $W_{r+1}(Q)$ 的定义[274, 第240页].

7. 注记

(1) Favard 测度与维数. 若 A 为 E_n 的一个子集而 k 为小于 n 的正整数, 则 A 的 k 维 Favard 测度的定义是

$$M_k^f(A) = \frac{O_{n-k} \cdots O_1}{O_n \cdots O_{k+1}} \int_{L_{n-k} \cap A \neq \emptyset} N(A \cap L_{n-k}) dL_{n-k},$$

其中 $N(A \cap L_{n-k})$ 表示 $A \cap L_{n-k}$ 的点的个数(可能无限大). 若 s 和 n 是整数, $n > 0$, $0 \leq s \leq n$, 而 $m_s^f(A) = 0$, 则 $\dim A \leq s - 1$.

可以证明下面公式(可与(14.69)比较)

$$M_k^f(A) = \frac{O_{n-k+h} \cdots O_0 O_k}{O_n \cdots O_{k-h} O_h} \times \int_{L_{n-k+h} \cap A \neq \emptyset} m_s^f(A \cap L_{n-k+h}) dL_{n-k+h}.$$

Favard 测度的性质, 它和其他测度(Caratheodory, Hausdorff)的关系, 以及它和维数的关系, 在 Federer[174, 175]的重要论文中有论述.

(2) 支撑一个凸体的 r 维平面集合. 设 ω 为 E_n 里代表一切方向的幺球面上的一个点集. 设 K 为 E_n 里一个凸体, 取 K 的撑超平面中, 其向外法线方向落在 ω 里的那一部分, 再取 K 的边界点中属于至少一个这样撑超平面的那一部分, 设 $S(K; \omega)$ 表示这些点的集合的 $n-1$ 维面积. 若 B 为幺球体而 $\lambda \geq 0$, 则 $S(K + \lambda B; \omega)$ 是含 λ 的一个多项式, 其系数确定 K 的所谓面积函数 $S_{n-q-1}(K; \omega)$, $q = 0, 1, \dots, n-1$. 对于每一个 $u \in U$, 有唯一的具有向外法矢的 $K + \lambda B$ 的撑超平面. 在这个超平面里, 设 $C_q(u, \lambda)$ 为一切和 $K + \lambda B$ 有公共点的 q 维平面. 对于每一个 ω 和每一个 $\eta > 0$, 设

$$F_q(K; \omega, \eta) = \bigcup C_q(u, \lambda) \quad (u \in \omega, 0 < \lambda < \eta).$$

设 $\mu_q(K; \omega, \eta)$ 为 $F_q(K; \omega, \eta)$ 作为 E_n 里一个 q 维平面集合的不变测度。Firey[193]证明了

$$\lim_{q \rightarrow 0^+} (F(K; \omega, \eta)/\eta) = S_{n-q-1}(K; \omega).$$

若 $\omega = U$, 则 $S_{n-q-1}(K; U) = nW_{q+1}(K)$, 其中 $W_{q+1}(K)$ 是 K 的第 $q+1$ 截测积分。因此, 本来(除一个常数因子外)等于和 K 相交的 $q+1$ 维平面的测度 $W_{q+1}(K)$ 也可以看作“支撑” K 的 q 维平面的测度。

(3) 关于 n 维椭圆面的一个积分几何公式。设 K 为中心在原点的一个 n 维椭圆面, $G_{r, n-r}$ 表示经过 E_n 原点的 r 维平面所构成的 Grassmann 流形。Furstenberg 与 Tzkon[209a] 给出了公式其

$$c_{n,r} m(G_{r, n-r}(\sigma_n(K)))^r \\ = \int_{G_{r, n-r}} [\sigma_r(K \cap L_{r, \{0\}})]^n dL_{r, \{0\}},$$

中 $m(G_{r, n-r})$ 是 Grassmann 流形 $G_{r, n-r}$ 的测度(12.35), σ_h 表示 h 维测度, 而

$$c_{n,r} = [\Gamma(n/2)(n/2)]^r [\Gamma(r/2)(r/2)]^n.$$

这个公式可以经过多重扩张以得到关于标志流形①, 即一切 m 平面组 $L_{s_1} \subset L_{s_2} \subset \dots \subset L_{s_m}$ 所构成的流形的公式。有关结果见 Miles[421]和Guggenheimer[259]。

(4) 带的集合。 E_n 里两个距离为 a 的平行超平面之间的部分空间叫做带, a 叫做它的宽。具有已给宽度的带 B 的位置可以用居中的超平面来确定, 因而带的密度和超平面相同, $dB = d\rho \wedge du_{n-1}$ (12.40)。

设 K 为 E_n 里的凸集。对于平行于 K , 距离为 $a/2$ 的凸体 $K_{a/2}$, 中曲率积分是 $M_{n-2}(\partial K) + (O_{n-1}/2)a$ (13.55), 故

$$m(B; B \cap K \neq \emptyset) = M_{n-2}(\partial K) + (O_{n-1}/2)a.$$

(14.79a)

① flag manifold. —译者

若 K 的直径小于 a ①, 则又有

$$m(B, B \supset K) = (Q_{n-2}/2)a - M_{n-2}(\partial K).$$

设 K_0 是常宽为 D_0 的凸集, 则 $M_{n-2}(\partial K_0) = (Q_{n-2}/2)D_0$. 设 K_1 为凸集, $K_1 \subset K_0$. 现在不假定 B 变动而假定有一个固定的平行带 B 的序列, 各带词的距离为 D_0 (图 5.3) 然后把连同 K_1 在内的 K_0 随机地放在空间里, 由于 K_0 总要和唯一的一个带 B 相交, 而且我们知道每一个直径等于 D_0 的凸集是一个常宽为 D_0 的集的子集 [63, 第 130 页], 所以得以下结论:

设 E_n 里有一组平行带, 带宽为 a , 各带间距离为 D_0 , 而把一个凸集 K_1 随机地放在空间里, K_1 直径 $D_1 \leq D_0$, 则 K_1 和其中一个带相交的概率是

$$p = \frac{2M_{n-2}(\partial K_1) + O_{n-1}a}{O_{n-1}(D_0 + a)}.$$

特殊地, 若 $a = 0$, 则

$$p = \frac{2M_{n-2}(\partial K_1)}{O_{n-1}D_0},$$

而若 K_1 是一条长度为 b 的线段, 则

$$p = \frac{2O_{n-2}b}{(n-1)O_{n-1}D_0}.$$

这些公式把经典的 Buffon 针问题 (第五章, 第 2 节) 推广到 E_n . 另一种途径见 Stoka [649] 和 Ambarcumjan [11].

(5) 关于凸多面体的中值. (a) 由 (14.1) 和 (14.73), 可见若一个已给凸多面体被随机平面截成多边形, 这些多边形顶点数的平均值是 $E(\nu) = \pi L/M$, 其中 M 是中曲率积分而 L 是多面体的棱的总长.

(b) 设 Q 为凸多面体, $A_i (i = 1, \dots, N)$ 是它的顶点数. 设 ϕ_i 表示 Q 在 A_i 的内立体角. 经过 A_i 的一条直线若和 Q 只有公共点

① 原书作 a 小于 K 的直径. ——译者

A_i , 就叫做在 Q 外的直线. 显然, 经过 A_i 的一条随机直线在 Q 外的概率是 $1 - \phi_i/2\pi$. Q 在一个平面 E 上的垂直投影是一个多边形, 其顶点数等于经过 A_i 而垂直于 E 的 Q 外直线数. 这样, Q 在一个随机平面上的垂直投影多边形的顶点数期望值是

$$E(\nu_1) = N - (1/2\pi) \sum_i \phi_i.$$

这个结果可推广到 E_n (见 [412]).

(6) 关于空间曲线的积分公式. 我们叙述 [481] 所获得的关于 E_3 里的曲线的一些结果.

设 Γ 为 E_3 里的有向闭曲线, 它是可微的, 属于 C^3 类, 没有尖点或重点. 对于每条直线 G , 设 $\lambda(G)$ 表示 G 受到 Γ 的环绕数 (Γ 环绕 G 的次数), 而对于每个平面 E , 设 P_1, P_2, \dots 表示 $E \cap \Gamma$ 的点. 令 $r(P_i, P_j)$ 为由 P_i 到 P_j 的距离, i_{P_j} 表示 E 和 Γ 的交点数 (若曲线在 P_j 的切矢和定向平面 E 上两个右旋矢量构成右手系, 则交点数为 $+1$, 否则为 -1). Pohl 证明了积分公式

$$\pi \int \lambda^2 dG = - \int \left(\sum_{i,j} r(P_i, P_j) i_{P_i} i_{P_j} \right) dE, \quad (14.80)$$

其中左边积分范围是 E_3 的一切直线而右边积分范围是 E_3 的一切平面.

(14.80) 右边可以按以下方法写成另一形状. 对于 Γ 每个有序点偶 P, Q , 取从 P 到 Q 的矢 $e = e(P, Q)$ 和距离 $r(P, Q)$. 设 $t(P), t(Q)$ 依次表示 Γ 在 P, Q 的切矢, 而 σ_P, σ_Q 表示角 $(t(P), e), (t(Q), e)$. 设 $\tau(P, Q)$ 表示 $(t(P), e)$ 和 $(t(Q), e)$ 所确定的有向平面之间的角. 设 ds 表示弧元素, 并设

$$dI = -r^{-1} \cos \tau \sin \sigma_P \sin \sigma_Q ds(P) \wedge ds(Q), \quad (14.81)$$

在这里, 我们假定了式中各量有确定值, 而这条件不满足时, 令 $dI = 0$. 于是

① “有向” 是译者所加. ——译者

$$-\iint \left(\sum_{i,j} r(P_i, P_j) \right) dE = (\pi/2) \int_{\Gamma \times \Gamma} r dI. \quad (14.82)$$

Pohl的另一个积分公式是

$$2L = \int_{\Gamma \times \Gamma} dI, \quad (14.83)$$

其中 L 是 Γ 的长。

对于平面曲线, (14.81) 和 (14.82) 给出

$$2\pi \int_{E_2} w^2 dP = \int_{\Gamma \times \Gamma} r dI, \quad (14.84)$$

其中 dP 是 E_2 里的面元而 w 是 P 被 Γ 围绕数 (曲线 Γ 围绕 P 的次数). 这些公式都可推广到 E_n [481].

作为练习, 证明 $dI = dG^*(12.72)$.

(7) 空间曲线的环绕数^①. 设 Γ, Γ' 为 E_3 里两条没有公共点的属于 C^1 类的有向闭曲线. 假定 Γ 是一个单连通曲面 D 的边界, 并规定 D 的正向使它和 Γ 的正向相配. D 和 Γ' 的交点数叫做环绕数 $L(\Gamma, \Gamma')$, 它是一个整数. 为了给出关于环绕数的一个积分公式, 对于每一对点 $P \in \Gamma, Q \in \Gamma'$, 取从 P 到 Q 的么矢 e , 并用 du_2 表示么球面 U_2 上对应于矢量 e 的方向的面元. 这样就可以证明, L 可用下面的 Gauss 积分确定:

$$L(\Gamma, \Gamma') = (1/4\pi) \int_{\Gamma \times \Gamma'} du_{2e}. \quad (14.85)$$

设 $t_1 = t_1(P), t_2 = t_2(Q)$ 依次表示 Γ, Γ' 在 P, Q 的么切矢. 通过简单计算可知 (14.85) 右边可以写成

$$L(\Gamma, \Gamma') = (1/4\pi) \int_{\Gamma \times \Gamma'} r^{-2} (e t_1 \ t_2) ds_1 \wedge ds_2, \quad (14.86)$$

① Linking number². ——译者

其中 ds_1, ds_2 依次表示 Γ, Γ' 在 P, Q 的弧元, 而 (e, t_1, t_2) 表示矢量 e, t_1, t_2 的三矢数积。

Calugareanu[77—79]提出一个问题: 若 $\Gamma \equiv \Gamma'$, $L(\Gamma, \Gamma')$ 的意义为何? 他取 Γ 的一个平行曲线, 和 Γ 距离为 ε (适当地给了这条曲线的定义)并令 $\varepsilon \rightarrow 0$, 这样, 若 Γ 属于 C^3 类而且有不等于零的曲率, 他发现

$$(1/4\pi) \int_{\Gamma \times \Gamma} du_2 + (1/2\pi) \int_{\Gamma} \tau ds = SL(\Gamma) \quad (14.87)$$

是一个整数, 其中 τ 为 Γ 的挠率。整数 $SL(\Gamma)$ 叫做 Γ 的自绕数。

Pohl[483]给出了 Calugareanu 公式一个简化的证明以及它有关的拓扑问题。White[720]把这些结果推广到高维空间里可微流形的子流形。

(8) Banchoff 与 Pohl 等周不等式。第五章第5节1里的 Banchoff 与 Pohl 不等式可以推广到任意维数和余维数。设 M 为 E_n 里一个紧致 m 维有向流形。设 P_1, P_2 为 M 的两点, $r = r(P_1, P_2)$ 表示由 P_1 到 P_2 的弦长。设 dP_1, dP_2 依次为 M 上在 P_1, P_2 的体元。这样, Banchoff 与 Pohl[20]得到了不等式

$$\int_{M \times M} r^{-m+1} dP_1 \wedge dP_2 - (1+m) O_{m, c_{m,n}} \left[\lambda^2 dL_{n-m-1} \right] \geq 0,$$

其中 λ 是 L_{n-m-1} 受 M 的环绕数, $c_{m,n}$ 是一个常数 ($c_{m,n} = k_{m,m+2} k_{m,m+3} \cdots k_{m,n}$, 其中 $k_{m,j} = \pi^{-(m+1)/2} \Gamma((j+1)/2) \Gamma((j-m)/2)$)。第二个积分范围是 E_n 里一切 $n-m-1$ 维平面。等号只在下列的款成立: M 是一个或几个同向叠合球面, 或者($m=1$)①它是一个或几个同向叠合圆, 每个描绘一定次数。

最后的积分

① 原书作 $n=1$ 。——译者

$$A(M) = c_{m,n} \int \lambda^2 dL_{n-m-1}$$

有下列性质: (a) $n = m + 1$ 时, $A(M)$ 就是 M 所包围的体积. (b) 若 $M \subset E_n \subset E_N$, 则 M 无论作为 E_n 或作为 E_N 的子流形, $A(M)$ 均相同. (c) $A(M)$ 具有所谓的再生性:

$$\int A(M \cap L_q) dL_q = b_{m,n,q} A(M),$$

其中 $b_{m,n,q}$ 是常数. 细节和其他类似结果见 [40].

(9) 中值和曲率. 设 M^n 为 E_{n+N} 里一个 (没有边界的) n 维紧致可微流形. 对于每一点 $P \in M^n$, 取在 P 的第 q 切纤维, 即矢量 $\partial/\partial x_1, \dots, \partial/\partial x_n; \partial^2/\partial x_1^2, \partial^2/\partial x_1 \partial x_2, \dots, \partial^2/\partial x_n^2; \partial^q/\partial x_1^q, \dots, \partial^q/\partial x_n^q$ 所张成的平面, 其中 x_i 是 P 的一个邻域里的局部坐标, 这个切纤维的维数是

$$\rho(n, q) = \sum_{i=1}^q \binom{n-1-i}{i-1}.$$

$$K_{1,n}^{(1)}(M^n) = \frac{L}{O_{2n-1}} \int_{P_{2n-1}} \nu_{n-1}(y) d\sigma_{2n-1}(y),$$

假定 $1 \leq r \leq n + N - 1$, $\mu \leq n + N - 1$, 则 M^n 的第 r 个 q 阶全绝对曲率定义如下:

(a) $1 \leq r \leq \rho$ 的款. 设 O 为 E_{n+N} 的固定点, 并取一个经过 O 的 $n + N - r$ 维平面 $L_{n+N-r}[0]$. 设 Γ_r 表示 E_{n+N} 里含在某个纤维内而经过纤维基点 P 的 r 维平面 L_r 的集合. 交集 $\Gamma_r \cap L_{n+N-r}[0]$ 是一个在 $L_{n+N-r}[0]$ 内的紧致簇, 其维数是 $\delta = r\rho + n - r(n + N)$. 设 $\mu(\Gamma_r \cap L_{n+N-r}[0])$ 为这个簇作为欧氏空间 $L_{n+N-r}[0]$ 的子簇的维数; 若 $\delta = 0$, 则 μ 表示 Γ_r 和 $L_{n+N-r}[0]$ 的交点个数; 若 $\delta < 0$, 我们令 $\mu = 0$. 这样, 对于一切 $L_{n+N-r}[0]$ 的测度 μ 的中值就叫做 E_{n+N} 里的 M^n 的第 r 个 q 阶全绝对曲率; 利用 (12.35), 这就是

$$K_{r,n}^{(1)}(M^n) = \frac{O_1 \cdots O_{n+N-r-1}}{O_r \cdots O_{n+N-1}}$$

$$\times \int_{G_{n+N-r-r}} \mu(\Gamma_r \cap L_{n+N-r\{0\}}) dL_{n+N-r\{0\}}.$$

注意右边的系数可代以 $O_1 \cdots O_{r-1} / O_{n+N-r} \cdots O_{n+N-1}$, 而且它和(12.35)相差一个因子 2, 因为现在讨论的是无向 $n+N-r$ 维平面.

(b) $\rho \leq r \leq n+N-1$ 的款. 现在不考虑含在某第 q 切纤维内的 L_r 集合, 而考虑含某个这样的切纤维在内而和 $L_{n+N-r\{0\}}$ 正交的 L_r 集合. 同上面一样, 用 Γ_r 表示这个集合, 而把那同一个中值叫做 M^* 的第 r 个 q 阶全绝对曲率. 这时 $\Gamma_r \cap L_{n+N-r\{0\}}$ 的维是 $\delta = r\rho + n - r(n+N)$.

我们考虑一些特款:

(a) $n=N$, $r=1$, $q=1$ 的款有如下的几何解释. 设 U_{2n-1} 表示中心在 O 的 $2n-1$ 维么球面. 设 $L_{n\{0\}}$ 为经过 O 而平行于 M^* 在 $P(\in M^*)$ 的切空间 T_P 的 n 维平面. 交集 $U_{2n-1} \cap L_{n\{0\}}$ 是 U_{2n-1} 的一个 $n-1$ 维大圆. 把 U_{2n-1} 的对极点粘合, 就得到 $2n-1$ 维椭圆空间 P_{2n-1} , 而交集 $U_{2n-1} \cap L_{n\{0\}}$ 构成 P_{2n-1} 里一个 n 参数 $n-1$ 维平面族, 用 C_{n-1} 表示. 设 $y \in P_{2n-1}$, 而 $\nu_{2n-1}(y)$ 表示 C_{n-1} 中经过 P 的 $n-1$ 维平面的个数; 设 η 为 P_{2n-1} 里的超平面而 ν_{2n-1} 表示 C_{n-1} 中含在 η 里的 $n-1$ 维平面的个数. 设 $d\sigma_{2n-1}$ 为 P_{2n-1} 在 y 的体元而 $dL_{2n-1}(\eta)$ 为 P_{2n-1} 在 η 的超平面密度 (见第十七章, 第3节). 这样, 上述曲率显然等于

$$K_{2n-1}^{(1)} = \frac{2}{O_{2n-1}} \int_{L_{2n-1} \subset P_{2n-1}} \nu_{2n-1}(\eta) dL_{2n-1}(\eta).$$

$n=2$, $N=2$, $r=1$ 时, 我们就有 P_3 里的一个线汇 C_1 , 而在一定意义下, 上述两曲率就是线汇 C_1 的平均“阶”和平均“级”

(b) $r=n+N-1$ 时, 所得曲率就是陈省身与 Lashof[116] 所给了定义的曲率.

(c) 曲线的款, $n=1$. 对于曲线, $n=1$, 有两种可能: $\rho=$

N , $r = 1$ 和 $\rho = 1$, $r = N$, $\rho = 1$, $r = 1$ 时, 其相应曲率是

$$K_{1,N}^{(N)}(M^1) = \frac{1}{O_N} \int_{G_{N+1}} \nu_1 dL_{N\{0\}},$$

其中 ν_1 是 E_{N+1} 是含在曲线 M^1 的某第 N 个切纤维内而和 $L_{N\{0\}}$ 正交的直线数. 注意 G_{N+1} 是 U_N 球面而 $dL_{N\{0\}}$ 是 U_N 的面元. 若 e_1, \dots, e_N 是 M^1 的主法矢, 不难看出, 最后方程右边, 除一个因子 $1/\pi$ 外, 等于球面曲线 $e_{N+1}(s)$ ($s = M^1$ 的弧长参数) 的长. 这就是, 若 κ_N 为 M^1 的第 N 曲率(见[165, 第107页]), 则

$$K_{1,N}^{(N)} = \frac{1}{\pi} \int_{M^1} |\kappa_N| ds.$$

对于 E_3 里的曲线, κ_N 是曲线挠率.

在 $\rho = 1$, $r = N$ 的有款, 有曲率

$$K_{N,N}^{(1)} = \frac{1}{O_N} \int_{G_{1+N}} \nu_N dL_{1\{0\}},$$

其中 ν_N 是 E_{N+1} 里经过 M^1 某条切线而垂直于 $L_{1\{0\}}$ 的超平面 L_N 的个数. 最后的方程右边, 除因子 $1/\pi$ 外, 等于曲线 $e_1(s)$ (M^1 的球面象) 的长. 因此, 若 κ_1 表示 M^1 的第一曲率, 则

$$K_{N,N}^{(1)}(M^1) = \frac{1}{\pi} \int_{M^1} |\kappa_1| ds.$$

如果我们考虑到, 对于每个方向 $L_{1\{0\}}$, 至少有两个超平面经过 M^1 的一条切线而垂直于 $L_{1\{0\}}$, 就可知中值 $K_{N,N}^{(1)} \geq 2$, 因而

$$\int_{M^1} |\kappa_1| ds \geq 2\pi,$$

而这就是一个经典的 Fenchel 不等式[187]. 若垂直于任意方向 $L_{1\{0\}}$ 至少有四个超平面经过 M^1 的一条切线(E_3 里有结曲线就是如此), 中值 $K_{N,N}^{(1)}$ 就 ≥ 4 , 于是有不等式

$$\int |\kappa_1| ds \geq 4\pi,$$

而这是 Fáy[168]的结果。关于细节和补充见[588, 590, 591], Slavskii[614]得到与此有关的一些结果。

设 M^h 为 E_n 里的一个 h 维可微紧致流形, 它包围在一个半径等于 r 的球内。一个问题是: 求 M^h 的面积和它的全绝对曲率之间的不等式。例如 $n=3$, $h=2$ 时, 就有 $F \leq (4/\pi)r^2K$, 其中 F 是 M^2 的面积而 K 是它的全绝对曲率(Gauss 曲率)。这个不等式是 Fáy[169]的结果。与此有关, 参看[96, 97]。

第十五章 E_n 里的运动密度

1. 关于密度的公式

在第十二章的第1节里,我们给出了 E_n 里运动群的体元定义. 现在,我们考察正常运动群的细节: 正常运动群就是运动群 $r' = ax + b$, 其中 a 是正交方阵, 而且 $\det a = +1$. 像通常那样, 这个群的运动密度将用 dK 表示, 它的公式是

$$dK = \bigwedge_i \omega_i \bigwedge_{i < h} \omega_{ih}, \quad (15.1)$$

其中 $\omega_i = dx \cdot e_i$, $\omega_{ih} = e_i \cdot de_h = -e_h \cdot de_i$ ($i, h = 1, 2, \dots, n$) (12.3).

用 $dP = \bigwedge_i \omega_i$ ($i = 1, 2, \dots, n$) 表示 E_n 在点 x 的体元, $dK_{[x]}$ 表示绕 x 的正常转动群(和 $SO(n)$ 同构)的运动密度, 就有 (12.13)

$$dK = dP \bigwedge dK_{[x]}. \quad (15.2)$$

注意 $dK_{[x]}$ 和 $d\mathfrak{M}_{[x]}$ (12.7) ① 是相同的微分齐式. 唯一的差别在于 $\mathfrak{M}_{[x]}$ 的总测度为正常转动群总测度的两倍.

设 M^q 为固定 q 维流形, M^r 为作运动的 r 维流形. 它们都假定是逐段光滑而属于 C^1 类的, 并依次具有有限体积 $\sigma_q(M^q)$ 和 $\sigma_r(M^r)$. 设 $q + r \geq n$ 并考虑使 $M^q \cap M^r \neq \emptyset$ 的 M^r 的位置. 设 $x \in M^q \cap M^r$, 并选取正交幺矢 e_1, e_2, \dots, e_n , 使其中 $e_1, e_2, \dots, e_{r+q-n}$ 和 $M^q \cap M^r$ 相切, $e_{r+q-n+1}, \dots, e_r$ 和 M^r 相切. 设 b_1, \dots, b_{n-r} 为正交幺矢, 而且 $e_1, e_2, \dots, e_{r+q-n}, b_1, \dots, b_{n-r}$ 在 x 张成 M^q 的 q 维切平面. 由于 $x \in M^q$, 我们有

① 原文这里用的记号是 $dM_{[x]}$, 据 (12.7) 改. ——译者

$$dx = \sum_{h=1}^{r+q-n} a_h e_h + \sum_{j=1}^{n-r} \beta_j b_j, \quad (15.3)$$

其中 a_h 和 β_j 是一次齐式。于是

$$\omega_{r+h} = dx \cdot e_{r+h} = \sum_{j=1}^{n-r} \beta_j (b_j \cdot e_{r+h}), \quad h=1, 2, \dots, n-r, \quad (15.4)$$

而

$$\bigwedge_{h=1}^{n-r} \omega_{r+h} = \Delta \bigwedge_{j=1}^{n-r} \beta_j, \quad (15.5)$$

其中 Δ 是 $n-r$ 阶行列式

$$\Delta = |(b_j \cdot e_{r+h})| \quad (j, h = 1, 2, \dots, n-r), \quad (15.6)$$

外积 $\bigwedge \beta_j (j=1, 2, \dots, n-r)$ 是 M^q 上在与 $M^q \cap M^r$ 正交的 $n-r$ 维切平面方向的 $n-r$ 维体元。因此，若用 $d\sigma_{q+r-n}(x)$ 表示 $M^q \cap M^r$ 在 x 的体元，则可令

$$d\sigma_{q+r-n}(x) \bigwedge_{j=1}^{n-r} \beta_j = d\sigma_q(x), \quad (15.7)$$

其中 $d\sigma_q(x)$ 是 M^q 在 x 的 q 维体元。

另一方面，外积 $\omega_1 \wedge \omega_2 \wedge \dots \wedge \omega_r$ 是 M^r 在 x 的体元。故若用 $d\sigma_{r+q-n}(x) \wedge \omega_1 \wedge \dots \wedge \omega_r$ 乘 (15.5)，则利用 (15.7)，得

$$d\sigma_{r+q-n}(x) \bigwedge_{i=1}^r \omega_i = \Delta d\sigma_q(x) \wedge d\sigma_r(x). \quad (15.8)$$

再乘以 $dK_{[x]} = \bigwedge \omega_{jh} \quad (1 \leq j, h = 1, 2, \dots, n)$ ，就得

$$d\sigma_{r+q-n}(x) dK = \Delta d\sigma_q(x) \wedge d\sigma_r(x) \wedge dK_{[x]}. \quad (15.9)$$

这是和 (14.64) 类似的很有用的微分公式。当 $r+q-n=0$ 时，我们有

$$dK = \Delta d\sigma_q(x) \wedge d\sigma_r(x) \wedge dK_{[x]}. \quad (15.10)$$

注意 Δ 只依赖于么矢 e_{r+h} 和 b_j ($h, j = 1, 2, \dots, n-r$)，间的角而与 x 点无关。

下面是另一个重要的微分公式。设 L_h 为经过 x 而由 e_1, \dots, e_h 所张成的 h 维平面。我们有

$$dL_h = \bigwedge_{i=1}^h \omega_i \bigwedge_{i,k=h+1}^n \omega_{ik} \quad (i=1, 2, \dots, h; \quad i, k=h+1, \dots, n). \quad (15.11)$$

设 dK^h 表示 L_h 里的运动密度，即

$$dK^h = \bigwedge_j \omega_j \bigwedge_{s < m} \omega_{sm}, \quad j, s, m=1, 2, \dots, h, \quad (15.12)$$

并令 $dK_{(x)}^{n-h}$ 表示在垂直于 L_h 的 $n-h$ 维平面里绕 x 的运动密度（按(12.7)所给定的转动密度）。则

$$dK_{(x)}^{n-h} = \bigwedge_{i < k} \omega_{ik}, \quad i, k=h+1, \dots, n. \quad (15.13)$$

由(15.1), (15.11), (15.12), (15.13)可得

$$dK = dL_h^* \bigwedge dK^h \bigwedge dK_{(x)}^{n-h}, \quad (15.14)$$

这些用于 $h=1, 2, \dots, n-1$ 。我们用了记号 L_h^* 来表示 L_h 应假定是“有向的”，因而当积分(15.14)右边时，将出现因子 2。

我们留给读者去证明类似(15.14)的下述公式。设 $L_{h(0)}$ 为经过 O 的 h 维平面，它平行于 (x, e_1, \dots, e_h) 所确定的 h 维平面，而 $L_{n-h(0)}$ 为经过 O 而垂直于 $L_{h(0)}$ 的 $n-h$ 维平面。则

$$dK = L_{h(0)}^* \bigwedge dK^h \bigwedge dK_{(0)}^{n-h}, \quad (15.15)$$

其中 dK^h 和 $dK_{(0)}^{n-h}$ 依次表示在 $L_{h(0)}$ 和 $L_{n-h(0)}$ 上的运动密度。

2. 体积 $\sigma_{r+q-n}(M^q \cap M^r)$ 的积分

对于 M^r 的一切位置对(15.9)积分，得

$$\int_{M^q \cap M^r \neq \emptyset} \sigma_{r+q-n}(M^q \cap M^r) dK = c \sigma_q(M^q) \sigma_r(M^r), \quad (15.16)$$

其中 c 是一个常数（与 x 无关，与流形 M^q, M^r 也无关），它决定于维数 q 与 r ，并且为

$$c = \int \Delta dK_{(x)}$$

所确定，这个积分的范围是绕 x 的一切 M^r 的位置。为了计算 c ，假设 M^r 是 r 维平面 L_r 里的一个有界域。由(15.14)可得

$$\begin{aligned} \int_{M^q \cap M^r \neq \emptyset} \sigma_{r+q-n}(M^q \cap M^r) dL_r^* \wedge dK^r \wedge dK_{[x]}^{n-r} \\ = c \sigma_q(M^q) \sigma_r(M^r), \end{aligned} \quad (15.17)$$

其中我们可以令 $dK^r = dP^r \wedge dK_{[x]}^{r-1}$ ，而 dP^r 则是 L_r 在 x 的体元。令 L_r 和 x 固定并应用(12.10)，记住右边须除以 2，就得

$$\int dK_{[x]}^{r-1} = O_{r-1} \cdots O_1, \quad \int dK_{[x]}^{n-r} = O_{n-r-1} \cdots O_1, \quad (15.18)$$

其中积分范围都是绕 x 的一切 M^r 的位置。此外， dP^r 的积分 (L_r 固定时) 是体积 $\sigma_r(M^r)$ ，故(15.17)化为

$$\begin{aligned} O_{r-1} \cdots O_1 O_{n-r-1} \cdots O_1 \int_{M^q \cap M^r \neq \emptyset} \sigma_{r+q-n}(M^q \cap M^r) dL_r^* \\ = c \sigma_q(M^q). \end{aligned} \quad (15.19)$$

于是应用(14.69)，就得 $c = O_n \cdots O_1 O_{r+q-n} (O_r O_q)^{-1}$ ，而最后结果是

$$\begin{aligned} \int_{M^q \cap M^r \neq \emptyset} \sigma_{r+q-n}(M^q \cap M^r) dK \\ = \frac{O_n \cdots O_1 O_{r+q-n}}{O_q O_r} \sigma_q(M^q) \sigma_r(M^r). \end{aligned} \quad (15.20)$$

当 $r+q-n=0$ 时， $\sigma_{r+q-n}(M^q \cap M^r)$ 表示 $M^q \cap M^r$ 的交点数，这时(15.20)可以写成

$$\begin{aligned} \int_{M^q \cap M^r \neq \emptyset} N(M^q \cap M^{n-r}) dK \\ = \frac{O_n \cdots O_1 O_0}{O_r O_{n-r}} \sigma_r(M^r) \sigma_{n-r}(M^{n-r}). \end{aligned} \quad (15.21)$$

多个动流形的情况。设 M^q 为 E_n 里固定 q 维流形，并考虑 h 个动流形 M^{r_1}, \dots, M^{r_h} ，其维数依次是 r_1, \dots, r_h 。假定 $q + r_1 + \dots + r_h - nh \geq 0$ ，并用 dK_i 表示 M^{r_i} 的运动密度，通过归纳法，我们推得

$$\begin{aligned} & \int \sigma_{q+r_1+\dots+r_h-nh}(M^q \cap M^{r_1} \cap \dots \cap M^{r_h}) dK_1 \wedge \dots \wedge dK_h \\ &= \frac{(O_n \dots O_1)^h O_{q+r_1+\dots+r_h-nh}}{O_q O_{r_1} \dots O_{r_h}} \\ & \quad \times \sigma_q(M^q) \sigma_{r_1}(M^{r_1}) \dots \sigma_{r_h}(M^{r_h}), \end{aligned} \quad (15.22)$$

其中积分范围是令 $M^q \cap M^{r_1} \cap \dots \cap M^{r_h} \neq \emptyset$ 的一切 M^{r_i} 的位置。

考虑运动中的超球面的款是有意义的。设 $r_1 = r_2 = \dots = r_h = n-1$ ，并设每个 M^{r_i} 是半径等于 R 的超球面 Σ_i 。可以取超球面的中心 P_i 为各动标原点。于是由 $dK_i = dP_i \wedge dK_{i[x]}$ ，并由于 $dK_{i[x]}$ 的积分等于 $O_{n-1} \dots O_1$ (12.10)，得

$$\begin{aligned} & \int \sigma_{q-h}(M^q \cap \Sigma_1 \cap \dots \cap \Sigma_h) dP_1 \wedge dP_2 \wedge \dots \wedge dP_h \\ &= \frac{O_n^h O_{q-h} R^{(n-1)h}}{O_q} \sigma_q(M^q). \end{aligned} \quad (15.23)$$

这个公式适用于 $h = 1, 2, \dots, q$ 。当 $h = q$ 时，被积函数

$$\sigma_0(M^q \cap \Sigma_1 \cap \dots \cap \Sigma_h) \text{ 是 } M^q \cap \Sigma_1 \cap \dots \cap \Sigma_h$$

的交点数，可以用 $N_{1:n-q}$ 表示，而 (15.23) 变成

$$\begin{aligned} & \int N_{1:n-q} dP_1 \wedge \dots \wedge dP_q \\ &= (2O_n^q / O_q) R^{q(n-1)} \sigma_q(M^q), \end{aligned} \quad (15.24)$$

其中积分范围是整个空间 $E_n \times E_n \times \dots \times E_n$ (q 个因子)，而当

$M^q \cap \Sigma_1 \cap \cdots \cap \Sigma_q = \emptyset$ 时, $N_{12 \cdots q} \neq 0$. 下面是一些特款:

(a) $n=2, q=1$. 这时 M^1 是平面上一条曲线而(15.24)化为

$$\int N_1 dP_1 = 4LR,$$

其中 L 表示 M^1 的长.

(b) $n=3, q=1$. 这时 M^1 是三维空间的曲线而(15.24)化为

$$\int N_1 dP_1 = 2\pi R^2 L.$$

我们假定了 M^q 是逐段光滑而属于 C^1 的流形. 反过来, 可以利用(15.24)来得到 E_n 里一个闭联集 M^q 的 q 维测度 $\sigma_q(M^q)$ 的定义, 即通公式

$$\sigma_q(M^q) = \frac{O_q}{2O_n R^{q(n-1)}} \int N_{12 \cdots q} dP_1 \wedge \cdots \wedge dP_q, \quad (15.25)$$

只要右边积分存在. 应用积分几何来给出闭联集的 q 维测度的有 Federer[174, 175], Hadwiger[274], Nöbeling[452, 453], Santaló[559]和 Maak[380](见 Federer 的书[178]).

若 M^r 是单位长线段($r=1$)而 M^{n-1} 是含于 E_n 的一个区域内, 则按照(15.21), $M^1 \cap M^{n-1}$ 中交点数的期望值是 $E(N) = (O_n / \pi O_{n-1}) \sigma_{n-1}(M^{n-1}) / V$. Kille 与 Reich[350] 曾经用这个公式来给出一个超曲面的面积定义.

3. 一个微分公式

积分几何中一个最重要的结果是所谓的基本公式, 在第 7 章中, 我们已经看到它在平面的款. 在这里, 我们的目的是把它推广到 n 维欧氏空间. 我们在下节将给出 Chern(陈省身)[108]的证明, 它是 Blaschke 对 $n=3$ 的款证明[42]的推广(参见[586]). 但我们首先要证明一个有趣的微分公式.

设 S_0 和 S_1 为 E_n 里两个超曲面, 它们逐段光滑而属于 C^2 类. 假设 S_0 固定而 S_1 在运动. 其运动密度是 dK_1 . 考虑 $S_0 \cap S_1$ 是 $n-2$ 维流形时的 S_1 的一个一般位置. 设 $x \in S_0 \cap S_1$, 并考虑么模正交标架 $(x; e_1, \dots, e_n)$, 其中 e_1, e_2, \dots, e_{n-2} 张成 $S_0 \cap S_1$ 的 $n-2$ 维切平面, 而 e_{n-1}, e_n 依次是 S_1 在 x 的切矢和法矢. 设么矢 e_{n-1}, e_n 依次是 S_0 在 x 的切矢和法矢, 而且 $(x; e_1, \dots, e_{n-2}, e_{n-1}, e_n)$ 是以 x 为原点的另一个么模正交标架. 运动密度

$$dK_1 = \bigwedge_i (dx \cdot e_i) \bigwedge_{h < j} (de_h \cdot e_j), \quad i, j, h = 1, 2, \dots, n-1. \quad (15.26)$$

由于我们总是考虑密度的绝对值, 符号问题不存在. 作为定义, 我们令 S_1 上的运动密度(即标架集合 $(x; e_1, \dots, e_{n-1}, e_n)$ 的密度, 其中 e_n 是 S_1 的么法矢)为

$$dT_1 = \bigwedge_i (dx \cdot e_i) \bigwedge_{h < j} (e_h \cdot de_j) \quad i, h, j = 1, 2, \dots, n-1, \quad (15.27)$$

因而

$$dK_1 = dT_1 \wedge (dx \cdot e_n) \wedge (de_1 \cdot e_n) \wedge \dots \wedge (de_{n-1} \cdot e_n). \quad (15.28)$$

与此类似, S_0 上的运动密度(即和 S_0 相切的标架 $(x; e_1, \dots, e_{n-2}, e_{n-1}, e_n)$ 的密度)的定义是

$$dT_0 = \bigwedge_i (dx \cdot e_i) \bigwedge_{h < j} (e_h \cdot de_j) \wedge (dx \cdot e'_{n-1}) \wedge (de_1 \cdot e'_{n-1}) \wedge \dots \wedge (de_{n-2} \cdot e'_{n-1}), \quad (15.29)$$

其中下标 $i, h, j = 1, 2, \dots, n-2$.

在 $S_0 \cap S_1$ 上的运动密度(即附着于 $S_0 \cap S_1$ 的标架 $(x; e_1, \dots, e_{n-2})$ 的密度)是

$$dT_{01} \bigwedge_i (dx \cdot e_i) \bigwedge_{h < j} (e_h \cdot de_j), \quad i, h, j = 1, 2, \dots, n-2. \quad (15.30)$$

于是 dT_0 可以写成

$$dT_0 = dT_{01} \wedge (dx \cdot e'_{n-1}) \wedge (de_1 \cdot e'_{n-1}) \wedge \cdots \wedge (de_{n-2} \cdot e'_{n-1}). \quad (15.31)$$

设 ϕ 为 e'_n 和 e_n 之间的角, 在 e_n 和 e'_n 所确定的垂直于 $S_0 \cap S_1$ 的平面上,

$$e_n = \sin \phi e_{n-1} + \cos \phi e'_n, \quad e_{n-1} = \cos \phi e'_{n-1} - \sin \phi e'_n, \quad (15.32)$$

因而 $dx \cdot e_n = \sin \phi (dx \cdot e'_{n-1}) + \cos \phi (dx \cdot e'_n),$

$$de_i \cdot e_n = \sin \phi (de_i \cdot e'_{n-1}) + \cos \phi (de_i \cdot e'_n),$$

$$i = 1, 2, \dots, n-2,$$

$$de_{n-1} \cdot e_n = -d\phi - e'_{n-1} \cdot de'_n. \quad (15.33)$$

由于 e'_n 垂直于 S_0 , 故 $dx \cdot e'_n = 0$, 又由于 S_0 是固定超曲面, 故么矢 e'_n 与 S_1 的位置无关, 因而

$$de_1 \cdot e'_n = -e_1 \cdot de'_n = 0, \quad de'_{n-1} \cdot e'_n = 0.$$

于是, 若不计较符号, 由(15.28), (15.33)可得

$$dK_1 = \sin^{n-1} \phi d\phi \wedge dT_1 \wedge (dx \cdot e'_{n-1}) \wedge (de_1 \cdot e'_{n-1}) \\ \wedge \cdots \wedge (de_{n-2} \cdot e'_{n-1}). \quad (15.34)$$

用 dT_{01} 乘这式两边, 利用(15.31), 就得

$$dT_{01} \wedge dK_1 = \sin^{n-1} \phi d\phi \wedge dT_1 \wedge dT_0, \quad (15.35)$$

这就是所要求的公式. 注意对于一切令 $S_0 \cap S_1 \neq \emptyset$ 的 S_1 位置积分, 就得关于 $r = q = n-1$ 的款的(15.20).

4. 运动基本公式

现在可以按照陈省身的方法来证明运动基本公式了. 设 D_0, D_1 为 E_n 的两个域, 假定其边界为属于 C^3 类的超曲面 $\partial D_0, \partial D_1$. 假定 D_0 固定而含 D_1 作运动, 还假定 D_0 和 D_1 有下面的性质: 对于 D_1 的一切位置, 交集 $D_0 \cap D_1$ 有有限多个分支. 这样, 若用 dK_1 表示 D_1 的运动密度, 而 M^0, M^1 依次是 ∂D_0 和 ∂D_1 的第 i 个中曲率积分, 则 E_n 里的运动主要公式是

$$\begin{aligned} & \int_{D_0 \cap D_1 \neq \emptyset} \chi(D_0 \cap D_1) dK_1 \\ &= O_1 \cdots O_{n-2} \left[O_{n-1} \chi(D_0) V_1 + O_{n-1} \chi(D_1) V_0 \right. \\ & \quad \left. + \frac{1}{n} \sum_{h=0}^{n-2} \binom{n}{h+1} M_h^0 M_{n-h-2}^1 \right], \end{aligned} \quad (15.36)$$

其中 χ 表示 Euler-Poincaré 示性数而 V_0, V_1 依次为 D_0, D_1 的体积。

为了证明 (15.36)，我们用到 (13.38)，即

$$\chi(D_0 \cap D_1) = (1/O_{n-1}) M_{n-1}(\partial(D_0 \cap D_1)), \quad (15.37)$$

其中 $M_{n-1}(\partial(D_0 \cap D_1))$ 是 $\partial(D_0 \cap D_1)$ 的球面象的体积。边界 $\partial(D_0 \cap D_1)$ 包含有尽多块超曲面 $\partial D_0 \cap D_1$ 和 $D_0 \cap \partial D_1$ ，它们在 $\partial D_0 \cap \partial D_1$ 里相遇，而 $\partial D_0 \cap \partial D_1$ 则是 $n-2$ 维棱(曲面)所构成。我们有

$$\begin{aligned} M_{n-1}(\partial(D_0 \cap D_1)) &= M_{n-1}(\partial D_0 \cap D_1) + M_{n-1}(D_0 \cap \partial D_1) \\ &\quad + M_{n-1}(\partial D_0 \cap \partial D_1). \end{aligned} \quad (15.38)$$

右边最后项对应于 $\partial D_0 \cap \partial D_1$ 的一些法线的球面象，这些法线都是在 $\partial D_0 \cap \partial D_1$ 的点处， ∂D_0 和 ∂D_1 的向外法线所作的角中。为了计算这个球面象的体积，我们采用上节记号并进行如下。设 e_n 和 e'_n 依次为 ∂D_0 和 ∂D_1 的么法矢，并用 v, w 表示它们夹角的二等分线方向的两个么矢。设 ϕ 为 e_n, e'_n 间的角，则

$$e_n = \left(\cos \frac{\phi}{2} \right) v - \sin \left(\frac{\phi}{2} \right) w, \quad e'_n = \left(\cos \frac{\phi}{2} \right) v + \left(\sin \frac{\phi}{2} \right) w, \quad (15.39)$$

因而

$$v = [2 \cos(\phi/2)]^{-1} (e_n + e'_n), \quad w = [2 \sin(\phi/2)]^{-1} (e'_n - e_n). \quad (15.40)$$

设 ξ 为 e_n 和 e'_n 之间的么变矢。设 α 表示 ξ 和 v 之间的角，而且对于 $-\phi/2 \leq \alpha \leq \phi/2$ ，令么矢 η 确定于

$$\xi = \cos \alpha v + \sin \alpha w, \quad \eta = -\sin \alpha v + \cos \alpha w. \quad (15.41)$$

么球面 U_{n-1} 上对应于方向 ξ 的体元是

$$\begin{aligned} du_{n-1} &= (d\xi \cdot e_1) \wedge (d\xi \cdot e_2) \wedge \cdots \wedge (d\xi \cdot e_{n-1}) \wedge da \\ &= \bigwedge_{i=1}^{n-2} [\cos \alpha (d\boldsymbol{v} \cdot e_i) + \sin \alpha (d\boldsymbol{w} \cdot e_i)] da. \end{aligned} \quad (15.42)$$

由(15.40)可得

$$\begin{aligned} &\cos \alpha (d\boldsymbol{v} \cdot e_i) + \sin \alpha (d\boldsymbol{w} \cdot e_i) \\ &= \frac{\sin(\phi/2 - \alpha)}{\sin(\phi)} (d\boldsymbol{e}_n \cdot e_i) + \frac{\sin(\phi/2 + \alpha)}{\sin(\phi)} (d\boldsymbol{e}' \cdot e_i), \end{aligned} \quad (15.43)$$

因而

$$\begin{aligned} du_{n-1} &= \frac{1}{\sin^{n-2}(\phi)} \bigwedge_{i=1}^{n-2} \left[\sin\left(\frac{\phi}{2} - \alpha\right) (d\boldsymbol{e}_n \cdot e_i) \right. \\ &\quad \left. + \sin\left(\frac{\phi}{2} + \alpha\right) (d\boldsymbol{e}' \cdot e_i) \right] \wedge da. \end{aligned} \quad (15.44)$$

在 x 点引进 ∂D_1 上沿主方向的么切矢 $\boldsymbol{v}_1, \dots, \boldsymbol{v}_{n-1}$ 和 ∂D_0 上沿主方向的么切矢 $\boldsymbol{v}'_1, \dots, \boldsymbol{v}'_{n-1}$. 我们有

$$\begin{aligned} \boldsymbol{e}_i &= \sum_{h=1}^{n-1} c_{ih} \boldsymbol{v}_h = \sum_{h=1}^{n-1} c'_{ih} \boldsymbol{v}'_h \quad (i=1, 2, \dots, n-2), \\ \boldsymbol{e}_{n-1} &= \sum_{h=1}^{n-1} c_{n-1,h} \boldsymbol{v}_h, \quad \boldsymbol{e}'_{n-1} = \sum_{h=1}^{n-1} c'_{n-1,h} \boldsymbol{v}'_h. \end{aligned} \quad (15.45)$$

由于矢组 $\{\boldsymbol{e}_i, \boldsymbol{e}'_{n-1}\}, \{\boldsymbol{v}_h\}, \{\boldsymbol{v}'_h\}$ 都是么模正交系, 方阵 (c_{ih}) 和 (c'_{ih}) 都是正交方阵, 因此,

$$\boldsymbol{v}_h = \sum_{i=1}^{n-1} c_{ih} \boldsymbol{e}_i, \quad \boldsymbol{v}'_h = \sum_{i=1}^{n-2} c'_{ih} \boldsymbol{e}_i + c'_{n-1,h} \boldsymbol{e}'_{n-1}. \quad (15.46)$$

根据 E_n 里关于超曲面的 Rodrigues 方程, $\boldsymbol{v}_h \cdot d\boldsymbol{e}_n = -\kappa_h (dx \cdot \boldsymbol{v}_h)$, 其中 κ_h 表示 ∂D_1 沿 \boldsymbol{v}_h 方向的主曲率. 于是对于 $i=1, 2, \dots, n-1$,

$$d\boldsymbol{e}_n \cdot \boldsymbol{e}_i = \sum_{h=1}^{n-1} c_{ih} (d\boldsymbol{e}_n \cdot \boldsymbol{v}_h) = - \sum_{h=1}^{n-1} c_{ih} \kappa_h (dx \cdot \boldsymbol{v}_h)$$

$$= - \sum_{h=1}^{n-1} c_{ih} \kappa_h c_{jh} (dx \cdot e_j). \quad (15.47)$$

同样, 对于 ∂D_0 ,

$$de'_n \cdot e_i = \sum_{h=1}^{n-1} c'_{ih} \kappa'_h \left(\sum_{j=1}^{n-1} c'_{jh} (dx \cdot e_j) + c'_{n-1,h} (dx \cdot e'_{n-1}) \right). \quad (15.48)$$

为了利用(15.44)来计算 du_{n-1} , 注意 x 在 $\partial D_0 \cap \partial D_1$ 上变动, 因而 $dx \cdot e_{n-1} = 0$, $dx \cdot e'_{n-1} = 0$, 故

$$\begin{aligned} & \sin\left(\frac{\phi}{2} - \alpha\right) (de_n \cdot e_i) + \sin\left(\frac{\phi}{2} + \alpha\right) (de'_n \cdot e_i) \\ &= - \sum_{j=1}^{n-2} \left[\sin\left(\frac{\phi}{2} - \alpha\right) \sum_{h=1}^{n-1} c_{ih} c_{jh} \kappa_h \right. \\ & \quad \left. + \sin\left(\frac{\phi}{2} + \alpha\right) \sum_{h=1}^{n-1} c'_{ih} c'_{jh} \kappa'_h \right] (dx \cdot e_j). \end{aligned} \quad (15.49)$$

代入(15.44), 注意 $(dx \cdot e_1) \wedge (dx \cdot e_2) \wedge \cdots \wedge (dx \cdot e_{n-1})$ 是 $\partial D_0 \cap \partial D_1$ 的体元 $d\sigma_{n-2}$, 就得

$$du_{n-1} = \frac{H}{\sin^{n-2}(\phi)} d\sigma_{n-2} \wedge da, \quad (15.50)$$

其中 H 为 $n-2$ 阶行列式, 其元素是

$$H_{ij} = - \sin\left(\frac{\phi}{2} - \alpha\right) \sum_{h=1}^{n-1} c_{ih} c_{jh} \kappa_h - \sin\left(\frac{\phi}{2} + \alpha\right) \sum_{h=1}^{n-1} c'_{ih} c'_{jh} \kappa'_h. \quad (15.51)$$

因此, H 可以写成

$$H = \sum_{p=0}^{n-2} H_p \sin^{n-2-p}\left(\frac{\phi}{2} - \alpha\right) \sin^p\left(\frac{\phi}{2} + \alpha\right), \quad (15.52)$$

其中

$$H_p = \sum_{i_1, \dots, i_q, j_1, \dots, j_p} A_{i_1, \dots, i_q, j_1, \dots, j_p} \kappa_{i_1} \dots \kappa_{i_q} \kappa'_{j_1} \dots \kappa'_{j_p}, \quad (15.53)$$

其中 $p+q=n-2$.

系数 $A_{i_1, \dots, i_q, j_1, \dots, j_p}$ 是 c_{ih}, c'_{jh} 的函数, 而取和的范围是 (i_1, \dots, i_q) 和 (j_1, \dots, j_p) 的一切组合. 这就是说, 在 H 里, 只有乘积 $\kappa_{i_1} \dots \kappa_{i_q} \kappa'_{j_1} \dots \kappa'_{j_p}$ 是依赖于 $\partial D_0, \partial D_1$ 的, 其系数则只依赖于 ∂D_1 绕 x 点的位置, 它们对于一切超曲面偶 $\partial D_0, \partial D_1$ 是一样的.

由于 $M_{n-1}(\partial D_0 \cap \partial D_1)$ 等于超曲面 $\partial(D_0 \cap D_1)$ 对应于 $n-1$ 维棱曲面 $\partial D_0 \cap \partial D_1$ 的球面象体积, 根据(15.50),

$$M_{n-1}(\partial D_0 \cap \partial D_1) = \int \frac{H}{\sin^{n-2}(\phi)} d\sigma_{n-2} \wedge d\alpha, \quad (15.54)$$

其中积分范围对于 α 是 $-\phi/2 \leq \alpha \leq \phi/2$, 而对于其他变数则是在 $\partial D_0 \cap \partial D_1$ 上. 利用(15.35), 并注意密度(15.30)可以写成

$$dT_{01} = d\sigma_{n-2} \wedge du_{n-3} \wedge \dots \wedge du_1,$$

就得

$$\begin{aligned} & \int_{\partial D_0 \cap \partial D_1 \neq \emptyset} M_{n-1}(\partial D_0 \cap \partial D_1) dK_1 \\ &= (O_{n-3} \dots O_1)^{-1} \int_{\partial D_0 \cap \partial D_1 \neq \emptyset} H \sin \phi d\phi \wedge d\alpha \wedge dT_1 \wedge dT_2. \end{aligned} \quad (15.55)$$

在 ∂D_0 和 ∂D_1 上的密度 dT_0 和 dT_1 依次是 $dT_0 = d\sigma_{n-1}^0 \wedge du_{n-2} \wedge \dots \wedge du_1$ 和 $dT_1 = d\sigma_{n-1}^1 \wedge du_{n-2} \wedge \dots \wedge du_1$. 先固定 x , 对(15.55)在 ∂D_1 绕 x 的一切位置范围上积分, 然后令 x 在 ∂D_0 上变动, 则借助于(15.52)和(15.53), 得

$$\int_{\partial D_0 \cap \partial D_1 \neq \emptyset} M_{n-1}(\partial D_0 \cap \partial D_1) dK_1 = \sum_{p=0}^{n-2} c_p M_p^0 M_{n-2-p}^1, \quad (15.56)$$

其中 c_p 是常数而 M_p^0, M_{n-2-p}^1 依次是 ∂D_0 和 ∂D_1 的中曲率积分.

还要求(15.38)右边第一和第二项的积分. 为此, 设 P 为

$\partial D_0 \cap \partial D_1$ 上一点, 并令 $du_{n-1}(P)$ 表示 P 的球面象的体元. 固定 D_1 , 然后令 P 在 $\partial D_0 \cap D_1$ 变动, 得

$$\int_{P \in \partial D_0 \cap D_1} du_{n-1}(P) \wedge dK_1 = \int_{D_0 \cap D_1 \neq \emptyset} M_{n-1}(\partial D_0 \cap D_1) dK_1. \quad (15.57)$$

若固定 P , 然后令 D_1 绕 P 转动, 再令 P 在 D_1 和 ∂D_0 上变动, 又得

$$\int_{P \in \partial D_0 \cap D_1} du_{n-1} \wedge dK_1 = O_{n-1} \cdots O_1 V_1 M_{n-1}^0, \quad (15.58)$$

其中 $M_{n-1}^0 = M_{n-1}(\partial D_0)$, 而 V_1 表示 D_1 的体积. 于是由 (15.57) 和 (15.58), 得

$$\int_{D_0 \cap D_1 \neq \emptyset} M_{n-1}(\partial D_0 \cap D_1) dK_1 = O_{n-1} \cdots O_1 V_1 M_{n-1}^0, \quad (15.59)$$

其中 V_1 表示 D_1 的体积.

同样, 根据运动测度在运动逆转下的不变性,

$$\int_{D_0 \cap D_1 \neq \emptyset} M_{n-1}(D_0 \cap \partial D_1) dK_1 = O_{n-1} \cdots O_1 V_0 M_{n-1}^1, \quad (15.60)$$

其中 V_0 表示 D_0 的体积而 $M_{n-1}^1 = M_{n-1}(\partial D_1)$. 由 (15.37), (15.38), (15.56), (15.59), (15.60), 就得

$$\begin{aligned} & \int_{D_0 \cap D_1 \neq \emptyset} \chi(D_0 \cap D_1) dK_1 \\ &= O_{n-1} \cdots O_1 (V_1 \chi_0 + V_0 \chi_1) + \sum_{p=1}^{n-2} c_p M_p^0 M_{n-2-p}^1. \end{aligned} \quad (15.61)$$

剩下的是确定常数 c_p . 可以取一个凸体为 D_0 , 一个半径等于 ρ 的超球为 D_1 . 这时 $\chi(D_0 \cap D_1) = 1$, $\chi_0 = \chi_1 = 1$, 而 (15.61) 给出

$$V_{1\rho} O_{n-1} \cdots O_1 = O_{n-1} \cdots O_1 (V_1 + V_0) + \sum_{p=1}^{n-2} c_p M_p^0 M_{n-2-p}^1, \quad (15.62)$$

其中 $V_{1\rho}$ 表示 D_0 的平行体的体积, 这个平行体和 D_0 的距离是 ρ . 和 (13.44) 比较, 得

$$c_p = \frac{O_{n-2} \cdots O_1}{n} \binom{n}{p+1}^{(1)},$$

而证明完成。

5. 关于凸集的基本公式

(1) 若 D_0, D_1 是凸体, 则 $\chi(D_0) = \chi(D_1) = \chi(D_0 \cap D_1) = 1$,¹ 而基本公式化为:

$$\int_{D_0 \cap D_1 \neq \emptyset} dK_1 = O_{n-2} \cdots O_1 \left[O_{n-1}(V_0 + V_1) + \frac{1}{n} \sum_{h=0}^{n-2} \binom{n}{h+1} M_h^0 M_{n-2-h}^1 \right]. \quad (15.63)$$

若引进截测积分 W_h , 则上式可以写成

$$\int_{D_0 \cap D_1 \neq \emptyset} dK_1 = O_{n-2} \cdots O_1 \sum_{h=0}^n n \binom{n}{h} W_h^0 W_{n-h}^1. \quad (15.64)$$

虽然我们证明(15.63)时, 假定了 D_0, D_1 的边界属于 C^2 类, 但由于任何凸体都可以用光滑凸体逼近(实际上可以用边界为解析流形的凸体逼近[63]), 而截测积分又是连续泛函, 可见(15.64)对于 E_n 里任意一对凸集都适用。

从几何概率的观点看, 公式(15.64)可以作如下解释: 若 D, D_0 为凸体而 $D \subset D_0$, 一个和 D_0 相交的随机凸体 D_1 也和 D 相交的概率是

$$p = \frac{\sum_{h=0}^n \binom{n}{h} W_h W_{n-h}^1}{\sum_{h=0}^n \binom{n}{h} W_h^0 W_{n-h}^1}, \quad (15.65)$$

其中 W_i, W_i^0, W_i^1 依次是 D, D_0, D_1 的截测积分。

① 原书作 $c_p = \frac{O_{n-2} \cdots O_1}{r+1} \binom{n-1}{p}$. — 译者

(2) 若 D_0 为 m 个全等而互不相交的凸体 K_0 所构成而 D_1 为凸体 K_1 , 则 $\chi(D_0 \cap D_1) = N$, 其中 N 表示和 K_1 相交的凸体 K_0 的个数, 这时基本公式化为

$$\int N dK_1 = O_{n-2} \cdots O_{1,m} \left[O_{n-1}(V_0 + V_1) + \frac{1}{n} \sum_{h=0}^{n-2} \binom{n}{h+1} M_h^0 M_{n-2-h}^1 \right]. \quad (15.66)$$

6. 关于中曲率积分的中值

我们继续前几节的探讨。我们要计算积分

$$\int_{D_0 \cap D_1 \neq \emptyset} M_{q-1}(\partial(D_0 \cap D_1)) dK_1, \quad q = 1, 2, \dots, n-1. \quad (15.67)$$

考虑 D_0 和 D_1 为凸体的款, 这时基本公式是(15.63), 若 D_0 为含在一个 q 维平面 L_q 里的 q 维凸集 D_0^q , 公式(15.63)仍然适用, 但中曲率积分 M_q^0 是第 7 章第 7 节所给出的极值。因此,

$$\begin{aligned} & \int_{D_0 \cap D_1 \neq \emptyset} dK_1 \\ &= O_{n-2} \cdots O_1 \left[O_{n-1} V_1 + \frac{\binom{n}{n-q}}{n \binom{n-1}{q}} O_{n-q-1} \sigma_q(D_0^q) M_{q-1}^1 \right. \\ & \quad \left. + \frac{1}{n} \sum_{h=n-q}^{n-2} \binom{n}{h+1} \frac{\binom{q-1}{h+q-n}}{\binom{n-1}{h}} \frac{O_h}{O_{h+q-n}} M_{h+q-n}^0 M_{n-2-h}^1 \right], \end{aligned} \quad (15.68)$$

其中 $\sigma_q(D_0^q)$ 表示 D_0^q 的 q 维体积而 M_{h+q-n}^0 表示作为 L_q 里的一个

凸体的 D_0 的边界的第 $h+q-n$ 个中曲率积分。为了计算(15.67)，我们采用下面的方法。设 D_0, D_1 为凸体，令 D_0 固定而 D_1 运动，其运动密度是 dK_1 。设 L_q 为一个作运动的 q 维平面，并考虑积分

$$I = \int_{D_0 \cap D_1 \cap L_q \neq \emptyset} dK_1 \wedge dL_q. \quad (15.69)$$

先令 D_1 固定，则根据(14.2)，

$$I = \frac{O_{n-2} \cdots O_{n-q-1}}{(n-q) O_{q-1} \cdots O_0} \int_{D_0 \cap D_1 \neq \emptyset} M_{q-1}(\partial(D_0 \cap D_1)) dK_1, \quad (15.70)$$

然后令 L_q 固定，对 dK_1 积分，则根据(15.68)，

$$\begin{aligned} I = O_{n-2} \cdots O_1 & \int \left[O_{n-1} V_1 + \frac{\binom{n}{n-q}}{n \binom{n-1}{q}} O_{n-q-1} \sigma_q(D_0 \cap L_q) M_{q-1}^1 \right. \\ & + \frac{1}{n} \sum_{h=n-q}^{n-2} \binom{n}{h+1} \frac{\binom{q-1}{h+q-n}}{\binom{n-1}{q}} \frac{O_h}{O_{h+q-n}} \\ & \left. \times M_{h+q-n}(\partial(D_0 \cap L_q)) M_{n-2=h}^1 \right] dL_q. \quad (15.71) \end{aligned}$$

最后的积分可以根据(14.69)和(14.10)计算，把所得结果和(15.70)比较，就得最后结果

$$\begin{aligned} & \int_{D_0 \cap D_1 \neq \emptyset} M_{q-1}(\partial(D_0 \cap D_1)) dK_1 \\ & = O_{n-2} \cdots O_1 \left[O_{n-1} (V_1 M_{q-1}^0 + V_0 M_{q-1}^1) \right] \end{aligned}$$

$$\begin{aligned}
& + \frac{(n-q)O_{q-1}}{O_{n-q-1}} \sum_{h=0}^{n-2} \frac{\binom{q-1}{q+h-n} O_{2n-h-q} O_h}{(h+1)O_{n-h} O_{h+q-n}} \\
& \times M_{n-2}^1 \dots M_{n-q-1}^0 \Big], \quad (15.72)
\end{aligned}$$

这适用于 $q=1, 2, \dots, n-1$ 。当 $q=n$ 时, 它必须用(15.36)代替。用(15.63)除(15.72), 就得 $M_{q-1}(\partial(D_0 \cap D_1))$ 的期望值。

公式(15.72)可以推广到和一个固定凸体 D_0 相交的 m 个凸体 D_1, D_2, \dots, D_m 。其结果是 $M_{q-1}(\partial(D_0 \cap \dots \cap D_m))$ 的期望值[657]。Stoksa [648]把它应用于几何概率。

到非凸域的推广。公式(15.72)对于不一定是凸的域 D_0, D_1 也适用, 但中曲率积分 $M_h(\partial D_0), M_h(\partial D_1)$ 和 $M_h(\partial(D_0 \cap D_1))$, 按照第13章第6节的意义, 必须存在, 为了证明这一推广, 考虑恒等式

$$\begin{aligned}
M_{q-1}(\partial(D_0 \cap D_1)) &= M_{q-1}(\partial D_0 \cap D_1) + M_{q-1}(D_0 \cap \partial D_1) \\
&\quad + M_{q-1}(\partial D_0 \cap \partial D_1). \quad (15.73)
\end{aligned}$$

通过类似用于证明(15.59)和(15.60)的论证, 可得

$$\begin{aligned}
\int M_{q-1}(D_0 \cap \partial D_1) dK_1 &= O_{n-1} \dots O_1 M_{q-1}^1 V_0, \\
\int M_{q-1}(\partial D_0 \cap D_1) dK_1 &= O_{n-1} \dots O_1 M_{q-1}^0 V_1. \quad (15.74)
\end{aligned}$$

对于(15.73)最后一项, 通过推导(15.56)所用的方法, 可得

$$\begin{aligned}
\int M_{q-1}(\partial D_0 \cap \partial D_1) dK_1 &= \sum c_{nqh} M_{n-2-h}^1 M_{h+q-n}^0, \\
(h &= n-q, n-q+1, \dots, n-2), \quad (15.75)
\end{aligned}$$

其中系数 c_{nqh} 和 D_0, D_1 的形状无关(它们是“局部”系数)。因此, 它们一定和(15.72)里的一样, 因而(15.72)对于任意一对域 D_0, D_1 适用, 条件是曲率积分 $M_1^1, M_1^0, M_h(\partial(D_0 \cap D_1))$ 存在

($h = n - q, n - q + 1, \dots, n - 2$).

7. 关于柱的基本公式

设 O 为 E_n 的固定点而 $L_{n-p[0]}$ 为经过 O 的一个 $n - q$ 维平面. 设 D_{n-p} 为 $L_{n-p[0]}$ 里一个有界域, 其边界 $\partial(D_{n-p}) \subset L_{n-p[0]}$ 是光滑的, 属于 C^2 类. 对于每点 $x \in D_{n-p}$, 考虑经过 x 而垂直于 $L_{n-p[0]}$ 的 p 维平面. 一切这样的 L_p 构成一个柱 Z_p . p 维平面 L_p 是柱的母面而 D_{n-p} 是柱的法截痕. E_n 里全等柱面的密度是

$$dZ_p = dL_{n-p[0]}^* \wedge dK^{*-p}, \tag{15.76}$$

其中 dK^{*-p} 表示 $L_{n-p[0]}$ 上的运动密度, 而星号则表明 $L_{n-p[0]}$ 应是有向的. 若现在用 dK^* 表示 E_n 里的运动密度, 则由 (15.76), (15.14) 可知

$$dK^* = dZ_p \wedge dK^p, \tag{15.77}$$

其中 dK^p 是 L_p 上的运动密度.

由于 dK^* 也可以写作 $dK^* = dL_p^* \wedge dK_{[p]} \wedge dK^p$, 其中 $dK_{[p]}$ 表示绕 L_p 的转动密度 (第十二章, 第 1 节), 可见

$$dZ_p = dL_p^* \wedge dK_{[p]}. \tag{15.78}$$

已给截痕 D_{n-p} , 柱 Z_p (除位置外) 完全确定, 因此, 看作 L_{n-p} 里的 $n - p - 1$ 维流形 ∂D_{n-p} 的中曲率积分可以作为 Z_p 的中曲率积分的定义. 即: 我们令

$$M_i(Z_p) = M_i^{*-p}(\partial D_{n-p}), \quad i = 0, 1, \dots, n - p - 1, \tag{15.79}$$

而当 $i = n - p, n - p + 1, \dots, n$ 时, $M_i(Z_p) = 0$. 在这里, $V(Z_p)$ 表示 D_{n-p} 的 $n - p$ 维体积.

我们要推广基本公式 (15.36) 到 D_1 是一个柱 Z_p 的情况. 为此目的, 考虑中心属于截痕 D_{n-p} , 半径等于 ρ , 而含在其垂直于 D_{n-p} 的对应的母面 L_p 内的一切 p 维球体 $U_p(\rho)$, 并用 $Z_p(\rho)$ 表示一切这样的球体的有界并集 (因而 $Z_p = Z_p(\infty)$). 为了求 $Z_p(\rho)$ 的中曲率积分, 考虑它的距离为 ε 的单行体, 然后令 $\varepsilon \rightarrow 0$. 我们不

难得到

$$M_i(Z_p(\rho)) = h_i, \quad i > n - p - 1,$$

$$M_i(Z_p(\rho)) = \frac{\binom{n-p-1}{i}}{\binom{n-1}{i}} M_i(Z_p) \frac{O_{p-1} \rho^p}{p} + h_i, \quad 0 \leq i \leq n - p - 1, \quad (15.80)$$

其中 h_i 是对应于球体 $U_p(\rho)$ 的边界轨迹那部分的中曲率积分，因而 $\rho \rightarrow \infty$ 时， $h_i/\rho^p \rightarrow 0$ 。注意 $(O_{p-1}/p)\rho^p$ 是半径为 ρ 的 p 维球面的体积。利用关于 dK_1 的表达式 (15.77)，我们对于 D_0 和 $Z_p(\rho)$ 写下基本公式 (15.36)。在左边，当诸球 $U_p(\rho)$ 的边界和 D_0 不相交时， dK^p 的积分给出 $O_1 \cdots O_{p-1} (O_{p-1}/p)\rho^p$ (当 ρ 很大时的渐近值)。另一方面，对于诸球 $U_p(\rho)$ 的边界和 D_0 不相交的情况， $Z_p(\rho)$ 的测度有像 $\rho^{p-1} \times \text{常数}$ 那样的上界。因此，若用 $O_1 \cdots O_{p-1} (O_{p-1}/p)\rho^p$ 除基本公式两边然后令 $\rho \rightarrow \infty$ ，并利用 (15.80)，就得关于柱的运动基本公式

$$\begin{aligned} & \int_{D_0 \cap Z_p \neq \emptyset} \chi(D_0 \cap Z_p) dZ_p \\ &= O_{n-1} \cdots O_p \chi(D_0) V(Z_p) \\ &+ O_{n-2} \cdots O_p \sum_{i=0}^{n-2} \frac{1}{n-p} \binom{n-p}{p-i+1} \\ &\times M_i(D_0) M_{n-i-2}(Z_p). \end{aligned} \quad (15.81)$$

特款1 当 D_{n-p} 缩成一点时， Z_p 化为一个“有向” L_p 。这时，利用 (15.78) 和 (12.14)，公式 (15.81) 化为 (14.79)。

特款2 当 D_0 缩成一点 P 时，就得

$$\int_{Z_p \in Z_p} dZ_p = O_{n-1} \cdots O_p V(Z_p). \quad (15.82)$$

特款3 若 Z_p 是一个凸柱而 D_0 是凸体, (15.81)化为

$$\begin{aligned} \int_{D_0 \cap Z_p \neq \emptyset} dZ_p &= O_{n-1} \cdots O_p V(Z_p) \\ &+ \frac{O_{n-2} \cdots O_p}{n-p} \sum_{r=1}^{n-p} \binom{n-p}{p-r+1} M_r(D_0) \\ &\times M_{n-p-r-2}(Z_p), \end{aligned} \quad (15.83)$$

或者, 用截测积分 W_i 表示;

$$\begin{aligned} \int_{D_0 \cap Z_p \neq \emptyset} dZ_p &= n O_{n-2} \cdots O_p \\ &\times \sum_{r=1}^{n-p} \binom{n-p}{p-r+1} W_{r+1}(D_0) W_{n-1-p}(Z_p), \end{aligned} \quad (15.84)$$

其中我们已令 $W_{n-1-p}(Z_p) = W_{n-1-p}^{n-p}(\partial D_{n-p})$.

这个结论可以叙述如下: 若 D_0 和 D_1 为凸集而 $D_0 \subset D_1$, 一个和 D_1 相交的随机柱 Z_p 也和 D_0 相交的概率是

$$m(Z_p; Z_p \cap D_0 \neq \emptyset) / m(Z_p; Z_p \cap D_1 \neq \emptyset),$$

其中分子和分母依次是应用于 D_0 和 D_1 的(15.84).

特款4 在欧氏空间 E_3 里, 我们有两款 $p=1, 2$. 若 $p=1$, Z_1 的截痕是一个单面域 D_2 . 令 f_z 为其面积, u_z 为其周长, c_z 为其全曲率(第七章, 第3节). 则

$$\begin{aligned} M_0(Z_1) &= u_z, \quad M_1(Z_1) = c_z = 2\pi\chi(Z_1), \\ V(Z_1) &= f_z, \end{aligned}$$

而(15.81)化为

$$\begin{aligned} \int_{D_0 \cap Z_1 \neq \emptyset} \chi(D_0 \cap Z_1) dZ_1 &= 8\pi^2 \chi(D_0) f_z + \pi F c_z \\ &+ 2\pi M_1 u_z, \end{aligned} \quad (15.85)$$

其中 F 和 M_1 依次是 D_0 的面积和中曲率积分.

若 $p=2$, 则 Z_2 是 E_3 里一个带或一组平行带。假定 Z_2 是宽度为 a 的带, 则

$$M_1(Z_2) = 0, \quad M_0(Z_2) = 2, \quad V(Z_2) = a,$$

而 (15.81) 化为 (和 (14.79a) 比较)

$$\int_{D_0 \cap Z_2 \neq \emptyset} \chi(D_0 \cap Z_2) dZ_2 = 4\pi a \chi(D_0) + 2M_1(\partial D_0). \quad (15.86)$$

8. 一些中值

(1) 设 $K \equiv K_i (i=1, 2, \dots, m)$ 为 m 个固定而全等的凸集。设 N_D 为和一个运动中的凸柱 Z_p 相交的 K_i 的个数。令 D_0 为诸 K_i 的并集, 应用基本公式 (15.81), 得

$$\int N dZ_p = nm \bigcirc_{n-1} \dots \bigcirc_p \sum_{\nu=p-1}^{n-1} \binom{n-p}{\nu-p+1} W_{\nu+1}(K) W_{n-1-\nu}(Z_p). \quad (15.87)$$

因此, 若在一个凸体 K_0 内有 m 个全等凸体 $K_i \equiv K$, 则一个和 K_0 相交的随机凸柱和 K_i 相交的个数的期望值是

$$E(N) = \frac{m \sum_{\nu=p-1}^{n-1} \binom{n-p}{\nu-p+1} W_{\nu+1}(K) W_{n-1-\nu}(Z_p)}{\sum_{\nu=p-1}^{n-1} \binom{n-p}{\nu-p+1} W_{\nu+1}(K_0) W_{n-1-\nu}(Z_p)}. \quad (15.88)$$

(2) 现在考虑有 m 个全等的凸^①柱 $Z_i \equiv Z_p (i=1, 2, \dots, m)$ 和一个固定凸集 K_0 随机地相交。我们试求 K_0 被恰好 r 个柱 ($r \leq m$) 覆盖的那部分体积的中值。为此, 考虑积分

$$\int dP \wedge dZ_1^r \wedge \dots \wedge dZ_r^m,$$

① 原文是 n , 译文改为 N , 以别于空间 E_n 的维数, 下同。——译者

② 原书未规定 Z_p 是凸的。——译者

其积分范围是一切和 K_0 相交的 Z_i 以及一切被恰好 r 个柱覆盖的 $P \in K_0$ 。先固定诸柱 Z_i 来对 dP 积分, 再固定 P 来对 dZ_i 积分, 然后令两次所得结果相等, 就得

$$\begin{aligned} & \int V_r dZ_1^1 \wedge \cdots \wedge dZ_p^m \\ &= \binom{m}{r} (O_{n-2} \cdots O_p)^m (O_{n-1} V(Z_p))^r \\ & \times \left[n \sum_{p=1}^{n-1} \binom{n-p}{p-p+1} W_{p+1}(K_0) W_{n-1-p}(Z_p) \right. \\ & \quad \left. - O_{n-1} V(Z_p) \right]^{m-r} V(K_0). \end{aligned} \quad (15.89a)$$

下面是(15.84)和(15.89a)的推论:

考虑和一个固定凸集相交的 m 个全等凸柱 $Z_i^1 = Z_p$ 。 K_0 被恰好 r 个柱覆盖的部分体积 V_r 的中值是

$$\begin{aligned} E(V_r) &= \binom{m}{r} \frac{O_{n-1}^r}{n^m} \\ & \times \frac{\left[n \sum_{p=1}^{n-1} \binom{n-p}{p-p+1} W_{p+1}(K_0) W_{n-1-p}(Z_p) - O_{n-1} V(Z_p) \right]^{m-r}}{\left[\sum_{p=1}^{n-1} \binom{n-p}{p-p+1} W_{p+1}(K_0) W_{n-1-p}(Z_p) \right]^m} \end{aligned} \quad (15.89b)$$

这个公式适用于 $r = 0, 1, \dots, m$ 。

练习 假定 $m \rightarrow \infty$ 时, 截痕总面积保持不变, 即 $mV(Z_p) = S$ (常数)。试证明, 当 $m \rightarrow \infty$ 时,

$$E(V_r) \rightarrow \frac{V(K_0)}{r!} \left[\frac{(n-p) O_{n-1} S}{n O_{n-p-1} W_p(K_0)} \right]^r$$

$$\times \exp\left(-\frac{(n-p)O_{n-1}S}{n\bar{O}_{n-p-1}\bar{W}_p(\bar{K}_0)}\right).$$

9. E_n 里的格

第八章的结果可以直接推广到 E_n . 假定 E_n 被一个格所分割, 格的基本域是 $\alpha_i = T_i \alpha_0 (i = 0, 1, \dots)$, 其中 T_i 是 E_n 里运动群的一个离散子群的元素, 这个离散子群令格不变. 假定 E_n 的每一点属于恰好一个 α_i . 设 D_0 为含于 α_0 内的一个点集, 并考虑点集 $T_i D_0 (i = 0, 1, 2, \dots)$. 应用 (15.36) 并采用第 8 章中用于平面的方法, 得

$$\begin{aligned} & \int_{P \in \alpha_0} \sum_i \chi(T_i D_0 \cap D) dK \\ &= O_{n-1} \dots O_1 (V \chi_0 + V_0 \chi) + O_{n-2} \dots O_1 \frac{1}{n} \sum_{h=0}^{n-2} \binom{n}{h+1} M_h^0 M_{n-2-h}, \end{aligned} \quad (15.90)$$

其中左边积分的范围是使动标原点 P 含于 α_0 内的一切动域 D 的位置.

我们将考虑 (15.90) 的两个推论:

推论 1 假定 E_n 被立方体所分割, 立方体的棱平行于坐标轴, 棱长为 a . 假定 α_0 是立方体 $0 \leq \alpha_i < 1, (i = 1, 2, \dots, n)$ 而 D_0 是 α_0 的闭包. 设 D 为一个拓扑球, 则 $\chi = \chi(D) = 1, \chi_0 = \chi(D_0) = 1$, 而

$$\sum_i \chi(T_i D_0 \cap D)$$

等于 D 被立方体所分割的块数, 用 ν 表示. 于是, 应用 (15.90), 再利用关于一个棱长为 a 的立方体的中曲率积分的值 (13.48), 就得

$$E(\nu) = 1 + \frac{V}{a^n} + \frac{1}{O_{n-1}} \sum_{h=0}^{n-2} \binom{n}{h+1} \frac{O_h}{(1+h)a^{h+1}} M_{n-2-h}. \quad (15.91)$$

由于和 D 有公共点的基本域的个数 N 总不能超过 ν , $E(N) \leq E(\nu)$, 因此:

每一个拓扑球体 D 总可以用棱长为 a 的立方体覆盖, 而其中立方体的个数不超过 (15.91) 的值.

若考虑立方体 a_i 的半径为 $r = (\sqrt{n}/2)a$ 的外接球体, 我们又得

每一个拓扑球体 D 总可以用半径为 r 的 n 维球覆盖, 而其中 n 维球体的个数不超过

$$1 + \frac{V}{2^n r^n} n^{n/2} + \frac{1}{O_{n-1}} \sum_{h=0}^{n-2} \binom{n}{h+1} \frac{O_h n^{(h+1)/2}}{(h+1) 2^{h+1} r^{h+1}} M_{n-2-h}.$$

$n=2$ 时, 这些不等式是 Hadwiger [263] 的结果, 它们到 E_n 的推广则是 Santaló [543] 的工作. 还可以参看 Hadwiger [278] 和 Trandafir [677a].

推论2 假定 D_0 是凸体而 D 是长度为 s 的线段. 此外, 还假定 D 不会和多于一个体 $T_i D_0$ 相交. 这样, 利用 (15.90) 和关于长度为 s 的线段的各中曲率积分值 (13.49), 就得以下结果:

考虑凸体 D_0 和它的象 $T_i D_0 (i=0, 1, \dots)$ 所构成的格. 已给长度为 s 而和 $T_i D_0$ 诸体中至多一相交的随机线段, 则该线段和一个 $T_i D_0$ 相交的概率是

$$p = \frac{1}{|a_0|} \left(V_0 + \frac{O_{n-2}}{(n-1)O_{n-1}} s F_0 \right),$$

其中 $|a_0|$ 表示 a_0 的体积而 V_0, F_0 依次是 D_0 的体积和表面积.

10. 注记与练习

(1) 关于随机集的问题. 设 A 为 E_n 里一个矩体 (直角平行体), 它的点 $x(x_1, \dots, x_n)$ 的坐标满足 $0 \leq x_i \leq a_i (i=1, \dots, n)$. A 的体积是 $V_a = a_1 a_2 \dots a_n$. 设 Y_1, \dots, Y_m 为 m 个全等矩体, 其棱长为 b_1, \dots, b_n , 因而其体积都是 $V_y = b_1 \dots b_n$. 假定 Y_i 的棱都和坐标

轴平行，并作平移运动(不转动)。设 P_i 为 Y_i 的中心而 dP_i 为 E_n 在 P_i 的体元。 Y_i 的(平移)象的一个集合的测定是这些象的中心所覆盖的体积。令 $X = (Y_1 \cup Y_2 \cup \dots \cup Y_m) \cup A$ ，并考虑积分

$$I = \int dP \wedge dP_1 \wedge \dots \wedge dP_m,$$

其积分范围是一切 $P \in A$ ，以及使

$$Y_i \cap A \neq \emptyset, \quad P \notin Y_i \quad (i = 1, \dots, m)$$

的一切 P_i 的位置。为了计算 I ，注意如果 P_i 含在与 A 同中心而棱长为 $a_i + b_i$ 的矩体内，则条件 $Y_i \cap A$ 即可满足。还注意 $\int dP_i = V_Y$ ($P \in Y_i$ 范围内的积分)。先令 P 固定，得 $(V_0 - V_Y)^m V_A$ ，其中 $V_0 = (a_1 + b_1) \dots (a_n + b_n)$ 。另一方面，若固定矩体 Y_i 而对 dP 积分，就得 $I = \int (V_A - V_X) dP_1 \dots dP_m$ ①，其中 V_X 表示 X 的体积。因此，

$$\int V_X dP_1 \wedge \dots \wedge dP_m = V_A [V_0^m - (V_0 - V_Y)^m].$$

除以 V_0^m ，就得体积 V_X 的期望值

$$E(V_X) = V_A \left[1 - \left(1 - \frac{V_Y}{V_0} \right)^m \right]. \quad (15.92)$$

关于高次矩的表达式显得较复杂。关于这些问题以及有关问题，见Robbins[512]，Votaw[705]，Bronowski与Neyman[71]。当 $n = 2$ 时，可以考虑随机矩形也具有随机正向的款。还可以考虑用随机的全等球体来替代矩体 Y_i (见[512, 213, 335])。关于较一般性的研究途径见[2]。若随机集不是均匀分布的，则结果更为复杂(见[432, 616, 617])。

(2) Chern与Federer的一个一般运动公式。设 M 为紧致 k

① X 的体积原书也用 X 表示。——译者

维黎曼流形。假定把 M 嵌在 E_n 内，而 T_ρ 为一切和 M 距离为 ρ 的点的集合。当 ρ 很小时，Weyl[716]证明了 T_ρ 的体积可以用下面公式表示

$$V(T_\rho) = O_{m-1} \sum_{\cdot} \frac{(e-1)(e-3)\cdots 1}{(m+e)(m+e-2)\cdots m} \mu_e(M) \rho^{m+e}, \tag{15.93}$$

(e 是偶数, $0 \leq e \leq k$, $m = n - k$) 其中 $\mu_e(M)$ 是 M 的积分不变量, 它可以从 M 的曲率张量的分量计算。特殊地, $\mu_0(M)$ 是 M 的总体积, 而当 k 为偶数时,

$$\mu_k(M) = \frac{(2\pi)^{k/2}}{(k-1)(k-3)\cdots 1} \chi(M), \tag{15.94}$$

其中 $\chi(M)$ 是 M 的 Euler-Poincaré 示性数。

设 M^p 和 M^q 为 E_n 里两个(无边界的)子流形, 其维数是 p 和 q 。设 M^p 固定而 M^q 作运动, 其运动密度是 dK 。则

$$\int_{M^p \cap M^q \neq \emptyset} \mu_e(M^p \cap M^q) dK = \sum_{\substack{0 \leq i \leq e \\ \text{偶}}} c_i \mu_i(M^p) \mu_{e-i}(M^q), \tag{15.95a}$$

其中 c_i 为依赖于 n, p, q, e 而较复杂的常数。

若 dL_q 表示 E_n 里 q 维平面的密度, 则

$$\begin{aligned} \int_{M^p \cap L^q \neq \emptyset} \mu_e(M^p \cap L_q) dL_q \\ = \frac{O_n \cdots O_{n-q} O_{p+q-n+1} O_{p+q-n} O_{p+1-e} \mu_e(M^p)}{O_q \cdots O_1 O_{p+1} O_p O_{p+q-n+1-e}} \end{aligned} \tag{15.95b}$$

当 $e = 0$ 时, (15.95a) 和 (15.20) 一致; 当 $p = n - 1$ 时, (15.95b) 和 (14.78) 一致。一般公式 (15.95a) 和 (15.95b) 是 Chern [112] 所给出的, 它们和早些时候 Federer [177] 所给出的类似。Flaherty [200] 把曲率测度推广到 E_n 里的 Borel 集 (参见 Sulanke 与 Wintgen 的书 [664])。Nijenhuis [451] 指出, 存在着诸 μ 的一种规

范化测度以及一种运动密度，使曲率多项式

$$\mu(X, \lambda) = \sum_i \mu_e(X) \lambda^i$$

满足

$$\int \mu(M^p \cap M^q) dK = \mu(M^p, \lambda) \mu(M^q, \lambda) \pmod{\lambda^{p+q-n+1}}.$$

Chen[103]给出了含有 M^p, M^q 和 $M^p \cap M^q$ 的内蕴不变量的一些运动公式. 例如设 $\tau(C)$ 表示 E_3 里一条曲线 C 的总平方曲率而 H 为曲面 M^2 的中曲率, K 为曲面 M^2 的全曲率, $H^*(M^2) = \int H^2 d\sigma, K^*(M^2) = \int K d\sigma, \sigma(M^2) = M^2$ 的面积. Chen证明了

$$\begin{aligned} \int \tau(M_0^2 \cap M^2) dK &= 2\pi^3(3H^*(M_0^2) - K^*(M_0^2)\sigma_0(M^2)) \\ &\quad + 2\pi^3(3H^*(M^2) - K^*(M^2)\sigma_0(M_0^2)). \end{aligned} \tag{15.96}$$

关于 E_3 里的曲面, 参看[687].

一般公式(15.95a)可以推广到运动中的柱. 设 M^h 为有向紧致可微(无边界)流形, 它含在 E_n 的一个 $n-m$ 维平面 L_{n-m} 内($h+m \leq n$). 经过 M^h 每一点, 取垂直于 L_{n-m} 的 m 维平面 L_m . 这一切的 L_m 构成一个 $h+m$ 维柱 $Z_{h,m}$, 其母面是 m 维平面 L_m , 其截痕是 M^h . $Z_{h,m}$ 的密度是 $dZ_{h,m} = dL_{n-m[0]} \wedge dK^{*-m}$, 其中 dK^{*-m} 是 $L_{n-m[0]}$ 上的运动密度. 运动公式(15.95a)化为

$$\begin{aligned} &\int_{M^p \cap Z_{h,m} \neq \emptyset} \mu_e(M^p \cap Z_{h,m}) dZ_{h,m} \\ &= \sum_{e=h \leq i \leq e} \frac{c_i}{O_1 \dots O_{m-i}} \frac{\binom{h}{e-i}}{\binom{h+m}{e-i}} \mu_i(M^p) \mu_{e-i}(M^h). \end{aligned} \tag{15.97}$$

、 e 为偶数, $0 \leq e \leq p + h + m - n, i \geq 0, i$ 为偶数)。

(3) Poincaré 公式的推广。像(15.95a)那样的关于一个固定流形 M^p 和一个运动着的流形 M^q 的交集的积分公式, 在积分几何里通常叫做 Poincaré 公式。公式(7.11)和(15.20)是它的特款。这类公式已经被 Kurita[351], Federer[177], Brothers[73]推广到齐性空间。下面举例说明 Brothers 所给出的那个类型的公式。

设 M 为 n 维黎曼空间, 它有一个可迁的等距变换群 \mathcal{G} 。设 M^p 和 M^q 为 M 的属于 C^1 类的 p 维和 q 维真子流形, $p + q \geq n$, 并令 $A \subset M^p, B \subset M^q, A, B$ 是 Borel 集。假定 \mathcal{G} 在 M^p 和 M^q 的切空间的集合中的作用都是可迁的, 设 dg 为 \mathcal{G} 的左不变测度。这样, 就存在着一个只依赖于 M^p, M^q 和 \mathcal{G} 的常数 a , 使

$$\int_{\mathcal{G}} m(A \cap gB) dg = am(A) \int_B \Delta d\sigma_B, \quad (15.98)$$

其中 $m(A \cap gB)$ 是 $A \cap gB$ 的 $p + q - n$ 维测度 (Hausdorff 测度), $d\sigma_B$ 是 M^q 的 q 维测度元素, 而 Δ 是依赖于 M 和 \mathcal{G} 的一个正函数。常数 $a \neq 0$ 的充要条件是, 对于某个 $g \in \mathcal{G}$, 存在着一点 $a \in M^p \cap gM^q$, 使切空间 $T_a(M^p)$ 和 $T_a(gM^q)$ 的并集张成 $T_a(M)$ 。

公式(15.98)可以作如下推广。设 \mathcal{E} 为 M 的 q 维子流形的一个集合, 它具有以下性质: \mathcal{G} 在 \mathcal{E} 上的作用是可迁的, 而且若 $E \in \mathcal{E}$, 则 $\mathcal{G} \cap \{g; gE = E\}$ 在 \mathcal{E} 上也是可迁的。再假定 \mathcal{E} 有一个对于 \mathcal{G} 的不变密度 dE 。这时

$$\int_{\mathcal{E}} m(A \cap E) dE = \beta am(A), \quad (15.99)$$

其中 $m(A \cap E)$ 是 $A \cap E$ 的 $p + q - n$ 维测度, 而 β 是依赖于密度 dE (它一般不是唯一的) 的一个正常数。

(4) 凸集场和柱场。考虑 E_n 里一个可数集合的全等凸集 $K = K_1 = K_2 = \dots$, 它们不一定互不相交, 但该集合具有以下性质: 若 $m(r)$ 为和一个中心在 P 点而半径等于 r 的 n 维球体 S_r 相交的

凸集个数, 则当 $r \rightarrow \infty$ 时, 渐近关系

$$m(r) = \rho \kappa_n r^n + o(r^n), \quad \kappa^n = \pi^{n/2} (\Gamma(1 + n/2))^{-1} \quad (15.100)$$

成立, 即极限

$$\lim_{r \rightarrow \infty} \frac{m(r)}{\kappa_n r^n} = \rho \quad (15.101)$$

存在而且和中心 P 无关。这时, 我们说, 在 E_n 里有凸集 K 的一个场, 它的密度是 ρ 。假定把一个凸集 K_0 随机地放在 E_n 里, 它和场中恰好 s 个集相交的概率是什么?

为了解答这个问题, 我们采取如下途径。假定我们把凸集 K 随机地放在 S_r 里, 则一个和 S_r 相交的随机凸集 K 也和 K_0 相交的概率为 (15.65) 所给定, 它可以写成

$$p = \frac{B_0}{B_1}, \quad B_i = \kappa_n^{-1} \sum_{h=0}^n \binom{n}{h} W_i W_{n-h} \quad (i = 0, 1), \quad (15.102)$$

其中我们用 W_i 表示 S_r 的截测积分 (13.46)。

若考虑 m 个和 K 全等而和 S_r 相交的随机凸集, 则其中恰好 s 个和 K_0 相交的概率是

$$p_s(r) = \binom{m}{s} p^s (1-p)^{m-s}.$$

假定当同时令 $m, r \rightarrow \infty$ 时, (15.101) 成立, 则通过简单计算, 得

$$p_s = \lim_{r \rightarrow \infty} p_s(r) = \frac{(\rho B_0)^s}{s!} \exp(-\rho B_0). \quad (15.103)$$

换句话说, 一个密度为 ρ 的场中, 和一个随机地放在 E_n 里的凸集 K_0 (一个“试验集”) 相交的凸集 K 的个数是一个具有参数 ρB_0 的 Poisson 随机变量 (见 [228])。

现在, 考虑一个可数集合的全等凸柱 Z_p , 它们不一定互不相交, 但该集合具有以下性质: 若 $m(r)$ 表示和一个半径为 r 的球

S_r 相交的柱的个数, 则渐近关系

$$\lim_{r \rightarrow \infty} \frac{m(r)}{\kappa_n r^{n-p}} = \rho$$

成立而与 S_r 的中心位置无关。我们说, 在 E_n 里有一个密度为 ρ 的柱场 Z_p 。采用和上面类似的推理可知: 若一个试验凸集 K_0 随机地放在 E_n 里, 则和它相交的柱的个数是一个具有参数 ρB_0^* 的 Poisson 随机变数, 其中

$$B_0^* = \kappa_{n-p}^{-1} \sum_{i=p-1}^{n-1} \binom{n-p}{i-p+1} W_{i+1}(K_0) W_{n-1-i}(Z_p)$$

(见练习 1)。

(5) 凸集的汇聚^①。设想在 E_3 里有固定凸集 K_0 以及 n 个和 K_0 相交的凸集 K_1, K_2, \dots, K_n , 设 $K_{012\dots n} = K_0 \cap K_1 \cap \dots \cap K_n$ 而令 $V_{01\dots n}, F_{01\dots n}, M_{01\dots n}$ 依次为 $K_{01\dots n}$ 的体积, 表面积和中曲率积分。可以证明

$$\begin{aligned} \int V_{01\dots n} dK_1 \wedge dK_2 \wedge \dots \wedge dK_n &= (8\pi^2)^n V_0 V_1 \dots V_n, \\ \int F_{01\dots n} dK_1 \wedge dK_2 \wedge \dots \wedge dK_n \\ &= (8\pi^2)^n \sum_i V_0 \dots V_{i-1} F_i V_{i+1} \dots V_n, \\ \int M_{01\dots n} dK_1 \wedge dK_2 \wedge \dots \wedge dK_n \\ &= \frac{1}{2} \pi^4 (8\pi^2)^{n-1} \sum_{i=j} V_0 \dots V_{i-1} F_i V_{i+1} \dots V_{j-1} F_j V_{j+1} \dots V_n \\ &\quad + (8\pi^2)^n \sum_i V_0 \dots V_{i-1} M_i V_{i+1} \dots V_n, \end{aligned}$$

① Agglomerations. — 译者

$$\int dK_1 \wedge dK_2 \wedge \dots \wedge dK_n$$

$$\begin{aligned} &= (8\pi^2)^n \sum_i V_0 \dots V_{i-1} V_{i+1} \dots V_n \\ &\quad + 2\pi(8\pi^2)^{n-1} \sum_{i,j} V_0 \dots V_{i-1} F_i V_{i+1} \dots V_{j-1} M_j V_{j+1} \dots V_n \\ &\quad + \pi^5(8\pi^2)^{n-2} \sum_{i,j,k} V_0 \dots V_{i-1} F_i V_{i+1} \\ &\quad \times \dots V_{j-1} F_j V_{j+1} \dots V_{j-1} F_j V_{j+1} \dots V_{k-1} F_k V_{k+1} \dots V_n, \end{aligned}$$

其中积分的范围都是令 $K_0 \cap K_1 \cap \dots \cap K_n \neq \emptyset$ 的一切 K_i 的位置。注意最后的积分除以测度 $m(K_i; K_i \cap K_0 \neq \emptyset)$ 之积，给出 n 个凸集 K_i 的公共交集和 K_0 相交的概率，而且 K_0 本身也不是空集。参看[524]；关于到 E_n 的推广，参看[657]；还可参看[190, 191]。

设 P_i 为含在一个凸集 K 内的 n 个随机点。它们可以包含在一个半径为 r 的球内的概率是什么？假定以这些点的每一个为中心作半径为 r 的球，则所求概率等于这些球的交集不是空集的概率。用 K_{-r} 表示 K 的一个内平行集，它的边界和 K 的边界距离为 r ，而 V_{-r}, F_{-r}, M_{-r} 依次为它的体积，面积和中曲率积分。应用上面最后的结果，得所求概率的值：

$$\begin{aligned} p(r) = & (4\pi/3)^{n-1} r^{3n-3} V^{-n} [(4\pi/3)r^3 \\ & + n(M_{-r}r^2 + F_{-r}r + V_{-r}) \\ & + 3n(n-1)((\pi^2/32)F_{-r} + V_{-r}) \\ & + (3\pi^2/32)n(n-1)(n-2)V_{-r}]. \end{aligned}$$

Hadwiger 与 Streit [281] 把这个结果推广到和一个固是凸集 K_0 相交的柱或带，然后应用所得结果来解答下面的课题：求和一个凸集 K_0 相交的 n 条随机直线(或 n 个随机平面)构成一个“殆把”^①，即存在着一个半径为 r 而和所有直线(或平面)有公共

① Almost bundle. ——译者

点的球。注意这个课题只要求这样的球存在，并不规定它在 K_0 里的位置。

(6) E_3 里的柱。设 Z 为 E_3 里一个直柱，其截痕是一个面积为 f ，周长为 u 的平面域。按照(15.78)， Z 的密度可以写作 $dZ = dG^* \wedge d\phi$ ，其中 G^* 是平行于柱的母线的一条有向直线，而 ϕ 表示绕 G^* 的一个转动。我们叙述下列结果。

(a) 若 K 为固定凸体，其面积为 F ，中曲率积分为 M ，则在 $c_Z = 2\pi$ 的假定下，基本公式(15.85)化为

$$\int_{K \cap Z \neq \emptyset} dZ = 2\pi(\pi F + 4\pi f + Mu).$$

(b) 若 Γ 为长度为 L 的有长曲线而 n 表示它和 ∂Z 的交点数，则

$$\int_{\Gamma \cap \partial Z \neq \emptyset} ndZ = 4\pi^2 uL.$$

(c) 若 Σ 为面积为 F 的曲面而 λ 表示曲线 $\Sigma \cap \partial Z$ 的长，则

$$\int_{\Sigma \cap \partial Z \neq \emptyset} \lambda dZ = 2\pi^2 uF.$$

(d) 假定把一个固定平面 E 分割成面积为 α 的基本域，各基本域含有面积为 f ，周长为 u 的凸集 K_E 。假定每个 K_E 为一个直柱 Z 的截痕，而这些直柱构成 E_3 里一个凸柱格(图15.1)。设 K 是

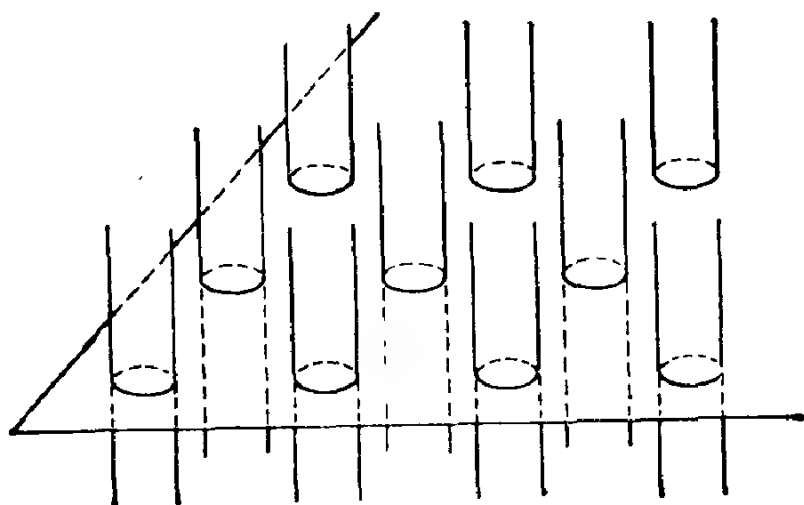


图 15.1

面积为 F ，中曲率积分为 M 的凸集，而且它不能和格中多于一个柱相交。这样，若把 K 随机地放在 E_3 里，它和格中一个柱相交的概率是

$$p = (\pi F + 4\pi f + Mu) / 4\pi a.$$

特殊地，若 K 为长度等于 b 的线段，则 $F = 0$ ， $M = \pi b$ ，而上述概率化为 $p = (4f + bu) / 4a$ 。若柱 Z 化为直线 ($f = u = 0$)，则 $p = F / 4a$ 。这些是 Buffon 问题的新推广。关于其他结果，见 [51]。

练习 1 应用注记 4 中的最后结果到具有密度 ρ 的直线场或平面场的款，把直线或平面看成是截痕缩成一点的柱。

第十六章 几何应用与统计应用; 立体度测法

1. 从粒子截痕的量分布推测其本身的量分布

我们考虑在 E_3 里随机分布着的凸粒子。所谓的立体度测学^①的基本课题之一,是通过这些粒子和已知形状的随机图形(例如一个凸体,柱,平面,带,直线)的截痕的量分布来确定粒子本身的量分布;这个学科和许多表面上互不相关的学科如生物学、矿物学、冶金学和几何学都有交叉。Elias [166]对它提出了以下的定义:立体度测学的研究对象是探究三维空间的一系列方法,这些方法适用于我们只能获得一些立体的二维截痕或其投影的情况。立体度测学的主要方法都和积分几何密切相关,我们在本章将揭示一些典型的例。主要参考文献是[166],关于其基本方程的讨论,见[226,227]。

首先,我们对于 $n=3$ 的款叙述从上章得到的公式。设 K 为 E_3 里一个固定凸体,而 K_1 为动凸体,其运动密度是 dK_1 。运动基本公式(15.63)化为

$$\int_{K \cap K_1 \neq \emptyset} dK_1 = 8\pi^2(V + V_1) + 2\pi(FM_1 + F_1M), \quad (16.1)$$

其中 V, F, M 依次表示 K 的体积、表面积和中曲率积分。

公式(15.20)对于 $n=3, q=r=3$ 的款,公式(15.72)对于 $n=3, q=1$ 和 $n=3, q=2$ 的款是

$$\int_{K \cap K_1 \neq \emptyset} V_{01} dK_1 = 8\pi^2 V V_1,$$

^① Stereology, 也许可以译成“立体估测学”,按字面,则可译成“立体学”。——译者

$$\begin{aligned}\int_{K \cap K_1 \neq \emptyset} F_{01} dK_1 &= 8\pi^2(FV_1 + VF_1), \\ \int_{K \cap K_1 \neq \emptyset} M_{01} dK_1 &= 8\pi^2(V_1M + M_1V) + \left(\frac{\pi^4}{2}\right)FF_1,\end{aligned}\quad (16.2)$$

其中 V_{01} 是 $K \cap K_1$ 的体积, 而 F_{01} 和 M_{01} 依次是 $\partial(K \cap K_1)$ 的表面积和中曲率积分.

若动图形是一个凸柱 Z_1 , 而 u, f 表示它的法截痕的周长和面积, 上面公式化为

$$\int_{K \cap Z_1 \neq \emptyset} dZ_1 = 2\pi(\pi F + 4\pi f + Mu), \quad (16.3)$$

$$\int_{K \cap Z_1 \neq \emptyset} V_{01} dZ_1 = 8\pi^2 Vf,$$

$$\int_{K \cap Z_1 \neq \emptyset} F_{01} dZ_1 = 8\pi^2(Ff + Vu), \quad (16.4)$$

$$\int_{K \cap Z_1 \neq \emptyset} M_{01} dZ_1 = 2\pi^2\left(4\pi f + 4\pi V + \frac{1}{4}\pi^2 Fu\right), \quad (16.5)$$

其中(16.3)是(15.83)的特款, 其余公式通过类似第15章第7节的推理法容易从(16.2)推得.

若动图形是两个距离为 Δ 的平行平面所构成的带 B , 则

$$\begin{aligned}\int_{K \cap B \neq \emptyset} dB &= M + 2\pi\Delta, \\ \int_{K \cap B \neq \emptyset} V_{01} dB &= 2\pi V\Delta,\end{aligned}\quad (16.6)$$

$$\int_{K \cap B \neq \emptyset} F_{01} dB = 2\pi(2V + F\Delta),$$

$$\int_{K \cap B \neq \emptyset} M_{01} dB = (\pi^2/4)F + 2\pi M\Delta, \quad (16.7)$$

其中带的密度 dB 等于它的中间单面的密度。

其次，我们假定在 E_3 里随机分布着全等粒子 K ，并考虑通过以下方法来确定关于这些粒子的诸量 ρ （每单位体积中的粒子数）， V （体积）， F （表面积）， M （中曲率积分）：方法是，令一个具有已知量 V_1, F_1, M_1 的凸体 K_1 （试验体）运动，对于一切 K_1 的位置，得到 K_1 和所有诸粒子的截痕的有关各量的平均值，即总粒子数 N^* ，总体积 V^* ，总表面 F^* ，总中曲率积分 M^* ，然后由 $V_1, F_1, M_1, N^*, V^*, F^*, M^*$ 计算 ρ, V, F, M 。

假定粒子在一个半径为 R 的球内，并令 $R \rightarrow \infty$ ，则利用(16.1)和(16.2)，得 $V^* = \rho V V_1$ ， $F^* = (F_1 V + F V_1) \rho$ ，因而

$$V = \frac{V^*}{\rho V_1}, \quad F = \frac{F^* V_1 - V^* F_1}{\rho V_1^2}. \quad (16.8)$$

与此类似，必得

$$M = \frac{1}{\rho V_1^3} \left[V_1^2 M^* - \frac{\pi^2}{16} F_1 V_1 F^* + \left(\frac{\pi^2}{16} F_1^2 - M_1 V_1 \right) V^* \right], \quad (16.9)$$

而利用对于 $n=3$ 的(15.66)，就得

$$\begin{aligned} \rho = \frac{N^*}{V_1} - \frac{F_1 M^*}{4\pi V_1^2} + \left(\frac{\pi}{32} F_1^2 - \frac{V_1 M_1}{2\pi} \right) \frac{F^*}{2V_1^3} \\ + \left(\frac{V_1 F_1 M_1}{2\pi} - V_1^2 - \frac{\pi}{64} F_1^3 \right) \frac{V^*}{V_1^4}. \end{aligned} \quad (16.10)$$

利用这些公式，从 N^*, V^*, F^*, M^* 和试验体 K_1 的已知量 V_1, F_1, M_1 可以估计 ρ, V, F, M 。

若动图形是一个柱 Z_1 ，由(16.3)—(16.5)，容易推得

$$\begin{aligned} V^* &= \rho V, \quad F^* = \rho F + \rho V(u/f), \\ M^* &= \rho M + \rho \pi(V/f) + \rho \pi^2 F u / 16f, \\ N^* &= \rho \left(\frac{F}{4f} + \frac{Mu}{4\pi f} + 1 \right), \end{aligned} \quad (16.11)$$

其中 N^*, V^*, F^*, M^* 依次是 Z_1 的每一单位体积中, Z_1 和所有诸粒子的截痕的粒子数, Z_1 的体积, 表面积和中曲率积分(对于 Z_1 的一切位置取平均数)。

由 (16.11), 可以推得

$$V = \frac{V^*}{\rho}, \quad F = \frac{F^*f - V^*u}{\rho f},$$

$$M = \frac{M^*}{\rho} - \frac{\pi V^*}{\rho f} - \frac{\pi^2 u}{16\rho f^2}(F^*f - V^*u), \quad (16.12)$$

$$\rho = N^* - \frac{uM^*}{4\pi f} + \left(\frac{\pi u^2}{16f} - 1\right)\frac{F^*}{4f} + \left(1 - \frac{\pi u^2}{32f}\right)\frac{uV^*}{2f^2}.$$

若动图形是一个宽度为 Δ 的带 B , 则从(16.6)和(16.7), 容易推得

$$V^* = \rho V \Delta, \quad F^* = \rho(F \Delta + 2V),$$

$$M^* = \rho\left(M \Delta + \frac{\pi^2}{8} F\right), \quad N^* = \rho\left(\Delta + \frac{M}{2\pi}\right), \quad (16.13)$$

因而

$$V = \frac{V^*}{\rho \Delta}, \quad F = \frac{F^* \Delta - 2V^*}{\rho V^2},$$

$$M = \frac{8M^* \Delta^2 - \pi^2 F^* \Delta + 2\pi^2 V^*}{8\rho \Delta^3},$$

$$\rho = \frac{N^*}{\Delta} - \frac{8M^* \Delta^2 - \pi^2 F^* \Delta + 2\pi^2 V^*}{16\pi \Delta^4}, \quad (16.14)$$

其中 N^*, V^*, F^*, M^* 对应于带的每单位面积所遇到的粒子。

若粒子不全等, 则 V, F, M 表示对于所有粒子的平均量。我们可以用至少两个不同宽的带所测得的 N^* 来推得 ρ 和 M 的值。关于细节和补充, 见Elias[166]书中G. Bach的论文。常用的动图形是一个随机平面 $E(\Delta = 0$ 的带)(图16.1) 或一条随机直线 $G(f =$

0, $u = 0$ 的柱)(图16.2)。我们将分别考虑这两款。

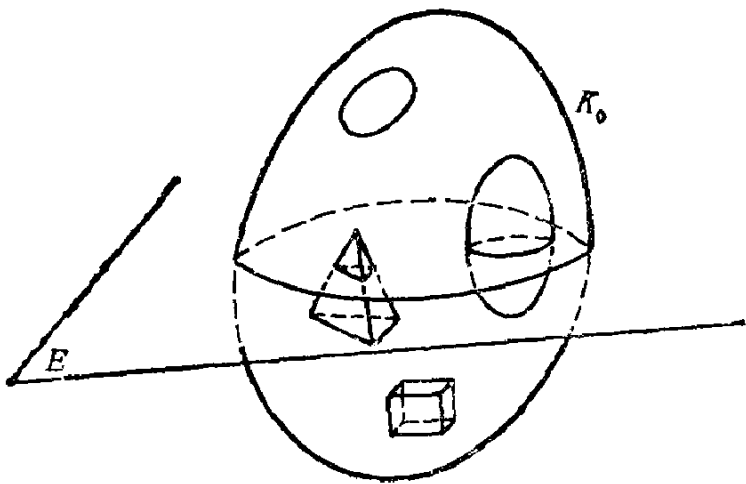


图 16.1

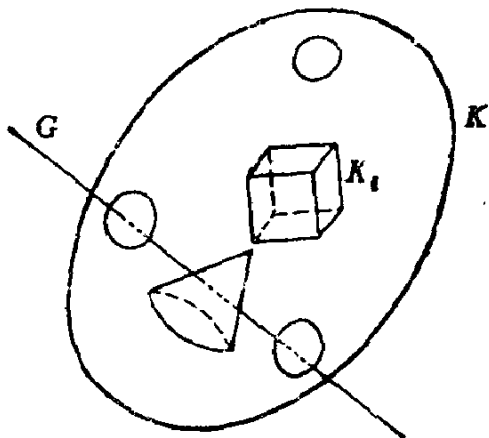


图 16.2

2. 和随机平面的截痕

假定一定数目互不交叠的凸粒子随机地分布在一个凸体 Q 内。假定所有粒子都和一个凸体 K 相似，而 λ 表示相似比：用 K_λ 表示和 K 相似而相似比为 λ 的凸体，因而 $K_1 = K$ 。设 $H(\lambda)d\lambda$ 表示 Q 内每单位体积中，相似比在 λ 与 $\lambda + d\lambda$ 之间的粒子数。

用一个随机平面 E 和 Q 相交，并设 $h(\sigma)d\sigma$ 为在 $Q \cap E$ 内每单位面积中，粒子截痕面积在 σ 与 $\sigma + d\sigma$ 之间的个数。现在我们将要考虑的课题是由 $h(\sigma)$ 求 $H(\lambda)$ 。这个课题在好几个领域里有应用（见[335，第86页]以及其中的文献）。

设 $\phi(\sigma)$ 为 $E \cap K$ 的面积 σ 的概率分布，即对于一个随机选取的平面，截痕面积在 σ 与 $\sigma + d\sigma$ 之间的概率。用 σ_m 表示 σ 的最大值，则

$$\int_0^{\sigma_m} \phi(\sigma) d\sigma = 1, \tag{16.15}$$

$$\int_0^{\sigma_m} \sigma \phi(\sigma) d\sigma = 2\pi V/M,$$

其中第二个等式等价于(14.76)的第二公式。若 $\phi(\sigma, \lambda)$ 表示 $E \cap K_\lambda$ 的概率分布，则 $\phi(\sigma, 1) = \phi(\sigma)$ ，因而

$$\phi(\sigma, \lambda) d(\lambda^2 \phi) = \phi(\sigma/\lambda^2) d\sigma,$$

或者

$$\phi(\sigma, \lambda) = \frac{1}{\lambda^2} \phi\left(\frac{\sigma}{\lambda^2}\right). \tag{16.16}$$

函数 $\phi(\sigma)$ 一般并不简单。如能对于简单的凸体，例如单(纯)形或正方体求得它，将是有意义的。我们将对于么球体给出 $\phi(\sigma)$ 。这时候，令 $x^2 = 1 - r^2$ ，就可以求得一个随机截痕的面积在 r 与 $r + dr$ 之间的概率是 $d|x| = r(1 - r^2)^{-1/2} dr$ 。但 $\sigma = \pi r^2$ ， $d\sigma = 2\pi r dr$ ，故面积在 σ 与 $\sigma + d\sigma$ 之间的概率是 $\frac{1}{2}[\pi(\pi - \sigma)]^{-1/2} d\sigma$ ，于是

$$\phi(\sigma) = 1/\{2\sqrt{\pi}(\pi - \sigma)^{1/2}\} \textcircled{2}. \tag{16.17}$$

对于半径为 λ 的球，根据(16.16)，就有

$$\phi(\sigma, \lambda) = 1/\{2\sqrt{\pi} \lambda (\pi \lambda^2 - \sigma)^{1/2}\} \textcircled{3}, \tag{16.18}$$

① 原文作 $2[\pi(\pi - \sigma)]^{-1/2}$ 。——译者

②③ 原文无大括号。——译者

或者, 由于 $\sigma_m = \pi\lambda^2$,

$$\phi(\sigma, \lambda) = 1/\{2\sqrt{\pi\lambda(\sigma_m - \sigma)^{1/2}}\} \quad (16.19)$$

设 M_λ 和 M_0 依次表示 K_λ 和 Q 的中曲率积分. 相似比在 λ 与 $\lambda + d\lambda$ 之间的粒子总数是 $VH(\lambda)d\lambda$, 其中 V 表示 Q 的体积, 而这部分粒子中, 被一个和 Q 相交的随机平面 E 所截的平均个数是 $(M_\lambda/M_0)VH(\lambda)d\lambda$. 乘以概率分布 $\phi(\sigma, \lambda)$, 就得到平面截痕 $E \cap K_\lambda$ 的平均个数, 其中 λ 值在 λ 与 $\lambda + d\lambda$ 之间, 截痕的 σ 值在 σ 与 $\sigma + d\sigma$ 之间. 对 λ 从 $\lambda = (\sigma/\sigma_m)^{1/2}$ 到 $\lambda = \infty$ 积分, 就得到 $K_\lambda \cap E$ 中, 粒子截面积在 σ 与 $\sigma + d\sigma$ 之间的个数的平均值, 即

$$d\sigma \int_{(\sigma/\sigma_m)^{1/2}}^{\infty} (M_\lambda/M_0) VH(\lambda) \phi(\sigma, \lambda) d\lambda. \quad (16.20)$$

由于在 $Q \cap E$ 的每单位面积中, 粒子截痕面积在 σ 与 $\sigma + d\sigma$ 之间的个数的平均值是 $h(\sigma)d\sigma$, 而截痕 $Q \cap E$ 的平均面积是 $2\pi V/M_0$, 故中值(16.20)等于 $(2\pi V/M_0)h(\sigma)d\sigma$. 利用(16.16), 就得方程

$$\int_{(\sigma/\sigma_m)^{1/2}}^{\infty} \lambda^{-1} \phi(\sigma/\lambda^2) H(\lambda) d\lambda = (2\pi/M) h(\sigma), \quad (16.21)$$

其中已用了关系 $M_\lambda = \lambda M_1$ 并已令 $M = M_1$. 方程(16.21)是表现 $H(\lambda)$ 和 $h(\lambda)$ 的关系的积分方程. 通过对 Q 和随机平面截痕的测量, 可以估计 $h(\sigma)$, 然后由(16.21)计算 $H(\lambda)$. 这个方程含有函数 $\phi(\sigma)$, 而 $\phi(\sigma)$ 决定于粒子 K 的形状, 一般难以计算. 我们将考察一些特款.

(1) 球形粒子. 若 K 为球体, 可令 $\lambda = r$ (球的半径). 于是 $M = 4\pi$, $\sigma_m = \pi$, 因而利用(16.17), 方程(16.21)化为

$$\int_{(\sigma/\pi)^{1/2}}^{\infty} \frac{H(\lambda) d\lambda}{(\pi\lambda^2 - \sigma)^{1/2}} = \sqrt{\pi} h(\sigma). \quad (16.22)$$

① 原文无大括号。——译者

② 原书积分下限是 0。——译者

令 $\pi\lambda^2 = s$, $H_1(s) = H((s/\pi)^{1/2})/\sqrt{s}$, $h_1(\sigma) = 2\pi h(\sigma)$, 则 (16.23) 化为

$$\int_s^\infty \frac{H_1(s) ds}{(s-\sigma)^{1/2}} = h_1(\sigma), \quad (16.23)$$

这是一个 Abel 型积分方程。它的解是 (参考[125, 第158页])

$$H_1(s) = -\frac{1}{\pi} \int_s^\infty \frac{h'_1(\sigma) d\sigma}{(\sigma-s)^{1/2}}, \quad (16.24)$$

其中的撇表示导数。用 $H(\lambda)$ 和 $h(\sigma)$ 表示, 这个解可以写成

$$H(\lambda) = -2\pi\lambda^{1/2} \int_{\pi\lambda^2}^\infty \frac{h'(\sigma)}{(\sigma - \pi\lambda^2)^{1/2}} d\sigma. \quad (16.25)$$

若引进半径的分布函数 $g(r)$ ($g(r)dr = h(\sigma)d\sigma = Q \cap E$ 的每单位面积中, 被截粒子半径在 r 与 $r+dr$ 之间的个数), 则 $\sigma = \pi r^2$, $h(\sigma) = g(\lambda)/2\pi r$, $h' = (g(r)/r)' / 4\pi^2 r$, 而 (16.25) 化为

$$H(\lambda) = -\frac{\lambda}{\pi} \int_\lambda^\infty \left(\frac{g(r)}{r} \right)' \frac{dr}{(r^2 - \lambda^2)^{1/2}}, \quad (16.26)$$

这是 Wicksell[724] 所得到的公式。

(2) 接近球形的粒子。对于其函数 $\phi(\sigma)$ 可以写作

$$\phi(\sigma) = a(\sigma_m - \sigma)^{-\mu} \quad (16.27)$$

状的粒子, 相应的公式成立; 在 (16.27) 中, $0 \leq \sigma \leq \sigma_m$, 而当 $\sigma > \sigma_m$ 时, $\phi(\sigma) = 0$, 其中 a, μ 则是常数。球形粒子对应于 $\mu = 1/2$, $a = 1/2\sqrt{\pi}$ 。由 (16.15) 可知

$$\frac{a}{1-\mu} \sigma_m^{1-\mu} = 1, \quad \frac{a}{(1-\mu)(2-\mu)} \sigma_m^{2-\mu} = \frac{2\pi V}{M}, \quad (16.28)$$

而由此得

$$a = p\sigma_m^{-\mu}, \quad \mu = 1-p, \quad p = (M\sigma_m/2\pi V) - 1. \quad (16.29)$$

① 应假定 $\mu < 1.2$, 参见公式 (16.28)。——译者

我们知道,对于任意凸体,有不等式 $\sigma_m \geq F/4$ 和 $MF \geq 12\pi V$,故 $p \geq MF(8\pi V)^{-1} - 1 \geq 1/2$,因而 $\mu \leq 1/2$. 由(16.27)和(16.21),得

$$aM \int_{(\sigma/\sigma_m)^{1/2}}^{\infty} \frac{\lambda^{2\mu-1} H(\lambda)}{(\sigma_m \lambda^2 - \sigma)^{\mu}} d\lambda = 2\pi h(\sigma) \textcircled{1}. \quad (16.30)$$

这是一种推广了的Abel型方程,其解是(见[125, 第159])

$$H(\lambda) = - \frac{4\sigma_m \lambda^{2(1-\mu)} \sin \mu \pi}{aM} \int_{\sigma_m \lambda^2}^{\infty} \frac{h'(\sigma)}{(\sigma - \sigma_m \lambda^2)^{1-\mu}} d\sigma. \quad (16.31)$$

(3) 全等的粒子. 若在 Q 里的粒子是全等的,每单位体积有 N 个,就可以把 $H(\lambda)$ 看作 N 乘一个Dirac δ 函数,更具体些, N 乘一个具有如下性质的平移函数 $\delta(\lambda)$: $\lambda \neq 1$ 时 $\delta(\lambda) = 0$,而

$$\int \delta(\lambda) d\lambda = 1,$$

其中积分域包括 $\lambda = 1$. 这样,对于在 $\lambda = 1$ 连续的任意函数 $g(\lambda)$,方程

$$\int g(\lambda) \delta(\lambda) d\lambda = g(1)$$

成立,其中积分域也包括 $\lambda = 1$. 这时(16.21)给出 $N = 2\pi h(\sigma)/M\phi(\sigma)$. De Hoff[142, a, b]考察了椭圆形粒子的款.

3. 和随机直线的截痕

我们沿用上面记号,现在考虑 Q 和一个随机直线 G 的截痕. 设 $h(\sigma)d\sigma$ 为当 $Q \cap G$ 的长在 σ 与 $\sigma + d\sigma$ 之间时,它的每单位长所遇到的粒子数. 问题在于求 $H(\lambda)$ 和 $h(\sigma)$ 的关系.

由于直线 G 上 Q 的弦长平均值是 $4V_Q/F_Q$,其中 V_Q 是 Q 的体积而 F_Q 是 Q 的表面积,当弦 $Q \cap G$ 的长在 σ 与 $\sigma + d\sigma$ 之间时,和 G

① 原书积分下限作 $(\sigma\sigma_m)^{1/2}$. ——译者

相交的粒子平均数是 $(4V_Q/F_Q)h(\sigma)d\sigma$ 。另一方面，和 G 相交而相似比在 λ 与 $\lambda + d\lambda$ 之间的粒子的平均数是 $(F_\lambda/F_Q)VH(\lambda)d\lambda$ ，其中 F_λ 表示 K_λ 的表面积，设 K_1 为对应于 $\lambda = 1$ 的一个粒子，而 $\phi(\sigma)d\sigma$ 为弦 $G \cap K_1$ 的长在 σ 与 $\sigma + d\sigma$ 之间的概率。对于一个粒子 K_λ ，其对应概率是 $\phi(\sigma, \lambda) = \lambda^{-1}\phi(\sigma/\lambda)d\sigma$ 而弦长在 σ 与 $\sigma + d\sigma$ 之间的平均数是

$$d\sigma \int_{\sigma/\sigma_m}^{\infty} (F_\lambda/F_Q)VH(\lambda)\phi(\sigma, \lambda)d\lambda, \tag{16.32}$$

其中 σ_m 表示 K_1 在 G 上所截出的最大弦长。令这个值和

$$(4V_Q/F_Q)h(\sigma)d\sigma$$

相等，并利用 $F_\lambda = \lambda^2 F$ ，其中 $F = F_1$ 是 K_1 的表面积，就得积分方程

$$\int_{\sigma/\sigma_m}^{\infty} \lambda \phi(\sigma/\lambda)H(\lambda)d\lambda = (4/F)h(\sigma). \tag{16.33}$$

这个方程的解依赖于 $\phi(\sigma)$ 。对于球形粒子，

$$\phi(\sigma)d\sigma = (\sigma/2)d\sigma, \quad \sigma_m = 2, \quad F = 4\pi,$$

而(16.33)化为

$$\int_{\sigma/2}^{\infty} H(\lambda)d\lambda = (2/\sigma\pi)h(\sigma), \tag{16.34}$$

它的解可以立即写出：

$$H(\lambda) = -(1/\pi)(h(2\lambda)/\lambda). \tag{16.35}$$

对于一切粒子全等的款，假定每个单位体积里有 N 个粒子，我们可以把 $H(\lambda)$ 看成 N 和一个 Dirac δ 函数之积，从而(16.33)给出 $N = 4h(\sigma)/F\phi(\sigma)$ 。

4. 注记

(1) 进一步的结果。关于与本章课题有关的细节和文献，可参考 Duffin[154]，Kendall 与 Moran[335]，Moran[430]，De Hoff 与 Rhines[142]，Bodzion[54, 55]，Matheron[400]，Santaló[573]。也可以参看[166]里若干有关的探讨。Nicholson[450]详

细考察了柱形粒子的款。Watson[708]提出要警惕一些常用的估计子的不良统计属性。Miles[416]把许多立体度测结果推广到高维空间。还可参看[321,322]。

Marriot[591]考虑具有固定长的细杆，其中心均匀地分布在一个平面域内。若细杆和一个固定方向所作的随机角是 ϕ ，而 ϕ 的密度函数 $f(\phi) = 2(1 + k\cos 2\phi)/\pi$ ， $(-1 \leq k \leq 1)$ ，其中 k 是一个未经指定的常数，我们可以求一组和该固定方向作 α 角的平行线和诸杆相交的概率。若有两组对应于不同 α 值的平行线，而分别求得它们和几个杆相交，我们就可以估计每个单位面积诸杆的总长以及参数 k 。

Sidak[609]考虑了球体的一个集合，并令一个厚度为 Δ 的薄片同球体的截痕。设 Y 为薄片上球体截痕的最大直径，而 X 为球体自身的直径。若取不同厚度 Δ_1, Δ_2 的两个薄片，则 $E(X)$ 可以用 $E_1(Y), E_2(Y), \Delta_1, \Delta_2$ 来表达。

Tallis[667]考虑了主轴方向固定的椭圆面集合的平面截痕。Giger与Riedwyl[229]考虑了直径作正态分布的球形粒子集合。Jakeman与Anderssen[321,322]报导了关于立体度测问题的计算方法。

Duffin, Meussner与Rhin[154a](也可参看[154])考虑了通过球形粒子的直线和平面截痕的观察来确定粒子本身的量分布问题。他们给出下面几个分布函数的定义：(a) 球分布函数 $G_3(s)$ 是在每立方厘米中直径大于 s 的球的平均数；(b) 圆分布函数 $G_2(s)$ 是每平方厘米中直径大于 s 的圆的平均数(这些圆是一个平面和球形粒子的截痕)；(c) 线段分布函数 $G_1(s)$ 是每厘米中长度大于 s 的线段的平均数(这些线段是一条直线和球形粒子的截痕)。这样，三个分布函数之间是用Stieltjes积分互相联系着：

$$(i) \quad G_2(s) = - \int_s^\infty (u^2 - s^2)^{1/2} dG_3(u),$$

$$G_2(s) = -\frac{2}{\pi} \int_s^\infty (u^2 - s^2)^{-1/2} dG_1(u),$$

$$(ii) \quad G_1(s) = -\left(\frac{\pi}{4}\right) \int_s^\infty (u^2 - s^2) dG_3(u),$$

$$G_3(s) = -\frac{2}{\pi s} \frac{dG_1}{ds},$$

$$(iii) \quad G_1(s) = -\int_s^\infty (u^2 - s^2)^{1/2} dG_2(u),$$

$$G_2(s) = -\frac{2}{\pi} \int_s^\infty (u^2 - s^2)^{-1/2} dG_1(u).$$

一个具有 $G(s) = A \exp(-ks^2)$ 的形状的分布函数叫做 Gauss 分布函数。于是有以下定理：

若分布函数 G_1, G_2, G_3 中有任意两个成比例，它们就都是 Gauss 分布函数。若它们中任意一个是 Gauss 分布函数，则它们都是。

(2) 粒子的量分布的矩。有时候最好用两个概率密度函数来代替(16.26)里的函数 $H(\lambda)$ 和 $g(r)$ ：一个是放在一个不透明的介质里的球形粒子直径 D 的概率密度函数，用 $G(D)$ 表示，另一个是一个随机平面所截出的圆的直径的概率密度函数，用 $\phi(D)$ 表示。若 ν 表示每单位体积内球形粒子的平均数而 D_0 表示一个随机选取的粒子的直径中值，则

$$F(D/2) = 2\nu G(D), \quad g(D/2) = 2\nu D_0 \phi(D).$$

于是(16.22)和(16.26)化为

$$\phi(D) = \frac{D}{D_0} \int_D^\infty \frac{G(t)}{(t^2 - D^2)^{1/2}} dt,$$

$$H(D) = -\frac{2DD_0}{\pi} \int_D^\infty (t^2 - D^2)^{-1/2} \left(\frac{\phi(t)}{t}\right)' dt \textcircled{1}.$$

① 原文积分下限是 r ，——译者

按照 Kendall 与 Moran[335], 我们可以把一个分布的诸矩用另一个分布的诸矩表示. 令

$$M_h = \int_0^\infty t^h G(t) dt, \quad m_h = \int_0^\infty t^h \phi(t) dt,$$

就有结果

$$m_h = J_{h+1} D_0^{-1} M_{h+1}, \quad h = -1, 0, 1, 2, \dots,$$

其中

$$J_h = \int_0^{\pi/2} \sin^h \theta d\theta = \begin{cases} \frac{2 \cdot 4 \cdots (h-1)}{1 \cdot 3 \cdots h}, & h \text{ 是奇数时,} \\ \frac{1 \cdot 3 \cdots (h-1)}{2 \cdot 4 \cdots h} \frac{\pi}{2}, & h \text{ 是偶数时.} \end{cases}$$

D_0 的值是

$$D_0 = \left(\frac{\pi}{2} \right) \left[\int_0^\infty \frac{\phi(t)}{t} dt \right]^{-1}.$$

若 ν_0 表示每单位面积里圆的平均个数, 则 $\nu_0 = \nu D_0$, 因而 ν 可以估计为

$$\nu = (2\nu_0/\pi) \int_0^\infty (\phi(t)/t) dt.$$

在(16.35)里, 也可以引进概率密度函数 $G(D)$ 和弦长的概率密度函数 $s(\sigma)$. 这样就得 $h(\sigma) = s(\sigma) \nu \pi D_2/4$, 其中 D_2 是 D^2 的中值, 而(16.35)化为 $G(D) = -(D_2/2)(s(D)/D)'$ [335, 309c].

(3) 接近球形的粒子. 当介质里的粒子不是球形时, 本节的结果不那么令人满意. Wicksell[724]考虑了椭球形粒子, 进一步的文献见[335].

对于和球形差别不很大的粒子, 具体地说, 当概率密度 $\phi(\sigma)$ 可以写成 $\phi(\sigma) = (a\sigma)^\mu$, 其中 a, μ 为条件

$$\int_0^{\sigma_m} \phi(\sigma) d\sigma = 1, \quad \int_0^{\sigma_m} \sigma \phi(\sigma) d\sigma = 4V/F_0$$

所确定的常数时, 有一个类似(16.35)的公式; 在上面条件中,

① 原文两积分上限均作 ∞ . ——译者

V 和 F 依次为对应于 $\lambda = 1$ 的粒子的体积和表面积。我们有

$$\mu = \frac{\sigma_m F - 8V}{4V - \sigma_m F}, \quad a = [(\mu + 1)\sigma_m^{\mu+1}]^{1/\mu}.$$

这样, (16.33)化为

$$\int_{\sigma/\sigma_m}^{\infty} \lambda^{1-\mu} H(\lambda) d\lambda = \frac{4}{(a\sigma_m)^{\mu} F} h(\sigma),$$

因而

$$H(\lambda) = -\frac{4\lambda^{\mu-1}}{(a\sigma_m)^{\mu} F} \left(\frac{h(\sigma_m \lambda)}{\lambda^{\mu}} \right),$$

这是(16.35)的推广。

(4) 立方粒子的量分布。若每单位体积中的粒子数是 N_v , 则一个截面上每单位面积中的粒子截痕数是 $N_A = N_v M / 2\pi$ ($\Delta = 0$ 时的(16.13))。若粒子是具有随机正向的全等立方体, 则 $M = 3\pi a$, 其中 a 是立方体的棱长, 因而 $N_A = (3/2)N_v a$ 。所观察的截痕可能有三、四、五或六个边, 平均起来, 四个边的占总数的48.7%。由于有些截痕接近正方形, a 可以近似地计算, 而上面方程就可以用来确定 N_v 。

这样的粒子散布也可以通过线性截痕来分析。这时, 在截线上每单位长上粒子截痕数是 $N_L = (f/4)N_v$, 其中 f 是粒子的面积。对于立方体, $f = 6a^2$, $N_L = (3/2)N_v a^2$ 。合并这些方程, 就得 $N_v = 2N_A^2/3N_L$, $a = N_L/N_A$ (见[422])。

(5) 用随机球取截痕。考虑球形粒子的款, 其中粒子中心构成一个 Poisson 场, 每单位体积里平均有 λ 个中心。设 S_R 为随机球, 它的半径 R 大于粒子半径, 我们考察如何从 S_R 和粒子截痕的量分布来估计粒子的量分布。若一个半径为 r 的球 S_r 和 S_R 相交, 在 $R > r$ 的假设下, 截出的圆半径在 ρ 与 $\rho + d\rho$ 之间的概率是

$$\frac{3(R^2 + 3r^2 - 4\rho^2)\rho}{r(3R^2 + r^2)(r^2 - \rho^2)^{1/2}} d\rho. \quad (16.36)$$

设 $F(r)dr$ 为一个随机粒子半径在 r 与 $r + dr$ 之间的概率。在一个半径为 R 的任意球上的每单位面积中, 和该球相交而半径在 r 与 $r + dr$ 之间的粒子平均数为 $(2/3)\lambda(3r + r^3/R^2)F(r)dr$; 因

此, 和 S_R 相交的粒子半径分布的概率密度是

$$f(r) = \frac{(r + r^3/3R^2)F(r)}{\int_0^\infty (r + r^3/3R^2)F(r)dr}.$$

所以, 若用 r_1, r_3 表示 1 阶和 3 阶矩, 并利用 (16.36), 就得观察到的半径 (粒子在 S_R 上的截痕半径) 概率分布是

$$\phi(\rho) = \frac{3\rho}{r_1 + r_3/3R^2} \int_\rho^R \left[\frac{(R^2 + 3r^2 - 4\rho^2)(1 + r^2/3R^2)F(r)}{(3R^2 + r^2)(r^2 - \rho^2)^{1/2}} \right] dr.$$

这就是把 $\phi(\rho)$ 同 $F(r)$ 相联系的积分方程. 半径 ρ 同截痕 $S_R \cap S_r$ (作为 S_R 上的圆) 的球面半径 α 之间的关系是 $\rho = R \sin \alpha$.

现在假设用构成 Poisson 场的无限多个随机平面把空间随机地分成凸多面体. 若每单位体积的多面体密度是 λ , 则在一个随机截平面上的多边形密度是 $(9\pi/16)^{1/3} \lambda^{2/3}$ [430]. 若 $(4/3)\pi R \lambda > 0$, 则在一个半径为 R 的随机截球面上所得凸球面面积的密度是 $\lambda_s = (9\pi/16)^{1/3} \lambda^{2/3} - ((6\pi^2)^{1/3}/16R) \lambda^{1/3}$. 据此, 可以由一个半径为 R 的随机球面的截痕来估计 λ .

(6) 模式分析. 积分几何与模式认辨中的一些课题有关. 这类课题是: 当我们只能观察到某些纯几何对象的变形或其部分表像时, 如何把它们还原. 典型的问题有: 通过一个 n 维区域 A 在欧氏空间里的样板把它还原, 或者已给一组纯粹图像的一组变形, 识别出原来那组图象. 参看 [15, 16, 237] 以及那里的文献; 还可以参考 [199, 457], [206a].

(7) 用随机平面来分割一个立体. 设 D 为 E_3 里一个域, 它和球体拓扑等价, 但不一定是凸的. 设 V, F, M 依次表示 D 的体积、表面积和中曲率积分. 设 D_0 为 D 的凸包. 取和 D 相交的 n 个独立随机平面 E_1, E_2, \dots, E_n . 则有下列积分公式 (见 Santaló [544, 553]).

(a) 若 N_i 表示属于 D 的三个平面的交点数, 则

$$\int N_i dE_1 \wedge dE_2 \wedge \cdots \wedge dE_n = \pi^4 \binom{n}{3} M_0^{n-3} V, \quad (16.37)$$

其中 M_0 表示 ∂D_0 的中曲率积分, 而积分范围则是和 D 相交的 n 平面组.

(b) 若 N_s 表示两个平面的交线和 ∂D 的交点数, 则

$$\int N_s dE_1 \wedge \cdots \wedge dE_n = (\pi^3/2) \binom{n}{2} M_0^{n-2} F. \quad (16.38)$$

(c) 若 R 表示这 n 个平面分割 D 所得区域数, 则

$$\begin{aligned} \int R dE_1 \wedge \cdots \wedge dE_n \\ = \pi^4 \binom{n}{3} M_0^{n-3} V + \frac{\pi^3}{4} \binom{n}{2} M_0^{n-2} F + n M_0^{n-1} M + M_0^n. \end{aligned} \quad (16.39)$$

由这些公式可以推得以下中值.

$$\begin{aligned} E(N_i) &= \pi^4 \binom{n}{3} \frac{V}{M_0^3}, \quad E(N_s) = \left(\frac{\pi^3}{2}\right) \binom{n}{2} \frac{F}{M_0^2}, \\ E(R) &= \pi^4 \binom{n}{3} \frac{V}{M_0^3} + \left(\frac{\pi^3}{4}\right) \binom{n}{2} \frac{F}{M_0^2} + n \frac{M}{M_0} + 1. \end{aligned} \quad (16.40)$$

在 E_3 里取一个凸体 K . 考虑 n 个平面 E_1, \dots, E_n 把 K 分割所得的区域. 注意每一个内顶点属于八个区域, 而在 ∂K 上的顶点则属于四个区域, 可知每个区域的平均顶点数是 $(8N_i + 4N_s)/R$. 因此, 若变数 N_R 表示每个区域的顶点数, 可以用下面记号表示相应的中值比:

$$\begin{aligned} E^*(N_R) &= \frac{E(8N_i + 4N_s)}{E(R)} \\ &= \frac{32 \binom{n}{3} \pi^4 V + 8 \binom{n}{2} \pi^3 M F}{4 \binom{n}{3} \pi^4 V + \binom{n}{2} \pi^3 M F + 4(n+1) M^2}. \end{aligned} \quad (16.41)$$

与此类似, 可以取 $E^*(A_R) = E(4A_i + 2A_s)/E(R)$ 作为每个区域的棱平均数, 其中 A_i 是内棱数而 A_s 是 ∂K 上的棱数。由于 $6N_i + N_s = 2A_i$, $4N_s = 2A_s$, 可见

$$E^*(A_R) = \frac{12E(N_i) + 6E(N_s)}{E(R)}$$

$$= \frac{48\binom{n}{3}\pi^4V + 12\binom{n}{2}\pi^3FM}{4\binom{n}{3}\pi^4V + \binom{n}{2}\pi^3FM + 4(n+1)M^3}.$$

(16.42)

每个区域的面数 C_R 的中值可以从最后两个中值和 Euler 关系 $N_R - A_R + C_R = 2$ 推得。结果是

$$E^*(C_R) = \frac{24\binom{n}{3}\pi^4V + 6\binom{n}{2}\pi^3FM + 8(n+1)M^3}{4\binom{n}{3}\pi^4V + \binom{n}{2}\pi^3FM + 4(n+1)M^3}. \quad (16.43)$$

为了计算每个区域的面积的中值, 注意若 σ_i 为 $E_i \cap K$ 的面积, 则

$$\int \sum_i \sigma_i dE_1 \wedge \cdots \wedge dE_n = 2\pi n V M^{n-1},$$

$$E\left(\sum_i \sigma_i\right) = 2\pi n (V/M), \quad (16.44)$$

而由于每个内面属于两个区域而 ∂K 上的诸面的总面积等于 F , 每个区域的平均面积可以确定为

$$E^*(S_R) = \frac{1}{E(R)} \left(\frac{4\pi n V}{M} + F \right), \quad (16.45)$$

而每个区域的平均体积是

$$E^*(V_R) = V/E(R), \quad (16.46)$$

其中 $E(R)$ 的值见 (16.40)。

(8) 关于随机平面所形成的多面体的中值。我们知道, 若

K_0 是含在凸集 K 里而长度为 s 的线段, 则一个和 K 相交的随机平面也和 K_0 相交的概率是 $\pi s/M$. 因此, 若有 n 个随机平面和 K 相交, 则恰好有 m 个和 K_0 相交的概率是

$$p_m = \binom{n}{m} (\pi s/M)^m (1 - \pi s/M)^{n-m}.$$

假定把 K 扩充到整个空间, 同时随机平面的个数按照以下规律增长:

$$\frac{n}{m} \rightarrow \frac{\lambda}{\pi}, \quad \text{其中 } \lambda \text{ 为正常数,} \quad (16.47)$$

则容易看出, p_m 的极限满足 Poisson 定律

$$p_m^* = \lim p_m = ((\lambda s)^m / m!) e^{-\lambda s}. \quad (16.48)$$

在空间, 这样的平面分布叫做一个 Poisson 场, 或者具有参数 λ 的一个均匀 Poisson 系. m 的中值是 $E(m) = \lambda s$, 故 λ 等于和任意一个单位长线段相交的平面平均数. 注意对于任意扩充到整个空间的凸体 K , 总有 $F/V \rightarrow 0, M/F \rightarrow 0, M/V \rightarrow 0$, 与 K 的形状无关, 故由 (16.41) — (16.46), 可以推得, 当空间被一个具有参数 λ 的均匀 Poisson 系分割成多面体时的下列中值:

$$E^*(N_R) \rightarrow 8, \quad E^*(A_R) \rightarrow 12, \quad E^*(C_R) \rightarrow 6,$$

$$E^*(S_R) \rightarrow \frac{24}{\pi \lambda^2}, \quad E^*(V_R) \rightarrow \frac{6}{\pi \lambda^3}.$$

关于 N_R, S_R 等等的真正中值 E (给予适当的定义) 和它们的二阶矩, Miles[418]求得下面诸值.

$$E(N_R) = 8, \quad E(S_R) = 24/\pi \lambda^2, \quad E(V_R) = 6/\pi \lambda^3,$$

$$E(C_R) = 6, \quad E(N_R^2) = (13\pi^2 + 96)/3,$$

$$E(N_R S_R) = 28\pi/\lambda^2, \quad E(S_R^2) = 240/\lambda^4,$$

$$E(N_R V_R) = 8\pi/\lambda^3, \quad E(S_R V_R) = 96/\lambda^5,$$

$$E(V_R^2) = 48/\lambda^6, \quad E(V_R^3) = 1344\pi/\lambda^9,$$

$$E(C_R V_R) = \frac{4(\pi^2 + 3)}{\pi \lambda^3}, \quad E(C_R S_R) = \frac{2(7\pi^2 + 24)}{\pi \lambda^2}.$$

此外，若 L_R 表示一个多面体的棱的总长，而 M_R 表示它的中曲率积分，Miles证明了

$$\begin{aligned} E(L_R) &= 12/\lambda, & E(M_R) &= 3/2\lambda, \\ E(N_R L_R) &= 2(5\pi^2 + 12)/\lambda, & E(L_R^2) &= (24\pi^2 + 24)/\lambda^2, \\ E(N_R M_R) &= (13\pi^2 + 48)/12\lambda, & E(L_R M_R) &= (5\pi^2 + 12)/2\lambda^2, \\ E(M_R^2) &= (13\pi^2 + 48)/48\lambda^2, & E(C_R L_R) &= (5\pi^2 + 36)/\lambda, \\ E(L_R S_R) &= 72\pi/\lambda^3, & E(M_R S_R) &= (7\pi^2 + 12)/\pi\lambda^3, \\ E(C_R M_R) &= (13\pi^2 + 120)/12\lambda, & E(L_R V_R) &= 24\pi/\lambda^4, \\ E(M_R V_R) &= 2(\pi^2 + 3)/\pi\lambda^4, & E(C_R^2) &= (13\pi^2 + 336)/12. \end{aligned}$$

若假定把空间分割成多面体的随机平面都分别垂直于三个正交轴，而且它们在这三个方向中的每一个都均匀分布，则容易证明

$$E(V_R^2) = 288/\pi^2\lambda^6.$$

在[399—401]里，可以找到关于随机集合的有趣而有意义的结果，以及它们对 E_n 中，超平面的Poisson系所分割成的随机多面体区域的应用。参看[333]。

(9) 空间随机分割成胞腔。第二章第4节所描述的随机拼嵌容易推广到 E_n 。为简单起见，我们将考虑 $n=3$ 的款。下面的模型是有趣的[405, 230]。设 $P_i (i=1, 2, \dots)$ 为在 E_3 里均匀分布的一个可数点集，其密度是每单位体积里 ρ 个点。然后把空间按下面规定分成区域或胞腔： C_i 含有空间一切距 P_i 比距 $P_j (j \neq i)$ 更近的点。这样 C_i 就是一个凸多面体，因为它是几个半空间的交集。 P_i 称为 C_i 的中心。图16.3表示平面上一个例。这个模型在矿物学中是有意义的。 P_i 代表长成 C_i 的原始核或种子晶体的位置。我们假定一切晶体在同一时刻开始生长，而且在一切方向以相同的速度生长，它们在空间位置固定，而且当它们相遇时不互相排挤。设 S_R 为一个胞腔的表面积， L_R 为它的棱的总长； N_R, A_R, C_R 为它的顶点数，棱数和面数； ν 为一个平面上每单位面积里所截的晶体数。这样，Meijering[405]求得以下中值。

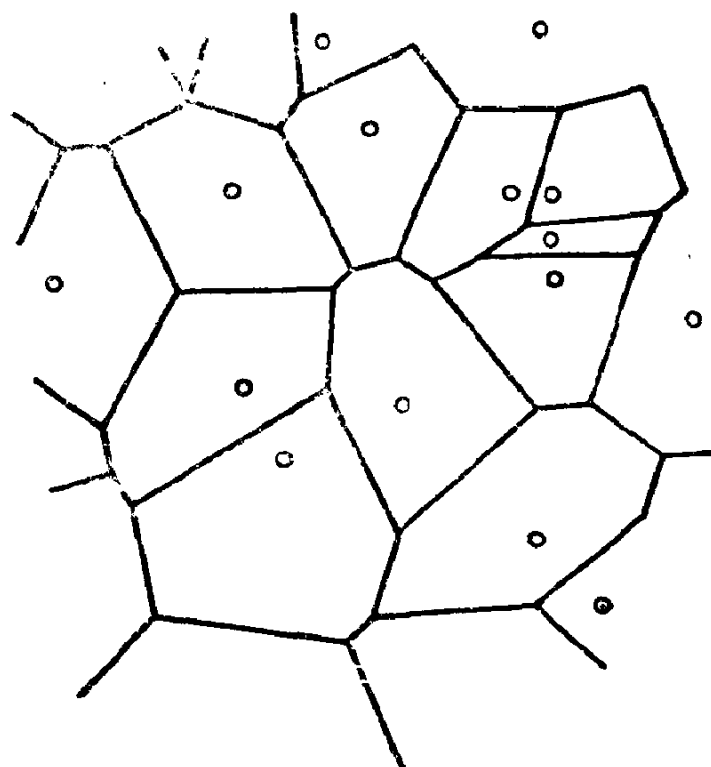


图 16.3

$$E(S_R) = 5.821\rho^{-2/3}, \quad E(L_R) = 17.50\rho^{-1/3}, \quad E(N_R) = 27.07, \\ E(A_R) = 40.61, \quad E(C_R) = 15.54, \quad E(\nu) = 1.458\rho^{2/3}.$$

一个面的边的平均数是 $3E(N_R)/E(C_R) = 5.23$ 。若和上节用随机平面分割以得到多边形时的对应中值相比较，可见 $E(N_R)$ ， $E(A_R)$ ， $E(C_R)$ 都相差一个因子 3。比较 $n > 3$ 和 $n = 3$ 时的这个因子将是有趣的。

Johnson 与 Mehl[325] 考虑了更复杂的随机嵌装，他们假定从初始时刻 $t = 0$ 起，每单位体积中，种子晶体以每秒 α 个的常速率出现。在这个模型里，胞腔的面不是平的，而且不一定是凸的。沿用上面的记号，Meijering 对 Johnson-Mehl 模型得到下面的中值：

$$E(S_R) = 5.143\rho^{-2/3}, \quad E(L_R) = 14.71\rho^{-1/3}, \quad E(N_R) = 22.56, \\ E(A_R) = 33.84, \quad E(C_R) > 13.28, \quad E(\nu) = 1.225\rho^{2/3},$$

其中 $\rho = 0.8960(\alpha/\nu)^{3/4}$ ，而 ν 表示胞腔生长的速度。Gilbert[230]

对这些模型计算了其他中值和方差。例如，对于前一个模型，一个胞腔的体积方差是 $0.180\rho^{-2}$ 而对于 Johnson-Mehl 模型，它是 $1.136\rho^{-2}$ 。这些值比用随机平面来分割空间时要小得多，而这是可以预料到的。其详情，补充，与参考文献见 Miles 的重要文章 [418]。

第 四 篇

常 曲 率 空 间 积 分 几 何

第十七章 非欧积分几何

1. n 维非欧空间

设 P_n 为 n 维实射影空间。设 x_0, x_1, \dots, x_n 为一点 x 的齐次坐标，而考虑二次超曲面

$$\Phi \equiv x_0^2 + x_1^2 + \dots + x_{n-1}^2 + \varepsilon x_n^2 = 0, \quad (17.1)$$

其中 ε 的值是 $+1$ 或 -1 。

我们假定把不属于 Φ 的 x 点的齐次坐标标准化，使得

$$\Phi(x) = 1/\varepsilon K, \quad (17.2)$$

其中 K 是一个正常数。当 $\varepsilon = -1$ 时，满足 $\Phi(x) > 0$ 的点都有虚坐标，它们称为伪点或虚点。

实 n 维非欧空间的定义如下：若 $\varepsilon = +1$ ，它是 P_n 一切点的集合；若 $\varepsilon = -1$ ，它是 P_n 一切满足 $\Phi(x) < 0$ 的点的集合；但下面我们还要规定它的运动群和度量。 P_n 的 r 维平面也是非欧空间的 r 维平面 ($r = 0, 1, \dots, n-1$)。二次超曲面 Φ 叫做基本超曲面或绝对形： $\varepsilon = +1$ 时， Φ 没有实点，这时空间称为椭圆非欧空间； $\varepsilon = -1$ 时， Φ 是一个实二次超曲面，这时在 Φ 内部 (即满足 $\Phi(x) < 0$) 的点的集合构成双曲非欧空间。在两种情况下， εK 都称为空间的曲率。椭圆空间可以认为等同于一个 n 维半球面，但要把其边界上每条直径上的两个端点看成同一点。关于细节可以参考 Busemann 与 Kelly [76]。

两点 $a(a_0, a_1, \dots, a_n)$ 和 $b(b_0, b_1, \dots, b_n)$ 的内积定义是

$$\langle a, b \rangle = \langle b, a \rangle = \sum_{i=0}^{n-1} a_i b_i + \varepsilon a_n b_n, \quad \langle a, a \rangle = 1/\varepsilon K. \quad (17.3)$$

① Φ 是指二次超曲面 $\Phi(x) = 0$ 。——译者

引用矩阵记法, 二次超曲面(17.1)可以写成

$$\Phi(x) \equiv x^t Q x = 0, \quad Q = \begin{pmatrix} 1 & 0 & \cdots & 0 \\ 0 & 1 & \cdots & 0 \\ \cdots & \cdots & \cdots & \cdots \\ 0 & 0 & \cdots & \varepsilon \end{pmatrix}, \quad (17.4)$$

其中 x 现在是一个 $n \times 1$ 矩阵, 其元素是 x 点的齐次坐标, 而 x^t 是它的转置。利用 Q , 内积可以写成

$$\langle a, b \rangle = a^t Q b = b^t Q a.$$

把 Φ 变成自己的直射变换叫做非欧运动, 它们构成一个群, 用 \mathfrak{M}^* 表示。直射变换 $x' = Ax$ 是非欧运动的一个充要条件是, 对于一切点 x , $\Phi(x') = x^t A^t Q A x = x^t Q x$, 因而 $A^t Q A = Q$ 。

注意内积在非欧运动下不变; 因为

$$\langle a', b' \rangle = a'^t A^t Q A b = a^t Q b = \langle a, b \rangle.$$

满足 $\langle a, b \rangle = 0$ 的两点叫做共轭点。在双曲空间 ($\varepsilon = -1$), 实点的共轭点都是伪点。

设 $n+1$ 个点 a^0, a^1, \dots, a^n 为一个自共轭单形的顶点, 即它们满足 $\langle a^i, a^j \rangle = \delta_{ij} / \varepsilon K$, 其中 δ_{ij} 是 Kronecker 记号。假定 a^0 是实点并考虑方阵

$$A = ((\varepsilon K)^{1/2} a^1, (\varepsilon K)^{1/2} a^2, \dots, (\varepsilon K)^{1/2} a^n, K^{1/2} a^0), \quad (17.5)$$

它的列是 $(\varepsilon K)^{1/2} a^1, \dots, K^{1/2} a^0$ 诸点的坐标。这样, 就有 $A^t Q A = Q$, 因而 $x' = Ax$ 是非欧运动。按照动标法, 非欧运动群 \mathfrak{M}^* 的 Maurer-Cartan 齐式可由下列诸关系确定: 当 $i = 1, 2, \dots, n$ 时,

$$d((\varepsilon K)^{1/2} a^i) = \sum_{j=1}^n \omega_{ji} (\varepsilon K)^{1/2} a^j + \omega_{0i} K^{1/2} a^0, \quad (17.6)$$

而

$$d(K^{1/2} a^0) = \sum_{j=1}^n \omega_{j0} (\varepsilon K)^{1/2} a^j. \quad (17.7)$$

分别用 a^j 和 a^0 乘(17.6), 得

$$\omega_{ji} = \varepsilon K \langle a^j, da^i \rangle = -\omega_{ij} \quad (i, j = 1, 2, \dots, n).$$

$$\omega_{0i} = \sqrt{\varepsilon \varepsilon K} \langle a^i, da^i \rangle = -\sqrt{\varepsilon \varepsilon K} \langle a^i, da^0 \rangle. \quad (17.8)$$

用 a^j 乘(17.7), 得

$$\omega_{j0} = \sqrt{\varepsilon \varepsilon K} \langle a^j, da^0 \rangle = -\sqrt{\varepsilon \varepsilon K} \langle a^0, da^j \rangle,$$

因而有关系

$$\omega_{i0} + \varepsilon \omega_{0i} = 0, \quad \omega_{0j} + \varepsilon \omega_{j0} = 0. \quad (17.9)$$

微分(17.6), 得结构方程

$$d\omega_{ij} = \sum_{k=1}^n \omega_{ik} \wedge \omega_{kj}, \quad d\omega_{0i} = \varepsilon \sum_{k=1}^n \omega_{ik} \wedge \omega_{k0}. \quad (17.10)$$

两点 a, b 之间的非欧距离 s 用

$$\langle a, b \rangle = \frac{\cos((\varepsilon K)^{1/2} s)}{\varepsilon K} \quad (17.11)$$

确定。

若 a, b 为实点, 距离是一个实数。在 $\varepsilon = -1$ 的款, 可以令

$$\cos(\sqrt{-K} s) = \cosh(\sqrt{K} s) \quad (17.12)$$

两个共轭点之间的距离 s_1 满足条件 $\cos((\varepsilon K)^{1/2} s_1) = 0$, 因而 $s_1 = \pi/(2(\varepsilon K)^{1/2})$ ③; $\varepsilon = +1$ 时, 这是实数, $\varepsilon = -1$ 时, 它是虚数。通过任意点 a , 取任意直线 G , 容易看出, 在 G 上总有和 a 共轭的一点 b , 它和 a 距离的代数值既可以是 s_1 又可以是 $-s_1$, 由此可见, 具有曲率 K 的椭圆空间的直线都是长度为 π/\sqrt{K} 的闭线。

设 $a = a^0$ 而 b 点是在共轭点偶 a^0, a^1 的联线上, 于是 $b = \alpha a^0 + \beta a^1$, $\langle b, a^0 \rangle = \alpha(\varepsilon K)^{-1}$, 而由(17.11)得 $\alpha = \cos((\varepsilon K)^{1/2} s)$ 。另一方面, 由关系 $\langle b, b \rangle = (\varepsilon K)^{-1}$ 可知 $\alpha^2 + \beta^2 = 1$ 。因此, 若用 s_1 表示由 b 到 a^0 的距离, 则

① 原文无外面括弧, 下面还有类似情况。——译者

② 原文无括弧。——译者

③ $\cos((\varepsilon K)^{1/2} s_1) = 0$ 的两个解是 $\pm \pi/2(\varepsilon K)^{1/2}$ 。——译者

④ 原文这句较简略, 由于 s_1 和 $-s_1$ 对应于同一点(a^0 的共轭点), 由此可见,

具有曲率 K 的椭圆空间的直线是长度为 π/\sqrt{K} 的闭线'。——译者

$$b = \cos((\varepsilon K)^{1/2} s_i) a^0 + \sin((\varepsilon K)^{1/2} s_i) a^i. \quad (17.13)$$

假定 a^0, a^i 固定而 b 在直线 $a^0 a^i$ 上运动, 则

$$db = (\varepsilon K)^{1/2} (-\sin((\varepsilon K)^{1/2} s_i) a_0 + \cos((\varepsilon K)^{1/2} s_i) a^i) ds_i. \quad (17.14)$$

特殊地, $s_i = 0$ 时, $da^i = (\varepsilon K)^{1/2} a^i ds_i$. 由这个关系和 (17.9), 就得

$$ds_i = K^{-1/2} \omega_{i0} = -\varepsilon K^{-1/2} \omega_{0i}. \quad (17.15)$$

在 a^0 点的体元是 $ds_1 \wedge ds_2 \wedge \cdots \wedge ds_n$; 即

$$\begin{aligned} dv &= K^{-n/2} \omega_{10} \wedge \omega_{20} \wedge \cdots \wedge \omega_{n0} \\ &= (-\varepsilon)^n K^{-n/2} \omega_{01} \wedge \cdots \wedge \omega_{0n}. \end{aligned} \quad (17.16)$$

经过 a^0 而在平面 $a^0 a^i a^j$ 上的两条直线之间的角 ϕ 用

$$\cos \phi = \varepsilon K \langle a^i, b^j \rangle \quad (17.17)$$

确定, 其中 a^i, b^j 是分别在所给两线上和 a^0 共轭的两点. 特殊地, 若 $a^i = a^j$, 则 $\cos \phi = \varepsilon K \langle a^i, b^i \rangle$. 假定 b^j 在直线 $a^i a^j$ 上运动 (即假定直线 $a^0 b^j$ 在平面 $a^0 a^i a^j$ 上绕 a^0 转动), 就得 $-\sin \phi d\phi = \varepsilon K \langle a^i, db^j \rangle$. 若 $b^j = a^j$, 则 $\phi = \pi/2$, 而在 $a^0 a^i a^j$ 平面上, 对应于方向 $a^0 a^j$, 绕 a^0 点, 沿自 a^i 到 a^j 的转向的角元素可以写成

$$d\phi_{ij} = \varepsilon K \langle a^i, da^j \rangle = \omega_{ij}. \quad (17.18)$$

所以, 在 a^0 点, 对应于方向 $a^0 a^j$ 的立体角元是

$$du_{n-1}(a^0 a^j) = \omega_{1j} \wedge \omega_{2j} \wedge \cdots \wedge \omega_{j-1,j} \wedge \omega_{j+1,j} \wedge \cdots \wedge \omega_{nj}. \quad (17.19)$$

2. 非欧空间的 Gauss-Bonnet 公式

我们需用关于 n 维非欧空间的紧致可定向超曲面的所谓 Gauss-Bonnet 公式. 这个公式是 Allendoerfer 与 Weil[5] 和 Chern [106] 所推广了的 Gauss-Bonnet 公式的特款. 关于非欧空间的超曲面的特款, 这个公式为 Herglotz[307] 所独立给出.

设 Q 为非欧空间的一个连通域, 它的边界是一个紧致而属于

$C^{3,1}$ 类的超曲面。在 ∂Q 的每一点 a^0 , 取自共轭单形 $a^0 a^1 \cdots a^n$, 其中 a^0, a^1, \dots, a^{n-1} 确定切超平面而 $a^0 a^n$ 是 ∂Q 在 a^0 的法线。假定 $a^0 a^i$ ($i=1, 2, \dots, n-1$) 是在 a^0 的主方向, 主曲率半径 R_i 用 Rodrigues 公式 $\omega_{in} = d\phi_{in} = -ds_i/R_i$ 确定, 而第 i 个中曲率积分则用

$$M_i = \frac{1}{\binom{n-1}{i}} \int_{\partial Q} \left\{ \frac{1}{R_{h_1}} \cdots \frac{1}{R_{h_i}} \right\} df \quad (17.20)$$

确定, 其中 $\{ \quad \}$ 表示曲率 $1/R_h$ 的 i 次初等对称函数而 df 表示 ∂Q 的面元。这样, 关于一个域 Q 的边界 ∂Q 的 Gauss-Bonnet 公式, 当 n 为偶数时, 是

$$c_{n-1}M_{n-1} + c_{n-2}M_{n-2} + \cdots + c_1M_1 + (\varepsilon K)^{n/2}V = \frac{1}{2}O_n\chi(Q), \quad (17.21)$$

而当 n 为奇数时, 是

$$c_{n-1}M_{n-1} + c_{n-2}M_{n-2} + \cdots + c_2M_2 + c_1F = \frac{1}{2}O_n\chi(Q), \quad (17.22)$$

在这两个公式里, M_i 是中曲率积分而

$$c_h = \binom{n-1}{h} \frac{O_n}{O_h O_{n-1-h}} (\varepsilon K)^{(n-1-h)/2}. \quad (17.23)$$

若 n 为奇数, 可以引用等式

$$\chi(Q) = \frac{1}{2}\chi(\partial Q), \quad n \text{ 为奇数}. \quad (17.24)$$

若 ∂Q 是分段属于 C^2 类的, 则只要 Q 的平行集 Q_ε (ε 是 Q 和 Q 的距离) 是属于 C^2 类的, Gauss-Bonnet 公式都适用。这时 M_i 的定义是, 当 $\varepsilon \rightarrow 0$ 时, ∂Q_ε 的中曲率积分的极限。Federer [177, 178] 把 Gauss-Bonnet 公式推广到具有正可达值的点集②

① C^2 应作 C^2 。——译者

② Sets with positive reach. ——译者

(非欧空间一个子集 A 的可达值是具有如下性质的 ε 的最大值: 若一点 x 到 A 的距离小于 ε , 则 A 含有恰好一个最接近 x 的点), 而 Hadwiger[274, 276] 则把该公式推广到凸集环中的点集 (即点集中可以表达为有限多个凸集的并集的)。本章一切公式对这些点集都适用。

例 $n=2$ 时, (17.21) 化为

$$\int_{\partial Q} \kappa ds + \varepsilon KF = 2\pi\chi(Q),$$

其中 κ 是 ∂Q 的曲率 (短程曲率) 而 F 是 Q 的面积。在么球面上, $\varepsilon = +1$, $K = 1$ 而在双曲平面上 $\varepsilon = -1$, $K = 1$ 。

$n=3$ 时, (17.22) 化为

$$M_1 + \varepsilon KF = 4\pi\chi(Q). \quad (17.25)$$

椭圆空间的对偶公式。考虑椭圆款 $\varepsilon = +1$ 。为简单起见, 可令 $K = 1$, 不失普遍性。这时, 平行于 ∂Q 而和它距离为 $\pi/2$ 的超曲面叫做 ∂Q 的“对偶”或“对极”超曲面。这个超曲面是一个域 Q^P 的边界 (Q^P 不包含 Q)。可以证明, ∂Q 和 ∂Q^P 的中曲率积分满足方程

$$M_i(\partial Q^P) = M_{n-1-i}(\partial Q), \quad i = 0, 1, \dots, n-1 \textcircled{1} \quad (17.26)$$

(证明见[558, 580]。对 Q^P 写出 (17.21) 并利用关系 $\chi(Q) = \chi(Q^P)$, 就得 (令 $M_0 = F, M_0^P = F^P$)

$$c_{n-1}F + c_{n-3}M_2 + \dots + c_1M_{n-2} + V^P = \frac{1}{2}O_n\chi(Q) \quad (n \text{ 为偶数}) \quad (17.27a)$$

和

$$c_{n-1}F^P + c_{n-3}M_{n-3} + \dots + c_1M_1 + V = \frac{1}{2}O_n\chi(Q) \quad (n \text{ 为偶数}). \quad (17.27b)$$

同样, 由 (17.22), 得

$$c_{n-1}F + c_{n-3}M_2 + \dots + c_2M_{n-3} + c_0F^P$$

① 注意: 当 $n=3$ 时 $M_1(\partial Q^P) = M_1(\partial Q)$ 。——译者

$$= \frac{1}{4} O_n \chi(\partial Q) \quad (n \text{ 为奇数}), \quad (17.28)$$

其中我们利用了 $\chi(Q) = \frac{1}{2} \chi(\partial Q)$.

当 n 为奇数时, Q^P 的体积 V^P 等于椭圆空间的体积(等于 O_n)的两倍减去 Q 的距离为 $\pi/2$ 的平行体的体积. 其结果是[4]

$$c_{n-2} M_{n-2} + \dots + c_1 M_1 + V + V^P \\ = \left(1 - \frac{1}{2} \chi(Q)\right) O_n \quad (n \text{ 为奇数}). \quad (17.29)$$

例1 $n=2$. 令 L 为闭曲线 ∂Q 的长, F 为 Q 的面积, 则

$$L + F^P = 2\pi\chi(Q), \quad L^P + F = 2\pi\chi(Q). \quad (17.30)$$

例2 $n=3$ 时,

$$F + F^P = 4\pi\chi(Q), \quad M_1 + V + V^P = 2\pi^2 - \pi^2\chi(Q). \quad (17.31)$$

3. 运动密度与 r 维平面密度

按照一般理论,非欧运动群 M^* 的运动密度等于一组 Maurer-Cartan 式中诸式的外积, 由于运动密度确定到一个常数因子, 由 (17.16) 和 (17.19), 可以把它写成标准式

$$dK = \left(\frac{1}{K}\right)^{3/2} \bigwedge_h \omega_h \bigwedge_{i < j} \omega_{ij} \\ = dv \wedge du_{n-1} \wedge \dots \wedge du_1, \quad i, j, h = 0, 1, \dots, n, \quad (17.32)$$

其中 dv 表示对应于 a^0 点的体元而 du_h 表示 a^0, a^1, \dots, a^{h+1} ($h=1, 2, \dots, n-1$) 所确定的线性空间里的 h 维么球面的面元. 注意 (17.32) 和欧氏款中的 (15.1) 有相同的形状. 与此类似, 也像欧氏款那样, 绕一个固定 q 维平面 L_q 的运动密度可以写成

$$dK_{L_q} = du_{n-q-1} \wedge \dots \wedge du_1 \quad (q=1, 2, \dots, n-2). \quad (17.33)$$

现在考虑共轭点组 a^0, a^1, \dots, a^r 所确定的 r 维平面 L_r . 令 L_r 不变的非欧运动(根据 (17.6) 和 (17.7)) 确定于

$$\begin{aligned}\omega_{0i} &= 0, \quad i = r+1, \dots, n, \\ \omega_{jh} &= 0, \quad j = r+1, \dots, n, h = 1, \dots, r\end{aligned}\quad (17.31)$$

因此, r 维平面的密度可以写作

$$dL_r = \left(\frac{1}{K}\right)^{(n-r)/2} \bigwedge \omega_{0i} \bigwedge \omega_{jh}, \quad (17.35)$$

其中外积里的下标范围是

$$i, j = r+1, r+2, \dots, n, \quad h = 1, 2, \dots, r. \quad (17.36)$$

常数因子 $(1/K)^{(n-r)/2}$ 是不重要的, 但为了简化下面一些公式, 它是有用的. 经过一个固定的 q 维平面的 r 维平面 ($q < r$) 的密度也和欧氏款一样, 是(12.26), 而且经过一个固定的 q 维平面的 r 维平面的总测度也是(12.36), 没有改变.

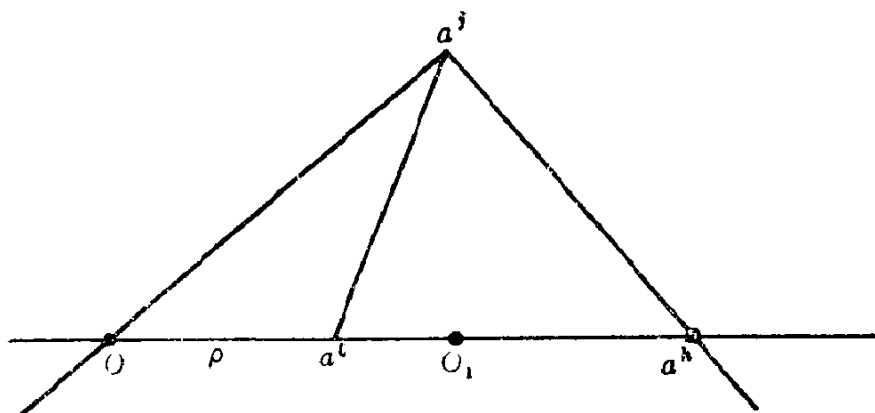


图 17.1

我们将推得密度 dL_r 的一个有用的表达式. 设 ρ 为从 L_r 到一个固定点 O 的距离, $dL_{n-r,0}$ 为经过 O 而垂直于 L_r 的 $n-r$ 维平面密度, $d\sigma_{n-r}$ 为 $L_{n-r,0}$ 在交点 $L_r \cap L_{n-r,0}$ 的体元. 我们试用 $\rho, dL_{n-r,0}$ 和 $d\sigma_{n-r}$ 来表达 dL_r , 方法如下.

设 ρ 为从 O 到 a^0 的距离(图17.1). 若 a^h 为直线 Oa^0 上 a^0 的共轭点而 a^j 为 a^l 和 a^h 的一个共轭点, 则根据(17.8),

$$\omega_{jh} = \varepsilon K \langle a^j, da^h \rangle = -\varepsilon K \langle a^h, da^j \rangle, \quad (17.37)$$

根据(17.18), ω_{jh} 表示在平面 $a^0 a^j a^h$ 上对应于方向 $a^0 a^h$ 绕 a^0 的

简单转动。若 O_1 是直线 Oa^0 上 O 的共轭点，利用(17.13)以及距离 $a^k a^0$ 等于 $\pi/(2(\varepsilon K)^{1/2})$ 的事实，就得

$$a^k = \cos(\varepsilon K)^{1/2}(\rho + \pi/(2(\varepsilon K)^{1/2}))O + \sin(\varepsilon K)^{1/2},$$

$$(\rho + \pi/(2(\varepsilon K)^{1/2}))O_1 = -\sin((\varepsilon K)^{1/2}\rho)O + \cos((\varepsilon K)^{1/2}\rho)O_1.$$

因此，根据 $\langle a^j, O \rangle = \langle a^j, O_1 \rangle = 0$ 和 $dO = 0$ ，可见在绕 a^0 的简单转动 ω_{jh} 和绕 O 的简单转动 $\omega_{jh}^* = \varepsilon K \langle a^j, dO_1 \rangle = -\varepsilon K \langle O_1, da^j \rangle$ 之间，有等式

$$\omega_{jh} = \cos((\varepsilon K)^{1/2}\rho)\omega_{jh}^*. \quad (17.38)$$

设 a^0 为从 O 到 L_r 的垂足，而 L_r 仍是 a^0, a^1, \dots, a^r 所确定的 r 维平面。再在直线 Oa^0 上取 a^{r+1} 。简单转动 $\omega_{jh}^* (j=1, 2, \dots, r; h=r+2, \dots, n)$ 都含在垂直于 Oa^0 的平面里，因而它们在 a^0 和在 O 有相同的值，即

$$\omega_{jh}^* = \omega_{jh}, \quad j=1, 2, \dots, r, \quad h=r+2, \dots, n; \quad (17.39)$$

而根据(17.38)，

$$\omega_{j,r+1} = \omega_{j,r+1}^* \cos((\varepsilon K)^{1/2}\rho), \quad j=1, 2, \dots, r. \quad (17.40)$$

把(17.39)和(17.40)代入(17.35)，则因 $(1/K)^{(n-r)/2} \wedge \omega_0$ ($i=r+1, \dots, n$)是 $L_{n-r[0]}$ 在 a^0 点的体元 $d\sigma_{n-r}$ ，就得

$$dL_r = \cos^r((\varepsilon K)^{1/2}\rho) d\sigma_{n-r} \wedge dL_{n-r[0]}, \quad (r=1, 2, \dots, n-1). \quad (17.41)$$

其中 $dL_{n-r[0]} = \bigwedge \omega_{jh}^* (j=r+1, \dots, n; h=1, 2, \dots, r)$ 是 $n-r$ 维平面绕 O 的密度。公式(17.41)就是所求的 dL_r 的表达式，它对应于欧氏空间的(12.38)。Müller[437]给出了用矩阵表示的 dL_r 的表达式。

考虑 $r=1$ 的款。这时， $dL_{n-1[0]} = dL_{1[0]}$ 是以 O 为顶点的 一个立体角元[素]，这个立体角元对应于经过 O 而垂直于 L_1 的 $n-1$ 维平面的法线。为了用以 a^0 为顶点的相应立体角元 $dL_{1[a^0]}$ 来代替 $L_{1[0]}$ ，注意 L_1 确定于 a^0 和 a^1 ，因而利用(17.19)，(17.39)，和(17.40)，就有

$$dL_1 = d\sigma_{n-1} \wedge du_{n-1}, \quad (17.42)$$

其中 du_{n-1} 是在 a^0 点, 对应于 L_1 方向的立体角元, 而 $d\sigma_{n-1}$ 则是经过 a^0 而垂直于 L_1 的 $n-1$ 维平面上的体元. 若 ds 表示 L_1 上在 a^0 的弧元, 则 $d\sigma_{n-1} \wedge ds = dv$, 即空间在 a^0 的体元, 于是由 (17.42) 得

$$dL_1 \wedge ds = dv \wedge du_{n-1}. \quad (17.43)$$

在非欧空间取一个域 Q , 而在 $a^0 \in Q$ 的范围内对 (17.43) 两边积分. 在右边, 得 $\frac{1}{2} VO_{n-1}$ (出现因子 $\frac{1}{2}$ 是因为 L_1 是作为无向直线), 而在左边, ds 的积分是弧 $Q \cap L_1$ 的长 λ , 其结果是积分公式

$$\int_{L_1 \cap Q \neq \emptyset} \lambda dL_1 = \frac{1}{2} O_{n-1} V. \quad (17.44)$$

注意 (17.43) 和 (17.44) 与空间的曲率无关. 实际上它们对任意黎曼空间都适用.

公式 (17.41) 对于 $r=0$ 不适用. 在这一款, dL_0 是点密度, 而对应于 (17.41) 的公式是体元在极坐标里的表达式. 为了求这个公式, 注意若沿用上面记号, 则

$$a^0 = \cos((\varepsilon K)^{1/2} \rho) O + \sin((\varepsilon K)^{1/2} \rho) O_1,$$

故 (由于 O 固定因而 $\langle O, da^i \rangle = -\langle a^i, dO \rangle = 0$)

$$\begin{aligned} \omega_{i0} &= -(\varepsilon K)^{1/2} \langle a^0, da^i \rangle \\ &= -(\varepsilon K)^{1/2} \sin((\varepsilon K)^{1/2} \rho) \langle O_1, da^i \rangle. \end{aligned} \quad (17.45)$$

另一方面, 考虑自共轭单形 O, O_1, a^2, \dots, a^n , 按照 (17.19), 对应于方向 Oa^0 , 以 O 为顶点的立体角元

$$du_{n-1} = \omega_{21} \wedge \omega_{31} \wedge \dots \wedge \omega_{n1},$$

其中

$$\begin{aligned} \omega_{i1} &= \varepsilon K \langle a^i, dO \rangle = -\varepsilon K \langle O_1, da^i \rangle \\ &= \sqrt{\varepsilon} \omega_{i0} / \sin((\varepsilon K)^{1/2} \rho) \quad (i = 1, 2, \dots, n). \end{aligned}$$

因此, 应用 (17.16), 就得

$$dv = (\sqrt{\varepsilon} / (\varepsilon K)^{n-2}) \sin((\varepsilon K)^{1/2} \rho) \omega_{10} \wedge du_{n-1}.$$

根据(17.15), $ds_1 = (1/\sqrt{K})\omega_{10}$, 故

$$dL_n = dv = \frac{1}{(\varepsilon K)^{(n-1)/2}} \sin^{n-1}((\varepsilon K)^{1/2}\rho) d\rho \wedge du_{n-1}. \quad (17.46)$$

这个在极坐标里关于非欧空间的体元的表达式可以直接用来求得半径为 ρ 的非欧球的体积, 即

$$V_n(\rho) = \frac{O_{n-1}}{(\varepsilon K)^{(n-1)/2}} \int_0^\rho \sin^{n-1}((\varepsilon K)^{1/2}\rho) d\rho, \quad (17.47)$$

以及半径为 ρ 的非欧球的面积 $A_n(\rho) = dV_n(\rho)/d\rho$,

$$A_n(\rho) = \frac{O_{n-1}}{(\varepsilon K)^{(n-1)/2}} \sin^{n-1}((\varepsilon K)^{1/2}\rho), \quad (17.48)$$

为完备起见, 我们再计算半径为 ρ 的非欧球的中曲率积分 $M_r(\rho)$. 我们只须记住: 若 R_i 为一个超曲面在 P 点对应于曲率线 C_i 的主曲率半径, Γ_i 表示超曲面沿 C_i 的法线的包络线, 而 ρ_i 表示由 P 到在 P 的法线和 Γ_i 的接触点的距离, 则有关系(见[165, 第214页])

$$R_i = (\varepsilon K)^{-1/2} \tan((\varepsilon K)^{1/2}\rho_i). \quad (17.49)$$

因此, 按照定义(17.20), 对于半径等于 ρ 的非欧球,

$$M_r(\rho) = \frac{O_{n-1}}{(\varepsilon K)^{(n-r-1)/2}} \sin^{n-r-1}((\varepsilon K)^{1/2}\rho) \cos^r((\varepsilon K)^{1/2}\rho). \quad (17.50)$$

和一个非欧球相交的 r 维平面测度. 作为(17.41)的应用, 我们计算和一个半径为 ρ 的固定非欧球 Σ_ρ 相交的 r 维平面的测度. 可以取 Σ_ρ 的中心作为固定点 O . 于是

$$\begin{aligned} d\sigma_{n-r} &= A_{n-r-1}(\rho) d\rho \\ &= (\varepsilon K)^{-(n-r-1)/2} \sin^{n-r-1}((\varepsilon K)^{1/2}\rho) O_{n-r-1} d\rho, \end{aligned} \quad (17.51)$$

因此, 利用(17.48)和(12.35)(这公式对非欧空间也都适用), 就

得

$$\int_{L_r \cap \Sigma_{\rho} \neq \emptyset} dL_r = \frac{O_{n-1} \cdots O_r}{(\varepsilon K)^{n-r-1/2} O_{n-r-1} \cdots O_1 O_0} \times \int_0^\rho \cos^r((\varepsilon K)^{1/2} \rho) \sin^{n-r-1}((\varepsilon K)^{1/2} \rho) d\rho, \quad (17.52)$$

在椭圆款, $\varepsilon = +1$, 空间是有界的, 一切 L_r 的测度也是有界的. 在(17.52)里, 令 $\rho = \pi/(2(\varepsilon K)^{1/2})$, 就得它的值. 由于

$$\int_0^{\pi/2} \cos^r(\alpha) \sin^{n-r-1}(\alpha) d\alpha = \frac{O_n}{O_r O_{n-r-1}}, \quad (17.53a)$$

可知

$$\int_{全部} dL_r = \frac{O_n O_{n-1} \cdots O_{r+1}}{K^{(n-r)/2} O_{n-r-1} \cdots O_0} \quad (\varepsilon = +1). \quad (17.53b)$$

注记 有时利于把(17.52)和(17.53b)写成等价形式

$$\int_{L_r \cap \Sigma_{\rho} \neq \emptyset} dL_r = \frac{O_{n-1} \cdots O_{n-r-1}}{(\varepsilon K)^{n-r-1/2} O_{r-1} \cdots O_0} \times \int_0^\rho \cos^r((\varepsilon K)^{1/2} \rho) \sin^{n-r-1}((\varepsilon K)^{1/2} \rho) d\rho, \quad (17.52)^*$$

$$\int_{全部} dL_r = \frac{O_n O_{n-1} \cdots O_{n-r}}{K^{(n-r)/2} O_r \cdots O_0}. \quad (17.53b)^*$$

例如 $r = n-1$ 时, (17.52)不能直接应用, 但(17.52)* 则给出

$$\int_{L_{n-1} \cap \Sigma_{\rho} \neq \emptyset} dL_{n-1} = O_n \int_0^\rho \cos^{n-1}((\varepsilon K)^{1/2} \rho) d\rho. \quad (17.54)$$

4. 和一个固定体相交的 r 维平面集合

由于 $dL_r, dL_{r|c}$ 在欧氏空间和非欧空间除一个常数因子外有相同的形状, 公式(14.77)在两款都适用. 又由于在证明(14.78)时所用到的关于局部微分几何的诸定理在非欧微分几何里也都是

正确的, (14.78)对于任意具有曲率 εK 的非欧空间也是正确的. 同样, 对于非欧几何, (14.69)也适用. 特殊地, $q = n$ 时, 有

$$\int_{Q \cap L_r \neq \emptyset} \sigma_r(Q \cap L_r) dL_r = \frac{O_{n-1} \cdots O_{n-r}}{O_{r-1} \cdots O_0} \sigma_n(Q), \quad (17.55)$$

其中 $\sigma_n(Q)$ 表示域 Q 的体积而 $\sigma_r(Q \cap L_r)$ 是 $Q \cap L_r$ 的 r 维体积. $r = 1$ 时, 再一次得 (17.44).

把 $Q \cap L_r$ 看成 L_r 里的体, 而 $M_i^{(r)} (i = 0, 1, \cdots, r-1)$ 为 $\partial(Q \cap L_r)$ 的中曲率积分. 推广了的 Gauss-Bonnet 公式给出: $r = 2r' (r$ 为偶数) 时,

$$\begin{aligned} & \frac{1}{2} O_n \chi(Q \cap L_r) \\ &= (\varepsilon K)^{r'} \sigma_r(Q \cap L_r) \\ &+ \sum_{i=1}^{r'} \binom{r-1}{2i-1} \frac{O_r}{O_{2i-1} O_{r-2i}} (\varepsilon K)^{r'-i} M_{2i}^{(r)}, \end{aligned} \quad (17.56)$$

而 $r = 2r' + 1 (r$ 为奇数) 时,

$$\frac{1}{2} O_n \chi(Q \cap L_r) = \sum_{i=1}^{r'} \binom{r-1}{2i} \frac{O_r}{O_{2i} O_{r-2i-1}} (\varepsilon K)^{r'-i} M_{2i+1}^{(r)}. \quad (17.57)$$

用 dL_r 分别乘这两方程的两边并对一切和 Q 相交的 L_r 取积分, 就得: $r = 2r'$ 时,

$$\begin{aligned} & \int_{Q \cap L_r \neq \emptyset} \chi(Q \cap L_r) dL_r \\ &= \frac{O_{n-2} \cdots O_{n-r}}{O_r \cdots O_1} [(\varepsilon K)^{r'} O_{n-1} \sigma(Q) \\ &+ \sum_{i=1}^{r'} \binom{r-1}{2i-1} \frac{O_r O_{r-1} \cdots O_{n-2i+1}}{O_{2i-1} O_{r-2i} O_{r-2i+1}} (\varepsilon K)^{r'-i} M_{2i+1}^{(r)}], \end{aligned} \quad (17.58)$$

而 $r = 2r' + 1$ 时,

$$\int_{Q \cap L_r \neq \emptyset} \chi(Q \cap L_r) dL_r$$

$$= \frac{O_{n-2} \cdots O_{n-r}}{O_{r-1} \cdots O_1} \sum_{i=0}^{r'} \binom{r-1}{2i} \frac{O_{r-1} O_{n-2i}}{O_{2i} O_{r-2i-1} O_{r-2i}} (\varepsilon K)^{r'-i} M_{2i}. \quad (17.59)$$

$r=0$ 时, dL_0 是体元而 $\chi(Q \cap L_0) = 1$, 因而积分(17.59)是 Q 的体积.

注意 $r=1$ 时($r'=0$), (17.59)不能直接应用. 但利用恒等式

$$\frac{O_{n-2} \cdots O_{n-r}}{O_{r-1} \cdots O_1} = \frac{O_{n-2} \cdots O_r}{O_{n-r-1} \cdots O_1}, \quad (17.60)$$

就得

$$\int_{Q \cap L_r \neq \emptyset} \chi(Q \cap L_1) dL_1 = (O_n/4\pi) F. \quad (17.61)$$

若 Q 为凸集, $\chi(Q \cap L_r) = 1$, 就得:

在曲率为 εK 的非欧空间里, 和一个凸集 Q 相交的一切 L_r 的测度, 按照 r 是偶数或奇数, 是(17.58)或(17.59)的右边.

例如 $n=3$ 时, 假定 Q 是凸集, 就有

$$\int_{Q \cap L_1 \neq \emptyset} dL_1 = (\pi/2) F, \quad \int_{Q \cap L_2 \neq \emptyset} dL_2 = M_1 + \varepsilon K V. \quad (17.62)$$

关于椭圆积分几何, 参看 Blaschke[43]和 T.J.Wu [732]①.

5. 注记

(1) 非欧几何里关于四面体的不等式. 设 T 为具有曲率 εK 的三维非欧空间里的一个四面体. T 的中曲率积分 M_1 可以像欧氏空间那样计算, 其结果也和(13.58)相同. 因此,

$$\int_{L_2 \cap T \neq \emptyset} dL_2 = \frac{1}{2} \pi \sum_{i=1}^6 a_i - \frac{1}{2} \sum_{i=1}^6 a_i a_i + \varepsilon K V,$$

$$\int_{L_2 \cap T \neq \emptyset} N dL_2 = \pi \sum_{i=1}^6 a_i,$$

① 原文作[731, 732, 732a], 误.——译者

其中 a_i 是各棱的长, α_i 是其对应的三面角, V 是体积, N 是和 L_2 相交的棱的个数. 因此, 除了属于一个测度为零的 L_2 位置的集合外, $N=3$ 或 $N=4$.

令 m_i 为和 i 个棱相交的平面的测度, 则由最后两公式可以推得

$$m_3 = \pi \sum_{i=1}^6 a_i - 2 \sum_{i=1}^6 a_i a_i + 4\varepsilon KV,$$

$$m_4 = \frac{3}{2} \sum_{i=1}^6 a_i a_i - \frac{1}{2} \pi \sum_{i=1}^6 a_i - 3\varepsilon KV.$$

由于这些测度不是负的, 就有不等式

$$\pi \sum_{i=1}^6 a_i + 4\varepsilon KV \geq 2 \sum_{i=1}^6 a_i a_i,$$

$$3 \sum_{i=1}^6 a_i a_i \geq \pi \sum_{i=1}^6 a_i + 6\varepsilon KV.$$

这些不等式把 Pólya 与 Szego[489]关于欧氏空间的不等式推广到非欧空间. 它们可能是有趣的, 因为人们知道 V 不能用 a_i 和 α_i 的初等函数来表示. 有几个作者 (包括 Coxeter[128]和 Bohm [57—59])探讨了非欧几何中四面体的体积.

(2) 一个积分公式. 设 Q 为 n 维椭圆空间的一个连通域, 并假定 ∂Q 属于 C^3 类. 由椭圆空间任意点 P 作 ∂Q 的法线 $PA_i (i=1, 2, \dots)$, 并令 $C_{ih} (h=1, 2, \dots, n-1)$ 为 ∂Q 在 A_i 的曲率线. 若 PA_i 是从 P 到 C_{ih} 的距离的相对极大值, 令 $\varepsilon_{ih} = -1$; 若 PA_i 是这些距离的相对极小值, 令 $\varepsilon_{ih} = +1$; 在别的情况下, 令 $\varepsilon_{ih} = 0$. 令 $\nu_i = \varepsilon_{i1}\varepsilon_{i2}\cdots\varepsilon_{i,n-1}$, $N = \sum \nu_i$, 其中总和的范围是一切从 P 到 Q 的法线. 我们得到以下公式

$$\int NdP = O_n \chi(Q) \quad (n \text{ 为奇数}),$$

$$\int NdP = O_n \chi(Q) - 2V^P \quad (n \text{ 为偶数}),$$

其中 dP 为体元而积分范围则是整个椭圆空间。 $n=2,3$ 时，这些公式是 Blaschke[45]的结果(见[570])。

(3) 非欧空间里的几何概率。由本章结果，容易得到非欧空间几何概率方面典型问题的答案。我们叙述其中一部分，证明留给读者。

(a) 在曲率为 εK 的 n 维非欧空间里，若 K_1 为凸集，含在另一个凸集 K_0 里，一条和 K_0 相交的直线也和 K_1 相交的概率是 F_1/F_0 ，其中 F_1 和 F_0 依次是 ∂K_1 和 ∂K_0 的表面积。

(b) n 维欧氏空间里，一个凸体的弦长的中值是

$$E(\sigma) = 2\pi O_{n-1}V/O_n F.$$

(c) 在三维非欧空间里，若 K_1 为凸集 K_0 内的凸集，一个和 K_0 相交的平面也和 K_1 相交的概率是

$$p = \frac{M_1 + \varepsilon K V_1}{M_0 + \varepsilon K V_0},$$

其中 M_i 和 V_i 依次是 $K_i (i=0,1)$ 的中曲率积分和体积。

(d) 在三维非欧空间里，设 K 为凸体而 L_1 和 L_2 为独立而随机地同 K 相交的直线和平面，则它们在 K 内相交的概率是

$$p = \frac{4\pi V}{(M + \varepsilon K V)F}.$$

(e) 在三维非欧空间里，设 K 为凸体，并设 L_1, L_2 为和 K 相交的两个独立而随机的平面。它们交线和 K 相交的概率是

$$p = \frac{\pi^3 F}{4(M + \varepsilon K V)^2}.$$

(4) 球面上的几何概率。我们叙述关于二维球面 U 上的几何概率论中的一些问题。利用本章结果，考虑到若把球面上的大圆看成直线，则 U 上的几何局部上和椭圆平面相同，就容易解答。

(a) 两个随机大圆在一个面积为 F 的凸集内相交的概率是 $p = F/2\pi$ 。若规定大圆是 K 的弦，则它们在 K 内相交的概率是

$$p = 2\pi F/L^2.$$

通过对偶原则可得

(b) 在球面上两个随机点所确定的大^①圆和一个周长为 L 的固定凸集 K 不相交的概率是 $p = (2\pi - F)/L$ 。

(c) 联结两个随机点 P_1, P_2 的大圆弧 $P_1P_2 \leq \pi$ 和一个固定凸集 K 相交的概率是 $p = (L + 2F)/8\pi$ 。

(d) 在球面上两个随机点的距离中值是 $\pi/2$ 。

(e) 设 P_1, P_2, P_3 为在球面上随机选取的三点。三角形 $P_1P_2P_3$ 的周长中值是 $3\pi/2$ ，面积中值是 $\pi/2$ 。

(f) 设 H_1, H_2 为一个大圆 G_0 所确定的两个半球面。在 H_1, H_2 上依次随机选取的两点 P_1, P_2 的距离中值是 $E(\theta) = \pi - 4/\pi$ 。

取一个具有单位半径的半球面 H 。由于缺乏对称性，半球面上的问题一般比整个球面上的问题复杂。以下是一些例。

(g) 在半在球面上两点距离的中值是 $\pi/4$ 。

(h) 半球面上三个随机点确定的三角形的周长中值是 $12/\pi$ ，面积中值是 $(12/\pi) - \pi$ 。若三角形是三个随机大圆所确定的，则周长中值是 $E^*(L) = 3\pi - 12/\pi$ ，面积中值是 $E^*(F) = 2\pi - 12/\pi$ 。

(i) 半在球面上四个随机点构成一个球面凸四边形的概效是 $p = 3 - 24/\pi^2 = 0.569\dots$ (半球面上的 Sylvester 问题)。

二阶矩。设 L 为在球面 U 的一个半球面 H 上三个独立随机点 P_1, P_2, P_3 所确定的三角形 $P_1P_2P_3$ 的周长， $f_H(L)$ 为 L 的概率密度函数；而当 P_1, P_2, P_3 是在球面 U 上的随机点时， $f(L)$ 为三角形周长 L 的概率密度函数。这样，已经随机地给定三点 P_1, P_2, P_3 以及一个大圆 G ，设 H 表示 G 把 U 分割出的两个半球面中任意一个，就有

$$p(P_1, P_2, P_3 \in H) \quad f_H(L) = f(L) \cdot p(G \cap P_1P_2P_3 \neq \emptyset);$$

① 原文无“大”字。——译者

在这里面, P_1, P_2, P_3 都在同一个半球面 H 上的概率 $p(P_1, P_2, P_3 \in H) = \frac{1}{4}$, 而大圆 G 和三角形 $P_1 P_2 P_3$ 不相交的概率 $p(G \cap P_1 P_2 P_3 \neq \emptyset) = 1 - L/2\pi$ 。因此

$$f_H(L) = 4f(L) - (2/\pi)Lf(L).$$

用 L 乘两边并由 0 到 2π 积分, 得

$$E_H(L) = 4E(L) - (2/\pi)E(L^2),$$

而由于 $E_H(L) = 12/\pi$, $E(L) = 3\pi/2$, 得 $E(L^2) = 3\pi^2 - 6$ 。根据对偶原则, 当球面三角形为三个大圆所确定时, 若用 E^* 表示中值, 则

$$E^*(F) = E((2\pi - L)^2) = \pi^2 - 6.$$

Miles[413]给出了这些以及随机球面图形的某些量的二阶矩。在该文里, Miles 对球面上的几何概率作了完整概括, 包括 n 个随机大圆所确定的嵌装以及这个嵌装中的多边形的面积, 周长, 和角的个数的一阶和二阶矩。

(5) 涉及切线的积分公式。设 K 为在二维球面 U 上一个凸集。设 t_1, t_2 为经过 P 而和 ∂K 相切的大圆上, 从 P 到切点的弧长 ($t_i \leq \pi$), ω 为这两个切大圆之间的角 (图 17.2)。则有公式

$$\int_{P \in K} \frac{\sin \omega}{\sin t_1 \sin t_2} dP = \frac{1}{2}(2\pi - F)^2,$$

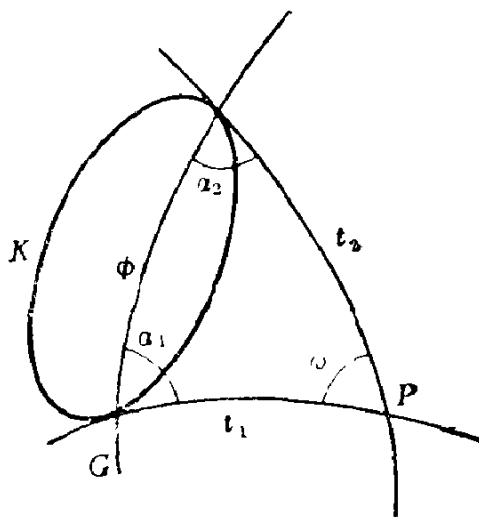


图 17.2

其中同一个直径的两个端点都看成是同一个点。通过对偶原则，又得

$$\int_{G \cap K \neq \emptyset} \frac{\sin \phi}{\sin \alpha_1 \sin \alpha_2} dG = \frac{1}{2} L^2,$$

其中 ϕ 是弧 $G \cap K$ 的长，而 α_1, α_2 为在交点 $G \cap K$ ，大圆 G 和 ∂K 的切大圆所作的角[539]。

(6) 极限圆密度。在一个双曲平面上，若令一个圆的中心移到无穷远，但规定该圆必须经过一个固定点，那个圆就变成具有无限大半径的圆，叫做极限圆。假定建立了一个极坐标系 (r, α) ，顶点在 O 。若极限圆向着 O 弯曲，它的密度是 $dH_+ = e^r dr \wedge d\alpha$ ，若极限圆背着 O 弯曲，它的密度是 $dH_- = e^{-r} dr \wedge d\alpha$ 。我们将把极限圆密度写成 dH ，但根据情况把它看成 dH_+ 或 dH_- 。容易看出，两个点确定通过它们的一个极限圆。若一个点集 K 的每两个点 A, B 所确定的极限圆弧整个含在 K 内，则 K 叫做 h 凸集(极限圆凸集)。这样，若 σ 表示弧 $H \cap K$ 的长，可以证明

$$\int_{H \cap K \neq \emptyset} \sigma dH = 2\pi F, \quad \int_{H \cap K \neq \emptyset} \sigma^2 dH = 6F^2,$$

其中 F 是 K 的面积。

设 K 是具有光滑边界的 h 凸集，它在极限圆 H 凸出的一侧。设 $O \in K$ 为固定点。取经过 O 的一个参考方向，从 O 出发，取一个和参考方向作 θ 角的方向，垂直于后一方，向取和 K 相切的极限圆，设 $h(\theta)$ 为由 O 到极限圆的距离。函数 $h(\theta)$ 叫做对于极限圆 H 的撑函数。这样， ∂K 的长

$$L = \frac{1}{2} \int_0^{2\pi} (e^h - e^{-h} + e^{-h} h'^2) d\theta. \quad (17.63)$$

若 K 在极限圆 H 凹入的一侧时，它的撑函数是 $h^*(\theta)$ ，则 (17.63) 化为

$$L = \frac{1}{2} \int_0^{2\pi} (-e^{h^*} + e^{-h^*} - e^{-h^*} h^{*'}{}^2) d\theta. \quad (17.64)$$

若 $h - h^* = B$ 是常数, 我们就说, K 对于极限圆是有常宽的, 这时

$$L = \frac{1}{2} (1 - e^{-B}) \int_0^{2\pi} e^h d\theta. \quad (17.65)$$

公式(17.63), (17.64), (17.65)是 Fillmore[189]的结果. 任何对于极限圆的常宽凸集, 对于它的切线也是常宽的, 它的周长 L , 面积 F , 同常宽 B 之间的关系是 $(2\pi + F) \tanh(B/2)$ [548, 589]. 关于积分几何对三维双曲空间曲线论的应用, 参考 D. Jusupov [326].

① 原书被积函数是 $e^{-h^*} + e^{-h^*} - e^{-h^*} h^{*'}{}^2$. ——译者

第十八章 非欧空间的 Crofton 公式 与运动基本公式

1 Crofton 公式

我们要把公式(14.24)推广到具有曲率 εK 的非欧空间. 设 P_1, P_2 为两点, L_1 表示直线 P_1P_2 . 设 t_1, t_2 为 P_1, P_2 在 L_1 上的坐标. 假定 P_1 是一个极坐标的原点, 则根据(17.46), 在 P_2 的体元可以写成

$$dP_2 = \frac{\sin^{n-1}((\varepsilon K)^{1/2} |t_2 - t_1|)}{(\varepsilon K)^{(n-1)/2}} dt_2 \wedge du_{n-1}. \quad (18.1)$$

取两边和体元 dP_1 的外积, 并利用(17.43)(其中 dv 现在用 dP_2 表示), 得[283]

$$dP_1 \wedge dP_2 = \frac{\sin^{n-1}((\varepsilon K)^{1/2} |t_2 - t_1|)}{(\varepsilon K)^{(n-1)/2}} dt_1 \wedge dt_2 \wedge dL_1. \quad (18.2)$$

设 Q 为凸体, 并对于一切点偶 $P_1, P_2 (\in Q)$ 取(18.2)的积分. 在右边, 得积分

$$\Phi_{n-1}(\sigma, \varepsilon K) = \int_0^\sigma \int_0^\sigma \frac{\sin^{n-1}((\varepsilon K)^{1/2} |t_2 - t_1|)}{(\varepsilon K)^{(n-1)/2}} dt_2 \wedge dt_1 \textcircled{1}. \quad (18.3)$$

当 n 是奇数时,

$$\begin{aligned} \Phi_{n-1}(\sigma, \varepsilon K) &= -\frac{2}{(n-1)(\varepsilon K)^{(n+1)/2}} \left[\frac{1}{n-1} \sin^{n-1}((\varepsilon K)^{1/2} \sigma) \right. \\ &\quad \left. + \sum_{i=1}^{(n-3)/2} \frac{(n-2) \cdots (n-2i)}{(n-3) \cdots (n-1-2i)} \sin^{n-1-2i}((\varepsilon K)^{1/2} \sigma) \right] \end{aligned}$$

① σ 表示弦 $L_1 \cap Q$ 的长. ——译者

$$+ \frac{(n-2) \cdots 1}{(n-1) \cdots 2} (\varepsilon K)^{-(n-1)/2} \sigma^2 \textcircled{1}, \quad (18.4)$$

而当 n 为偶数且 $n > 2$ 时,

$$\Phi_{n-1}(\sigma, \varepsilon K)$$

$$= -\frac{2}{(n-1)(\varepsilon K)^{(n+1)/2}} \left[\frac{1}{n-1} \sin^{n-1}((\varepsilon K)^{1/2} \sigma) \right. \\ \left. + \sum_{i=1}^{(n-2)/2} \frac{(n-2) \cdots (n-2i)}{(n-3) \cdots (n-1-2i)} \sin^{n-1-2i}((\varepsilon K)^{1/2} \sigma) \right. \\ \left. - \frac{(n-2) \cdots 2}{(n-3) \cdots 1} (\varepsilon K)^{1/2} \sigma \right], \quad (18.5)$$

$n=2$ 时,

$$\Phi_1(\sigma, \varepsilon K) = 2((\varepsilon K)^{1/2} \sigma - \sin((\varepsilon K)^{1/2} \sigma))(\varepsilon K)^{-3/2}. \quad (18.6)$$

于是取(18.2)两边的积分, 得

$$\int_{L_1 \cap Q \neq \emptyset} \Phi_{n-1}(\sigma, \varepsilon K) dL_1 = V^2, \quad (18.7)$$

而这就是所要求的推广. 例如 $n=2$ 时, 就有

$$\frac{1}{\varepsilon K} \int_{L_1 \cap Q \neq \emptyset} \left(\sigma - \frac{\sin((\varepsilon K)^{1/2} \sigma)}{(\varepsilon K)^{1/2}} \right) dL_1 = \frac{1}{2} F^2, \quad (18.8)$$

而 $n=3$ 时,

$$\frac{1}{\varepsilon K} \int_{L_1 \cap Q \neq \emptyset} \left(\sigma^2 - \frac{1}{\varepsilon K} \sin^2((\varepsilon K)^{1/2} \sigma) \right) dL_1 = 2V^2. \quad (18.9)$$

由(18.8), 利用(17.44), 可见 $\varepsilon = +1$ 时(椭圆平面上),

$$\int_{Q \cap L_1 \neq \emptyset} \sigma dL_1 = \pi F,$$

$$\int_{Q \cap L_1 \neq \emptyset} \sin \sigma dL_1 = \pi F - \frac{1}{2} F^2, \quad (18.10)$$

① 原文总和号下的分母中最后一个因子是 $(n-1-2i)^2$, 疑误。——译者

而 $\varepsilon = -1$ 时(双曲平面上),

$$\int_{Q \cap L_1 \neq \emptyset} \sigma dL_1 = \pi F,$$

$$\int_{Q \cap L_1 \neq \emptyset} \sinh \sigma dL_1 = \pi F + \frac{1}{2} F^2. \quad (18.11)$$

作为练习,试证明:若取 $K \rightarrow 0$ 时的极限,则(18.8)和(18.9)依次变成(4.9)和 $n = 3$ 时的(14.24)。

2. 椭圆空间的对偶公式

在椭圆空间($\varepsilon = +1$)里,所谓的对偶原则是适用的。这个原则指出:若在每个定理中,把“点”和“超平面”互换,同时对词语作相应的改动(如“含有”和“含在…内”互换,“ r 维”和“ $n-r-1$ 维”互换),则所得定理仍然正确。在第17章第2节已经看到,对应于每一个 L_r ,有一个 L_{n-r-1}^P ,称为 L_r 的对偶。我们下面就把前节的一些公式“翻译”成它们的对偶公式。

首先考虑公式(17.44)。假定 Q 为凸体。直线 L_1 的对偶是一个 L_{n-2}^P ,而弦 $Q \cap L_1$ 的长 λ 则对应于角 $\pi - \phi^P$,其中 ϕ^P 是经过 L_{n-2}^P 而和 Q 的对偶 Q^P 相切的两个超平面之间的角。于是由(17.44),得

$$\int_{Q^P \cap L_{n-2}^P \neq \emptyset} (\pi - \phi^P) dL_{n-2}^P = \frac{1}{2} O_{n-1} V. \quad (18.12)$$

和 Q^P 不相交的一切 L_{n-2}^P 的测度等于和 Q 相交的一切 L_1 的测度;因此,根据(17.61),它等于 $(O_n/4\pi)F$ 。于是由(18.12),得

$$\int_{Q^P \cap L_{n-2}^P \neq \emptyset} \phi^P dL_{n-2}^P = (O_n/4)F - (O_{n-1}/2)V, \quad (18.13)$$

或者,把 Q 和 Q^P 互换,得

$$\int_{Q \cap L_{n-2} \neq \emptyset} \phi dL_{n-2} = (O_n/4)F^P - (O_{n-1}/2)V^P, \quad (18.14)$$

其中 F^P 和 V^P 是 Q^P 的表面积和体积, 它们的值可以从第17章第2节的公式推得.

例如 $n=2$ 时, (18.14)化为

$$\int_{P \in Q} \phi dP = \pi(L - F), \quad (18.15)$$

其中 ϕ 是从 Q 外一点到 Q 的两条切线之间的角. $n=3$ 时, 就有

$$\int_{Q \cap L_1 \neq \emptyset} \phi dL_1 = 2\pi(M_1 + V) - \frac{1}{2}\pi^2 F, \quad (18.16)$$

这里面我们利用了(17.31).

我们还要通过对偶原则 翻 译 公 式(18.7). 注意当 n 是偶数时, 根据(18.5), 有($n \geq 2$ 时)

$$\Phi_{n-1}(\pi - \phi, 1) = \Phi_{n-1}(\phi, 1) + \frac{2(n-2) \cdots 2}{(n-1) \cdots 1} \pi - \frac{4(n-2) \cdots 2}{(n-1) \cdots 1} \phi. \quad (18.17)$$

因此, 利用(18.12)和(18.7)就得

$$\begin{aligned} & \int_{Q \cap L_{n-2} \neq \emptyset} \Phi_{n-1}(\phi, 1) dL_{n-2} \\ &= (V^P)^2 + \frac{(n-2) \cdots 2}{2(n-1) \cdots 1} (O_n F^P - 4O_{n-1} V^P), \end{aligned} \quad (18.18)$$

其中 ϕ 是经过 L_{n-2} 而和 Q 相切的两个超平面间的角, 而 $\Phi_{n-1}(\phi, 1)$ 则可从(18.5)推得.

与此类似, n 为奇数时,

$$\begin{aligned} & \int_{Q \cap L_{n-2} \neq \emptyset} \Phi_{n-1}(\phi, 1) dL_{n-2} \\ &= (V^P)^2 + \frac{(n-2) \cdots 1}{(n-1) \cdots 2} \frac{\pi}{4} (O_n F^P - 4O_{n-1} V^P). \end{aligned} \quad (18.19)$$

例 $n=2$ 时, 由(18.6)可得

$$\Phi_1(\pi - \phi, 1) = \Phi_1(\phi, 1) + 2(\pi - 2\phi),$$

而(18.18)化为

$$\int_{P \in Q} (\phi - \sin \phi) dP = \frac{1}{2} L^2 - \pi F, \quad (18.20)$$

这是Crofton 的经典结果(4.23)到椭圆平面的推广。由(18.20)和(18.14), 得

$$\int_{P \in Q} \sin \phi dP = \pi L - \frac{1}{2} L^2. \quad (18.21)$$

$n=3$ 时, 利用(17.31), 由(18.19)可得

$$\frac{1}{2} \int_{L_1 \cap Q \neq \emptyset} (\phi^2 - \sin^2 \phi) dL_1 = (M_1 + V)^2 - \frac{\pi^3}{4} F, \quad (18.22)$$

这是Herglotz公式(14.33)到三维椭圆空间的推广

3. 非欧空间的运动基本公式

对于曲率为 εK 的 n 维非欧空间里具有充分光滑的边界的域, n 维欧氏空间的公式(15.72)也是正确的。这是因为, 证明该公式的一切步骤都是根据关于超曲面的局部微分几何公式, 而这些公式(例如 Meunier, Euler, Rodrigue 公式)对于欧氏空间和非欧空间都有相同的形状。公式(15.72)对于 $q=1, 2, \dots, n-1$ 都适用。 $q=n$ 时, 它必须代以(15.36), 并要把(15.37)考虑在内。换句话说, 作为(15.72)的补充, 还有($q=n$ 时)

$$\begin{aligned} & \int_{D_0, D_1 \neq \emptyset} M_{n-1}(\partial(D_0 \cap D_1)) dK_1 \\ &= O_{n-1} \dots O_1 \left[M_{n-1}^0 V_1 + M_{n-1}^1 V_0 \right. \\ & \quad \left. + \frac{1}{n} \sum_{h=0}^{n-1} \binom{n}{h+1} M_h^0 M_{n-2-h}^1 \right], \end{aligned} \quad (18.23)$$

这个公式对于曲率为 εK 的非欧空间里任意一对具有充分光滑边界的域 D_0, D_1 都是正确的。

作了这些准备之后，就容易得到非欧空间的基本运动公式了。我们分别考虑 n 为偶数和 n 为奇数两款。

(1) n 为偶数。我们把 Gauss-Bonnet 公式 (17.21) 应用于交集 $D_0 \cap D_1$ ，并对一切 D_1 的位置取积分。体积 $V(D_0 \cap D)$ 的积分是可以直接得到的：

$$\int_{D_0 \cap D_1 \neq \emptyset} V(D_0 \cap D_1) dK_1 = O_{n-1} \cdots O_1 V_0 V_1. \quad (18.24)$$

然后，由 (15.72) 和 (18.23)，经过一些调整，得

$$\begin{aligned} & \int_{D_0 \cap D_1 \neq \emptyset} \chi(D_0 \cap D_1) dK_1 \\ &= -\frac{2O_{n-1} \cdots O_1}{O_n} (\varepsilon K)^{n/2} V_0 V_1 \\ &+ O_{n-1} \cdots O_1 (V_1 \chi_0 + V_0 \chi_1) \\ &+ O_{n-2} \cdots O_1 \frac{1}{n} \sum_{h=0}^{n-2} \binom{n}{h+1} M_h^0 M_{n-2-h}^1 \\ &+ O_{n-2} \cdots O_1 \left\{ \sum_{i=0}^{n/2-2} \binom{n-1}{2i+1} \frac{n-2i-2}{O_{n-2i-3}} \right. \\ &\times \frac{2}{O_{n-2i-2}} (\varepsilon K)^{(n-2i-2)/2} \\ &\times \sum_{h=n-2i-2}^{n-2} \frac{\binom{2i+1}{n-h-1} O_{2n-h-2i-2}}{(h+1) O_{n-h}} \frac{O_h}{O_{2i+h-n+2}} \\ &\left. \times M_{n-2-h}^1 M_{h+2i+2-n}^0 \right\}. \quad (18.25) \end{aligned}$$

(2) n 为奇数。把 (17.22) 应用于 $D_0 \cap D_1$ 并对于 D_1 的一切位置取积分，利用 (15.72)，则经过一些调整，得

$$\begin{aligned}
& \int_{D_0 \cap D_1 \neq \emptyset} \chi(D_0 \cap D_1) dK_1 \\
&= O_{n-1} \cdots O_1 (V_1 \chi_0 + V_0 \chi_1) \\
&+ O_{n-2} \cdots O_1 \frac{1}{n} \sum_{k=0}^{n-2} \binom{n}{h+1} M_k^0 M_{n-2-k}^1 \\
&+ O_{n-2} \cdots O_1 \left\{ \sum_{i=0}^{(n-3)/2} \binom{n-1}{2i} \frac{2}{O_{n-2i-1}} \right. \\
&\times \frac{n-2i-1}{O_{n-2i-2}} (\varepsilon K)^{(n-1-2i)/2} \\
&\times \sum_{s=n-2i-1}^{n-2} \binom{2i}{n-h-1} \frac{O_h}{O_{2i+h-n+1}} \frac{O_{2n-h-2i-1}}{(h+1)O_{n-h}} \\
&\left. \times M_{s-2-h}^1 M_{h+2i+1-n}^0 \right\}. \quad (18.26)
\end{aligned}$$

$n=2$ 时, 公式(18.25)必须写成

$$\begin{aligned}
& \int_{D_0 \cap D_1 \neq \emptyset} \chi(D_0 \cap D_1) dK_1 \\
&= -(\varepsilon K) F_0 F_1 + 2\pi(F_1 \chi_0 + F_0 \chi_1) + L_0 L_1, \quad (18.27)
\end{aligned}$$

而 $n=3$ 时,

$$\begin{aligned}
& \int_{D_0 \cap D_1 \neq \emptyset} \chi(D_0 \cap D_1) dK_1 \\
&= 8\pi^2(V_1 \chi_0 + V_0 \chi_1) + 2\pi(F_0 M_1 + F_1 M_0). \quad (18.28)
\end{aligned}$$

注意根据(18.25)和(18.26), 只有当 $n=3$ 时, 运动基本公式和空间曲率无关. 关于椭圆空间的基本公式^①, 见[732].

4. 非欧空间的 Steiner 公式

考虑 D_1 为半径等于 ρ 的球体而 D_0 为一个凸集的特款. 这时,

^① 原文作“关于椭圆空间的基本公式的对偶”, 误. ——译者

若 $Q \cap D_1 \neq \emptyset$, 则 $\chi(Q \cap D_1) = 1$, 否则 $\chi(Q \cap D_1) = 0$. 利用关于 dK_1 的表达式(17.32), 选取球体 D_1 的中心为动标原点, 对于 D_1 的每个位置, 可以积分 $du_{n-1} \wedge \cdots \wedge du_1$, 而运动基本公式就给出平行于 Q 的凸体 Q_ρ (距离为 ρ) 的体积 (即非欧空间的 Steiner 公式). 所得结果是颇为复杂的, 我们将只写出 $n = 2, 3$ 两款的公式. 关于探讨这个问题的另一途径, 参考 Allendoerfer [4].

(a) $n = 2$. 经过记号的自然变动: $V_0 \rightarrow F_0, V_1 \rightarrow F_1, M_0^0 \rightarrow L_0, M_0^1 \rightarrow L_1$, 其中 L_0, F_0 为 Q 的周长和面积, 而 L_1, F_1 为半径等于 ρ 的圆盘的周长面积, 即

$$\begin{aligned} L_1 &= (2\pi/(\varepsilon K)^{1/2}) \sin((\varepsilon K)^{1/2} \rho), \\ F_1 &= (2\pi/\varepsilon K) [1 - \cos((\varepsilon K)^{1/2} \rho)], \end{aligned} \quad (18.29)$$

就得 Q_ρ 面积的表达式 [690]

$$\begin{aligned} F_\rho &= F_0 \cos((\varepsilon K)^{1/2} \rho) + \frac{L_0}{(\varepsilon K)^{1/2}} \sin((\varepsilon K)^{1/2} \rho) \\ &\quad + \frac{2\pi}{\varepsilon K} [1 - \cos((\varepsilon K)^{1/2} \rho)]. \end{aligned} \quad (18.30)$$

Q_ρ 的周长可以从公式 $L_\rho = dF_\rho/d\rho$ 计算.

(b) $n = 3$. 对于半径为 ρ 的球体, 由(17.47), (17.48) 和 (17.50), 得

$$V_1 = \frac{2\pi}{(\varepsilon K)^{3/2}} [(\varepsilon K)^{1/2} \rho - \sin((\varepsilon K)^{1/2} \rho) \cos((\varepsilon K)^{1/2} \rho)],$$

$$F_1 = M_0^1 = \frac{4\pi}{\varepsilon K} \sin^2((\varepsilon K)^{1/2} \rho),$$

$$M_1 = M_1^1 = \frac{4\pi}{(\varepsilon K)^{1/2}} \sin((\varepsilon K)^{1/2} \rho) \cos((\varepsilon K)^{1/2} \rho), \quad (18.31)$$

$$\chi_1 = 1.$$

代入(18.26), 除以 $8\pi^2$, 得

$$V_\rho = V_0 + \frac{F_0}{(\varepsilon K)^{1/2}} \sin((\varepsilon K)^{1/2} \rho) \cos((\varepsilon K)^{1/2} \rho)$$

$$+ M_1 \frac{\sin^2((\varepsilon K)^{1/2} \rho)}{\varepsilon K} + \frac{2\pi}{(\varepsilon K)^{3/2}} [(\varepsilon K)^{1/2} \rho - \sin((\varepsilon K)^{1/2} \rho) \cos((\varepsilon K)^{1/2} \rho)]. \quad (18.32)$$

Q_ρ 的表面积 F_ρ 可以从公式 $F_\rho = dV_\rho/d\rho$ 计算.

5. 关于椭圆空间凸体的一个积分公式

考虑 n 维椭圆空间 ($\varepsilon = 1, K = 1$). 我们知道, 直线是闭的, 长度为 π . 设 L_1 为这样一条直线. 可以把 L_1 看成一个退化的体, 对于它,

$$\begin{aligned} \chi_1 = 0, \quad V_1 = 0, \quad M_0 = M_1 = \dots = M_{n-3} = M_{n-1} = 0, \\ M_{n-2} = [\pi/(n-1)] O_{n-2}, \end{aligned} \quad (18.33)$$

然后应用基本公式 (18.25) 或 (18.26) 于 $D_1 = L_1$, $D_0 = Q_0$ 的, 款其中 Q_0 为固定凸体. 这时 $\chi(Q_0 \cap L_1) = 1$. 设 P 为 L_1 上一点, 而取以 P 为动标原点的运动密度 (17.32). 左边的积分等于

$$Q_{n-1} \dots O_1 V_0 + 2 O_{n-2} \dots O_1 \int_{P \in Q_0} \Omega dP, \quad (18.34)$$

其中 Ω 是从 P (在 Q_0 外) 所看到的, Q_0 所含的立体角. 在左边第二项前出现因子 2, 是因为 (由于 L_1 是闭的) P 是 Q_0 所含的两个立体角的共同顶点. 根据 (18.33), 右边^① 简化为

$$O_{n-1} \dots O_1 O_{n-2} (\pi/(n-1)) M_0^1.$$

因此, 令 $M^1 = F_0$, 即 ∂Q_0 的面积, 就有公式

$$\int_{P \in Q_0} \Omega dP = \frac{\pi}{2(n-1)} O_{n-2} F_0 - \frac{1}{2} O_{n-1} V_{00}. \quad (18.35)$$

$n = 2$ 时, 又一次得 (18.15).

6. 注记

(1) 非欧空间里关于流形交集的积分公式. 对欧氏空间里已证明的公式 (15.20), 对于非欧空间也适用, 不需作任何变动, 即:

① 原文作“左边积分”. ——译者

设 M^q 为 n 维非欧空间里一个固定紧致 r 维流形而 M^r 为作运动的紧致 r 维流形, 其运动密度是 dK . 假定 $r+q-n \geq 0$, 并令 $\sigma_{r+q-n}(M^q \cap M^r)$ 表示交集 $M^q \cap M^r$ 的 $r+q-n$ 维体积. 则

$$\begin{aligned} \int_{M^q \cap M^r \neq \emptyset} \sigma_{r+q-n}(M^q \cap M^r) dK \\ = \frac{O_n O_{n-1} \cdots O_1 O_{r+q-n}}{O_q O_r} \sigma_q(M^q) \sigma_r(M^r), \end{aligned} \quad (18.36)$$

其中 $\sigma_q(M^q)$ 和 $\sigma_r(M^r)$ 依次是 M^q 和 M^r 的体积.

若 $r+q-n=0$, 则 $\sigma_{r+q-n}(M^q \cap M^r)$ 表示 M^q 和 M^r 的交点数. 例如, 若 Γ_0, Γ_1 为非欧平面上的两条曲线, 则

$$\int_{\Gamma_0 \cap \Gamma_1 \neq \emptyset} n dK_1 = 4L_0 L_1, \quad (18.37)$$

其中 L_0, L_1 为两曲线的长而 n 为交点数. 这表明庞加莱公式(7.11)与空间的曲率无关.

(2) 等周不等式. 设 D_0, D_1 为非欧平面上两个全等的域, 它们的面积是 F , 边界是周长为 L 的单一闭线. 假定 D_0 固定而 D_1 作运动, 其运动密度是 dK_1 , 则 $\chi(D_0 \cap D_1) = \nu$ = 交集 $D_0 \cap D_1$ 的块数. 由于 $\chi(D_0) = \chi(D_1) = 1$, 基本公式(18.27)可以写成

$$\int_{D_0 \cap D_1 \neq \emptyset} \nu dK_1 = 4\pi F + L^2 - (\varepsilon K) F^2. \quad (18.38)$$

由于 $\nu \leq n/2$, 由(18.37)和(18.38)可知

$$L^2 + \varepsilon K F^2 - 4\pi F \geq 0, \quad (18.39)$$

这就是曲率为 εK 的非欧平面里的等周不等式. 按照第 7 章第 5 节的步骤, 可以证明下面(关于凸域的)更强的不等式:

(a) 对于椭圆平面($\varepsilon = 1, K = 1$), 令 $\Delta = L^2 + F^2 - 4\pi F$, 则有

$$\begin{aligned} \Delta \geq 4\pi^2 \sin^2\left(\frac{r_M - r_m}{2}\right), \quad \Delta \geq 4\pi^2 \tan^2\left(\frac{r_M - r_m}{2}\right) [62], \\ \Delta \geq [F \cot(r_m/2) - L]^2, \quad \Delta \geq [L - F \cot(r_M/2)]^2. \end{aligned}$$

(b) 对于双曲平面 ($\varepsilon = -1, K = 1$), 令 $\Delta = L^2 - F^2 - 4\pi F$,
 则

$$\Delta \geq [L - F \coth(r_m/2)]^2, \quad \Delta \geq [F \coth(r_M/2) - L]^2.$$

在两款中, r_M 都是含凸域 D 在内的最小圆半径而 r_m 则是含在 D 内的最大圆半径[539, 541]。关于椭圆平面上的等周不等式, 见[341]; 关于双曲平面的, 见[458]。

(3) 非欧平面上的 Hadwiger 定理。采用第七章第 4 节推得 Hadwiger 定理的同样论据, 现在可得:

(a) 对于椭圆平面 ($\varepsilon = 1, K = 1$): 若 D_0 和 D_1 为逐段光滑的简单闭曲线所包围的两个域, 不等式

$$\begin{aligned} L_0 L_1 - F_1(4\pi - F_0) \\ \geq [L_0^2 L_1^2 - F_0 F_1 (4\pi - F_0)(4\pi - F_1)]^{1/2} \end{aligned}$$

和

$$\begin{aligned} F_0(4\pi - F_1) - L_0 L_1 \\ \geq [L_0^2 L_1^2 - F_0 F_1 (4\pi - F_0)(4\pi - F_1)]^{1/2} \end{aligned}$$

是 D_1 可以含在 D_0 内的两个充分(但不必要)条件。

(b) 对于双曲平面 ($\varepsilon = -1, K = 1$): 其对应的条件是

$$\begin{aligned} L_0 L_1 - F_1(4\pi + F_0) \\ \geq [L_0^2 L_1^2 - F_0 F_1 (4\pi + F_0)(4\pi + F_1)]^{1/2}, \\ F_0(4\pi + F_1) - L_0 L_1 \\ \geq [L_0^2 L_1^2 - F_0 F_1 (4\pi + F_0)(4\pi + F_1)]^{1/2}. \end{aligned}$$

特殊地, 若 D_1 是么球面上一个半径为 r 的圆, 则 $L_1 = 2\pi \sin r$, $F_1 = 2\pi(1 - \cos r)$, 因此, 由于椭圆平面局部和么球面相同, 可知:

在么球面上, 以一条简单闭曲线为边界的一个域 D_1 可以含一个角半径为 r 的球冠在内的充分条件是以下两不等式中任意一个成立:

$$\tan\left(\frac{r}{2}\right) < \frac{L_0 - \Delta_0^{1/2}}{4\pi - F_0}, \quad \cot\left(\frac{r}{2}\right) > \frac{L_0 + \Delta_0^{1/2}}{F_0},$$

其中 $\Delta_0 = L_0^2 - 4F_0 + F_0^2$. 与此类似, 下面条件中任意一个是 D_0 含于一个角半径为 R 的球冠内的充分条件:

$$\cot\left(\frac{R}{2}\right) < \frac{L_0 - \Delta_0^{1/2}}{F_0}, \quad \tan\left(\frac{R}{2}\right) > \frac{L_0 + \Delta_0^{1/2}}{4\pi - F_0}.$$

下面是另一个同类的结果: 设 D 为一个域, 它不一定是凸的, 面积为 F , 周长为 L , 而且它的边界是含在二维么球面的一个半球面里的一条简单闭曲线. 这样, 含在 D 内就存在一个球冠, 其角半径 $\rho \geq F/L$. 这个不等式是可能地最好的, 即它不能用 $\rho \geq c(F/L)$ ($c > 0$) 代替. 若 D 是凸的, 则 D 内最大球冠的角半径满足 $\rho \geq F/4$. 这个不等式是 D.J. White[719]的结果, 它可以推广到 n 维么球面的凸域. 这时, 不等式可以写作 $F \leq (\rho/\pi)O_n$, 其中 O_n 是 n 维么球面积. 这个不等式是可能地最好的, 取 D 为两个半球面的交集, 就可以看出这一点.

(4) 一些覆盖问题. 椭圆空间几何与球面几何局部相同. 在第三节的基本公式中令 $\varepsilon = 1, K = 1$, 就得到 n 维么球面的运动基本公式. 下面我们把它应用于二维么球面上的一些覆盖问题.

设 K_0 为二维么球面 U 上固定凸域, 它的面积是 F_0 , 周长是 L_0 . 设 K_1, K_2, \dots, K_n 为在 U 上运动的全等凸域, 面积是 F , 周长是 L ; 设 dK_i 表示其对应的运动密度. 设 $F_{01\dots n}$ 和 $L_{01\dots n}$ 表示 $K_0 \cap K_1 \cap \dots \cap K_n$ 的面积和周长. 这样, 仿照第六章第 7 节的方法, 可以证明

$$\int F_{01\dots n} dK_1 \wedge dK_2 \wedge \dots \wedge dK_n = (2\pi)^n F F_0, \quad (18.40)$$

$$\begin{aligned} \int L_{01\dots n} dK_1 \wedge dK_2 \wedge \dots \wedge dK_n \\ = (2\pi)^n F^* L_0 + n(2\pi)^n F^{n-1} F_0 L, \end{aligned} \quad (18.41)$$

其中积分范围是 K_i ($i = 1, 2, \dots, n$) 的一切位置.

于是有以下中值:

$$E(F_{01\dots n}) = F^* F_0 (4\pi)^{-n},$$

$$E(L_{01\dots n}) = (F^*L_0 + nF^{*-1}F_0L)(4\pi)^{-n}. \quad (18.42)$$

此外, 多次应用(18.27) ($\varepsilon = 1, K = 1$), 就得

$$\begin{aligned} I_{12\dots n} &= \int dK_1 \wedge dK_2 \wedge \dots \wedge dK_n \\ &= (2\pi)^n (F^* + nF_0F^{*-1}) \\ &\quad + (2\pi)^{n-1} \left[nF^{*-1}L_0L + \binom{n}{2} F_0L^2F^{*-2} - nF_0F^* \right], \end{aligned} \quad (18.43)$$

其中积分范围是令 $K_0 \cap K_1 \cap \dots \cap K_n \neq \emptyset$ 的一切 K_1, \dots, K_n 的位置.

这个结果可以叙述如下:

在二维幺球面上, 已给一个固定凸集 K_0 , n 个全等的随机凸集 K_1, K_2, \dots, K_n 在 K_0 内有非空交集的概率是

$$p = (8\pi^2)^{-n} I_{12\dots n}, \quad (18.44)$$

其中 $I_{12\dots n}$ 的值为(18.43)所确定.

假定在幺球面上随机地选取 $n+1$ 个点. 我们要求它们可以用一个半径为 r 的球冠覆盖的概率. 若把每一点看作一个半径为 r 的球冠的中心, 则所求概率等于 n 个半径为 r 的球冠同个固定的半径为 r 的球冠有非空交集的概率. 在(18.44)中, 令 $L_0 = L = 2\pi \sin r$, $F_0 = F = 2\pi(1 - \cos r)$, 就得所求概率.

特殊地, 令 $r = \pi/2$, 就得:

二维幺球面上 $n+1$ 个点属于同一个半球面的概率是

$$p^* = \frac{1}{2^n} \left[(n+1) + \frac{n(n-1)}{2} \right]. \quad (18.45)$$

通过对偶原则, 可知这个公式也确定 $n+1$ 个随机半球面有非空交集的概率. 若这 $n+1$ 个半球面有一个公共点 P , 则 P 的反映点(和 P 在同一条直径上的点) P^* 就不属于这些半球面中的任何一个, 因而这些半球面不覆盖 U . 所以, $n+1$ 个随机半球面覆盖整个幺球面的概率是 $1 - p^*$.

Wendel[714]证明了更一般的结果: m 维欧氏空间么球面上 n 个随机点属于同一个半球面的概率, 当 $n > m$ 时是

$$p_{n,m} = 2^{-(n-1)} \sum_{h=0}^{m-1} \binom{n-1}{h}, \quad (18.46)$$

而当 $n \leq m$ 时, $p_{n,m} = 1$. n 个随机半球面覆盖整个 $m-1$ 维球面的概率是 $1 - p_{n,m}$.

下面是更困难而尚未解决的一个问题: 求么球面 U 上 N 个半径为 $r < \pi/2$ 的随机球冠覆盖 U 的概率. Moran 与 Fazekas de St. Groth[431]给出了一个近似解, Gilbert[231]给出了概率的一些界值.

Miles[412]考虑了下面的一般问题. 取一个点集 X 的 n 个随机子集. 假定点 $x \in X$ 在其中 $H(x)$ 个子集内, 对于 $x \in X$, 令 $H_* = \min H(x)$, $H^* = \max H(x)$. 换句话说, X 中的区域最少被 H_* 个子集覆盖, 最多被 H^* 个, $0 \leq H_* \leq H^* \leq n$. 假定每一个子集都是 X 的一个固定子集的均匀随机象, 即它们是 X 的一个固定子集的 n 个不同位置, 而这 n 个位置又是独立地选取的. 求 $n \rightarrow \infty$ 时, 概率 $p(H_* \leq m)$ 和 $p(H^* \geq n - m)$ 的渐近值. 假定 X 是 E_3 里的么球面 U 而 Y 是一个球面多边形, 即 U 上以大圆弧构成的简单闭曲线为边界的一个点集. 设 F 和 L 为 Y 的面积和周长. 设 Y_1, \dots, Y_n 为 Y 的 n 个独立随机位置. 这样, Miles 证明了: $n \rightarrow \infty$ 时,

$$p\left(\bigcup_i Y_i \neq X\right) \sim n(n-1)L^2(4\pi - F)^{n-2}(4\pi)^{-n},$$

$$p\left(\bigcap_i Y_i \neq \emptyset\right) \sim n(n-1)L^2F^{n-2}(4\pi)^{-n}$$

$$p(H_* \leq m)$$

和

$$p(H_* = m) \sim \binom{n}{m+2} (m+1)(m+2)$$

$$\times L^2 F^m (4\pi - F)^{n-m-2} (4\pi)^{-n}.$$

$$p(H^* \geq n - m)$$

和

$$p(H^* = n - m) \sim \binom{n}{m+2} (m+1)(m+2) \\ \times L^2 F^{n-m-2} (4\pi - F)^m (4\pi)^{-n}.$$

最后两结果可以推广到 $Y(\subset X)$ 的边界是一条具有有界(球面)曲率的简单闭曲线的款, 它们也可以推广到 m 维幺球面[412].

(5) 球面上的嵌装. 二维幺球面上, 一组 n 个处于一般位置的大圆把 U 分割成 $a_n = n(n-1) + 2$ 个球面凸多边形. 这样一个多边形集合叫做球面上的一个嵌装, 它有 $v_n = n(n-1)$ 个顶点和 $e_n = 2n(n-1)$ 个棱. 若那几个大圆是随机地独立选取的, Miles[413] 考虑了以下问题: 求所得多边形(嵌装的面)的面积 F , 周长 L , 以及顶点数 N 的矩 E_n^* . 一阶矩是可以立刻写出的: 对于一切 $n \geq 2$,

$$E_n^*(F) = 4\pi/a_n, \quad E_n^*(L) = 4\pi n/a_n, \\ E_n^*(N) = 4n(n-1)/a_n. \quad (18.47)$$

二阶矩是

$$E_n^*(F^2) = 8\pi^2 \gamma_n / a_n \quad (n \geq 1), \\ E_n^*(L^2) = 2\pi^2 (1 + \beta_{n,2}) / a_n \quad (n \geq 2), \\ E_n^*(N^2) = (12n(n-1) + \beta_{n,4}/2) / a_n \quad (n \geq 4), \\ E_n^*(LN) = \pi(8n + \beta_{n,3}) / a_n \quad (n \geq 3), \\ E_n^*(NF) = 2\pi \beta_{n,2} / a_n \quad (n \geq 2), \\ E_n^*(LF) = 4\pi^2 \beta_{n,1} / a_n \quad (n \geq 1),$$

其中

$$a_n = n(n-1) + 2$$

$$\beta_{n,i} = n(n-1) \cdots (n-i+1) \gamma_{n-i},$$

$$\gamma_j = 1 - \frac{j(j-1)}{\pi^2} + \frac{j(j-1)(j-2)(j-3)}{\pi^4} - \cdots$$

$$+ \begin{cases} (-1)^{j/2} 2(j!) \pi^{-j} & (j \text{ 为偶数}), \\ (-1)^{(j-1)/2} (j!) \pi^{-j} & (j \text{ 为奇数}). \end{cases}$$

例如 $n=3$ 时(三个大圆所确定的三角形),

$$E_3^*(F^2) = \pi^2 - 6, \quad E_3^*(L^2) = (5/2)\pi^2, \quad E_3^*(FL) = (3/2)\pi^2 - 6.$$

若这些三角形是由三个随机点而不是由随机大圆所产生, 则通过对偶原则, 得

$$E_3(F^2) = \pi^2/2, \quad E_3(L^2) = 3\pi^2 - 6, \quad E_3(LF) = E_3^*(LF).$$

这些以及类似的结果是 Miles[413]的.

(6) 随机多面凸锥. 若 E_n 里已给 N 个超平面, 它们中每 n 个有公共点, 而任何 $n+1$ 个没有公共点, 则空间被它们分割成

$$f(N, n) = \binom{N}{0} + \binom{N}{1} + \cdots + \binom{N}{n} \quad (14.48)$$

个区域.

若所给 N 个超平面都经过原点 O , 但“具有一般位置”, 则它们把空间分割成

$$C(N, n) = 2 \left[\binom{N-1}{0} + \binom{N-1}{1} + \cdots + \binom{N-1}{n-1} \right] \quad (18.49)$$

个多面凸锥. 在 E_n 里, 若一组 N 个向量中每 n 个线性无关, 它们就叫做“具有一般位置”; 若一组经过原点的 N 个超平面的法矢组具有一般位置, 则这一组超平面叫做具有一般位置.

公式(18.48)和(18.49)是Schläfli[597]的结果. 利用(18.49), Cover 与 Efron [126]得到了下面的结果:

(a) 设 W 为 N 条随机半线所张成的一个随机多面凸锥. 若 W 是一个正常锥(即 N 条半线都含在某个半空间里), 则 W 的 r 维面的个数的期望值是

$$E(R_r(W)) = 2^r \binom{N}{r} \frac{C(N-r, n-r)}{C(N, n)}, \quad (18.50)$$

而

$$\lim_{N \rightarrow \infty} E(R_r(W)) = 2^r \binom{n-1}{r}. \quad (18.51)$$

(b) 在 E_n 里, 设 W^* 是一个随机多面凸锥, 是 N 个经过原点的随机半空间的交集. 在 $W^* \neq \emptyset$ 的条件下, W^* 的 r 维面的期望值 $E(R_r(W^*))$ ($r = 1, 2, \dots, n-1$) 是

$$E(R_r(W^*)) = 2^{n-r} \binom{n}{n-r} \frac{C(N-n+r, r)}{C(N, n)}, \quad (18.52)$$

而

$$\lim_{N \rightarrow \infty} E(R_r(W^*)) = 2^{n-r} \binom{n-1}{n-r}. \quad (18.53)$$

若用 $n-1$ 维球面 U_{n-1} 去截: (a) 中的随机半线或 (b) 中的随机半空间, 由 (a) 和 (b) 中的定理就得到关于 U_{n-1} 上随机多边区域的期望值定理. 特殊地, 由定理 (a) 可知, 若在 U_{n-1} 上取 N 个随机点, 使它们都在某个半球面上, 则它们的凸包 (由 $n-2$ 维大球面构成) 的顶点平均数是

$$E(R_1(W)) = 2NC(N-1, n-1)/C(N, n),$$

因而

$$\lim_{N \rightarrow \infty} E(R_1(W)) = 2(n-1). \quad (18.54)$$

Cover 与 Efron [126] 指出: 在 E_3 里的幺球面上, 若取 N 个随机点, 使它们都在某个半球面上, 则当 N 增大时, 它们的凸包的顶点平均数并不无限地增加而趋于极限 4. 但在平面上, 这个极限却变成无穷大 (第二章, 第 5 节注记 3). 另一方面, 由 (18.54) 可知, 若在二维幺球面上随机地选取 N 个大圆, 则它们把球面分割成的区域的边数, 当 N 变成无穷大时, 有平均值 4 (从 (18.47) 最后公式也可以看出). 这和平面上随机直线所构成多边形的款一致 (4.50), 和双曲平面上随机直线所构成多边形的款也一致 [592].

第十九章 积分几何与叶层空间， 积分几何动向

1. 叶层空间

在以前各章，我们是从齐性空间角度来考虑积分几何的，这种空间的特征是它上面有一个可迁变换群 \mathcal{G} 。嵌入这种空间里的几何对象集合的测度是以它们在 \mathcal{G} 下不变为条件来确定的，而这样的条件使测度除一个常数因子外完全确定了。在曲率不等于常数的黎曼空间里，积分几何不能以这样的原则为基础，因为这种空间一般地既没有保持其度量不变的可迁群，也没有把短程线变为短程线的可迁群。这样，短程线集合的密度就不能用它在某个群下不变的性质来确定。

但是，可以从另一个角度出发来给出短程线集合和点集测度的定义，这种测度虽然在任何群下都不是不变的，却具有某些不变性质，因而具有几何意义。这种方法是以叶层空间理论为依据而为 Hermann[308]和 Vidal Abascal[696—699]所发展的。我们将扼要地说明这个方法，并把它应用于黎曼流形的积分几何。

设 X 为 $m+n$ 维可微流形。设 F 是切空间的一个 m 维线性子空间 F_x 所构成的场，即一个映射 $F: x \rightarrow F_x \subset T_x$, ($T_x = X$ 在 x 点的切空间)。假定 F 是完全可积的。这就是说，在每一点 $x \in X$ 邻近有坐标系 $(x_1, x_2, \dots, x_{n+m})$ ，在这个坐标系下，方程组 $x_{m+1} = \text{常数}, \dots, x_{m+n} = \text{常数}$ ，局部地代表 X 的一些可微子流形 L ，而 L 的切空间就是子空间 F_x 。这时， F 就叫做 X 上的一个叶层而诸子流形 L 就叫做这个 (m 维) 叶层的一叶。用 X/F 表示 X 上叶层的叶的集合。这个集合的整体研究一般是不容易的(参看 Palais

[466])。为着我们的目的，我们假定 X/F 是一个 n 维可微流形，而且存在着从 X 每一个开子集 U 到 X/F 内的一个映射 $\theta: U \rightarrow X/F$ ，它在叶上有常值，即对于属于一个叶的一切 $x \in U$ ， $\theta(x)$ 是 X/F 的同一点。

X 上的一个微分齐式 ω ，若具有以下两性质，就叫做叶层 F 的一个不变齐式：(a) 它在 X 的局部坐标变换下不变；(b) 它对于叶层的叶上位移不变。后一个性质的意义是： ω 成为 X/F 上的一个齐式，或者更具体些，对于每个映射 $\theta: U \rightarrow X/F$ ， X/F 上就有一个对应的微分齐式 ω_θ ，满足 $\theta^*(\omega_\theta) = \omega$ (参考第九章，第 3 节)。

已给叶层的每一个非零不变齐式 ω ，把 ω_θ 在 X/F 上积分，就得到叶的集合的一个测度。我们将把这些定义应用到 n 维黎曼流形的短程线的款。

2. 黎曼流形里的短程线集合

设 M 为 n 维黎曼流形，其基本二次齐式(在一个局部坐标系中)是

$$ds^2 = \sum_{i,j=1}^n g_{ij} dx_i dx_j. \tag{19.1}$$

令

$$\Gamma = \left(\sum_{i,j=1}^n g_{ij} \dot{x}_i \dot{x}_j \right)^{1/2},$$

$$p_i = \frac{\partial \Gamma}{\partial \dot{x}_i}, \quad i = 1, 2, \dots, n, \tag{19.2}$$

就有

$$\sum_{i=1}^n p_i \dot{x}_i = \Gamma, \quad \sum_{i,j=1}^n g^{ij} p_i p_j = 1, \tag{19.3}$$

其中 g^{ij} 是逆方阵 $(g_{ij})^{-1}$ 的元素，而 \dot{x}_i 是对于一个参数 t 的导

数。由于 g_{ij} 是一个共变张量而 \dot{x}_i 是一个切矢，由(19.2)可知 Γ 是纯量不变量，而(19.3)表明 p_i 是 M 的一个么余矢[量]。

取 M 的一切么余矢所构成的丛为流形 X 。 X 的一个局部坐标系是 $(x_1, \dots, x_n, p_1, \dots, p_n)$ ，其中坐标 p_i 满足(19.3)中第二条件。因此， X 是 $2n-1$ 维的。根据定义， M 的短程线是欧拉方程组

$$\frac{d}{dt} \left(\frac{\partial \Gamma}{\partial \dot{x}_i} \right) - \frac{\partial \Gamma}{\partial x_i} = 0, \quad i = 1, 2, \dots, n \quad (19.4)$$

的积分曲线。

这组二阶微分方程的任何积分曲线都决定于一点 (x_1, \dots, x_n) 和一个方向 (p_1, \dots, p_n) ；也就是，经过 X 的每一点有唯一的一条积分曲线。由此可见， M 的短程线确定 X 的一叶层 F_G 。短程线 G 是这个叶层的一叶，而由 $\dim G = 1$ 可知 $\dim X/F_G = 2n-2$ 。

取 X 的二次式

$$dG^1 = \sum_{i=1}^n dp_i \wedge dx_i. \quad (19.5)$$

我们要证明 dG^1 是叶层 F_G 的一个不变齐式。为此，需要证明下面两个不变性。

(1) 对于坐标变换的不变性。设 x'_1, \dots, x'_n 为另一坐标系，它为 $x_i = x_i(x'_1, \dots, x'_n)$ 所确定 ($i = 1, 2, \dots, n$)，其中函数 $x_i(x'_1, \dots, x'_n)$ 以及反函数 $x'_i(x_1, \dots, x_n)$ 都是可微函数，其雅可比行列式不等于零。由于 p_h 是一个余矢，可知

$$p'_h = \sum_{i=1}^n \frac{\partial x_i}{\partial x'_h} p_i, \quad (19.6)$$

$$dp'_h = \sum_{i=1}^n \frac{\partial x_i}{\partial x'_h} dp_i + \sum_{i,k=1}^n \frac{\partial^2 x_i}{\partial x'_h \partial x'_k} p_i dx'_k,$$

因而

$$\sum_{h=1}^n dp_h \wedge dx'_h = \sum_{h,i,j=1}^n \frac{\partial x_h}{\partial x'_j} \frac{\partial x_i}{\partial x'_h} dp_i \wedge dx'_j$$

$$+ \sum_{i, k, k=1}^n \frac{\partial^2 x_i}{\partial x'_k \partial x'_k} p_i dx'_k \wedge dx'_k. \quad (19.7)$$

利用关系 $dx'_k \wedge dx'_k = -dx'_k \wedge dx_k$ 和

$$\sum_{k=1}^n \frac{\partial x_k}{\partial x_j} \frac{\partial x_i}{\partial x'_k} = \frac{\partial x_i}{\partial x_j} = \delta_j^i,$$

就得

$$\sum_{i=1}^n dp'_i \wedge dx'_i = \sum_{i=1}^n dp_i \wedge dx_i, \quad (19.8)$$

而这就证明了第一个不变性。

(2) 对于叶上位移的不变性。我们必须证明： dG^1 在短程线的任意二维集上的积分，对于短程线上的位移是不变的。下面是 Firey 的证明。

设 S 为双参数短程线族。短程线方程可以写成 $x_i = x_i(\alpha, \beta, t)$ ($i = 1, 2, \dots, n$) 的形状，其中参数 α, β 确定族 S 中的具体短程线，而 t 是短程线上的参数。根据 (19.2), $p_i(\alpha, \beta, t) = \partial \Gamma(x_i(\alpha, \beta, t), \dot{x}_i(\alpha, \beta, t)) / \partial \dot{x}_i$ 。设 R 为族 S 中的短程线的 (α, β) 值所构成的集合。我们要证明，对于一切 R ,

$$\begin{aligned} m(S) &= \int_S dG^1 = \int_S \sum_{i=1}^n dp_i \wedge dx_i \\ &= \int_R \sum_{i=1}^n \frac{\partial(p_i, x_i)}{\partial(\alpha, \beta)} d\alpha \wedge d\beta. \end{aligned} \quad (19.9)$$

与 t 无关。

根据 Stokes 定理，

$$m(S) = - \int_{C_1} \sum_{i=1}^n p_i(\sigma, t) \frac{\partial x_i(\sigma, t)}{\partial \sigma} d\sigma, \quad (19.10)$$

其中 C_1 $\alpha = \alpha(\sigma), \beta = \beta(\sigma)$ 是 R 的边界，而且已经令

$$p_i(\sigma, t) = p_i(\alpha(\sigma), \beta(\sigma), t),$$

$$x_i(\sigma, t) = x_i(\alpha(\sigma), \beta(\sigma), t).$$

这样

$$\frac{dm(S)}{dt} = - \int_{\sigma} \sum_{i=1}^n \left(\frac{\partial p_i}{\partial t} \frac{\partial x_i}{\partial \sigma} + p_i \frac{\partial^2 x_i}{\partial \sigma \partial t} \right) d\sigma.$$

利用(19.2)和(19.4), 就得

$$\begin{aligned} \frac{dm(S)}{dt} &= - \int_{\sigma} \left(\sum_{i=1}^n \left(\frac{\partial \Gamma}{\partial x_i} \frac{\partial x_i}{\partial \sigma} + \frac{\partial \Gamma}{\partial \dot{x}_i} \frac{\partial \dot{x}_i}{\partial \sigma} \right) \right) d\sigma \\ &= - \int_{\sigma} d\Gamma = 0. \end{aligned} \quad (19.11)$$

由于这对于短程线的任意集合 S 都是正确的, dG^1 与 t 无关.

注意: 为了应用 Stokes 定理, 我们保留了 dG^1 的符号. 但若像在积分几何中通常的作法, 取绝对值 $|dG^1|$, 它对于 t 仍然无关. 为了证明这一点, 我们把 R 划分成 R^+ 和 R^- , 使得在 t , $\sum_i \partial(p_i, x_i)/\partial(\alpha, \beta)$ 在 R^+ 上 ≥ 0 而在 R^- 上则 < 0 , 并且假设这两个点集的边界都是由有限多条逐段光滑的简单闭曲线所构成. 于是

$$\int_R |dG^1| = \int_{R^+} dG^1 - \int_{R^-} dG^1.$$

后面两个测度都分别和 t 的选取无关, 因而左边的也是如此.

这样, 就证明了不变性 1 与 2. 由于 dG^1 是叶层 F_G 的不变式, 外积

$$dG^h = (dG^1)^h = \sum_{(i_1, \dots, i_h)} dp_{i_1} \wedge dx_{i_1} \wedge \dots \wedge dp_{i_h} \wedge dx_{i_h} \quad (19.12)$$

($h = 1, 2, \dots, n-1$)也都是不变式. 它们确定对于短程线的 $2h$ 维集合的测度. 我们将讨论最有兴趣的两款 $h = 1$ 和 $h = n-1$.

3. 短程线的二维集合的测度

设 M 为 $n (> 2)$ 维黎曼流形. 取它上面一个二维族的短程线, 并假定, 存在着一个横截曲面 B , 和族中每条短程线相交于唯一的一点. 这样的短程线集合叫做一个短程线汇. 若选取一个

直角坐标系, 使得 B 的方程(局部地)是 $x_3 = 0, x_4 = 0, \dots, x_n = 0$, 则

$$ds^2 = \sum_{i=1}^n g_{ii} dx_i^2, \quad p_i = g_{ii} \frac{dx_i}{ds}. \quad (19.13)$$

短程线 G 和 x_i 线所作的角 α_i 确定于 $\cos \alpha_i = (g_{ii})^{1/2} \left(\frac{dx_i}{ds} \right)$, 故

$$p_i = (g_{ii})^{1/2} \cos \alpha_i, \\ dp_i = -(g_{ii})^{1/2} \sin \alpha_i d\alpha_i + \sum_{h=1}^n \frac{\partial (g_{ii})^{1/2}}{\partial x_h} \cos \alpha_i dx_h. \quad (19.14)$$

根据第二个不变性, 可以用 G 和 B 的交点 $P(x_1, x_2, 0, \dots, 0)$ 来确定 G . 于是得

$$dG^1 = dp_1 \wedge dx_1 + dp_2 \wedge dx_2 \\ = -(g_{11})^{1/2} \sin \alpha_1 d\alpha_1 \wedge dx_1 - (g_{22})^{1/2} \sin \alpha_2 d\alpha_2 \wedge dx_2 \\ + \left(\frac{\partial (g_{22})^{1/2}}{\partial x_1} \cos \alpha_2 - \frac{\partial (g_{11})^{1/2}}{\partial x_2} \cos \alpha_1 \right) dx_1 \wedge dx_2. \quad (19.15)$$

我们考虑一个短程线束, 它和 B 的交点是一个域 R , 而 R 的边界 ∂R 是一条逐段光滑的闭曲线. 为了应用 Stokes 定理, 与通常取绝对值为密度的办法相反, 我们保留 dG^1 中的符号, 而把 dG^1 的积分作为短程线束的测度. 我们得

$$m_1(G) = \int_R dG^1 \\ = \int_{\partial R} (g_{11})^{1/2} \cos \alpha_1 dx_1 + (g_{22})^{1/2} \cos \alpha_2 dx_2. \quad (19.16)$$

若 ϕ 表示在 G 和 ∂R 的交点, G 同 ∂R 的切线所作的角, 则由于 G 的么切矢有分量 $(\cos \alpha_i)/(g_{ii})^{1/2}$, ∂R 的么切矢有分量 dx_i/ds ,

$$\cos \phi = (g_{11})^{1/2} \cos \alpha_1 \frac{dx_1}{ds} + (g_{22})^{1/2} \cos \alpha_2 \frac{dx_2}{ds}, \quad (19.17)$$

于是

$$m_1(G) = \int_R dG^1 = \int_{\partial R} \cos \phi ds. \quad (19.18)$$

E. Cartan[85]所发现的这个积分具有颇为有趣的性质。注意 $\cos \phi ds$ 是 ds 在相应短程线上的投影。因此,若取一切经过一个闭线上的点的短程线所构成的一个管状曲面,而 AEA' 是在该曲面上,这些短程线的正交轨线,则 $m_1(G)$ 等于弧 AA' (图19.1)。

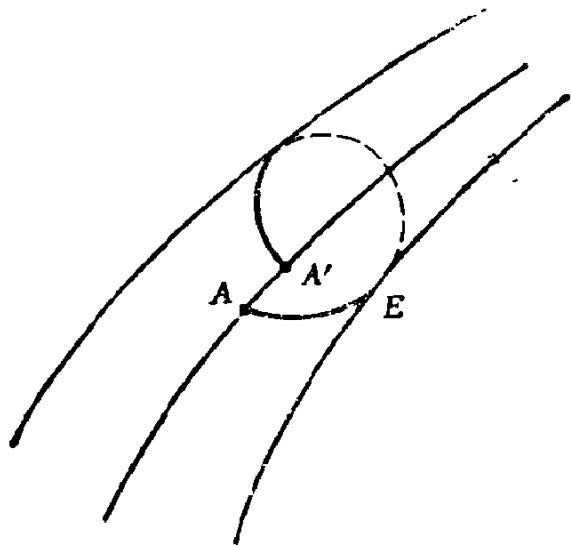


图 19.1

考虑 $n=3$ 的款。这时,若短程线汇中的短程线都和一个曲面 B 正交,则它就叫一个法汇。对于法汇, $A = A'$ 而 $m_1(G) = 0$ 。倒转来,对于已给线汇的任意一束短程线都有 $m_1(G) = 0$, 则从一点 A 出发的一切正交轨线就产生一个曲面 B , 汇中的短程线都和 B (在 A 邻近) 正交。因此,该线汇是法汇,即: 一个三维黎曼空间的一个短程线汇为法汇的一个充要条件是,对于它里面每一束短程线, $m_1(G) = 0$, 这也就是说, $dG^1 = 0$ 。

测度 $m_1(G)$ 的另一个性质是它经过对一个曲面的折射后的变化。若一条短程线在经过一个曲面 B 时是按照物理学中的折射定律 $\sin i = n \sin i'$ 变化的 (其中 n 是折射指数, 图19.2), 由于 $i = \pi/2 - \phi$, $i' = \pi/2 - \phi'$, 就有 $\cos \phi = n \cos \phi'$, 因而 $m_1(G) = n m_1(G')$, 其中 G' 表示折射后的短程线。于是, 当一个短程线汇经过一个

折射指数为 n 的介质时，测度 $m_1(G)$ 变成 $nm_1(G')$ 。特殊地，法线经过折射仍为法线。

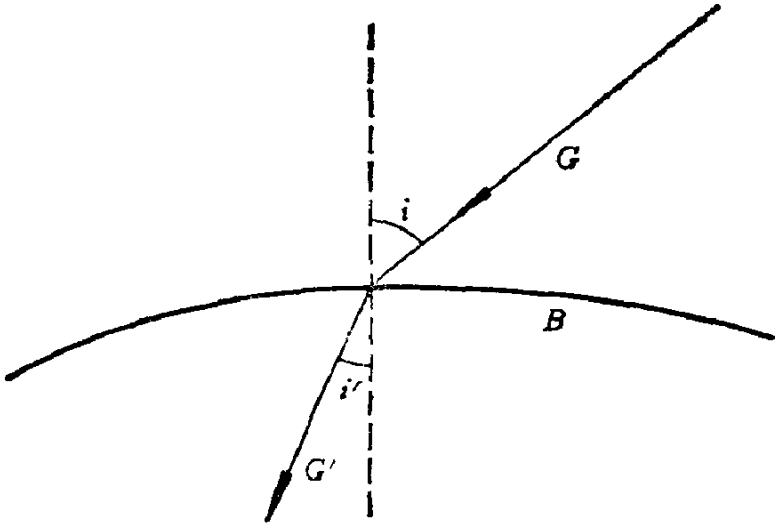


图 19.2

E_3 中直线的款。若黎曼流形 M 是欧氏空间 E_3 ，则短程线是直线，而密度 dG^1 和密度 dG^* (12.72) 一致。事实上，若横截曲面 B 是一个平面 E ，则

$$ds^2 = dx^2 + dy^2, \quad g_{11} = g_{22} = 1,$$

而(19.15)化为

$$dG^1 = -\sin\alpha_1 da_1 \wedge dx - \sin\alpha_2 da_2 \wedge dy.$$

显然这里所得到的关于短程线汇的性质对于 E_3 里(直)线汇都是正确的。特殊地， $dG^* = 0$ 是一个线汇成为对于一个曲面的法汇的充要条件。

4. 短程线的 $2n-2$ 维集合的测度

依赖于 $2h$ 个参数的短程线集合可以通过密度 dG^h (19.12) 来求其测度。我们已经讨论了 $h=1$ 的款，现在要讨论 $h=n-1$ 的款。关于当中 $h=2,3,\dots,n-2$ 诸款，人们了解甚少。

$h=n-1$ 时，所考虑的密度是

$$dG^{n-1} = \sum_{i=1}^n dp_i \wedge dx_1 \wedge \cdots \wedge dp_{i-1} \wedge dx_{i-1} \\ \wedge dp_{i+1} \wedge dx_{i+1} \wedge \cdots \wedge dp_n \wedge dx_n. \quad (19.19)$$

为了得到这个密度的一种几何意义，取一个和所给 $2n-2$ 维集合中每一条短程线都相交的超曲面 S_{n-1} 。设 G 为集合中一条短程线而 P 为 G 和 S_{n-1} 的交点。在 P 的一个邻域里，可以假定 S_{n-1} 用方程 $x_n = 0$ 确定，而且坐标系是正交系，这样，方程(19.13)和(19.14)都适用。为了确定 G ，可以选取 P ，使 $x_n = 0$ ， $dx_n = 0$ ，于是(19.19)化为

$$dG^{n-1} = dp_1 \wedge dx_1 \wedge \cdots \wedge dp_{n-1} \wedge dx_{n-1}, \quad (19.20)$$

或者，根据(19.14)，除了符号外，

$$dG^{n-1} = (g_{11} \cdots g_{n-1, n-1})^{1/2} \sin \alpha_1 \cdots \sin \alpha_{n-1} dx_1 \wedge \cdots \\ \wedge dx_{n-1} \wedge da_1 \wedge \cdots \wedge da_{n-1}. \quad (19.21)$$

若 $d\sigma$ 表示 S_{n-1} 上的 $n-1$ 维面元，则

$$d\sigma = (g_{11} \cdots g_{n-1, n-1})^{1/2} dx_1 \wedge \cdots \wedge dx_{n-1},$$

而在以 P 为中心的 $n-1$ 维么球面上，对应于 G 在 P 的切线方向的面元则是

$$du_{n-1} = \frac{\sin \alpha_1 \cdots \sin \alpha_{n-1}}{\cos \alpha_n} da_1 \wedge \cdots \wedge da_{n-1}.$$

因此，(19.21)可以写成(取绝对值)

$$dG^{n-1} = |\cos \alpha_n| d\sigma \wedge du_{n-1}, \quad (19.22)$$

其中 α_n 是短程线和 S_{n-1} 在交点 P 的法线之间的角。

这个表达式(19.22)直接给出一个很普遍的积分公式。设 $f(\sigma, a_n)$ 为在 S_{n-1} 上确定的可积函数，它依赖于点 $P(\sigma)$ 和在 P 的方向 a_n 。用 f 乘(19.22)两边，然后在 S_{n-1} 上和 $n-1$ 维么半球面上(考虑无向短程线)取积分，则在左边，对每条短程线 G ， dG^{n-1} 是总和 $\sum f(\sigma_i, a_{n,i})$ 的公因子，其中 $f(\sigma_i, a_{n,i})$ 是 $f(\sigma, a_n)$ 在 G 和 S_{n-1} 的 N 个交点的值。于是

$$\int \sum_{i=1}^N f(\sigma_i, a_{n,i}) dG^{n-1} \\ = \int_{S_{n-1}} \int_{U_{n-1/2}} f(\sigma, a_n) |\cos a_n| d\sigma \wedge du_{n-1}. \quad (19.23)$$

例如若 $f = 1$, 则 $|\cos a_n| du_{n-1}$ 的积分是 $n-1$ 维么球面在一个直径面上的投影的一半, 因而

$$\int N dG^{n-1} = [O_{n-2}/(n-1)]F, \quad (19.24)$$

其中 N 是 G 和 S_{n-1} 的交点数, 而 F 是 S_{n-1} 的面积.

5. 短程线段集合

设 t 表示短程线 G 上的弧长. 由 (19.22) 得

$$dG^{n-1} \wedge dt = |\cos a_n| d\sigma \wedge du_{n-1} \wedge dt. \quad (19.25)$$

乘积 $|\cos a_n| dt$ 等于弧元 dt 到超曲面 S_{n-1} 在 P 的法线上的投影. 因此 $|\cos a_n| dt \wedge dP$ 代表所给黎曼流形在 P 的体元 dP . 于是 (19.25) 可以写成

$$dG^{n-1} \wedge dt = dP \wedge du_{n-1}. \quad (19.26)$$

一段有向短程线 S 可以用 G 与 t 确定 (其中 G 是含 S 在内的短程线, t 是 S 的原点在 G 上的坐标), 也可以用 P, u_{n-1} 确定 (其中 P 是线段 S 的原点, u_{n-1} 是 $n-1$ 维么球面上对应于 S 的方向的点). (19.26) 中两个等价齐式中的任意一个都可以作为短程线段的密度. 例如让我们考虑一个固定域 D 以及原点在 D 内的“有向”短程线 S^* 的集合的测度. (19.26) 左边的积分是 $2\lambda dG^{n-1}$, 其中 λ 表示 G 在 D 内那段弧长 (因子 2 出现是因为 dG^{n-1} 是无向短程线的密度). (19.26) 右边的积分等于 $O_{n-1}V$, 其中 V 是 D 的体积. 于是得积分公式

$$\int_{D \cap S^*} \lambda dG = \frac{1}{2} O_{n-1} V, \quad (19.27)$$

这把(17.44)推广到黎曼流形。其他应用见[567]。

6. 复空间积分几何

复空间积分几何的研究尚未充分，可能值得进一步探索。我们将扼要地论述其中的诸密度以及关于 n 维复射影空间 $P_n(C)$ 和作用在它上面的酉群 U 的一些公式。

设 z_i ($i = 0, 1, \dots, n$) 为一点 $z \in P_n(C)$ 的齐次坐标，因而 $z = (z_0, \dots, z_n)$ 和 $\lambda z = (\lambda z_0, \dots, \lambda z_n)$ 确定同一点 ($\lambda \neq 0$)。设 \bar{z}_i 表示 z_i 的共轭复数。我们引进 Hermite 内积

$$(z, \bar{z}) = \sum_{i=0}^n z_i \bar{z}_i \tag{19.28}$$

并假定把齐次坐标 z_i 标准化，使得

$$(z, \bar{z}) = \sum_{i=0}^n z_i \bar{z}_i = 1. \tag{19.29}$$

这个条件把坐标 z_i 确定到一个具有形状 $\exp(ia)$ ($i = \sqrt{-1}$, a 为实数) 的因子。考虑一切令 (19.29) 不变的线性变换 $z' = Az$ 所构成的群 $U(n+1)$ ，它叫做酉群。这样， $(n+1) \times (n+1)$ 复方阵 A 满足

$$A \bar{A}^t = E, \quad A^{-1} = \bar{A}^t, \quad \bar{A}^t A = E, \tag{19.30}$$

其中 E 是 $(n+1) \times (n+1)$ 么方阵。这些关系表明， $U(n+1)$ 依赖于 $(n+1)^2$ 个实参数。由于 z 和 $z \exp(ia)$ 表示同一点， A 和 $A \exp(ia)$ 确定同一个线性变换 $z' = Az$ ，因此，可以把 A 标准化，使 $\det A$ 成为实数，而由方程 (19.30)，就得 $\det A = 1$ 。

如果 $\mathfrak{U} \subset U(n+1)$ 表示方阵 $\exp(ia)E$ 所构成的群，则商群 $U(n+1)/\mathfrak{U}$ 叫做 Hermite 椭圆群 $\mathfrak{H}(n+1)$ ，它在 $P_n(C)$ 里确定所谓的 Hermite 椭圆几何 (见[89])。 $\mathfrak{H}(n+1)$ 的元素 A 满足 (19.30)，因而 $\det A = 1$ ，故 $\mathfrak{H}(n+1)$ 的维数是 $n(n+2)$ 。容易证明 $U(n+1)$ 和 $\mathfrak{H}(n+1)$ 都是紧致群。

$\mathfrak{u}(n+1)$ 的 Maurer-Cartan 齐式用方阵

$$\Omega = A^{-1}dA = \bar{A}^t dA \quad (\text{因而 } \Omega + \bar{\Omega}^t = 0) \quad (19.31)$$

确定。因此，一组 Maurer-Cartan 式是

$$\omega_{jk} = \sum_{h=0}^n \bar{a}_{hj} da_{hk} = (\bar{a}_j, da_k), \quad (19.32)$$

$$\omega_{jk} + \bar{\omega}_{kj} = 0,$$

其中 a_{hk} 是方阵 A 的元素。

$\mathfrak{u}(n+1)$ 的运动密度等于一切独立的 $\omega_{jk}, \bar{\omega}_{jk}$ 的外积，即除一个常数因子外，

$$d\mathfrak{u} = \bigwedge (\omega_{jk} \wedge \bar{\omega}_{jk}) \wedge \omega_{hh} \quad j < k, \quad 0 \leq j, k, h \leq n. \quad (19.33)$$

由于 $\mathfrak{u}(n+1)$ 是紧致的，因而是么模群，这个密度是左右不变式（第九章，第 7 节）。结构方程是

$$d\omega_{jk} = - \sum_{i=0}^n \omega_{ji} \wedge \omega_{ik}. \quad (19.34)$$

$\mathfrak{so}(n+1)$ 有相同的不变式 (19.32) 和相同的结构方程 (19.34)。唯一的区别是：对于 $\mathfrak{so}(n+1)$ ，关系 $\omega_{00} + \omega_{11} + \dots + \omega_{nn} = 0$ 成立，这是对关系 $\det A = 1$ 微导就可以得到的。因此， $\mathfrak{so}(n+1)$ 的运动密度是去掉一个 ω_{ii} 以后的一切 ω_{ij} 的外积。若令 ω^{ii} 为从 (19.33) 去掉 ω_{ii} 以后所得的外积，就可以把 $d\mathfrak{so}(n+1)$ 写成对称式 [47]

$$d\mathfrak{so}(n+1) = \omega^{00} + \omega^{11} + \dots + \omega^{nn}. \quad (19.35)$$

线性子空间和正规链的密度。我们要对于 $P_n(C)$ 里的线性子空间和正规链给出在 $\mathfrak{so}(n+1)$ 下的不变密度。除一个常数因子外，它们和在 $\mathfrak{u}(n+1)$ 下的不变密度相同。

设 L_r^0 为 $P_n(C)$ 的一个固定的 r 维平面，而 \mathfrak{h}_r 表示令 L_r^0 不变的 $\mathfrak{so}(n+1)$ 的子群。 r 维平面的不变密度是齐性空间 $\mathfrak{so}(n+1)/\mathfrak{h}_r$

的不变体元。由于 \mathfrak{h}_r 是紧致群 $\mathfrak{S}(n+1)$ 的闭子群，它也是紧致的，因而 $\mathfrak{S}(n+1)/\mathfrak{h}_r$ 有不变体元。为了求它，我们沿用第10章的一般方法。设 a_k ($k=0, 1, \dots, n$) 是以方阵 A 的第 k 列元素为坐标的点。由条件(19.30)可知 $(a_j, \bar{a}_k) = \delta_{jk}$ ，而由(19.32)就得 $da_k = \sum_0^n \omega_{jk} a_j$ 。假定 L_r^0 为 a_0, a_1, \dots, a_r 诸点所确定，则 $0 \leq k \leq r$ ， $r+1 \leq j \leq n$ 时， $\omega_{jk} = 0$ 。由于 ω_{jk} 是复齐式，由 $\omega_{jk} = 0$ 得 $\bar{\omega}_{jk} = 0$ ；于是在 $\mathfrak{S}(n+1)$ 下 r 维平面的不变密度是

$$dL_r = \bigwedge (\omega_{jk} \wedge \bar{\omega}_{jk}) \quad (0 \leq k \leq r, r+1 \leq j \leq n), \quad (19.36)$$

而这个密度除一个常数因子外是完全确定的。注意 dL_r 是一个 $2(r+1)(n-r)$ 次微分齐式，而这是可以预料的，因为 $P_n(C)$ 的 r 维平面依赖于 $2(r+1)(n-r)$ 个实参数。

$r=0$ 时，所得的是点密度，即 $P_n(C)$ 对于 Hermite (椭圆) 几何的体元，它和从所谓 Hermite 度量

$$ds^2 = (dz, d\bar{z}) - (z, d\bar{z})(\bar{z}, dz) \quad (19.37)$$

推得的体元一致，在(19.37)里， z 是按照(19.29)标准化了的。为了证实这一点，我们把(19.37)应用于点 a_0 ，就得

$$ds^2 = (da_0, d\bar{a}_0) - (a_0, d\bar{a}_0)(\bar{a}_0, da_0) = \sum_1^n \omega_{j0} \bar{\omega}_{j0},$$

而体元是 $\bigwedge \omega_{j0} \wedge \bar{\omega}_{j0}$ ($j=1, 2, \dots, n$)，和 dL_0 一致。

在复空间 $P_n(C)$ 里，除线性子空间外，还有所谓的正规链。一个 n 维正规链 K_n 是一个点集，它的点可以具有参数表达式

$$z = \sum_{i=0}^n \lambda_i a_i, \quad (19.38)$$

其中 λ_i 为满足 $\sum_0^n \lambda_i^2 = 1$ 的实参数。一个正规链依赖于 $(n+1)(n+2)/2$ 个实参数。为了求正规链的密度，令 $\omega_{rs} = a_{rs} + i\beta_{rs}$ ，其中 a_{rs} ， β_{rs} 是实齐式，根据(19.32)，它们满足关系 $a_{rs} + a_{sr} = 0$ ， $\beta_{rs} -$

$\beta_{s,r} = 0$ 。我们有

$$\begin{aligned} dz &= \sum_{h=0}^n \lambda_h da_h \\ &= \sum_{h=0}^n \lambda_h a_{jh} a_j + i \sum_{j,h=0}^n \lambda_h \beta_{jh} a_j, \end{aligned} \tag{19.39}$$

因此，若 K_n 固定，则 $j, h = 0, 1, \dots, n$ 时， $\beta_{jh} = 0$ 。于是在 $\mathfrak{S}(n+1)$ 下，正规链的密度是去掉一个 β_{ii} 以后，一切 β_{jh} 的外积（因为由关系 $\omega_{00} + \dots + \omega_{nn} = 0$ 可知 $\beta_{11} + \dots + \beta_{nn} = 0$ ）。用 $\beta^{(i)}$ 表示去掉 β_{ii} 以后一切 β_{jh} 的外积，则正规链的密度化为 [47]

$$dK_n = \beta^{11} + \beta^{22} + \dots + \beta^{nn}. \tag{19.40}$$

正规链 K_r ($r < n$) 的密度等于 K_r 作为子空间 L_r 内的正规链密度和 L_r 的密度 dL_r 的外积。

积分公式。我们将叙述 Hermite 空间积分几何的若干结果而略去证明（细节见 Santaló [564]）。 $\mathfrak{U}(n+1)$ 和 $\mathfrak{S}(n+1)$ 两个群都具有有限体积；根据 (19.33) 和 (19.35)，它们的体积依次是

$$m(\mathfrak{U}(n+1)) = i^{(n+1)(n+2)/2} \prod_{h=1}^{n+1} \frac{(2\pi i)^h}{(h-1)!} \tag{19.41}$$

和

$$m(\mathfrak{S}(n+1)) = i^{n(n+3)/2} \prod_{h=2}^{n+1} \frac{(2\pi i)^h}{(h-1)!}, \tag{19.42}$$

其中添上了 i 的相应的幂作为因子，以便得到实值的测度。

n 维 Hermite 空间的一切 r 维平面的测度也是有限的，它的值是

$$m(L_r) = \frac{(2\pi)^{(n-r)(r+1)/2} 1! 2! \dots r!}{n! (n-1)! \dots (n-r)!}. \tag{19.43}$$

令 $r = 0$ ，就得 n 维 Hermite (椭圆) 空间的体积

$$m(L_0) = \frac{(2\pi)^n}{n!}. \tag{19.44}$$

设 C_h 是 $P_n(C)$ 里复 h 维的一个解析流形, 这样的流形可以分段地用一组 $n+1$ 个含 h 个复变数 t_1, \dots, t_h 的解析函数 $z_i = z_i(t_1, \dots, t_h)$ ($i=0, 1, \dots, n$) 来确定, 其中 (t_1, \dots, t_h) 属于一个域 D . 假定 z_i 是按 (19.29) 标准化了的, 我们考虑 $2h$ 次微分齐式

$$\Omega_h = \sum_{(i_1, \dots, i_h)} dz_{i_1} \wedge d\bar{z}_{i_1} \wedge \dots \wedge dz_{i_h} \wedge d\bar{z}_{i_h}, \quad (19.45)$$

其中总和的范围是一切组合 $i_1, i_2, \dots, i_h = 0, 1, \dots, n$. 这个齐式在 $U(n+1)$ 下是不变式 (它实际上是在 $U(n+1)$ 下唯一的 $2h$ 次不变齐式; 见 [86]), 而 Ω_h 在一个复 h 维平面上的积分是

$$\int_{C_h} \Omega_h = \frac{(2\pi i)^h}{h!}. \quad (19.46)$$

对于一个复 h 维解析流形 C_h , 令

$$J_h(C_h) = \frac{h!}{(2\pi i)^h} \int_{C_h} \Omega_h; \quad (19.47)$$

若 C_h 为代数流形, $J_h(C_h)$ 等于 C_h 的阶.

假定 C_h 固定而 L_r 是作运动的 r 维平面, 其密度是 dL_r . 这时有积分公式 (假定 $h+r-n \geq 0$)

$$\int_{C_h \cap L_r \neq \emptyset} J_{h+r-n}(C_h \cap L_r) dL_r = m(L_r) J_h(C_h), \quad (19.48)$$

其中 $m(L_r)$ 的值见 (19.43). 特殊地, 若 $h+r-n=0$, $J_0(C_h \cap L_r)$ 表示 C_h 和 L_r 的交点数.

对于代数 (紧致) 流形, $J_0(C_h \cap L_{n-r})$ 是常数, 等于流形的阶 $J_h(C_h)$. 对于非紧致流形, 则 $J_h(C_h)$ 和一个一般 $n-h$ 维平面同 C_h 的交点数 (每个交点按其重数计算) 之差, 可以用一个在 C_h 边界上的积分表达 [364, 109].

若 C_r 是另一个 r 维解析流形, $r+h-n \geq 0$, 而 uC_r 表示 C_r 在 $u \in U(n+1)$ 下的象, 则

$$\int_{U(n+1)} J_{r+h-n}(C_h \cap uC_r) dU(n+1) \\ = m(U(n+1)) J_h(C_h) J_r(C_r). \quad (19.49)$$

同样的公式对于 $\mathcal{S}(n+1)$ 也是正确的, 只须用 $m(\mathcal{S}(n+1))$ 代替 $m(U(n+1))$. (19.48) 和 (19.49) 的证明见 [564]. 运用流技巧, Schiffman [596] 给出了一个推广和另一种证法.

公式 (19.48) 和 (19.49) 涉及不变量 (19.47). 若考虑 Hermite 度量 (19.37) 所导出的 C_h 的体积来代替 $J_h(C_h)$, 所得公式不那么简单. 由那些公式可以推得一些有趣的不等式, 这些不等式和 Wirtinger [728] 所得到的那些有关, 而后者则尚未全部求出. 对于 $n=2$, 参考 Rohde [516] 和 Varga [688] (还可以参考 De Rahm [145]).

关于代数流形, $J_{r+h-n}(C_h \cap uC_r)$ 与 u 无关, 而 (19.49) 是 Bezout 定理. 对于非紧致流形, (19.49) 可以看作一个平均 Bezout 定理. 把 Bezout 定理推广到非紧致流形的想法导致了重复的结果. 令 $C_h(\rho) = C_h \cap S(\rho)$, 其中 $S(\rho) = \{z; |z| \leq \rho\}$, 并令

$$N(C_h, \rho) = \int_0^\rho J_h(C_h(t)) (dt/t).$$

Bezout 问题就是通过 $\rho, N(C_h, \rho)$ 和 $N(C_r, \rho)$ 来估计 $N(C_h \cap C_r, \rho)$. 参看 Carlson [82], Stoll [655, 656], Griffiths [239], 以及 Carlson 与 Griffiths [83], 在其中的若干处, 积分几何起了重要作用.

Chern [110] 把积分几何应用于一个复射影空间的子流形几何 (还可以参考 Pohl [482]). 关于在多复变数的复解析映射上的应用见 [114].

全纯曲线. 复积分几何已经成功地应用于复射影空间的亚纯曲线和全纯曲线理论, 这些应用见于 H. Weyl [717], H. Weyl 与 J. Weyl [718] 和 L. Ahlfors [1]. 考虑在复射影空间 $P_n(C)$ 里一条半纯曲线 $C_1: y = y(t)$, 它用 $n+1$ 个 t 的全纯函数 $y^i = y^i(t)$ ($i =$

$0, 1, \dots, n$) 确定, 其中 t 是复变数, 在一个已给黎曼面上变动. 和 C_1 相联系, 我们可以取 C_1 的 $r-1$ 维密切线性空间所产生的流形 C_r ($r=1, 2, \dots, n$). 设 Y_r ($r=0, 1, \dots, n$) 表示多重矢 $y \wedge y' \wedge y'' \wedge \dots \wedge y^{(r-1)}$, 这个多重矢的分量是 $r \times (n+1)$ 矩阵 $(y^{k(i)})$ 的 r 阶行列式, 其中 i 表示导数 ($i=0, 1, \dots, r$) 而 $k=0, 1, \dots, n$. 这样, 不变式 $J_r(C_r)$ 可以写成

$$J_r(C_r) = \frac{1}{2\pi i} \int_{C_r} \frac{|Y_{r-1}|^2 |Y_{r+1}|^2}{|Y_r|^4} dt \wedge d\bar{t}, \quad (19.50)$$

其中 $|Y|^2$ 表示数积 $Y \cdot \bar{Y}$. 例如 $r=1$ 时,

$$J_1(C_1) = \frac{1}{2\pi i} \int_{C_1} \frac{|y \wedge y'|^2}{|y|^4} dt \wedge d\bar{t}, \quad (19.51)$$

其中 $y \wedge y'$ 表示具有分量 $y^i y'^j - y^j y'^i$ 的二重矢.

对于一条平面代数曲线 C_1 : $y^0 = y^0(t), y^1 = y^1(t), y^2 = y^2(t)$, 除符号外, $J_2(C_1)$ 是 C_1 的级

$$J_2(C_1) = \frac{1}{2\pi i} \int_{C_1} \frac{|y|^2 |yy'y''|^2}{|y \wedge y'|^2} dt \wedge d\bar{t}, \quad (19.52)$$

其中 $|yy'y''|$ 表示以 y, y', y'' 为元素的行列式的绝对值.

关于代数曲线的经典 Plücker 公式 是不变量 J_h 之间的线性关系, 即 $s + J_{r-1} - 2J_r + J_{r+1} = -\chi$, 其中 s 是所谓平稳指数 (依赖于 C_1 的临界点) 而 χ 是 C_1 的参数 t 的值所在的黎曼面的欧拉-庞加莱示性数. 积分公式 (19.48) 和 (19.49) 给出 “类” 的一项几何意义, 显示了它和密切 h 维平面的轨迹同随机 $n-h$ 维平面或随机 $n-h$ 维解析流形的平均交点数的关系. 关于亚纯曲线, 参看早期工作 Weyl [717] 和 Ahlfors [1] 以及较近的结果 Hung-Hsi Wu [730], Chern [115] 和 Griffiths [240].

7. 辛积分几何

设 $Z = (z_{hk})$ 为具有复元素的 $n \times n$ 对称方阵, 而 $\bar{Z} = (\bar{z}_{hk})$ 表

示 Z 的复共轭方阵. 令 $Z = X + iY$, 其中 $X = \frac{1}{2}(Z + \bar{Z})$, $Y = (1/2i)(Z - \bar{Z})$, 并令 H 为不等式 $Y > 0$ 所确定的域. H 的实维数是 $n(n+1)$. 若 A, B, C, D 为 $n \times n$ 实方阵, 而 $2n \times 2n$ 实方阵

$$M = \begin{pmatrix} A & B \\ C & D \end{pmatrix} \tag{19.53}$$

满足关系

$$M^t J M = J, \quad J = \begin{pmatrix} 0 & E \\ -E & 0 \end{pmatrix}, \tag{19.54}$$

其中 E 是 $n \times n$ 么方阵而 0 表示零方阵, 则一切方阵 M 所构成的群 \mathfrak{S}_0 叫做齐次辛群. 由于 $M^t J M$ 是反称方阵, \mathfrak{S}_0 的维数是 $2n^2 + n$.

容易证明变换

$$Z' = (AZ + B)(CZ + D)^{-1} \tag{19.55}$$

把域 H 变为自己. 它们构成辛群 \mathfrak{S} , 它可迁地作用于 H 上, 而且可以从 \mathfrak{S}_0 把 M 同 $-M$ 粘合得到. 辛群 \mathfrak{S} 在 H 上确定所谓的辛几何. 二次微分齐式

$$\begin{aligned} ds^2 &= \text{Tr} Y^{-1} dZ Y^{-1} d\bar{Z} \\ &= \text{Tr} (Y^{-1} dX Y^{-1} dX + Y^{-1} dY Y^{-1} dY) \end{aligned} \tag{19.56}$$

在 \mathfrak{S} 下不变, 它在 H 上确定一个黎曼度量. 这个度量所确定的体元是辛几何中的点密度. 除一个常数因子外, 这个密度可以写成

$$dP = [\text{Tr} (Y^{-1} dZ \wedge Y^{-1} d\bar{Z})]^{n(n+1)/2}, \tag{19.57}$$

其中的幂应当理解为外积.

联系到短程线, 可以证明, 辛度量(19.56)在 H 任意两点之间正好确定唯一的一条联接它们的短程线, 而且一切短程线都是 $Z = i \exp(sG)$ 所代表的曲线的辛象(即辛群下的象曲线), 其中 s 是弧长而 G 是对角方阵 $(\delta_{jk} g_k)$ 而 $0 < g_1 \leq g_2 \leq \dots \leq g_n$ 是满足 $\sum g_i^2 = 1$ 的任意常数. 这就证明了, H 的一切短程线划分为 $n-1$ 维的辛等价类, 其中每一类确定于满足 $\sum g_i^2 = 1$ 的实数 $(g_1, g_2, \dots,$

g_n)。每一类的短程线以及经过一个定点的短程线都各有其密度。Legrady[358]研究了这些密度，并把它们应用于同一个固定超曲面相交的短程线集合的一种Crofton公式。

辛积分几何似很值得深入研究。关于辛几何中的必要概念，可以参考Siegel的基本论文[610]。

8. Gelfand 积分几何

Gelfand, Helgason和其他作者曾用积分几何这个名词来代表与本书意义不同的几何。他们考虑了下面的一般性问题。

设 X 为一个微分流形，在其中已经给定了一些子流形 $M(u) = M(u_1, \dots, u_k)$ ，它们解析地依赖于参数 u_1, \dots, u_k 。对于 X 上的一个已给函数 $f(x)$ ，取每个 $M(u)$ 上的积分

$$\hat{f}(u) = \int_{M(u)} f(x) d\sigma(u), \quad (19.58)$$

其中 $d\sigma$ 是 $M(u)$ 上一个适当的微分齐式。这样，就得到在子流形集上确定的一个新函数 \hat{f} 。问题是把“Radon变换” $f \rightarrow \hat{f}$ 逆转，即由 $\hat{f}(u)$ 确定 $f(x)$ 。1966年以前关于这个问题的结果，在Gelfand, Graev与Vilenkin的书[224]有系统的阐述。

经典的款是： X 在 R^n 内而流形 $M(u)$ 则是 R^n 中的超平面。当 $n=2$ 和 $n=3$ 时，这个问题1917年为Radon[493]所解决，而John[324]则把结果推广到任意 n 。

John的结果可以叙述如下。对于超平面 $(u, x) = u_1 x_1 + \dots + u_n x_n = p$ ，其中 u 为么矢， p 为实数，我们取微分齐式

$$d\sigma = (-1)^{k-1} u_k^{-1} dx_1 \wedge \dots \wedge dx_{k-1} \wedge dx_{k+1} \wedge \dots \wedge dx_n$$

(超平面上的有向面元)，它与 k 无关。这样，对于无穷次可微而急减(即迅速递减)的任意函数 $f(x)$ (这个条件可以减弱)，考虑Radon变换

$$\hat{f}(u, p) = \int_{(u, x) = p} f(x) d\sigma, \quad (19.59)$$

用 $\hat{f}(u, p)$ 来表达 $f(x)$ 的公式与空间维数是奇是偶有关。若 n 为奇数, Radon变换的逆是

$$f(x) = \frac{(-1)^{(n-1)/2}}{2(2\pi)^{n-1}} \int_{\Sigma} \hat{f}_p^{(n-1)}(u, (u, x)) d\sigma_1, \quad (19.60)$$

其中

$$d\sigma_1 = \sum_1^1 (-1)^{k-1} u_k du_1 \wedge \cdots \wedge du_{k-1} \wedge du_{k+1} \wedge \cdots \wedge du_n$$

为么球 S^{n-1} 上的面元, 而 $\hat{f}_p^{(n-1)}$ 表示 $\hat{f}(u, p)$ 对于 p 的 $n-1$ 阶导函数。积分范围是把 u 空间的原点包在里面的任意超曲面 Σ 。

若 n 为偶数, Radon变换的逆是

$$f(x) = \frac{(-1)^{n/2}(n-1)!}{(2\pi)^n} \int_{\Sigma} \left(\int_{-\infty}^{\infty} \hat{f}(u, p) [p - (ux)]^{-n} dp \right) d\sigma_1, \quad (19.61)$$

其中对 x 的积分是用其正则化式表达的。细节见[224], 那里面列有某些函数的Radon变换表。

若 f 是一个空间上的函数, 如何通过关于 f 在空间的某些子集上积分的了解来确定该函数本身, 这个问题是Funk[210]首先提出的。他证明了, 二维球面上一个对称于中心的函数 f 可以通过 f 在球面大圆的积分来确定(关于其对凸体的应用, 见[50, 第154页])。Radon[493]探讨了在非欧单面上, 从一个函数在各短程线上的积分求平面上的该函数的问题。与此有关的结果, 见Blaschke[39]和J. W. Green[235]。

Helgason[297]把Radon的和John的公式(19.60), (19.61)推广到双曲空间; 对于每一个具有界支集^①的函数 $f(x)$, 他取该函数在一切可能超曲面(短程流形)上的积分。Gelfand, Graev与

① Support.——译者

Vilenkin[224]从另一角度来处理同一个问题，他们对于每个那样的函数，取它在极限球面上的积分；由于双曲空间的极限球面上的内蕴几何是欧氏几何，它们形成同欧氏空间超平面可以类比的一种图形。Gelfand与Graev[222]把上述结果推广到具有一个复等距群的非紧致对称空间，而Helgason则把Radon公式推广到一切非紧致对称空间。

Helgason[300,301]指出，如果把(19.59)考虑在内，公式(19.60)包含两个互相对偶的积分：先在一个经过 x 的已给超平面上积分，然后再对这个积分在经过 x 的超平面集合上积分。在这个对偶性指引下，Helgason采取了下面非常一般性步骤。

设 G 为一个局部紧致拓扑群。设 H_X, H_E 为 G 的两个闭子群，并考虑左旁系 $X = G/H_X, E = G/H_E$ 。假定：(a) $G, H_X, H_E, H_X \cap H_E$ 都是么模群；(b) 若 $h_X \in H_X, h_X H_E \subset H_E H_X$ ，则 $h_X \in H_E$ ；若 $h_E \in H_E, h_E H_X \subset H_X H_E$ ，则 $h_E \in H_X$ 。

若 X 和 E 里的两个元素，作为 G 里的旁系有公共点，则这两个元素称为互相关联。然后，对于 $x \in X$ ，令 $\tilde{x} = \{\xi \in E; x, \xi \text{ 互相关联}\}$ 而对于 $\xi \in E$ ，令 $\tilde{\xi} = \{x \in X, x, \xi \text{ 互相关联}\}$ 。这些集合构成 G 的某些子群的旁系，它们有不变密度，依次可用 $d\mu$ 和 dm 表示。这样，若 f 和 ϕ 依次是在 X 和 E 上适当限制了函数，并令

$$\hat{f}(\xi) = \int_{\tilde{x}} f(x) dm(x), \quad \check{\phi}(x) = \int_{\tilde{\xi}} \phi(\xi) d\mu(\xi), \quad (19.62)$$

Helgason[301]提出了下面一般性课题：

(a) 通过积分变换 $f \rightarrow \hat{f}$ 和 $\phi \rightarrow \check{\phi}$ 把 X 和 E 上的函数空间相联系起来：

(b) 把 X 上的函数 f 与 $(\hat{f})^\vee$ 和 E 上的函数 ϕ 与 $(\check{\phi})^\wedge$ 直接联系起来。

Helgason证明了，对于依次在 X 上和 E 上适当标准化了的不变测度 dx 和 $d\xi$ ，公式

$$\int_X f(x)\phi(x)dx = \int_{\Xi} f(\xi)\phi(\xi)d\xi \quad (19.63)$$

对于一切具有紧致支集连续函数 f 和 ϕ 成立。

作为一个例，设 G 为 R^n 的一切刚体运动所构成的群。设 H_x 为 G 中令一个已给 h 维平面 L_h 固定的子群而 H_{Ξ} 为 G 中令含 L_h 在内的一个 r 维平面 L_r 固定的子群 ($h < r$, $L_h \subset L_r$)。这样，则 $X = G/H_x$ 是 R^n 里 h 维平面集合而 $\Xi = G/H_{\Xi}$ 是 r 维平面集合。密度 $d\mu(\xi) = dL_{r[h]}$ 是经过 L_h 的 r 维平面的不变密度，而 $dm(x) = L_h^{(r)}$ 是 L_r 里的 h 维平面密度。于是公式 (19.63) 是 (12.52) 的一个推论。

公式 (19.60) 和 (19.61) 显示出，对于 R^n ，在反演公式之间， n 为奇数的款同 n 为偶数的款有着鲜明的对立。在前一款，(19.59) 是通过一个微分算子的反演，而在后一款则是通过一个积分算子。对于对称空间，对立仍然存在，但决定性因素不是奇偶性，而是等距群的 Cartan 子群是否都互相共轭 [301]。

John [324a] 和 Borovikov [65] 给出了 R^n 上的 Radon 变换对 R^n 里常系数微分方程的应用 (参看 Rhee [509])。Helgason [299, 303, 305] 给出了对称空间上的 Radon 变换对解这些空间里的微分方程的应用。

Gelfand 与 Graev [222]，Gelfand, Graev 与 Vilenkin [224] 和 Helgason [300, 304] 给出了对群表示的若干例和应用。

关于对称空间上 Radon 变换作了进一步工作的有 Helgason ([302]；一族紧致对称空间反格拉斯曼流形)；Petrov 和 Sibasov ([472, 607]；格拉斯曼流形)，以及 Morimoto [433] 和 Kelly [331] (关于较低维的极限圆)。关于一种一般群论理论为基础的探讨，见 [301]；关于微分齐式的有关推广，见 Gelfand, Graev 与 Shapiro [223]，Kelly [331]，Morimoto [433] 和 Petrov [472]。

Ramanov [517] 给出了关于积分几何的一些唯一性定理。例如他考虑了以下课题：设有一族迴转椭球，它们的一个焦点固定，设经过固定焦点的一个固定平面上有一个点集，而令另一个焦点

则在点集上变动，问题是由一个函数在椭圆族上的积分求函数本身。这个问题对于从地震学数据来研究地球内部结构有应用。

9. 注记

(1) Hermann 的两个公式[308]。(a) 设 X 为 $m+n$ 维可微流形，它有叶层 F 。设 n 为叶的维而 X/F 为叶的集合。设 Y 为 $m+p$ 维流形而 $\alpha: Y \rightarrow X$ 是可微映射。设 $\theta^{(p)}$ 为 Y 上一个 p 次齐式而 $\omega^{(m)}$ 为 X 上叶层 F 的一个不变 m 次齐式。假定对于每一个 $L \in X/F$ (除了一个测度为零的 $\omega^{(m)}$ 的集合外)， $\alpha^{-1}(L)$ 是 Y 的一个 p 维子流形。用公式

$$N(L) = \int_{\alpha^{-1}(L)} \theta^{(p)} \quad (19.64a)$$

在 X/F 上几乎处处确定函数 N 。则

$$\int_Y \alpha^*(\omega^{(m)}) \wedge \theta^{(p)} = \int_{X/F} N \omega^{(m)}. \quad (19.64b)$$

作为这个公式的一项应用，假定 $X \rightarrow Z$ 是由 X 到一个流形 Z 的映射，而 $S(\subset Z)$ 是 Z 的一个子流形，它的维 $\dim S = \dim Z - \dim F$ 。设 $Y = \alpha^{-1}(S)$ ，而 $\alpha: Y \rightarrow X$ 的包含映射。这时，在公式(19.64a)里，对于 $L(\in X/F)$ ， $N(L)$ 变成 L 在 Z 里的投影同 S 相交的次数，而 (19.64a) 的右边则是 F 的一切和 S 相交的叶的测度，都按其相重数计算。

(b) 设 \mathcal{G} 为连通李群而 \mathcal{L} 为其闭子群。设 \mathcal{G}/\mathcal{L} 为 \mathcal{L} 的左旁系空间，而 $p: \mathcal{G} \rightarrow \mathcal{G}/\mathcal{L}$ 为投影 $g \rightarrow g\mathcal{L}$ 。设 K, K_0 为 \mathcal{G}/\mathcal{L} 的子流形，而且 $\dim K + \dim K_0 = \dim \mathcal{G}/\mathcal{L}$ 。设 gK 表示在 $g(\in \mathcal{G})$ 下 K 的象，而 $N(g)$ 表示 $gK \cap K_0$ 的点的数目。假定有曲线 $\eta: K \rightarrow \mathcal{G}$ 和 $\psi: K_0 \rightarrow \mathcal{G}$ ，并且对于 $y \in K_0$ ， $s \in \mathcal{L}$ ， $x \in K$ ，用下面关系确定映射 $\alpha: K_0 \times \mathcal{L} \times K \rightarrow \mathcal{G}$ ：

$$\alpha(y, s, x) = \psi(y) s \eta(x)^{-1}.$$

则

$$\int_{\mathfrak{G}} N dg = \int_{K_0 \times \mathfrak{C} \times K} a^*(dg),$$

其中 dg 表示 \mathfrak{G} 上的左不变测度. $a^*(dg)$ 的计算与 \mathfrak{G} 作为李群的结构有关.

(2) 短程线的 $2h$ 维集合. 考虑公式 $dG^h = (dG^1)^h$ (19.12). 假定 M_1 和 M_2 为黎曼流形 M 的两个 h 维子流形, 而且每两点 $P_1 (\in M_1)$ 和 $P_2 (\in M_2)$ 确定唯一的一条短程线 G . 令 $d\sigma_i$ 为 M_i 在 P_i 的体元, r 为短程弧 $P_1 P_2$ 的长, α_i 为 G 和 M_i 在 P_i 的切空间 T_i 所作的角, 而 θ 为含 T_i 在内的 $h+1$ 维短程流形和 G 之间的角 ($i=1, 2$). 这样, 除去一个常数因子外,

$$dG^h = r^{-h} \cos \theta \sin \alpha_1 \sin \alpha_2 d\sigma_1 \wedge d\sigma_2.$$

关于 E_n 里的直线, 见 Pohl [481].

(3) 矢量积分几何. 设 K 是 E_n 里一个凸体, 它的边界是 ∂K , H_r 表示 ∂K 的 $n-1$ 个主曲率的第 r 个初等对称函数. K 的矢量截测积分的定义是

$$q_i(K) = \left(n \binom{n-1}{i-1} \right)^{-1} \int_{\partial K} x H_{i-1} d\sigma \quad (i=1, 2, \dots, n);$$

$$q_0(K) = \int_K x dv,$$

其中 dv 是 E_n 的体元, $d\sigma$ 为 ∂K 的面元, 而 x 表示从原点到有关点的矢量. 因此, 可以推得所谓曲率形心 $p_i = q_i/W_i$ ($i=0, 1, \dots, n$), 其中 W_i 为普通截痕积分 (13.8) 和 (13.45). 特殊地, p_n 是 K 的 Steiner 点 $\hat{c}(K)$, 它具有重要性质 (关于参考文献及史实, 见 [247, 248]). Hadwiger 与 Schneider [280] 把 q_i, p_i 的定义推广到凸环的点集 D (即 D 是可以用有尽多个凸体的并集表示的点集) 并且证明了, 若用 q_i 来代替纯量截测积分 W_i , 则普通积分几何的许多公式都有其对应的公式. 例如若 D_1 和 D_0 是同一个凸环的点集, dK_1 为域 D_1 的运动密度, 而 D_0 为固定域, 则

$$\int q_h(D_0 \cap D_1) dK_1 = \sum c_{nhi} W_{h-i}(D_0) q_i(D_1),$$

其中 c_{nhi} 是某些常数。这是矢量积分几何中对应于(15.72)的公式。细节和推广见 Hadwiger 与 Schneider[280], Schneider[599, 600], Hadwiger 与 Meier[279] 以及 H.R. Müller[438, 439]。

(4) 曲面上的积分几何。设 $ds^2 = edu^2 + gdv^2$ 为一个曲面 Σ 在局部正交坐标系下的第一基本齐式。若 ϕ 表示在 (u, v) 点, 短程线 G 和 u 线所作的角, 则短程线密度(19.15)可以写成

$$\begin{aligned} dG = & -\sqrt{e} \sin\phi d\phi \wedge du + \sqrt{g} \cos\phi d\phi \wedge dv \\ & + [(\partial\sqrt{g}/\partial u) \sin\phi - (\partial\sqrt{e}/\partial v) \cos\phi] du \wedge dv. \end{aligned} \quad (19.65)$$

特殊地, 若 (u, v) 是短程坐标系(即 $v = \text{常数}$ 是短程线, 而 u 是这些短程线上的弧长), 则 $e = 1$, 而(19.65)化为

$$\begin{aligned} dG = & (\partial\sqrt{g}/\partial u) \sin\phi du \wedge dv - \sin\phi d\phi \wedge du \\ & + \sqrt{g} \cos\phi d\phi \wedge dv. \end{aligned} \quad (19.66)$$

若短程线集合中, 每一条都和一条 u 线垂直, 则根据第二不变性(第2节), 可以在每条短程线上取 $\phi = \pi/2$ 的点而密度 dG 化简为

$$dG = (\partial\sqrt{g}/\partial u) du \wedge dv. \quad (19.67)$$

对于短程极坐标, u 表示由原点 O 到短程线 G 的距离, 而 v 为由 O 出发而垂直于 G 的短程线和经过 O 的一个固定方向所作的角。

设 Γ 为曲面 Σ 上一条长度为 L 的曲线。这时公式(19.24)是

$$\int_{G \cap L \neq \emptyset} N dG = 2L, \quad (19.68)$$

而对于一条长度为 L_0 的短程线段 S^* , 若用 N 表示 $S^* \cap \Gamma$ 的交点数, 则

$$\int_{\Gamma \cap S^* \neq \emptyset} N dS^* = 4LL_0, \quad (19.69)$$

其中 $dS^* = dP \wedge d\theta = dG^* \wedge ds$ 是 Σ 上的运动密度 (dP 是线段 S^* 的始点 P 的密度, 而 θ 是 S^* 和在 P 点一个固定方向所作的角 (19.26)).

我们给出这些公式的一项应用. 设 Σ 为 E_3 一个凸曲面, 在它上面的一切短程线都是闭曲线. 这时, 容易证明, 一切短程线都有相同长度 L , 而且每两条短程线相交于 $N \geq 2$ 点. 若 G_i 为固定短程线, 而把一条作运动的短程线看成长度为 L 的短程线段, 则根据 (19.69),

$$4L^2 = \int N dP \wedge d\theta \geq 2 \int dP \wedge d\theta = 4\pi F, \quad (19.70)$$

其中 F 是 Σ 的面积. 若 $1/R_0^2$ 是 Σ 的高斯曲率 K 的最大值, 则 $F = \int K^{-1} du_2 \geq 4\pi R_0^2$, 而由 (19.70) 可知 $L \geq 2\pi R_0$. 这是 Zoll [735] 得到的不等式.

设在 Σ 上取一条固定短程线, 在和它相交于不多于一点的短程线中, 有一条最长的, 设其长为 λ . 于是由 (19.69) 可知

$$4\lambda L = \int N dP \wedge d\theta \leq \int dP \wedge d\theta = 2\pi F, \quad (19.71)$$

而由于 $\lambda \leq L/2$, 就得 $4\lambda^2 \leq \pi F$. 若经过 P , 取角 θ 所确定的短程线, 设沿该短程线第一次遇到的共轭点是 P' , 我们用 $f(P, \theta)$ 表示 P, P' 的距离, 并且对于 $P (\in \Sigma)$, $0 \leq \theta \leq 2\pi$, 令 $a = \inf f(P, \theta)$, 则 $a \leq \lambda$, 而由最后不等式得 $4a^2 \leq \pi F$. 对于紧致可定向曲面, 这个不等式可推广为 $2a^2\chi \leq \pi F$ (这是 Berger 的结果, 见 L.W.Green [236]), 其中 χ 为曲面的 Euler-Poincaré 示性数.

关于曲面上和 Finsler 空间几何, 参看 [39, 95, 463, 555, 621, 46]; 关于其它观点, 参看 [253, 254].

附录 微分齐式与外微积

1. 微分齐式与外积

这个附录的目的是对微分齐式作不求严密的介绍,而且主要涉及本书所用到的部分。所谓外微分齐式,或简单地微分齐式,曾于上世纪末被 Poincaré 在他关于天体力学的“新方法”中采用,然后被 E. Cartan 在他关于连续群和 Pfaff 式系的工作中采用。在 Cartan 的积分不变式理论(1922)中,他曾对这种齐式作了系统的论述[87]。后来,主要是通过 Chevalley 在 1946 年关于李群的工作[118],微分齐式被结合到代数领域,那以后,就广泛而成功地用于微分几何和理论物理(参看 Sternberg [628, 629] 和 H. Cartan [91] 的著作)。不过,既然我们的目的只是辑入本书所用的一些定义和结果,在这个附录里,我们将采用较经典而直观的叙述方式,比较强调微分齐式的运用及其几何意义,而不采用严密而精确的表现形式。这种几何引进的途径可以在 E. Cartan [90] 和 Flanders [201, 202] 的著作中找到。

在 R^n 里,一次微分齐式或一次式(也称为 Pfaff 式)是线积分中积分号下的式

$$\omega^{(1)} = a_1 dx_1 + a_2 dx_2 + \cdots + a_n dx_n. \quad (1)$$

这是指:(1)式可以在有向曲线上积分,其结果与曲线的参数表示无关。

系数 a_i 是变数 x_1, x_2, \cdots, x_n 的实函数,为简单起见,假定它们属于 C^∞ 类,经过坐标变换 $x_i \rightarrow x'_i$, 一次式(1)可以写成

$$\omega^{(1)} = \sum_{i=1}^n a_i \frac{\partial x_i}{\partial x'_h} dx'_h = \sum_{h=1}^n a'_h dx'_h, \quad (2)$$

因而从系数 a_i 到 a'_i 的变换法则可以用方程

$$a'_h = \sum_{i=1}^n \frac{\partial x_i}{\partial x'_h} a_i \quad (3)$$

表示, 而这就是 R^n 中协变矢量的变换法则。

一次式的一个例是一个函数 f 的微分

$$df = \sum_{i=1}^n \frac{\partial f}{\partial x_i} dx_i. \quad (4)$$

但是, 并不是所有一次式都可以这样得到。根据微积分中人们熟知的一个定理, 微分齐式 (1) 是一个函数的微分的充要条件是 $\partial a_i / \partial x_h = \partial a_h / \partial x_i$ 。

一次式 $\omega^{(1)}$ 和纯量 λ 之积的定义是 $\lambda \omega^{(1)} = \sum_i \lambda a_i dx_i$ 而一次式 $\omega^{(1)} = \sum_i a_i dx_i$ 与 $\phi^{(1)} = \sum_i b_i dx_i$ 的和与差的定义是 $\omega^{(1)} \pm \phi^{(1)} = \sum_i (a_i \pm b_i) dx_i$ 。在这两种运算下, 一次式构成 R^n 里可微函数环上的一个模。一次式 dx_1, dx_2, \dots, dx_n 是这个模的一个底。任意一组独立的一次式, 即任意满足 $\det |a_{hi}| \neq 0$ 的一次式 $\omega^{(1)} = \sum_i a_{hi} dx_i (h=1, 2, \dots, n)$ 也构成这个模的一个底。

为了给出二次齐式或二次式的定义, 我们先考虑平面 R^2 的数。在 R^2 里, 二重积分的积分号下的式含有乘积 $dx_1 dx_2$, 按照变数变换公式, 经过变换 $x_i \rightarrow x'_i$, 它变成

$$dx_1 dx_2 = \left(\frac{\partial x_1}{\partial x'_1} \frac{\partial x_2}{\partial x'_2} - \frac{\partial x_1}{\partial x'_2} \frac{\partial x_2}{\partial x'_1} \right) dx'_1 dx'_2. \quad (5)$$

这表明, 在二重积分号下出现的“乘积” $dx_1 dx_2$ 不是微分 $dx_i = (\partial x_i / \partial x'_1) dx'_1 + (\partial x_i / \partial x'_2) dx'_2 (i=1, 2)$ 的普通乘积, 而是另一种乘积, 称为 dx_1 与 dx_2 的外积, 它用 \wedge 表示 (通常读为“楔积”)。外积的基本性质是反称性或交错性, 即

$$dx_1 \wedge dx_2 = -dx_2 \wedge dx_1, \quad dx_i \wedge dx_i = 0. \quad (6)$$

根据这个反称性, 经过坐标变换 $x_i \rightarrow x'_i$, 就有

$$\begin{aligned} dx_1 \wedge dx_2 &= \left(\frac{\partial x_1}{\partial x'_1} dx'_1 + \frac{\partial x_1}{\partial x'_2} dx'_2 \right) \wedge \left(\frac{\partial x_2}{\partial x'_1} dx'_1 + \frac{\partial x_2}{\partial x'_2} dx'_2 \right) \\ &= \left(\frac{\partial x_1}{\partial x'_1} \frac{\partial x_2}{\partial x'_2} - \frac{\partial x_1}{\partial x'_2} \frac{\partial x_2}{\partial x'_1} \right) dx'_1 \wedge dx'_2, \end{aligned}$$

和经典法则(5)一致。

若 x_1, x_2 表示正交坐标, 则外积 $dx_1 \wedge dx_2$ 表示平面上有向面元。实际上, 若取依次其分量 (dx_1, dx_2) 和 $(\delta x_1, \delta x_2)$ 的无穷小矢量为边, 作有向平行四边形, 则

$$dx_1 \wedge dx_2 = \begin{vmatrix} dx_1 & dx_2 \\ \delta x_1 & \delta x_2 \end{vmatrix} = dx_1 \delta x_2 - dx_2 \delta x_1. \quad (7)$$

例如取两个位移, 依次平行于坐标轴, 则有

$$(dx_1 = dx_1, dx_2 = 0), \quad \delta x_1 = 0, \delta x_2 = \delta x_2,$$

而面元即变为通常的形式 $dx_1 dx_2$ 。取第一个位移沿一个极坐标系 (ρ, θ) 的径矢方向, 第二个位移沿垂直方向, 就有

$$dx_1 = \cos \theta d\rho, \quad dx_2 = \sin \theta d\rho, \quad \delta x_1 = -\rho \sin \theta d\theta, \quad \delta x_2 = \rho \cos \theta d\theta,$$

而由(7)得 $dx_1 \wedge dx_2 = \rho d\rho \wedge d\theta$, 这就是极坐标下的面元。

表示式(7)可以作为在任意仿射坐标(不一定正交)下外积的定义; 由此容易导出下面的分配律

$$dx_1 \wedge (dx_2 + dx_3) = dx_1 \wedge dx_2 + dx_1 \wedge dx_3,$$

以及

$$dx_1 \wedge (x_3 dx_2) = x_3 dx_1 \wedge dx_2. \quad (8)$$

作了这些准备后, 我们可以给出 R^n 里的二次式, 它们是出现在二重积分的积分号下的式, 即

$$\omega^{(2)} = \sum_{i < j}^n a_{ij} dx_i \wedge dx_j, \quad (9)$$

它可以在定向二维流形上积分, 其结果与流形的参数表示无关。

函数 a_{ij} 都假定是属于 C^∞ 类。若把差 $\frac{1}{2}(a_{ij} - a_{ji})$ 仍用记号 a_{ij} 表示, 则显然总可以假定二次式的系数是反称的, 即 $a_{ij} =$

$-a_{ji}$. 二次式(9) 经过坐标变换 $x_i \rightarrow x'_i$ 保持不变的**条件**导致变换公式

$$a'_{ij} = \sum_{h,k=1}^n \frac{\partial x_h}{\partial x'_i} \frac{\partial x_k}{\partial x'_j} a'_{hk}, \quad (10)$$

这证明 a_{ij} 是一个二权协变张量的分量.

产生二次式的一种方法是取两个一次式

$$\omega^{(1)} = \sum_i a_i dx_i, \phi^{(1)} = \sum_i b_i dx_i$$

的外积, 其定义是

$$\begin{aligned} \omega^{(1)} \wedge \phi^{(1)} &= \sum_{i,j=1}^n a_i b_j dx_i \wedge dx_j \\ &= \sum_{i < j} \begin{vmatrix} a_i & a_j \\ b_i & b_j \end{vmatrix} dx_i \wedge dx_j, \end{aligned} \quad (11)$$

而根据(7), 它可以写成

$$\omega^{(1)} \wedge \phi^{(1)} = \sum_{i,j=1}^n a_i b_j (dx_i \delta x_j - \delta x_i dx_j), \quad (12)$$

或者, 若令 $\omega^{(1)}(d) = \sum_i a_i dx_i$, $\omega^{(1)}(\delta) = \sum_i a_i \delta x_i$, 同时对 $\phi^{(1)}$ 也引用类似记号, 则

$$\omega^{(1)} \wedge \phi^{(1)} = \omega^{(1)}(d)\phi^{(1)}(\delta) - \omega^{(1)}(\delta)\phi^{(1)}(d), \quad (13)$$

这样, 我们就用两个一次式的普通乘积表示了他们的外积.

显然, 并不是每一个二次式都是两个一次式之积. 如果是的话, 那个二次式就称为可分解的. 例如, 若 $n > 3$, 而 $\omega_1, \omega_2, \omega_3, \omega_4$ 是 R^n 里的一次式, 则二次式 $(\omega_1 \wedge \omega_2) + (\omega_3 \wedge \omega_4)$ 就是不可分解的.

沿着上面的路子, 可以给出 r 次式 (r 次微分齐式) 的定义:

$$\omega^{(r)} = \sum_{i_1, \dots, i_r} a_{i_1 \dots i_r} dx_{i_1} \wedge \dots \wedge dx_{i_r}, \quad (14)$$

它出现在 R^n 里 r 维流形上的 r 重积分的积分号下. 若 $r > n$, 唯一的 r 次式是零式.

由于楔积的反称性, 我们总可以假定系数 $a_{i_1 \dots i_r}$ 是反称的, 它们是一个 r 权反称协变张量的分量.

r 次式(14)和 q 次式

$$\omega^{(q)} = \sum b_{j_1 \dots j_q} dx_{j_1} \wedge \dots \wedge dx_{j_q}$$

的外积是一个 $r+q$ 次式, 其定义为

$$\begin{aligned} \omega^{(r)} \wedge \omega^{(q)} &= \sum_{i_1, \dots, i_r, j_1, \dots, j_q} a_{i_1 \dots i_r} b_{j_1 \dots j_q} dx_{i_1} \\ &\quad \wedge \dots \wedge dx_{i_r} \wedge dx_{j_1} \wedge \dots \wedge dx_{j_q}. \end{aligned} \quad (15)$$

注意, 经过 r 次的位置颠倒, 可以把 dx_{j_1} 越过 $dx_{i_1}, \dots, dx_{i_r}$ 移到左面, 同样, 分别经过 r 次的位置颠倒可以依次把 $dx_{j_2}, \dots, dx_{j_q}$ 越过 $dx_{i_1}, \dots, dx_{i_r}$. 所以, 通过 rq 次的次序颠倒, 可以从 $\omega^{(r)} \wedge \omega^{(q)}$ 得到 $\omega^{(q)} \wedge \omega^{(r)}$. 因此, 外积对于加法是可结合、可分配的, 但具有性质

$$\omega^{(r)} \wedge \omega^{(q)} = (-1)^{r \cdot q} \omega^{(q)} \wedge \omega^{(r)}. \quad (16)$$

特殊地, 对于几个一次式的外积, 若把因子次序颠倒偶数次, 它不变, 而若把因子次序颠倒奇数次, 它变号.

显然, 在通常的加法以及和纯量的乘法下, r 次式构成 R^n 上的可微函数环的一个模, 而这个模的一个底是 r 次式 $dx_{i_1} \wedge \dots \wedge dx_{i_r}$ ($i_1 < i_2 < \dots < i_r$)所构成. 因此, R^n 里的 r 次式模的维数是

$\binom{n}{r}$. 若 $\omega_1, \omega_2, \dots, \omega_r$ 为独立的一次式, 则 r 次式

$$\omega_{i_1} \wedge \omega_{i_2} \wedge \dots \wedge \omega_{i_r} \quad (i_1 < i_2 < \dots < i_r)$$

也构成 r 次式模的一个底.

2. 外积的两项应用

(1) 设 $\omega_i = \sum_k a_{ik} dx_k$ ($i = 1, 2, \dots, r$)为 R^n 里的一次式, 它们可以看作未定元 dx_i 的线性式, 因而由线代数可知它们线性相关

的充要条件是矩阵 (a_{ih}) 的秩是 r 。另一方面, 作为(11)的推广, 我们有

$$\omega_1 \wedge \cdots \wedge \omega_r = \sum_{i_1 < \cdots < i_r} \begin{vmatrix} a_{1i_1} & \cdots & a_{1i_r} \\ \vdots & & \vdots \\ a_{ri_1} & \cdots & a_{ri_r} \end{vmatrix} dx_{i_1} \wedge \cdots \wedge dx_{i_r}. \quad (17)$$

于是得:

一次式 $\omega_1, \cdots, \omega_r$ 线性无关的充要条件是

$$\omega_1 \wedge \omega_2 \wedge \cdots \wedge \omega_r \neq 0.$$

注意当 $r = n$ 时, 我们有

$$\omega_1 \wedge \cdots \wedge \omega_n = \det |a_{ih}| dx_1 \wedge dx_2 \wedge \cdots \wedge dx_n. \quad (18)$$

(2) 设 $\omega_1, \cdots, \omega_r$ 为 R^n 里线性无关的一次式并假设另有一次式 ϕ_1, \cdots, ϕ_r , 使

$$\omega_1 \wedge \phi_1 + \omega_2 \wedge \phi_2 + \cdots + \omega_r \wedge \phi_r = 0. \quad (19)$$

则

$$\phi_i = \sum_{h=1}^r A_{ih} \omega_h, \quad A_{ih} = A_{hi} (i = 1, 2, \cdots, r). \quad (20)$$

这是一个有用的性质, 称为 E. Cartan 引理。为了证明它, 选取 $\omega_{r+1}, \cdots, \omega_n$ 使 $\omega_1, \cdots, \omega_r, \omega_{r+1}, \cdots, \omega_n$ 构成 R^n 里一次式的底。于是可令

$$\phi_i = \sum_{h=1}^r A_{ih} \omega_h + \sum_{h=r+1}^n B_{ih} \omega_h,$$

而代入(19), 就得

$$\sum_{1 \leq i < j \leq r} (A_{ij} - A_{ji}) \omega_i \wedge \omega_j + \sum_{i=1}^r \sum_{h=r+1}^n B_{ih} \omega_i \wedge \omega_h = 0.$$

由于外积 $\omega_i \wedge \omega_j$ 构成 R^n 里二次式的底, 就得 $A_{ij} = A_{ji}$, $B_{ih} = 0$, 而这就证明了(20)。

3. 外微导

一个 r 次式

$$\omega^{(r)} = \sum_{i_1, \dots, i_r} a_{i_1 \dots i_r} dx_{i_1} \wedge \dots \wedge dx_{i_r} \quad (21)$$

的外微分或外导式的定义是

$$\begin{aligned} d\omega^{(r)} &= \sum_{i_1, \dots, i_r} da_{i_1 \dots i_r} \wedge dx_{i_1} \wedge \dots \wedge dx_{i_r} \\ &= \sum_{h, i_1, \dots, i_r} \frac{\partial a_{i_1 \dots i_r}}{\partial x_h} dx_h \wedge dx_{i_1} \wedge \dots \wedge dx_{i_r}, \end{aligned} \quad (22)$$

其中我们要对于下标的一切排列取和。

例如若 $\omega = \sum_i a_i dx_i$, 就有

$$\begin{aligned} d\omega &= \sum_{i=1}^n da_i \wedge dx_i = \sum_{i, h=1}^n \frac{\partial a_i}{\partial x_h} dx_h \wedge dx_i \\ &= \sum_{i < h} \left(\frac{\partial a_i}{\partial x_h} - \frac{\partial a_h}{\partial x_i} \right) dx_h \wedge dx_i. \end{aligned} \quad (23)$$

由于 $a_{i_1 \dots i_r}$ 可以看作一个反称 r 权协变张量的分量, $d\omega^{(r)}$ 的系数也是一个反称 $r+1$ 权协变张量 (所谓 $a_{i_1 \dots i_r}$ 的旋量) 的分量, 因而定义 (22) 与坐标系无关。为了使定义完整, 我们约定: 一个函数 f (作为零次微分齐式) 的外微分就是它的普通微分。

外微分有以下性质:

(a) 若 $\omega^{(r)}$ 和 $\omega^{(s)}$ 依次为 r 次式和 s 次式, 则

$$d(\omega^{(r)} \wedge \omega^{(s)}) = d\omega^{(r)} \wedge \omega^{(s)} + (-1)^r \omega^{(r)} \wedge d\omega^{(s)}. \quad (24)$$

这从定义 (22) 容易证明。

(b) 对于任意 ω ,

$$d(d\omega) = 0. \quad (25)$$

证明 设 $\omega = \omega^{(r)}$, 我们有

$$\begin{aligned} d(d\omega) &= \sum_{h, k, i_1, \dots, i_r} \frac{\partial^2 a_{i_1 \dots i_r}}{\partial x_h \partial x_k} dx_k \wedge dx_h \wedge dx_{i_1} \wedge \dots \wedge dx_{i_r} \\ &= \sum_{h < k, i_1, \dots, i_r} \left(\frac{\partial^2 a_{i_1 \dots i_r}}{\partial x_h \partial x_k} - \frac{\partial^2 a_{i_1 \dots i_r}}{\partial x_k \partial x_h} \right) \\ &\quad \times dx_k \wedge dx_h \wedge dx_{i_1} \wedge \dots \wedge dx_{i_r} = 0. \end{aligned}$$

即 (25)。

可以证明: 外导算子 d 被线性条件 $d(\omega + \phi) = d\omega + d\phi$ 以及性质 (24), (25), 以及 (1) 唯一地确定. 这再次证明外微分与坐标系无关 (例如参看 [528]).

已给微分齐式 ω , 若 $d\omega = 0$, 它称为闭式; 若 $\omega = d\phi$, 其中 ϕ 是某个齐式, 它称为恰[当]式。

由 (25) 可知, 每一个恰式是闭式. 逆理只在局部是正确的. 例如齐式 $\omega = (x_1^2 + x_2^2)^{-1}(x_1 dx_2 - x_2 dx_1)$ 在 $R^{(2)} - \{O\}$ 里满足 $d\omega = 0$, 但只是在局部 $\omega = d\phi$. 一般地, 有以下结论, 称为 Poincaré 引理:

设 ω 为在 R^n 里一个星状开集上确定的 r 次式 ($1 \leq r \leq n$) 而且 $d\omega = 0$. 则有 $r-1$ 次式 ϕ , 使 $\omega = d\phi$.

证明见 Sternberg [628] 或 H. Cartan [91].

星状集的定义如下: 已给点集 U , 若有一点 $x \in U$, 使得对于每一点 $y \in U$, 连接 x 和 y 的线段都含在 U 内, 则 U 称为星状集. U 为星状开集只是每一个 U 上的闭式为恰式的充分条件. Whitney [723] 给出了一个充要条件。

4. Stokes 公式

设 ω 为 R^n 里一个定向 r 维流形上具有紧致支集的 $r-1$ 次式, 而 ∂V_r 表示 V_r 的边界; 在这里, ∂V_r 是看作一个定向 $r-1$ 维流形, V_r 的正向导由 ∂V_r 的正向. 这时,

$$\int_{\partial V_r} \omega = \int_{V_r} d\omega. \quad (26)$$

这是所谓的 Stokes 公式, 证明见[628, 201, 723]. 注意: $r=1$ 时, 这就是微积分的基本公式.

特款 (1°) $r=2, n=2$ 的款. 这时 V_2 是 \mathbf{R}^2 里一条光滑简单闭曲线 ∂V_2 所包围的闭域. 设 $\omega = a_1 dx_1 + a_2 dx_2$, 则公式(26)化为

$$\int_{\partial V_2} a_1 dx_1 + a_2 dx_2 = \int_{V_2} \left(\frac{\partial a_2}{\partial x_1} - \frac{\partial a_1}{\partial x_2} \right) dx_1 \wedge dx_2, \quad (27)$$

而这就是经典的 Green 定理.

(2°) $r=2, n=3$ 的款. 这时 V_2 是 \mathbf{R}^3 里一个光滑定向曲面, 它的边界 ∂V_2 是一条光滑简单闭线, 其正向为 V_2 的正向所导出. 设 $\omega = a_1 dx_1 + a_2 dx_2 + a_3 dx_3$, 则

$$\begin{aligned} \int_{\partial V_2} a_1 dx_1 + a_2 dx_2 + a_3 dx_3 \\ = \int_{V_2} \left(\frac{\partial a_3}{\partial x_2} - \frac{\partial a_2}{\partial x_3} \right) dx_2 \wedge dx_3 \\ + \left(\frac{\partial a_1}{\partial x_3} - \frac{\partial a_3}{\partial x_1} \right) dx_3 \wedge dx_1 + \left(\frac{\partial a_2}{\partial x_1} - \frac{\partial a_1}{\partial x_2} \right) dx_1 \wedge dx_2, \end{aligned}$$

这通常叫做 Ostrogradsky 定理或旋量定理.

(3°) $r=3, n=3$ 的款. 设 V_3 为 \mathbf{R}^3 里被一个光滑曲面 ∂V_3 所包围的闭域. 设 $\omega = a_1 dx_2 \wedge dx_3 + a_2 dx_3 \wedge dx_1 + a_3 dx_1 \wedge dx_2$, 则

$$\begin{aligned} \int_{\partial V_3} a_1 dx_2 \wedge dx_3 + a_2 dx_3 \wedge dx_1 + a_3 dx_1 \wedge dx_2 \\ = \int_{V_3} \left(\frac{\partial a_1}{\partial x_1} + \frac{\partial a_2}{\partial x_2} + \frac{\partial a_3}{\partial x_3} \right) dx_1 \wedge dx_2 \wedge dx_3, \end{aligned}$$

这是所谓 Gauss 定理.

(4°) 分部积分. 若 V_r 为没有边界 ($\partial V_r = \emptyset$) 的一个紧致流形而 $\omega = \omega^{(p)} \wedge \omega^{(q)}$ ($p+q=r-1$), 则根据式(24)和(26), 我们有

$$\int_{V_r} d\omega^{(r)} \wedge \omega^{(r)} = (-1)^{r+1} \int_{V_r} \omega^{(r)} \wedge d\omega^{(r)},$$

这是分部积分的一种推广。

5. 与三维欧氏空间矢量分析的比较

设 $\mathbf{e}_1, \mathbf{e}_2, \mathbf{e}_3$ 为三维欧氏空间里的标准正交标架, $\mathbf{e}_i \cdot \mathbf{e}_j = \delta_{ij}$. 每一个一次式 $\omega^{(1)} = a_1 dx_1 + a_2 dx_2 + a_3 dx_3$ 确定一个矢场 $\mathbf{A} = a_1 \mathbf{e}_1 + a_2 \mathbf{e}_2 + a_3 \mathbf{e}_3$, 而每一个二次式

$$\omega^{(2)} = a_{12} dx_1 \wedge dx_2 + a_{23} dx_2 \wedge dx_3 + a_{31} dx_3 \wedge dx_1,$$

连同 $a_{ij} = -a_{ji}$ 确定一个反称二权协变张量场 a_{ij} , 或者一个轴矢场, 或相对矢场 $\mathfrak{Q} = a_{23} \mathbf{e}_1 + a_{31} \mathbf{e}_2 + a_{12} \mathbf{e}_3$. 所谓轴矢或相对矢是一种几何对象, 它们像矢量那样地变换, 只是当原标架定向改变时, 它们的正向颠倒. 例如两个矢量的矢积 $\mathbf{A} \times \mathbf{B}$ 是一个轴矢. 同样, 一个三次式 $\omega^{(3)} = a dx_1 \wedge dx_2 \wedge dx_3$ 确定一个相对不变量 $a = a$.

取微分齐式

$$\omega^{(1)} = a_1 dx_1 + a_2 dx_2 + a_3 dx_3, \quad \phi^{(1)} = b_1 dx_1 + b_2 dx_2 + b_3 dx_3,$$

$$\omega^{(2)} = c_1 dx_2 \wedge dx_3 + c_2 dx_3 \wedge dx_1 + c_3 dx_1 \wedge dx_2,$$

$$\omega^{(3)} = a dx_1 \wedge dx_2 \wedge dx_3,$$

而用 ψ 表示变每一个微分齐式为其对应的矢量的算子, 这就是说,

$$\psi(\omega^{(1)}) = \mathbf{A}, \quad \psi(\omega^{(2)}) = \mathfrak{Q}, \quad \psi(\omega^{(3)}) = a,$$

$$\psi(\omega^{(1)} \wedge \omega^{(2)}) = \mathbf{A} \times \mathbf{B}, \quad \psi(\omega^{(1)} \wedge \omega^{(2)}) = \mathbf{A} \cdot \mathbf{a}.$$

按照定义

$$\text{grad} f = \frac{\partial f}{\partial x_1} \mathbf{e}_1 + \frac{\partial f}{\partial x_2} \mathbf{e}_2 + \frac{\partial f}{\partial x_3} \mathbf{e}_3,$$

$$\text{curl} \mathbf{A} = \left(\frac{\partial a_3}{\partial x_2} - \frac{\partial a_2}{\partial x_3} \right) \mathbf{e}_1 + \left(\frac{\partial a_1}{\partial x_3} - \frac{\partial a_3}{\partial x_1} \right) \mathbf{e}_2 + \left(\frac{\partial a_2}{\partial x_1} - \frac{\partial a_1}{\partial x_2} \right) \mathbf{e}_3,$$

$$\operatorname{div} \mathbf{A} = \frac{\partial a_1}{\partial x_1} + \frac{\partial a_2}{\partial x_2} + \frac{\partial a_3}{\partial x_3},$$

我们有

$$\psi(df) = \operatorname{grad} f, \quad \psi(d\omega^{(1)}) = \operatorname{curl} \mathbf{A}, \quad \psi(d\omega^{(2)}) = \operatorname{div} \mathfrak{C}.$$

利用这些关系, 可得在外微积恒等式和矢量分析恒等式之间的关系:

$$d(df) = 0 \rightarrow \operatorname{curl} \operatorname{grad} f = 0,$$

$$d(d\omega^{(1)}) = 0 \rightarrow \operatorname{div} \operatorname{curl} \mathbf{A} = 0,$$

$$d(fg) = df \cdot g + f dg \rightarrow \operatorname{grad}(fg) = g \operatorname{grad} f + f \operatorname{grad} g,$$

$$d(d\omega^{(1)}) = df \wedge \omega^{(1)} + f d\omega^{(1)}$$

$$\rightarrow \operatorname{curl}(f\mathbf{A}) = \operatorname{grad}(f) \times \mathbf{A} + f \operatorname{curl} \mathbf{A},$$

$$d(f\omega^{(2)}) = df \wedge \omega^{(2)} + f d\omega^{(2)}$$

$$\rightarrow \operatorname{div}(f\mathfrak{C}) = \operatorname{grad} f \cdot \mathfrak{C} + f \operatorname{div} \mathfrak{C},$$

$$d(\omega^{(1)} \wedge \phi^{(1)}) = d\omega^{(1)} \wedge \phi^{(1)} + \omega^{(1)} \wedge d\phi^{(1)}$$

$$\rightarrow \operatorname{div}(\mathbf{A} \times \mathbf{B}) = (\operatorname{curl} \mathbf{A}) \cdot \mathbf{B} - \mathbf{A} \cdot \operatorname{curl} \mathbf{B}.$$

Poincaré 引理可译成矢量分析的下面两定理:

(a) 令 $\omega = \omega^{(1)}$, 我们有: $\operatorname{curl} \mathbf{A} = 0$ 是满足 $\mathbf{A} = \operatorname{grad} f$ 的一个函数 f 存在的充要条件 (假定 $\operatorname{curl} \mathbf{A} = 0$ 的区域是星状的).

(b) 令 $\omega = \omega^{(2)}$, 我们有: 若 \mathfrak{C} 是一个轴矢场, 则 $\operatorname{div} \mathfrak{C} = 0$ 是满足 $\mathfrak{C} = \operatorname{curl} \mathbf{B}$ 的一个矢场 \mathbf{B} 存在的充要条件 (假定 $\operatorname{div} \mathfrak{C} = 0$ 的区域是星状的).

这样, 我们看到外微积可以用来表现并统一三维欧氏空间里经典矢量分析中的基本运算.

6. 流形上的微分齐式

我们已经看到, 在坐标变换 $x \rightarrow x'$ 下, 微分齐式是怎样变化的. 我们只须对每一个系数 $a_{i_1 \dots i_r}(x)$ 用复合函数 $a_{i_1 \dots i_r}(x(x'))$

代替, 同时对每一个 dx_i 用微分 $dx_i = \sum_h (\partial x_i / \partial x'_h) dx'_h$ 代替, 然

后取这些一次式的外积。由于在映射下的这个简单的变换法则，微分齐式在用局部坐标确定的空间上可以使用，例如可以在微分流形上使用。

在这样一个微分流形 M 上，存在着局部图 (U_i, h_i) ，其中开集 U_i 覆盖整个流形，而 h_i 则是从 U_i 到 \mathbf{R}^n 的开集上的一对一映射。这样， U_i 上的微分齐式就是 \mathbf{R}^n 中对应的开集上的微分齐式的自然的原象。此外，若一个齐式 ω 在 U_i 和 U_j 上的表示式在 $U_i \cap U_j$ 里的关系总满足坐标变换 $h_i \circ h_j^{-1}$ 的要求，我们就可以把 ω 看作在整个流形上存在。

关于流形上微分齐式的积分，若积分域含在某个 U_i 内，则该积分就是通常意义下的积分。在其它情况下，需要用到所谓的“单位分解”（参看 Sternberg[628] 和 Fleming[204]）。利用这个工具，整个外微积，包括 Stokes 公式，都可以从 \mathbf{R}^n 移植到任意微分流形 M 而不加改变。

在结附录时，我们叙述一个微分齐式的秩的定义以及关于求一次齐式的法式问题的定理而不加证明。

在一个 n 维流形上，已给一个 r 次式 ω ，若存在着 p 个（而且不少于 p 个， $r \leq p \leq n$ ）一次式 ϕ_α ，使

$$\omega = \sum \phi_{i_1} \wedge \cdots \wedge \phi_{i_r}, \quad (1 \leq i_1 < \cdots < i_r \leq p),$$

则 ω 称为是 p 秩的。若 $r = p$ ，则 $\omega = \phi_1 \wedge \cdots \wedge \phi_r$ ，而 ω 称为可分解的。

我们叙述下面的结果：

(1) 一个二次式 $\omega^{(2)}$ 的秩是偶数 $p = 2s$ ，其中 s 是使

$$\omega^{(2)} \wedge \omega^{(2)} \wedge \cdots \wedge \omega^{(2)} \neq 0 \quad (s \text{ 个因子})$$

的最大整数。

(2) 若 $\omega^{(2)}$ 是一个 n 维流形 M 上一个闭二次式，它的秩是 $p = 2s$ ，则在 M 的每一点邻近，可以引进坐标 $x_1, x_2, \cdots, x_s, y_1, \cdots, y_s$ ，使得 $\omega^{(2)}$ 用这些坐标表示时，

$$\omega^{(2)} = dx_1 \wedge dy_1 + dx_2 \wedge dy_2 + \cdots + dx_s \wedge dy_s.$$

(3) 设 ω 为在 M 上一次式而 $d\omega$ 的秩是 p . 若 $\omega \neq 0$ 而 $\omega \wedge d\omega \wedge \cdots \wedge d\omega = 0$ (含有 s 个因子 $d\omega$), 则在 M 的每一点邻近可以求得坐标 $x_1, x_2, \cdots, x_s, y_1, \cdots, y_s$, 使 $\omega = x_1 dy_1 + \cdots + x_s dy_s$. 若到处 $\omega \wedge d\omega \wedge \cdots \wedge d\omega \neq 0$ (s 个因子 $d\omega$), 则在 M 的每一点邻近, 可以引进坐标 $x_1, \cdots, x_s, x_{s+1}, y_1, \cdots, y_s$, 使 $\omega = x_1 dy_1 + \cdots + x_s dy_s + dx_{s+1}$. 这个性质称为 Darboux 定理[628].

参 考 文 献

下面是与本书内容有密切关系的专著和论文目录，下列文献中，还列有详尽的有关作品：

[51, 63, 152, 271, 274, 335, 367, 392, 428, 429, 647].

1. L. Ahlfors, "The theory of meromorphic curves", *Acta Soc. Sci. Fenn.* A3(1941), 1—31.
2. G. Ailam, "Moments of coverage and coverage spaces," *J. Appl. Probability* 3(1966), 550—555.
3. H. A. Alikoski, "Über das Sylvestersche Vierpunktproblem." *Ann. Acad. Sci. Fenn.* 51(1939), no. 7, 1—10.
4. C. B. Allendoerfer, "Steiner's formulae on a general S^n ," *Bull. Amer. Math. Soc.* 54(1948), 128—135.
5. C. B. Allendoerfer and A. Weil, "The Gauss-Bonnet theorem for Riemannian polyhedra," *Trans. Amer. Math. Soc.* 53(1943), 101—129.
6. R. V. Ambarcumjan, "Intersections of complex curves and random straight lines," *Soviet Math. Dokl.* 10 (1969), 865—868. (Translated from *Dokl. Akad. Nauk SSSR* 187(1969), no. 3, 487—489.)
7. R. V. Ambarcumjan, "Invariant imbedding in the theory of random lines," *Izv. Akad. Nauk Armjan. SSR* 5 (1970), 167—206.
8. R. V. Ambarcumjan, "On random plane mosaics,"

- Soviet Math. Dokl.* 12 (Pt. 2) (1971), 1349—1353.
9. R. V. Ambarcumjan, "Convex polygons and random tessellations," in *Stochastic Geometry* (E. F. Harding and D. G. Kendall, eds.), pp. 176—191. Wiley, New York, 1974.
 10. R. V. Ambarcumjan, "Probability distributions in the geometry of clusters," *Studia Sci. Math. Hungar.* 6 (1971), 235—241.
 11. R. V. Ambarcumjan, "On the solution of the Buffon-Sylvester problem in R^3 ," *Dokl. Akad. Nauk SSSR* 210 (1973), 1257—1260.
 12. P. Armitage, "An overlap problem arising in particle counting," *Biometrika* 36 (1949), 257—266.
 13. V. I. Arnold and A. Avez, *Problèmes ergodiques de la mécanique classique*. Gauthier-Villars, Paris, 1967.
 14. L. Auslander, *Differential Geometry*. Harper & Row, New York, 1966.
 15. F. Azorin, "Reconstruccion de patrones por muestreo sistemático espacial," *Estadist. Espanola* 57 (1971), 5—43.
 16. F. Azorin, "Comparacion de supuestos y disenos en la estimacion de patrones por muestreo sistematico plaridimensional," *Trabajos Estadist.* 21 (1970), 3—23.
 17. M. Balanzat, "Généralisation de quelques formules de géométrie intégrale," *C. R. Acad. Sci. Paris* 210 (1940), 596—598.
 18. M. Balanzat, "Sur quelques formules de la géométrie intégrale des ensembles dans un espace à n dime-

- nsions, *Portugal. Math.* 3 (1940), 87—94.
19. R. P. Bambah, "Polar reciprocal convex bodies," *Proc. Cambridge Phil. Soc.* 51 (1954), 377—378.
 20. T.F. Banchoff and W.F. Pohl, "On a generalization of the isoperimetric inequality," *J. Diff. Geometry* 6 (1971), 175—192.
 21. E. Barbier, "Note sur le problème de laiguille et le jeu du joint couvert," *J. Math. Pures Appl.* (2) 5 (1860), 273—286.
 22. A. E. Bates and M. E. Pillow, "Mean free path of sound in auditorium," *Proc. Phys. Soc.* 59 (1957), 535—541.
 23. M. Baticle, "Le problème des répartitions," *C.R. Acad. Sci. Paris* 201 (1935), 862—864.
 24. G. Baxter, "A combinatorial lemma for convex numbers," *Ann. Math. Statist.* 32 (1961), 901—904.
 25. E. A. Bender, "Area-perimeter relations for two-dimensional lattices," *Amer. Math. Monthly* 69 (1962), 742—744.
 26. D. C. Benson, "Sharpened form of the plane isoperimetric inequality," *Amer. Math. Monthly* 77 (1970), 29—31.
 27. R. V. Benson, *Euclidean Geometry and Convexity*. McGraw-Hill, New York. 1966.
 28. J. D. Bernal, "A geometrical approach to the structure of liquids," *Nature* 183 (1959), 141—147; 185 (1960), 68—70.
 29. J. D. Bernal, J. Masson, and K. F. Knight, "Radial distribution of the random close packing of spheres,"

Nature 189 (1962), 956—958.

- 30. L. Berwald and O. Varga. [1] Über die Schiebung im Raum, *Math. Z.* 42 (1937), 710—736.
- 30a. L. Bieberbach, "Über eine Extremaleigenschaft des Kreises," *Jber. Deutsch. Math. Verein* 24 (1915), 247—250.
- 31. G. D. Birkhoff, *Dynamical Systems*, Amer. Math. Soc., Providence, R. I., 1927.
- 32. R. L. Bishop and S. I. Goldberg, *Tensor Analysis on Manifolds*, Macmillan, New York, 1968.
- 32a. E. E. Blaisdell and H. Solomon, "On random sequential packing in the plane and a conjecture of Palastii," *J. Appl. Probability* 7 (1970), 667—698.
- 33. W. Blaschke, *Vorlesungen über Differentialgeometrie*, Vol 2 (*Affine Differentialgeometrie*), Springer, Berlin, 1923.
- 34. W. Blaschke, "Einige Bemerkungen über Kurven und Flächen konstanter Breite," *Ber. Verh. Sächs. Akad. Wiss., Leipzig, Math. Natur. Kl.* 67 (1915), 290—297.
- 35. W. Blaschke, "Eine isoperimetrische Eigenschaft des Kreises," *Math. Z.* 1 (1918), 52—57.
- 36. W. Blaschke, "Integralgeometrie I, Ermittlung der Dichten für lineare Unterräume im E_n ," *Actualités Sci. Indust.* 252 (1935).
- 37. W. Blaschke, "Integralgeometrie 2; Zu Ergebnissen von M. W. Crofton," *Bull. Math. Soc. Roumaine Sci.* 37 (1935), 3—11.
- 38. W. Blaschke, "Integralgeometrie 10, Eine isoperim-

- eurische Eigenschaft der Kugel." *Bull. Math. Soc. Roumaine Sci.* 37 (2) (1936), 3—7.
39. W. Blaschke, "Integralgeometrie 11: Zur Variationssrechnung," *Abh. Math. Sem. Univ. Hamburg* 11 (1936), 359—366.
 40. W. Blaschke, "Integralgeometrie 12: Vollkommene optische Instrumente," *Abh. Math. Sem. Univ. Hamburg* 11 (1936), 409—412.
 41. W. Blaschke, "Integralgeometrie 13: Zur Kinematik," *Math. Z.* 41 (1936), 465—478.
 42. W. Blaschke, "Integralgeometrie 17: Über Kinematik," *Deltion (Athens)* 1936. 3—14.
 43. W. Blaschke, "Integralgeometrie 20: Zur elliptischen Geometrie," *Math. Z.* 41 (1936), 785—786.
 44. W. Blaschke, "Integralgeometrie 21: Über Schiebungen," *Math. Z.* 42 (1937), 1—12.
 45. W. Blaschke, "Integralgeometrie 22: Geschlossene Kurven und Flächen in der elliptischen Geometrie," *Abh. Math. Sem. Univ. Hamburg* 12 (1937), 111—113.
 46. W. Blaschke, "Sulla proprietà isoperimetrica del cerchio," *Rend. Sem. Mat. Univ. Roma IV* 1 (1937), 233—234.
 47. W. Blaschke, "Densità negli spazi di Hermite," *Atti Accad. Naz. Lincei Rend. Cl. Sci. Fis. Mat. Natur. Ser. VI* 29 (1939), 105—108.
 48. W. Blaschke, "Über Integrale in der Kinematik," *Arch. Math. (Basel)* 1 (1948), 18—22.
 49. W. Blaschke, "Zur Integralgeometrie," *Rend. Circ. Mat. Palermo II* 1 (1952), 103—110.

50. W. Blaschke, *Kreis und Kugel*, 2nd ed. W. de Gruyter, Berlin, 1956.
51. W. Blaschke, *Vorlesungen über Integralgeometrie*, 3rd ed. Deutsch. Verlag Wiss., Berlin, 1955.
52. W. Blaschke and O. Varga, "Integralgeometrie 9. Über Mittelwerte an Eikörpern," *Mathematica (Cluj)* 12 (1936), 67—80.
53. H.F. Blichfeldt, "A new principle in the geometry of numbers with some applications," *Trans. Amer. Math. Soc.* 15 (1914), 227—235.
54. J. Bodziony, "On the probability of application of integral geometry methods in certain problems of liberation of mineral grains," *Bull. Acad. Polon. Sci. Sér. Sc. Techniques*, 13 (1965), 459—467.
55. J. Bodziony, "On certain indices characterizing the geometric structure of rocks," *Bull. Acad. Polon. Sci. Sér. Sc. Techniques* 13 (1965), 469—475.
56. J. Bodziony, "On the liberation of mineral grains," *Bull. Acad. Polon. Sci. Sér. Sc. Techniques*, 13 (1965), 513—518.
57. J. Böhm, "Untersuchung des Simplex-Inhaltes im Raum konstanter Krümmung beliebiger Dimensionen," *J. Reine Angew. Math. (Crelle)* 202 (1959), 16—51.
58. J. Böhm, "Über Inhaltsmessung im Raum konstanter Krümmung," *Wiss. Z. Friedrich-Schiller-Univ. Jena Thüringen* 10 (1960—1961), 29—32.
59. J. Böhm, "Inhaltsmessung im R_5 konstanter Krümmung," *Arch. Math. (Basel)* 11 (1960), 298—309.
60. J. Bokowski, H. Hadwiger, and J.M. Wills, "Eine

- Ungleichung zwischen Volumen, Oberfläche und Gitterpunktzahl konvexer Körper im n -dimensionalen euklidischen Raum," *Math. Z.* 127(1972), 363—364.
61. G. Bol, "Zur kinematischen Ordnung ebener Jordan-Kurven," *Abh. Math. Sem. Univ. Hamburg* 11 (1936), 394—408.
 62. T. Bonnesen, *Les problèmes des isopérimètres et des isépiphanes*. Gauthier-Villars, Paris, 1920.
 63. T. Bonnesen and W. Fenchel, *Theorie der konvexen Körper*. *Ergeb. Math.*, Springer, Berlin, 1934.
 64. E. Borel, *Principes et formules classiques du calcul des probabilités*. Gauthier-Villars, Paris, 1925.
 65. V. A. Borovikov, "Fundamental solutions of partial differential equations with constant coefficients," *Trans. Moscow Math. Soc.* 3 (1959), 193—257.
 66. O. Bottema, "Eine obere Grenze für das isoperimetrische Defizit ebener Kurven," *Nederl. Akad. Wetensch. Proc. A* 36 (1933), 442—446.
 67. J. L. Boursin, "Sur quelques problèmes de géométrie aléatoire," *Ann. Fac. Sci. Univ. Toulouse* (4), 28 (1965), 9—99.
 68. N. Bourbaki, *General Topology*, Pt. I. Addison-Wesley, Reading, Mass., 1966.
 69. N. Bourbaki, *Éléments de Mathématiques*, Livre VI (*Integration*), Chap. 7. Hermann, Paris, 1963.
 70. L. G. Briarty, "Stereology methods for quantitative light and electron microscopy," *Sci. Progr.* 62(1975), 1—32.
 71. J. Bronowski and J. Neyman, "The variance of the

- measure of a two-dimensional random set," *Ann. Math. Statist.* 16 (1945), 330—341.
72. B. Brosowski, "Über die konvexe Hülle von zufälligen Pfaden," *Z. Angew. Math. Mech.* 43 (1963), Supplement, T. 40, T. 41.
73. J. E. Brothers, "Integral geometry in homogeneous spaces," *Trans. Amer. Math. Soc.* 124 (1966), 480—517.
74. H. Busemann, *Convex Surfaces*. Wiley (Interscience), New York, 1958.
75. H. Busemann, "Volume in terms of concurrent cross-sections," *Pacific J. Math.* 3 (1953), 1—12.
76. H. Busemann and P. J. Kelly, *Projective Geometry and Projective Metrics*. Academic Press, New York, 1953.
- 76a. J. W. Cahn, "The generation and characterization of shape," *Advances in Appl. Probability*, Spec. Suppl. (*Proc. Symp. Statist. Probabilistic Problems in Metallurgy, Seattle, 1971*) (1972), 221—242.
77. G. Calugareanu, "L'intégrale de Gauss et l'analyse des noeuds tridimensionnels," *Rev. Roumaine Math. Pures Appl.* 4 (1959), 1—20.
78. G. Calugareanu, "Sur les classes d'isotopie des noeuds tridimensionnels et leurs invariants," *Czechoslovak Math. J.* 11 (1961), 588—624.
79. G. Calugareanu, "Sur les enlacements tridimensionnels des courbes," *Comm. Acad. R. P. Roumaine* 11 (1961), 829—832.
80. I. P. Caregradskii, "A certain problem of search by

- networks," *Toer.Verojatnost. i Primenen.* 15(1970), 326—330. (English transl: *Theor. Probability Appl.* 15 (1970), 315—319.)
81. T. Carleman, "Über eine isoperimetrische Aufgabe und ihre physikalischen Anwendungen," *Math.Z.* 3 (1916), 1—7.
82. J.A. Carlson, "A remark on the transcendental Bezout problem," in *Value Distribution Theory* (R.O. Kujala and A.L. Willer III, eds.), Pt. A, pp. 133—143. Dekker, New York, 1971.
83. J.A. Carlson and P.A. Griffiths, "The order function for entire holomorphic mappings," in *Value Distribution Theory* (R.O. Kujala and A.L. Willer III, eds.), Pt. A, pp. 225—248. Dekker, New York, 1974.
84. H. Carnal, "Die konvexe Hülle von n rotationssymmetrisch verteilten Punkten," *Z. Wahrscheinlichkeits.* 15 (1970), 168—176.
85. E. Cartan, "Le principe de dualité et certaines intégrales multiples de l'espace tangentiel et de l'espace réglé," *Bull. Soc. Math. France* 24 (1896), 140—177. (*Oeuvres Complètes*, Pt. II, Vol. 1, pp. 265—302.) Gauthier-Villars, Paris, 1952.
86. E. Cartan, "Sur les invariants intégraux de certains espaces homogènes clos et les propriétés topologiques de ces espaces," *Ann. Soc. Polon. Math.* 8 (1929), 181—225. (*Oeuvres Complètes*, Pt. II, Vol. 1, pp. 265—302.) Gauthier-Villars, Paris, 1952.
87. E. Cartan, *Leçons sur les invariants intégraux.*

- Hermann, Paris, 1922.
88. E. Cartan, *La théorie des groupes finis et continus et la géométrie différentielle traités par la méthode du repère mobile*. Gauthier-Villars, Paris, 1937.
 89. E. Cartan, *Leçons sur la Géométrie Projective Complexe*. Gauthier-Villars, Paris. 1931.
 90. E. Cartan. *Les systèmes différentiels extérieurs et leurs applications géométriques*, *Actualités Sci. Indust.* 994 (1945).
 91. H. Cartan, *Formes différentielles*. Hermann. Paris, 1967.
 92. J. W. S. Cassels, *An Introduction to the Geometry of Numbers*. Springer. Berlin. 1959.
 93. A. Cauchy, "Mémoire sur la rectification des courbes et la quadrature des surfaces courbes," *Mem. Acad. Sci. Paris* 22(1850). 3—15.
 94. C. B. S. Cavallin, "Question 6571," *Educational Times* 34(1881). 23.
 95. G. D. Chakerian, "Integral geometry in the Minkowski plane," *Duke Math. J.* 29(1962), 375—381.
 96. G. D. Chakerian, "An inequality for closed space curves," *Pacific J. Math.* 12(1962), 53—57.
 97. G. D. Chakerian, "On some geometric inequalities," *Proc. Amer. Math. Soc.* 15(1964), 886—888.
 98. G. D. Chakerian, "Isoperimetric inequalities for the mean width of a convex body," *Geometria Dedicata* 1(1973), 356—362.
 99. G. D. Chakerian, "Higher-dimensional analogues of an isoperimetric inequality of Benson," *Math.*

- Nachr.* 48(1971), 33—41.
100. G.D.Chakerian and M.S.Klamkin, "Minimal covers for closed curves," *Math.Mag.* 46(1973), 55—61.
 101. G.D.Chakerian and S.K.Stein, "Bisected chords of a convex body," *Arch.Math.(Basel)* 17(1966), 561—565.
 102. N.G.Chebotarev, "The determination of volume in Lie groups," *Zap.Mat.Otdel.Fiz.-Mat.Fak.Khar-kov Mat.Obse.* 14(1937), 3—20.
 103. C.-S.Chen, "On the kinematic formula of square of mean curvature," *Indiana Univ. Math. J.* 22 (1972—1973), 1163—1169.
 104. S.S.Chern, "Sur les invariants intégraux en géométrie," *Sci.Repts.Natl.Tsing-Hua Univ.* A4(1940), 85—95.
 105. S.S.Chern, "On integral geometry in Klein spaces," *Ann.of Math.(2)* 43(1942), 178—189.
 106. S.S.Chern, "A simple intrinsic proof of the Gauss-Bonnet theorem for closed riemannian manifolds," *Ann.of Math.(2)* 45(1944), 747—752.
 107. S.S.Chern, "On the curvature integral of a riemannian manifold," *Ann.of Math.* (2) 46(1945), 674—684.
 108. S.S.Chern, "On the kinematic formula in the euclidean space of n dimensions," *Amer. J. Math.* 74 (1952), 227—236.
 109. S.S.Chern, "Differential geometry and integral geometry," *Proc.Internat.Congr.Math., Edinburgh, 1958* pp.441—449. Cambridge Univ. Press, New York 1960.

110. S.S.Chern, "Geometry of submanifolds in a complex projective space," *Symp.Internat.Top.Alg., México*, 1958 pp.87—96.
111. S. S. Chern, "Holomorphic mappings of complex manifolds," *Enseignement Math.* 7(1961), 179—187.
112. S.S.Chern, "On the kinematic formula in integral geometry," *J.Math.and Mech.* 16(1966), 101—118.
113. S.S.Chern, "Curves and surfaces in euclidean space," in *Studies in Global Geometry and Analysis*, pp. 17—56. The Mathematical Association of America, 1967.
114. S.S.Chern, "The integrated form of the first main theorem for complex analytic mappings in several complex variables, " *Ann.of Math.*(2)71 (1960), 536—551.
115. S.S.Chern, "Holomorphic curves in the plane," in *Differential Geometry in Honour of K. Yano*, pp.13—94. Kinokuniya, Tokyo. 1972.
116. S.S.Chern and R.K.Lashof, "On the total curvature of immersed manifolds, I," *Amer.J. Math.* 79 (1957), 306—318; II. *Michigan Math.J.* 5(1958), 5—12.
117. S.S.Chern and C.T.Yien, "Sulla formula principale cinematica dello spazio ad n dimensioni," *Boll. Un Mat. Ital.*(2)2(1940). 434—437.
118. C.Chevalley, *Theory of Lie Groups*. Princeton Univ. Press, Princeton, N.J., 1946.
119. R.Coleman, "Random paths through convex bodies," *J.Appl.Probability* 6(1969), 430—441.

120. R.Coleman, "Sampling procedures for the lengths of random straight lines," *Biometrika* 59(1972), 415—426.
121. R.Coleman, "The distance from a given point to the nearest end of one member of a random process of linear segments," in *Stochastic Geometry* (E.F. Harding and D.G. Kendall, eds.), pp. 192—201. Wiley, New York, 1974.
122. P.J. Cooke, Sequential Coverage in Geometrical Probability, Ph.D. dissertation, Dept. of Statist., Stanford Univ., 1971.
123. P.J. Cooke, "Bounds for coverage probabilities with applications to sequential coverage problems," *J. Appl. Probability* 11(1974), 281—293
124. H.Corte, "On the distribution of mean density in paper, I, II," *Papier* 23(1969), 381—393; 24(1970), 261—271.
125. R.Courant and D.Hilbert, *Methods of Mathematical Physics*, Vol. 1. Wiley (Interscience), New York, 1953.
126. T.Cover and B. Efron, "Geometrical probability and random points in a hypersphere," *Ann. Math. Statist.* 38 (1967), 213—220.
127. H.S.M.Coxeter, *Introduction to Geometry*. Wiley, New York, 1961.
128. H.S.M.Coxeter, *Non-Euclidean Geometry*, 3rd ed. Univ. Toronto Press, Toronto, 1957.
129. H.S.M Coxeter, "Regular compound tessellations of the hyperbolic plane," *Proc. Roy. Acad.* A278(1964),

147—167.

130. I. K. Crain, "Monte Carlo simulation of random Voronoi polygons; preliminary results," *Search* 3 (1972), 220—221.
131. A. Creanga-Samboan, "Random sets, random coverings," *Stud. Cerc. Mat.* 23(1971), 845—851.
132. M. W. Crofton, "On the theory of local probability," *Phil. Trans. Roy. Soc. London* 158(1868), 181—199.
133. M. W. Crofton, "Probability," in *Encyclopaedia Britannica*, 9th ed., Vol. 19(1885), pp. 768—788.
134. E. Czuber, *Geometrische Wahrscheinlichkeiten und Mittelwerte*. Teubner, Leipzig, 1884. (French transl. Hermann, Paris, 1902.)
135. T. Dalenius, J. Hajek, and S. Zubrizcki, "On plane sampling and related geometrical problems," *Proc. 4th Berkeley Symp. Math. Statist. and Probability*, 1961 Vol. 1, pp. 125—150.
136. D. J. Daley, "Various concepts of orderliness for point processes," in *Stochastic Geometry* (E. F. Harding and D. G. Kendall, eds.), pp. 148—161. Wiley, New York, 1974.
137. H. E. Daniels, "The covering circle of a sample from a circular distribution," *Biometrika* 39 (1952), 137—143.
138. L. Danzer, B. Grünbaum, and V. Klee, "Helly's theorem and its relatives," in *Complexity* (Proc. Symp. Pure Math., 7, Seattle, 1961), pp. 101—180. Amer. Math. Soc., Providence, R. I., 1963.
139. D. A. Darling, "On a problem of Rényi," *Period.*

Math. Hungar. 3 (1973), 5—7.

140. R. Davidson, "Construction of line processes, second-order properties," in *Stochastic Geometry* (E. F. Harding and D. G. Kendall, eds.), pp. 55—75. Wiley New York, 1974. (This book contains all of Davidson's published and a great part of his unpublished work on stochastic line processes.)
141. N. G. De Bruin, "Asymptotic distribution of lattice points in a rectangle," *SIAM Rev.* 7(1965), 274—275.
- 141a. R. T. De Hoff, "The determination of the size distribution of ellipsoidal particles from measurements made in random plane sections," *Trans. Met. Soc. AIME* 224(1962), 474.
- 141b. R. T. De Hoff, "The estimation of particle size distribution from simple counting measurements made on random plane sections," *Trans. Met. Soc. AIME* 233(1965), 25—29.
- 141c. R. T. De Hoff, "The quantitative estimation of mean surface curvature," *Trans. Met. Soc. AIME* 239 (1967), 617—621.
- 141d. R. T. De Hoff, "The evolution of particulate structures," *Spec. Suppl (Proc. Symp. Statist. Probabilistic Problems in Metallurgy, Seattle, 1971), Advances in Appl. Probability*(1972), 188—198.
- 141e. R. T. De Hoff and P. Bousquet, "Estimation of the size distribution of triaxial ellipsoidal particles from the distribution of linear intercepts," *J. Microscopy* 92(1970), 119—135.

142. R. T. De Hoff and F. N. Rhines, "Determination of number of particles per unit volume," *Trans. Met. Soc. AIME* 221(1961), 975—982.
143. R. Deltheil, "Sur la théorie des probabilités géométriques," *Ann. Fac. Sci. Univ. Toulouse*(3)11 (1919), 1—65
144. R. Deltheil, *Probabilités géométriques*. Gauthier-Villars, Paris, 1926.
145. G. De Rahm, "Sur un procédé de formation d'invariants intégraux," *Jber. Deutsch. Math. Verein* 49(1939), 156—161.
- 145a. H. L. De Vries, "Über Koeffizientenprobleme bei Eiliniien und über die Heinzsche Konstanz," *Math. Z.* 112(1969), 101—106.
146. D.Z.Djorovic, "A problem in geometrical probability," *Publ. Fac. Electrotec. Univ. Belgrade, Ser Mat.-Fis.* 175—179(1967), 26—33.
147. C.T.J.Dodson, "Statistical analysis of patterns of deformation in flat bounded fibrous networks," *J. Phys.* D3(1970), 269—276.
148. C.T.J.Dodson, "Spatial variability and the theory of sampling in random fibrous networks," *J. Roy. Statist. Soc.* B33(1971), 88—94.
149. C. Domb, "The problem of random intervals on a line," *Proc. Cambridge Phil. Soc.* 43(1947), 329—341
150. C. Domb, "A note on the series expansion method for clustering problems," *Biometrika* 59(1972), 209—211

151. R. Dontot, "Sur les invariants intégraux et quelques points d'optique géométrique," *Bull. Soc. Math. France* 42(1914), 53—91
152. G.I. Drinfel'd, "Integral geometry," *Progr. Math.* 12 (*Algebra and Geometry*, R. V. Gamkreilidze, ed.; English transl.; N.H. Choksy), pp. 173—215. Plenum Press, New York and London, 1972
153. G. I. Drinfel'd, "On measure in Lie groups," *Kharkov Gos. Univ. Ucen. Zap.* 29(1949); *Zap. Mat. Otdel. Fiz.-Mat. Fak. Kharkov Mat. Obse*, 21(1949), 47—57
154. R.J. Duffin, "Some problems of mathematics and science," *Bull. Amer. Math. Soc* 80(1974), 1053—1070.
- 154a. R.J. Duffin, R. A. Meussner, and F. N. Rhines, "Statistics of particle measurement and of particle growth," *Carnegie-Mellon Univ., Technical Report* 32, April 1953.
155. S.W. Dufour, *Intersections of Random Convex Regions*, Ph. D. dissertation. Dept. of Statist., Stanford Univ., 1972.
156. A. Dvoretzky and H. Robbins, "On the parking problem," *Publ. Math. Inst. Hungar. Akad. Sci.* A9 (1964), 209—226.
157. A. Dvoretzky and C.A. Rogers, "Absolute and conditional convergence in normed linear spaces," *Proc. Natl. Acad. Sci. USA* 36(1950), 192—197.
158. L.L. Eberhardt, "Some developments in distance sampling," *Biometrics* 23 (1967), 207—216.

159. J. Echarte Reula, "Medidas en espacios foliados y en espacios homogéneos," *Publ. Rev. Acad. Ci. Zaragoza Ser. 2* 21 (1966).
160. B. Efron, "The convex hull of a random set of points," *Biometrika* 52(1965), 331—344
161. H. G. Eggleston, "Note on a conjecture of L. A. Santaló," *Mathematika* 8(1961), 63—65
162. H. G. Eggleston, *Convexity*, Cambridge Univ. Press, Cambridge, England, 1958
163. H. G. Eggleston, *Problems in Euclidean Space, Application of Convexity*. Pergamon Press, London, 1957
164. P. Eggleston and W. O. Kermack, "A problem in the random distribution of particles," *Proc. Roy. Soc. Edinburgh* 62(1944), 103—115.
165. L. P. Eisenhart, *Riemannian Geometry*. Princeton Univ. Press, Princeton, N.J., 1949.
166. H. Elias (ed.), *Stereology (Proc. 2nd Internat. Congr. Stereology)*. Springer, Berlin, 1967
167. D. Fairthorne, "The distance between random points in two concentric circles," *Biometrika* 51(1964), 275—277.
168. I. Fáry, "Sur la courbure totale d'une courbe gauche faisant un noeud," *Bull. Soc. Math. France* 77(1949), 128—138.
169. I. Fáry, "Sur certaines inégalités géométriques," *Acta Sci. Math. (Szeged)* 12(1950), 117—124.
170. I. Fáry, "Functionals related to mixed volumes," *Illinois J. Math.* 5(1961), 425—430.

171. H. Fast and A. Gotz, "Sur l'intégrabilité riemannienne de la fonction de Crofton," *Ann. Soc. Polon. Math.* 25(1952), 301—322.
172. J. Favard, "Définition de la longueur et de l'aire," *C. R. Acad. Sci. Paris* 194(1932), 344—346.
173. H. Federer, "Coincidence functions and their integrals," *Trans. Amer. Math. Soc.* 59(1946), 441—466.
174. H. Federer, "The (ϕ, k) -rectifiable subsets on n space," *Trans. Amer. Math. Soc.* 62(1947), 114—192.
175. H. Federer, "Dimension and measure," *Trans. Amer. Math. Soc.* 62(1947), 536—547.
176. H. Federer, "Some integral geometric theorems," *Trans. Amer. Math. Soc.* 77(1954), 233—261.
177. H. Federer, "Curvature measures," *Trans. Amer. Math. Soc.* 93 (1959), 418—491.
178. H. Federer, *Geometric Measure Theory* Springer, Berlin, 1969.
179. L. Fejes Toth, "Über einen geometrischen Satz," *Math. Z.* 45(1940), 83—85.
180. L. Fejes Toth, *Lagerung in der Ebene, auf der Kugel und im Raum*. Springer, Berlin, 1953.
181. L. Fejes Toth, "Close packing of segments," *Ann. Univ. Sci. Budapest. Eötvös Sect. Math.* 10(1967), 57—60.
182. L. Fejes Toth and H. Hadwiger, "Mittlere Trefferzahlen und geometrische Wahrscheinlichkeiten," *Experientia* 3(1947), 366—369.

183. L. Fejes Toth and H. Hadwiger, "Über Mittelwerte in einem Eibereichsystem," *Bull. Inst. Polytech. Jassy* 1948, 29—35.
184. W. Feller, "Some geometric inequalities," *Duke Math. J.* 9(1942), 885—892.
185. W. Feller, *An Introduction to Probability Theory and Its Applications*. Wiley, New York, 1950.
186. W. Fenchel, "On the differential geometry of closed curves," *Bull. Amer. Math. Soc.* 57(1951), 44—54.
187. W. Fenchel, "Über Krümmung und Windung geschlossener Raumkurven." *Math. Annal.* 101(1929), 238—252.
188. T. Figiel, "Some remarks on Dvoretzky's theorem on almost spherical sections of convex bodies," *Colloq. Math.* 24(1971—1972), 241—252.
189. J. P. Fillmore, "Barbier's theorem in the Lobatchewski plane," *Proc. Amer. Math. Soc.* 24(1970), 705—709.
190. D. Filipescu, "On some integral formulae for convex bodies," *Stud. Cerc. Mat.* 22(1970), 1013—1031.
191. D. Filipescu, "Integral formulae for systems of random convex figures in Euclidean space," *Bull. Inst. Politechn. Bucuresti* 34(1972), 21—36.
- 191a. D. Filipescu, "Integral formulas relative to convex figures in the euclidean space E_2 ," *Stud. Cerc. Mat.* 23(1971), 693—709.
- 191b. D. Filipescu, "On some integral formulas relative to convex curves in a riemannian space V_2 of constant

- curvature," *Stud. Cerc. Mat.* 23(1971), 561—578.
192. W.J.Firey, "The mixed area of a convex body and its polar reciprocal," *Israel J. Math.* 1(1963), 201—202.
 193. W. J. Firey, "An integral-geometric meaning for lower order area functions of convex bodies," *Mathematika* 19(1972), 205—212.
 194. W.J.Firey, "Support flats to convex bodies," *Geometriae Dedicata* 2(1973) 225—248.
 195. W.J.Firey, "Approximating convex bodies by algebraic ones," *Arch. Math.* 25(1974), 424—425.
 196. L.D.Fisher, "The convex hull of a sample," *Bull. Amer. Math. Soc.* 72(1966), 555—558.
 197. L.D.Fisher, "Limiting convex hulls of samples, theory and function space examples," *Z. Wahrscheinlichkeits.* 18(1971), 281—297.
 198. R.A.Fisher, "On the similarity of the distributions found for the test of significance in harmonic analysis and in Steven's problem in geometrical probability," *Ann. Eugenics* 10(1940), 14—17.
 199. R.A.Fisher and R.E.Miles, "The role of the spatial patterns in the competition between crop plants and weeds, A theoretical analysis," *Math. Biosci.* 18(1973), 335—350.
 200. F. J. Flaherty, "Curvature measures for piecewise linear manifolds," *Bull. Amer. Math. Soc.* 79 (1973), 100—102.
 201. H.Flanders, *Differential Forms with Applications to the Physical Sciences*. Academic Press, New

- York, 1963.
202. H. Flanders, "Differential forms," in *Studies in Global Geometry and Analysis* (S.S. Chern, ed.) pp. 57—95. Prentice-Hall, Englewood Cliffs, N. J., 1967.
 203. H. Flanders, "A proof of Minkowski's inequality for convex curves," *Amer Math Monthly* 75(1968), 581—593.
 204. W. H. Fleming, *Functions of Several Variables* Addison-Wesley, Reading, Mass., 1965.
 205. E. Fratila, "Une methode statist que d' évaluer la longueur d'un arc de courbe spatial," *Rev. Roumaine Math. Pures Appl.* 16(1971), 494—498.
 206. M. Fujiwara, "Ein Satz über konvexe geschlossene Kurven," *Sci Repts Tohoku Univ.* 9(1920), 289—294.
 207. K. Fukunaga, *Introduction to Statistical Pattern Recognition*. Academic Press, New York, 1972.
 208. R. L. Fullman, "Measurement of particle sizes in opaque bodies," *J. Metals* 5(1953), 447—452.
 209. R. L. Fullman, "Measurement of approximately cylindrical particles in opaque samples," *J. Metals* 5(1953), 1267—1268.
 - 209a. H. Furstenberg and I. Tzkoni, "Spherical functions and integral geometry," *Israel J. Math.* 10(1971), 327—338.
 210. P. Funk, "Über eine geometrische Anwendung der Abelschen Integralgleichung," *Math. Ann.* 77(1916), 129—135.

211. F. Gaeta, "Sobre la subordinacion de la geometria integral a la teoria de la representacion de grupos mediante transformaciones lineales," *Contrib. Ci. Univ. Buenos Aires, Fac. Ci. Ex Nat. Ser. Mat.* 2(1960), 31—87.
212. J. Gani, "A car parking problem," *Period. Math. Hungar.* 2(1972), 61—72.
213. F. Garwood, "The variance of the overlap of geometrical figures with reference to a bombing problem," *Biometrika* 34(1947), 1—17.
214. F. Garwood, "An application of the theory of probability to vehicular controlled traffic," *J. Roy. Statist. Soc. Suppl.* 7(1960), 65—67.
215. F. Garwood, "The vectorial representation of the frequency of encounters of freely flowing vehicles," *J. Appl. Probability* 11(1974), 797—808.
216. E. Gaspar, "Formulas integrales referentes a la interseccion de una figura plana con bandas paralelas variables," *Publ. Inst. Mat. Univ. Litoral. Rosario, Argentina* 2(1940), 113—118.
217. E. P. Geciauskas, "Distribution of the distance between two points in an ovaloid," *Litovsk. Mat. Sb.* 7(1967), 35—36.
218. E. P. Geciauskas, "The method of integral geometry for finding the distribution of distances in an ovaloid," *Litovsk. Mat. Sb.* 9(1969), 481—482.
219. E. P. Geciauskas, "Search by an oval," *Theor. Probability Appl.* 9(1965), 635—637 (translation).
220. J. Geffroy, "Contribution à la théorie des valeurs

- extrêmes," *Publ. Inst. Statist. Univ. Paris* **8** (1959), 123—185.
221. J. Geffroy. "Localisation asymptotique du lophy polyhedre d'appui d'un échantillon laplacien en k dimensions," *Publ. Inst. Statist. Univ. Paris* **10** (1961), 3, 212—228.
222. I.M. Gelfand and M. I. Graev, "The geometry of homogeneous spaces, group representations in homogeneous spaces and questions in integral geometry related to them, I," *Trans. Moscow. Math. Soc.* **8**(1959), 321—390.
223. I.M. Gelfand, M.I. Graev, and Z. Ya. Shapiro, "Differential forms and integral geometry," *Functional Anal. Appl.* **3**(1969), 101—114(translation).
224. I.M. Gelfand, M.I. Graev, and N. Ya. Vilenkin, *Generalized Functions, Vol. 5: Integral Geometry and Representation Theory*. Academic Press, New York, 1966.
- 224a. J. Gerriets and F. Poole, "Convex regions which cover arcs of constant length," *Amer. Math. Monthly* **81**(1974), 36—41.
225. B. Ghosh. "Random distances within a rectangle and between two rectangles," *Bull. Calcutta Math. Soc.* **43**(1951), 17—21.
226. H. Giger, "Zufallsmoirés," *Optica Acta* **15**(1968), 511—519.
227. H. Giger, "Fundamental equations in stereology, I," *Metrika* **16**(1970), 45—51; II, **18**(1972), 84—93.
228. H. Giger and H. Hadwiger, "Über Treffzahlen" rs-

- cheinlichkeiten im Eukorperfeld." *Z. Wahrscheinlichkeits*. 10(1968), 329—334.
229. H.Giger and H.Riedwyl, "Bestimmung der Größenverteilung von Kugeln aus Schnittkreisradien," *Biometrische Z.* 12(1970), 156—162.
230. E.N.Gilbert, "Random subdivisions of space into crystals," *Ann. Math. Statist.* 33(1962), 958—972.
231. E.N.Gilbert, "The probability of covering a sphere with n circular caps," *Biometrika* 52(1965), 323—330.
232. J. R. Goldman, "Stochastic point processes; limit theorems," *Ann. Math. Statist.* 38(1967), 323—330.
233. A.W.Goodman and R.E.Goodman, "A circle covering problem," *Amer. Math. Monthly* 52(1945), 494—498.
234. S.Goudsmidt, "Random distributions of lines in a plane," *Rev. Modern Phys.* 17(1945), 321—322.
235. J.W.Green, "On the determination of a function in the plane by its integrals over straight lines," *Proc. Amer. Math. Soc.* 9(1958), 758—762.
236. L.W. Green, "Auf Wiedersehenflächen," *Ann. of Math.* (2) 78(1963), 289—299.
237. U.Grenander, "Statistical geometry; a tool for pattern analysis," *Bull. Amer. Math. Soc.* 79(1973), 829—856.
238. N. T. Gridgeman, "Geometric probability and the number π ," *Scripta Math.* 25(1960), 183—195.

239. P.A.Griffiths, "On the Bezout problem for entire analytic sets," *Ann. of Math.*(2)100(1971), 533—552.
240. P.A.Griffiths, "On Cartan's method of Lie groups and moving frames as applied to uniqueness and existence questions in differential geometry," *Duke Math. J.* 41(1974), 775—814.
241. H.Groemer, "Über die mittlere Dichte von Massenverteilungen," *Monatsh. Math.* 70 (1966), 437—443.
242. H.Groemer, "On plane sections and projection of convex sets," *Canad. J. Math.* 21(1969), 1331—1337.
243. H.Groemer, "Eulersche Charakteristik, Projektionen und Quermassintegrale," *Math. Annal.* 198(1972), 23—56.
244. H. Groemer, "On some mean values associated with a randomly selected simplex in a convex set," *Pacific J. Math.* 45(1973), 525—533.
245. H.Groemer, "On the mean value of the volume of a random polytope in a convex set," *Arch. Math.* (Basel) 25(1974), 86—90.
246. B. Grünbaum, "Measures of symmetry for convex sets," in *Convexity (Proc. Symp. Pure Math. 7th Seattle, 1961)*, pp.233—270. Amer. Math. Soc., Providence, R.I., 1963.
247. B.Grünbaum, *Convex Polytopes*, Wiley, New York, 1967.
248. B.Grünbaum, "Polytopes, graphs and complexes,"

- Bull. Amer. Math. Soc.* 76(1970), 1131—1201.
249. G.Grünwald and P.Turan, "Über den Blochschen Satz," *Acta Litt. Sci. R. Univ. Hungar.* 8(1936), 238.
 250. W. C. Guenther, "Circular probability problems," *Amer. Math. Monthly* 68(1961), 541—544.
 251. W.C.Guenther and P.J.Terragno, "A review of the literature on a class of coverage problems," *Ann. Math. Statist.* 35(1964), 232—260.
 252. H. Guggenheimer, *Differential Geometry*. McGraw-Hill, New York, 1963.
 253. H. Guggenheimer, "Pseudo-Minkowski differential geometry," *Ann. Mat. Pura Appl.* (4) 70(1965), 305—370.
 254. H. Guggenheimer, *Plane Geometry and Its Groups*. Holden-Day, San Francisco, 1967.
 255. H. Guggenheimer, "Integral geometry in the Laguerre group," *Atti Congr. Internaz. Geom. Diff. (Bologna)* 1967, 1—3.
 256. H. Guggenheimer, "Hill equations with coexisting periodic solutions," *J. Diff. Equations* 5(1969), 159—166.
 257. H. Guggenheimer, "Bemerkung zur Aufgabe 493," *Elem. Math.* 24(1969), No. 1.
 258. H. Guggenheimer, "Polar reciprocal convex bodies," *Israel J. Math.* 14(1973), 309—316.
 259. H. Guggenheimer, "A formula of Furstenberg-Tzkonis type," *Israel J. Math.* 14(1973), 281—282.
 260. R.S.Guter, "On the probability of detecting a re-

- gion by a linear search," *Theor. Probability Appl.* 9(1961), 331—333.
261. H. Hadwiger, "Über Mittelwerte im Figurengitter," *Comment. Math. Helv.* 11(1939), 221—233.
262. H. Hadwiger, "Über statistische Flächen- und Längenmessung," *Mitt. Naturforsch. Gesellsch. Bern* 53—58 (1939).
263. H. Hadwiger, "Überdeckung ebener Bereiche durch Kreise und Quadrate," *Comment. Math. Helv.* 13 (1941), 195—200.
264. H. Hadwiger, "Gegenseitige Bedeckbarkeit zweier Eibereiche und Isoperimetrie," *Vierteljahrsschr. Naturforsch. Gesellsch. Zürich* 86(1941), 152—156.
265. H. Hadwiger, "Die erweiterten Steinerschen Formeln für ebene und sphärische Bereiche," *Comment. Math. Helv.* 18(1945), 59—72.
266. H. Hadwiger, "Nonseparable convex systems," *Amer. Math. Monthly* 54(1947), 583—585.
- 266a. H. Hadwiger, "Un valor medio integral de la característica de Euler para ovalos móviles," *Rev. Un. Mat. Argentina* 13(1948), 66—72.
267. H. Hadwiger, "Neue Integralrelationen für Eikörperpaare," *Acta Sci. Math. (Szeged)* 13(1950), 252—257.
268. H. Hadwiger, "Einige Anwendungen eines Funktionensatzes für konvexe Körper in der räumlichen Integralgeometrie," *Monatsh. Math.* 54(1950), 345—353.
269. H. Hadwiger, "Über zwei quadratische Distanzinte-

- grale für Eikörper," *Arch. Math. (Basel)* 3(1952), 142—144.
270. H. Hadwiger, *Altes und Neues über konvexe Körper*. Birkhauser, Basel and Stuttgart, 1955.
271. H. Hadwiger, "Über Gitter und Polyeder," *Monatsh. Math.* 57(1953), 246—254.
272. H. Hadwiger, "Eulers Charakteristik und kombinatorische Geometrie," *J. Reine Angew. Math. (Crelle)* 194(1955), 101—110.
273. H. Hadwiger, "Integralsätze im Konvexring," *Abh. Math. Sem. Univ. Hamburg* 20(1956), 136—154.
274. H. Hadwiger, *Vorlesungen über Inhalt, Oberfläche und Isoperimetrie*. Springer, Berlin, 1957.
275. H. Hadwiger, "Zur Axiomatik der innermathematischen Wahrscheinlichkeitstheorie," *Mitt. Verein. Schweiz. Versich.-Math.* 58(1958), 151—165.
276. H. Hadwiger, "Normale Körper im euklidischen Raum und ihre topologischen und metrischen Eigenschaften," *Math. Z.* 71(1959), 124—140.
277. H. Hadwiger, "Volumen und Oberfläche eines Eikörpers der keine Gitterpunkte überdeckt," *Math. Z.* 116(1970), 191—196.
278. H. Hadwiger, "Gitterperiodische Punktmengen und Isoperimetrie," *Monatsh. Math.* 76(1972), 410—418.
279. H. Hadwiger and C. Meier, "Studien zur vektoriellen Integralgeometrie," *Math. Nachr.* 56(1973), 261—268.
280. H. Hadwiger and R. Schneider, "Vektorielle Integra-

- lgeometrie," *Elem. Math.* 26(1971), 49—52.
281. H. Hadwiger and F. Streit, "Über Wahrscheinlichkeiten räumlicher Bündelungserscheinungen," *Monatsh. Math.* 74(1970), 30—40.
282. H. Hadwiger, H. Debrunner, and V. Klee, *Combinatorial Geometry in the Plane*. Holt. New York, 1964.
283. M. Haimovici, "Géométrie intégrale sur les surfaces courbes," *C. R. Acad. Sci. Paris* 203(1936), 230—232.
284. M. Haimovici, "Géométrie intégrale sur les surfaces courbes," *Ann. Sci. Univ. Jassy* 23(1937), 57—74.
285. M. Haimovici, "Généralisation d'une formule de Crofton dans un espace de Riemann à n dimensions," *C. R. Acad. Sci. Roumaine* 1(1936), 291—196.
286. M. Halperin, "Some asymptotic results for a coverage problem," *Ann. Math. Statist.* 31(1960), 1063—1076.
287. J. Hammer, "On a general area-perimeter relation for two-dimensional lattices," *Amer. Math. Monthly* 71(1964), 534—537.
288. J. M. Hammersley, "The distribution of distances in a hypersphere," *Ann. Math. Statist.* 21(1950), 447—452.
289. J. M. Hammersley, "On counters with random head time, I," *Proc. Cambridge Phil. Soc.* 49(1953), 623—637.
290. J. M. Hammersley and K. W. Morton, "A new Monte-

- Carlo technique, antithetic variates," *Proc. Cambridge Phil. Soc.* 52(1956), 449—475.
291. H. Hancock, *Development of the Minkowski Geometry of Numbers*, Vol. I. Dover, New York, 1939.
292. D.C.Handscomb, "On the random disorientation of two cubes," *Canad. J. Math.* 10(1958), 85—88.
293. H. Happel, "Einige Probleme über geometrische Wahrscheinlichkeiten," *Z. Math. Phys.* 61(1912), 43—56.
294. E.F.Harding and D.G.Kendall (eds.), *Stochastic Geometry*. Wiley, New York, 1974.
295. P.Hartman and A.Wintner, "On the needle problem of Laplace and its generalizations," *Bol. Mat.* 14 (1941), 260—263.
296. E.Heil, "Abschätzung für einige Affininvarianten konvexer Kurven," *Monatsh. Math.* 71(1967), 405—423.
- 296a. E.Heil, *Zur affinen Differentialgeometrie der Eilnien*, Ph.D. dissertation. Darmstadt, 1965.
297. S.Helgason, "Differential operators on homogeneous spaces," *Acta Math.* 102(1959), 239—299.
298. S.Helgason, *Differential Geometry and Symmetric Spaces*. Academic Press, New York, 1962.
299. S.Helgason, "Duality and Radon transform for symmetric spaces," *Amer. J. Math.* 85(1963), 667—682.
300. S.Helgason, "A duality in integral geometry: some generalizations of the Radon transform," *Bull. Amer.*

- Math. Soc.* 70(1964), 435—446.
301. S. Helgason, "A duality in integral geometry on symmetric spaces," *U.S.-Japan Sem. Diff. Geometry (Kyoto, 1965)*, pp.37—56, Nippon Hyoronsha, Tokyo, 1966.
 302. S. Helgason, "The Radon transform on Euclidean spaces, compact two-point homogeneous spaces and Grassmann manifolds," *Acta Math.* 113(1965), 153—180.
 303. S. Helgason, "Fundamental solutions of invariant differential operators on symmetric spaces," *Amer. J. Math.* 86(1964), 565—601.
 304. S. Helgason, "A duality for symmetric spaces with applications to group representations," *Advances in Math.* 5(1970), 1—154.
 305. S. Helgason, "The surjectivity of invariant differential operators on symmetric spaces, I," *Ann. of Math.* (2) 98(1973), 451—479.
 - 305a. J.M. Hemmingsley, "Stochastic models for the distribution of particles in space," *Advances in Appl. Probability Spec. Suppl. (Proc. Symp. Statist. Probabilistic Problems in Metallurgy, Seattle, 1971)* (1972), 47—68.
 306. G. Herglotz, *Lectures on Geometrical Probability* (mimeographed notes), Göttingen, 1933.
 307. G. Herglotz, "Über die Steinersche Formel für Parallelfäche," *Abh. Math. Sem. Univ. Hamburg* 15(1933), 165—177.
 308. R. Hermann, "Remarks on the foundations of inte-

- gral geometry," *Rend. Circ. Mat. Palermo*, II 9 (19 0), 91—93.
309. J. E. Hilliard, "Determination of structural anisotropy," in *Stereology (Proc. 2nd Internat. Congr. Stereology)*, pp.219—227. Springer, Berlin, 1967.
- 309a. J.E.Hilliard, "Stereology: an experimental viewpoint," *Advances in Appl. Probability Spec. Suppl. (Proc. Symp. Statist. Probabilistic Problems in Metallurgy, Seattle, 1971) (1972)*, 92—111.
- 309b. J.E.Hilliard, "Direct determination of the moments of the size distribution of particles in an opaque sample," *Trans. Met. Soc. AIME* 242(1968), 1373—1380.
310. D.F.Holcomb, M.Iwasawa, and F. D.K. Roberts, "Clustering of randomly placed spheres," *Biometrika* 59(1972), 207—209.
311. P.Holgate, "The distance from a random point to the nearest point of a closely packed lattice," *Biometrika* 52(1965), 261—263.
312. K.Horneffer, "Eine Crofton-Formel und der Satz von Stokes," *Izv. Akad. Nauk Armjan SSR Ser. Mat* 5(1970), 235—250.
313. K.Horneffer, "Über die Integration von Differentialformen mittels integralgeometrischer Masse," *J. Diff. Geometry* 5(1971), 451—466.
314. H.Hornich, "Eine allgemeine Ungleichung für Kurven," *Monatsh. Math. Phys.* 47(1939), 432—438.
315. M.Horowitz, "Probability of random paths across elementary geometrical shapes," *J. Appl. Probabi-*

lity 2(1965), 169—177.

316. B. Hostinsky, "Sur les probabilités géométriques," *Publ. Fac. Sci. Univ. Masaryk, Brno* 50(1925).
317. B. Hostinsky, "Probabilités relatives à la position d'une sphere à centre fixe," *J. Math. Pures Appl. (Liouville)* (9) 8(1929), 35—43.
318. B. Hostinsky, "Sur une nouvelle solution du problème de l'aiguille," *Bull. Sci. Math.* 44(1920), 126—136.
319. A. Hurwitz, "Sur quelques applications géométriques des séries de Fourier," *Ann. Ecole Normale Sup.* (3) 19(1902), 357—408.
320. I. M. Jaglom and W. G. Boltjanski, *Konvexe Figuren*. Deutsch. Verlag Wiss., Berlin, 1956.
321. A. J. Jakeman and R. S. Anderssen, "A note on numerical methods for the thin section model," *Proc. 8th Internat. Congr. Electron Microscopy (Canberra, 1974)* Vol. 2, pp. 4—5.
322. J. Jakeman and R. S. Anderssen, "On computational stereology," *Proc. 6th Austral. Computer Conf. (Sydney, 1974)* Vol. 2, pp. 353—362.
323. A. T. James, "Normal multivariate analysis and the orthogonal group," *Ann. Math. Statist.* 25(1954), 40—75.
324. F. John, "Bestimmung einer Funktion aus ihren Integralen über gewisse Mannigfaltigkeiten," *Math. Ann.* 100(1934), 488—520.
- 324a. F. John, *Plane Waves and Spherical Means Applied to Partial Differential Equations*. Wiley (Inter-

- science), New York, 1955.
325. W. A. Johnson and R. F. Mehl, "Reaction kinetics in processes of nucleation and growth," *Trans. Amer. Inst. Min. Met. Eng.* 135 (1939), 416—458.
 326. D. Jusupov, "On the integral geometry method in the theory of nonregular curves," *Izv. Vyss. Uchebn. Zaved. Matematika* 119(4) (1972), 120—122.
 327. M. Kac, "Toeplitz matrices, transformation kernels and a related problem in probability theory," *Duke Math. J.* 21 (1954), 501—509.
 328. M. Kac, E. G. van Kampen, and A. Winnert, "On Buffon's problem and its generalizations," *Amer. J. Math.* 61 (1939), 672—673.
 329. B. C. Kahan, "A practical demonstration of a needle experiment to give a number of concurrent estimates of π ," *J. Roy. Statist. Soc. A* 124 (1961), 227—233.
 330. J. Karamata, "On the distribution of intersections of diagonals in regular polygons," Univ. of Wisconsin Research Center Tech. Rept. 281 (Dec. 1961).
 331. E. Kelly, "Lower-dimensional horocycles and the Radon transforms on symmetric spaces," *Trans. Amer. Math. Soc.* (to appear).
 332. D. G. Kendall, "On the number of lattice points inside a random oval," *Quart. J. Math.* (2) 19(1948), 1—26.
 333. D. G. Kendall, "Foundations of a theory of random sets," in *Stochastic Geometry* (E. F. Harding and D. G. Kendall, eds.), pp. 322—356. Wiley, New

York, 1974

- 334. D.G. Kendall and R. A. Rankin, "On the number of points of a given lattice in a random hypersphere," *Quart. J. Math.* (2) 4 (1953), 178—189.
- 335. M.G. Kendall and P.A. P. Moran, *Geometrical Probability*, Griffin, London, 1963.
- 336. J.F.C. Kingman, "Mean free paths in a convex reflecting region," *J. Appl. Probability* 2 (1965), 162—268.
- 337. J.F.C. Kingman, "Random secants of a convex body," *J. Appl. Probability* 6 (1969), 660—672.
- 338. V. Klee, "What is the expected volume of a simplex whose vertices are chosen at random from a given convex body?" *Amer. Math. Monthly* 76 (1969), 186—188.
- 339. E. Knothe, "Über Ungleichungen bei Sehnenpotenzintegralen," *Deutsche Math.* 2 (1937), 544—551.
- 340. E. Knothe, "Konjugierte Normalensysteme und Stacheln von Eiflächen," *Arch. Math. (Basel)* 19 (1968), 214—224.
- 341. E. Knothe, "Bemerkungen zur Isoperimetrie des Kreises auf der Kugel," *Arch. Math. (Basel)* 22 (1971), 325—327.
- 341a. S. Kobayashi and K. Nomizu, *Foundations of Differential Geometry*, Interscience Publ., New York, vol. I, 1963; vol. II, 1969.
- 342. A. Kolmogoroff, *Grundbegriffe der Wahrscheinlichkeitsrechnung* (*Ergeb. Math.* 2, 1933). English transl. Chelsea, New York, 1950.

343. C.W.Kosten, "The mean free path in room acoustics," *Acustica* 10 (1960), 245—250.
344. G.Kowalewski, *Einführung in die Determinantentheorie*. Berlin, 1942.
345. K.Krickeberg. "Invariance properties of the correlation measure of line processes, *Izv. Akad. Nauk Armjan.SSR Ser.Mat.* 5 (1970), 251—262. Reproduced in *Stochastic Geometry* (E. F. Harding and D. G. Kendall, eds.), pp. 76—88 Wiley, New York, 1974.
346. K Krickeberg, "Moments of point processes," in *Stochastic Geometry* (E.F.Harding and D.G. Kendall, eds.), pp. 89—113.Wiley, New York, 1974.
- 346a. K. Krickeberg, "The Cox process," *Symposia Matematica (Convegno di calcolo delle probabilità, INDAM, Roma, 1971)*, pp. 151—167, Academic Press, London, 1972.
347. J.P.V.Krishna, "The theory of probability distributions of points on a lattice," *Ann.Math Statist.* 21 (1950), 198—217.
348. T.Kubota, "Über konvex geschlossene Mannigfaltigkeiten im n -dimensionalen Raum," *Sci.Repts.Tôhoku Univ.* 14 (1925), 85—99
349. T.Kubota and D.Hemmi, "Some problems of minima concerning the oval," *J. Math. Soc Japan* 5 (1953), 372—389
- 349a. R.D.Kulle, "Messung des spezifischen Flächeninhaltes," *Nachr. Akad. Wiss. Göttingen II, Math. Phys.Kl.* 1971, No.10, 209—215

350. R.D.Kulle and A. Reich, Flächenmessung mit gleichverteilten Folgen, *Nachr. Akad. Wiss. Göttingen II, Math.-Phys. Kl.* 1973, Heft 12
351. M. Kurita, "An extension of Poincare's formula in integral geometry," *Nagoya Math. J.* 2 (1951) 55—61.
352. M. Kurita, *Integral Geometry*. Nagoya Univ., 1956 (japanese).
353. M. Kurita, "On the volume in homogeneous spaces," *Nagoya Math. J.* 15 (1959), 201—217.
354. M. Kurita, "On the vector in homogeneous spaces," *Nagoya Math. J.* 5 (1953), 1—33.
355. E. Langford, "Probability that a random triangle is obtuse," *Biometrika* 56 (1969), 689—690.
356. E. Langford, "A problem in geometrical probability," *Math. Mag.* 43 (1970), 237—244.
- 356a. M.M. Lavrentev and A.G. Buhgeim, "A certain class of problems of integral geometry," *Dokl. Akad. Nauk SSSR* 211 (1973), 38—39; English transl., *Soviet Math. Dokl.* 14 (1973), 957—959.
357. H. Lebesgue, "Exposition d'une memoire de M. W. Crofton," *Nouv. Ann. Math.* (4) 12 (1912), 481—502.
358. K. Legrady, "Symplektische Integralgeometrie," *Ann. Mat. Pura Appl.* (4) 41 (1956), 139—159.
359. K. Legrady, "Sobre la determinacion de funcionales en geometria integral," *Rev. Un. Mat. Argentina* 19 (1960), 175—178
360. J. Lehner, *A Short Course in Automorphic Funct-*

- ions. Holt, New York, 1966.
361. C. G. Lekkerkerker, *Geometry of Numbers*. North-Holland, Amsterdam, 1969.
 362. J. Lengauer, "Geometrische Wahrscheinlichkeitsprobleme," *Progr. Gymn.* (Würzburg) 1899.
 363. H. Lenz, "Mengenalgebra und Eulersche Charakteristik," *Abh. Math. Sem. Univ. Hamburg* 34 (1969—1970), 135—147.
 364. H. Levine, "A theorem on holomorphic mappings into complex projective space," *Ann. of Math.* (2) 71 (1960), 529—535.
 365. P. Levy, "Sur la division d'un segment par des points choisis au hasard," *C. R. Acad. Sci. Paris* 208 (1939), 147.
 366. G. van der Lijn, "Sur la mesure d'un ensemble autre qu'un ensemble de points et son application au problème du Buffon," *Bull. Soc. Roy. Sci. Liège* 2 (1933), 104—113.
 367. D. V. Little, "A third note on recent research in geometrical probability," *Advances in Appl. Probability* 6 (1974), 103—130.
 368. L. H. Loomis and S. Sternberg. *Advanced Calculus*. Addison-Wesley, Reading, Mass., 1968.
 369. R. D. Lord, "The distribution of distances in a hypersphere," *Ann. Math. Statist.* 25 (1954), 794—798.
 370. R. Luccioni, "Geometria integral en espacios proyectivos," *Rev. Mat. Fis. Teor. Univ. Tucumán* 15 (1964), 53—80.

371. R. Luciani, "Sobre la existencia de medida para hipercuadrados regulares en espacios proyectivos," *Rev. Mat. Fis. Teor. Univ. Tucumán* 14 (1962), 269—276.
372. A. V. Lucenko, "Measurability of n -point sets with respect to projective groups in the plane," *Ukrain. Geometr. Sb.* 11 (1971), 53—63.
373. A. V. Lucenko, "The measure of sets of geometric elements and their subsets," *Ukrain. Geometr. Sb.* 1 (1965), 39—57.
374. A. V. Lucenko and L. M. Jurtova, "Measures of sets of pairs on the plane that are invariant under projective transformation groups," *Ukrain. Geometr. Sb.* 5—6 (1968), 99—102.
375. G. Lúko, "On the mean length of the chords of a closed curve," *Israel J. Math.* 4 (1966), 23—32.
- 375a. E. Lutwak, "A general Bieberbach inequality," *Proc Cambridge Phil. Soc.* 78 (1975), 493—495.
376. W. Maak, "Integralgeometrie 18: Grundlagen der ebenen Integralgeometrie," *Abh. Math. Sem. Univ. Hamburg* 12 (1938), 83—110.
377. W. Maak, "Integralgeometrie 27: Über stetige Kurven," *Abh. Math. Sem. Univ. Hamburg* 12 (1938), 163—178.
378. W. Maak, "Schnittpunktzahl rektifizierbarer und nicht rektifizierbarer Kurven," *Math. Ann.* 118 (1942), 229—304.
379. W. Maak, "Oberflächenintegral und Stokes-Formel im gewöhnlichen Raum (Integralgeometrie 29),"

- Math. Ann.* 116 (1933), 574—597
380. W. Maak, "Über Längen- und Inhaltsmessung," *Nachr. Akad. Wiss. Göttingen. II Math. Phys. Kl.* 1970, 57—66
381. A. M. Macbeath and C. A. Rogers, "Siegel's mean value theorem in the geometry of numbers," *Proc. Cambridge Phil. Soc.* 54 (1958), 139—151; 51 (1955), 567—576; 54 (1958), 322—326.
382. C. Mack, "An exact formula for $Q_k(n)$, the probable number of k -aggregates in a random distribution of n points," *Phil. Mag.* (7) 39 (1948), 778—790
383. C. Mack, "The expected number of aggregates in a random distribution of points," *Proc. Cambridge Phil. Soc.* 45 (1949), 285—292.
384. C. Mack, "The effect of overlapping in bacterial counts of incubated colonies," *Biometrika* 40 (1953), 220—222.
385. C. Mack, "The expected number of clumps when convex laminae are placed at random and with random orientation on a plane area," *Proc. Cambridge Phil. Soc.* 50 (1954), 581—585
386. J. K. Mackenzie, "Sequential filling of a line by intervals placed at random and its application to linear adsorption," *J. Chem. Phys.* 37 (1962), 723.
387. K. Mahler, "Ein Übertragungsprinzip für konvexe Körper," *Casopis Pest. Mat. Fys.* 68 (1939), 93—102
388. C. L. Mallows and J. M. Clark, "Linear intercept dis-

- tributions do not characterize plane sets." *J. Appl. Probability* 7 (1970), 240—244.
389. D. Mannion, "Random space-filling in one dimension," *Publ. Math. Inst. Hungar. Acad. Sci.* A9(1964), 143—154.
390. L. Mantel, "An extension of the Buffon needle problem," *Ann. Math. Statist.* 22(1951), 314—315; 24 (1953), 674—677.
391. F. H. Marriot, "Buffon's needle problem for non-random directions," *Biometrics* 27 (1971), 233—235.
392. G. Masotti-Biggiozero, "La geometria integrale," *Rend. Sem. Mat. Fis. Milano* 25 (1953—1954), 3—70.
393. G. Masotti-Biggiozero, "Su alcune formule di geometria integrale," *Rend. Mat.* (5) 14 (1955), 280—288.
394. G. Masotti-Biggiozero, "Sulla geometria integrale, generalizzazione di formule di Crofton, Lebesgue e Santalo," *Rev. Un. Mat. Argentina* 17 (1955), 125—134.
395. G. Masotti-Biggiozero, "Sulla geometria integrale, nuove formule relative agli ovaloidi, in *Scritti Math. in Onore di Filippo Sibirani*, pp. 173—179. Cesari Zuffi, Bologna, 1957.
396. G. Masotti-Biggiozero, "Nuove formule di geometria integrale relative agli ovali," *Ann. Mat. Pura Appl.* (4) 58 (1962), 85—108.
397. G. Masotti-Biggiozero, "Nuove formule di geometria

- integrale relative agli ovaloide," *Rend. Sc. Ist. Lombardo* **A96** (1962), 666—685.
398. M. Masuyama, "On a fundamental formula in bulk sampling from the viewpoint of integral geometry," *Rept. Statist. Appl. Res. Un. Japan Sci. Engrs.* **4** (1956), 85—89.
399. G. Matheron, "Ensembles fermés aléatoires, ensembles semi-markoviens et polyèdres poissoniens," *Advances in Appl. Probability* **4** (1972), 508—543.
400. G. Matheron, "Random sets theory and its applications to stereology," *J. Microscopy* **95** (1972), 15—25.
401. G. Matheron, "Hyperplanes poissoniens et compacts de Steiner," *Advances in Appl. Probability* **6** (1974), 563—579.
- 401a. G. Matheron, *Random Sets and Integral Geometry*. Wiley, New York, 1975.
402. M. Matschinski, "Considérations statistiques sur les polygones et les polyèdres," *Publ. Inst. Statist. Univ. Paris* **3** (1954), 179—201.
403. M. Matschinski, "Détermination expérimentale des probabilités du nombre des côtés des polygones couvrant chaotiquement un plan sans lacunes," *Publ. Inst. Statist. Univ. Paris* **18** (1969), 246—265.
404. G. A. McIntyre, "Estimation of plant density using line transects," *Ecology* **47** (1955), 90—96.
405. J. L. Meijering, "Interface area, edge length and number of vertices in crystal aggregates with random nucleation," *Philips Research Rept.* **6** (1955), 270—290.

406. Z. A. Melzak, "Self-intersections in continuous random walk," *Bull. Amer. Math. Soc.* 70 (1970), 1251—1252.
407. R. E. Miles, "Random polygons determined by random lines in a plane. I, II," *Proc. Natl. Acad. Sci. USA* 52 (1964), 901—907, 1157—1160
408. R. E. Miles, "On random rotations in R^3 ," *Biometrika* 52 (1965), 636—639.
409. R. E. Miles, "Probability distribution of a network of triangles (a solution to problem 67—15)," *SIAM Rev.* 11 (1969), 399—402
410. R. E. Miles, "Poisson flats in Euclidean space, Pt. I: A finite number of random uniform flats," *Advances in Appl. Probability*, (1969), 211—237.
411. R. E. Miles, "On the homogeneous planar Poisson point process," *Math. Biosci.* 6 (1970), 85—127.
412. R. E. Miles, "The asymptotic values of certain coverage probabilities," *Biometrika* 56 (1969), 661—680
413. R. E. Miles, "Random points, sets and tessellations on the surface of a sphere," *Sankhyā* A33 (1971), 145—174
414. R. E. Miles, "Poisson flats in Euclidean spaces. Pt. II: Homogeneous Poisson flats and the complementary theorem," *Advances in Appl. Probability* 3 (1971), 1—43.
415. R. E. Miles, "A synopsis of Poisson flats in Euclidean spaces," *Izv. Akad. Nauk Arm. SSR Ser. Mat.* 5 (1970), 263—285. Reprinted in *Stochastic Geom-*

- try (E. F. Harding and D. G. Kendall, eds.), pp. 209—227 Wiley. New York, 1974.
416. R. E. Miles, "Multidimensional perspectives on stereology," *J. Microscopy* 95 (1972), 181—195
417. R. E. Miles, "On the elimination of edge effects in planar sampling, " in *Stochastic Geometry* (E. F. Harding and D. G. Kendall, eds.), pp. 229—247. Wiley. New York, 1974
418. R. E. Miles, "The various aggregates of random polygons determined by random lines in a plane," *Advances in Math* 10 (1973), 256—290
419. R. E. Miles, "The random division of space," *Advances in Appl. Probability Suppl* (1972) 243—266.
420. R. E. Miles, "Isotropic random simplices," *Advances in Appl. Probability* 3 (1971), 353—382.
421. R. E. Miles, "A simple derivation of a formula of Furstenberg and Tzkonì," *Israel J. Math* 14 (1973), 273—280
- 421a. R. E. Miles, "The fundamental formula of Blaschke in integral geometry and geometrical probability and its iteration, for domains with fixed orientations," *Austral. J. Statist.* 16 (2) (1974), 111—118
- 421b. R. E. Miles, "Direct derivation of certain surface integral formulae for the mean projection of a convex set," *Advances in Appl. Probability* 7 (1975), 818—829
422. E. Mohr, "Bemerkung zu Mises' Behandlungen des

- Nadelproblems von Buffon," *Deutsche Math* 6 (1941), 108—113.
423. P. G. Moore, "Spacing in plant populations," *Ecology* 35 (1954), 222—227.
424. P. A. P. Moran, "Measuring the surface area of a convex body," *Ann. of Math.* 45 (1944), 783—789.
425. P. A. P. Moran, "The random division of an interval, I," *J. Roy. Statist. Soc. Suppl.* 9(1947), 92—98; II, B13 (1951), 147—150; III, B15 (1953), 77—80.
426. P. A. P. Moran, "Numerical integration by systematic sampling," *Proc. Cambridge Phil. Soc* 46 (1950), 111—115.
427. P. A. P. Moran, "Measuring the length of a curve," *Biometrika* 53 (1966), 359—364.
428. P. A. P. Moran, "A note on recent research in geometrical probability," *J. Appl. Probability* 3 (1966), 453—463.
429. P. A. P. Moran, "A second note on recent research in geometrical probability," *Advances in Appl. Probability* 1 (1969), 73—89.
430. P. A. P. Moran, "The probabilistic basis of stereology," *Advances in Appl. Probability Spec. Suppl. (Proc. Symp. Probabilistic Problems in Metallurgy, Seattle, 1971)* (1972), 69—91.
431. P. A. P. Moran and S. Fazekas de St. Groth, "Random circles on a sphere," *Biometrika* 49 (1962), 289—396.

432. G. W. Morpenthaler, "Some circular coverage problems," *Biometrika* 48 (1961), 313—324.
433. M. Morimoto, "Sur les transformations horosphériques généralisées dans les espaces homogènes," *J. Fac. Sci. Univ. Tokyo Sect. IA* 13 (1960), 65—83.
434. R. R. A. Morton, "The expected number and angle of intersections between random curves in a plane," *J. Appl. Probability* 3 (1966), 559—562.
435. V. M. Morton, "The determination of angular distribution of planes in space," *Proc. Roy. Soc. A* 302 (1967), 51—68.
436. G. D. Mostow, "Homogeneous spaces with finite invariant measure," *Ann. of Math.* (2) 75 (1962), 17—37.
437. A. Müller, "Integralgeometrie 16; Dichten linearer Mannigfaltigkeiten im euklidischen und nichteuklidischen R_n ," *Math. Z.* 42 (1936), 101—124.
438. H. R. Müller, "Über lineare und quadratische Momente konvexer Bereiche," *Nachr. Österr. Math. Ges.* 21—22 (1952), 47.
439. H. R. Müller, "Über Momente ersten und zweiten Grades in der Integralgeometrie," *Rend. Circ. Mat. Palermo II* 2 (1953), 119—140.
440. J. P. Mullooly, "A one-dimensional random space-filling problem," *J. Appl. Probability* 5 (1968), 427—437.
441. M. E. Munroe, *A Modern Multidimensional Calculus*. Addison-Wesley, Reading, Mass., 1963.

442. E. J. Myers, "Size distribution of cubic particles," in *Stereology (Proc. 2nd Internat. Congr Stereology)*, pp. 187—188. Springer, Berlin, 1967
443. L. Nachbin, *The Haar Integral*. Van Nostrand, Princeton, N. J., 1965.
- 443a. G. Nagy, "State of the art in pattern recognition," *Proc. IEEE* 56 (1968), 836—862.
444. J. I. Naus, "Clustering of random points in two dimensions," *Biometrika* 52 (1965), 263—267.
445. F. Neumann, "Center affine invariants of plane curves in connection with the theory of the second-order linear differential equations," *Arch. Math. Brno* 4 (1968), 201—216.
446. F. Neuman, "A note on Santalo's isoperimetric problem," *Rev. Mat. Fis. Teor. Univ. Tucumán* 20 (1970), 204—206
447. F. Neuman, "Closed plane curves and differential equations," *Rend. Mat.* 3 (1970) 423—433.
448. F. Neuman, "Linear differential equations of the second order and their applications," *Rend. Mat.* (6) 4(1971), 559—617.
449. P. E. Ney, "A random space-filling problem," *Ann. Math. Statist.* 33 (1962), 702—718
- 449a. W. L. Nicholson and K. R. Merckx, "Unfolding particle size distribution," *Technometrics* 11(1970), 707—723.
450. W. L. Nicholson, "Estimation and linear properties of particle size distributions," *Biometrika* 57 (1970), 273—297

451. A. Nijenhuis, "On Chern's kinematic formula in integral geometry," *J. Diff. Geometry* 9 (1974), 475—482.
452. G. Nöbeling, "Über die Flächenmaße im Euklidischen Raum," *Math. Ann.* 118 (1943), 687—701.
453. G. Nöbeling, "Über die Flächeninhalte dehnungsbeschränkter Flächen," *Math. Z.* 48 (1943) 747—771.
454. G. Nöbeling, "Über die Hauptformel der ebenen Kinematik von L. A. Santalo und W. Blaschke, I, II," *Math. Ann.* 120 (1949), 585—614, 615—633.
455. G. Nöbeling, "Die Formel von Poincaré für beliebige Kontinuen," *Abh. Math. Sem. Univ. Hamburg* 15 (1943), 120—126.
456. G. Nöbeling, "Verallgemeinerung eines Satzes von Herrn W. Maak," *Abh. Math. Sem. Univ. Hamburg* 17 (1951), 95—97.
457. A. B. J. Novikoff, "Integral geometry as a tool in pattern perception," in *Principles of Self-Organization* (H. von Foerster and G. W. Zopf, Jr. eds.), pp. 347—368. Pergamon Press, London, 1962.
458. N. Obrechhoff, "On hyperbolic integral geometry," *C. R. Acad. Bulgare Sci. Math. Nat.* 2 (1949), 1—4.
459. A. M. Odlyzko, "On lattice points inside convex bodies," *Amer. Math. Monthly* 80 (1973), 915—918.

460. D. Ohmann, "Ungleichungen zwischen den Quermassintegrallen beschränkter Punktmengen, I," *Math. Ann.* 124 (1952), 265—276; II, 127 (1954), 1—7; III, 130 (1956), 386—393.
461. D. Ohmann, "Eine Verallgemeinerung der Steiner-schen Formel," *Math. Ann.* 129 (1955), 209—242
462. D. Ohmann, "Extremalprobleme für konvexe Bereiche der euklidischen Ebene," *Math. Z.* 55 (1952), 347—352
463. O. G. Owens, "The integral geometric definition of arc length for two-dimensional Finsler spaces," *Trans. Amer. Math. Soc.* 73 (1952), 198—210.
464. S. Oshio, "On mean values and geometrical probabilities in E_2 ," *Sci. Rept. Kanazawa Univ.* 3 (1955), 35—43.
465. S. Oshio, "On mean values and geometrical probabilities in E_n ," *Sci. Rept. Kanazawa Univ.* 3 (1955), 199—207
466. R. S. Palais, "A global formulation of the Lie theory of transformation groups," *Amer. Math. Soc. Memoirs* No. 22 (1957)
467. I. Palasti, "On some random space-filling problems," *Publ. Math. Inst. Hung. Acad. Sci.* 5 (1960), 353—360.
468. J. E. Paloheimo, "On a theory of search," *Biometrika* 58 (1971), 61—75.
469. F. Papangelou, "On the Palm probabilities of processes of points and processes of lines," in *Stocna-*

- stic Geometry* (E. F. Harding and D. K. Kendall, eds.), pp. 114—147. Wiley, New York. 1974.
470. B. Parzen, [1] *Modern Probability Theory and its Applications*. Wiley, New York. 1960
471. B. Petkanitschin, "Zusammenhänge zwischen den Dichten der linearen Unterräume im n -dimensionalen Raume," *Abh. Math. Sem. Univ. Hamburg* 11 (1936), 249—310.
472. E. E. Petrov, "The Radon transform in matrix spaces and in Grassmann manifolds," *Soviet Math. Dokl.* 8 (1967), 1504—1507
473. C. M. Petty, "Centroid surfaces," *Pacific J. Math* 11 (1961), 1535—1547
474. C. M. Petty, "Projection bodies," *Proc. Colloq. on Convexity, Copenhagen, 1965*, pp. 234—241. Copenhagen Univ. Math. Inst., 1967
475. C. M. Petty, "Isoperimetric problems," *Proc. Conf. on Convexity and Combinatorial Geometry* pp. 26—41. Univ. of Oklahoma Press, Norman, Okla., 1972
476. C. M. Petty, "Geominimal surface area," *Geometriae Dedicata* 3 (1974), 77—97
477. J. R. Philip, "Some integral equations in geometrical probability," *Biometrika* 53 (1966), 365—374.
478. E. M. Philofsky and J. E. Hilliard, "The measurement of the orientation distribution and arear arrays," *Quart. Appl. Math.* 27 (1969), 79—86.
479. A. Pleijel, "Zwei kurze Beweise der isoperimetris-

- chen Ungleichung," *Arch. Math. (Basel)* 7(1956), 317—319.
480. A. Pleijel, "On konvexa kurvor," *Nordisk Math Tidskr.* 3 (1955), 57—64.
481. W. F. Pohl, "On some integral formulas for space-curves and their generalization," *Amer J Math* 90 (1968), 1321—1345
482. W. F. Pohl, "Extrinsic complex projective geometry," *Proc. Conf Complex Analysis. Minneapolis, 1964* pp. 18—29.
483. W. F. Pohl, "The self-linking number of a closed space curve," *J. Math Mech.* 17 (1968), 975—986.
484. H. Poincaré, *Calcul des probabilités*. 2nd ed. Gauthier-Villars. Paris. 1912.
485. H. Poincaré, "Théorie des groupes tuchsiens," *Acta Math.* 1 (1882), 1—62
486. G. Polya. "Zahlentheoretisches und Wahrscheinlichkeitstheoretisches über die Sichtweite im Walde," *Arch. Math. Phys* 27 (1918), 135—142.
487. G. Polya, "Über geometrische Wahrscheinlichkeiten," *Sitz. Akad. Wiss. Wien* 124 (1917), 319—328.
488. G. Polya, "Über geometrische Wahrscheinlichkeiten in konvexen Körpern," *Ber. Verh. Sächs. Ges. Wiss. Leipzig* 69 (1917), 457—458.
489. G. Polya and G. Szego. *Aufgaben und Lehrsätze aus der Analysis* Vols. 1 and 2. Springer, Berlin, 1925

490. G. Polya and G. Szego, *Isoperimetric Inequalities in Mathematical Physics* (Ann. of Math. Studies No. 27). Princeton Univ. Press, Princeton, N. J., 1951.
491. G. Poole and J. Gerriets, "Minimum covers for arcs of constant length," *Bull. Amer. Math. Soc.* 79 (1973), 462—463.
492. A. Prekopa, "On the number of vertices of random convex polyhedra," *Period. Math. Hungar.* 2 (1972), 259—282.
493. J. Radon, "Über die Bestimmung von Funktionen durch ihre Integralwerte längs gewisser Mannigfaltigkeiten," *Ber. Verh. Sächs. Akad. Wiss. Leipzig. Math. Natur. Kl.* 69 (1917), 262—277.
494. E. Raimondi, "Sobre un problema de probabilidades geométricas," *Rev. Un. Mat. Argentina* 7 (1940—1941), 106—109.
495. E. Raimondi, "Sobre los pares de secantes de un poligono," *Rev. Un. Mat. Argentina* 7 (1940—1941), 133—134.
496. H. Raynaud, "Sur l'enveloppe convexe des nuages des points aléatoires dans R_n , I," *J. Appl. Probability* 7 (1970), 35—48.
497. L. Redei and B. v. Sz. Nagy, "Eine Verallgemeinerung der Inhaltsformel von Heron," *Publ. Math. Debrecen* 1 (1949), 42—50.
498. W. J. Reed, "Random points in a simplex," *Pacific J. Math.* 54 (1974), 183—198.
499. W. P. Reid, "Distribution of sizes of spheres in

- a solid from a study of slices of the solid," *J. Math. Phys.* 35 (1955), 95—102
500. H. Reiter, *Classical Harmonic Analysis and Locally Compact Groups* (Oxford Math. Monographs). Oxford Univ. Press, London and New York, 1968.
501. A. Rényi, "On a new axiomatic theory of probability," *Acta Math. Acad. Sci. Hungar.* 6 (1955), 285—335
502. A. Rényi, "On a one-dimensional problem concerning random place filling," *Magyar Tud. Akad. Mat. Intézet Közl.* 3 (1958), 109—127 (in Hungarian)
503. A. Rényi, *Wahrscheinlichkeitsrechnung*. Deutsch. Verlag Wiss., Berlin, 1962.
504. A. Rényi and R. Sulanke, "Über die konvexe Hülle von n zufällig gewählten Punkten, I," *Z. Wahrscheinlichkeits.* 2 (1963), 75—84; II, 3 (1964), 138—147.
505. A. Rényi and R. Sulanke, "Zufällige konvexe Polygone in einem Ringgebiet," *Z. Wahrscheinlichkeits.* 9 (1968), 146—157.
506. Y. G. Reshetnyak, "Integral geometric methods in the theory of curves," *Proc. 3rd All-Union Math. Congr.* Vol. 1, p. 164. Akad. Nauk SSSR, Moscow, 1956 (in Russian).
507. J. Rey Pastor and L. A. Santalo, *Geometria Integral*. Espasa-Calpe, Buenos Aires, Argentina, 1951.

508. J. Rezek, "A contribution to embracing the basic concepts of the integral geometry within the scope of ideas of Lie's group theory," *Casopis Pest. Mat. Fys.* 75 (1950), 17—26.
509. H. Rhee, "A representation of the solutions of the Darboux equation in odddimensional spaces," *Trans. Amer. Math. Soc.* 150(1970), 491—498.
510. P. I. Richards, "Averages for polygons formed by random lines," *Proc. Natl. Acad. Sci. USA* 52 (1964), 1160—1164.
511. S. A. Roach, *The Theory of Random Clumping*. Methuen, London, 1968.
512. H. E. Robbins, "On the measure of a random set, I," *Ann. Math. Statist.* 15 (1944), 70—74; II, 16 (1945), 342—347.
513. H. E. Robbins, "Acknowledgement of priority," *Ann. Math. Statist.* 18 (1947), 297.
514. F. D. K. Roberts, "Nearest neighbours in a Poisson ensemble," *Biometrika* 56 (1969), 401—406.
515. F. D. K. Roberts and S. H. Storey, "A three-dimensional cluster problem," *Biometrika* 55(1968), 258—260.
516. H. Rohde, "Integralgeometrie 33; Unitäre Integralgeometrie," *Abh. Math. Sem. Univ. Hamburg* 13 (1940), 295—318.
517. V. G. Romanov, *Integral Geometry and Inverse Problems for Hyperbolic Equations* (Springer Tracts in Natural Philosophy, Vol. 26). Springer,

Bullia, 1974.

518. H. Ruben, "An intrinsic formula for volume, " *J. Reine Angew Math (Crelle)* 226 (1967) , 116—119.
519. A.M. Russell and N.S. Josephson, "Measurement of area by counting, " *J. Appl Probability* 2 (1965), 339—351.
520. H. Sachs, "Ungleichungen für Umfang, Flächeninhalt und Trägheitsmoment konvexer Kurven, " *Acta Math. Acad. Sci. Hungar.* 11(1960), 103—115.
521. J. Sancho San Roman, "Sobre la existencia de medidas relativamente invariantes en un espacio de Klein," *Actas 2nd Coloq. Geometria Dif., Santiago de Compostela*, 1967 pp 39—44.
522. L.A. Santalo, "Algunas propiedades de las curvas esféricas y una característica de la esfera, " *Rev Mat Hispano-Amer* 10 (1935) , 1—4.
523. L. A. Santalo, "Geometria integral 4; Sobre la medida cinemática en el plano," *Abh. Math. Sem. Univ. Hamburg* 11 (1936) , 222—236.
524. L. A. Santalo, "Integralgeometrie 5; Über das kinematische Maß im Raum, " *Actualités Sci. Indust.* 357 (1936)
525. L.A. Santalo, "Geometria integral 7; Nuevas aplicaciones de la medida cinemática en el plano y en el espacio, " *Rev. Acad. Ci. Madrid* 33 (1936), 451—477, 481—504.
526. L. A. Santalo, "Unos problemas referentes a pro-

- babilidades geométricas, " *Rev. Mat. Hisp.-Amer.* (2) 11 (1936), 87—97.
527. L. A. Santalo, "Geometria integral 15; Formula fundamental de la medida cinemática para cilindros y planos paralelos moviles, " *Abh. Math. Sem. Univ. Hamburg* 12 (1938), 38—41.
528. L.A. Santalo, "Geometria integral de figuras ilimitadas, " *Publ. Inst. Mat. Univ. Litoral, Rosario, Argentina* 1, No. 2 (1939).
529. L. A. Santalo, "Geometria integral 31; Sobre valores medios y probabilidades geométricas, " *Abh. Math. Sem. Univ. Hamburg* 13 (1940), 284—294.
530. L.A.Santalo, "Géométrie intégrale 32; Quelques formules intégrales dans le plan et dans l'espace," *Abh. Math. Sem. Univ. Hamburg* 13 (1940), 344—356.
531. L.A. Santalo, "Una demonstracion de la propiedad isoperimétrica del circulo," *Publ. Inst. Mat. Univ. Litoral, Rosario, Argentina* 2, No. 3 (1940)
532. L.A. Santalo, "Sur quelques problèmes de probabilités géométriques." *Tohoku Math. J.* 47(1940), 159—171.
533. L.A. Santalo, "Beweise eines Satzes von Bottema über Eilinien, " *Tôhoku Math. J.* 48 (1941) , 221—224.
534. L.A. Santalo, "Un esquema de valores medios en la teoria de probabilidades geométricas, " *Rev. Ci. (Lima)* 43 (1941), 147—154

535. L.A. Santalo, "A theorem and an inequality referring to rectifiable curves," *Amer. J. Math.* 53 (1941), 635—644.
536. L.A. Santalo "Generalizacion de un problema de probabilidades geométricas," *Rev. Un. Mat. Argentina* 7 (1941), 129—132.
537. L.A. Santalo, "Algunos valores medios y desigualdades referentes a curvas situadas sobre la superficie esférica," *Rev. Un. Mat. Argentina* 8 (1942), 113—125.
538. L.A. Santalo, "La desigualdad isoperimétrica sobre superficies de curvatura constante negativa," *Rev. Mat. Fis. Teor. Univ. Tucumán* 3 (1942), 243—259.
539. L.A. Santalo, "Integral formulas in Crofton's style on the sphere and some inequalities referring to spherical curves," *Duke Math. J.* 9 (1942), 707—722.
540. L.A. Santalo. "Una formula integral referente a figuras convexas," *Rev. Un. Mat. Argentina* 8 (1942), 165—169.
541. L.A. Santalo, "Integral geometry on surfaces of constant negative curvature," *Duke Math. J.* 10 (1943), 687—704.
542. "Sobre la distribucion probable de corpusculos en un cuerpo deducida de la distribucion en sus secciones," *Rev. Un. Mat. Argentina* 9 (1943), 145—164.
543. L.A. Santalo, "Acotaciones sobre la longitud de una

- curva o para el numero de puntos necesarios para cubrir aproximadamente un domino," *An. Acad. Brasil. Ci.* 16 (1944), 112—121.
544. L. A. Santalo, "Valor medio del numero de regiones en que un cuerpo del espacio es dividido por n planos arbitrarios," *Rev. Un. Mat. Argentina* 10 (1945), 111—108.
545. L. A. Santalo, "Note on convex curves on the sphere," *Bull. Amer. Math. Soc.* 50 (1944), 528—534.
546. L. A. Santalo, "Unas formulas integrales referentes a cuerpos convexos," *Rev. Un. Mat. Argentina* 12 (1946—1947), 78—87.
547. L. A. Santalo, "Sobre el circulo de radio máximo contenido en un recinto," *Rev. Un. Mat. Argentina* 10 (1945), 155—162.
548. L. A. Santalo, "Note on convex curves on the hyperbolic plane," *Bull. Amer. Math. Soc.* 51 (1945), 405—412.
549. L. A. Santalo, "Sobre la longitud de una curva del espacio como valor medio de las longitudes de sus proyecciones ortogonales," *Math. Notae* 6 (1946), 158—166.
550. L. A. Santalo, "Sobre figuras planas hiperconvexas," *Summa Brasil. Math.* 1 (1946), fasc. 11.
551. L. A. Santalo, "Sobre la medida de figuras convexas congruentes contenidas en el interior de un rectángulo o de un triángulo," *Actas Acad. Ci. Lima* 10 (1947), 103—116.

552. L. A. Santalo, "On the first two moments of the measure of a random set," *Ann. Math. Statist* 18 (1947), 37—49.
553. L. A. Santalo, "Sobre la distribucion de planos en el espacio, " *Rev. Un. Mat. Argentina* 13(1948), 120—124.
554. L. A. Santalo, "Geometria integral en los espacios tridimensionales de curvatura constante," *Math. Notae* 9 (1949), 10—28.
555. L. A. Santalo, "Integral geometry on surfaces," *Duke Math. J.* 16 (1949), 361—375.
556. L. A. Santalo, "Un invariante afin para los cuerpos convexos del espacio de n dimensiones," *Portugal. Math.* 8 (1949), 155—161.
557. L. A. Santalo, "Integral geometry in projective and affine spaces," *Ann. of Math* (2) 51 (1950), 739—755.
558. L. A. Santalo, "On parallel hypersurfaces in the elliptic and hyperbolic n -dimensional space," *Proc. Amer. Math. Soc.* 1 (1950), 325—330.
559. L. A. Santalo, "Unas formulas integrales y una definicion de area q -dimensional de un conjunto de puntos," *Rev. Mat. Fis. Teor. Univ. Tucumán* 7 (1950), 271—282.
560. L. A. Santalo, "Sobre unas formulas integrales y valores medios referentes a figuras convexas moviles en el plano, " *Publ. Fac. Ci Univ. Buenos Aires Ser. Mat.* No. 2 (1950).
561. L. A. Santalo, "Integral geometry in general spa-

- ces," *Proc. Internat. Congr. Math., Cambridge, Mass., 1950* Vol. 1, pp. 483—489. The American Math. Soc., Providence, R.I., 1952.
562. L. A. Santalo, "Problemas de geometria integral," *UNESCO Symp. sobre Algunos problemas matem. que se están estudiando en América Latina, Montevideo*. 1952 pp. 23—40.
563. L. A. Santalo, "Generalizacion de una desigualdad isoperimetrica de Feller," *Rev. Un. Mat. Argentina* 16 (1954), 78—81.
564. L. A. Santalo, "Integral geometry in Hermitian spaces," *Amer. J. Math.* 74 (1952), 423—434.
565. L. A. Santalo, "Geometria integral en espacios de curvatura constante," *Publ. Com. Nac. Energia Atomica, Ser. Mat.* 1 (1952), fasc. I.
566. L. A. Santalo, "Algunos valores medios sobre la semiesfera," *Math. Notae* 12 (1952), 32—37.
567. L. A. Santalo, "Measure of sets of geodesics in a riemannian space and applications to integral formulas in elliptic and hyperbolic spaces," *Summa Brasil. Math.* 13 (1952), fasc. I.
568. L. A. Santalo, *Introduction to integral geometry, Actualités Sci. Indust.* 1198 (1952) .
569. L. A. Santalo, "On the kinematic formula in spaces of constant curvature," *Proc. Internat. Congr. Math., Amsterdam, 1954* Vol. 2, pp. 251—252. North-Holland Publ. Co. Amsterdam, 1957.
570. L. A. Santalo, "Cuestiones sobre geometria diferencial e integral en espacios de curvatura constan-

- te," *Rend. Sem. Mat. Torino* 14 (1955) , 277—295.
571. L. A. Santalo, "On geometry of numbers," *Japan. J. Math.* 7 (1955), 208—213.
572. L. A. Santalo, "Sur la mesure des espaces linéaires qui coupent un corps convexe et problèmes qui s'y rattachent," *Colloq. sur les questions de réalité en géométrie Liège*, 1955 pp. 177—190. Masson, Paris, 1956.
573. L. A. Santalo, "Sobre la distribución de los tamaños de los corpusculos contenidos en un cuerpo a partir de la distribución en sus secciones," *Trabajos Estadist.* 6 (1955), 181—196.
574. L. A. Santalo, "On the mean curvatures of a flattened convex body," *Rev. Fac. Sci. Univ. Istanbul* 21 (1956), 189—194.
575. L. A. Santalo, "Un nuevo invariante afin para cuerpos convexos del plano y del espacio," *Math. Notae* 16 (1958), 78—91.
576. L. A. Santalo, "Sobre los sistemas completos de desigualdades entre los elementos de una figura convexa del plano," *Math. Notae* 17 (1958), 82—104.
577. L. A. Santalo, "Two applications of the integral geometry in affine and projective spaces," *Publ. Math. Debrecen* 7 (1960), 226—237.
578. L. A. Santalo, "On the measure of sets of parallel linear subspaces in affine space," *Canad. J. Math.* 13 (1962), 313—319.

579. L. A. Santalo, "Sobre la formula fundamental cinemática de la geometria integral en espacios de curvatura constante," *Math. Notae* 18 (1963), 79—94.
580. L. A. Santalo, "Una relacion entre las curvaturas medias de cuerpos convexos paralelos en espacios de curvatura constante," *Rev. Un. Mat. Argentina* 21 (1963), 131—137
581. L. A. Santalo, "Integral geometry on the projective groups of the plane depending on more than three parameters," *An. Sti. Univ. "Al. I. Cuza" Iasi, Sect. Ia Mat. (N.S.)* 11B (1965), 307—335
582. L. A. Santalo, "Valores medios para poligonos formados por rectas al azar en el plano hiperbolico." *Rev. Mat. Fis. Téor. Univ. Tucumán* 16 (1966), 29—44.
583. L. A. Santalo, "Horocycles and convex sets in the hyperbolic plane," *Arch. Math. (Basel)* 28 (1967), 529—533
584. L. A. Santalo, "Horospheres and convex bodies in hyperbolic space," *Proc. Amer. Math. Soc.* 19 (1968), 390—395.
585. L. A. Santalo, "Grupos del plano respecto de los cuales, los conjuntos de puntos y de rectas admiten una medida invariante," *Rev. Un. Mat. Argentina* 23 (1967), 119—148.
586. L. A. Santalo, "Integral geometry," in *Studies in Global Geometry and Analysis* (S. S. Chern,

- (4.1), pp. 147—155. Math. Assoc. Amer., Washington, D.C., 1967.
587. L. A. Santalo, "On some geometric inequalities in the style of Fary," *Amer. J. Math.* 91(1969), 25—41.
588. L. A. Santalo, "Curvaturas absolutas y totales de variedades contenidas en un espacio euclidiano," *Acta Ci. Compostelana* 5 (1969), 149—158.
589. L. A. Santalo, "Convexidad en el plano hiperbolico," *Rev. Mat. Fis. Teor. Univ. Tucumán* 19 (1969), 174—183.
590. L. A. Santalo, "Mean values and curvatures," *Izv. Akad. Nauk Armjan. SSR Ser. Mat.* 5 (1970), 286—295. Reprinted in *Stochastic Geometry* (E. F. Harding and D. G. Kendall, eds.), pp. 165—175. Wiley, New York, 1974.
591. L. A. Santalo, "Total curvatures of compact manifolds immersed in euclidean space," *Symp. Mat. Ist. Naz. Alta Mat. Roma* 14 (1974), 364—390.
592. L. A. Santalo and I. Yanez, "Averages for polygons formed by random lines in euclidean and hyperbolic planes," *J. Appl. Probability* 9(1972), 140—157.
593. D. B. Sawyer, "On the covering of lattice points by convex regions," *Quart. J. Math. Oxford Ser. 2*, 4 (1953), 284—292.
594. J. J. Schäffer, "Smallest lattice-point covering convex set," *Math. Ann.* 129 (1955), 265—273.

595. E. Scheil, "Die Berechnung der Anzahl und Größenverteilung kugelförmiger Körper mit Hilfe der durch ebene Schnitte erhaltenen Schnittkreise," *Z. Anorg. Allgem. Chem.* 201 (1931), 259—264.
596. B. Schiffman, "Applications of geometric measure theory to value distribution theory of meromorphic maps," in *Value Distribution Theory* (R. O. Kujala and A. L. Willer III, eds.), Pt. A, pp. 63—95. Dekker, New York, 1974.
597. L. Schläfli, *Gesammelte mathematische Abhandlungen*, Vol. 1. Birkhäuser, Basel, 1950.
598. W. M. Schmidt, "Some results in probabilistic geometry," *Z. Wahrscheinlichkeits.* 9 (1968), 158—162.
- 598a. W. M. Schmidt, "Volume, surface area and the number of integer points covered by a convex set," *Arch. Math. (Basel)* 23 (1972), 537—543.
599. R. Schneider, "On Steiner points of convex bodies," *Israel J. Math.* 9 (1971), 241—249.
600. R. Schneider, "Krümmungsschwerpunkte konvexer Körper, I, II," *Abh. Math. Sem. Univ. Hamburg* 37 (1972), 112—132, 204—217.
601. E. F. Schuster, "Buffon's needle experiment," *Amer. Math. Monthly* 81 (1974), 26—29.
602. D. G. Scott, "Packing of spheres," *Nature* 188 (1961), 908—909; 194 (1962), 956—957.
603. P. R. Scott, "A lattice problem in the plane," *Mathematika* 20 (1973), 247—252.
604. S. Sherman, "A comparison of linear measures in

- the plane," *Duke Math. J.* 9 (1942), 1—9.
605. J. A. Shohat and J. D. Tamarkin, *The Problem of Moments*. Amer. Math. Soc. Providence, R. I., 1943.
606. M. Sholander, "On certain minimum problems in the theory of convex curves," *Trans. Amer. Math. Soc.* 23 (1952), 139—173.
607. L. P. Sibasov, "Integral geometry in Grassmann manifolds," *Moskov. Oblast. Ped. Inst. Ucen. Zap.* 262 (1969), 256—270.
608. F. Sibirani, "Alcune probabilità geometriche," *Mem. Accad. Sci. Ist. Bologna, Cl. Sci. Fis.* (10), 1, (1944), 113—123.
609. Z. A. Sidak, "On the mean number and size of opaque particles in transparent bodies," in *Studies in Mathematical Statistics: Theory and Applications* (K. Sarkadi and I. Vincze, eds.), Acad. Kiadr, Budapest, 1968.
610. C. L. Siegel, "Symplectic geometry," *Amer. J. Math.* 65 (1943), 1—86.
- 610a. C. L. Siegel, "A mean value theorem in geometry of numbers," *Ann. of Math.* (2) 46 (1945), 340—347.
611. L. Silberstein, "Aggregates in random distribution of points," *Phil. Mag.* (7) 36 (1945), 319—336.
612. M. Silver, "On extremal figures admissible relative to rectangular lattices," *Pacific J. Math.* 40 (1972), 451—457.

613. J. G. Skellam, "The mathematical foundations underlying the use of line transects in animal ecology, " *Biometrics* 14 (1958) , 385—400.
614. V. V. Slavskii, "A certain integral geometry relation in surface theory, " *Sibirsk. Mat. Z.* 13 (1972) , 645—658.
615. C. S. Smith and L. Gutman, "Measurement of internal boundaries in threedimensional structure of random sectioning, " *J. Metals* 5 (1953) , 81—87.
616. H. Solomon, "A coverage distribution, " *Ann. Math. Statist.* 21 (1950) , 139—140.
617. H. Solomon, "Distribution of the measure of a random two-dimensional set," *Ann. Math. Statist.* 24 (1953) , 650—656.
618. H. Solomon, "Random packing density, *Proc. 5th Berkeley Symp. Math. Statist. and Probability* pp. 119—154. Univ. of Calif Press, Berkeley, 1966.
619. H. Solomon and P. C. C. Wang, "Non-homogeneous Poisson fields of random lines with applications to traffic flow, " Stanford Univ. Statist. Dept. Tech. Rept. No. 22 (1971)
620. F. Spitzer and H. Widom, "The circumference of a convex polygon. " *Proc. Amer. Math. Soc.* 12 (1961) . 506—509
621. G. Stanilow. "Zur Integralgeometrie im euklidischen Raum E_3 , " *Math. Nachr.* 43 (1970) , 181—183.

622. G. Stanilow, "The integral geometry of generalized biaxial spaces, " *Bŭlgar Akad. Nauk. Otdel. Mat. Fiz. Nauk. Izv. Mat. Inst.* 11 (1970) , 39—53.
623. G. Stanilow and R. Sulanke, "Crofton type integral formulae in the theory of line congruences in the euclidean space E_n ," *Bŭlgar Akad. Nauk. Otdel. Mat. Fiz. Nauk. Izv. Mat. Inst.* 11 (1970) , 27—37
624. S. K. Stein, "Averages over a pair of convex surfaces, " *Michigan Math. J.* 15 (1968) , 377—380.
625. H. Steinhaus, "Sur la portée pratique et théorique de quelques théorèmes sur la mesure des ensembles de droites, " *C. R. 1er Congr. Mathématiciens des Pays Slaves, Warszawa, 1929* pp. 348—354.
626. H. Steinhaus, "Length, shape and area," *Colloq. Math.* 3 (1954) , 1—13.
627. J. A. Steppe and E. Wong, "Invariant recognition of geometric shapes, " *Internat. Conf. Method. Pattern Recognition, Hawaii, 1968.*
628. S. Sternberg, *Lectures on Differential Geometry.* Prentice-Hall, Englewood Cliffs, N.J., 1964.
629. S. Sternberg, *Advanced Calculus* (with L. H. Loomis) Addison-Wesley, Reading, Mass., 1968
630. W. L. Stevens, "Solution to a geometrical problem in probability, " *Ann. Eugenics* 9 (1939) , 315—320
631. M. I. Stoka, "Masura unei multimi de varietati

- dintr-un spatiu R_n , " *Bull. Stint. Acad. R. P. Romine* 7 (1955) , 903—937.
632. M. I. Stoka, "Asupra masurii multimii cercurilor din plan, " *Gaz. Mat. Fiz.* A10 (1955) , 556—559.
633. M. I. Stoka, "Invariantii integrali ai unui grup Lie de transformari, " *An. Univ. Bucuresti Mat-Mec.* 20 (1958) , 33—35.
634. M. I. Stoka, "Geometria integrale in uno spazio euclideo E_n , " *Boll. Un. Mat. Ital.* 13 (1958) 470—485.
635. M. I. Stoka, "Masura familiilor de varietati dintr-un spatiu E_n , " *Stud. Cerc. Mat.* (2) 9 (1958) , 547—558.
636. M. I. Stoka, "Asupra grupurilor G , masurabili dintr-un spatiu E_n , " *Comm. Accad. R. P. Romania* 9, 1 (1959) , 5—10.
637. M. I. Stoka, "Géométrie integrale dans un espace E_n , " *Rev. Roumaine Math. Pures Appl.* 4(1959), 123—156.
638. M. I. Stoka, "Congruence de variétés mesurables dans un espace E_n , " *Rev. Roumaine Math. Pures Appl.* 4 (1959) , 431—449.
639. M. I. Stoka, "Famiglie di varietà misurabili in uno spazio E_n , " *Rend. Circ. Mat. Palermo* 8 (1959) , 192—205.
640. M. I. Stoka, "Sulla misura cinematica in uno spazio euclideo E_n , " *Boll. Un. Mat. Ital.* 14 (1959), 467—476

641. M. I. Stoka, "Asupra grupurilor de miscare ale spatilor riemanniene V_2 cu curbura constanta, " *Stud. Cerc. Mat.* 11 (1960) , 207—228.
642. M. I. Stoka, "Geometrie integrala intr-un spatiu riemannian V_n ," *Stud. Cerc. Mat.* 11 (1960) , 381—395.
643. M. I. Stoka, "Das Maß der Untersysteme von Mannigfaltigkeiten in einem Raum X_n , " *Rev. Roumaine Math. Pures Appl.* (2) 5 (1960) , 275—286.
644. M. I. Stoka, "Géométrie intégrale dans un espace E_3 , " *Rev. Mat. Fis. Teor. Univ. Tucumán* 14 (1962) , 25—59.
645. M. I. Stoka, "Familii de varietati mesurabili intr-un spatiu riemannian V_3 cu curbura constanta, " *Stud. Cerc. Mat.* 12 (1963) , 365—376.
646. M. I. Stoka, *Géométrie Intégrale* (Mémorial des Sciences Mathématiques, Fasc. 165) . Gauthier-Villars, Paris, 1968.
647. M. I. Stoka, *Geometria Integrala*. Ed. Acad. R. S. Romania, 1967
648. M. I. Stoka, "Alcune formule integrali concernenti i corpi convessi dello spazio euclideo E_3 , " *Rend. Sem. Mat. Torino* 28 (1969) , 95—105.
649. M. I. Stoka, "Une extension du problème de l'aiguille de Buffon dans l'espace euclidien R_n ," *Boll. Un. Mat. Ital* (4) 10 (1974) , 386—389.
650. M. I. Stoka, "Alcune formule integrali concernenti le curve convesse di uno spazio riemanniano

V_2 dalla curvatura costante, " *Rend. Sem. Mat. Messina* 12 (1968—1970) , 63—78.

651. M. I. Stoka, "La variance d'une variable aléatoire associée à une famille des ovales du plan euclidien," *Acad. Roy. Belg. Bul. Cl. Sci* (5) 59 (1973) , 178—184.
652. M. I. Stoka, "Géometrie integrale dans le plan projectif, " *Rev. Roumaine Math. Pures Appl.* 19 (1974) , 79—96.
653. M. I. Stoka, "Sur quelques probabilités géométriques liées aux systèmes de corps convexes dans un espace euclidien E_n , " *Boll. Un. Mat. Ital.* (4) 11 (1975) , 22—29.
654. M. I. Stoka and R. Theodorescu, *Probabilitate si geometrie*. Bucuresti, 1966.
655. W. Stoll, "A Bezout estimate for complete intersections, " *Ann. of Math.* (2) 96 (1972) , 361—401.
656. W. Stoll, "Deficit and Bezout estimates," in *Value-Distribution Theory* (R. O. Kujala and A. L. Willel III, eds.) Pt. B, pp. 1—272. Dekker, New York. 1973.
657. F. Streit, "On multiple integral geometric integrals and their applications to probability theory," *Canad. J. Math.* 22 (1970) , 151—163.
658. F. Streit, "Mean value formulae for a class of random sets, " *J. Roy. Statist. Soc* 35 (1973) , 437—444.
659. R. Sulanke, "Die Verteilung der Sehnenlängen an.

- ebenen und räumlichen Figuren, " *Math. Nachr.* 23 (1961) , 51—74
660. R. Sulanke, "Schnittpunkte zufälliger Geraden, " *Arch. Math.* 16 (1965) , 320—324.
661. R. Sulanke, "Croftonsche Formeln in Kleinschen Räumen, " *Math. Nachr.* 32 (1966) , 218—224.
662. R. Sulanke, "Integralgeometrie ebener Kurvennetze, " *Acta Math. Acad. Sci. Hungar.* 17 (1966), 233—261.
663. R. Sulanke, "Croftonsche Formeln für Strahlensysteme des euklidischen Raumes, " *Math. Nachr.* 38 (1968) , 299—307.
664. R. Sulanke and P. Wintgen, *Differentialgeometrie und Faserbünde*. Birkhäuser, Basel, 1972.
665. R. Sulanke and P. Wintgen, "Zufälliger konvexer Polyeder im N-dimensionalen euklidischen Raum, " *Period. Math. Hungar.* 2 (1972) , 215—221.
- 665a. J. J. Sylvester, "On a funicular solution of Buffon's needle problem, " *Acta Math.* 14 (1890), 185—205
666. L. Takacs, "On the probability distribution of the measure of the union of random sets placed in a Euclidean space, " *Ann. Univ. Sci. Budapest. Eötvös Sect. Mat.* 1 (1958) , 89—95.
667. G. M. Tallis, "Estimating the distribution of spherical and elliptical bodies in conglomerates from plane sections, " *Biometrics* 26 (1970) , 87—103.
668. C. Tate, "Aggregates in a random distribution of points in a cylinder, " *SIAM J. Appl. Math.* 17

(1969) , 1177—1189.

669. H. R. Thomson, "Distribution of distance to n th neighbour in a population of randomly distributed individuals, " *Ecology* 37 (1956) , 391—394.
670. H. Tietze, "Würfelspiel und Integralgeometrie, " *S.-B. Mat. Kl. Bayer Akad. München* 1945/46 (1947) , 131—158.
671. R. Trandafir, "Familles de courbes mesurables du plan euclidien, I, " *Rev. Roumaine Math Pures Appl.* (2) 11 (1966), 1009—1013; 11, 12(1967).
672. R. Trandafir, "Familii de varietati cu unu, doi, si trei parametri masurabili din spatiul euclidean E_3 , " *Stud Cerc. Mat* 19 (1967) , 619—634
673. R. Trandafir, "Probleme de acoperiri in spatiul euclidean E_3 , " *Stud Cerc. Mat* 19 (1967) , 1105—1111
674. R. Trandafir, "Probleme de acoperiri in spatii riemannien V , cu curbure constante, " *Stud. Cerc. Mat.* 19 (1967)
675. R. Trandafir, "Problems of integral geometry of lattices in an euclidean space E_3 , " *Boll. Un. Mat. Ital.* (3) 22 (1967) , 228—235.
676. R. Trandafir, "Problems of integral geometry of lattices in a riemannian space V_2 with constant curvature, " *Boll. Un. Mat. Ital.* (3) 23 (1968), 244—248
677. R. Trandafir, "Problemi di geometria della reti di un spazio omogeneo, " *Rend. Sem. Mat. Messina* 12 (1971) , 3—25.

- 677a. R. Trandafir, "Probleme de geometrie integrale de retelelor dintr-un spatiu omogen, " *Stud Cerc Mat.* 23 (1971) , 425—466.
678. F. Tricomi, "Densita di un continuo di punti o di rette e densita di una corrispondenza, " *Rend Acad. Naz. Lincei* (6) 23 (1936) , 313—316
679. M. Tsuji, "Theorems in the geometry of numbers for Fuchsian groups, " *J Math Soc Japan* 4 (1952) , 189—193.
680. M. Tsuji, "Analogue of Blichfeldt's theorem for Fuchsian groups, " *Comment. Math. Univ. St Paul* 5 (1956) , 17—24.
681. S Ueno, "On the densities in a two-dimensional generalized space, " *Mem. Fac. Sci Kyusyu Univ.* A9 (1955) , 65—77
682. S. Ueno, H. Hombu, and J Naito, "Some integral geometric inequalities, " *Mem Fac Sci. Kyusyu Univ.* A6 (1951) , 97—100
- 682a. E. E. Underwood, *Quantitative Stereology*. Addison-Wesley, Reading, Mass., 1970.
683. F. Valentine, *Comex Sets*. McGraw-Hill, New York, 1964.
684. K. Valsala, "Zur Theorie der geometrischen Wahrscheinlichkeiten, " *Ann. Acad Sci Fenn* A51 (1938) , No.6, 1—22.
685. O. Varga, "Integralgeometrie 3; Croftons Formeln für den Raum, " *Math. Z.* 40 (1935), 387—405.
686. O Varga, "Integralgeometrie 8; Über die Masse von linearen Mannigfaltigkeiten im projektiven Raum

- P_n , " *Rev. Mat. Hisp. Amer.* (2) 10 (1935) , 241—264; 11 (1936) , 1—14.
687. O Varga, "Integralgeometrie 19: Über Mittelwerte an dem Durchschnitt bewegter Flächen, *Math. Z.* 41 (1936) , 768—784.
688. O Varga, "Über die Integralinvarianten, die zu einer Kurve in der Hermiteschen Geometrie gehören, " *Acta Litt. Sci. Szeged* 9 (1939) , 88—102.
689. G. P. Ventikos, "On the mean value of a straight segment in a plane convex region, " *Bull. Soc. Math. Grèce* 22 (1948) , 195—197
690. E. Vidal Abascal, "A generalization of Steiner's formula, " *Bull Amer Math Soc* 53 (1947) , 841—844.
691. E Vidal Abascal, "Geometria integral sobre superficies curvas," *Publ Observ Astron. Santiago de Compostela* 7 (1950)
692. E Vidal Abascal, "Sobre los fundamentos de la geometria integral, " *Rev Mat. Hisp -Amer* (4) 12 (1952) , 290—310.
693. E Vidal Abascal, "Sobre los fundamentos de la geometria integral, " *Mem Acad. Ci Madrid* 4 (1953) , 1—29.
694. E. Vidal Abascal, "A generalization of integral invariants, " *Proc Amer Math Soc* 10(1959), 721—727.
695. E Vidal Abascal, "Generalizacion de los invariantes integrales y aplicacion a la geometria integral

- en los espacios de Klein y de Riemann, " *Collect. Math.* 12 (1960) , 71—102.
696. E. Vidal Abascal, "Sobre algunos problemas en relacion con la medida en espacios foliados, " *Acta ler Coloq. Geometria Dif.*, Santiago de Compostela, 1963 pp. 63—82
697. E. Vidal Abascal, "Mesures définies sur les espaces des feuilles d'un feuilletage, " *Rend. Circ. Mat. Palermo* (2) 15 (1966) , 247—256.
698. E. Vidal Abascal, "Sur les feuilletages réguliers et les problèmes qui s'y reportent, " *Acta Ci. Compostelana* 3 (1966) , 3—12.
699. E. Vidal Abascal, "On regular foliations, " *Ann. Inst. Fourier (Grenoble)* 17 (1967) , 129—133.
700. E. Vidal Abascal, "Cuestiones en relacion con las medidas en espacios foliados, " *Acta 2nd Coloq Geometria Dif.*, Santiago de Compostela, 1967 pp. 59—63.
701. U. Viet, "Umkehrung eines Satzes von H. Brunn über Mittelpunktbereiche, " *Math.-Phys. Semesterber.* 5 (1956) , 141—142.
702. P. Vincensini, *Corps convexes séries linéaires, domaines vectoriels* (Mémoires des Sciences Mathématiques, Fasc. 94) Gauthier-Villars. Paris. 1938
703. O. P. Vinogradov and I. P. Zaregradski, "Geometrical probabilities in the theory of optimal search, " *Izv. Akad. Nauk Armian. SSR Ser. Mat.* 5 (1970) , 207—218.

704. G. Veronoi, "Nouvelles applications des paramètres continus à la théorie des formes quadratiques, I *Reine Angew. Math.* 134 (1908), 198—287.
705. D.F. Votaw, "The probability distribution of the measure of a random linear set," *Ann. Math. Statist.* 17 (1946) , 240—244.
706. G. Vranceanu, "The measurability of Lie groups," *Ann. Polon. Math.* (2) 15 (1964) , 179—188.
707. A.G. Walters, "The distribution of projected areas of fragments, " *Proc. Cambridge Phil. Soc.* 43 (1947) , 342—347.
708. G. S. Watson, "Estimating functionals of particle size distributions, " *Biometrika* 58 (1971) , 483—490.
709. G. S. Watson, "Orientation statistics in the earth sciences, " *Bull. Geol. Inst. Univ. Uppsala* (2) 9 (1970) , 73—89.
710. A. Weil, "*L'intégration dans les groupes topologiques et ses applications*, " *Actualités Sci. Indust.* 869 1938.
711. A. Weil, "Review of Chern's article [105], *Math. Reviews* 3 (1942) , 253.
712. A. Weil, "Sur quelques résultats de Siegel, " *Summa Brasil. Math.* 1 (1946) , 21—39.
713. J.L. Weiner, "A generalization of the isoperimetric inequality on the 2-sphere, " *Indiana Univ. Math. J.* 24 (1974) , 243—248.
714. J. G. Wendel, "A problem in geometric probability, " *Math. Scand.* 11 (1962) , 109—111.

715. J.E. Wetzel, "Covering balls for curves of constant length, " *Enseignement Math.* (2) 17(1971), 275—277
716. H. Weyl, "On the volume of tubes, " *Amer. J. Math.* 61 (1939) , 461—472.
717. H.Weyl, *Meromorphic Functions and Analytic Curves* (Ann. of Math. Studies No. 12) . Princeton Univ. Press, Princeton, N.J., 1943.
718. H. Weyl and J Weyl, "Meromorphic curves, " *Ann. of Math.* 39 (1938) , 516—538.
719. D. J. White, "On the largest cap in a convex set of a sphere, " *Proc. London Math. Soc.* (3) 17 (1967), 157—162.
720. J.H. White, "Self-linking and the Gauss integral in highe dimensions, " *Amer. J. Math.* 91(1969). 693—728.
721. J.H. White, "Geometric inequalities for surfaces in euclidean three-space, " *Rev. Roumaine Math. Pures Appl.* 17 (1972) , 1487—1494.
722. J.H White, "Some differential invariants of submanifolds of euclidean space," *J. Diff Geome-*
try 5 (1971) , 357—369
723. H. Whitney, *Geometric Integration Theory*. Princeton Univ. Press, Princeton, N.J., 1957.
724. S. D. Wicksell, "The corpuscle problem, Pt. I: A mathematical study of a biometric problem, " *Biometrika* 17 (1925), 84—99; Pt. II, 18(1926), 151—172
725. T J Willmore, *An Introduction to Differential*

- Geometry*. Oxford Univ. Press, London and New York, 1959.
726. J.M. Wills, "Ein Satz über konvexe Mengen und Gitterpunkte, " *Monatsh. Math.* 72 (1968) , 451—463.
727. J.M. Wills, "Gitterpunkte und Volumen-Oberfläche-Verhältnis konvexer Mengen, " *Arch. Math. (Basel)* 22 (1971) , 445—448.
728. W Wirtinger, "Eine Determinantenidentität und ihre Anwendungen auf analytische Gebilde in Euklidischer und Hermitescher Maßbestimmung," *Monatsh. Math. Phys.* 44 (1936) , 343—365.
729. J Wolfowitz, "The distribution of plane angles of contact, " *Quart. J. Appl. Math.* 7 (1949), 117—120.
730. H.H. Wu, *The equidistribution theory of holomorphic curves* (Ann. of Math. Studies, No. 64) . Princeton Univ. Press, Princeton, N.J., 1970.
731. T.J Wu, "Integralgeometrie 26; Über die kinematische Hauptformel, " *Math. Z.* 43 (1937) , 212—227.
732. T.J. Wu, "Integralgeometrie 28; Über elliptische Geometrie, " *Math. Z.* 43 (1938) , 495—521.
- 732a. T.J. Wu, "Der Dual der Grundformel in der Integralgeometrie, " *J. Chinese Math. Soc.* 2(1940), 199—204.
733. I.M. Yaglom, "Integral geometry in the set of line elements," Appendix to the Russian translation of L.A. Santalo's *Introduction to Integral Geo-*

- metry*, pp. 153—169, Moscow, 1956.
734. L. M. Yurtova and A. V. Lutsenko, "Measures of sets of pairs, " *Ukrain. Geometr. Sb.* 1968
735. O. Zoll, "Über Fldchen mit Scharen geschlossener geodetischer Linien, " *Math. Ann.* 57 (1903), 108—133.
736. H. Ziezold, "Über die Eckenzahl zufälliger konvexer Polygone, " *Izv. Akad. Nauk Armjan. SSR. Ser. Mat.* 5 (1970), 296—312.

作者索引^①

A

Ahlfors, L., 401
 Ailan, G., 316[2]
 Alikeski, A.A., 71
 Allendoerfer, C.B., 352, 376
 Ambarcumjan, R.V., 23, 39,
 42, 112, ~~260~~, 284
 Armitage, P., 116
 Arnold, V.I., 46
 Avez, A., 46

B

Bach, G., 328
 Bambah, R.P., 12
 Banchoff, T.F., 42
 Barbier, E., 121
 Barticle, M., 29
 Bender, E.A., 147
 Benson, D.C., 3, 262
 Benson, R.V., 3
 Berger, M., 411
 Bernal, J.D., 30

Berwald, L., 219
 Birkheff, G.D., 45, 46
 Bishop, R.L., 155
 Blaschke, W., 1, 2, 3, 41, ~~52~~,
 53, 71, 128, 136, 219, 224,
 236, 362, ~~364~~, 405
 Blee, V., 11
 Blichfeldt, H.F., 146
 Bodzioni, J., 334
 Bohm, J., 363
 Bol, G., 130
 Boltjanski, V.G., 3
 Bonnesen, T., 3, 129, 130,
 136, 137, 245
 Borel, E., 118
 Borovikov, V.A., 407
 Bottema, O., 131
 Bourbaki, N., 196
 Bronowski, J., 316
 Brothers, J.E., 319
 Buffon, 80
 Busemann, H., 234, 349

① 有些作者，书中只指出其著作编号，未指明其姓名的，不列入本索引内。

C

- Calugareanu, G., 287
 Caregradskii, I.P.,
 (见Zaregradski)
 Carleman, T., 53
 Carlson, J.A., 401
 Carnal, H., 26
 Cartan, E., 236, 392, 413
 Cartan, H., 14, 160, 420
 Cassels, J.W.S., 12, 210
 Cauchy, A., 246
 Chakerian, G.D., 136, 137,
 147, 262
 Chebotarev, N.G., 195,
 Chen, Chang-shing 318
 Chern, S.S., (陈省身) 1,
 275, 297, 317, 352, 402
 Chevalley, C., 413
 Clark, J.M., 53
 Coleman, R., 26, 27, 70
 Cooke, P.J., 108
 Corte, H., 75
 Cover, T., 384
 Coxeter, H.M.S., 22, 123,
 138, 363
 Crain, I. K., 23
 Crofton, M.W., 1, 15, 24, 52
 Czuber, E., 18, 24

D

- Daley, D.J., 63
 Darling, D.A., 66
 Davidson, R., 74, 75
 Deholf, R.T., 333
 Deltheil, R., 2, 15, 236
 De Rahm, G., 401
 Dodson, C.T.J., 75
 Domb, C., 238
 Drinfel'd, G.I., 195
 Duffin, R.J., 334
 Dufour, S.W., 114
 Dvoretzky, A., 12, 30

E

- Eberhardt, L.L., 28
 Efron, B., 26, 384
 Eggleston, H.G., 3, 204
 Elias, H., 328

F

- Fairthorne, D., 54
 Fáry, L., 291
 Favard, J., 36
 Fazekas de St.Groth, S., 382
 Federer, H., 282, 297, 317,
 319, 353
 Feller, W., 46

Fenchel, W., 3,137,245
 Fillmore, J.P., 368
 Filipescu, D., 106
 Firey, W.J., 261,283,289
 Fisher, L.D., 27
 Fisher, R.A., 29
 Flaherty, F.J., 317
 Flanders, H., 14,136,160,
 413
 Fleming, W.H., 14
 Fujiwara, M., 130
 Funk, P., 405
 Furstenberg, H., 283

G

Gani, J., 30
 Garwood, F., 29
 Geciauskas, E.P., 53,70
 Geffroy, J., 26
 Gelfand, I.M., 3,404,405,
 406,407
 Gerriets, J., 147
 Ghosh, B., 54
 Giger, H., 335
 Gilbert, E.N., 382
 Goldberg, S.I., 155
 Goldman, J.R., 20
 Goodman, A.W., 20,44
 Goodman, R.E., 44

Goudemid, S., 69
 Graev, M.I., 404,406,407
 Green, J.W., 66,405
 Green, L.W., 411
 Gridgeman, N.T., 80
 Griffiths, P.A., 401,402
 Groemer, H., 71,235,252,
 Grünbaum, B., 3,43
 Grunwald, G., 133
 Guenther, W.C., 109
 Guggenheimer, H., 12,138,
 283
 Guter, R.S.,

H

Hadwiger, H., 2,3,15,44,
 66,128,131,143,147,245,
 252,254,265,268,269,297,
 315,322,354,409,410
 Hammersley, J.M., 237
 Harding, E.F., 63
 Heil, E., 12
 Helgason, S., 3, 404, 405,
 406,407
 Hemmi, D., 11
 Herglotz, G., 271,352,373
 Hermann, R., 386,408
 Holcomb, D.F., 238
 Holgate, P., 28

Horneffer, K., 280
Horowitz, M., 68
Hristov, 47
Hurwitz, A., 64

I

Iwasawa, M., 238

J

Jaglom, I.M., 3
Jakeman, A.J., 335
John, F., 404, 407
Johnson, W.A., 344
Juticova, L.M., 217
Jusupov, D., 368

K

Kac, M., 80
Kelley, E., 407
Kelley, P.J., 349
Kendall, D.G., 2, 63, 127,
334, 337
Kendall, M.G., 15, 29, 80
Kingman, J.F.C., 224
Klamkin, M.S., 147
Klee, V.,
Klein, F., 1
Knight, K.F., 30
Kobayashi, S., 155

Krickeberg, K., 2, 22, 63, 74
Kubota, T., 11
Kulle, R.D., 297
Kurita, M., 319

L

Langford, E., 24
Lashof, R.K., 289
Lebesgue, H., 15, 64
Legrady, K., 404
Lekkerkerker, C.G., 12, 210
Lenz, H., 252
Levy, P., 29
Loomis, L.H., 14
Lord, R.D., 237
Luccioni, R., 216
Lucenko, A.V., 217

M

Maak, W., 280, 297
Macbeath, A.M., 210
Mack, C., 110, 112
Mahler, K., 12
Mallows, C.L., 53
Mannion, D., 30
Mantel, L., 80
Marriot, F.H., 335
Masotti-Biggiovevo, G., 18,

Masson, J., 30

Matheron, G., 2,22,63,75,
334

Matschinski, M., 23

Mehl, R.F., 344

Meier, C., 410

Meijering, J.L., 343,344

Melzak, Z.A., 114

Meussner, R.A., 335

Miles, R.E., 2,19,20,22,62
63,72,74,103,219,224,237
283,335,342,343,345,282,
383

Minkowski, H., 5,210,245

Moran, P.A.P., 2,15,29,36,
80,151,247,324,337,383

Morimoto, M., 407

Müller, H.R., 357,410

N

Ney, P.E., 36

Neyman, J., 316

Nicholson, W.L., 334

Nijenhuis, A., 317

Nöbeling, G., 128,297

Nomizu, K., 155

Novikoff, A.&J., 80

O

Obrechhoff, N.,

Ohmann, D., 11

P

Palais, R.S., 386

Palasti, I., 30

Papangelou, F., 75

Petkantschin, B., 224,231

Petrov, E.E., 407

Petty, C.M., 234

Pleijel, A., 42

Pohl, W.F., 42,236, 285,
286,287

Poincaré, H., 413

Polya, G., 48

Poole, G., 147

R

Radon, J., 404,405

Ramanov, V.G., 407

Rankin, R.A., 147

Raynaud, H., 26

Redei, L., 66

Reich, A., 297

Reiter, H., 186

Renyi, A., 15,25,26,29,30
66,73

任德麟, 269

Rhee, H., 407

Rhin, G., 335

Rhines, F.N., 334
 Richards, P.I., 19,62,63
 Riedwyl, H., 335
 Roach, S.A., 112
 Robbins, H.E., 29,30
 Roberts, F.D.R., 238,316
 Rogers, C.A., 12,210
 Rohde, H., 401
 Romanov, V.G., 407
 Ruben, H., 66

S

Santaló, L.A., 2,11,12,46,
 48,63,122,149,195, 210,
 217,265,271,297,315,334,
 339
 Sawyer, D.B., 146
 Schäffer, J.J., 146
 Schniffman, B., 401
 Schläfli, L., 284
 Schneider, R., 409,410
 Schmidt, W.M., 73
 Scott, D.G., 30
 Scott, P.R., 140
 Shapiro, Z.Ya., 407
 Sherman, S.,
 Shohat, J.A., 53
 Sholander, M., 11
 Sibasov, L.P., 407

Sidak, Z.A., 335
 Siegel, C.L., 210,404
 Silver, M., 147
 Slavskii, V.V., 291
 Solomon, H., 30
 Stanilov, G., 216,236
 Stein, S.K., 136,137
 Steinhaus, H., 36,43
 Sternberg, S., 14,155,160,
 413,420
 Stoka, M.I., 2,15,18, 64,
 106,195,212,217,284,308
 Stoll, W., 401
 Storey, S.H., 238
 Streit, F., 322
 Sulanke, B., 25,26,39,46,
 47,53,73,236,317
 Sylvester, J.J., 39
 Szego, G., 263

T

Takacs, L., 29
 Tallis, G.M., 335
 Tamarkin, J.D., 53
 Tate, C., 238
 Terragno, P.J., 109
 Theodorescu, R., 15
 Trandafir, R., 143,315
 Tsuji, M., 195

Turan, P., 133
Tzkoni, T., 283

U

Ueno, S., 46

V

Valenfine, F.I., 3
Van Kampen, E.R., 80
Varga, O., 214,219,236,401
Vidal Abascal, E., 236,386
Viet, U., 137
Vilenkin, N.Ya., 404,406,
407
Vinogradov, O.P., 113
Voronoï, G., 22,23
Votaw, D.F., 29,316
Vranceanu, G., 195

W

Walters, A.G., 248
Watson, G.S., 335

Weil, A., 1,210,352
Wendel, S.G., 382
Wetzel, J.E., 147
Weyl, H., 401,402
Weyl, J., 401
White, J.H., 279,287,380
Whitney, H., 420
Wicksell, S.H., 332
Wills, J.M., 147
Wintgen, P., 73,317
Wintner, A., 80
Wirtinger, W., 401
Wu, H.H., (伍鴻熙) 402
Wu, T.J., (吳大任) 269,362

Y

Yañez, 63

Z

Zaregradski, I.P., 113
Ziezold, H., 73
Zoll, O., 411

内 容 索 引

一 画

- 一般仿射群 189, 201
- 一般线性群 $GL(n)$ 162
- 一般位置的超平面 384

二 画

- 二十面体 258
- 二阶矩 365
- 十二面体 258
- 八面体 258
- 几何概率 265
 - ~ 问题 48, 115—118, 147—151, 265, 205, 364
 - 非欧空间的~ 364
 - 半球面上的~ 365
 - 球面上的~ 364—365

三 画

- 三角凸集 10
- 三角群 197
- 三点组 18
- 么球 27
 - ~ 内的随机点 27, 71, 72, 236

~ 体积	11
~ 面积	11
亏量上限	130
等周~	130

四 画

无效系数	75
不等式全系	11
不等式	
Ambarcumjan~	260
Fáry~	291
Feller~	46
Fenchel~	290
不变子群	185
不变测度	180
齐性空间里的~	180
不变体元	170
仿射群的~	200
不可分割的凸集组	43
中数(平均数)	
面的~	341
区域的~	340
顶点的~	340
中曲率积分	251
~ 与截测积分	252
关于柱的~	254
压平凸体的~	255
非欧球~	359

中值

~与曲率	288
宽度~	245
密度~	235
距离~	236
关于凸多面体的~	284
关于中曲率积分的~	306
区域被覆盖 r 次的~	109
内平行集	9
内壳	36
反称协变张量	415
区域	138
公式的对偶	
椭圆空间里~	371—373
分布	
三角形面积的~	21
n 维球内距离的~	236
弦长的~	52
粒子的~	325
外接圆盘半径~	21
粒子的量~	236
分割	
随机平面对立体的~	339
随机直线对凸集的~	59
随机直线对平面的~	56
双曲(非欧)空间	349

五 画

四面体	258
非欧几何中的~	362

立方体 258

 ~粒子 338

立体角元 204

立体度测法 325

平均值

 关于曲线的~ 121

 关于多边形的~ 60

 关于多面体的~ 341

平行集

 内~ 9

平均自由路 48

平行凸集 8

平行超平面 208

平面上的相似群 175

平面线性图 46

平移群 219

可容许区域 147

可测群 195

可迁李变换群 190

正规链 397

正交群 218

正交标架 218

正常锥 384

正可达值集 353

左不变微分齐式 91,162,163

左移 162

右不变微分齐式 91,162,169

右移 162

凸集 3,243,263

~的汇聚 321
 ~的运动基本公式 305
 ~面积 5
 ~的投影 250
 E_s 里随机~ 325
 含在另一凸集里的~ 103
 E_n 里的~ 243
 相交的~ 101
 凸台球桌 45
 凸体 243
 椭圆空间里的~ 377
 不同形状的~ 257
 凸线 3
 凸包 36
 n 个随机点的~ 25
 凸环 409
 凸曲面 243
 切向量空间 155
 叶 386
 叶层 386
 叶层空间 386
 生长速度 344
 代数流形 401
 外导数 419
 外微分 150, 419
 外积 417
 外壳 36
 包络线 3
 对偶

公式的~ 354,371
 映射微分的~ 161
 对极(或对偶)超曲面 354
 矢量积分几何 409
 矢量分析 422

六 画

交集

流形~ 294
 非欧空间流形~ 377
 交换群 120
 闭齐式 420
 闭短程线 411
 闭子群 180
 齐次仿射变换 200
 齐次辛群 403
 齐性空间 180
 ~里的密度 181,183
 ~里的不变测度 180

连续统点集

~的长 122

协变矢量

R^n 里的~ 414

场

凸集~ 109,319
 柱~ 319
 共生截痕 233
 共轭点 350

曲率

~半径 4
 空间的~ 349
 曲线长 35,151
 曲线挠率 290
 回转数 42
 有效李变换群 196
 压平凸体 255
 团数
 凸集的~ 110
 仿射变换
 仿射群 198
 齐次~ 200
 特殊~ 199
 特殊齐次~ 201
 特殊非齐次~ 201
 环挠数 286
 自交 114
 合痕群 186
 全绝对曲率 289,291
 全纯曲线 401
 多边形
 随机直线形成的~ 60
 多个动流形 296
 动标 199
 伪点 349
 异向同性随机单纯形 224

七 画

完全可积 159

辛群	403
辛积分几何	402
运动	
E_n 里的~	218
平面上的~	88
运动群	
E_n 里的~	218, 220
非欧空间里的~	350
平面上的~	14, 88, 175
运动密度	93, 171
~的其它表达式	96
射影群的~	212
E_2 里的~	93
E_n 里的~	292
非欧空间的~	355
运动基本公式	
凸集的~	305
非欧空间的~	373
柱的~	309
带的~	128, 326
E_2 上的~	123
E_n 里的~	299
Chern-Fedorer~	317
李群	155
李变换群	189
酉群	396
伴随表现	163
角	
非欧几何中的~	352

角公式 270
 体元
 极坐标下~ 358
 体积
 Grassmann流形的~ 226
 Hermit椭圆空间的~ 399
 非欧球的~ 359
 平行凸集的~ 248
 么球~ 11
 余切空间 90, 155
 更强的等周不等式 129

八 画

法汇 392
 空间的曲率 349
 空间的随机分割 343
 空间曲线 285
 定长细杆 335
 实射影群 212
 单位分解 424
 单模群 508
 极限圆 367
 极限球面 406
 极坐标下体元 358
 直径 8
 直积
 群的~ 176
 直线
 同一个凸集相交的~ 34, 72
 522

同一条曲线相交的~ 34
 同两个凸集相交的~ 36—39
 分隔两个凸集的~ 36—39
 直线上的函数 66
 直线密度
 ~对反射与折射下的不变性 44
 E_2 里的~ 31
 E_3 里的~ 236
 直线偶 54
 直线汇 236, 289
 短程线的~ 390
 直线的随机过程 333
 非对称性 45
 非欧几何中的角 352
 非欧椭圆几何 349
 非欧双曲几何 349
 非欧积分几何 349
 非欧球面面积 359
 非欧运动 350
 欧氏空间 E_n 218
 固定标架 95
 周长 3
 弦长中值 34, 67—68
 弦幂
 ~积分 51, 268
 线性无关齐式 418
 线性空间
 ~偶 54
 密切~ 401

线性子空间	263
E_n 里~	221
同流形相交的~	275
经过原点的~	204
线性图	46
线性合痕群	183
转动	
绕一点的~	219
绕一个 q 维平面的~	220
经过原点的子空间	205—206
环绕数	286

九 画

测度	
关联集的~	297
类	
曲线~	402
逆Radon变换	405
恰当微分齐式	420
总曲率	
闭曲线的~	122
平面域的~	123
绝对总曲率	39
总平方曲率	318
面积	
凸集~	66
带	76
含一个点集在内的~	77
同一域相交的~	77

柱

E_3 里的~ 323

E_n 里的~ 309

和凸集相交的~ 313

和球体相交的~ 312

相对不变密度 196

相对矢量 422

相似群

平面上的~ 175—176

殆把 322

拼嵌

E_n 里的~ 343

平面上的~ 22

球面上的~ 385

轴矢 422

矩

粒子量分布的~ 336

顶点的~ 340

复空间 396

映射

~的微分 160

~微分的对偶 161

微分流形的~ 160

独立微分齐式 158, 418

结构常数 166

点偶 50, 268

十 画

流形交集 294

非欧空间里的~	377
宽度	8
~中值	8
带~	76
差集	136
配极凸集	12
格	138
E_2 里的~	138
E_n 里的~	314
点~	144
球~	315
立方体~	314
凸集的~	149, 150
曲线的~	143
区域的~	140
等边三角形的~	149
图形的~	139
正六边形的~	139
基本区域的~	138
正方形的~	142
格点	
被一个区域覆盖的~	146
E_n 里的~	314
紧致群	174
积分公式	15, 18, 23, 51, 64, 65, 104, 250, 259, 268
椭圆空间里的~	366, 377
Hermit空间里的~	399
积分公式与Fourier级数	65
积分几何	

曲面上~	410
复空间~	396
黎曼流形里的~	386—395
积分流形	159
特殊仿射群	199
特殊线性群	162
特殊运动群	218
特殊非齐次仿射群	206

十一画

混合凸集	6
混合面积	6
商群	185
粒子	
球体内的~	327
球形~	331, 338
接近球形的~	332, 337
球面象	300
基本二次曲面	349
基本区	138
域	138
常宽	9
距	
粒子量分布的~	336
ν 函数的~	21
距离	
n 维球内的~	236
非欧~	351
两曲线间的~	42

图空间里的~	53
距离中值	
圆内的~	53
等边三角形内的~	53
长方形内的~	54
n 维球体内的~	236
密度	
柱的~	309, 329
极限圆~	367
超平面~	203
E_n 里线性空间的~	221, 227
$P_n(C)$ 里线性空间的~	397
直线~	31
m 线性空间组的~	206, 214
正规链~	398
直线偶~	54, 216
点偶~	50
平行超平面~	208
平行子空间~	210
平行四边形~	216
E_3 里平面和直线的~	235
点~	15
点~和直线~	217
r 维平面的~	202, 206
绕 q 维平面的 r 维平面的~	224
带的~	76
三点组的~	18
密度间的关系	271
密切线性空间	401

密度函数

面积的 \sim 21

垂直投影的 \sim 247

周长的 \sim 19

外接圆盘半径的 \sim 21, 22

密度中值

E_n 里的 \sim 234

接近球形粒子 328, 332, 336

笛卡空间 R^n 198

第 r 个 q 阶全绝对曲率 289

停车问题 29

随机几何 2

随机元素 15

随机图形 114

随机大圆 385

随机直线 333

随机平面 329, 339

随机点

凸集内的 \sim 322

么球体内的 \sim 26, 71, 236

么球体上的 \sim 381

随机多边形 73

随机多面锥 384

随机长方形 316

随机区域

球面上的 \sim 385

随机集 316

随机球面 338

随机球面图形 364

随机带 77
 随机拼嵌 22,344
 随机三角形 24
 随机撮 238
 随机分割
 空间的~ 343
 随机过程
 直线的~ 333
 随机弦 67—70

十二画

超平面
 一般位置的~ 384
 超曲面和线性空间 280
 椭圆面 283,335
 椭圆（非欧）空间 349
 黑白随机带 86
 幅度 8
 晶体群 138
 等周亏量 129
 ~上限 130
 等周不等式 41,114,129,136
 Bnähoff-Pohl~ 287
 Chackerian~ 261
 非欧平面上的~ 378
 链式法则 195
 短程线 387
 ~曲率 354
 ~线段 395

~管状曲面 392

~的折射 393

集合

点~ 14

圆的~ 176

球~ 335

全等圆形的~ 95

常宽~ 9

椭圆~ 211

短程线~ 387, 395

$2h$ 维短程线~ 409

$2n-2$ 维~ 393

双曲线~ 211

直线上节的~ 28

格的~ 209

直线~ 31

n 点组~ 15

空间偶~ 228

抛物线~ 211

平行超平面~ 207

平行子空间~ 210

点, 直线, 带~ 80

r 维平面~ 263, 360

线段

平面上~ 98

多边形内~ 100

同一个角相交的~ 100

带~ 76

同一个域相交的~ 77—79

十三画

零化场 158

概率

关于格的~ 147

锐角三角形的~ 19

钝角三角形的~ 24

微分齐式 90, 155, 413

~的秩 424

可分解的~ 216

闭~ 420

恰当~ 420

流形上的~ 423

运动群上的~ 90

微分

映射的~ 160

群的直积 176

解析复映射 401

十四画

截痕

随机平面上的~ 329

随机直线上的~ 333

随机球面上的~ 338

截痕测度积分 245

球体的~ 253

凸柱的~ 254

迴转椭球的~ 254

线段的~ 253

矩体的~ 253
 截痕测度积分与中曲率积分 252
 模式分析 339
 楔积 414
 稳定子群 190
 管状曲面
 短程线的~ 392

十五画

撑平面(q 维) 261
 撑超平面 243
 撑函数 5
 撑线 5
 撮 112, 238

十八画

覆盖问题
 圆上的~ 29
 直线上的~ 28, 29
 平面上的~ 106
 球面上的~ 380
 Abel积分方程 332—333
 Ambarcumjan 不等式 260
 Ambarcumjan公式 42
 Banchoff-Pohl等周不等式 287
 Bezout定理 401
 Blaschke 命题 53
 Blaschke基本公式 123
 Blichfeld定理 146

~的推广	183
Bonnesen不等式	129
Buffon投针问题	79
~的推广	85
关于折线的~	85
Cartan引理	418
Cauchy公式	246
Chakerian等周不等式	281
C^n 类	4
Crofton公式	
平面的~	55
非欧空间的~	369
E_n 里的~	267
Chern-Federer公式	316
Chern-Lashof 曲率	289
Darboux定理	425
Euler示性数	123
Euler-Poincaré示性数	252
Euler图	47
Fáry不等式	291
Favard长	36
Favard测度	282
Feller不等式	46
Fenchel不等式	290
Frobenius定理	160
Gauss 分布	336
Gauss-Bonnet 公式	352
Geifand 积分几何	404
Grassmann流形	225

~的体积	226
Haar 测度	171
Hadwiger条件	131
非欧平面的~	379
Herglotz 公式	271
椭圆空间的~	373
Hermann 公式	408
Hemit 椭圆几何	396
Hermit 群	396
Hermit度量	398
Holditch 定理	14
Jacobi 矩阵	161
Kubota公式	245
m 阶长度	43
Maurer-Cartan 方程	165
Maurer-Cartan 齐式	164
方阵群的~	167
仿射群的~	199
Minkowski 不等式	135
Minkowski 定理	194
Minkowski 混合面积	5
Minkowski 与Hlawake 定理	508
n 维欧氏空间	283
n 维非欧空间	349
n 维射影空间	349
Pfaff 微分组	158
完全可积~	159
式~	413
Plücker公式	402

Poincaré 公式	
~的推广	319
Poincaré 引理	420
Poisson 场, 平面的	342
Poisson 点过程	14, 20
~中的最近邻	28
Poisson 线族	61
q 维测度	297
r 维平面	283
同一个凸集相交的~	263
同一个流形相交的~	275
支撑一个凸集的~	282
非欧空间的~	375
Radon 变换	405
Reuleaux 多边形	9
Rodrigues 公式	301, 353, 373
Steiner 公式	248
非欧空间的~	375
Stiefeld 流形	231
Stoke 公式	420
Sylvester 问题	70
n 维欧氏空间的~	71
半球面上的~	365
Veronoi 拼嵌	23
Weil 条件	183